

DEPARTAMENTO DE BIOLOGÍA CELULAR, FISIOLOGÍA E INMUNOLOGÍA
UNIVERSITAT AUTÒNOMA DE BARCELONA

Programa de Doctorado en Inmunología

*CARACTERIZACIÓN DE LOS REPERTORIOS PEPTÍDICOS
ASOCIADOS A HLA-DR EN TEJIDO LINFOIDE HUMANO:
HOMEOSTASIS Y TOLERANCIA*

Javier Alonso Collado Miguens
Mayo, 2013

DEPARTAMENTO DE BIOLOGÍA CELULAR, FISIOLOGÍA E INMUNOLOGÍA
UNIVERSITAT AUTÒNOMA DE BARCELONA

Memoria presentada por
Javier Alonso Collado Miguens

Para optar al grado de
DOCTOR EN INMUNOLOGÍA

Tesis realizada en el laboratorio de Inmunología Celular del Instituto de Biotecnología y Biomedicina de la Universitat Autònoma de Barcelona bajo la dirección de la Dra. Dolores Jaraquemada y el Dr. Iñaki Álvarez.

El doctorando Los directores

JAVIER ALONSO COLLADO MIGUENS Dra. DOLORES JARAQUEMADA
 Catedrática de Inmunología, UAB

Dr. IÑAKI ÁLVAREZ
Profesor Titular Interino, UAB

Barcelona, Mayo de 2013

Abreviaturas

aa: Aminoácido.	LC: Cromatografía líquida.
ACN: Acetonitrilo.	Lis/End: Lisosomas/Endosomas.
Ag: antígeno	M: Membrana.
APC: Célula presentadora de antígeno (<i>Antigen Presenting Cell</i>).	mAb: Anticuerpo monoclonal (<i>monoclonal antibody</i>).
C: Citoplasma.	MHC-I y MHC-II: Complejo principal de histocompatibilidad de clase I y II, respectivamente.
CLIP: Péptido de la cadena invariante asociado a clase II.	Mit: Mitocondria.
cTEC: célula epitelial tímica cortical.	Mr: Masa molecular relativa.
DAVID: <i>Database for Annotation, Visualization and Integrated Discovery</i> .	MS/MS: Espectrometría de masas en tandem.
E/EM: Espacio extracelular/Matriz Extracelular.	MSn: Espectrometría de masas en tandem múltiple.
MS: Espectrometría de Masas (<i>Mass Spectrometry</i>).	mTEC: célula epitelial tímica de la médula.
ESI: Electrospray.	N: Núcleo.
FBS: Suero Fetal Bovino (<i>Fetal Bovine Serum</i>).	NA: No assignable.
FDR: Tasa de falsa asignación (<i>False Discovery Rate</i>).	nESI: nanoelectrospray.
G: Aparato de Golgi.	NP-40: Nonidet P-40.
GO: <i>Gene Ontology</i> .	OLS: Órgano linfoide secundario.
HA: Hemaglutinina.	PBS: tampón fosfato salino (<i>Phosphate Buffer Saline</i>).
HB: Afinidad Alta (<i>High Binding</i>).	pMHC: péptido-MHC.
HLA: <i>Human Leukocyte Antigen</i> .	ppm: partes por millón.
HPLC: Cromatografía líquida de alta resolución (<i>High Performance Liquid Chromatography</i>)	qPCR: Reacción en cadena de la polimerasa cuantitativa (<i>quantitative Polymerase Chain Reaction</i>).
HSP: Proteínas de choque térmico (<i>Heat Shock Proteins</i>).	RE: Retículo Endoplasmático.
IB: Afinidad intermedia (<i>Intermediate Binding</i>)	rpm: revoluciones por minuto.
IC50: es la concentración de un inhibidor en que la unión (o respuesta) se reduce a la mitad. Capacidad inhibitoria al 50%.	SDS-PAGE: Electroforesis en gel de poliacrilamida con dodecil sulfato sódico (<i>Sodium-Dodecyl-Sulphate PolyAcrylamide Gel Electrophoresis</i>).
Ii: Cadena invariante.	SNC: Sistema nervioso central.
Ig: Immunoglobulina	TCR: Receptor de células T (<i>T Cell Receptor</i>).
INF: Interferón.	TFA: Ácido trifluoroacético.
IT: Trampa iónica (<i>Ion Trap</i>).	TRA: Antígeno restringido de tejido (<i>Tissue Restricted Antigen</i>).
LB: Afinidad baja (<i>Low Binding</i>).	UV: Ultravioleta.
	WT: Cepa salvaje (<i>Wild Type</i>).

Índice

Introducción	pg.	pg.
	11	iv. Ruptura de la tolerancia
		32
<i>Prólogo</i>	13	<i>III. Espectrometría de masas de péptidos y proteínas</i>
		33
<i>I. MHC</i>	15	i. Electroespray
		33
i. Distribución tisular de las moléculas II	16	ii. Trampa iónica
		34
ii. Estructura de las moléculas de HLA de clase II	16	iii. Fragmentación peptídica MS/MS
		35
iii. Biosíntesis de las moléculas de HLA	17	iv. Orbitrap
		36
iv. Unión HLA-péptido	19	<i>IV. Antecedentes</i>
		38
v. Caracterización del motivo de unión	20	<i>Hipótesis</i>
		41
vi. Herramientas computacionales de predicción de afinidad	21	<i>Objetivo General</i>
		43
<i>II. MHC y tolerancia</i>	24	<i>Materiales y métodos</i>
		45
i. Tolerancia central	24	M.1. Muestras de tejido y células
		47
i. Timo	24	M.2. Extracción de DNA genómico (DNAg)
		47
ii. Córtez y selección positiva	25	M.3. Inmunofluorescencia
		48
iii. Médula y selección negativa	26	<i>M.3.1. Timo</i>
		48
ii. Homeostasis y tolerancia de células T en periferia	28	<i>M.3.2. Bazo</i>
		49
i. Tolerancia periférica	29	M.4. Crecimiento de hibridomas y purificación de anticuerpos
		49
iii. El bazo como modelo de órgano linfoide secundario	30	M.5. Citometría de flujo. Marcaje superficial de HLA-DR
		49
		M.6. Determinación de la concentración de anticuerpo
		50
		M.7. Gel de SDS-PAGE
		50

	pg.		pg.
M.8. Preparación de las precolumnas y columnas de afinidad	51	M.13. Preparación del RNA y síntesis del cDNA	59
M.9. Purificación de los complejos péptido-HLA-DR	51	M.14. PCR cuantitativa a tiempo real	60
M.9.1. <i>Disrupción tisular y lisis celular</i>	52	M.15. Proteínas recombinantes de HLA de clase II y ensayo de unión	60
M.9.2. <i>Precolumna</i>	53	M.16. Estadística	60
M.9.3. <i>Inmunopurificación</i>	53	M.17. Análisis predictivos de afinidad	61
M.9.4. <i>Separación de los péptidos de las cadenas α y β del HLA-DR por ultrafiltración</i>	53	<i>Resultados</i>	63
M.9.5. <i>Desalado</i>	54	<i>Capítulo 1</i>	65
M.9.6. <i>Fraccionamiento de las muestras</i>	54	1. Predicción de unión de péptidos a alelos de HLA-DR utilizando herramientas bioinformáticas	67
M.9.7. <i>Fraccionamiento de las mezclas peptídicas</i>	54	1.1. <i>Sistemas de asignación teórica</i>	67
M.10. Identificación de los repertorios peptídicos asociados a HLA-DR mediante espectrometría de masas (MS)	55	1.1.1. Uso de herramientas informáticas para la predicción teórica de afinidad péptido-MHC	67
M.11. Identificación y validación de los espectros de fragmentación	56	1.1.1.1. Sistema basado en redes neuronales artificiales (ANN)	67
M.11.1. <i>Búsqueda en base de datos</i>	57	1.1.1.2. Sistema basado en matrices cuantitativas	68
M.11.2. <i>Evaluación de las secuencias</i>	57	1.1.2. Predicción manual de afinidad	69
M.11.2.1. <i>Evaluación automática</i>	57	1.1.3. Asignación final	70
M.11.2.2. <i>Evaluación manual</i>	58	1.2. <i>Validación del método de asignación. Comparación con ensayos de afinidad experimentales</i>	71
M.12. Fraccionamiento para el enriquecimiento de poblaciones tímicas (F0 y F1)	59	<i>Discusión capítulo 1</i>	73

	pg.		pg.
<i>Capítulo 2</i>			
2. Análisis de los ligandos de HLA-DR en tejido linfoide secundario humano	79	3.4. <i>Frecuencia peptídica e inmunodominancia</i>	103
2.1. <i>Descripción de las muestras</i>	81	3.5. <i>Proteínas y secuencias comunes entre las muestras</i>	106
2.2. <i>Expresión de HLA-DR en bazo</i>	81	3.6. <i>Descripción del repertorio peptídico de timo asociado a HLA-DR</i>	107
2.3. <i>Secuencias</i>	82	3.6.1. <i>Distribución de tamaño</i>	107
2.4. <i>Frecuencia peptídica e inmunodominancia</i>	83	3.6.2. <i>Origen y ruta de procesamiento del repertorio peptídico en timo</i>	108
2.5. <i>Proteínas y secuencias comunes</i>	86	3.6.3. <i>Funcionalidad del repertorio</i>	108
2.6. <i>Características y funcionalidad del repertorio peptídico asociado a HLA-DR en bazo</i>	87	3.6.4. <i>Afinidad teórica de los ligandos de HLA-DR en timo</i>	109
2.6.1. <i>Distribución de tamaño</i>	87	<i>Discusión capítulo 3</i>	111
2.6.2. <i>Proteínas de origen y ruta de procesamiento de los péptidos secuenciados</i>	88	<i>Capítulo 4</i>	117
2.6.3. <i>Funcionalidad del repertorio</i>	89	4. Análisis comparativo de repertorios peptídicos asociados a HLA-DR	119
2.7. <i>Afinidad teórica de los ligandos de HLA-DR en bazo</i>	90	4.1. <i>Comparación de los repertorios de péptidos de HLA-DR en tejidos linfoides primarios y secundarios</i>	119
<i>Discusión capítulo 2</i>	93	4.1.1. Comparación de los repertorios de HLA-DR en timo y bazo con HLA-DR idéntico	121
<i>Capítulo 3</i>	99	4.1.2. Comparación de la distribución de tamaño y rutas de procesamiento de péptidos entre tejidos	123
3. Análisis de los ligandos de HLA-DR en timo humano	101	4.1.3. Comparación de la funcionalidad del repertorio	124
3.1. <i>Descripción de las muestras</i>	101	4.1.4. Comparación de las afinidades teóricas de los ligandos de HLA-DR	126
3.2. <i>Expresión de HLA-DR en timo humano</i>	101		
3.3. <i>Secuencias</i>	102		

pg.

4.2. Repertorio peptídico relacionado con tolerancia y autoinmunidad

127

4.2.1. Comparación de las afinidades predictivas de los repertorios peptídicos en homeostasia y en autoinmunidad

127

Discusión capítulo 4

131

Capítulo 5

139

5. Presentación por HLA-DR de péptidos procedentes de proteínas específicas de tejido periférico en timo humano

141

5.1. Secuenciación de péptidos asociado a HLA-DR procedentes de TRAs en el repertorio tímico

141

5.2. Caracterización de la expresión de CNTN2 y SEMG1 en diferentes tejidos

143

5.3. Estudio de la expresión de CNTN2 y SEMG1 en un panel de muestras de timo

146

5.4. Identificación de la población celular que expresa SEMG1 y CTNT2 en el timo

147

Discusión capítulo 5

151

Conclusiones

159

Anexo

163

Bibliografía

249

Introducción

Prólogo

En 1901, el Dr. Paul Ehrlich, después de generar su teoría sobre la inmunidad de cadena lateral en las que establece la base química de la especificidad de la respuesta inmunológica, observó que ciertos fallos del sistema inmunitario en los que se generaba una respuesta errónea, no estaban dirigidos contra microorganismos patogénicos, sino contra componentes propios del individuo.

*"The organism possesses certain contrivances by means of which the immunity reaction, so easily produced by all kinds of cells, is prevented from acting against the organism's own elements and so giving rise to autotoxins...so that we might be justified in speaking of a "horror autotoxicus" of the organism."**

* Ehrlich P, Morgenroth J. On haemolysins. Fifth communication. F. Himmelweit, ed. In: The Collected Papers of Paul Ehrlich, vol. 2. Pergamon, London, 1957, pp. 246–55

Esta discriminación de lo propio vs. lo no propio es pues requisito esencial para el desarrollo de la respuesta inmunitaria y al mismo tiempo para el mantenimiento homeostático, salvaguardando la integridad del individuo.

En los años 40, el Dr. Peter Medawar observó que injertos de piel realizados de un ratón adulto a otro también adulto que expresaban distintas moléculas de histocompatibilidad eran sistemáticamente rechazados. Sin embargo, este proceso no ocurría si se realizaba el injerto en un ratón recién nacido. La naturaleza inmunológica de la tolerancia quedó demostrada mediante experimentos en los que linfocitos de ratones sensibilizados frente a un injerto se transferían a otro ratón de la misma cepa, al tiempo que se le practicaba un injerto. En este caso, el rechazo se producía más rápidamente que en el primer trasplante, lo que demostraba que los linfocitos estaban involucrados en este fenómeno.

La tolerancia inmunológica se puede definir como la ausencia de respuesta frente a un determinado antígeno. En los vertebrados, la tolerancia es antígeno específica y está controlada por las células T y se centra principalmente en el timo, durante la diferenciación de las células T (tolerancia central) y, una vez ha madurado el linfocito, en los órganos linfoideos secundarios (tolerancia periférica).

El reconocimiento esencial para la activación antígeno-específica de las células T se da únicamente cuando el receptor de superficie del linfocito T (*T cell receptor* o TCR) reconoce epítopos peptídicos presentados en combinación con moléculas del sistema principal de histocompatibilidad (*Major histocompatibility complex* o MHC), denominado HLA (de *human leukocyte antigen*) en humanos. Este proceso es conocido como “restricción por el MHC” y fue observado cuando linfocitos T aislados de un ratón infectado por un determinado virus eran capaces de reconocer células de otro ratón infectado por el mismo virus si compartían los alelos de MHC (Zinkernagel and Doherty 1974). Con ello demostraron la importancia del determinante antigénico y el MHC en la activación linfocitaria. Tanto en el proceso madurativo como en la vigilancia periférica inmunológica de los linfocitos T, el reconocimiento del complejo péptido-MHC es de vital importancia.

En la introducción de este trabajo, describiremos los componentes en los que se basa la tolerancia y los órganos de estudio, timo y bazo, involucrados en su mantenimiento así como los antecedentes que llevaron al diseño del proyecto. También explicaremos las características de las herramientas bioinformáticas y proteómicas utilizadas en el estudio para facilitar la comprensión de la lectura de la tesis.

de proteínas, mientras que las de clase I presentan péptidos generados en el citosol. Estas diferencias dan versatilidad al sistema inmune a la hora de reconocer diferentes patógenos.

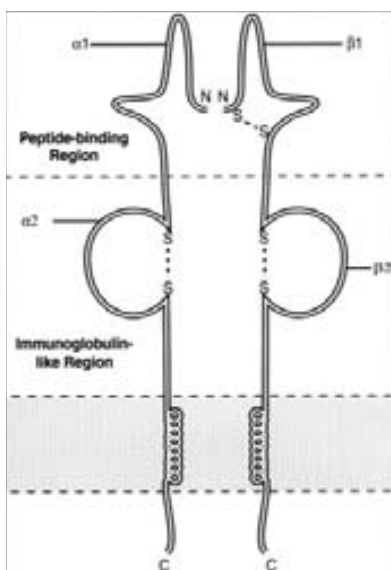
Ambas moléculas actúan como “marcadores de lo propio” para el sistema inmunitario, es decir, muestran en la superficie celular el contenido de las células y del microambiente que las rodea y son reconocidas por diferentes poblaciones linfocitarias. Las moléculas de clase I presentan péptidos a los linfocitos T CD8⁺ mientras que MHC-II interacciona con el TCR de los linfocitos CD4⁺.

El trabajo de esta tesis analiza el repertorio peptídico presentado por las moléculas de clase II en diversos tejidos y por tanto enfocaremos esta introducción a dichas moléculas.

i. Distribución tisular de las moléculas II

Las moléculas de clase II son expresadas por células especializadas en captación, procesamiento y presentación de antígenos (Antigen presenting cells o APCs). Este grupo se restringe a macrófagos, células dendríticas (*Dendritic Cells*, DCs), células B y células epiteliales tímicas. Aún así, bajo ciertas condiciones y estimulación por citocinas, células parenquimatosas o células del sistema inmune como las células NK (*natural killer*) o los propios linfocitos T, pueden llegar a expresar clase II.

ii. Estructura de las moléculas de HLA de clase II



A nivel estructural, las moléculas de HLA son glucoproteínas de membrana, heterodímeros, pertenecientes a la superfamilia de las inmunoglobulinas. Las moléculas de HLA-II están compuestas por dos cadenas, una α de 33kDa la otra β de 28kDa, codificadas dentro del complejo genético MHC. Ambas cadenas presentan dominios transmembrana, una cola citoplasmática y una región extracelular dividida en dos dominios: α_1 y α_2 para la cadena α y β_1 , β_2 para la cadena β . α_2 y β_2 son dominios de tipo inmunoglobulina con un puente de disulfuro interno. La parte más distal de la molécula está compuesta por las regiones α_1 y β_1 , y es donde se concentran la gran mayoría de polimorfismos de la molécula (Figura 2).

Figura 2. Esquema de la estructura de las moléculas de MHC de clase II. (Peters V.B. and Sperber K.E. 1999)

La estructura tridimensional de las moléculas de histocompatibilidad clase II se determinó por cristalográfica (Lee, Wucherpfennig, and Wiley 2001; Dessen et al. 1997; Stern et al. 1994). Estos estudios explicaban las interacciones entre las cadenas del MHC y los péptidos que presentan. Las regiones α_1 y β_1 interactúan entre sí formando una hendidura compuesta de ocho láminas β antiparalelas en la base

flanqueada por dos hélices α (surco de unión) y es aquí donde se ancla el fragmento peptídico a presentar. Este surco de unión (*groove*) de clase II presenta conformación abierta debido a la falta de interacción entre los extremos de las hélices alfa que delimitan la hendidura. Este surco abierto a ambos lados (Figura 3) permite la unión de fragmentos proteicos en conformación extendida, sobresaliendo sus extremos terminales por ambos lados de la molécula de MHC.

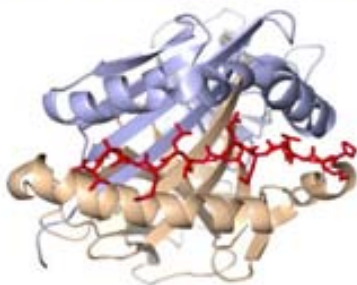


Figura 3. Representación de la visión frontal del surco de unión de las moléculas de MHC-II (Rudolph, Stanfield, and Wilson 2006).

iii. Biosíntesis de las moléculas de HLA

Las cadenas α y β del MHC-II, igual que el resto de proteínas de superficie, se sintetizan en los ribosomas adheridos al retículo endoplásmico (RE) y se transfieren durante su síntesis hacia la luz del RE, donde se pliegan y ensamblan entre sí. El proceso de formación y maduración del complejo está regulado por la chaperona calnexina, que se asocia a sus componentes (K. S. Anderson and Cresswell 1994) evitando la salida hacia la ruta secretora de aquellos complejos en periodo de formación o plegados de forma incorrecta. Sin embargo, igual que en el caso de clase I, el dímero $\alpha:\beta$ no es estable si no tiene anclado un péptido en el surco de unión. Ya que la función de clase II es presentar péptidos que se degradan en la vía endocítica, se hacen necesarios durante la maduración del heterodímero $\alpha:\beta$ mecanismos que impidan la unión de péptidos del RE, procedentes de la degradación de proteínas en el citosol o por proteasas *in situ*. Para ello, durante el ensamblaje del complejo, se les une una chaperona trimérica denominada cadena invariante (li) (Cresswell 1996). Cada una de las tres subunidades de la li se une al surco de unión de una molécula de MHC, bloqueando la hendidura y generando una estructura nonamérica $li_3(\alpha\beta)_3$.

Una vez disociada la calnexina, el nonámero se dirige directamente a superficie a través de la vía secretora, de donde son rápidamente internalizados (Warmerdam, Long, and Roche 1996) gracias a una señal de internalización del dominio citoplásmico de la li o bien van directamente hacia la vía endocítica a través del Golgi gracias a una señal situada también en la región citoplasmática de li (Bakke and Dobberstein 1990). El porcentaje de complejos que van a la vía endocítica directamente o a través de internalización de la membrana celular varía en función del tipo de APC.

En los compartimentos endosómicos de pH bajo la li es degradada por las proteasas ácidas y sustituida por péptidos presentes en dicho compartimento. Durante la degradación de la cadena invariante, la región de interacción con el surco de unión se ve protegida del efecto de las proteasas, dando lugar a un fragmento corto denominado CLIP (péptido de la cadena invariante asociado a clase II) que mantiene

estable el dímero (Figura 4). Los compartimentos endosómicos donde se acumulan más complejos MHC-II se denominan MIIC (*MHC class II compartment*) y son sobre todo MVB (cuerpos multivesiculares) o MLB cuerpos multilaminares (Neefjes 1999)(Figura 4). Estas vesículas son de bajo pH y corresponden a fases tardías de la ruta endosómica, muy cercanas a los lisosomas y entran en contacto o se fusionan con endosomas entrantes que contienen proteínas o péptidos en su interior. Es mayoritariamente en este compartimento MIIC donde se produce el intercambio de CLIP por péptidos procedentes de la degradación de material en la vía endocítica.

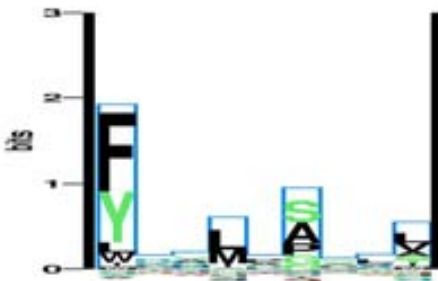
El intercambio de CLIP por otro péptido se realiza con la colaboración de una nueva chaperona, la molécula HLA-DM, que estabiliza el dímero $\alpha:\beta$ permitiendo la liberación de CLIP y realiza funciones de editor peptídico de la calidad y cantidad de los péptidos seleccionados (Lovitch, Petzold, and Unanue 2003; Muntasell et al. 2004). Los dímeros carentes de péptido no son estables y serán degradados en los compartimentos lisosomales, en cambio, las moléculas cargadas serán transportadas a la superficie para la presentación del péptido. En ausencia de infección, la mayoría de los péptidos presentados por moléculas de MHC-II derivan de proteínas autólogas, ya sean de la propia célula o del espacio extracelular (Engelhard 1994). La biosíntesis de las moléculas de MHC-II condiciona pues el repertorio que presenta, especializándose en la presentación de péptidos procedentes de proteínas degradadas en la ruta endocítica, bien proteínas extracelulares captadas por la APC o componentes internalizados de la membrana plasmática.

Aun así, existen rutas alternativas que aportan variabilidad al repertorio peptídico presentado por MHC-II y que en algunos casos pueden ser muy relevantes. La autofagia, un proceso relacionado con el estrés celular y muy relevante en células epiteliales tímicas, es un mecanismo utilizado por las APCs para presentar componentes citosólicos por la vía de clase II, igual que la fagocitosis de cuerpos apoptóticos de células vecinas (Münz 2009; Ludger Klein, Münz, and Lünemann 2010; Nedjic et al. 2009). Por otro lado se ha descrito que proteasas solubles o de membrana son capaces de generar ligandos para MHC-II en el espacio extracelular, generando péptidos que, si tienen alta afinidad por la molécula de MHC, podrían competir por los ligandos presentados por las moléculas de MHC-II de superficie desplazándolos *in situ* o podrían ser internalizados, incorporándose a la ruta clásica de MHC-II (Larsen et al. 1996; Santambrogio et al. 1999).

Estos motivos de unión son representados mediante matrices de probabilidad, asignando una relevancia a un determinado aminoácido en función de la posición (Figura 7).

	A	R	N	D	C	Q	E	G	H	I	L	K	M	F	P	S	T	W	Y	V
P1	-9.8	-11	-11	-13	-7.1	-11	-12	-11	-8.7	1.1	1.5	-12	1.3	5.8	-13	-11	-9.2	4.2	5.4	-0.4
P2	-0.1	1.5	0.9	-3.5	-0.3	1.7	-0.9	-3.1	1.1	-0.7	0.5	1.0	0.9	-0.8	-6.6	0.2	0.2	-2.3	0.4	0.7
P3	1.3	1.7	0.0	-5.8	-2.5	2.2	-3.3	-0.2	1.7	-0.9	0.2	-0.9	1.8	-1.6	-0.9	1.0	0.3	1.0	0.4	-2.4
P4	0.2	-5.1	-0.8	-5.3	-4.0	0.8	-1.4	-2.9	-2.0	1.7	3.1	-5.3	4.8	-3.3	-2.8	-0.6	-1.2	-6.5	-5.4	0.2
P5	1.6	1.5	-1.3	-3.2	-2.7	-0.3	-0.9	-0.1	-1.5	-1.5	0.5	0.2	-0.7	-1.9	2.4	1.4	-0.3	-3.1	-0.6	-1.3
P6	3.5	-6.2	1.9	-4.5	-8.9	-3.8	-4.6	2.5	-1.8	-4.6	-4.6	-7.6	-3.1	-7.7	3.2	3.6	0.0	-10	-4.3	-4.9
P7	0.8	0.4	0.9	-3.9	-6.4	0.5	-0.5	-2.4	1.2	-0.7	0.1	-1.7	0.9	-0.9	0.7	1.5	0.2	-0.4	1.4	0.5
P8	1.2	2.0	-1.5	-2.9	-1.2	-0.1	-2.3	-1.2	-1.7	-0.8	1.7	-0.6	0.6	-0.3	0.8	1.1	-0.7	-4.3	-0.4	-1.6
P9	1.4	-2.6	-2.2	-7.8	-5.0	-3.0	-7.0	-1.0	-5.7	1.4	2.1	-5.3	2.0	-3.5	-5.5	1.4	1.6	-7.8	-4.5	2.5

Figura 7. Arriba: Matriz de HLA-DR1 y la valoración numérica de los aminoácidos en cada una de las posiciones. Abajo: representación del motivo de unión de HLA-DR1. <http://www.cbs.dtu.dk/biotools/MHCMotifViewer/DRB1.html#1>.



vi. Herramientas computacionales de predicción de afinidad

La identificación precisa de los péptidos que se unen a las moléculas de MHC es relevante para el entendimiento de la especificidad de la respuesta inmune adaptativa. El estudio de unión de péptidos a las moléculas de MHC ofrece avances en el conocimiento y posible tratamiento de enfermedades humanas como el cáncer (Voutsas et al. 2007), alergias (Rhyner et al. 2007) o enfermedades autoinmunes (Kong et al. 2007) y en el desarrollo de nuevas vacunas.

Debido al elevado coste experimental y temporal que supone la búsqueda e identificación de los ligandos de MHC, se han diseñado sistemas de predicción informáticos que permiten reducir el tiempo y el gasto. La mayoría de estos sistemas están basados en datos experimentales y aproximaciones computacionales, con algoritmos diseñados para la predicción teórica de la unión específica a un alelo del MHC.

Por norma general, los sistemas de predicción tienen dos fases: la primera fase es la de entrenamiento (*training*), donde se trata de establecer una serie de reglas que expliquen la presentación de los péptidos basándose en datos experimentales de afinidad peptídica descritos en determinadas bases de datos. Una vez generadas las reglas de unión/no unión de las secuencias, estos métodos se enfrentan a una comprobación de su capacidad predictiva frente a ligandos descritos experimentalmente (*testing*).

Las consideraciones que se tienen en cuenta en la fase de entrenamiento y en su posterior predicción teórica son el contexto MHC, la representación de la unión del péptido y los algoritmos utilizados,

diferentes en todos los sistemas predictivos (Tabla 1). El estudio de interacción entre péptido y las distintas moléculas de MHC puede abordarse mediante métodos basados en sus respectivas secuencias o mediante métodos basados en el estudio de la estructura del complejo.

Los predictores basados en la secuencia se aproximan a la resolución del problema a través de la búsqueda de patrones. Estos patrones se generan mediante la identificación de aminoácidos sobre-representados, respecto a lo esperado al azar, en los distintos puntos de la secuencia de los ligandos de MHC. Con ello, caracterizan los aminoácidos del péptido situados en las posiciones de anclaje, generando unas matrices cuantitativas/probabilísticas llamadas *position-specific scoring matrix* (PSSM) (Sturniolo et al. 1999). Estas matrices representan la variabilidad de una secuencia mediante *scores*, asignando un valor a cada aminoácido en cada una de las posiciones estudiadas, según su frecuencia en esa posición. La mayoría de estas herramientas informáticas definen la unión péptido-MHC basándose exclusivamente en la secuencia del surco de unión de la molécula de MHC y la del péptido, representando la interacción péptido-MHC como una pseudosecuencia formada por los residuos polimórficos que conforman el surco de unión y el *core* del péptido. Programas como el PickPocket (H. Zhang, Lund, and Nielsen 2009), TEPITOPE (Sturniolo et al. 1999) o Propred (H. Singh and Raghava 2001), generan sus propias PSSMs bajo estos criterios y usan diferentes algoritmos para obtener la predicción. Hasta febrero de 2013 se han descrito 1285 alelos diferentes para los genes DRB1, correspondientes a 959 proteínas diferentes, 24 de ellos nulos, en la base de IMGT/HLA (Robinson et al. 2003). Aun así, gran parte de estas moléculas no tienen aún descrito el motivo estructural de anclaje de péptidos, lo que dificulta la implantación y verificación de los sistemas de predicción. Aun así se han generado una serie de aproximaciones computacionales llamadas *pan-specific*, capaces de predecir ligandos de moléculas a partir de unos pocos ligandos identificados experimentalmente.

El contexto MHC a la hora de determinar la interacción péptido-MHC puede interpretarse de diferentes maneras e influye en los sistemas de predicción. Programas como el NetMHCIpan o el MHCIIMulti implementan métodos diferentes para la identificación de la unión peptídica. Para la medición de la interacción, el primero tiene en cuenta el *core* de unión del péptido, los PFRs y la longitud del péptido (Nielsen, Justesen, et al. 2010). Por otro lado, MHCIIMulti tiene en cuenta los múltiples nonámeros que pueden obtenerse del péptido de unión, permitiendo solapamientos (Pfeifer and Kohlbacher 2008).

Gran parte de estos sistemas de predicción utilizan métodos estadísticos de aprendizaje computacional. Los algoritmos más conocidos son las *artificial neural networks* (ANN) (Gulukota and DeLisi 2001), support vector machines (SVMs) (Wan et al. 2006), utilizado por KISS y MHCIIMulti o métodos consenso que integran dos o más sistemas de predicción (ver Tabla 1).

Los estudios basados en la estructura del complejo tienen como finalidad la predicción de interacción mediante el cálculo de las energías de unión entre el péptido y el MHC. Estos sistemas, aunque con una gran capacidad predictiva, son poco extrapolables y difícilmente se pueden realizar de forma sistemática sobre un gran conjunto de péptidos ya que consumen una gran cantidad de tiempo computacional para establecer la interacción.

P ^a	Nombre	URL	Método	Fecha	HLA	A ^b	Secuencias	L ^c	M ^d
MHC-I	ADT	http://atom.research.microsoft.com/labinding/labinding.aspx	Adaptive double threading	jul-06	ABC	Si	FasPep, FasSec	9-10	No
	KISS	http://cbio.enstmp.fr/kiss/	Kernel	dic-07	ABC	Si	Pep	9	Si
	NetMHCPan	http://www.cbs.dtu.dk/services/NetMHCPan/	ANN	nov-08	ABC	Si	Pep, FasSec	8-15	Si
	PickPocket	No public server available	PSSM (matriz cuantitativa)	mar-09	-	-	-	-	No
	MULTIPRED2-I	http://cvc.dfci.harvard.edu/multipred2/HTML/prediction1.php	Integration/NetMHCPan	dic-10	ABC	Si	FasSec	8-11	No
MHC-II	Propred	http://www.imtech.res.in/raghava/propred/	PSSM (matriz cuantitativa)	jul-99	50 DRs	Si	Sec, FasSec	9	Si
	MHCIImulti	http://www.epitoolkit.org/mhcimulti/	Multi-Instance learning	2008	DR	Si	Sec, FasSec	≥9	No
	SIADT	No public server available	Shift-Invariant ADT	sep-08	DR, DP, DQ	-	-	-	No
	MultiRTA	http://bordnerlab.org/MultiRTA	RTA	sep-10	DR, DP	No	Pep	≥9	No
	NetMHCIIpan-1.0	http://www.cbs.dtu.dk/services/NetMHCIIpan-1.0/	ANN/SMM-align	jul-08	DR	Si	Pep, FasSec	≥9	Si
	NetMHCIIpan-2.0	http://www.cbs.dtu.dk/services/NetMHCIIpan-2.0/	ANN/NN-align	nov-10	DR	Si	Pep, FasSecs	≥9	Si
	MULTIPRED2-II	http://cvc.dfci.harvard.edu/multipred2/HTML/prediction2.php	Integration/NetMHCIIpan	dic-10	DR	Si	FasSec	9	No

Tabla 1. Sistemas de predicción de ligandos a MHC. En la tabla se muestran diferentes sistemas de predicción, en función de la molécula de clase I o clase II, y los accesos web, el tipo de metodología que se utiliza para la predicción y la fecha de creación. HLA corresponde a los diferentes alelos analizables y “secuencias” se refiere al tipo de formato en que deben estar las secuencias a analizar (Fas: formato FASTA; Sec: secuencia completa; Pep: péptido). a. Clase de molécula de MHC a la que va dirigida la búsqueda; b. Selección de múltiples alelos; c. Longitud de los péptidos; d. Acceso público a las matrices de asignación.

Los sistemas utilizados en esta tesis fueron: Propred (H. Singh and Raghava 2001) y NetMHCIIpan. El primer sistema fue desarrollado a partir de una nueva propuesta matemática para la generación de matrices llamada *pocket profiles* (Sturniolo et al. 1999) En base a las matrices, el centro bioinformático del *Institut of Microbial Technology* de Chandigarh (India), creó esta herramienta computacional de predicción de ligandos de HLA. Este sistema se compone de 51 PSSMs derivadas de 11 alelos de HLA-DRB diferentes y que cubrían 51 moléculas de HLA-DR. Recientemente se ha desarrollado una herramienta, TEPITOPEpan, que extrae los datos de las moléculas de HLA-DR con PSSMs definidas en Propred. Con ello, este programa genera nuevas PSSMs para los alelos no descritos basándose en el grado de homología entre las secuencias de alelos, obtenidas del “Protein Data Bank” (L. Zhang et al. 2012). Estas aplicaciones informáticas asignan un *core* peptídico basado en la presencia de como mínimo un residuo correcto en la P1. Los residuos permitidos para la P1 son Tyr, Phe, Trp, Leu, Ile, Ala, Val, o Met, variando la frecuencia en función del alelo de HLA-DR. Los umbrales de asignación dependen a su vez de los aminoácidos restantes asignados, por norma general, a las posiciones P4, P6 y P9.

Por su parte, NetMHCIIpan fue desarrollado por el grupo de *Immunological Bioinformatics* del Dr. Ole Lund en el *Center for Biological Sequence Analysis* (CBS) de la universidad técnica de Dinamarca en colaboración con el *Institut of Medical Microbiology and Immunology* (IMMS), de la universidad de Copenhague. Este programa está basado en un sistema de procesamiento no lineal con capacidad de aprendizaje del tipo ANN. El contexto MHC está definido como una pseudosecuencia generada a partir de 21 residuos aminoacídicos polimórficos en contacto potencial con el péptido, descrito por Nielsen et al. (2008). El *core* peptídico y los residuos que lo flanquean se identifican para cada uno de los péptidos en el conjunto de datos utilizando el método SMM-align. El método SMM-align identifica el nonámero de puntuación máxima para cada secuencia. Para cada *core* peptídico se evalúan principalmente los residuos del nonámero con el contexto MHC, los residuos flanqueantes del péptido (PFR), el tamaño del

péptido y el tamaño de los extremos N y C terminal de los PFRs, resultando en un valor final equivalente a la afinidad media (IC50).

II. MHC y tolerancia

La presentación de péptidos autólogos en el contexto MHC es un evento constitutivo e imprescindible para la generación y el mantenimiento del repertorio de los linfocitos T. La delección, anergia e ignorancia clonal son mecanismos necesarios para la adquisición y mantenimiento de la tolerancia. La tolerancia de los linfocitos T requiere de dos procesos: la maduración y selección en el timo, destinados a generar un repertorio linfocítico funcional y no autorreactivo (tolerancia central) y los basados en la contención de respuestas autoinmunes por parte del repertorio maduro de células T (tolerancia periférica).

i. Tolerancia central

Una vez generados en la médula ósea, los precursores de los linfocitos T migran al timo. Una vez allí, estas células (timocitos) sufrirán procesos de maduración, diferenciación y selección. El proceso selectivo conlleva la muerte por apoptosis del 98% de los timocitos generados durante la maduración. El resultado final es la generación un repertorio de linfocitos T capaz de reaccionar frente antígenos extraños, sin autorreactividad frente componentes propios del organismo (Ciofani and Zúñiga-Pflücker 2007).

i. Timo

El timo es un órgano situado en el mediastino, encima del corazón. Presenta una organización bilobular dividida en lobulillos cuya estructura consta de córtex, zona corticomedular y médula. En niños, en que la generación del repertorio de linfocitos T es más activa, este órgano puede ocupar gran parte de la cavidad torácica superior. En las radiografías pediátricas es lo que denominan “signo de vela” y debe ser extraído, en parte, en procedimientos de cirugía cardiaca pediátrica para poder acceder al corazón. En condiciones normales, el timo crece hasta la adolescencia, a partir de la cual sufre un proceso involutivo, desplazando la masa celular activa por tejido adiposo, disminuyendo así su capacidad funcional.

A nivel histológico, existen dos regiones claramente diferenciadas, el córtex o “zona oscura” y la médula o “zona blanca”. En individuos jóvenes, estas regiones están constituidas por timocitos asociados a un estroma formado principalmente por células epiteliales que forman una red que da soporte mecánico y estímulos para la proliferación y desarrollo de los timocitos. Además, podemos encontrar macrófagos, células dendríticas, fibroblastos y matriz extracelular (Petrie and Zúñiga-Pflücker 2007) distribuidos dentro del timo en distintas localizaciones. El estroma del córtex y de la médula son de composición

diferente y estas diferencias son críticas para generar los microambientes tímicos que guiarán la migración de los timocitos y aportarán las señales de diferenciación y desarrollo adecuadas en función del estadio madurativo (G. Anderson and Jenkinson 2001).

ii. Córortex y selección positiva

La entrada de los precursores linfáticos al timo se realiza a través de las vénulas postcapilares situadas en la zona corticomedular. Los timocitos inician una migración, guiados por una expresión secuencial de receptores y un gradiente quimiotáctico a la zona subcapsular del córortex (Nitta et al. 2008). El córortex está densamente poblado de linfocitos inmaduros en estado proliferativo. Durante las etapas iniciales de su desarrollo, los timocitos no presentan ninguno de los correceptores CD4 y CD8, y se les denomina doble negativas (DN). Durante la migración a la zona cortical inician la expresión de ambos correceptores CD4 y CD8 (periodo doble positivo o DP), la expresión de CD3 y el reordenamiento de los genes β y α del TCR. Junto a los timocitos, el estroma incluye células epiteliales corticales (cTECs) y poblaciones transitorias de células derivadas de médula ósea, como macrófagos de alta capacidad fagocítica (Rezzani, Bonomini, and Rodella 2008). Los timocitos DP que expresan el receptor interactúan, vía TCR, con complejos MHC-péptido autólogo en estas APCs corticales. Aquellos timocitos capaces de reconocer un péptido presentando dentro del contexto de las moléculas de MHC reciben señales de supervivencia que les permite seguir con su desarrollo madurativo. Las células que no reconocen ningún complejo pMHC no proliferan y mueren por apoptosis. Este proceso, denominado selección positiva, permite la selección de los timocitos capaces de reconocer un complejo pMHC.

Numerosos estudios refuerzan la teoría de que los péptidos propios presentados por las APCs corticales y responsables de la selección positiva tienen baja afinidad por el MHC. Un único complejo pMHC presentado por las cTECs es capaz de producir un repertorio diverso de células T (Ignatowicz, Kappler, and Marrack 1996), lo que sugiere que cualquier péptido que participe en la interacción es capaz de inducir selección positiva. En este proceso de selección, la presentación no se limita a las cTECs. Los fibroblastos, DCs o incluso linfocitos T maduros que recirculan en timo pueden inducir también selección positiva a los timocitos (Hugo et al. 1993; Yasutomo, Lucas, and Germain 2000; Kirberg et al. 2008). En este contexto de presentación, los timocitos que sobreviven a la selección positiva reprimen la expresión de uno de los correceptores, aumentan la expresión de los niveles de TCR en superficie y migran progresivamente a la zona medular del timo (Figura 8).

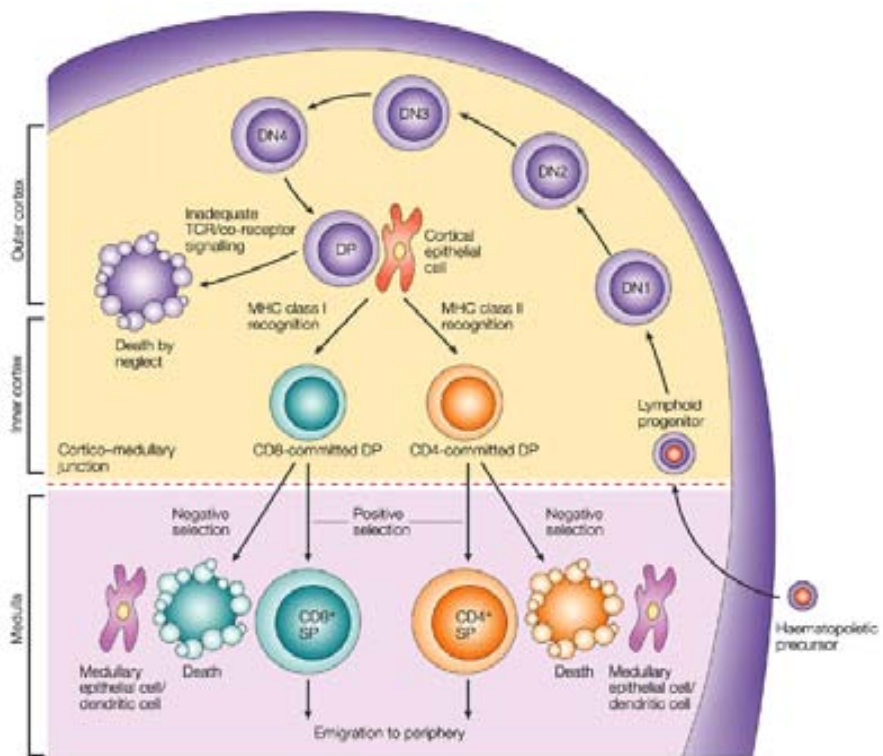


Figura 8. Procesos de tolerancia central en el timo. (Germain 2002)

iii. Médula y selección negativa

Los timocitos que superan la selección positiva y han dejado de expresar uno de los correceptores (estadio de *single positive* o SP) migran a la zona medular. Es en esta región, especializada en el establecimiento de tolerancia frente a antígenos sistémicos propios, donde se produce la selección negativa. La medula tímica ocupa, en ratones, un tercio del volumen lobular (Elmore 2006). Se le denomina la zona blanca ya que, a nivel histológico, tienen una coloración menos intensa gracias a una menor densidad celular respecto a la zona cortical debido a la drástica reducción del número de timocitos capaz de superar la selección positiva. Las principales APC en la médula son las células epiteliales medulares, mTECs y las células dendríticas, residentes o migratorias. Estas células presentan todo el material que captan ambiente tímico y esto, junto con la expresión ectópica de genes específicos de tejido por las mTECs, se establece la tolerancia frente a antígenos propios sistémicos o de órganos periféricos. Durante la selección negativa todos aquellos timocitos SP que interaccionen con alta o media afinidad con sus ligandos morirán por apoptosis. Sólo sobrevivirán aquellos que reconozcan un péptido propio asociado a MHC con baja afinidad. Por tanto, la población linfocitaria resultante de la maduración tímica serán células que, siendo capaces de reconocer un antígeno en el contexto de MHC, responden con baja afinidad al repertorio peptídico autólogo de todo el organismo. Estas células conformarán el repertorio de células T en periferia (Figura 8).

En 1989 surgió la hipótesis de la expresión ectópica de antígenos restringidos de tejido en timo como parte del desarrollo linfocitario (Linsk, Gottesman, and Pernis 1989). Para que la tolerización contra los componentes propios sea eficiente, es necesario que el repertorio peptídico presentado en el timo sea representativo del total del organismo. Esto incluye no sólo moléculas ubicuas o moléculas de alta

expresión, sino también antígenos específicos de tejidos (TRA). Los estudios de expresión génica han revelado la presencia en timo de tránscritos de RNA codificantes para múltiples proteínas consideradas exclusivas de ciertos tejidos (Jens Derbinski et al. 2001). Esta capacidad inusual de expresión génica promiscua se describió en mTECs, en concreto en subpoblaciones con altos niveles de expresión de HLA-DR (Jens Derbinski et al. 2005), involucrándolas directamente en procesos de tolerización frente a antígenos específicos de tejido (Smith et al. 1997; Ludger Klein et al. 1998; Egwuagu, Charukamnoetkanok, and Gery 1997). La ausencia o defectos en la expresión de ciertos genes, ya sea por variaciones alélicas o mutaciones, se relacionan con susceptibilidad a procesos autoinmunitarios. Una de estas enfermedades es la *polyendocrinopathy–candidiasis–ectodermal dystrophy* (APECED). Esta rara enfermedad autoinmune multiorgánica se debe a la falta de expresión o mutaciones funcionales en el gen AIRE (*Autoimmune regulator*). AIRE es uno de los primeros genes relacionados con la regulación de la autoinmunidad fuera de la región HLA (Peterson et al. 1998; Altonen et al. 1997), se expresa en las mTECs y regula la expresión de genes específicos de tejidos periféricos en el timo. Se le considera responsable, en parte, de la alta diversidad de expresión génica de las mTEC. Aunque se ha demostrado la capacidad de controlar genes concentrados en agrupaciones cromosómicas (Johnnidis et al. 2005), la inducción de apoptosis (Colomé et al. 2010) o la regulación de la transferencia de antígenos a las DCs (Hubert et al. 2011), los mecanismos de acción de AIRE no están claros. Análisis proteómicos relacionaron a AIRE con la modificación de la estructura de la cromatina, elongación transcripcional, procesamiento pre-mRNA y transporte nuclear (Abramson et al. 2010). Aparte de un factor transcripcional y debido a los motivos proteicos presentes dentro de la proteína, se le han asociado funcionalidades como ubiquitin ligasa E3 (Uchida et al. 2004) o la capacidad de interacción específica con histonas no metiladas (Graud et al. 2012) que podrían modular la actividad de elementos asociados a la cromatina. La expresión de los genes dependientes AIRE varía en función del gen y existe un efecto dosis dependiente entre los niveles de expresión de AIRE y el grado de transcripción. Aun así, AIRE es necesario pero no suficiente para la transcripción de sus genes diana y la expresión ectópica o promiscua de todos los TRAs no es exclusiva de este gen. Estudios en ratones *AIRE*^{-/-} demostraron la expresión de varios TRAs independientes de la expresión de AIRE (Kuroda et al. 2005) y alguno de ellos se expresan en subpoblaciones distintas de las mTECs AIRE⁺ (Kyewski and Derbinski 2004).

Las mTECs, al igual que las cTECs, tienen una baja eficacia de presentación de antígenos extracelulares (L Klein, Roettinger, and Kyewski 2001) lo que sugiere el uso de vías no convencionales de carga peptídica de material endógeno al MHC, accediendo así a los TRAs generados intracelularmente. Además de las mTECs, las DCs son de gran importancia en la selección negativa. El grupo de DCs presentes en el timo es bastante heterogéneo. La mayoría de ellas son residentes y proceden de precursores tímicos, aunque se encuentran también DCs periféricas, plasmacitoides y convencionales, que residen temporalmente en el timo (Wu and Shortman 2005). Tanto las DCs “autóctonas” como las emigrantes se sitúan en la médula. El diferente origen de estas DCs podría presuponer repertorios diferentes de ligandos asociados a clase II. Las DCs emigrantes podrían estar presentando antígenos captados en la periferia (Li et al. 2009),

mientras que las DCs tímicas, al igual que las periféricas, podrían estar presentando antígenos del microambiente tímico, incluyendo antígenos expresados por otras células tímicas (Nitta et al. 2008). Aunque múltiples estudios revelan, a nivel transcripcional, la expresión promiscua de genes restringidos de tejido por parte de las APCs tímicas, hasta la actualidad no se ha demostrado la presentación *in situ* de ligandos procedentes de proteínas específicas de tejido. Las nuevas tecnologías de secuenciación han permitido abordar esta laguna y en este estudio se presentan dos secuencia peptídicas procedentes de proteínas cuya expresión es restringida principalmente a tejidos reproductivos y nerviosos.

ii. Homeostasis y tolerancia de células T en periferia

El repertorio de células T generado en el timo disminuye después de la pubertad pero el número de células *naive* en periferia permanece constante. Esto sugiere un balance entre la pérdida y el remplazo postímico de los linfocitos T *naives*. Ratones adultos timectomizados a medida que crecen mantienen un número significativo de estas células T que además sobreviven manteniendo su fenotipo si se transfieren a ratones SCID (J Sprent 1993). Se ha demostrado que, en condiciones de deficiencia de células T, el reconocimiento de los complejos péptido-propio-MHC en periferia permite el restablecimiento del repertorio linfocitario (Beutner and MacDonald 1998; Ge et al. 2001). Por lo tanto, las moléculas de MHC-I y II son necesarias para preservar el número de linfocitos T CD8⁺ y CD4⁺ circulantes mediante la presentación de antígenos propios (Takeda et al. 1996; Tanchot et al. 1997).

Estudios recientes muestran que las células *naive* T CD4⁺ de ratones transgénicos para el TCR tienen una vida útil corta si se transfieren en gran número a huéspedes singénicos, pero su vida se prolonga cuando se transfieren menos células, es decir, cuando su número se asemeja a la frecuencia clonal en un repertorio policlonal (Hataye et al. 2006). Esto sugiere que la supervivencia de un determinado clon necesita el reconocimiento específico de un determinado pMHC propio. El acceso limitado a ese complejo pMHC específico reduciría el número “sobrante” de células T específicas (Surh and Sprent 2008). Por lo tanto, la diversidad del TCR dentro del repertorio de células T viene dado por la selección tímica combinada con el contacto a nivel periférico de los pMHC propios.

Para el mantenimiento homeostático de las células T *naive* es necesario pues el reconocimiento específico junto con la combinación de señales procedentes de citocinas, especialmente la IL-7 y la disminución de IL-15. Por el contrario, la mayoría de células T memoria son MHC independientes, pero sí requieren de citocinas (Jonathan Sprent and Surh 2011).

Además de la proliferación celular y la supervivencia de la célula T, la interacción con pMHC propio tiene una función importante en la respuesta misma del linfocito. El reconocimiento de antígenos propios por las células T *naive* en periferia es capaz de fosforilar parcialmente la cadena ζ del TCR, induciendo una señalización basal débil, incapaz de generar la activación de la célula T (van Oers, Killeen, and Weiss 1994). Esta continua señalización de bajo umbral de activación podría aumentar la sensibilidad de las células T periféricas hacia antígenos extraños en baja concentración, facilitando su respuesta específica.

i. Tolerancia periférica

El repertorio de células T generado en el timo siempre está compuesto de linfocitos capaces de reconocer componentes propios con baja avidez (Zehn and Bevan 2006). Estas interacciones de bajo nivel no son patológicas, ya que están reguladas a nivel periférico. Los mecanismos de mantenimiento de la tolerancia periférica son muy diversos e incluyen la baja concentración de ligando, la ausencia de moléculas coestimuladoras, la presencia de células T reguladoras o la inducción de anergia.

En estos procesos, la presentación de antígenos propios juega un papel relevante, manteniendo y regulando la homeostasis de las células T. Por una parte, la barrera física principal es la separación de células T potencialmente autorreactivas de las células que expresan los TRAs (ignorancia antigénica). Las células T *naive*, guiadas por gradientes de ligandos de CCR7 y la interacción de L-selectinas (CD62L), circulan desde la sangre a los órganos linfoideos secundarios, pasando por la linfa para luego regresar al torrente sanguíneo (Lämmermann and Sixt 2008). Así, las células T *naive* quedan excluidas de los órganos periféricos en los que se presentarían los ligandos. En estudio de ratones transgénicos, células T *naive* con un TCR transgénico específico de alta avidez hacia una glicoproteína viral no desarrollaban respuesta autoinmune en ratones transgénicos que expresan esa glicoproteína bajo el promotor de la insulina (RIP) debido a que esas células CD8⁺ no entraban en contacto con los complejos pMHC de la proteína viral en el tejido pancreático (Ohashi et al. 1991). Sin embargo, las células T efectoras son capaces de migrar a la mayoría de tejidos, preferentemente a los tejidos inflamados en los que podrían encontrarse con alta concentración de pMHC (Mueller 2010).

El repertorio de células T puede ser tolerizado a nivel periférico mediante una segunda selección en órganos linfoideos y no linfoideos provocando su deleción o anergia (Mueller 2010). En tejidos periféricos sanos, las DCs captan y procesan material del propio tejido, incluyendo células apoptóticas, y presentan complejos pMHC propios a los linfocitos T. En ausencia de interacción entre patrones moleculares asociados a patógenos y receptores inmunitarios, se produce una maduración parcial de las DCs. Esto les confiere características tolerogénicas que constituyen un importante mecanismo para evitar la autoinmunidad (Sauter et al. 2000; Mueller 2010). En este contexto, el reconocimiento de lo propio por parte las células T maduras está bajo condiciones inhibitorias, influyendo en el mantenimiento de la tolerancia.

Al contrario, los productos microbianos, los tejidos necróticos y las citocinas proinflamatorias inducen la maduración de las DCs aumentando los niveles de expresión de pMHC y de moléculas coestimuladoras (CD80 y CD86, así como CCR7 y CD40) en superficie y la síntesis de citocinas proinflamatorias para la activación de las células T. Los balances de estas proteínas de membrana, así como las citocinas secretadas determinarán la respuesta frente a un determinado antígeno (Figura 9).

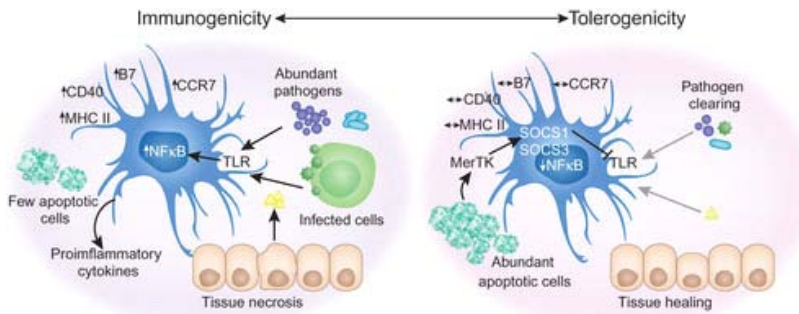


Figura 10. Estados funcionales, immunogénico o tolerogénico, de las DCs en función del contexto tisular y los componentes moleculares en que se encuentran (Mueller 2010)

Las células T reguladoras también intervienen, modulando el estado madurativo de las DCs. Aunque se desconocen los mecanismos de interacción entre ambos tipos celulares, las Treg son capaces de disminuir la expresión de CD80 y el CD86 en las DCs (Cederbom, Hall, and Ivars 2000). Las Treg también pueden actuar a diferentes niveles para regular la respuesta inmunitaria, mediante secreción de citocinas inhibitorias como la IL-10, IL-35 o TGF β (Asseman et al. 1999; Collison et al. 2007; Nakamura, Kitani, and Strober 2001), supresión de la citolisis (Grossman et al. 2004) o inhibición de la proliferación celular mediante el “consumo” de la IL-2 (Thornton and Shevach 1998).

iii. El bazo como modelo de órgano linfoide secundario.

La probabilidad de interacción entre un TCR y un complejo pMHC-II es extremadamente bajo debido a que la frecuencia de células T *naive* que reconozcan un determinado antígeno es del rango de $1:10^5$ – 10^6 . La acumulación de linfocitos y la concentración de antígeno en los órganos linfoideos secundarios (OLS) aumentan considerablemente esta probabilidad, permitiendo el desarrollo de la respuesta adaptativa. Existen dos tipos de órganos linfoideos secundarios: los encapsulados (ganglios linfáticos y bazo), asociados a la circulación linfática y sanguínea, y los no encapsulados, asociados a mucosas (MALT *Mucosa Associated Lymphoid Tissues*).

El bazo es el mayor OLS especializado en la respuesta a antígenos presentes en la circulación sanguínea. Está formado, anatómica y funcionalmente, por dos compartimentos, la pulpa roja y la pulpa blanca. La pulpa roja contiene eritrocitos dañados o viejos, células estromales, macrófagos, un número variable de células plasmáticas (Manz et al. 2002) y NK (Salazar-Mather, Ishikawa, and Biron 1996). La pulpa blanca es la región linfoide del órgano con distribuciones de zonas ricas en células B y T y regiones adyacentes. Las regiones B se encuentran diseminadas formando folículos compuestos por un complejo entramado de células foliculares dendríticas (FDC), células B del centro germinal, células T CD4 $^{+}$ y macrófagos. Las zonas ricas en células T se sitúan rodeando las arteriolas formando el PALS (vainas linfoideas periarteriales). El PALS en humanos es discontinuo y está presente a lo largo de las arteriolas de mayor tamaño. Está compuesto por linfocitos T CD4 $^{+}$, CD8 $^{+}$ y DCs. Una vez que se ramifican las arteriolas en

vasos de menor tamaño, la envoltura de células T desaparece, permitiendo el contacto directo entre vasos sanguíneos y folículo (Steiniger et al. 1997).

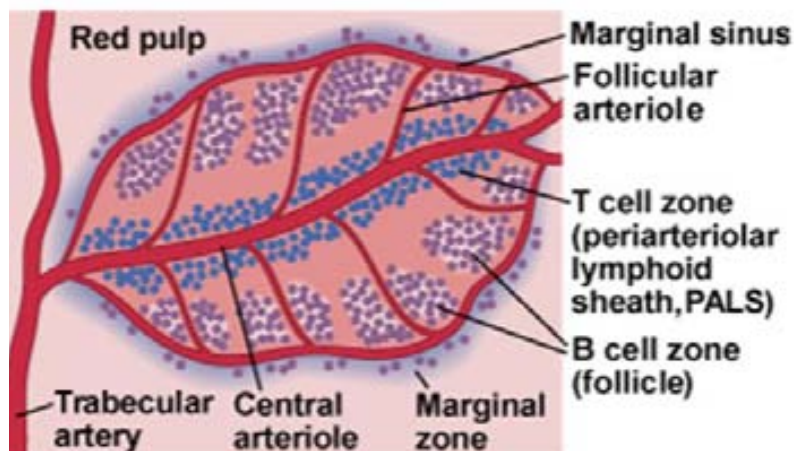


Figura 10. Diagrama de la distribución de las diferentes regiones que componen el bazo.

Los folículos de la pulpa blanca en humanos están localizados en una extensión similar al área de células T, rodeados por la zona marginal. La composición celular de la zona marginal es variada y contiene macrófagos de la zona marginal, macrófagos metalofílicos CD169⁺, subgrupos de DCs y un denso entramado de células estromales (Meibius and Kraal 2005). Además, encontramos una subpoblación de células B con un fenotipo B característico de la zona marginal ($\text{IgM}^+ \text{IgD}^-$) capaces de recoger antígenos particulados.

En humanos, las DCs convencionales son más frecuentes que las DCs plasmacitoides. La frecuencia de cDCs y pDCs en bazo es mayor que en sangre: 1% y 0,1%, respectivamente (Velásquez-Lopera, Correa, and García 2008; Lindstedt, Lundberg, and Borrebaeck 2005; Wilson et al. 2003). En la zona subcapsular y en el PALS se encuentran células mieloides CD11c⁺ (cDCs, monocitos y macrófagos) capaces de penetrar los folículos hasta el interior.

Los antígenos, partículas y patógenos que entran en el bazo procedentes de la sangre son captados principalmente por las células fagocíticas y las células B de la zona marginal las cuales pueden migrar hacia el interior de la pulpa blanca donde suministrarán o presentarán antígeno a las células B y T respectivamente (Meibius and Kraal 2005; Cinamon et al. 2008). La baja frecuencia de marcadores de maduración de las DCs (CD83) tanto en el PALS como en la zona subcapsular, sugiere que la presentación antigénica se produce en condiciones que favorecen el mantenimiento de la tolerancia (Velásquez-Lopera, Correa, and García 2008). En ausencia de infección en órganos de donantes, aumenta el número de estas células, lo que sugiere que algunos traumas pueden inducir la maduración y migración de DCs maduras de la sangre hasta el bazo (Rossi and Young 2005).

iv. Ruptura de la tolerancia

El fracaso de la tolerancia inmunológica permite respuestas inmunitarias contra antígenos propios, lo que provoca reacciones de autoinmunidad. Sin embargo, la presencia de células autorreactivas en sangre periférica es fisiológica ya que están controladas por todos los mecanismos de regulación antes mencionados, incluyendo las Tregs. Por lo tanto el timo está involucrado no sólo en la eliminación de células autorreactivas, sino en la generación de células capaces de mantener la tolerancia a nivel periférico.

Las enfermedades autoinmunes se caracterizan por la presencia en el suero de autoanticuerpos reactivos frente a proteínas autólogas y la presencia de infiltrados linfocitarios crónicos en los tejidos afectados. Estas enfermedades son multifactoriales, con componentes genéticos asociados a la susceptibilidad. Uno de estos factores es el MHC. Existe una asociación muy importante entre la expresión de determinados alelos de HLA y algunas enfermedades (Gebe, Swanson, and Kwok 2002). Otros factores como el sexo, factores hormonales y factores ambientales también influyen en la predisposición a la enfermedad. Ejemplos de estas alteraciones podrían ser una selección anormal del repertorio de linfocitos, una activación policlonal de linfocitos autorreactivos o la estimulación de la respuesta inmune por antígenos extraños que generan reactividad cruzada con anticuerpos. Varios mecanismos tratan de explicar el motivo del escape de células T autorreactivas del timo. Una de ellas es la pérdida de la expresión de antígenos periféricos en el timo (p.e. APECED) o la expresión en timo de variantes de proteínas propias que no contendrían el epítopo relevante en la autoinmunidad (L Klein et al. 2000). Otros mecanismos correlacionan las afinidades del TCR o el complejo pMHC con la tolerancia a un determinado epítopo. Un fallo de la selección negativa podría ser debido a la reducción de afinidad del TCR por ligandos pMHC propios, impidiendo la apoptosis, o a que uniones débiles entre péptidos y MHC podrían desestabilizar la unión del complejo pMHC al TCR (Anderton et al. 2001).

A nivel periférico puede haber diversas formas de ruptura de la tolerancia. La reducción de la funcionalidad o deficiencias en el repertorio de Tregs podría permitir la activación de células T autorreactivas en periferia. Por otra parte, una respuesta inflamatoria en el órgano diana puede permitir el reclutamiento extensivo de células T hacia el tejido. La liberación de citocinas inflamatorias *in situ* induce el aumento de la expresión de HLA de clase I y la expresión ectópica de HLA de clase II en las células del tejido. El papel de estas moléculas en el tejido afectado por autoinmunidad es aún desconocido, pero se cree que podrían conferir capacidad presentadora a las células epiteliales del órgano diana de la respuesta autoinmune. La expresión del HLA-II por parte de estas células puede intervenir como factor inductor o regulador de respuestas autoinmunitarias en el tejido (Hanafusa et al. 1983). Las APCs presentes en los tejido periférico podrían estar generando un repertorio de péptidos diferente al mostrado en el timo durante la tolerancia central por modificaciones del microambiente o variaciones post-traduccionales (Abu-Shakra et al. 2001).

En este trabajo queremos profundizar en el papel de los péptidos presentados por HLA de clase II en la periferia (órganos linfoides) y en el timo, y determinar el grado de semejanza de los repertorios peptídicos presentados en timo y en un OLS. Para ello, hemos utilizado herramientas proteómicas de espectrometría de masas de alta resolución.

III. Espectrometría de masas de péptidos y proteínas

La espectrometría de masas (MS) es una tecnología que permite producir iones en fase gaseosa a partir de moléculas orgánicas o inorgánicas, clasificarlos en función de su relación masa-carga (m/z) y medir su intensidad. Mediante esta técnica puede determinarse el peso molecular y la abundancia de los componentes de una mezcla. Los iones analizados pueden corresponder a moléculas enteras, aductos o fragmentos de moléculas. El análisis de fragmentos iónicos formados a partir de una determinada molécula provee, además, de información sobre la estructura química de ésta. Hoy en día, la MS se ha convertido en una de las herramientas más potentes para la caracterización de péptidos y proteínas implicados en este u otros procesos celulares.

Un espectrómetro de masas está formado por tres partes: la fuente de iones, el analizador y el detector. Las muestras a analizar son introducidas en la fuente de iones donde los componentes de la muestra son convertidos en iones en fase gaseosa. Estos iones son transferidos al analizador donde son acelerados y separados según su relación m/z utilizando diferentes principios físicos según el tipo de analizador.

El espectrómetro de masas de alta resolución utilizado en este trabajo fue un sistema de alta resolución LTQ-Orbitrap. Este sistema combina una fuente de microelectroespray (ESI) junto con un espectrómetro de masas de trampa iónica acoplado a un analizador de masas Orbitrap y es capaz de determinar la masa parental del ión precursor con una alta precisión y resolución, aumentando el rendimiento de secuenciación respecto equipos de espectrometría anteriores.

i. Electroespray

La fuente de ionización ESI (Aleksandrov 1985; Fenn 1989; Whitehouse 1985; Yamashita 1984), desarrollada a finales de los años 80 (Fenn 1989; Karas 1988), permite la nebulización de la muestra a la salida de un tubo capilar por la acción de un fuerte campo eléctrico a presión y temperatura ambiental, el cual es capaz de generar iones a partir de analitos no volátiles y de elevado peso molecular, como son los péptidos y proteínas (Figura 10). Este tipo de ionización es extremadamente suave, lo que produce no solo iones de la molécula intacta (sin una fragmentación significativa incluso cuando ésta contiene enlaces lábiles) sino también de complejos formados a través de interacciones no covalentes (Farmer 1998). Además, la formación de iones múltiplemente cargados de los péptidos en la ionización por ESI permite su detección y fragmentación en aparatos convencionales (analizadores de baja energía y con rangos de masa limitados) y da lugar a patrones de fragmentación fácilmente interpretables.

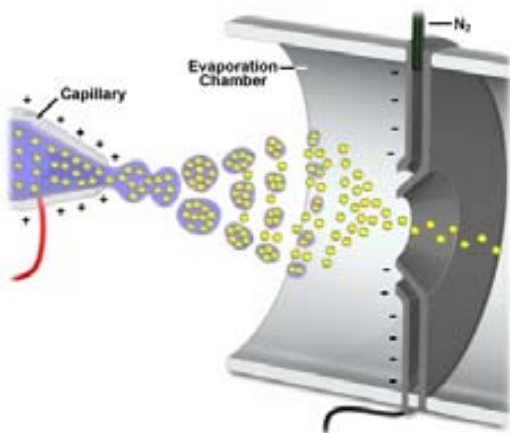


Figura 10. Ionización por electroespray. http://www.magnet.fsu.edu/education/tutorials/tools/ionization_esi.html.

La ionización por ESI produce frecuentemente iones multicargados. El grado de carga de un determinado ión depende de su estructura (presencia de grupos básicos o ácidos) y del disolvente utilizado. En el caso de un péptido o proteína el número de cargas de cada ión está directamente relacionado con el número de residuos básicos de la molécula (Arg, Lis, His, Pro y el amino terminal). Dado que al aumentar el tamaño de un péptido aumentan también el número de residuos capaces de adquirir carga, la relación masa-carga de los iones producidos a partir de péptidos y proteínas con importantes diferencias de tamaño suelen encontrarse siempre en el rango de 700 a 2000 de forma prácticamente independiente de la masa.

ii. Trampa iónica

A la salida de la fuente de iones, se tiene una mezcla de diversos iones que deben ser separados para detectarlos de forma individual mediante un analizador. Las fuentes de electrospray se pueden combinar con diferentes analizadores de masa.

Los analizadores de trampa iónica están basados en la utilización de una zona de confinamiento electromagnético generada por medio de dos señales de radiofrecuencia. El analizador de trampa de iones (Figura 11) está formado por tres electrodos de superficie hiperbólica; de ellos, el electrodo central es anular, mientras que los electrodos superior e inferior forman el cierre de los extremos del anillo. Los tres electrodos forman una cavidad en la que se producen la ionización, la fragmentación y el análisis de masas.

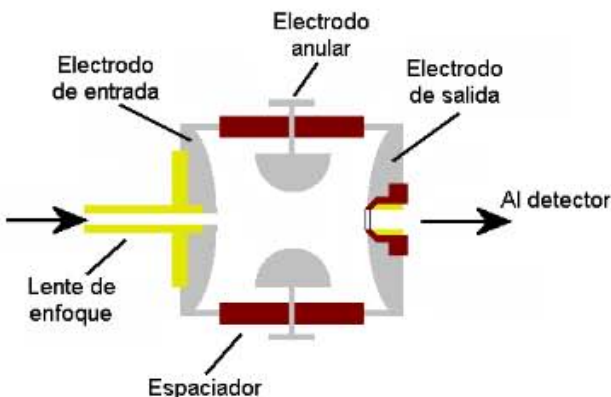


Figura 11. Esquema de un analizador de trampa de iones.

El análisis por MS mediante las técnicas descritas anteriormente, provee de información molecular muy precisa sobre los péptidos o proteínas analizadas, si bien la información sobre su secuencia es muy limitada o nula. Para obtener este tipo de información debe recurrirse a la espectrometría de masas en tandem o MS/MS. Mediante esta técnica un ión generado en la fuente de ionización es aislado (ión precursor) y sometido a procesos que producen su fragmentación.

Las trampas iónicas producen la fragmentación mediante colisiones de baja energía que sólo son capaces de romper los enlaces más débiles de la cadena lineal del péptido.

iii. Fragmentación peptídica MS/MS

Los péptidos pueden fragmentarse por cualquiera de los enlaces de la cadena lineal generando fragmentos de diferentes tipos. Pueden formarse asimismo fragmentos iónicos derivados de la rotura de dos enlaces denominados fragmentos internos. Los más frecuentes son los iones imonio, que contienen un solo aminoácido. Estos iones se indican con la letra que identifica al aminoácido correspondiente.

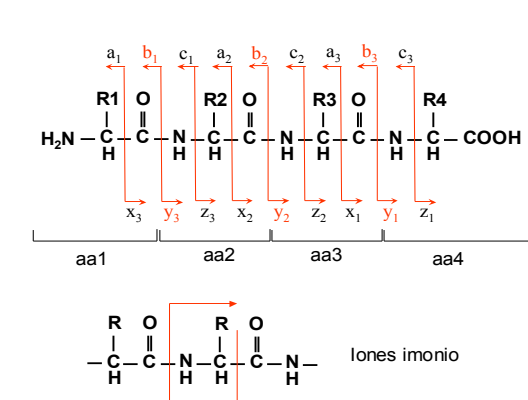


Figura 12: Esquema de fragmentación de péptidos mediante MS/MS con colisiones de baja energía (cedida por la Dr. Carrascal).

Los fragmentos que contienen dos o más aminoácidos internos son menos abundantes y se indican con la serie de caracteres que identifican la secuencia aminoacídica. Las series de fragmentos de tipo a, b y c

contienen el extremo amino terminal mientras que las de tipo x, y, y z contienen el carboxilo terminal (Roepstorff 1984) (Figura 12).

Las mejoras del equipo permiten realizar estudios de mezclas altamente heterogéneas aumentando la capacidad de detección y secuenciación de componentes presentes de forma minoritaria en la muestra. Además, el aumento en la sensibilidad de detección de la masa parental así como de la masa de los iones derivados de la fragmentación por MS/MS, agiliza y mejora los procesos de identificación de los espectros. Aun así, las mejoras en la capacidad de detección de componentes minoritarios implica también el incremento de la posibilidad de secuenciar componentes contaminantes que existan dentro de la muestra. Por ello, y con la intención de reducir al máximo la presencia de estos contaminantes se realizaron varios puntos de análisis y control durante todo el proceso.

iv. Orbitrap

La tecnología Orbitrap, ideada por el Dr. Makarov (Hu et al. 2005), se basa en la utilización de un electrodo exterior con forma de barril y un electrodo interior coaxial que forman un campo electrostático. Los iones, procedentes de la trampa iónica en el caso de sistemas como el LTQ-Orbitrap, son capturados mediante atracciones electroestáticas generando un vuelo sinoidal alrededor del eje central. Su frecuencia es calculada a partir de la transformada de Fourier y posteriormente se calcula su masa con una alta precisión.

El LTQ-Orbitrap nos ha permitido una mayor monitorización del proceso de selección y fragmentación de los componentes existentes en la muestra. Conociendo ciertas características de los contaminantes mayoritarios (p.e. masa del ion parental) hemos introducido criterios de exclusión en el modo de barrido del Orbitrap. Aun a riesgo de perder información de algunas secuencias peptídicas procedentes de ligandos de clase II, la exclusión de la fragmentación de contaminantes aumenta el rendimiento de secuenciación del pool peptídico.

Los criterios de exclusión utilizados en los modos de barrido del Orbitrap fueron:

- 1) Secuenciar únicamente iones que presentaran carga superior o igual +2. En ligandos largos de clase II es infrecuente encontrar péptidos monocargados debido a la alta probabilidad de tener un residuo básico en su secuencia. Las moléculas cargadas +1 suelen ser polímeros derivados de los plásticos presentes en los recipientes utilizados para el previo procesamiento de la muestra o el propio detergente utilizado para la solubilización de los complejos pMHC.
- 2) El sistema informático permite generar ventanas de exclusión dinámica. Estas ventanas consisten en poner limitaciones de fragmentación de una masa durante un periodo de tiempo determinado; una masa parental aparece intensamente en uno de los espectros de barrido completo se fragmentará para determinar su secuencia aminoacídica, pero si vuelve a aparecer

la misma masa en los siguientes full MS, se descarta fragmentación. Las ventanas de tiempo utilizadas fueron de 45 seg.

- 3) Generar un listado de exclusión de masas. Dentro de software de utilización del sistema LTQ-Orbitrap se pueden asignar una colección de masas para evitar su fragmentación. Esto es útil en caso de contaminantes conocidos, p.e. péptidos procedentes de las mezclas peptídicas utilizadas para calibrar las columnas cromatográficas del HPLC.

IV. Antecedentes

A finales de los 80, diferentes estudios sugerían la generación de un repertorio peptídico, presentado por las moléculas de MHC durante la selección positiva, distinto al repertorio en periferia (Marrack et al. 1993; Kourilsky and Claverie 1989). El estudio de las proteasas involucradas en la degradación proteica ha revelado diferencias en catepsinas y serin-proteasas en las cTECs respecto a otras APCs hematopoiéticas o a las mTECs. Las cTECs expresan preferentemente la catepsina L (codificada por Ctsl) (catepsina V o L2 en humanos). La inactivación de este gen da como resultado una reducción del 60-80% de las células CD4 SP en el timo y una modificación del repertorio de ligandos asociados al MHC (Honey et al. 2002). Además, estudios génicos revelan la expresión de una serin-proteasa específica de timo (TSSP; codificada por Prss16) en las cTECs (Carrier et al. 1999; Bowlus et al. 1999). Los altos niveles de macroautofagia en las TECs (Münz 2009; Mizushima et al. 2004) y la presencia específica del timoproteasoma en las cTECs (Murata et al. 2007) corroboran la hipótesis de la generación de ligandos MHC diferentes a los que puedan presentarse a nivel periférico.

En periferia, la presentación antigénica MHC-II se centra en los órganos linfoides secundarios. Aun así, durante la década de los 80 se publicaron diversos trabajos donde se demostraba una expresión ectópica de las moléculas de clase II en condiciones inflamatorias (Hanafusa et al. 1983),(Lucas-Martin et al. 1988) en células epiteliales endocrinas. Trabajos previos de nuestro grupo demostraron la presencia estable de moléculas de MHC-II en la superficie de células tiroideas, lo que daría lugar a la presentación de péptidos autólogos para su reconocimiento por linfocitos T CD4⁺ infiltrantes (Catálfamo et al. 1999). Estas células especializadas en la secreción hormonal, con expresión diferencial de proteasas, podrían presentar diferencias en la generación de péptidos para su presentación vía clase II respecto líneas linfoblastoides con idéntico tipaje para HLA-DR (Muntasell et al. 2002). La mayor o menor expresión de las principales chaperonas de la vía de clase II, HLA-DM y la cadena invariante (li) también afectan al repertorio (Muntasell et al. 2004).

Estas evidencias sugieren la existencia de diferencias entre el repertorio peptídico presentado en el timo respecto al que podemos encontrar en periferia, pero sólo se podrá comprobar mediante la secuenciación de los ligandos de MHC en los órganos linfoides primarios y secundarios.

En 1993, Marrack et al. publicaron un estudio comparativo del repertorio peptídico asociado a clase II entre timos y bazos de ratón. Debido a las limitaciones de las técnicas de secuenciación peptídica de la época, únicamente secuenciaron 16 ligandos para I-A^k e I-E^k, la mayoría de los cuales se encontraban tanto en las APCs tímicas como en las esplénicas (Marrack et al. 1993).

La aparición de nuevas tecnologías de espectrometría de masas, avances en el procesamiento de la muestra, herramientas computacionales predictivas y la generación de bases de datos proteicas para el análisis de los espectros resultantes de la secuenciación han permitido estudios de secuenciación masiva de ligandos naturales de MHC. Los trabajos más recientes sobre tejido humano, centrados principalmente en autoinmunidad (Oshitani et al. 2003; Dengjel et al. 2006; Fissolo et al. 2009; Muixí et al. 2008), han generado una cantidad creciente de información.

Con las tecnologías actuales, nuestro propósito fue abordar de nuevo el estudio del repertorio peptídico asociado a MHC-II (HLA-DR), en tejido linfoide primario y secundario de origen humano y no afectado por autoinmunidad con objeto de identificar diferencias entre los repertorios de péptidos generadores de tolerancia y aquellos que la mantienen.

Hipótesis: para la generación eficiente de tolerancia central, los repertorios de péptidos presentados por MHC en el timo debería reflejar el total del proteoma del organismo. Por lo tanto, la transcripción de antígenos periféricos en timo debería corresponder con la presentación de péptidos de estos antígenos. Diferencias cuantitativas o cualitativas entre los péptidos presentados en el timo y en la periferia pueden constituir un factor desencadenante de autoinmunidad. Por tanto, para mantener la tolerancia, los péptidos más abundantes a nivel periférico deberían encontrarse también en el timo.

Objetivo General: estudio de los repertorios de péptidos que se asocian a HLA-DR en tejido humano y su relación con la tolerancia inmunológica y su mantenimiento

Objetivos específicos:

1. Desarrollo de un método de asignación de péptidos a alelos de HLA-DR basado en herramientas bioinformáticas
2. Análisis de los ligandos de HLA-DR en tejido linfoide secundario humano
3. Análisis de los ligandos de HLA-DR en timo humano
4. Estudio comparativo entre los repertorios peptídicos de timo y bazo en condiciones homeostáticas
5. Análisis de los péptidos involucrados en la inducción de tolerancia: estudio de péptidos procedentes de proteínas específicas de tejido periférico en muestras de timo humano

Materiales y métodos

M.1. Muestras de tejido y células

Las muestras de timo fueron obtenidas por el personal médico del Hospital de la Vall d'Hebron de pacientes pediátricos con patologías cardíacas. Las muestras fueron cedidas, con consentimiento explícito por parte de los padres, al Laboratori d'Immunobiologia per a la Recerca i les Aplicacions Diagnòstiques (LIRAD). Las muestras de bazo se obtuvieron de cadáveres de donantes y se extrajeron utilizando los protocolos aprobados por el comité ético del servicio de trasplantes de la Corporació Sanitària Clínic.). Las muestras se depositaron en frasco estéril con medio RPMI (*Sigma-Aldrich*) y se conservaron en hielo hasta su procesamiento. El tejido se cortó con bisturí en bloques de aproximadamente 0,5-1 cm³ y éstos se sumergieron directamente en nitrógeno líquido durante 5 min y se almacenaron a -80°C.

La línea linfoblastoide BM21, homocigota para HLA-DR11 (DRA*01:01, DRB1*11:01), procede del banco de células IHW (<http://www.ihwg.org/>, #9043). Las células se crecieron en botellas de cultivo en medio RPMI (*Sigma-Aldrich*, St. Louis, MO) suplementado con 10% de suero fetal bovino (FBS) (*Invitrogen*, Carlsbad, CA). Las células se centrifugaron a 500x g durante 5 min. El *pellet* se resuspendió y se realizaron dos lavados con PBS frío. Las células se almacenaron a -80°C.

Las mTECs se purificaron en el laboratorio del Dr. Kyewski según el protocolo descrito previamente (Klein et al. en 2000).

M.2. Extracción de DNA genómico (DNAg)

Se partió de las células restantes del procesamiento de los tejidos (ver apartado M.1.1). Se centrifugó 10 min a 380x g. El precipitado celular se resuspendió en 2 ml de solución de lisis (NaCl 100mM, Tris Cl 100mM pH8, EDTA 25mM pH8, SDS 0,5%, proteinasa K 0,1mg/ml) y se incubó a 37°C O/N o bien 3 horas a 50°C. Se dejó atemperar a 22 °C, se añadió un volumen de fenol equilibrado pH 8 (USB Corporation) con 0,1 % de 8-Hidroxiquinolina y se agitó suavemente por inversión durante 5 min hasta la formación de una emulsión. Tras centrifugar a 490x g durante 10 min a temperatura ambiente, se recogió la fase acuosa y se hizo un lavado del gDNA añadiendo un volumen de fenol:cloroformo:isoamilalcohol (25:24:1). Se agitó el tubo por inversión durante 5 min y se centrifugó durante 10 min a 490 x g a temperatura ambiente. Se recogió el sobrenadante. Los restos de se eliminaron añadiendo un volumen de cloroformo:isoamilalcohol (24:1). Se mezcló y centrifugó en las mismas condiciones anteriores. El sobrenadante se recogió y se precipitó el DNA genómico añadiendo acetato sódico 3M (10% del volumen de la fase acuosa) y un volumen de isopropanol. Se mezcló suavemente hasta la aparición de una red blanca de DNA que se transfirió a un tubo nuevo, se centrifugó a 16000 x g a 4°C y el precipitado se lavó dos veces con 70% etanol a -20°C, dejándose secar

a temperatura ambiente. Al final, la muestra fue resuspendida en agua milliQ y se determinó su concentración y pureza mediante la lectura de las absorbancia a 260 nm y 280 nm.

El tipaje de HLA de alta resolución se realizó en el Hospital Germans Trias i Pujol mediante la secuenciación del exón 2 (Kotsch, Wehling, and Blasczyk 1999).

M.3. Inmunofluorescencia

M.3.1. timo

Las muestras de timo se ultracongelaron, se recubrieron con OCT (*optimal-cutting-temperature*) y se realizaron secciones de 5 μm de grosor en el criostato. Para la tinción de las secciones, se descongelaron durante 30 min a temperatura ambiente y se fijaron con FACS-lysing solution 1:10 (BD, San Jose, CA) durante 30 min. Seguidamente, se lavaron con tampón fosfato salino (PBS) y se bloquearon con 2% de suero humano en PBS durante 15 min. Se volvieron a lavar y se incubaron durante 1 hora con Alexa Fluor® 488-anti-Citoqueratina (clon C-11, dilución 1/40, Pan-reactive, Exbio, Praga, Republica Checa), Alexa Fluor® 488-anti-CD19 (clon 6D5, sin diluir, BioLegend, San Diego, CA) o FITC-anti-CD209 (clon 9E9A8, dilución 1/4, BioLegend, San Diego, CA). Las secciones se lavaron e incubaron con Alexa Fluor® 647-anti-HLA-DR (clon L243, dilución 1/16, BioLegend, San Diego, CA) durante 45 min. Se lavó de nuevo y se tiñeron los núcleos celulares incubando con 4',6-diamidino-2-phenylindol (DAPI) (dilución 1/1000, Thermo scientific, Rockford, IL, USA) durante 20 min. Después de lavar las muestras, se montaron las secciones con medio de montaje estándar de glicerol (Fluoprep; Biomérieux, Marcy l'Etoile, Francia). Los anticuerpos para el marcaje y el DAPI se diluyeron en PBS. Las secciones se colocaron en una cámara húmeda y se mantuvieron en condiciones de oscuridad y temperatura ambiente para llevar a cabo la tinción. Las tinciones se visualizaron utilizando el microscopio confocal Leica TCS SP2 AOBS usando láseres de 405nm, 488nm y 635nm para la excitación de los fluorocromos correspondientes (Guix *et al.* 2010). Para los controles negativos, se reemplazó cada uno de los anticuerpos específicos con anticuerpos del mismo isotipo marcados con el mismo fluorocromo. La captación de las imágenes se realizó con un microscopio confocal Zeiss LSM 700 (Carl Zeiss; Oberkochen, Germany) con cuatro líneas de láser (405 nm, 488 nm, 555 nm, 639 nm).

Para el análisis de intensidad de HLA-DR en las tinciones de timo, se analizaron un total de 80 áreas (40 áreas de córtex y 40 de médula) procedentes de 8 secciones de un mismo timo. Para cada sección se analizaron 5 áreas de córtex y 5 de médula manteniendo constante el tamaño del área. La intensidad media de fluorescencia del Alexa Fluor® 647-anti-HLA-DR se calculó usando el MetaMorph software package (Universal Imaging Corporation, Downingtown, PA).

M.3.2. bazo

Se siguió el mismo procedimiento que para el timo, con algunas variaciones. El bloqueo y la dilución de anticuerpos se realizó con 2% de albúmina sérica bovina en PBS. A continuación se indican los anticuerpos primarios usados: Alexa Fluor® 647-anti-HLA-DR (clon L243, dilución 1/6, BioLegend, San Diego, CA), Alexa Fluor® 488-anti-CD19 (clon HIB19, dilución 1/6, BD Pharmingen, CA), FITC-anti-CD209 (clon 9E9A8, dilución 1/4, BioLegend, San Diego, CA), Alexa Fluor® 488-anti-CD3 (clon UCYT1, dilución 1/6, BD Pharmingen, CA).

M.4. Crecimiento de hibridomas y purificación de anticuerpos

Para la obtención de anticuerpo anti-HLA-DR se utilizó el hibridoma B8.11.2 cedido por Dr. F. Koning (Leiden University, Holanda) (Serradell et al. 1999). El hibridoma B8.11.2 produce un anticuerpo monoclonal que reconoce un epítopo monomórfico específico de HLA-DR, común para todos los alelos de HLA-DR pero que no reconoce otros isotipos de HLA de clase II. El cultivo se realizó en *roller flasks*, utilizando medio RPMI suplementado con L-glutamina y FBS al 10%, a 37°C, 5% CO₂, 3 rpm.

Se centrifugaron las células a 1500x g, a 4°C durante 10 min y se recogió el sobrenadante, que se filtró con el sistema Sterifil aseptic system (Millipore) usando filtros de 0,45 µm de diámetro de poro. Las inmunoglobulinas contenidas en el sobrenadante filtrado, se purificaron por cromatografía de afinidad, en columna de sefarosa acoplada a proteína A tal como indica el fabricante (GE, Healthcare, Suecia). El anticuerpo fue eluido de la columna con ácido cítrico 0,1M a pH 2,7, obteniéndose fracciones de 1 ml aproximadamente. El pH se neutralizó con Tris 1M a pH 8.

Se determinó la presencia de proteínas mediante la técnica de Bradford (ver sección M.5). Todas las fracciones que contenían proteínas se juntaron en una única muestra. La muestra se dializó en una membrana de diálisis (Medicell Internacional) frente a tampón de diálisis (bicarbonato sódico 0,1M, NaCl 0,5M). Se realizaron cuatro cambios de 500 ml de tampón cada cuatro horas. El material obtenido se congeló a -20°C hasta su uso.

M.5. Citometría de flujo. Marcaje superficial de HLA-DR

Células linfoblastoides en suspensión se lavaron en 10 ml de DMEM con 10% de FBS y se centrifugaron a 480x g durante 5 min a 4°C. Se repartieron entre 300.000 y 500.000 células por pocillo en una placa de 96 pocillos y se lavaron dos veces con PBS frío. Las células se incubaron con 50 µl de sobrenadante del anticuerpo B8.11.2 anti-DR como control positivo, 50 µl de PBS como control negativo y diluciones seriadas del anticuerpo purificado en PBS para su titulación. Se incubó 30 min a 4°C y se realizaron dos lavados con PBS frío. Se resuspendieron los precipitados celulares con el anticuerpo secundario (FITC goat anti-mouse Ig (H+L), Invitrogen) y se incubaron a 4°C durante 20 min en

oscuridad. Después de dos lavados con PBS, se analizaron por citometría de flujo en un citómetro FACSCalibur (Becton Dickinson) en el servicio de citometría del IBB.

M.6. Determinación de la concentración de anticuerpo

La concentración del anticuerpo se determinó mediante la técnica de Bradford. Para ello se usó el reactivo Bio-Rad protein assay (Bio-rad) y se siguieron las instrucciones del proveedor. La absorbancia se midió a 620 nm. Para determinar la concentración, las lecturas obtenidas se extrapolaron frente a una recta patrón de concentraciones conocidas de albúmina sérica bovina (BSA).

M.7. Gel de SDS-PAGE

Se realizaron geles de SDS-PAGE, según el método de Laemmli (Laemmli 1970), para determinar tanto la pureza del anticuerpo purificado como para la identificación de las cadenas α y β del MHC (Figura M.1).

Para ello, se mezclaron 5-10 μ l de muestra con el mismo volumen de tampón de carga 2X (Tris 0,125 M, glicerol 10%, SDS 4%, β -mercaptoetanol 10%, azul de bromofenol 0,002%) y la mezcla se hirvió durante 5 min. Las proteínas se separaron en un gel de poliacrilamida al 12%, a un voltaje constante de 200V. El gel se tiñó con la solución colorante (metanol 20%, 10% ácido acético, 0,1% Azul Coomassie) durante 30 min - 1h. Se lavó el gel con agua milliQ dos veces y se destiñó usando una solución decolorante (20% Metanol, 10% ácido acético) hasta la correcta visualización de las bandas.

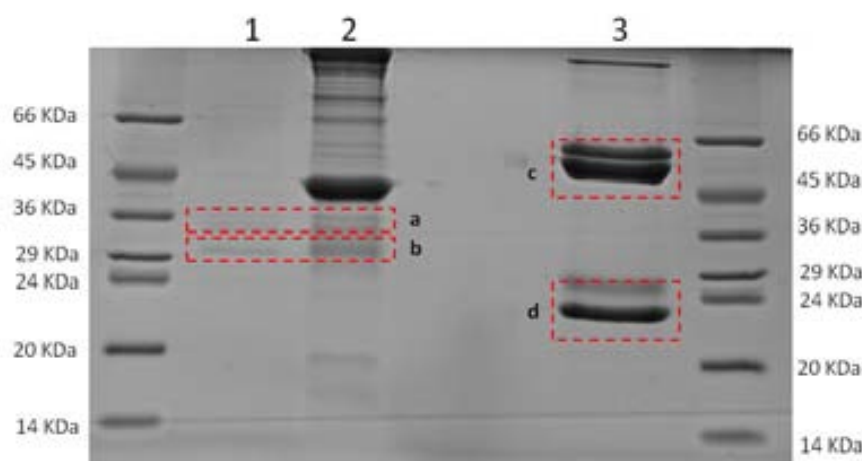


Figura M.1. Gel de SDS al 12% de acrilamida. Muestras: Carril 1. Retenido BM21. Carril 2. Retenido Bazo 4. Carril 3. Purificación B.8.11.2. a) Cadena α 35KDa de HLA-DR; b) Cadena β 33KDa de HLA-DR. c) Cadena H 50KDa del anticuerpo B.8.11.2; d) Cadena L 25KDa del anticuerpo B8.11.2.

M.8. Preparación de las precolumnas y columnas de afinidad

Para purificar las moléculas de clase II de timo y bazo se utilizaron columnas de sefarosa acopladas al anticuerpo B.8.11.2. Las columnas de afinidad se generaron mezclando de 1 a 1,5ml de sefarosa CL-4B activada (CNBr-activated sepharose TM 4B, GE) con 5mg de anticuerpo

Para activar la sefarosa y generar los ésteres de cianógeno reactivos, se resuspendió en 50ml de HCl 1mM agitando mediante vórtex para eliminar los agregados de sefarosa que se pudieran formar (*Affinity Chromatography: Principles and Applications* 2013). Se dejó en rotación durante 20 min. El volumen de bolas de sefarosas hidratadas se lavó usando filtro de vidrio (Glassfilter 3, Duran R Schott, Mainz. Alemania) con 200 ml de HCl 1mM. Evitando la desecación de la sefarosa, esta se recogió con una espátula y se resuspendió en tampón de acoplamiento (NaHCO₃ 0,1M, NaCl 0,5M, pH 8.3). A continuación se centrifugó durante 2 min a 500x g y se eliminó el sobrenadante. Se enrasó a 20 ml de tampón de acoplamiento y se dividió el volumen en dos tubos. Se centrifugó durante 2 min a 500x g y se eliminó el sobrenadante. Uno de los tubos con sefarosa se resuspendió con la solución de anticuerpo monoclonal B.8.11.2 para el acoplamiento, el resto de la sefarosa se resuspendió con igual volumen de solución tampón para generar la precolumna. Las mezclas se incubaron durante 4 horas a temperatura ambiente en rotación. Seguidamente se centrifugaron las bolas y se recogió ambos sobrenadantes para determinar su concentración proteica mediante la lectura de la absorbancia a 280nm como medida de comprobación de la unión del anticuerpo a las bolas de sefarosa.

Ambas sefarosas se resuspendieron en Tris-HCl 0,1M pH 8 y se centrifugaron 2 min a 500x g. Para bloquear los radicales activos de la sefarosa con capacidad de unión a proteína, se incubaron durante 2 horas a temperatura ambiente y en rotación con el tampón de bloqueo ambos tubos. Se lavaron las sefarosas en el filtro de vidrio alternando 30 ml de lavado pH4 (NaAc 0,1M, NaCl 0,5M, pH 4) y seguidamente, sin dejar secar la sefarosa, con el tampón de lavado pH8 (Tris-HCl 0,1M, NaCl 0,5M). Este proceso de lavado se repitió tres veces. Tanto las sefarosa acoplada al anticuerpo para la inmunopurificación como la sefarosa de precolumna se resuspendió en tampón de lavado pH8 con 0,02% de azida sódica y se guardaron a 4°C para su posterior uso.

M.9. Purificación de los complejos péptido-HLA-DR

El proceso de purificación de los péptidos asociados a HLA-DR utilizado en este trabajo se basa en metodologías ya descritas (Muixí et al. 2011; Muixí et al. 2008; Alvarez et al. 2008). Consta de un primer paso de disgregación y solubilización de los complejos pMHC, seguido de la inmunopurificación de las moléculas de HLA-DR. Los complejos se eluyen en medio ácido, lo que separa las cadenas de HLA-DR y los péptidos unidos. La purificación de los péptidos se por ultrafiltración permite obtener una mezcla peptídica compleja que, tras concentrarse en un SpeedVac, y se desala por fase reversa en columnas C18 previo al fraccionamiento de la muestra por HPLC con columnas de intercambio iónico.

La figura M.2 muestra el esquema del protocolo utilizado para la purificación y aislamiento de los péptidos.

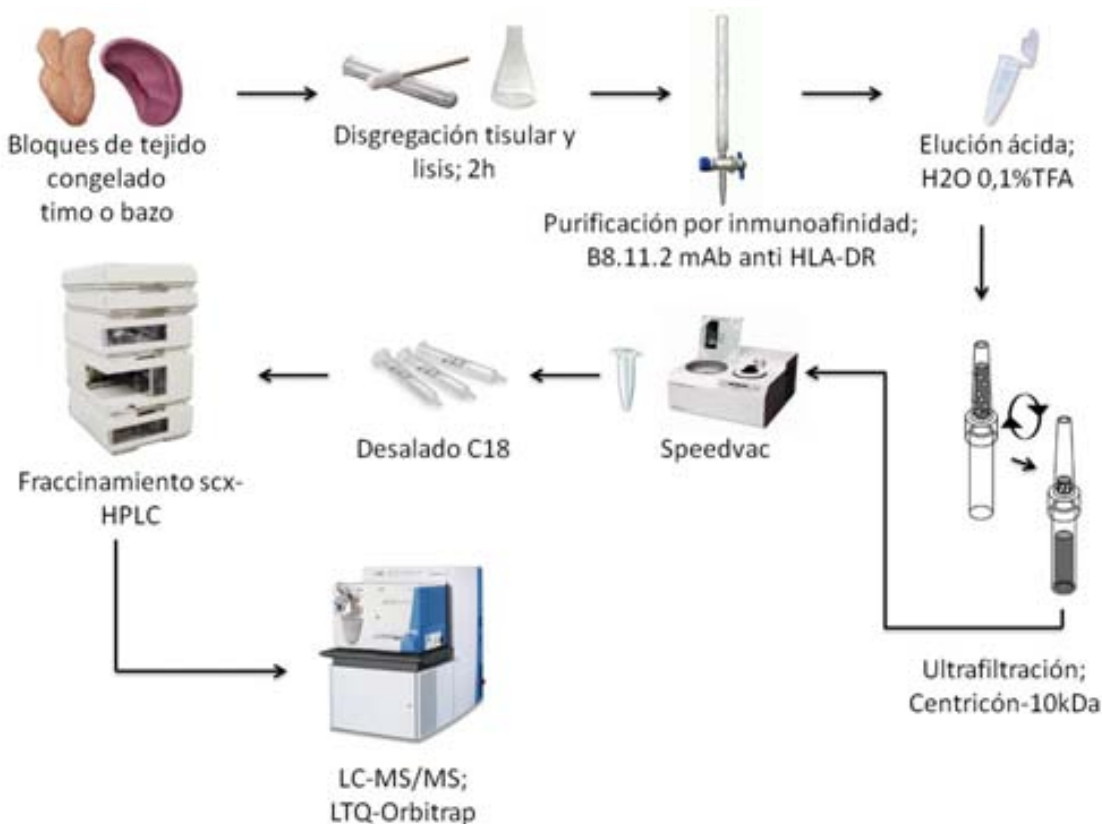


Figura M.2. Esquema del procesamiento de la purificación y análisis de los péptidos asociados a HLA-DR.

M.9.1. Disrupción tisular y lisis celular

Se partió de cantidades superiores a 5 gr de tejido congelado (ver sección M.1.1). Se homogeneizó en 2 ml de tampón por gramo de tejido en un homogeneizador mecánico. El tampón de homogeneización utilizado fue 50 mM Tris-HCl pH 7.6, 150 mM NaCl suplementado con inhibidores de proteasas (Complete Protease Inhibitor Cocktail, Roche Diagnostics, Basel, Switzerland). Las células se lisaron al añadir al tampón de homogeneización 0,5% Nonidet P40 (Surfact-Amps NP40). Las muestras se mantuvieron a 4 °C durante 1 hora en agitación. El lisado se centrifugó durante 15 min a 1,500x g a 4°C. El sobrenadante se ultracentrifugó durante 1 hora a 100,000x g. La muestra se mantuvo a 4°C durante todo el proceso.

M.9.2. Precolumna

La muestra se pasó a través de una precolumna de CNBr-sefarosa (ver M.8). La precolumna se equilibró realizando 3 centrifugaciones (500x g, 2 min 4°C) con 20 ml de 50mM Tris-HCl pH 7.6, 150mM NaCl, 0,5% Nonidet P40 (Surfact-Amps NP40) antes de pasar la muestra. La muestra se incubó con la precolumna durante 3h en agitación a 4°C con una relación de 1ml de matriz/5ml de lisado aproximadamente. Se centrifugó la precolumna (500x g, 2 min, 4°C) y se recogió el sobrenadante evitando llevarse bolas de sefarosa de la precolumna.

M.9.3. Inmunopurificación

Los complejos péptido-HLA-DR se purificaron mediante cromatografía de afinidad con columnas de sefarosa acopladas al anticuerpo monoclonal B.8.11.2. La muestra, una vez pasada por la precolumna, se incubó en agitación con las bolas de sefarosa a 4°C O/N. La suspensión se introdujo en una columna de polipropileno y el líquido se recuperó por gravedad. El eluido se pasó una vez más por la columna. La columna se lavó varias veces. Para el primer lavado se usaron 50 ml de tampón de lisis sin inhibidores de proteasas. El siguiente lavado se realizó con 200 ml de tampón de homogeneización, sin inhibidores ni detergente. Por último, se redujo la concentración de sales pasando 200 ml de 5 mM Tris-HCl pH 7.6 por la columna.

Los complejos MHC-péptido se eluyeron con 8 ml de 0,1% ácido trifluoroacético (TFA) y se recogieron fracciones de 1ml en tubos Eppendorf (Protein LoBind Tube 1,5 ml, Eppendorf). Se midió el pH de las fracciones obtenidas, seleccionándose para el aislamiento de los péptidos unidos a MHCII todas las fracciones ácidas y dos con carácter más básico: la última antes de detectar el cambio de pH debido a la llegada del TFA y la primera del tampón de regeneración de la columna.

M.9.4. Separación de los péptidos de las cadenas α y β del HLA-DR por ultrafiltración

Las fracciones se ultrafiltraron utilizando filtros de tamaño de poro de 10 KDa (Centricon 10,000 MWCO; Millipore Laboratories, Bedford, MA, USA) centrifugando a 5000x g a 4°C el tiempo necesario para pasar todo el volumen eluido. La eficiencia de la inmunoprecipitación y elución de la muestra se verificó mediante la visualización en un gel de SDS-PAGE al 12% de las cadenas α y β del MHC retenidas durante la ultrafiltración.

El filtrado se concentró mediante SpeedVac (Thermo Fisher Scientific, Waltham, MA). El volumen final de muestra quedó concentrado hasta aproximadamente 200 µl.

M.9.5. Desalado

Las muestras concentradas se redissolvieron en 1,3 ml de 1,5% TFA. Para el desalado se usaron cartuchos de extracción en fase sólida C18 (3 ml, 15 mg soporte, Varian, Lake Forest, USA). Todo el proceso de desalado se realizó sobre un sistema de vacío diseñado para ello.

Se equilibró la columna con 9 ml de H₂O/Acetonitrilo 1:1 y 3 ml de 0.1% TFA. Se cargó la muestra en la columna y se realizaron 2 pasos. Los lavados se realizaron con 2 ml de 0,1% TFA y 9 ml de agua MilliQ. La elución se realizó en dos pasos, añadiendo cada vez 500 μ l de 0.25%TFA en ACN/H₂O milliQ 1:1 y los eluidos se recogieron en el mismo tubo. El paso de los tampones de equilibrado, la muestra y el eluido por la columna se realizó a una baja velocidad para facilitar la interacción del péptido con la matriz de C18 con tal de reducir la pérdida de ligandos durante el proceso. Las muestras desaladas se concentraron en SpeedVac hasta un volumen aproximado de 50 μ l.

M.9.6. Fraccionamiento de las muestras

Todas las secuencias presentadas en esta tesis se fraccionaron usando cromatografía líquida de alta resolución de intercambio catiónico (scx-HPLC) a excepción de los timos 3, 4, 5 y 6, procesados por el Dr. Iñaki Álvarez. El timo 3 se fraccionó por HPLC de fase reversa (RP-HPLC), el timo 4 se fraccionó mediante cromatografía 2-D de intercambio catiónico-fase reversa acoplada a al espectrómetro de masas y la muestra de timo 5 y 6 no se fraccionaron.

M.9.7. Fraccionamiento de las mezclas peptídicas

Las mezclas peptídicas se fraccionaron por scx-HPLC. Las muestras se redissolvieron en 500 μ l de Solvente A (0.1% ácido fórmico, 30% acetonitrilo). La columna utilizada para el fraccionamiento fue 100x2.1-mm Polysulfoethyl (PolyLC inc, Columbia, USA). Se utilizó un sistema de HPLC Agilent 1100 equipado con un detector de UV con celda micro y un inyector manual con un *loop* de inyección de 500 μ l. Se trabajó a 200 μ l/min y se aplicó el gradiente indicado en la tabla M.1. (Solvente A: 0.1% ácido fórmico, 30% acetonitrilo; Solvente B: 0.1% ácido fórmico, 30% acetonitrilo y 500 nM NH₄Cl). El análisis fue monitorizado a 220-nm UV de longitud de onda. Se recogieron fracciones cada 2 min, desde el minuto 10 hasta el 80.

Tiempo (min)	%B	Flujo
0	0	0,2ml/min
10	0	0,2ml/min
60	100	0,2ml/min
80	100	0,2ml/min
82	0	0,2ml/min

Tabla M.1. Tabla del gradiente aplicado en el fraccionamiento de las muestras por scx-HPLC.

M.10. Identificación de los repertorios peptídicos asociados a HLA-DR mediante espectrometría de masas (MS)

La secuenciación peptídica se realizó por MS, utilizando trampas iónicas acopladas *on-line* a sistemas de HPLC. Los sistemas utilizados fueron dos: para las muestras de timo 1 y 2, los bazos y línea celular BM21 se usó el sistema LC- μ ESI-LTQ-Orbitrap del laboratorio del CSIC/UAB, IIBB-CSIC en la Facultad de Medicina de la UAB (Muixí et al. 2012). Para las muestras de timo 3, 4, 5 y 6 se usó un Esquire HCT *ion trap mass spectrometer* (Bruker, Billerica, MA, USA) acoplado a un sistema nano-HPLC (UltiMate; LC Packings, Amsterdam, The Netherlands) perteneciente al laboratorio de proteómica del Hospital Clínico de la Vall d'Hebrón (Alvarez et al. 2007). Estas últimas muestras de timo fueron procesadas por el Dr. Iñaki Álvarez.

Las fracciones procedentes de scx-HPLC se concentraron hasta 5 μ l, se diluyeron en 40 μ l con 1% ácido fórmico y se analizaron por cromatografía líquida acoplada en tandem a un espectrómetro de masas con fuente de electrospray (LC- μ ESI-ITMS/MS). Solo se inyectaron las fracciones comprendidas en los min 12-54 de la scx-HPLC. El resto se descartó por la baja cantidad de muestra y la elevada concentración de sales o NP-40.

El espectrómetro de masas de alta resolución utilizado fue el LTQ-Orbitrap XL (Thermo Fisher Scientific, San Jose, CA, USA) equipado con una interfase de microelectrospray de Protana (Protana A/S, Denmark). El sistema de HPLC utilizado fue un Agilent 1200 nano que incluía una bomba nano, una bomba binaria para la preconcentración, un microinyector termostatizado y una microválvula. La separación se realizó a 0,4 μ l/min, utilizando un gradiente de acetonitrilo desde 3% hasta 40% en 120 min (Solvente A: 0.1% ácido fórmico, solvente B: acetonitrilo con 0.1% ácido fórmico). El instrumento operaba en modo positivo con un voltaje de espray de 2kV. El rango de escáner para el full MS fue m/z 400-2000. El análisis de espectrometría se realizó en modo 2 kV, realizando un escaneo del barrido completo seguido por 8 espectros de fragmentación (MS/MS) para la secuenciación de las señales más abundantes. La resolución del Orbitrap se estableció a 60000 full MS. Con tal de minimizar la selección redundante de los precursores iónicos, se estableció un sistema de exclusión dinámica descartando la fragmentación si el ión precursor aparecía otra vez durante una ventana de tiempo de 45 seg. Los iones carga 1+ fueron excluidos de la secuenciación y se añadió una lista de exclusión peptídica en las que se incluyeron las masas de los péptidos utilizados para calibrar el HPLC (Figura M.3).

?

?

?

?

?

?

?

?

?

?

?

?

?

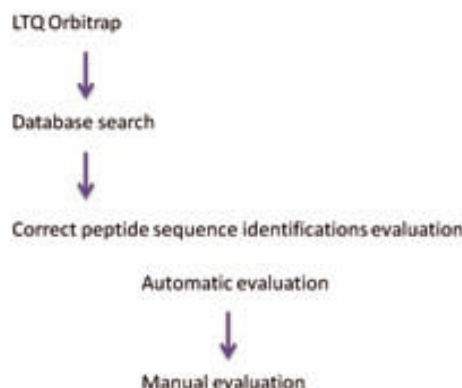
?

?

?

?

Workflow



?

?

?

?

?

?

M.11.1. Búsqueda en base de datos

Los espectros de fragmentación MS/MS se identificaron utilizando el sistema de búsqueda SEQUEST (Bioworks v3.3, ThermoFisher, San Jose, CA) contra una base de datos combinada Target/Decoy. Esta base de datos consiste en la base de proteínas humanas a la que se le adicionan las secuencias reversas de la misma base de datos. La base de datos utilizada fue la SwissProt versión 15/12 con isoformas, compuesta únicamente por proteínas validadas en Uniprot. Se utilizó la misma base de datos en todas las muestras obtenidas por espectrometría de masas de alta resolución (LTQ-Orbitrap). La estrategia Target/Decoy se basa en el principio que las identificaciones incorrectas tienen la misma probabilidad de encontrar un asignación positiva en la base de datos correcta o en la base de datos “señuelo”, mientras que los espectros fiables y con información fiable y derivada de secuencia peptídica tendrá mayor posibilidad de identificación positiva en la base de datos correcta que en la “señuelo”. Utilizando el número de identificaciones en base de datos señuelo respecto al total es posible calcular el FDR o *False Discovery Rate*.

Los parámetros de búsqueda fueron: tolerancia de la masa del precursor: 10 ppm; tolerancia del fragmento: 0,6 Da; no encimas de restricción; modificaciones dinámicas: oxidación de la metionina (+16 Da).

M.11.2. Evaluación de las secuencias

M.11.2.1. Evaluación automática

La evaluación automática de las asignaciones realizadas por el SEQUEST se realizó mediante el programa *Psearch* desarrollado en el laboratorio de proteómica CSIC/UAB (http://proteomica.uab.cat/index.php?option=com_content&view=frontpage&Itemid=1). Este programa evalúa la asignación basándose en los parámetros de correlación *Cross correlation score* (Xcorr), una medición basada en la asignación de picos observada y la esperada para cada espectro, y el valor D, un valor discriminante que se genera combinando varios de los parámetros estadísticos generados por SEQUEST y que ha demostrado ser más fiable que la utilización de estos por separado (Keller et al. 2002) (Figura M.5).

$$D = \begin{pmatrix} +8.4 * \frac{\ln(XCorr)}{\ln(\#AAs)} \\ +7.4 * \Delta Cn \\ -0.2 * \ln(rankSp) \\ -0.3 * \Delta Mass \\ -0.96 \end{pmatrix}$$

Figura M.5. Fórmula para el cálculo del valor D. Los valores de XCorr, Cn, rankSp, Mass son valores generados por el propio sistema de búsqueda SEQUEST.

Se asignaron como identificaciones correctas aquellos espectros con scores dentro del área definida como tasa de falsa asignación (*false discovery rate* (FDR)). Para ello, asignamos valores de confianza basándonos en el espectrómetro de masas utilizado. En el caso del Orbitrap utilizamos FDR con un límite restrictivo del 0,1%, es decir, existe la posibilidad de 1 de cada 1000 secuencias que pasaran el filtro sea una asignación incorrecta (Figura M.6).

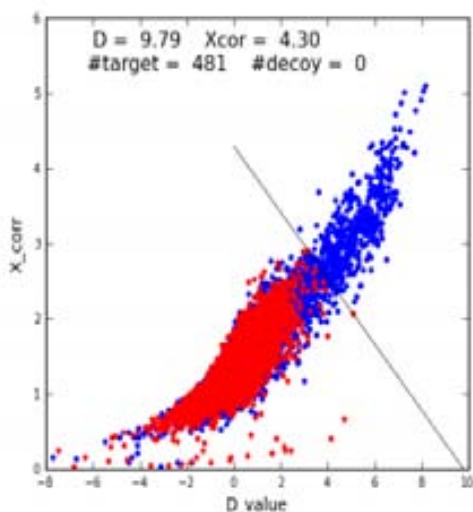


Figura M.6. Representación de las secuencias validadas por el Psearch. Los puntos azules corresponden a espectros de fragmentación asignados a una secuencia real presente en la base de datos. Los puntos rojos corresponden a asignaciones de un espectro de fragmentación a una secuencia decoy. La línea divisoria marca las secuencias que superan el 0,1% de FDR.

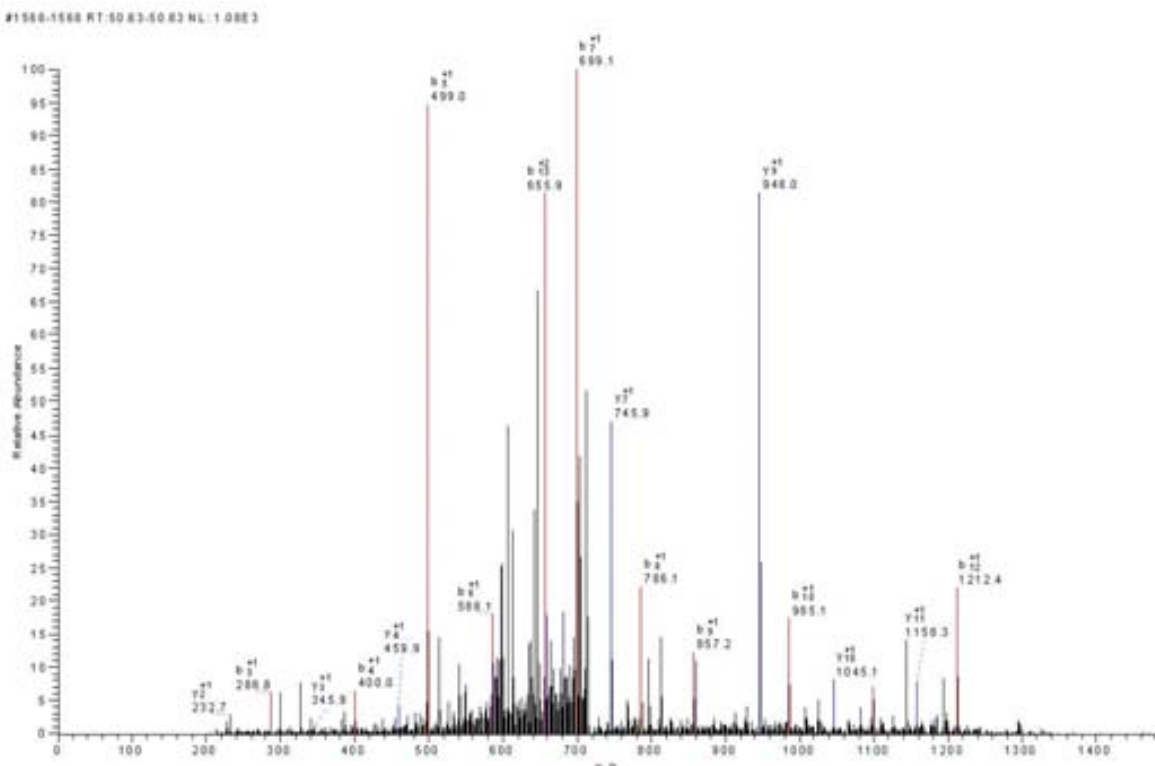
Los espectros de las muestras de timo 3, 4 y 5 se buscaron mediante el sistema de búsqueda e Mascot (Matrix Science, London UK), enfrentándola a una base de datos humana de UniProt. Los parámetros de búsqueda fueron: tolerancia de la masa del péptido: 0,8 Da; tolerancia del fragmento: 0,6 Da; no enzimas de restricción; modificaciones dinámicas: oxidación de la metionina.

M.11.2.2. Evaluación manual

Como parte de la evaluación manual, se eliminaron aquellos contaminantes procedentes del propio procesamiento de la muestra como son péptidos procedentes de piel, básicamente secuencias de queratina ricas en glicina, secuencias peptídicas procedentes de los mezclas de péptidos utilizadas para la evaluación del sistema de HPLC de fase reversa y péptidos procedentes de proteínas de unión inespecífica a sefarosa identificados en los controles.

Como sistema de control, todos los espectros únicos y, al menos uno de los espectros que formaban parte de una familia peptídica, fueron evaluados manualmente para confirmar la correcta asignación de los fragmentos iónicos. Para ello se utilizó el programa BioWorks™ (Thermo Scientific) como visor. En la

evaluación manual se comprobó la calidad del espectro así como la asignación de los iones por parte del programa informático (Figura M.7)



M.7. Imagen representativa de uno de los espectros de fragmentación obtenidos de la muestra de bazo 4. Los picos marcados en rojo corresponden a asignaciones de la serie b de fragmentación, mientras que los azules son iones asignados a la serie y. Eje de abscisas: relación masa/carga. Eje de ordenadas: Abundancia relativa del ión.

M.12. Fraccionamiento para el enriquecimiento de poblaciones tímicas (F0 y F1)

El tejido tímico se troceó en pequeños fragmentos y se lavó con PBS. Los fragmentos se resuspendieron en RPMI (Sigma-Aldrich) y se mantuvo en agitación continua a 4°C durante 25 min para su disgregación. Las células del sobrenadante se centrifugaron y se levaron dos veces con PBS frío. Esta fracción constituye la F0.

El resto de tejido tímico se recogió y se digirió con 2 mg/ml de colagenasa (tipo P, esp. act. 2.7 U/mg; Boehringer Mannheim, Mannheim, Germany), y 0,05 mg/ml DNase I (Sigma, St. Louis, MO) a 37°C en constante agitación durante 25 min. Se recogieron las células del sobrenadante y se repitió la digestión. Los pequeños fragmentos estromales que permanecieron sin digerir se lavaron con PBS. Esta fracción constituyó la F1.

M.13. Preparación del RNA y síntesis del cDNA

Tanto la preparación del cDNA y las PCR cuantitativas a tiempo real fueron realizadas por el Dr. Roger Colobrán en el laboratorio de inmunología en el Hospital Universitari Vall d'Hebron, Barcelona.

El RNA fue purificado de muestras de timo total o de fracciones usando el Maxwell® 16 Total RNA Purification Kit (Promega). La síntesis de cDNA se realizó usando *primers* Oligo(dT)20 (Invitrogen) y la M-MLV transcriptasa reversa (Invitrogen). En el estudio presentado también se utilizó 16 cDNAs procedentes del *Human MTCTM Panel I and II* (Clontech). Debido a que el cDNA procedentes de tiroides no está incluido en este panel de tejidos, se utilizó una mezcla de cDNA de 3 donantes sanos obtenidos del banco de tejidos del Hospital Germans Trias i Pujol.

M.14. PCR cuantitativa a tiempo real

La cantidad relativa de la expresión génica de los genes *GAPDH*, *CD3E*, *CD19*, *KRT14*, *AIRE*, *SEMG1*, *CNTN2*, *KLK3*, *CHRNA1* y *GAD1* se midió usando TaqMan® Gene Expression Assays (Applied Biosystems) siguiendo las instrucciones de la casa comercial y se evaluó usando la expresión de *GAPDH* como factor normalizador. Las reacciones de amplificación se realizaron en el LightCycler®480 Instrument (Roche) por triplicado y la media de los valores de CT (threshold cycle) fue utilizado para los posteriores análisis estadísticos. La desviación estándar fue siempre menor al 10% de la valor medio. La abundancia relativa de cada molécula se calculó mediante el algoritmo $2^{-\Delta CT}$ y expresado como unidades arbitrarias ($2^{-\Delta CT} \times 10.000$).

M.15. Proteínas recombinantes de HLA de clase II y ensayo de unión

Las proteínas recombinantes DRB1*01:01 y DRB1*03:01 se produjeron como describió Novak et al. en 1999. Para los ensayos de unión se incubaron concentraciones crecientes de cada uno de los péptidos no biotinilados en competición con 0,02mM del péptido biotinilado de la hemaglutinina (306-318 HA) en pocillos recubiertos de la proteína HLA-DR*01:01 o 0,01mM del péptido 137-148 de la mioglobina de cachalote en pocillos recubiertos de la proteína HLA-DR*03:01 (Ettinger and Kwok 1998). Después de lavar, los péptidos de referencia biotinilados se marcaron usando europio conjugado con streptavidina (Perkin Elmer) y cuantificados usando el *Victor2 D time resolved fluorometer* (Perkin Elmer). Las curvas de unión peptídica se calcularon mediante la regresión no lineal con el Prism software (Version 4.03, GraphPad Software Inc.) utilizando una curva sigmoidal dosis-respuesta. Los valores de IC50 se calcularon a partir de las curvas resultantes, y el valor corresponde a la concentración de péptido necesaria para inhibir la unión del péptido de referencia al 50%.

M.16. Estadística

El análisis estadístico de los datos se realizó mediante un estudio de varianza ANOVA two-way seguido de un test de Bonferroni usando el Prism software (Version 4.03, GraphPad Software Inc.).

M.17. Análisis predictivos de afinidad

El análisis de afinidad predictiva se calculó usando dos métodos bioinformáticos diferentes junto con una evaluación manual. El protocolo de asignación está descrito detalladamente en el capítulo 1.

Resultados



Capítulo 1

Establecimiento de predicciones de asignaciones a alelos de HLA-DR de péptidos, utilizando herramientas bioinformáticas

1. Predicción de unión de péptidos a alelos de HLA-DR utilizando herramientas bioinformáticas

En esta tesis se analizan los ligandos peptídicos de las moléculas de HLA-DR en diferentes tejidos. La identificación precisa de los péptidos que se pueden unir a las moléculas de MHC es relevante para el entendimiento de especificidad de la respuesta inmune adaptativa y el conocimiento de sus afinidades por los alelos de HLA-DR que los presentan es imprescindible para poderlos asignar a un alelo determinado y poder interpretar su capacidad funcional en cada tejido. La forma más concluyente de estudiar la afinidad de los péptidos por las moléculas de HLA-DR consiste en el ensayo experimental de estas interacciones. Existen varios ensayos que usan tanto células en cultivo (Schumacher et al. 1990; Ross et al. 2012; Y.-D. Wang et al. 2004) como moléculas de HLA-DR purificadas (Justesen et al. 2009; Hartman et al. 2010; Sylvester-Hvid et al. 2002). Sin embargo, estos sistemas experimentales únicamente se pueden utilizar para un número limitado de ligandos, debido al elevado coste y al tiempo requerido. Para suplir estos problemas, se han diseñado sistemas informáticos de predicción. La mayoría de estos sistemas están basados en datos experimentales y aproximaciones computacionales de algoritmos, diseñados para la predicción teórica de la unión específica a un alelo del MHC.

Debido a la falta de datos empíricos, la aplicación de métodos predictivos *in silico* aún genera algunas dudas sobre su fiabilidad. Con el objetivo de suplir las carencias de los programas bioinformáticos individuales, en esta tesis hemos desarrollado un método combinado para el análisis teórico o predictivo de la afinidad de unión de los péptidos secuenciados. El método consiste en la integración de los resultados generados por tres sistemas de predicción de afinidad péptido-MHC diferentes: dos métodos informáticos y una evaluación manual. En este primer capítulo de resultados vamos a explicar las herramientas escogidas para estos análisis, la integración de los diferentes resultados y los controles realizados para valorar el sistema de asignación predictiva.

1.1. Sistemas de asignación teórica

1.1.1. Uso de herramientas informáticas para la predicción teórica de afinidad péptido-MHC

Las dos herramientas informáticas de predicción de afinidad teórica utilizadas en este trabajo, avaladas experimentalmente (Varrin-Doyer et al. 2012; Buggert et al. 2012; Dakshinamoorthy et al. 2012), fueron escogidas por utilizar diferentes algoritmos y criterios de interacción péptido-MHC a la hora de evaluar la interacción.

1.1.1.1. Sistema basado en redes neuronales artificiales (ANN)

Como primer sistema computacional se escogió el **NetMHCIIpan**. Este programa está basado en un sistema de procesamiento no lineal con capacidad de aprendizaje del tipo ANN. El contexto MHC está definido como una pseudo-secuencia generada a partir de 21 residuos aminoacídicos polimórficos en contacto potencial con el péptido, descrito por Nielsen et al. (Nielsen et al. 2008). El *core* peptídico y los

residuos que lo flanquean se identifican para cada uno de los péptidos en el conjunto de datos utilizando el método SMM-align. El método SMM-align identifica el nonámero de puntuación máxima para cada secuencia. Para cada *core* peptídico se evalúan principalmente los residuos del nonámero con el contexto MHC, los residuos flanqueantes del péptido (PFR), el tamaño del péptido y el tamaño de los extremos N y C terminal de los PFRs, resultando en un valor final equivalente a la afinidad media (IC50). Usando este sistema, hemos considerado péptidos de alta afinidad (HB) las secuencias con valores de IC50 inferiores a 50nM y de afinidad intermedia (IB), aquellas con valores comprendidos entre 50nM y 500nM. Las secuencias con valores superiores a 500nM se consideraron de baja afinidad (LB) (Figura 1.1).

pos	HLA	peptide	Identity	Pos	Core	1-log15k(aff)	Affinity(nM)	Rank	BindLevel
0 DRB1*0101	VGGHLVIMNNPTKAQDAG	PEPLIST	4	LVIMNNPTKA	0.751	10.93	5.00	<= SB	
1 DRB1*0101	DPIIEDRHHGGYKPFDE	PEPLIST	2	IIEDRHHGGY	0.063	8263.43	50.00		
2 DRB1*0101	KPDDWDEDAPAKIIDE	PEPLIST	4	WDEDAPAKI	0.102	5645.47	50.00		
pos	HLA	peptide	Identity	Pos	Core	1-log15k(aff)	Affinity(nM)	Rank	BindLevel
0 DRB1*0301	VGGHLVIMNNPTKAQDAG	PEPLIST	5	VIMNNPTKAQ	0.433	237.54	16.00	<= WB	
1 DRB1*0301	DPIIEDRHHGGYKPFDE	PEPLIST	2	IIEDRHHGGY	0.354	498.58	32.00	<= WB	
2 DRB1*0301	KPDDWDEDAPAKIIDE	PEPLIST	4	WDEDAPAKI	0.096	5940.70	50.00		

Figura 1.1. Imagen representativa del resultado de la predicción de afinidad de péptidos secuenciados en una de las muestras de timo. Los péptidos están divididos en dos bloques, el primer bloque corresponde a la afinidad teórica para el alelo DRB1*01:01 y el segundo para DRB1*03:01. En la tabla aparecen, de izquierda a derecha, el número de la secuencia, el alelo de HLA-DR a que corresponde la búsqueda, la secuencia peptídica, la lista a la que pertenece, la posición inicial del *core* (empezando por 0), el *core* asignado por el buscador, el valor predictivo o score, que se calcula mediante la fórmula (1-log15k (aff)), la afinidad teórica en nanomolar para cada secuencia peptídica (IC50 value), el rango porcentual de la puntuación a un conjunto de 200.000 péptidos naturales al azar y el nivel de unión asignado por NetMHCIpan (SB: Strong Binder; WB: Weak Binder. SB equivale a HB y WB a IB en nuestra nomenclatura).

1.1.1.2. Sistema basado en matrices cuantitativas

La segunda aplicación informática escogida, **Propred**, está basada en sistemas de matrices PSSM. Sturniolo et al (Sturniolo et al. 1999) describieron una nueva propuesta matemática para la generación de matrices llamada *pocket profiles*. A partir de ello desarrollaron **Propred** (H. Singh and Raghava 2001), una herramienta computacional de predicción de ligandos de HLA. Este sistema se compone de 51 PSSMs derivadas de 11 alelos de HLA-DRB diferentes y que cubrían 51 moléculas de HLA-DR. Una limitación de este sistema es que solamente considera los 51 alelos de HLA-DR para los cuales hay datos experimentales. TEPITOPEpam es una herramienta que extrae los datos obtenidos en Propred a otros alelos para los cuales no hay datos experimentales, basándose en la homología de los mismos, permitiendo de esta manera la predicción de afinidad para alelos no incluidos en Propred (L. Zhang et al. 2012)..

Estas aplicaciones informáticas asignan un *core* peptídico basado en la presencia de como mínimo un residuo correcto en la P1. Los residuos permitidos para la P1 son Tyr, Phe, Trp, Leu, Ile, Ala, Val, o Met, variando la frecuencia en función del alelo de HLA-DR. Los umbrales de asignación dependen a su vez de los aminoácidos restantes asignados, por norma general, a las posiciones P4, P6 y P9. Se define un umbral de asignación como un porcentaje de los máximos scores obtenidos. En esta tesis se analizó la afinidad teórica de los péptidos utilizando como criterio los umbrales de asignación de Propred, ya que los scores individuales no están normalizados entre alelos. La herramienta **TEPITOPEpan** se utilizó

Length of input sequence	17 amino acids
Number of nonamers from input sequence	9
Number of nonamers with obligatory P1 anchor residues	5
Threshold setting	3
Number of alleles in query	2

-----10-----
DRB1_0101: VGGNL**VIMNPTKAQDAG**

HB

Length of input sequence	16 amino acids
Number of nonamers from input sequence	8
Number of nonamers with obligatory P1 anchor residues	2
Threshold setting	9
Number of alleles in query	2

-----10-----
DRB1_0101: DPIIE**DRHGGYKPSDE**

IB

Length of input sequence	16 amino acids
Number of nonamers from input sequence	8
Number of nonamers with obligatory P1 anchor residues	1
Threshold setting	9
Number of alleles in query	2

-----10-----
DRB1_0101: KPDDWDEDAPAKIPDE

LB

exclusivamente para el estudio de una muestra de bazo cuyo tipaje era DRB1*04:07, no incluído en Propred. Un péptido asignado a uno de los dos alelos de la muestra a un umbral $\leq 3\%$ (5% para TEPITOPEpan), se consideró HB; si el péptido no lograba asignación a ninguno de los alelos de la muestra a bajo umbral pero sí a umbral medio ($<9\%$ para Propred o $<15\%$ para TEPITOPEpan), se consideró IB, y los que no se podían asignar a ningún alelo a esos umbrales, se consideraron péptidos de baja afinidad (figura 1.2).

Figura 1.2. Imagen representativa del resultado de búsqueda de tres péptidos con Propred. En la imagen aparece el nombre del péptido analizado (*Antigen Name*) y remarcado, el umbral utilizado en la búsqueda. El secuencia problema aparece debajo, resaltado en el motivo de unión teórico asignado por Propred. Los ejemplos muestran la unión con un umbral bajo de 3 (HB), con un umbral alto de 9 (IB) y la ausencia de asignación a umbrales de 9 (LB).

1.1.2. Predicción manual de afinidad

El último método utilizado para el análisis de la interacción peptídica se basó en un estudio manual de las secuencias obtenidas y el grado de similitud del *core* asignado con los motivos de unión descritos en la literatura. Para ello, a partir de las secuencias obtenidas por espectrometría de masas, se generaron los todos los posibles nonámeros que contuvieran un residuo válido en P1, utilizando el programa *mhcLAIAmotifs*, desarrollado en el Laboratorio de Proteómica CSIC/UAB por J. Abián (http://proteomica.uab.cat/index.php?option=com_content&view=article&id=76). Como se mencionó anteriormente, Tyr, Phe, Trp, Leu, Ile, Ala, Val, o Met son los residuos permitidos para P1. Los posibles *cores* generados se evaluaron uno por uno, según su homología con los motivos de unión descritos en SYFPEITHY (www.syfpeithi.de/), a excepción de DR8 cuyo motivo no está en la base de datos de SYFPEITHY pero que se había descrito en nuestro laboratorio (Muixí et al. 2011). Se consideraron las posiciones P1, P4, P6 Y P9 del core peptídico. De las diferentes combinaciones de los *cores* resultantes para un mismo péptido, se escogió la secuencia que mejor cumplía uno de los motivos de unión de los alelos de HLA-DR de cada muestra y se le asignó un valor predictivo en función del grado de homología (Figura 1.3). Así, los *cores* con tres o más coincidencias con el motivo se consideraron HB, IB para dos coincidencias y el resto de secuencias se consideraron LB. Las secuencias sin ninguna homología con el motivo de unión, también se consideraron LB.

Gene Name	Sequence	Core	P1	P2	P3	P4	P5	P6	P7	P8	P9	P1	P2	P3	P4	P5	P6	P7	P8	P9
CNTN2	VGGNLVIMNPTKAQDAG	IMNPTKAQD	I	M	N	P	T	K	A	Q	D	I	M	N	P	T	K	A	Q	D
CNTN2	VGGNLVIMNPTKAQDAG	LVIMNPTKA	L	V	I	M	N	P	T	K	A	L	V	I	M	N	P	T	K	A
CNTN2	VGGNLVIMNPTKAQDAG	MNPTKAQDA	M	N	P	T	K	A	Q	D	A	M	N	P	T	K	A	Q	D	A
CNTN2	VGGNLVIMNPTKAQDAG	VGGNLVIMN	V	G	G	N	L	V	I	M	N	V	G	G	N	L	V	I	M	N
CNTN2	VGGNLVIMNPTKAQDAG	VIMNPTKAQ	V	I	M	N	P	T	K	A	Q	V	I	M	N	P	T	K	A	Q
CKB	DPIIEDRHGGYKPSDE	IIEDRHGGY	I	I	E	D	R	H	G	G	Y	I	I	E	D	R	H	G	G	Y
CKB	DPIIEDRHGGYKPSDE	IEDRHGGYK	I	E	D	R	H	G	G	Y	K	I	E	D	R	H	G	G	Y	K
CANX	KPDDWDEDAPAKIPDE	WDEDAPAKI	W	D	E	D	A	P	A	K	I	W	D	E	D	A	P	A	K	I

Figura 1.3. Representación de la asignación manual de afinidad teórica basada en los motivos de unión descritos por SYFPEITHY. Utilizando el programa Laiamotifs, se generan los posibles nonámeros que presenten un aminoácido válido para P1. En función del motivo, se evalúa cuál de los nonámeros presenta mayor homología con el motivo consenso de cada alelo en SYFPEITHY. Se asigna un *core* a la secuencia con mayor concordancia.

1.1.3. Asignación final

La asignación final se realizó sobre los resultados obtenidos con los tres procedimientos descritos. A las secuencias se les asignó HB, IB o LB si había coincidencias de evaluación con dos o más de los métodos de asignación utilizados. A las secuencias con resultados diferentes en las tres metodologías no se les asignó alelo (NA) (Figura 1.4).

Las moléculas de HLA-DR codificadas en otros *loci* de la región II del MHC, como *DRB3*, *DRB4* o *DRB5* no se consideraron en este estudio ya que el repertorio descrito para estas moléculas en las bases de datos es limitado.

Gene Name		péptido
CNTN2		VGGNLVIMNPTKAQDAG
CKB		DPIIEDRHGGYKPSDE
CANX		KPDDWDEDAPAKIPDE
NetMHCIpan		
DRB1*01:01 (<i>Core</i> , nM)		
CNTN2	LVIMNPTKA (10.9 nM)	VIMNPTKAQ (237.5 nM)
CKB	IIEDRHGGY (8203.4 nM)	IIEDRHGGY (498.6 nM)
CANX	WDEDAPAKI (5645.5 nM)	WDEDAPAKI (5940.7 nM)
Propred		
DRB1*01:01 (THRESHOLD:3,9)		
CNTN2	VGGNLVIMNPTKAQDAG	VGGNLVIMNPTKAQDAG
CKB	--	DP IIEDRHGGYKPSDE
CANX	--	--
Manual		
P1 P2 P3 P4 P5 P6 P7 P8 P9		
CNTN2	L V I M N P T K A	I M N P A Q D
CKB	I I E D R H G G Y	I I E D R H G G Y
CANX	W D E D A P A K I	W D E D A P A K I
HLA-DRB1*01:01		
HLA-DRB1*03:01		
NetMHCIpan		
Allele		Propred
Allele		Allele
CNTN2	DRB1*01:01	HB
CKB	DRB1*03:01	IB
CANX	NA	LB
Affinity		Affinity
Affinity		Affinity
Manual		
Allele		Affinity
Allele		Affinity
CNTN2	DRB1*01:01	HB
CKB	DRB1*03:01	IB
CANX	DRB1*01:01	LB
Final Binding		
Consensus core		Final Affinity
Consensus core		Assignment
CNTN2	LVIMNPTKA	HB
CKB	IIEDRHGGY	IB
CANX	WDEDAPAKI	LB
Final Affinity		Assignment
Final Affinity		Assignment
DRB1*01:01	HB	DRB1*01:01
DRB1*03:01	IB	DRB1*03:01
NA	LB	NA

Figura 1.4. Resumen de la predicción final de afinidad de los ligandos de clase II.

1.2. Validación del método de asignación. Comparación con ensayos de afinidad experimentales.

Para confirmar los resultados del sistema de asignación predictiva, se realizó un ensayo de unión en el *Tetramer Core Laboratory* (Dr. E. A. James, Benaroya Research Institute at Virginia Mason, Seattle, USA). Se analizaron 12 péptidos secuenciados de las muestras de timo que expresaban los alelos HLA-DR1 y -DR3. La elección de las secuencias a analizar se realizó en función de los valores predictivos obtenidos. Se seleccionaron: i) cuatro ligandos de alta afinidad (HB) para DR1 (*CTS*, *CRP*, *GCET2* y *CNTN2*) y dos para DR3 (*LGALS1* y *HLA-DPA1*); ii) dos péptidos con afinidad intermedia (IB) para DR1 (*HLA-DRA* y *EEF1A1*) y uno para DR3 (*HNRNPH2*); iii) un péptido con afinidad intermedia (IB) a los dos alelos (*MAN2B1*); iv) dos péptidos de baja afinidad para ambos alelos (*SEMG1* y *SPATIAL*). Los péptidos se sintetizaron y se analizó su unión mediante un ensayo de competición entre péptidos para la unión a moléculas de HLA-DR1 y 3 solubles, como se describe en Materiales y métodos.

Gene Name	Proteína	Péptido
CTSS	Cathepsin S	TGKLVSLSAQNLVD
CRP	C-reactive protein	SDTSYVSLKAPLTKPLK
GCET2	Germinal center B-cell-expressed transcript 2 protein	SPEDEYELLMPHRISS
CNTN2	Contactin-2	VGGNLVIMNPTKAQDAG
HLA-DRA	HLA class II histocompatibility antigen, DR alpha chain	VPPEVTVLTNSPVE
EEF1A1	Elongation factor 1-alpha 1	IEKFEKEAAEMGKG
MAN2B1	Lysosomal alpha-mannosidase	TRIVITDGNMQL
LGALS1	Galectin-1	GEVAPDAKSFVLN
HLA-DPA1	HLA class II histocompatibility antigen, DP alpha chain	YVDLKKETVWH
HNRNPH2	Heterogeneous nuclear ribonucleoprotein H2	FLNSTAGTSGGAYDHSY
SEMG1	Semenogelin-1	QTEKLVAGKSQIQ
SPATIAL	Protein SPATIAL	PIGDPQSNRNPQL
Control DR1	Hemagglutinin, Influenza A virus	PKYVKQNTLKLAT
Control DR3	Chain A, Carbonmonoxy-Myoglobin	NKALELFRKDIAAKYKEG

Tabla 1.1. Péptidos utilizados en el estudio de unión experimental a las moléculas solubles DR1 y DR3. Como controles positivos, se utilizaron los siguientes péptidos de alta afinidad: HA 306-318 para HLA-DRB1*01:01 y Myoglobina 133-149 para HLA-DRB1*03:01.

En la tabla 1.2 se muestran las asignaciones predictivas de cada buscador, Propred, NetMHCIIpan (con sus valores de IC50) y la asignación manual, así como los resultados obtenidos en el ensayo de unión. Evaluando cada uno de los sistemas de predicción por separado y teniendo en cuenta las 24 posibles interacciones (12 secuencias x 2 alelos), los resultados mostraron 13 coincidencias con las 24 asignaciones de Propred, 15 de NetMHCIIpan, 13 de 24 usando el sistema manual y 16 de 24 combinando los tres sistemas.

Propred Unión		NetMHCIpan Unión		Unión Manual		Unión Experimental				
Gene Name	DR1	DR3	DR1	DR3	DR1	DR3	IC50 in mM	DR1	IC50 in mM	DR3
CTSS	HB	--	HB (4,6)	LB (956,4)	HB	IB	0,01	+++	>50	-
CRP	HB	--	HB (2,4)	LB (1160,5)	HB	LB	0,02	+++	>50	-
GCET2	HB	HB	HB (5,9)	LB (3391,4)	HB	LB	0,01	+++	>50	-
CNTN2	HB	HB	HB (10,9)	IB (237,5)	HB	LB	0,03	+++	31,42	+/-
HLA-DRA	IB	--	IB (231,8)	LB (7094,9)	HB	IB	>50	-	>50	-
EEF1A1	LB	LB	IB (215,7)	LB (5040,8)	IB	IB	0,15	++	20,69	+/-
MAN2B1	IB	IB	IB (273,2)	IB (417,7)	IB	HB	>50	-	12,46	+
LGALS1	--	HB	LB (2928)	LB (527)	IB	HB	>50	-	0,74	++
HLA-DPA1	--	HB	LB (3528,7)	LB (719,2)	IB	HB	>50	-	8,21	+
HNRNPH2	IB	IB	LB (818)	LB (11531,5)	LB	IB	>50	-	>50	-
SEMG1	--	IB	IB (329,2)	LB (6099,2)	LB	LB	>50	-	>50	-
SPATIAL	LB	LB	LB (8142,1)	LB (10456,8)	HB	LB	>50	-	41,46	+/-
Control DR1	HB	--	HB (17,68)	LB (1152,52)	HB	LB	0,04	+++	non-tested	non-tested
Control DR3	--	HB	HB (26,21)	HB (9,31)	IB	HB	non-tested	non-tested	1,36	++

Tabla 1.2. Tabla de los resultados de predicción de afinidad generados con los tres buscadores y los datos de afinidad de los ensayos *in vitro* (*Unión Experimental*). Para cada uno de los alelos se muestra el valor de IC50 y su grado de afinidad a la molécula de DR. Teniendo en cuenta los controles para cada molécula (valoración del control positivo. DR1:+++; DR3:++), aquellos péptidos que mostraron una valoración triple positiva (++) o doble positiva (++) o positiva (+) para DR1 o doble positiva (++) o positiva (+) para DR3, se consideraron ligandos de alta afinidad. Los ligandos de afinidad intermedia son las secuencias con valoración +/- . Los ligandos de baja afinidad son aquellos que tienen de IC50 superiores a 50 (valoración -).

La tabla 1.3 muestra un resumen de la predicción de afinidad y la afinidad experimental, así como la asignación a alelo basada en ambos datos. Los resultados muestran un nivel de coincidencia importante entre la asignación del método desarrollado en esta tesis y los datos experimentales. Los 6 ligandos con predicciones de alta afinidad concordaban con los datos experimentales. De las cuatro secuencias predichas como IB, 2 fueron experimentalmente ligandos de alta afinidad y 2 de baja. De los 2 ligandos LB, SEMG1 tiene una baja afinidad de unión experimental, mientras que SPATIAL se une *in vitro* a DR3 con una afinidad experimental intermedia (IC50:41,46).

Gene Name	Binding		Asignación	
	Predicción	Experimental	Teórica	Experimental
CTSS	HB	HB	DRB1*01:01	DRB1*01:01
CRP	HB	HB	DRB1*01:01	DRB1*01:01
GCET2	HB	HB	DRB1*01:01	DRB1*01:01
CNTN2	HB	HB	DRB1*01:01	DRB1*01:01
HLA-DRA	IB	LB	DRB1*01:01	NA
EEF1A1	IB	HB	DRB1*01:01	DRB1*01:01
MAN2B1	IB	HB	DRB1*01:01; DRB1*03:01	DRB1*03:01
LGALS1	HB	HB	DRB1*03:01	DRB1*03:01
HLA-DPA1	HB	HB	DRB1*03:01	DRB1*03:01
HNRNPH2	IB	LB	DRB1*03:01	NA
SEMG1	LB	LB	NA	NA
SPATIAL	LB	IB	NA	DRB1*03:01
Control DR1	HB	HB	DRB1*01:01	DRB1*01:01
Control DR3	HB	HB	DRB1*03:01	DRB1*03:01

Tabla 1.3. Tabla resumen de las valoraciones de unión péptido-MHC teórica y experimental, así como la asignación de alelo de cada secuencia.

Capítulo 1

Discusión

Establecimiento de predicciones de asignaciones a alelos de HLA-DR de péptidos, utilizando herramientas bioinformáticas

Las tecnologías “ómicas” actuales generan cantidades masivas de datos difícilmente analizables sin la ayuda imprescindible de las herramientas bioinformáticas. En el caso de la proteómica, la mejora de los espectrómetros de masas, de los motores de búsqueda y de las bases de datos ha permitido la secuenciación e identificación de un gran número de ligandos de moléculas de HLA-DR. El estudio de la interacción y de la afinidad de dichos ligandos a determinadas moléculas de HLA-DR es inviable experimentalmente, debido al número de secuencias obtenidas en los análisis actuales. Para resolver este problema, se están realizando notables esfuerzos en el desarrollo de herramientas informáticas capaces de predecir de una forma efectiva y fiable la afinidad de unión de determinados péptidos a diferentes moléculas de HLA-DR.

El diseño de sistemas informáticos precisos de predicción de unión péptido-MHC es una tarea compleja. Existen diferentes causas que dificultan el desarrollo de estas herramientas. La primera de ellas es la carencia de datos empíricos necesarios para generar sistemas de predicción fiables. Se ha descrito que, para generar modelos con un grado razonable de fiabilidad son necesarias como mínimo entre 50-200 medidas experimentales de unión para cada alelo de clase I y entre 100 y 200 para clase II (L. Zhang et al. 2011). Las bases de datos actuales carecen en muchos casos de esta información. Actualmente, menos de 20 alelos de HLA-DR descritos en el *Immunoepitope database* (IEDB) contienen más de 200 mediciones experimentales de afinidad en su base de datos (Vita et al. 2010). La falta de consenso en las mediciones de interacción péptido-MHC genera colecciones de datos en los que se mezclan valoraciones de unión o no unión de los péptidos, cuantificación de la interacción mediante el cálculo de IC50 o valores de constantes de disociación. Esto hace que los datos sean difícilmente manejables. Para resolver este problema, diversos laboratorios han generado su propia colección de medidas de interacción para obtener un sistema estandarizado, controlado y reproducible. Esto es válido para las moléculas analizadas por un grupo en concreto, pero mantiene la falta de estandarización entre los diferentes laboratorios.

La falta de datos de medición empíricos conlleva la ausencia de definición de muchos de los motivos de anclaje de los alelos de MHC. Por ello, los métodos *pan-specific* utilizan datos experimentales de los alelos de MHC conocidos para generar predicciones teóricas sobre alelos de los cuales se carece de información. Tanto NetMHCIIpan-2.0 (Nielsen, Justesen, et al. 2010) o TEPITOPEpan (L. Zhang et al. 2012) se basan en el agrupamiento de las moléculas de MHC en supertipos (grupos de alelos con secuencias similares en la zona de unión a péptido). Utilizando los datos experimentales de moléculas de MHC del mismo supertipo y basándose en la secuencia nucleotídica, extrapolan los resultados para obtener predicciones de afinidad para alelos huérfanos de información (H. Zhang, Lundegaard, and Nielsen 2009). Aunque posiblemente los motivos de unión entre moléculas de HLA del mismo supertipo tengan un motivo de anclaje similar, no hay resultados empíricos que corroboren esta predicción y por tanto las medidas derivadas de ellos pueden ser cuestionadas.

El uso de algoritmos es útil por su capacidad de analizar múltiples secuencias pero está limitado a la hora de evaluar la interacción péptido-MHC. Especialmente para los péptidos de clase II, la rigidez de estos métodos se acentúa a la hora de considerar secuencias de distintas longitudes y determinar el *core*

de unión. La mayoría de sistemas consideran que existe un único motivo de presentación, aunque cabe la posibilidad de que diferentes motivos de un mismo péptido se estén presentando a la vez (Mohan, Petzold, and Unanue 2011) y que un mismo péptido tenga diferentes registros de unión a una molécula de MHC-II (Landais 2009). Algunos métodos evaluados (ej. MHCIIMulti) consideran la posible interacción subóptima de los diferentes nonámeros presentes en el péptido para el cálculo total de la afinidad. Por otro lado, los programas que utilizan PSSMs suelen enfocar una unión lineal entre el péptido y MHC, otorgando a la P1 un valor clave en la unión, valorando para el cálculo de la afinidad sólo el *core* cuya secuencia cumpla mejor el motivo. El sistema netMHCIIPan tiene en cuenta otras variables en el cálculo de las interacciones, valorando la posible interacción entre los aminoácidos que sobresalen del *core* y el MHC. Ninguno de estos programas contempla la posibilidad de *loops* u otras variaciones que pudieran modificar los puntos de anclaje peptídico.

Varios artículos han hecho comparaciones entre los diferentes sistemas informáticos de predicción, teniendo preferencias sobre alguno de ellos. La mayoría de estos sistemas de predicción se someten a una renovación constante y aún está en debate su aplicación, con grupos a favor (L. Zhang et al. 2011; Nielsen, Lund, et al. 2010; P. Wang et al. 2010) y en contra (Gowthaman and Agrewala 2008; EL-Manzalawy, Dobbs, and Honavar 2008) de su uso. Sin embargo, y a pesar de sus limitaciones, estas herramientas informáticas se continúan utilizando y su valor predictivo queda demostrado en las múltiples publicaciones derivadas de su uso (A. K. Singh et al. 2013; Prabdial-Sing, Puren, and Bowyer 2012; Pascal et al. 2013).

En este trabajo se optó por una aproximación conservadora a la hora de asignar valores predictivos de afinidad a las secuencias obtenidas. Para ello, integramos los resultados de dos sistemas informáticos y de un análisis manual para obtener la predicción final de afinidad de los ligandos secuenciados. A la hora de escoger las herramientas informáticas, se tuvieron en cuenta criterios de calidad y que fueran diferentes los algoritmos utilizados y los criterios para definir la interacción péptido-MHC.

El primer buscador escogido fue el NetMHCIIPan (Nielsen, Justesen, et al. 2010). Este programa está basado en buscadores previamente desarrollados por el mismo grupo (Nielsen, Lundegaard, and Lund 2007; Nielsen and Lund 2009). Utiliza un algoritmo de tipo ANN y tiene en cuenta la longitud del péptido y los residuos flanqueantes que envuelven el *core* para determinar la capacidad de unión del péptido (Latek, Petzold, and Unanue 2000). Este sistema informático ha sido evaluado favorablemente en múltiples publicaciones (Dimitrov et al. 2010; Tong, Tan, and Ranganathan 2007; Nielsen et al. 2008). Además sus prestaciones lo hacen una herramienta fácil de utilizar: accesibilidad para toda la comunidad científica, matrices de asignación públicas, una interface de usuario fácil de utilizar, capacidad de análisis de múltiples secuencias sin limitación de tamaño y para múltiples alelos y resultados exportables en tablas Excel, que facilita el análisis de datos. Aún así, NetMHCIIPan genera las predicciones sin utilizar la P1 como parámetro determinante de la unión péptido-MHC, por lo que algunos de los *cores* resultantes presentan aminoácidos diferentes a lo descrito en esta posición.

En segundo lugar se escogió el sistema de asignación Propred (H. Singh and Raghava 2001). Este sistema informático usa las PSSM descritas por Storniolo et al. (1999) para la identificación del *core* y los

umbrales de asignación de ligandos descritos en TEPITOPE (L. Zhang et al. 2012). Propred no tiene en cuenta la longitud ni los residuos flanqueantes de la secuencia, pero requiere para la asignación la presencia de un aminoácido de anclaje adecuado en P1. También es un programa gratuito, con matrices públicas y es aún de los más utilizados, con resultados sobradamente comprobados. Sin embargo, varias de las limitaciones del programa son: i) la incapacidad de llevar a cabo un análisis simultáneo de más de una secuencia; ii) limitación en el número de alelos incluidos (51 alelos de HLA-II). Por tanto, en nuestra opinión, las herramientas de predicción de unión de péptidos a moléculas de HLA-II son útiles pero, usadas de forma individual, pueden dar parte de la información de forma errónea.

En el caso de la muestra de bazo 1, con un tipaje DRB1*04:07, se utilizó el sistema TEPITOPEpan como alternativa a Propred ya que DRB1*04:07 no está incluido entre los 51 alelos. TEPITOPEpan utiliza un sistema de matrices similar al de Propred aunque, igual que el NetMHCIIpan, extraña datos empíricos de matrices de alelos estudiados para generar las PSSMs de los alelos carentes de ellas. En el propio artículo de presentación de TEPITOPEpan, se autodefinen como el segundo buscador pan-específico por detrás del NetMHCIIpan, pero con mejor capacidad de asignar el *core* de unión (L. Zhang et al. 2012). Aún así, este buscador no se usó para el análisis del conjunto total de ligandos en este trabajo aún teniendo una interface y prestaciones mejores que Propred, porque usa un método mixto de predicción y se utiliza menos que los otros dos métodos.

Los resultados obtenidos con los dos buscadores generaron una colección de datos con cierto nivel de discrepancia. En nuestro método incluimos una revisión manual de las secuencias peptídicas que validara y decantara la asignación de afinidad teórica. Basándonos en la experiencia previa en nuestro laboratorio, se decidió utilizar el grado de homología de los *cores* peptídicos respecto al motivo de unión descrito en la base de datos SYFPEITHY, como aproximación para determinar la afinidad teórica del ligando. Para ello, asignamos los siguientes criterios de evaluación: partimos de la asignación de un *core* de 9 aminoácidos con un aminoácido adecuado en P1 como requerimiento imprescindible. Una vez generados los posibles *cores*, se escogía el más similar a los motivos de unión de base de datos de SYFPEITHY.

Utilizando este sistema manual, se redujo el número de secuencias con inconsistencias en su afinidad teórica, aunque en todas las muestras se identificaron secuencias no asignables. En nuestro análisis consideramos los péptidos dentro de tres categorías (HB, IB, LB). Un péptido entraba en una de ellas cuando coincidían dos de los tres métodos de predicción utilizados. En el análisis se identificó un número de ligandos como *low binders*. No podemos descartar que éstos sean ligandos presentados por otras moléculas de DR asociados a cada haplotipo (codificadas por los genes *DRB3*, *DRB4* o *DRB5*), que no se han incluido en el análisis, pero hasta ahora, se considera que en la mayoría de haplotipos, estos genes se expresan menos que *DRB1*. En otros casos, puede que los motivos sean, en realidad, más laxos que los considerados en nuestro análisis y por tanto algunos ligandos se podrían unir con afinidad mayor a la predicha. En efecto, uno de los dos péptidos con afinidad teórica baja para los que se realizó el ensayo de unión experimental (*SPATIAL*), se unía con mayor afinidad a la prevista, mientras que el otro, SEMG1, se confirmó como *low binder*.

Finalmente, para confirmar la validez del método se evaluó la predicción mediante el estudio experimental de interacción péptido-MHC. Para ello se analizaron 12 péptidos sintéticos cuyas secuencias procedían de muestras de timos, con las moléculas DR1 y DR3. Este ensayo demostró que las predicciones se correlacionaban muy bien con los datos experimentales, sobre todo en los ligandos de alta afinidad. Los péptidos con afinidad intermedia y baja correlacionaban bastante bien, pero con algunas variaciones. Esto está en correlación con lo expuesto en el párrafo anterior para los ligandos de baja afinidad teórica. Dos secuencias predichas como IB, resultaron ser experimentalmente de alta afinidad y 2 de baja. Los ligandos que predichos como LB, uno (*SEMG1*) lo era experimentalmente, mientras que otro (*SPATIAL*) es capaz de presentarse por DR3 con una afinidad experimental media (EC50:41,46). Por tanto, la aproximación usada en esta tesis en la que combinamos diferentes métodos predictivos, tanto bioinformáticos como un método manual basado en los motivos conocidos de algunos alelos aportan resultados más concordantes con los experimentales que cada uno de ellos por separado. Esta aproximación nos ha permitido abordar el análisis de los ligandos de HLA-DR y la interacción entre ambas moléculas con un alto grado de fiabilidad. El método selecciona la información recogida de los diferentes sistemas de predicción teórica, abordando el estudio de una forma sistemática y conservadora.

Capítulo 2

Análisis de los péptidos asociados a HLA-DR en ausencia de infección en bazos de donantes de trasplante

2. Análisis de los ligandos de HLA-DR en tejido linfoide secundario humano

2.1. Descripción de las muestras

Se procesaron cuatro muestras de bazo de donantes sin patología autoinmune en su historial clínico. Los bazos procedían de donantes de ambos sexos con edades comprendidas entre los 52 y 73 años. Las muestras escogidas tenían tipajes diferentes para HLA-DR, aunque los bazos 2 y 4 compartían el alelo HLA-DRB1*03:01. La tabla 2.1 resume las características de las muestras.

	Bazo1	Bazo2	Bazo3	Bazo4
Edad (años)	52	56	73	56
Sexo	F	M	M	M
HLA-DRB1	04:05 04:07	03:01 08:01	07:01 15:01	01:01 03:01

Tabla 2.1. Características de las muestras de bazo analizadas, edad, sexo y tipaje para HLA-DR.

2.2. Expresión de HLA-DR en bazo

La expresión de HLA-DR en bazo fue examinada por microscopía confocal utilizando un anticuerpo monoclonal anti-HLA-DR conjugado con Alexa Fluor®647. En la figura 1A podemos apreciar dos regiones bien delimitadas. En rojo (marcado con mAb anti-CD19-PECF594) se visualizan las acumulaciones de linfocitos B formando el folículo primario. Rodeando el folículo y marcado en verde, encontramos el PALS, rico en células T que rodean una arteriola (marcado con mAb anti-CD3-Alexa Fluor®488) (Figura 1A). La densidad de DR es máxima en las células B de los folículos, aunque también se pueden apreciar células con alta expresión de DR en el PALS (Figura 1B, HLA-DR: amarillo). En el PALS se entremezclan linfocitos T con DCs y macrófagos (marcado en verde; mAb anti-DCSIGN-FITC). Estas APCs envuelven el folículo de forma dispersa. No se aprecia mucho marcado de DR en las células DCSIGN⁺, aunque esto podría deberse a un enmascaramiento producido por la intensidad de señal acumulada en los folículos (Figura 1C). Cuando aumentamos las zonas DCSIGN⁺ se puede apreciar la colocalización con DR (Figura 1D).

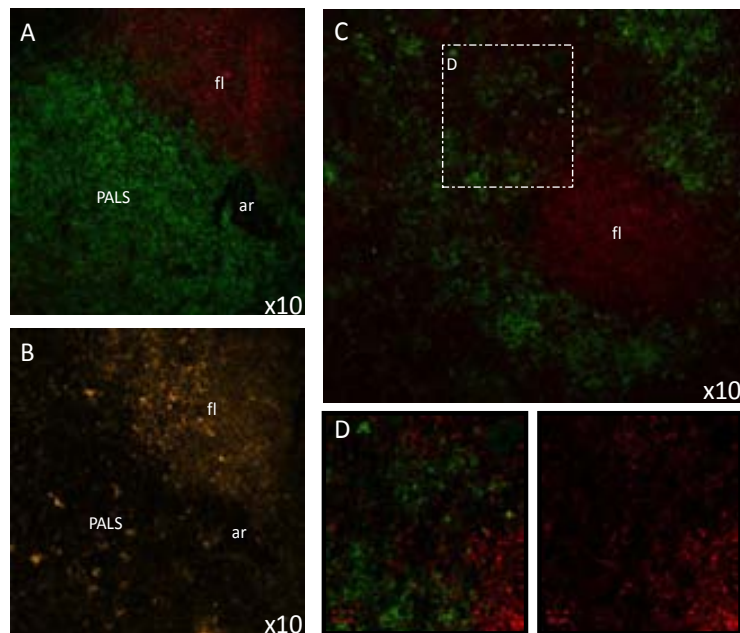


Figura 2.1. Expresión de HLA-DR en muestras de bazo. A) Distribución de las poblaciones de linfocitos B (CD19, rojo) y linfocitos T (CD3, verde) en bazo humano. Amplificación del objetivo: 10X. B) Tinción con mAb anti-HLA-DR de una sección consecutiva de tejido a la mostrada en A. La expresión de HLA-DR (en amarillo) es máxima en los folículos. El marcaje es más disperso en el PALS y se encuentra sobre todo en células de citoplasma ramificado, presumiblemente DCs y macrófagos. Amplificación del objetivo: 10x. C) Expresión de DR (rojo) y DC-SIGN (verde), siendo este último un marcador de DCs convencionales y macrófagos. Imagen representativa de las DCs y macrófagos rodeando un folículo. La región delimitada corresponde a la imagen D. Amplificación del objetivo: 10x. D) Aumento del 60% de la región delimitada en la imagen C. Izquierda: imagen aumentada de las células DC-SIGN⁺ (verde) y su colocalización con DR (rojo). Derecha: la misma imagen aumentada, sólo de las células marcadas con anti-DR para facilitar la visualización de la colocalización. fl: folículo; ar: arteriola.

2.3. Secuencias

Para determinar el repertorio peptídico en condiciones fisiológicas, se procesaron dos viales de 30 ml que contenían bloques congelados de tejido con un peso aproximado en todos los casos de entre 10 y 20gr. Las muestras se procesaron sin separación celular previa. En total se obtuvieron 4632 secuencias de las 4 muestras de bazo procesados, incluyendo los péptidos redundantes.

Para identificar y poder excluir del análisis aquellas proteínas que interaccionan de forma inespecífica con la sefarosa o con anticuerpos irrelevantes presentes en el medio de crecimiento del hibridoma, se analizó el eluido de una de las precolumnas usadas en la purificación de las muestras de bazo por espectrometría de masas. Para ello se purificaron las inmunoglobulinas de 50 ml de suero fetal bovino (equivalente al suero usado para crecer el hibridoma usado en una columna) y se acoplaron a sefarosa. Se pasó un extracto de bazo por esta columna inespecífica para HLA-DR y se procesó igual que si fuese una columna con anticuerpo B8.11.2, específico para HLA-DR. El *pool* peptídico no se fraccionó por HPLC. Los péptidos eluidos de la precolumna se analizaron por LC-MS/MS en un Orbitrap (usado también para la secuenciación de los péptidos asociados a HLA-DR). Se identificaron 89 secuencias peptídicas derivadas de 5 proteínas diferentes: hemoglobina, actina, SP100, cofilin y glyceraldehyde-3-phosphate dehydrogenase, con tamaños que iban desde 10 hasta 36, siendo la media de 26 aminoácidos (anexo 2.1). En posteriores análisis, todos los péptidos que derivaran de estas proteínas se descartaron. Los péptidos procedentes de proteínas específicas de la piel como queratinas,

corneodesmosina o dermcidina, también se descartaron. Aunque varios de estos péptidos tenían tamaños y secuencias que los harían candidatos a ligandos de moléculas de MHC-II no se consideraron, debido a la imposibilidad de discriminar entre contaminantes y ligandos reales. En total, se descartaron 1267 secuencias de las 4632 obtenidas. El 75% de estos péptidos procedían de las 5 proteínas secuenciadas en el control. Las secuencias aceptadas están listadas el anexo 2.2.

Por tanto, se identificaron 3365 secuencias correctas, incluyendo las redundantes, 1445 en el bazo 1, 573 en el bazo 2, 526 en el bazo 3 y 821 en el bazo 4. Estos péptidos procedían de 318 proteínas diferentes. La suma de secuencias totales obtenidas fue de 1108. Varias de estas secuencias se obtuvieron en más de una muestra, lo que el número de péptidos únicos totales fue 1066 (ver tabla 2.2).

La mayoría de las secuencias obtenidas se agruparon en familias peptídicas.

	<i>Bazo 1</i>	<i>Bazo 2</i>	<i>Bazo 3</i>	<i>Bazo 4</i>
Cantidad procesada	>10gr	>10gr	>10gr	>10gr
Número de secuencias totales	1445	573	526	821
Número de secuencias no redundantes*	528	233	165	182
Proteínas de origen*	171	91	65	87
Péptidos únicos	117 (22%)	48 (21%)	41 (25%)	88 (48%)
<i>Nested sets</i>	411 (78%)	185 (79%)	124 (75%)	94 (52%)
Péptidos por proteína	1-31	1-22	1-11	1-23
Péptidos por <i>nested set</i>	2-15	2-16	2-7	2-13
Péptidos totales*	1066 (1108 secuencias)			
Proteínas totales*	318			

Tabla 2.2. Descripción de las secuencias obtenidas de las muestras de bazo, sus proteínas de origen y los porcentajes de familias peptídicas y péptidos únicos que conforman los repertorios. * Varias secuencias idénticas fueron identificadas en diferentes muestras esplénicas. Por lo tanto, el número total de secuencias únicas es menor que la suma total de péptidos. Lo mismo ocurre con las proteínas de las que proceden los ligandos obtenidos.

2.4. Frecuencia peptídica e inmunodominancia

Como era de esperar, se encontró cierto grado de coincidencia entre los repertorios de los diferentes bazos. A nivel proteico, 73 de las 318 proteínas (23% del total) estaban presentes en dos o más muestras. Este nivel de similitud a nivel proteico puede resultar bajo. Sin embargo, los ligandos derivados de estas proteínas conformaban cerca del 57% del repertorio total obtenido (1918 de 3365) (Figura 2.2).

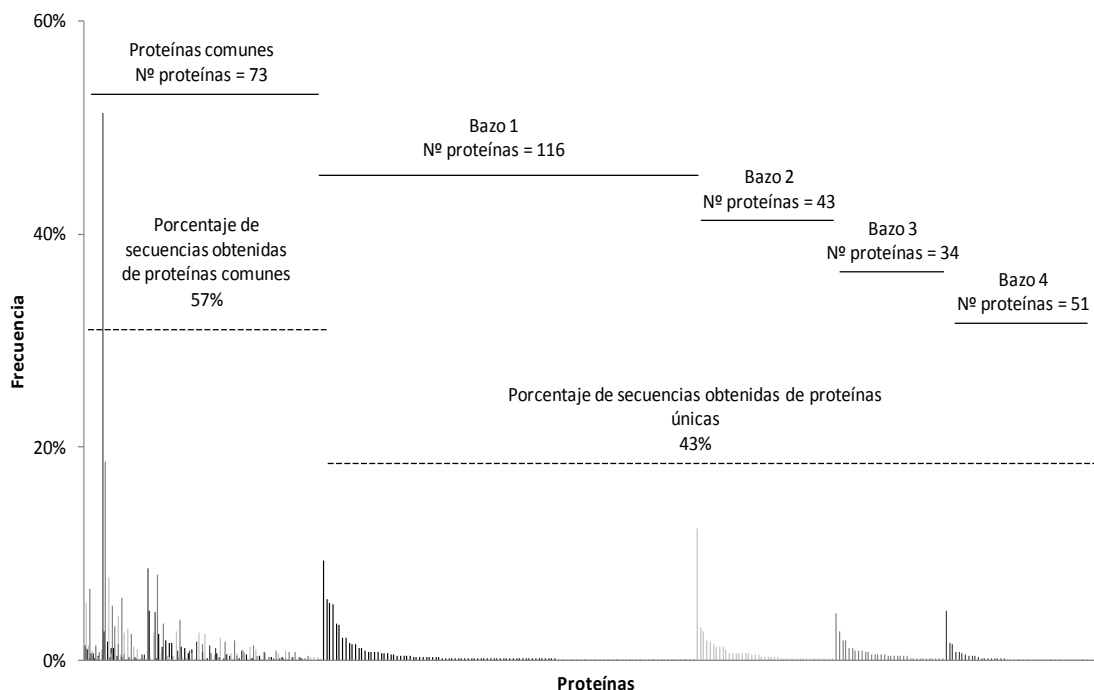


Figura 2.2. Frecuencias peptídicas. Cada barra vertical corresponde al número total de péptidos secuenciados a partir de una única proteína. Las diferentes graduaciones de gris representan las proteínas de cada bazo. Eje de abscisas: todas las proteínas identificadas en los repertorios están representadas en dos regiones (líneas punteadas). La primera región agrupa las frecuencias de los péptidos procedentes de proteínas comunes para más de una muestra. Esta región contiene el 57% de todas las secuencias obtenidas. La siguiente región está dividida en 4 subregiones y agrupa el 43% de secuencias restantes, que corresponden a los péptidos derivados de proteínas secuenciadas exclusivamente en cada una de las muestras de bazo. Las proteínas se han ordenado según el número de péptidos generados de cada una, de mayor a menor. Eje de ordenadas: porcentaje de péptidos secuenciados de cada proteína, incluyendo péptidos redundantes.

Las proteínas que generaron los péptidos más frecuentes procedían todas del espacio extracelular. Los péptidos presentados derivaban mayoritariamente de una única región de la secuencia parental conformando familias peptídicas (*nested sets*) inmunodominantes para cada proteína. La ceruloplasmin, de la que se secuenciaron varias familias peptídicas, fue la única excepción entre las proteínas dominantes. Aún así, dos regiones de la proteína aportaban más del 94% de los péptidos secuenciados (Tabla 2.3).

Muestra	Proteína	Localización celular	Número de péptidos totales	Core
Bazo 1	Ceruloplasmin (9%)	E/EM	80	IRMFITAPD
			48	FYLFPFTVFD
			5	VDKEFYLFP
			3	YVHLKNLAS
Bazo 2	Apolipoprotein A-IV (12%)	E/EM	71	FQMKKNAEE
Bazo 3	Serotransferrin (19%)	E/EM	98	YYAVAVVKK
Bazo 4	C-reactive protein (52%)	E/EM	429	YVSLKAPLT
			2	MNSLRAEDT
			1	TLYLQMNSL
			4	YLNMMNSLRA
			60	YLQMNSLRA
			1	YLQMNSLRV
Bazo 4	Ig heavy chain (9%)	E/EM		

Tabla 2.3. Frecuencia de las proteínas más abundantes encontradas en bazo, su localización, el número total de secuencias obtenidas y el core asignado.

De la muestra 4 se lograron identificar 429 espectros de una misma proteína, la proteína C reactiva (CRP), sumando más del 50% del repertorio de esta muestra. Todos estos péptidos procedían de la

región comprendida entre los residuos 32 a 49 y se agrupaban en un único *nested set* compuesto por 13 secuencias de tamaños entre 13 y 17 aa, algunas repetidas. Ligandos de la CRP diferentes a los secuenciados en el bazo 4, también se obtuvieron en las muestras 2 y 3, con frecuencias de 0,57 y 1,05 %, respectivamente. La altísima frecuencia de péptidos de CRP podría estar relacionada con un proceso patológico no diagnosticado en el donante. La otra proteína dominante en el bazo 4 fue la inmunoglobulina que representaba un 9% de los péptidos no-CRP. Aunque se le asignaron varios *cores* posibles, las secuencias proceden de una única región que va desde el aa 70 al 111 de la secuencia. En el resto del repertorio del 53% al 77% de los péptidos secuenciados se agruparon en familias peptídicas de hasta 16 secuencias de diferente longitud.

La redundancia de secuencias de un determinado péptido se puede relacionar con la abundancia de la proteína origen y también con la inmunodominancia de una determinada secuencia para asociarse a un alelo del MHC. La abundancia de estas proteínas dentro del proteoma humano es difícil de analizar. La composición de los proteomas varía en función del tejido y las bases de datos son escasas y muestran divergencias en la representación de una determinada proteína, según el tejido analizado. Debido a que no hay datos específicos de bazo disponibles, escogimos la base de datos consenso del proteoma total, que sólo cubre el 40% (8963 proteínas totales) de las proteínas descritas hasta la fecha de su publicación. Por lo que utilizamos el atlas peptídico humano (H_sapiens PeptideAtlas Build May 2010, <http://www.peptideatlas.org/>) como tentativa para comparar el número de péptidos por proteína en las muestras de bazo con la abundancia de la misma proteína en el proteoma humano (Figura 2.3).

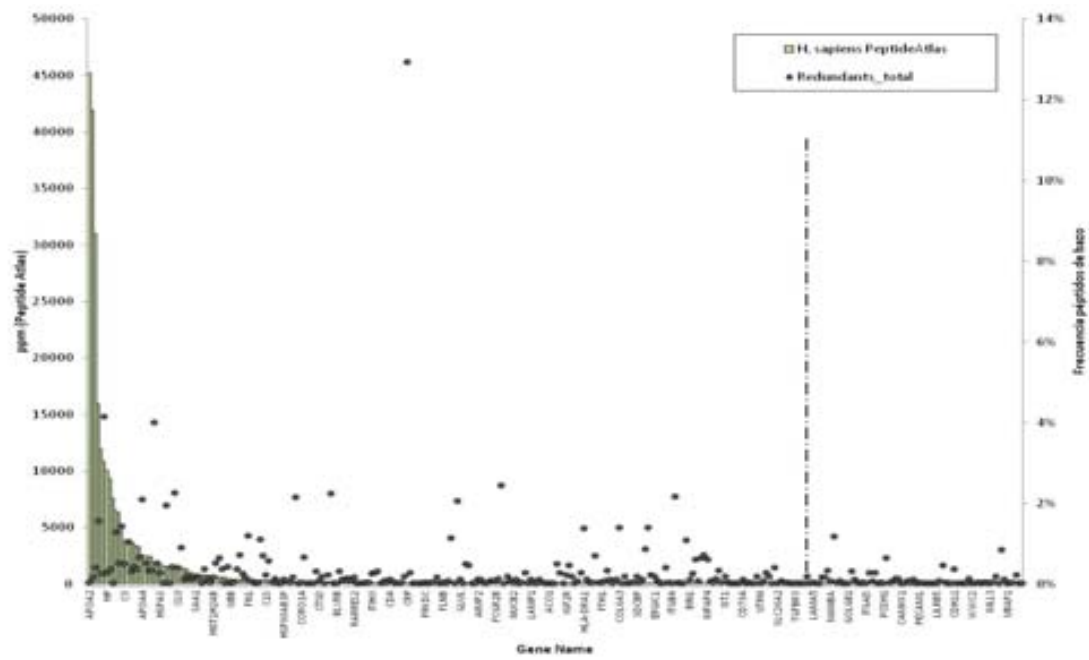


Figura 2.3. Representación de la frecuencia de péptidos (círculos negros) derivados de cada proteína respecto a su concentración en el proteoma humano (barras). Las proteínas están ordenadas de mayor a menor en función de su concentración total en ppm. La línea vertical marca el punto a partir del cual la concentración de proteínas es menor de 1 ppm.

De las proteínas indexadas en esta base de datos, el 38% de ellas son proteínas poco abundantes, con menos de 1 ppm y el 62% más de 1 ppm.

El 67% del repertorio peptídico secuenciado en bazo procedía de proteínas con concentraciones superiores a 1 ppm dentro del proteoma, pero el 23% restante procedían de proteínas poco abundantes. Aunque no existen datos específicos del proteoma del bazo, se puede afirmar que las proteínas mayoritarias en el repertorio asociado a HLA-DR en bazo no necesariamente corresponden a las mayoritarias dentro del proteoma humano.

Muestra	Proteína	Localización Celular	Frecuencia	ppm*
Bazo1	Ceruloplasmin	E/EM	9%	1830
	Dipeptidyl-peptidase 1	Lis/End	6%	24
	Phosphoglycerate kinase 1	C	5%	1481
	Complement C1q subcomponent	E/EM	5%	194
Bazo2	Apolipoprotein A-IV	E/EM	12%	2605
	Cathepsin S	Lis/End	8%	6
	Inter-alpha-trypsin inhibitor	E/EM	5%	1546
Bazo3	Serotransferrin	E/EM	19%	10888
	Fibrinogen beta chain	E/EM	8%	6488
	HLA class II, DR alpha chain	M	7%	12
	Probable serine carboxypeptidase (CPVL)	Lis/End	6%	5
	HLA class I, alpha chain	M	5%	8
Bazo4	C-reactive protein	E/EM	52%	70
	Ig heavy chain V-III	E/EM	9%	251

Tabla. 2.4. Listado de proteínas con frecuencias de secuenciación de péptidos superiores al 5% de cada muestra de bazo. *ppm, partes por millón, concentración de cada proteína en el proteoma humano, según PeptideAtlas.

En la tabla 2.4 están listadas las proteínas que generaron péptidos con frecuencias superiores al 5%. Excepto la *Phosphoglycerate kinase 1*, enzima intracelular ubicua y abundante (1481ppm) relacionada con la glicolisis, el resto de péptidos procedían de proteínas degradadas en la ruta endocítica. Ocho de las catorce proteínas más frecuentemente secuenciadas, como C1q, fibrinógeno, apoliproteína A-IV o la propia CRP, procedían del espacio extracelular. Las otras proteínas mayoritarias de origen no exógeno estaban involucradas en el procesamiento y presentación de antígeno (Dipeptidyl-peptidase 1, Cathepsin C, HLA-II-DR α chain, HLA-I α chain, Cathepsin S y carboxypeptidase CPVL).

2.5. Proteínas y secuencias comunes

Para el análisis comparativo, no cuantitativo, de las secuencias obtenidas en las diferentes muestras, utilizamos los 1108 péptidos únicos, sin tener en cuenta la redundancia.

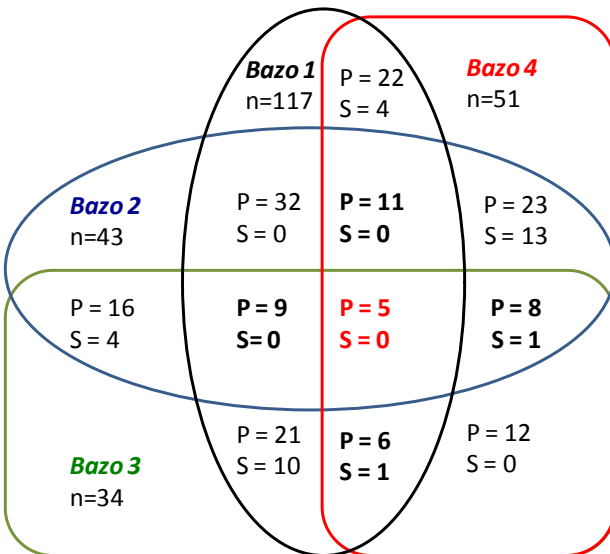


Figura 2.4. Diagrama de Venn de las proteínas compartidas entre las cuatro muestras de bazo. n= número de proteínas únicas en cada muestra; P= proteínas compartidas; S= Secuencias idénticas compartidas. En negrita, los datos correspondientes a comparaciones con 3 muestras y en rojo las proteínas y secuencias comunes a todos los bazos.

De las 73 proteínas comunes, 5 estaban presentes en todas las muestras analizadas, 14 en tres y 54 en 2 (Figura 2.4). Solo el 4% de las secuencias eran idénticas (42 de 1108). Las cinco proteínas que generaron péptidos en todos los bazos fueron: la *α-2-macroglobulin*, relacionada con la coagulación sanguínea; el factor de complemento C3 y la *Inter-α-trypsin inhibitor heavy chain H4*, de la inmunidad innata; y *HLA-DR α-chain* y *78 kDa glucose-regulated protein*, relacionadas con presentación antigénica. Ninguna de estas proteínas comunes generaron el mismo ligando en todas las muestras, todas HLA-DR diferentes, con la excepción de dos que compartían un alelo (HLA-DRB1*03:01, común entre bazo2 y bazo 4). Únicamente dos proteínas, la *78 kDa glucose-regulated protein* y *probable serine carboxypeptidase CPVL*, generaron ligandos idénticos en tres de las muestras. Las secuencias obtenidas de la primera proteína no se pudieron asignar a ningún alelo, mientras que el péptido derivado de la CPVL se asoció a DR8 en el bazo 2, DR7 en el bazo 3 y a DR1 en el bazo 4.

2.6. Características y funcionalidad del repertorio peptídico asociado a HLA-DR en bazo

2.6.1. Distribución de tamaño

El tamaño de los péptidos asociados a HLA-DR presentó una distribución gaussiana (Figura 2.5), con una longitud media de 16 aminoácidos (9-33 aa's) y un peso molecular medio de 1800. Este tamaño se encuentra dentro de los cánones de los ligandos para MHC-II.

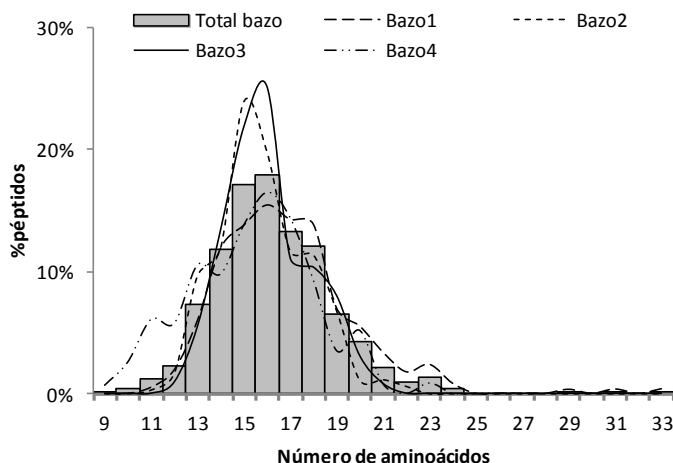


Figura 2.5. Distribución de tamaño de los péptidos. Cada línea representa una de las muestras analizadas y el histograma, la media de los valores.

2.6.2. Proteínas de origen y ruta de procesamiento de los péptidos secuenciados

Los péptidos se clasificaron en función del compartimento celular donde se encuentra la proteína parental. También se agruparon los péptidos según su posible ruta de degradación, citosólica (C) o endocítica (E). Los péptidos procedentes de proteínas de membrana (M), del espacio o matriz extracelular (E/EM), Golgi (G), retículo endoplasmático (ER) o endosomas y/o lisosomas (Lis/End) se asociaron a las rutas de procesamiento endocítico. Los péptidos correspondientes a proteínas citosólicas (C), mitocondriales (mit) o nucleares (N) se asignaron a la vía citosólica. Usando este criterio, el 79% de los péptidos obtenidos se degradarían por la vía endocítica (Figura 2.6A) y la vía citosólica aportaría el 21% restante.

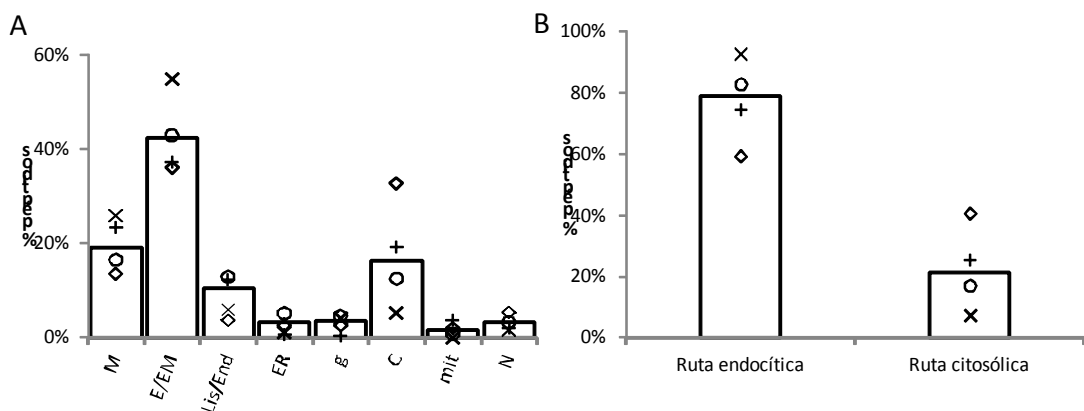


Figura 2.6. Localización y ruta de degradación de las secuencias peptídicas asociadas a HLA-DR en bazo. A) Localización celular de las proteínas parentales de los ligandos de HLA-DR; membrana (M), extracelular o matriz extracelular (E/EM), Golgi (G), Reticulo endoplasmático (ER), endosoma/lisosoma (Lis/End), citosol (C), mitocondria (mit) o núcleo (N). B) Media porcentual de los ligandos de HLA-DR para cada ruta degradativa. Ruta endocítica: M, E/EM, Lis/End, ER y G. Ruta citosólica: C, mit y N. Las columnas representan la media de los péptidos procedentes de las muestras de bazo 1(○), bazo 2 (+), bazo 3(x) y bazo 4 (◊).

Al desglosar las rutas de procesamiento, las proteínas captadas extracelularmente (43%) o de membrana (19%) aportaron más del 60% de los ligandos secuenciados (Figura 2.6B). De las proteínas extracelulares, gran parte de estas ellas se relacionaban con la respuesta inmunitaria (i.e., complemento, *macrophage migration inhibitory factor*, *osteopontin*), con procesos de coagulación (*antitrombina-III* o *fibrinógeno*) o con funciones homeostáticas (*angiotensinógeno*, *albúmina sérica* o *ferritina*). Respecto a

las proteínas de membrana, se secuenciaron péptidos relacionados con la presentación antigenica (CD74, cadenas α y β de DR, cadena α de clase I y DP), adhesión celular (cadherinas, integrinas o VCAM-1), activación celular (CD4, CD79) y actividad leucocitaria como CD85d, CD32, CD206 o TLR-5, entre otras. El 16% del repertorio global provenía de proteínas citoplasmáticas, variando entre el 5% (Bazo 3) y el 20% o 34% de los bazos 2 y 4, ambos DR3⁺. En este grupo encontramos proteínas estructurales como la miosina, subunidades del proteasoma o proteína kinasas, entre otras. El cuarto compartimento que aportó más ligandos al repertorio es el endolisosómico, con un 10%. Dentro de este grupo aparecen de forma predominante ligandos relacionados con el procesamiento antigenico como cathepsinas (A, B, C, D, F, L1, S and Z) o proteínas involucradas en el tráfico de vesículas como la clatrina.

2.6.3. Funcionalidad del repertorio

La funcionalidad de las proteínas parentales del repertorio presentado por las APCs de bazo se analizó utilizando la herramienta informática DAVID (*Functional Annotation Bioinformatics Microarray Analysis*, <http://david.abcc.ncifcrf.gov/>). Este programa analiza el incremento de proteínas relacionadas con una vía o función biológica en una muestra de proteínas, comparado con el genoma humano. Para el estudio se utilizó la base de datos “Gene Ontology consortium database, GO” y se consideraron las agrupaciones que presentaban un grado de enriquecimiento superior o igual a 2 (Tabla 2.5).

Agrupación funcional	Enrichment Score			
	Bazo1	Bazo2	Bazo3	Bazo4
Lymphocyte mediated immunity	6,6	4,1	3,6	2,2
Complement activation	5,7	3,5	2,8	3,1
Glycosaminoglycan binding	2,1	2,7	4,5	-
Coagulation	2,7	-	2,2	-
Negative regulation of apoptosis	-	3,9	-	2,2
Vesicle	-	-	7,5	7,5
MHC class II receptor activity	3,6	-	-	-
Lysosome	-	2,3	-	-
Peptidase inhibitor activity	-	-	2,2	-
Phagocytosis	-	-	-	2,9
Cellular ion homeostasis	-	2	2,1	-
Lipid homeostasis	-	-	3,3	-
Tissue regeneration	-	-	2,4	-
Regulation of cellular component size	-	-	-	2,3
Regulation of protein modification	-	2,3	-	-
ER-associated protein catabolic	-	2,2	-	-

Tabla 2.5. Representación y tabla de los grupos funcionales obtenidos mediante DAVID. Grupos funcionales derivados del análisis de cada muestra con el sistema DAVID, utilizando la base de datos de “Gene Ontology”. Solo los grupos funcionales con valores de enriquecimiento superiores a 2 fueron tenidos en cuenta.

En todas las muestras analizadas aparecieron agrupaciones funcionales relacionadas con inmunidad mediada por linfocitos y activación del complemento y la unión de glicosaminoglicanos (GAGs) estuvo representada en 3 de las 4 muestras analizadas. Este grupo funcional/estructural contiene proteínas con capacidad de interacción selectiva y no covalente con grupos glicano (polisacáridos). Estas proteínas son

abundantes a nivel de membrana o en el espacio extracelular. El resto de agrupaciones funcionales fue más diverso. Varios de los grupos obtenidos englobaron actividades relacionadas con el procesamiento y la presentación antigénica (receptores MHC-II, lisosomas, transporte vesicular, fagocitosis y catabolismo del RE) o con funciones homeostáticas relacionadas con lípidos, metabolismo celular de iones (agrupación presente en dos de las muestras), apoptosis o coagulación.

2.7. Afinidad teórica de los ligandos de HLA-DR en bazo

El método de predicción de afinidad de los péptidos a los alelos de HLA-DR expresados por cada donante se describe en el capítulo 1. Se utilizaron tres métodos y se asignó el grado de afinidad si había consenso entre al menos dos de ellos. El sistema Propred se utilizó para todos los alelos, salvo DR407 (muestra 1) cuya matriz de asignación no está disponible en Propred, para el que se utilizó la herramienta TEPITOPEpan.

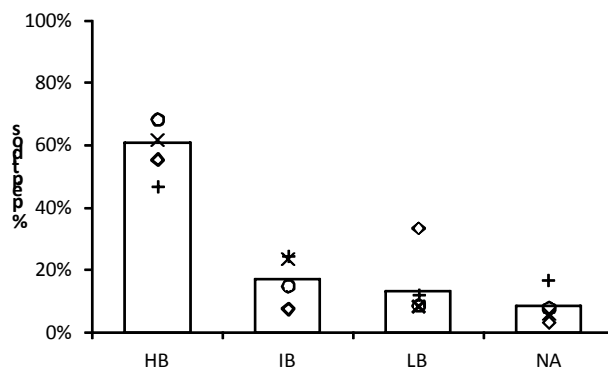


Figura 2.7. Análisis de la afinidad de unión teórica del péptido a la molécula de MHC. Comparación de la predicción de afinidad de unión teórica de los péptidos asociados a HLA-DR aislados de APCs esplénicas. Las columnas representan la media de los péptidos procedentes de las muestras de bazo 1(o), bazo 2 (+), bazo 3(x) y bazo 4 (◊).

El 61% de los ligandos secuenciados presentaron una afinidad teórica alta (HB) por uno o ambos alelos de HLA-DR. El 17% y 14% restante correspondieron a ligandos de HLA-DR con afinidades teóricas intermedias (IB) o bajas (LB), respectivamente (Figura 2.7). El 8% fueron ligandos cuya afinidad teórica no se podía asignar ya que daba resultados diferentes con los tres predictores. Al analizar las afinidades respecto de la ruta de procesamiento, los péptidos procesados por la vía canónica de degradación endocítica presentaron un porcentaje mayor de ligandos HB. Entre los péptidos asignados a la ruta citosólica se demostró la misma tendencia pero con mayor abundancia de péptidos IB o LB (Figura 2.8). Los péptidos procedentes de proteínas presumiblemente procesadas por esta vía aportan un 30% de ligandos de baja afinidad en comparación con el 9% que de ligandos LB asignados a la ruta endocítica (Figura 2.8).

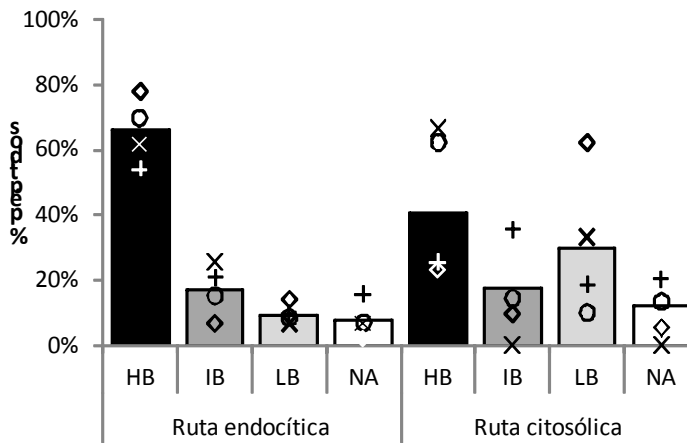


Figura 2.8. Análisis de la afinidad de unión teórica del péptido a la molécula de HLA-DR. Predicción de la afinidad de unión teórica en función de la vía de degradación proteica. Las columnas representan la media de los péptidos procedentes de las muestras de bazo 1(o), bazo 2 (+), bazo 3(x) y bazo 4 (◊). Las barras de color negro corresponden a la media de los HB, gris oscuro a los IB, gris claro a los LB y blanco a los no asignados (NA).

Respecto a los compartimentos celulares, los péptidos procedentes de la membrana celular y sobre todo de proteínas extracelulares fueron mayoritariamente de alta afinidad (Figura 2.9 A). Los ligandos derivados de proteínas del RE, citoplasma o núcleo presentaban porcentajes de HB y LB similares, los péptidos procedentes de la mitocondria fueron mayoritariamente IB (Figura 2.9 B).

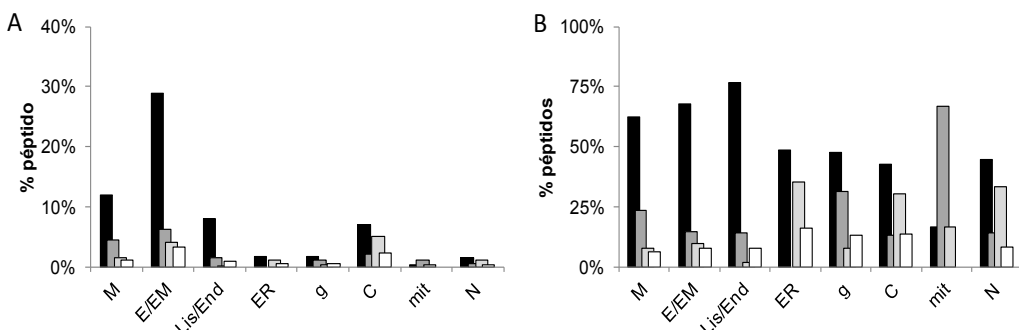


Figura 2.9. Análisis de la afinidad de unión teórica del péptido a la molécula de MHC. A) Predicción de afinidad de unión teórica en función del total de la localización de las proteínas parentales. B) Predicción de afinidad de unión teórica en función del total de los péptidos asignados a cada una de las localizaciones. Las columnas representan la media de los péptidos procedentes de las 4 muestras de bazo. Las barras de color negro es la media de HB, las gris oscuro de IB, las gris claro de LB y las barras blancas de NA.

La inmunopurificación de los complejos péptido-MHC mediante el anticuerpo B8.11.2 puede conllevar la purificación de moléculas de HLA-DR compuestas por variantes de la cadena β , codificadas por otros genes DRB, p.e. DRB3 para el haplotipo DR3. Mediante nuestro sistema de purificación no descartamos que un cierto número de secuencias obtenidas proceda de la purificación de péptidos asociados a estas variantes. Los motivos de unión de estas moléculas están incompletos o por identificar y los sistemas de asignación teórica carecen de matrices de asignación para estas moléculas, lo que nos impide su análisis. Por lo tanto, existe la posibilidad de que algunos de los péptidos de baja afinidad teórica pertenezcan a alelos formados por cadenas beta de los otros genes de HLA-DR expresados en los diferentes haplotipos.

Capítulo 2

Discusión

Análisis de los péptidos asociados a HLA-DR en ausencia de infección en bazos de donantes de trasplante

El bazo es un órgano multifuncional cuya función principal es la destrucción de eritrocitos deteriorados, y tiene cierta capacidad eritropoyética y de reserva sanguínea. Además, es el mayor órgano linfoide secundario especializado en la respuesta a antígenos presentes en el torrente sanguíneo. Aproximadamente, el 82% de las células nucleadas en bazo humano corresponde a linfocitos, el 52% a linfocitos B (Colovai et al. 2004). Los macrófagos y las DCs componen el 9,2% y el 0,7% respectivamente (McIlroy et al. 2001). En este trabajo mostramos que la expresión de HLA-DR se concentra principalmente en los folículos. Debido al acúmulo de linfocitos B que los componen, la intensidad de señal es mayor que la que generan las DCs y macrófagos DCSIGN⁺ que los rodean, aunque a nivel individual sobre todo las DCs expresan altos niveles de HLA-DR. Por tanto, aunque no hemos hecho separación celular previa y por tanto no podemos saber el origen celular del repertorio de péptidos obtenido, una gran parte de las moléculas de HLA-DR analizadas debería proceder de los linfocitos B.

En total se obtuvieron 3365 secuencias peptídicas de 4 muestras de bazo humano, muchas de las cuales eran redundantes. La concentración del péptido en la muestra es determinante para poder ser reconocida y fraccionada por el espectrómetro de masas. Aún así, la capacidad de ionización y fragmentación de las secuencias peptídicas varía en función de los aminoácidos que la componen, lo que implica que hay secuencias más fácilmente detectables y analizables por MS. Incluso fraccionando la muestra por HPLC (SCX (*offline*) y RP (*online*)) y utilizando ventanas de exclusión temporal en el protocolo de barrido del Orbitrap (ver Materiales y Métodos), determinados fragmentos peptídicos se secuencian reiteradamente. Por lo tanto, si hallamos gran cantidad de péptidos derivados de una única proteína, podemos suponer que tanto el procesamiento como la presentación de péptidos de esta proteína son más eficientes que el resto. A excepción de la CRP de la muestra de bazo 4, hemos observado que la frecuencia de los ligandos procedentes de una misma proteína rondan entre el 9% y el 19% del total de secuencias de la muestra. Los péptidos de las proteínas más secuenciadas proceden de la captación de componentes de origen sérico. Por norma general, los péptidos obtenidos se agrupan dentro de familias peptídicas o *nested sets* y se presenta de forma dominante una única región de la proteína parental (epítopo immunodominante). No podemos descartar que una ampliación futura de la capacidad de detección de los equipos de MS pueda secuenciar otras regiones de una misma proteína. En el caso del bazo 1, donde se lograron secuenciar 1445 péptidos, los péptidos de ceruloplasmina fueron los más secuenciados y procedían de 4 regiones diferentes de la proteína. Aun así, únicamente dos familias peptídicas conformaron el 98% de los péptidos obtenidos. Los péptidos secuenciados de las proteínas más representadas generaron amplios *nested sets* compuestos de entre 7 a 15 ligandos. La inmunodominancia de determinados ligandos es visible en todas las muestras analizadas. Un ejemplo claro es la CRP, cuyos 400 péptidos, que ocupan más del 50% de los péptidos secuenciados del bazo 4, proceden de una única región. Estas secuencias constituyan ligandos de alta afinidad de uno de los alelos de HLA-DR del donante, HLA-DR1.

Si descartamos las secuencias redundantes, se secuencian 1108 secuencias, procedentes de 318 proteínas. De estas 1108, sólo 42 secuencias idénticas se identificaron en más de una muestra (número

de secuencias únicas 1066). Aun así, ligandos de 73 de las 318 proteínas parentales se secuenciaron en más de un bazo y este reducido número de proteínas generaron por sí solas cerca del 50% del repertorio obtenido. Aunque el solapamiento peptídico es pequeño, de las cinco proteínas secuenciadas en todas las muestras, cuatro de ellas aportaron péptidos procedentes de la misma región proteica. Lo que indica que epítopos inmunodominantes o al menos regiones inmunodominantes son evidentes incluso entre muestras con alelos diferentes de HLA-DR. Además, se identificaron péptidos de 51 proteínas que ya habían sido secuenciadas en estudios previos de secuenciación de ligandos de HLA-DR de APCs en cultivo (linfocitos B, T o DCs) (Röhn et al. 2004; Bozzacco et al. 2011; Costantino et al. 2012). Aún con alelos diferentes a los de este estudio, 19 proteínas humanas descritas en estos estudios compartían secuencia con las obtenidas en este trabajo. Gran parte de ellas procedentes de proteínas del sistema inmunitario como las propias moléculas de HLA-DR, CD79, catepsina S, TGF β -receptor III, thymosin β -4-like protein 1 o calreticulina. Incluso comparando con el repertorio asociado a MHC-II en APCs de ratón, hemos encontrado 10 proteínas comunes. Dos de ellas, serotransferrina y MHC-II, tienen incluso secuencias idénticas o conservadas en los repertorios peptídicos que presentan (Tabla 2.5).

H-2 E [<i>Mus musculus</i>]	54-AQGALANIAVDKAN-67
Identidad de secuencia	AQGALANIAVDKAN
HLA-DR [<i>Homo sapiens</i>]	50-AQGALANIAVDKAN-63
Serotransferrin [<i>Mus musculus</i>]	110-PQTYYYAVAVVKK-122
Identidad de secuencia	PQT⁺YYAVAVVKK
Serotransferrin [<i>Homo sapiens</i>]	110-PQTFYYAVAVVKK-122

Tabla 2.5. Secuencias idénticas entre especies. Comparación entre secuencias peptídicas obtenidas en las muestras de bazo analizadas y las obtenidas en trabajos de secuenciación peptídica de ligandos de clase II en APCs de ratón.

El hecho de encontrar estas secuencias en otros trabajos, presentados por diferentes alelos de DR, refuerza la idea de epítopos inmunodominantes dentro de las proteínas, compartidos incluso entre especies. En algunos casos al menos, los epítopos inmunodominantes parecen ser también promiscuos, es decir se pueden asociar a diferentes alelos de HLA-DR.

El repertorio peptídico en bazo está enriquecido en material sanguíneo debido a su conexión directa con la circulación sanguínea y a su función de eliminación de restos celulares sanguíneos. El procesamiento antigénico y la función de drenaje y eliminación de estos restos se ve reflejada en el incremento en las agrupaciones funcionales relacionadas con estos procesos, tales como fagocitosis, apoptosis, transporte vesicular/lisosomal y MHC-II. Los péptidos secuenciados procedían mayoritariamente del compartimento extracelular y las proteínas séricas eran la fuente principal. Es interesante notar que hay un aumento detectable de péptidos procedentes de proteínas del sistema de complemento y la respuesta inmunitaria adaptativa. Esto contrasta con los estudios previos según los cuales los repertorios de células en cultivo muestran una tendencia a favor de la presentación de péptidos de proteínas intracelulares (Röhn et al. 2004; Bozzacco et al. 2011; Costantino et al. 2012). La diferencia es esperable ya que nuestros datos representan el peptidoma de un conjunto diverso de células de un tejido en condiciones fisiológicas y en presencia del estroma tisular. En este conjunto se

incluyen células de gran capacidad fagocítica, DC y macrófagos, que favorecerían la captación de material externo y que son especialmente eficientes como presentadoras de péptidos.

El repertorio peptídico en bazo en condiciones homeostáticas demuestra por tanto ser un reflejo de las principales funciones del tejido. Las proteínas más representadas están relacionadas con diferentes aspectos de la respuesta inmune o son proteínas de origen sanguíneo. Según esto, variaciones en la homeostasis tisular podrían generar cambios perceptibles en la composición del repertorio, y un ejemplo de esto podría ser la alta frecuencia de secuenciación de la CRP en el bazo 4. La CRP es una proteína que aumenta considerablemente en suero en inflamación. Los datos clínicos del donante indican la presencia de hepatopatía por enol, VE, y hepatitis isquémica. Es de presumir que estos procesos inflamatorios del hígado habrían generado altos niveles de CRP que estaría en suero y por lo tanto irían al bazo, donde sería captada por las APC locales.

Los datos también presentan ciertas discrepancias respecto a estudios *ex vivo* del repertorio peptídico presentado por células dendríticas y linfocitos B esplénicos de ratón. La aportación de material extracelular a estas células era menor que el obtenido en nuestro estudio, sobretodo en células B, en las cuales el porcentaje de ligandos extracelulares era sólo del 11% (Bozzacco et al. 2011) y había un gran incremento de material intracelular en el repertorio peptídico presentado. Esto podría explicarse debido a los procesos de enriquecimiento y activación celular *in vivo* junto con los posteriores procesos de separación celular. La activación de las APCs disminuiría la capacidad de captación de material celular y la falta de componentes proteicos en el medio externo durante los procesos de purificación podrían aumentar la presentación de ligandos de origen citosólico.

En nuestro estudio, la aportación de la ruta de degradación endocítica fue mayoritaria. Los compartimentos más relevantes que aportaron material fueron: espacio o matriz extracelular (43%), membrana (19%) y lisosomas/endosomas (12%). A pesar que la expresión de HLA-DR es más abundante en el compartimento B del bazo (folículos), las células B no son particularmente eficientes en la presentación de material exógeno salvo si es reconocido por su Ig de superficie, sugiriendo que ese material extracelular sería potencialmente captado y presentado por DCs del PALS o de la pulpa roja o macrófagos. Solo el 21% de los ligandos secuenciados procedían de compartimentos citoplasmáticos, de las cuales el 16% eran citosólicos. Aunque estas proteínas pueden ser degradadas en el citosol e introducidas posteriormente a la vía endocítica, no podemos descartar que su presentación dependa también la autofagia o de la fagocitosis y degradación de restos celulares por DCs y macrófagos. Las DCs esplénicas de la pulpa roja, pueden captar y procesar proteínas séricas, eritrocitos y otros tipos celulares (Belz et al. 2002). Lo mismo harían los macrófagos, localizados en la zona marginal donde actúan también como APCs (Dijkstra et al. 1985). El repertorio reflejaría la importancia del bazo en el drenaje de material sanguíneo en la pulpa roja y su relación con la inmunovigilancia de antígenos sanguíneos capturados por las DCs y que podrían ser reconocidos por los linfocitos T de la pulpa blanca.

De las 1108 secuencias no redundantes, el 84% eran ligandos de afinidad teórica alta y media por sus respectivas moléculas de DR. El 16% restante se consideraron ligandos de baja afinidad a excepción del bazo 4, con un porcentaje del 34%. Las DCs inmaduras presentan un ratio HLA-DR/HLA-DM de 4:1. Tras

su activación y maduración de las dendríticas, hay un aumento en la expresión de DR, disminuyen la expresión DM hasta un ratio de 40:1 (Röhn et al. 2004). Si la muestra 4 presentaba inflamación, la diferencia de expresión de DR/DM podría facilitar la presentación de ligandos de baja afinidad en condiciones de inflamación.

Estas secuencias de baja afinidad se asignaron a proteínas presentes en todos los compartimentos evaluados, pero parece ser que son más frecuentes en compartimentos no asociados a la ruta de procesamiento canónica del MHC-II, como proteínas citosólicas, nucleares o residentes del RE. Aunque el número de ligandos de proteínas procedentes del citosol ($n=181$) es lo suficientemente alto como para que sea representativo, los ligandos del RE ($n= 37$) o nucleares ($n= 36$) pueden no serlo. Aun así, hay compartimentos como el golgi ($n=38$) o las mitocondrias ($n=18$) que generan porcentajes de HB, IB y LB similares a los que se aprecian en los compartimentos extracelulares o de membrana.

No podemos descartar tampoco que algunos de estos ligandos puedan estar asociados a otras moléculas de DR. Los sistemas de predicción de afinidad de unión teórica ya son, de por sí, sistemas orientativos y se incrementa la incertidumbre de su predicción si los motivos de unión de los alelos no están claramente definidos. Por ello, este estudio se realizó sin tener en cuenta las otras cadenas β que pueden expresarse en las muestras. Aun así, el estudio sugiere que el proceso de presentación antigénica genera, en condiciones homeostáticas, ligandos de básicamente de alta afinidad que, junto con el hecho de secuenciar mayoritariamente familias peptídicas, indican regiones de alta representatividad dentro de las proteínas que podrían ser las que se tolerizan y mantienen la homeostasis celular de los linfocitos T en periferia.

Capítulo 3

Análisis de los péptidos asociados a HLA-DR en timos de donantes pediátricos no afectados por enfermedad inmunológica ni infección

3. Análisis de los ligandos de HLA-DR en timo humano

3.1. Descripción de las muestras

Las muestras de timo procedían de pacientes pediátricos con patologías cardíacas y sin otras enfermedades en el historial médico, obtenidas por el personal médico del Hospital de la Vall d'Hebron, con consentimiento explícito por parte de los padres y cedidas a investigación al Laboratori d'Immunobiologia per a la Recerca i les Aplicacions Diagnòstiques (LIRAD) tras aprobación por el comité ético correspondiente.

Se analizaron 5 muestras, procedentes de tres varones y dos hembras con edades comprendidas entre 4 días y 9 meses (Tabla 3.1). Las muestras Timo1 y Timo2 presentaban el mismo tipaje para HLA-DR y se procesaron de manera idéntica a las muestras de bazo descritas en el capítulo 2, utilizando la tecnología Orbitrap en el departamento CSIC/UAB Proteomics Laboratory, IIBB-CSIC, IDIBAPS, Facultat de Medicina, UAB. Los *pools* peptídicos de las muestras 3, 4 y 5 se purificaron de igual manera pero se fraccionaron de diferente forma: Timo3, se fraccionó por RP-HPLC tal y como se había descrito (Alvarez et al. 2007); Timo 4, se fraccionó por “*cationic exchange-reversed-phase 2-D chromatography*” (Alvarez et al. 2008); Timo 5 no se fraccionó. Para las muestras de timo 3, 4 y 5 se utilizó un espectrómetro de masas *Esquire HCT ion trap mass spectrometer* (Bruker, Billerica, MA, USA), acoplado a un sistema nano-HPLC (UltiMate; LC Packings, Amsterdam, The Netherlands)(Alvarez et al. 2008) en el servicio de proteómica del Hospital Universitario de la Vall d'Hebrón de Barcelona. Todas las muestras expresaban el alelo HLA-DR3. El procesamiento de las muestras se realizó sin separación celular previa. Por tanto, las moléculas de HLA-DR purificadas procedían de las poblaciones de cTECs, mTECs, DCs, células B y macrófagos presentes en timo.

	Timo1	Timo2	Timo3	Timo4	Timo5
Edad	7 meses	4 días	6 meses	5 meses	9 meses
Sexo	M	F	F	M	M
HLA-DRB1	01:01 03:01	01:01 03:01	03:01 11:01	03:01 15:01	03:01 11:04

Tabla 3.1. Características de las muestras de timo analizadas, edad, sexo y tipaje para HLA-DR

3.2. Expresión de HLA-DR en timo humano

La expresión de HLA-DR en timo se examinó mediante microscopía confocal utilizando un anticuerpo monoclonal anti-HLA-DR conjugado con Alexa Fluor®647. Los resultados indicaron un número relativamente bajo de células HLA-DR positivas en el córtex, asociado principalmente a las cTECs. La densidad celular es mayor que en la médula debido a un mayor número de timocitos proliferando en el córtex. La médula muestra un patrón distinto, con menor celularidad y mayor densidad de HLA-DR. Es en este área donde encontramos más células con alta expresión de HLA-DR, p.e. mTECs, DCs, B cells y macrófagos, en contacto con los timocitos (figura 3.1A). La cuantificación de la intensidad de fluorescencia media del Alexa Fluor® 647 muestra un ratio promedio de expresión de HLA-DR de 3.1 de médula respecto a córtex ($p<0.0001$) (figura 3.1B).

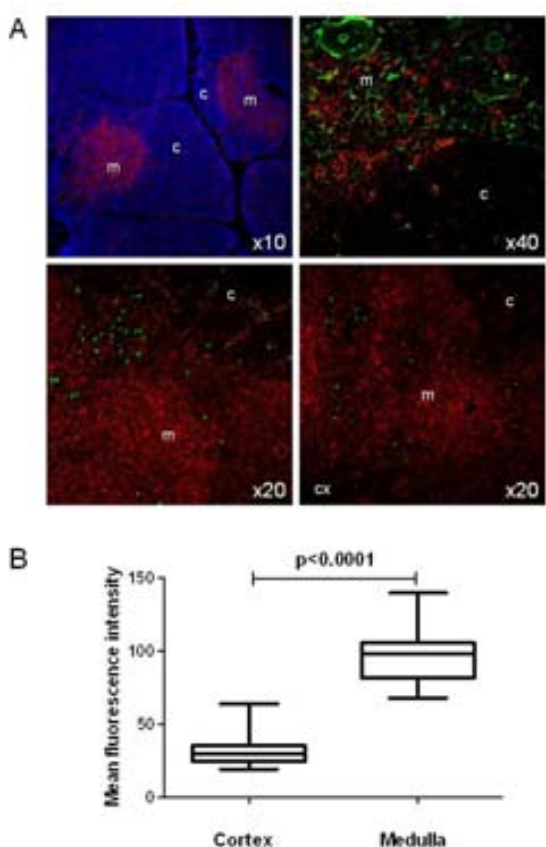


Figura 3.1. Expresión de HLA-DR en muestras de timo. La tinción de HLA-DR se muestra en rojo en todas las imágenes de microscopía confocal. A) Arriba izquierda: distribución de la expresión de HLA-DR en el timo, donde se ve una elevada densidad de expresión a nivel medular (m). La tinción de nucleo con DAPI (azul) muestra una densidad celular muy alta a nivel de la corteza tímica (c). Amplificación del objetivo: 10x. Arriba derecha: La tinción con anti-citoqueratina (verde) muestra una alta concentración de células epiteliales en la médula, menor en el córtex. Amplificación del objetivo: 40x. Abajo izquierda: expresión de DC-SIGN (verde), marcador de DCs convencionales. Las DCs son relativamente pocas y concentradas en la médula. Amplificación del objetivo: 20x. Abajo derecha: expresión de marcadores específicos de células B CD19 (verde) junto con la expresión de HLA-DR. Las células B son pocas en número y también se observan básicamente a nivel de médula. Amplificación del objetivo: 20x. B) Cuantificación relativa de la expresión de HLA-DR en el córtex y en la médula: 40 campos con idéntica área de médula y córtex procedentes de 8 secciones de tejido fueron analizados. La intensidad de fluorescencia de Alexa Fluor® 647-anti-HLA-DR se calculó para cada región. La intensidad de fluorescencia media (MFI) se calculó utilizando el promedio de fluorescencia de los 40 valores de córtex y 40 de médula. Los datos fueron analizadas utilizando el MetaMorph software package (Universal Imaging Corporation Downingtown, PA). Como método estadístico, se realizó un t-test con un 99% de intervalo de confianza utilizando el GraphPad Prism software (©2012 GraphPad Software, Inc.). Las diferencias en intensidad de fluorescencia entre los dos conjuntos fueron significativas (ratio médula/córtez= 3.1; p< 0.0001).

3.3. Secuencias

Igual que en bazo, las secuencias obtenidas fueron revisadas y contrastadas con los péptidos contaminantes obtenidos en controles previos (mirar annexo 2.1). En las secuencias obtenidas mediante LTQ-Orbitrap, se asignaron 710 secuencias y se validaron 662. Las secuencias obtenidas de los timos 3, 4 y 5 se revisaron y filtraron de forma manual por el Dr. Iñaki Álvarez, debido a que el espectrómetro de masas era de baja resolución y el número de secuencias no era suficientemente alto para generar una estadística adecuada, con una asignación de FDR fiable.

En la tabla 3.2 se muestra resumido el número de ligandos obtenidos. Solo de las muestras analizadas con el Orbitrap tenemos información del número total de secuencias obtenidas, del resto de muestras carecemos de esa información. Se identificaron 407 secuencias no redundantes (120 en el Timo1, 171 en el Timo2, 54 en el Timo3, 41 en el Timo4 y 21 procedentes del Timo5) procedentes de 164 proteínas. El hecho de que las muestras comparten tipaje de HLA-DR reduce el número de ligandos únicos a 341 secuencias diferentes. La lista completa de los péptidos secuenciados se puede consultar en el anexo 3.1.

	<i>Timo1</i>	<i>Timo2</i>	<i>Timo3</i>	<i>Timo4</i>	<i>Timo5</i>
Cantidad procesada (g)	7	8	15	5	< 3*
Número de secuencias redundantes	254	408	N/D	N/D	N/D
Número de péptidos**	120	171	54	41	21
Proteínas de origen**	69	103	19	16	14
Péptidos únicos	51 (43%)	73 (43%)	11 (20%)	8 (20%)	12 (57%)
Familias peptídicas	69 (57%)	98 (57%)	43 (80%)	33 (80%)	9 (43%)
Peptidos por proteína	1-13	1-8	1-10	1-9	1-3
Peptidos por familia peptídica	2-6	2-6	2-10	2-9	2-3
Total péptidos**	341 (407 secuencias)				
Total proteínas**	164				

Tabla 3.2. Descripción del repertorio secuenciado y de las proteínas de las que procedían los péptidos.

*De la muestra 5 se procesaron menos de 3g. Aunque los péptidos de la muestra se incluyeron en la descripción global del repertorio, no se tuvieron en cuenta para los siguientes análisis debido a que las pocas secuencias obtenidas podían no ser representativas del repertorio global.

**Varias secuencias idénticas fueron identificadas en diferentes muestras tímicas. Por lo tanto, el número total de secuencias únicas es menor que la suma total de péptidos obtenidos. Lo mismo ocurre con las proteínas de las que proceden los ligandos obtenidos.

N/D: no hay datos.

3.4. Frecuencia peptídica e inmunodominancia

Los timos 1 y 2 con igual tipaje para HLA-DR (HLA-DR1: DRA1*01:01, DRB1*01:01; HLA-DR3: DRA1*01:01, DRB1*03:01) se utilizaron para realizar una comparación de los repertorios peptídicos. La primera comparación se realizó sobre el total de secuencias obtenidas y validadas. Mucha de ellas fueron redundantes. En total se identificaron 662 secuencias correctas, 254 de t1 y 408 de t2. Se analizó la frecuencia de los péptidos (idénticos o no) procedentes de cada una de las proteínas identificadas (Figura 3.2), de los cuales 37 se detectaron en ambas muestras. No obstante, los péptidos derivados de estas proteínas constituían el 70% del repertorio total obtenido entre los dos timos.

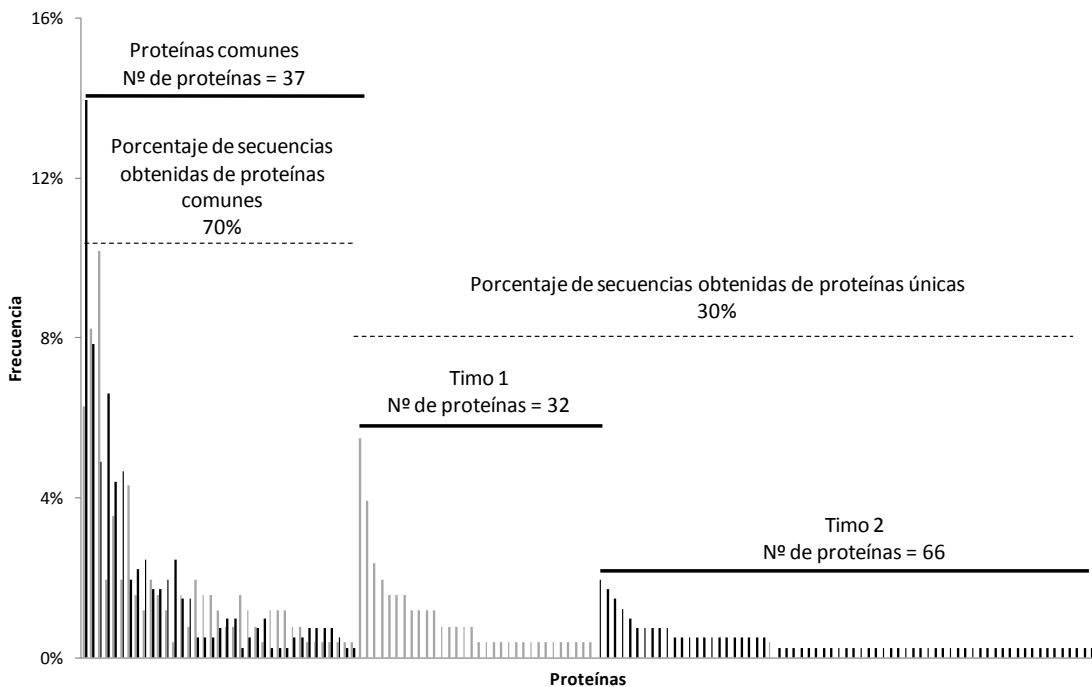


Figura 3.2. Frecuencias de los péptidos de las muestras de timo 1 y timo 2. Cada barra corresponde al número total de péptidos secuenciados procedentes de una única proteína. Las barras de gris claro y gris oscuro representan las proteínas detectadas en timo 1 y timo 2, respectivamente. Eje de abcisas: todas las proteínas identificadas en los repertorios están representadas en dos regiones (líneas punteadas). La primera región agrupa las frecuencias de los péptidos procedentes de proteínas comunes. Esta región contiene el 70% de todas las secuencias obtenidas. La siguiente región está dividida en 2 subregiones y agrupa el 30% de secuencias restantes, que corresponden a los péptidos derivados de proteínas secuenciadas exclusivamente en cada uno de los dos timos. Las barras 37 a 70 (n=32) representan la frecuencia de péptidos de proteínas secuenciadas en timo 1. Las barras 70 a 136 (n=66) representan la frecuencia de péptidos obtenidos de timo 2. Las proteínas se han ordenado de mayor a menor frecuencia de péptidos. Las proteínas se han ordenado según el número de péptidos generados de cada una, de mayor a menor. Eje de ordenadas: porcentaje de péptidos secuenciados de cada proteína, incluyendo péptidos redundantes.

Las proteínas de las que se secuencianaron péptidos con mayor frecuencia estaban relacionadas con la presentación antigenica: *Ig heavy chain V-III* para el timo 1, *DP α chain* para el timo 2 y la *cadena α de DR* en ambas muestras, constituyendo mas de 25% del repertorio peptídico secuenciado (Tabla 3.3). La frecuencia de otros péptidos de proteínas no compartidas variaba entre 0,15 al 4,18%. Las secuencias obtenidas procedían mayoritariamente de una única región, conformando *nested sets*. Como vemos en el caso de la cadena α de DR, estas regiones o secuencias inmunodominantes se presentaban de igual manera en los tejidos de donantes HLA-DR idénticos.

Muestra	Proteína	Localización	Número de péptidos totales	Core
Timo 1	Ig heavy chain V-III (10%)	E/EM	4	YLNMMNSLRA
			10	YLQMNSLRA
			1	YLQMNSLRV
			11	YLQMXSLRA
Timo 2	HLA class II, DR α chain (8%)	M	19	IAVDKANLE
			2	VTVLTNSPV
	HLA class II, DP α chain (14%)	M	98	YYAVAVVKK
	HLA class II, DR α chain (8%)	M	30	IAVDKANLE
			2	VTVLTNSPV

Tabla 3.3. Frecuencia de las proteínas más abundantes encontradas en los timos 1 y 2, su localización, el número total de secuencias obtenidas y su core asignado.

Si consideramos todas las muestras, un 74% de las secuencias se podían agrupar en familias peptídicas (rango de 43% a 80%), constituidas por 2 hasta 10 secuencias. Las muestras 1 y 2, con mayor número de ligandos secuenciados, muestran igual porcentaje entre secuencias únicas (43%) y secuencias agrupadas en *nested set* (57%).

Igual que en las muestras de bazo, se realizó una comparación del repertorio redundante (timo 1 y timo 2) respecto a la abundancia de las proteínas descritas en el *peptide atlas* (Figura 3.3 y apartado 2.1, capítulo 2).

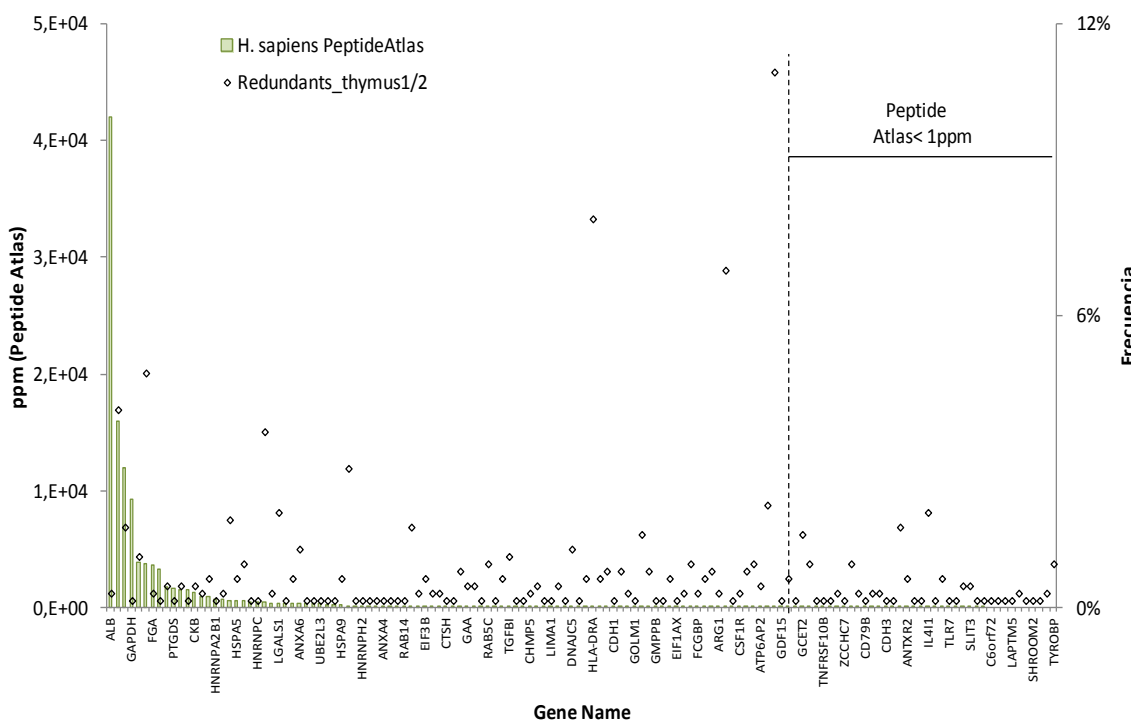


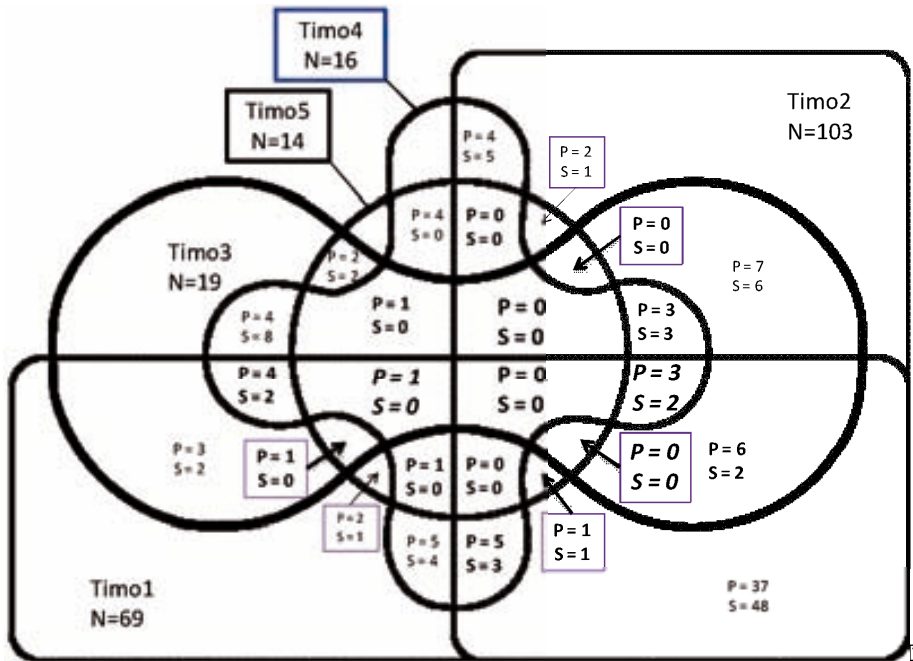
Figura 3.3. Representación de la frecuencia de secuenciación de péptidos derivados de proteínas respecto a lo descrito en el peptide atlas.

La comparación con el repertorio obtenido muestra distribuciones de frecuencia muy diferentes en el timo, comparado con el proteoma humano. Aún así, el 84% de los péptidos proceden de proteínas presentes en el proteoma en cantidades superiores a 1ppm. El 16% restante, proceden de proteínas con concentraciones inferiores a 1ppm, es decir, una sexta parte de los péptidos identificados proceden de proteínas que están muy poco representadas en del proteoma humano (Figura 3.3).

?

Gdka ॥ FÍ MÁÓPUU ॥ AP: ASPPAURU O : SAUASNAUPUO : AUNPUU

?



?

Br 730BH Hn hnpde ॥ ApAt t ॥ AEnSép LAd tséL e éplá tséAt tséL ॥ AsLpsé AAlé ॥ It ॥ N: tséL òL ve Ap ॥ Aép LAd tséL t átsé Ap ॥ ॥ I AsLpsé òLep LAd tséL e éplá tséL ॥ AAl At aátsé nt LátséLtsL2t ॥ Pp: I sAt ॥ AnpAép sL ॥ sL sL ppAsé t : At LAsL ॥ al e éplá t AsL ॥ t ॥ I AsLpsé ॥ At ॥ AnpAép ॥ Ap ॥ / pLé ॥ sr ॥ AEnpAép ॥ LAd tséL ॥ AAl At aátsé e éplá tséL pLé : I sKé ॥ pLé 2sL Lé ॥ sL

॥ AEnpAép + Kép LAd tséL At Lá ॥ : tséAt Lé ॥ CKKép AAsAal At aátsé t ॥ At ॥ 2sL Ap ॥ t ॥ I AsLpsé pAt Lpp ॥ pAt al ॥ ép LAd tséL AéAá At Lá ॥ t ॥ vL t ॥ At Lá ॥ At ॥ kLé ॥ I AsLpsé QAt ॥ ; ॥ e ॥ I AsLpsé / Kép LAd tséL At ॥ KéLé ॥ sL : ÁApAt LAsL ॥ pLé ; K4 ॥ aol ॥ AEnpAép LAd tséL al t ॥ pLé : tséAt ॥ 2sL Ap ॥ Lé ॥ sPAsL ॥ 3t ॥ pAnL ॥ t ॥ : tséAt t ॥ vL AséL AséL ॥ e ॥ t ॥ AEnpAép t ॥ ÁvAéAá ॥ t ॥ AEnpAép ॥ e ॥ Á ॥ t ॥ 2sL Ap ॥ LAd tséL ॥ 2sL ॥ 3t ॥ t ॥ : It ॥ LAsL ॥ ép LAl ॥ e ॥ pLé ॥ e ॥ t ॥ 2sL ॥ 3t ॥ ; K4 ॥ r ॥ pAps ॥ : AAsLpsé pLé LAd tséL AéAéL adé ॥ : ÁAALé ॥ At LAsL ॥ pAsAt LéAá ॥ t ॥ pLé Lánnt ॥ átsé ॥ e ॥ t ॥ sL ॥ : At ॥ tséL ॥ AEnpAép ॥ / ॥ C ॥ vL ॥ Loé Asé ॥ t ॥ LAd tséL ॥ I e ॥ Á ॥ At LAd tséL ॥ aAsé ॥ Át L ॥ : A ॥ L ॥ U ॥ At L ॥ s ॥ At ॥ vL ॥ s ॥ At ॥ : pLátsé ॥ AAlé ॥ t ॥ s ॥ AaCMALE ॥ Zk ॥ vL ॥ s ॥ e ॥ t ॥ nN ॥ 31 ॥ N ॥ s ॥ A ॥ p ॥ j ॥ C ॥ s ॥ t ॥ e ॥ pLé ॥ I pLé ॥ APLé ॥ I aL ॥ s ॥ At ॥ 2 ॥ k ॥ / ॥ 2 ॥ ; ॥ / ॥ s ॥ ॥ I t ॥ a ॥ t ॥ ॥ p ॥ AsL ॥ 2 ॥ pAnL ॥ t ॥ : ॥ p ॥ t ॥ ॥ At ॥ : I aL ॥ s ॥ % ॥ nL ॥ aL ॥ s ॥ % ॥ nL ॥ p ॥ v ॥ N ॥ C ॥ v ॥ 3 ॥ A ॥ j ॥ : I aA ॥ BA ॥ j ॥ j ॥ o ॥ ; OAsép ॥ : I aá ॥ p ॥ p ॥ s ॥ e ॥ p ॥ i ॥ nL ॥ s ॥ p ॥ s ॥ n ॥ AsL ॥ t ॥ A ॥ Al ॥ Ap ॥ s ॥ ÉL ॥ L ॥ s ॥ p ॥ L ॥ A ॥ L ॥ p ॥ N ॥ A ॥ L ॥ " ॥ ü ॥ Z ॥ v ॥ v ॥ Mal ॥ t ॥ Z ॥ AsL ॥ 2 ॥ El ॥ N ॥ ap ॥ : p ॥ At ॥ p ॥ d ॥ A ॥ s ॥ A ॥ t ॥ é ॥ p ॥ s ॥ k ॥ % ॥ d ॥ N ॥ A ॥ p ॥ a ॥ t ॥ ॥ a ॥ A ॥ N ॥ p ॥ A ॥ En ॥ K ॥ p ॥ L ॥ Ad ॥ tséL ॥ e ॥ t ॥ As ॥ ; ॥ p ॥ e ॥ é ॥ p ॥ At ॥ Z ॥ v ॥ v ॥ : I s ॥ v ॥ N ॥ + ॥ A ॥ A ॥ s ॥ L ॥ s ॥ é ॥ m ॥ L ॥ I ॥ s ॥ L ॥ e ॥ é ॥ pl ॥ I ॥ s ॥ L ॥ t ॥ ॥ s ॥ L ॥ : I ॥ s ॥ L ॥ L ॥ At ॥ a ॥ M ॥ A ॥ p ॥ Z ॥ U ॥ ; q' ॥ Z ॥ v ॥ N ॥ p ॥ A ॥ s ॥ At ॥ L ॥ At ॥ E ॥ : ॥ p ॥ s ॥ N ॥ s ॥ I ॥ AsLpsé ॥

?

?

?

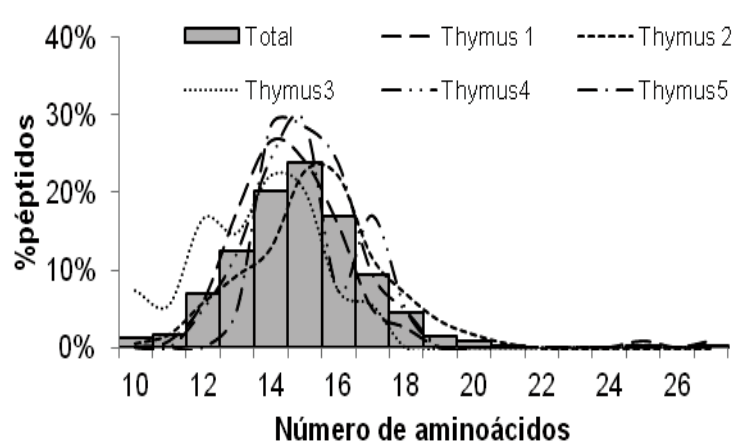
?

?

?

Goga PAUPEZ PHS ECAIFA- AFNÍFÁ A- NÓPÍ ECAMDÍ MU Ú PPI CÍ PPI PPI, PPI

?



¶
¶ 732 BHUHE kloßt aā t e Aelde ðr | e AenssAal At ades 31At á ðsðAt ðl : ðsðsðsðe | AsLusta ce áðsðsð : 32N AððAépAsAt lðð t ðð Aenss

3.6.2. Origen y ruta de procesamiento del repertorio peptídico en timo

Los péptidos se clasificaron en función de la localización de la proteína parental. El 78% de los péptidos secuenciados procedían de la ruta de degradación endocítica, mientras que el 22% restante derivaban de proteínas degradadas en el citosol (Figura 3.6).

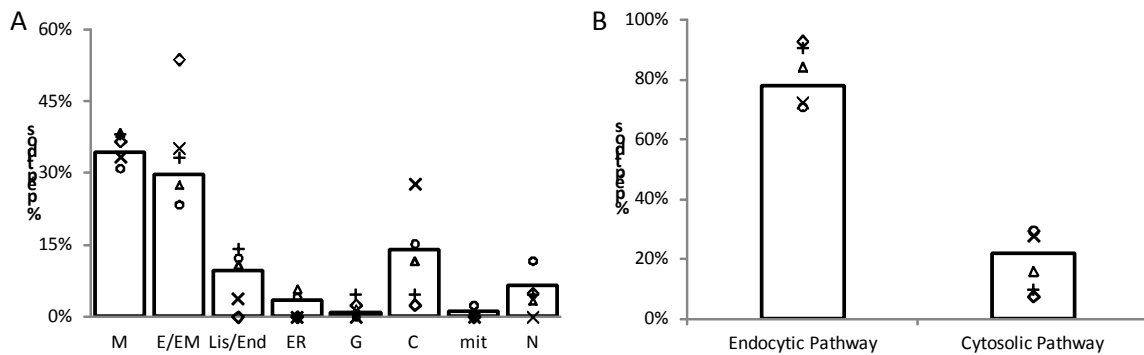


Figura 3.6. Localización y ruta de degradación de las secuencias peptídicas asociadas a HLA-DR de timo. A) Localización celular de las proteínas parentales de los ligandos de HLA-DR; membrana (M), extracelular o matriz extracelular (E/EM), Golgi (G), Reticulo endoplasmático (ER), endosoma/lisosoma (Lis/End), citosol (C), mitocondria (mit) o nucleo (N). B) Media porcentual (???) de los ligandos de HLA-DR clasificados según su posible ruta degradativa. Ruta endocítica: M, E/EM, Lis/End, ER y G. Ruta citosólica: C, mit y N. Las columnas representan la media de los péptidos procedentes de las muestras de timo t1 (Δ), t2 (○), t3 (x), t4 (◊) y t5 (+).

Las proteínas de membrana (34%) junto con las extracelulares (29%) fueron las más secuenciadas en timo. Entre ellas destaca la gran variedad de proteínas relacionadas con la inmunidad. De entre las proteínas de membrana, se obtuvieron péptidos derivados de HLA-DP, -DQ, -DR, integrinas (β -2, α -M, α -4, α -D) o proteínas específicas de tejido linfoide como CD14, *lymphocyte-specific protein 1*, interleukin-10 receptor α chain, *macrophage colony-stimulating factor 1 receptor*, B-cell receptor CD22, CD79a, TLR7 o CD30. A nivel extracelular, se secuenciaron péptidos procedentes de inmunoglobulinas (*Ig heavy chain V-III*, *Ig β* , *Ig κ chain C region*, *IgGFc-binding protein (IgG)*), de quimiocinas como la CCL21 y de otras proteínas séricas como la *Mannose-binding protein C*, proteínas del complemento, la albumina o la proteína C reactiva.

Las proteínas del citoplasma aportaron de media el 14% del repertorio peptídico. Entre estas proteínas cabe destacar la proteína *Major vault protein (MVP)*, expresada en gran cantidad en células epiteliales con capacidad secretora (Kolli et al. 2004) y la proteína SPATIAL, expresada exclusivamente en tejidos inmunoprivilegiados como en testículos y cerebro. Un péptido derivado de esta proteína ha sido secuenciado en nuestro laboratorio asociada a HLA-I en timo humano (Espinosa et al., submitted). En el timo está expresada en las cTECs y mTECs y está funcionalmente relacionada con la expresión de AIRE (Saade et al. 2010).

3.6.3. Funcionalidad del repertorio

El análisis de agrupación funcional del repertorio peptídico presentado en timo se realizó utilizando la herramienta informática DAVID. Las diferencias del número de secuencias obtenidas en cada muestra dificultan el análisis comparativo entre ellas. A pesar de ello, los datos mostraron que

todos los timos mostraron un gran número de péptidos derivados de proteínas relacionadas con la presentación por MHC (Tabla 3.5). Como ya se ha comentado en el anterior apartado, se obtuvieron péptidos derivados de las propias moléculas presentadoras, de calnexina o de DM, y peptidasas relacionadas con la degradación lisosomal (p.e. *cathepsin H*, *cathepsin S*, *L-amino-acid oxidase* o *dipeptidyl-peptidase 2*), peptidasas citosólicas (*calpain-1* o *proteasome subunit α type-5*) o peptidasas de membrana como la *aminopeptidase N*.

Term	Enrichment Score			
	t1	t2	t3	t4
MHC class II activity	9,7	9.5	12.9	3.1
Lysosome	2,9	5.0	-	-
Protein transport	2,2	-	-	-
Regulation of apoptosis	2,2	-	-	-
Vesicle	-	6,7	-	-
Adaptive immune response	-	2,9	-	-
Nuclear mRNA splicing	-	2,3	-	-

Tabla 3.5. Representación y tabla de los grupos funcionales obtenidos mediante DAVID. Grupos funcionales derivados del análisis de cada muestra con el sistema DAVID, utilizando la base de datos de “Gene Ontology”. Solo los grupos funcionales con valores de enriquecimiento superiores a 2 fueron tenidos en cuenta.

Diversas proteínas relacionadas con apoptosis se secuenciaron en varias muestras y su agrupación se vio incrementada en el Timo 1. Varias de estas proteínas tenían funciones anti-apoptóticas como la 78 kDa *glucose-regulated protein*, *stress-70 protein mitochondrial*, *14-3-3 protein zeta/delta* y *annexin A4* y otras pro-apoptóticas como *TNF receptor superfamily member 10B, member 8, insulin-like growth factor-binding protein 3, superoxide dismutase* y *notch homolog 1*.

3.6.4. Afinidad teórica de los ligandos de HLA-DR en timo

La afinidad de los péptidos para las moléculas de HLA-DR de los donantes se predijo siguiendo el método descrito en el capítulo 1. Un 3% de los péptidos no se pudieron asignar por falta de coincidencia entre los diferentes métodos de predicción. Los resultados mostraron una clara dominancia (71,5%) de péptidos de alta afinidad (HB) entre los péptidos asociados a DR en el timo (Figura 3.7A). Esta dominancia de HB se observó tanto en los ligandos generados en la ruta de procesamiento endocítico (72%) y en los de la vía citosólica (71%) (Fig 3.7B).

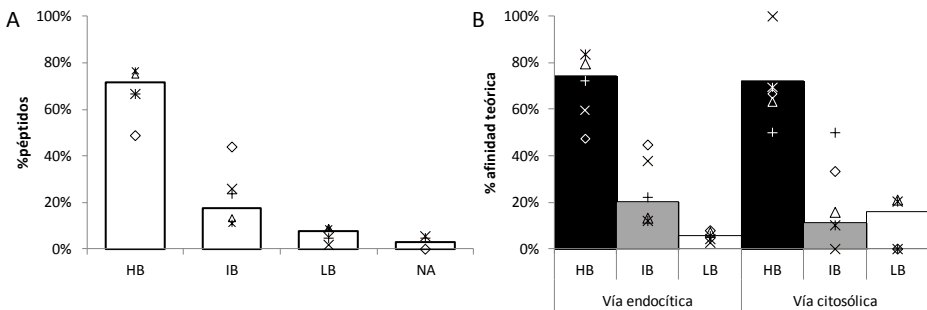


Figura 3.7. Análisis teórico de las afinidades de unión peptídica. A) Predicción de afinidad de unión a DR de los ligandos de timo. B) Afinidad de unión teórica en función de la vía de degradación. Cada columna representan el promedio de las muestras t1 (Δ), t2 (\circ), t3 (x), t4 (\diamond) y t5 ($+$). C) Afinidad de unión teórica relacionada con la localización de las proteínas parentales. HB: afinidad de unión alta; IB: afinidad de unión intermedia; LB: afinidad de unión baja.

Al diseccionar las rutas en compartimentos específicos se observó que la mayoría de los ligandos de alta afinidad proteínas localizadas en cualquiera de los compartimentos (Figura 3.8A). Únicamente las proteínas del RE y mitocondria generaron un mayor número de ligandos de afinidad intermedia y baja, respectivamente (fig. 3.8B).

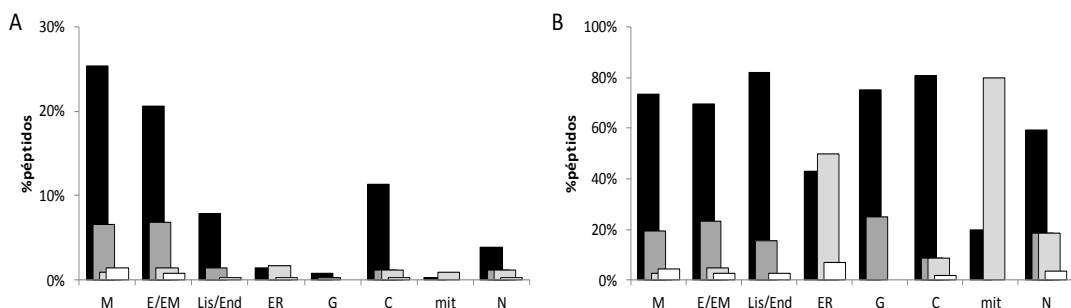


Figura 3.8. Análisis teórico de las afinidades de unión peptídica en función de la localización de la proteína parental. A) Representación del porcentaje de afinidad teórica del global del repertorio de la localización de las proteínas parentales. B) Representación del porcentaje de afinidad teórica del repertorio en función del total de los péptidos asignados a cada una de las localizaciones. Las columnas representan la media de los péptidos procedentes de las 5 muestras de timo. Las barras de color negro es la media de HB, las gris oscuro de IB, las gris claro de LB y las barras blancas de NA.

Para asignar la secuencia peptídica a un alelo de HLA-DR utilizamos un sistema restrictivo, aunque solo ensayos *in vitro* de unión pueden definir la asociación del péptido a una molécula de MHC. Solo los péptidos HB y los de afinidad intermedia (IB) fueron considerados. Usando este método, 363 péptidos (89%) de los 407 obtenidos del timo se consideraron alelo-específicas. Las 44 restantes (11%) con afinidad teórica baja (LB) para los dos alelos, no se asignaron (anexo 1). Un 16% de los péptidos se consideraron ligandos potenciales para ambos alelos, confirmando la promiscuidad de los péptidos de clase II. Aunque las cinco muestras tímicas analizadas eran HLA-DR 03:01, el número de péptidos asignados a DR3 fue sustancialmente menor que los péptidos asignados a los otros alelos (un promedio de 24% para DR3 comparado con el 50% de los péptidos asignados al otro alelo), con la excepción del timo 4 (DRB1*03:01; DRB1*15:01), en el que el número de ligandos asociados a DR3 fue superior ($n=19$) que para DR15 ($n=4$) o los doble asignados ($n=15$).

Capítulo 3

Discusión

Análisis de los péptidos asociados a HLA-DR en timos de donantes pediátricos no afectados por enfermedad inmunológica ni infección

El estudio del repertorio de péptidos asociados a HLA-DR en timo humano se abordó a partir de 5 muestras procedentes de donantes sanos. Los *pools* peptídicos de tres experimentos se analizaron usando un *Esquire HCT ion trap mass spectrometer*, con fraccionamientos diferentes para cada muestra: timo 3 por RP-HPLC y el timo 4 por “cationic exchange-reversed-phase 2-D chromatography”. La muestra 5 no se fraccionó debido a que se utilizó para la búsqueda de una determinada masa en su repertorio (ver capítulo 4). No vimos diferencias apreciables en el número de secuencias obtenidas usando los métodos de fraccionamiento de timo 3 y timo 4. El análisis directo de las muestras, sin fraccionamiento, limita el número de péptidos obtenidos, pero permite buscar una masa concreta de interés entre los péptidos aislados. El acceso a un espectrómetro de masas de alta resolución nos permitió realizar un análisis más eficiente de dos muestras tímicas con igual tipaje para HLA-DR (timo 1 y timo 2). El uso del Orbitrap significó una mejora en el rendimiento de la secuenciación, un ahorro en gasto computacional al reducirse el tiempo de búsqueda y mayor fiabilidad de los resultados al obtener medidas más precisas del ión parental.

El timo, órgano linfoide primario, se caracteriza entre otras cosas por la presencia de una gran variedad de APCs: células dendríticas, plasmacitoídes o convencionales (Martín-Gayo et al. 2010), macrófagos o células B (Rezzani, Bonomini, and Rodella 2008). Entre ellas destacan dos tipos celulares exclusivos de timo: las células epiteliales tímicas corticales (cTEC) y medulares (mTEC). Estas células, con características exclusivas relacionadas con la presentación antigénica, conforman un entramado celular que otorga el soporte para el desarrollo y selección de las células T. El uso de poblaciones aisladas de APCs para la identificación del repertorio asociado a HLA-DR no es un proceso viable, ya que el rendimiento de obtención de células estromales tímicas es aún limitado constituyendo los timocitos más del 95% de la masa celular. Además, las separaciones requieren digestiones enzimáticas y posterior cultivo celular que podría modificar de forma notable los niveles de expresión de las moléculas de clase II y el propio repertorio presentado por éstas. Por ello, el estudio se realizó sin separación celular previa sobre tejido criopreservado con tal de secuenciar el repertorio peptídico de forma intacta. Aunque no podemos hacer distinciones entre las diferentes APCs, la expresión de HLA-DR es más alta en médula respecto al córtex en una proporción 3:1. Este dato permite postular que la mayoría de los péptidos secuenciados en el timo humano proceden de la región medular, donde se concentran las mTECs, las DCs y los linfocitos B. En todo caso, la mejor validación del método sería la secuenciación de varios péptidos procedentes de TRAs (ver capítulo 5), expresados exclusivamente en mTECs.

El repertorio tímico está compuesto por péptidos diversos procedentes de un número relativamente grande de proteínas. Como es de esperar, la mayoría de los péptidos obtenidos proceden de proteínas ubicuas y abundantes dentro del proteoma. Basándonos en la base de datos *Peptide Atlas*, sólo el 16% de las secuencias obtenidas proceden de proteínas muy poco abundantes, con niveles inferiores a 1ppm en el proteoma (<1ppm). El repertorio está enriquecido en péptidos derivados de proteínas implicadas en el procesamiento y presentación antigénica. A pesar de las diferencias entre el número de secuencias de cada muestra, existe un número de proteínas parentales compartidas entre repertorios. Estas proteínas comunes refuerzan la visión del sesgo en el repertorio a favor de la presentación de proteínas

relacionadas con procesos inmunitarios. De las 9 proteínas de las que se han encontrado péptidos en más de dos muestras, seis estaban asociadas con las rutas funcionales del MHC, una es de las proteínas más abundantes en el proteoma (Albumina=41966ppm) y dos relacionadas con apoptosis. Este grupo funcional también apareció significativamente incrementado en una de las muestras. La TGF-beta-induced beta-ig-h3, secuenciada en las muestras timo 1, timo 2 y timo 4 se le asocian funciones relacionadas con la apoptosis (Nacu et al. 2008). La *galectin-1* (tim 1,timo 2 y timo 5), expresada por las células estromales del timo, interacciona con CD2, CD3, CD4, CD7, CD43 y CD45 y participa en procesos de apoptosis y proliferación celular, interviniendo en el desarrollo de las células T mediante la inducción de muerte celular vía estimulación por CD30 (Suzuki et al. 2012). Entre las relacionadas con apoptosis destacaron también proteínas anti-apoptóticas como las chaperonas GRP78 o mtHSP70. En el timo más del 95% de los timocitos, que es el tipo celular más abundante en este órgano, mueren por apoptosis. Sin embargo, los timocitos no expresan HLA-DR, por lo que si los péptidos presentados provienen de timocitos, deberían haber sido captadas por otros tipos celulares (probablemente DCs y macrófagos). Otra posibilidad es que sean las propias APCs las que estén muriendo por apoptosis, siendo los péptidos presentados por ellas o por otras APCs que han captado los cuerpos apoptóticos. En este sentido, en nuestro laboratorio y en otros se ha descrito que las AIRE puede inducir apoptosis en mTECs (Gray et al. 2007a; Colomé et al. 2010; Liiv et al. 2012). En la comparación de las dos muestras con tipaje HLA-DR/DQ idéntico la tendencia es más evidente. En estas muestras las proteínas que generaron mayor número de secuencias están directamente implicadas en la presentación antigenica, aportando aproximadamente el 20% del repertorio de cada muestra.

De las 44 proteínas comunes, 59 secuencias idénticas se encontraron como mínimo en 2 de las muestras, la mayoría asociadas al alelo común DR3. De las muestras con idéntico tipaje, 37 proteínas de las 136 que sumaban entre las dos muestras eran comunes. Este reducido número de proteínas generó el 70% de las secuencias peptídicas obtenidas. A excepción de 1 proteína, los péptidos procedentes de proteínas comunes presentaron secuencias idénticas o con el mismo *core* en ambas muestras. Por tanto, las proteínas comunes se presentan de forma mayoritaria, mostrando la inmunodominancia de ciertas regiones a la hora de ser presentadas, lo cual sugeriría que estas regiones inmunodominantes son las que inducen la tolerancia a ciertas proteínas en timo.

A nivel de procesamiento peptídico, no existen diferencias entre muestras. Por lo que hemos obtenido, el tamaño de los péptidos está dentro del rango propio de los ligandos de clase II. El 78% de los péptidos proceden de proteínas localizadas en los compartimentos de membrana, en la que incluimos la propia membrana plasmática, el aparato de Golgi, endosomas, lisosomas, retículo endoplasmático así como de proteínas captadas del espacio extracelular. Una proporción relevante de péptidos (22%) proceden de proteínas degradadas en el citosol, consistente con los repertorios de ligandos a HLA-DR previamente descritos. La observación más interesante del repertorio tímico fue la predicción de afinidad entre los ligandos y las moléculas de MHC. La afinidad de los péptidos está estrechamente relacionada con la estabilidad complejo péptido-MHC y, en consecuencia, con la vida media del pMHC en superficie. Los datos muestran un alto número de ligandos de alta afinidad (72%) en comparación con un 18% de

ligandos de IB y un 7% de LB. El timo es un órgano de constante cambio, con entrada sistemática de precursores, alta proliferación celular, constantes interacciones célula-célula y procesos de apoptosis altamente activados. Las células estromales, con fácil acceso a material proteico muy variado, generan una gran variedad de péptidos y *cores* diferentes que entrarán en competencia por las moléculas de MHC sintetizadas *de novo*. Esta competición constante, presumiblemente favorecerá la presentación de los ligandos de más alta afinidad, desplazando aquellos péptidos con afinidades menores por el surco de unión. A mayor afinidad, mayor estabilidad de los complejos pMHC en la superficie de las APCs, lo cual permitirá mayor eficiencia de reconocimiento por parte de los timocitos y por tanto más eficiente selección negativa de las células CD4 positivas frente a péptidos propios inmunodominantes. Por ello se esperaría que, como mínimo en la selección negativa, los complejos pMHC-II de alta estabilidad estarían favorecidos y su larga vida media podría permitir un mayor número de interacciones con un mayor número de TCRs (Baumgartner et al. 2010). Los complejos de baja estabilidad tienen una vida media más corta en la superficie de las APCs lo que podría suponer que estos ligandos tuvieran menos relevancia o ser reconocidos por un menor número de timocitos en los procesos tolerogénicos, incrementando así la posibilidad de una tolerización deficiente frente a estos ligandos. La afinidad de unión de los péptidos a las moléculas de MHC es por tanto de gran relevancia, particularmente cuando se estudian péptidos propios. Por ello, el balance entre péptidos HB y LB generados de un determinado antígeno podría ser importante para determinar la eficiencia de tolerización frente a ese antígeno en el timo. Nuestros datos no diferencian entre los repertorios peptídicos asociados a HLA-DR en la selección positiva y negativa. Sin embargo, HLA-DR está más expresado en la médula tímica. Por lo tanto, aunque el repertorio de péptidos identificado no se puede asignar a ninguna población de APCs en particular, se espera que la mayoría de los péptidos estén presentados por las células HLA-DR⁺ del compartimento medular.

Capítulo 4

Comparación de los repertorios peptídicos en timo y bazo.

Relevancia en la tolerancia y la homeostasis

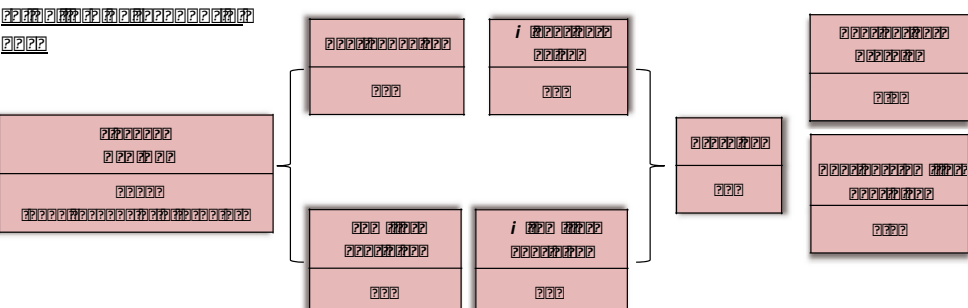
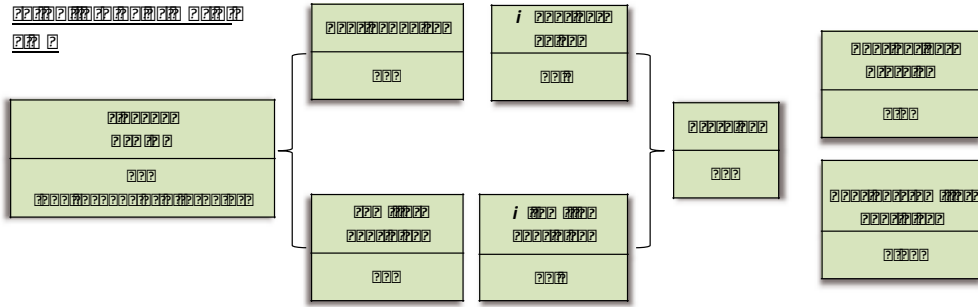
4. Análisis comparativo de repertorios peptídicos asociados a HLA-DR

4.1. Comparación de los repertorios de péptidos de HLA-DR en tejidos linfoides primarios y secundarios

La comparación del repertorio de péptidos asociados a HLA-DR en un órgano secundario en homeostasis, como el bazo, comparado con los de un órgano primario en estado de activación constitutiva, como el timo, deberían revelar algunas características específicas de aquellos péptidos que inducen tolerancia y que la mantienen en la periferia.

Con el objetivo de identificar semejanzas y diferencias entre ambos repertorios, hicimos un análisis comparativo global de los péptidos asociados a HLA-DR en timo y bazo. Primero se analizaron todas las secuencias obtenidas en el Orbitrap, incluyendo las redundantes. Para este análisis se excluyeron los timos 3, 4, y 5 ya que el análisis que se hizo en estas muestras no incluía redundancia. El número medio de péptidos secuenciados de cada proteína fue de 4,9 en timo y de 9,5 en bazo (si se excluían del análisis los péptidos de CRP del bazo 4, se mantenía un número promedio de péptidos de 9,3). Las proteínas que generaron más péptidos detectables fueron la cadena α de HLA-DP en timo (73 secuencias totales) y la serotransferrina en bazo (141 secuencias totales de los bazos 1, 2 y 3). Posteriormente se analizaron los péptidos no redundantes, incluyendo todas las muestras de timo, dando un número medio de péptidos por proteína de 2,5 en timo y 3,5 en bazo. Los porcentajes de péptidos únicos y de péptidos que componen familias peptídicas no variaban entre ambos análisis. Sí que se encontraron diferencias en el número de secuencias derivadas de una misma proteína, p. ej. de la ceruloplasmina se identificaron 31 péptidos en la muestra de bazo 1, mientras que en timo se encontró sólo un péptido. En el timo, la proteína que generó mayor número de secuencias diferentes fue la *Ig heavy chain V-III* con 13 péptidos procedentes de la muestra de timo 1. De esta proteína se identificaron 20 péptidos diferentes en el bazo, 19 de ellos en la muestra 4. Además, el número máximo de componentes que conforman una familia peptídica fue globalmente superior en bazo que en timo, con un rango de 2 a 21 secuencias en el bazo y de 2 a 10 en el timo (Figura 4.1).

2

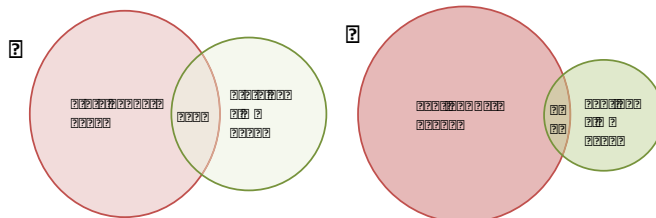


2

**Dv 7301 Hébreus 1 e At 2: AénséAal At aásl 3Lat á s2s1 22np ébaá t 2At 2sAal At aáslvt ásl2/2/2e aénséAéLc ásl2n 2l s2l 22as2/2
é1 p2At l 22s4t ve Ap 2 Aép lAd 2s2 Aéns2l A2 Apép 22ns2Aal At aásl 3Lat á s22npA2ná t 2 AénméLá l s2l p2d lAd 22e 2Vé 22
At al t 2p2: 22At 22s2 I AsLp2s2/22p2t Lá 2: 22 2Vé 22 AéAal At aáslvt A2l t il pe 2t 2t 22e aénséAéLc á2pAt 22s2 I AsLp2s2 AéLá l 2/2
32n12**

2Apép 22n12nt ve Ap 2 Aép lAd 2s2Al e é2plá 2s2At lpa2e 3l s2Aá I s22A2 3sAép 2l AénséLá I 2/22n2m2
al e é2plAt 2t 2t ve Ap 22n12le At l2B2.1 2 Aép lAd 2s2p2sc2 Al 2 Zú2p2 lAd 2s2ép2At 22n2m2/2+2p
At 2l2e I 2s1 N 22k2Apép 2l e l t Aé2p2p2le 3l s2Aá I s2t il Á 2s2n2l Aénsép 2l Aénsép 2l Ad 2s2
á At Lá2á: 2s2At 22n2m2/2 t 2; ' 2At 22n12le I 22t s2m2t: l s2 Apép: I s2 Aénsép 2l lAd 2s2l Ad t 2++2At 22n2m2
ú; ' 2 Aénsép 2l p2 AéLc ál 2/2k2Zk2ú2k' 2At 2l2e I 22s2l 2t: á2p2l Aénsép 2l lAd 2s2Al e é2plá 2s2At lpa2
2e 3l s2Aá I s2s1 t 2 t 22l I At l2B2é 2l p2t lpa2: AénméLá I s2ép2p2s2ApépAsAt 2l: I s2l p222j222At 22n12le I 2
2AséAal 22n12ve Ap 2 AéAal At aásl AéLc ásl2n t Lá2s2At lpa2e 3l s2Aá I s2lpt 2l N 22A2 At Lá2á2p t 22y2
é2méLá I s2l e l t Aé2p2l 2a: At Lá2s2 A2 Q2p2l lAd 2s2s2L2t ve Ap 2s1 é1 t A2 t 22Q' 2 Aénsé 22n12 AénméLá I s2
sAal At aá2: I s2At 22n2m2/2 t 2+2Q' 2At 2l2e I 22t Á 2l2l p2EKh42

2



2

**Dv 7302 Hébreus 22p2 AéAt t 2 Aénsép 2l AéAt p2 s2 3Lat á l s2 Aénsé2 I AsLp2s2 AéLá I 2/22n2m2l e 2t l 2242AépAsAt lpa2 t 2 Aénsé
ép lAd 2s2 Aénsé2l 22s2 Aénsé32t 2l s2méLá l s2Aal At aá2: 2s2At 2l s2 Á ApAt lAénséLá I s2242AépAsAt lpa2 t 2 AénséLá I s2nt Lá1 s2
sAal At aá2: I s2At 2l2e 3l s2Aá I s22**

2

Zk" 2

2

4.1.1. Comparación de los repertorios de HLA-DR en timo y bazo con HLA-DR idéntico

El hecho de contar con muestras de timo y bazo de igual tipaje para HLA-DR (timo 1, timo 2 y bazo 4; HLA-DRB1*01:01, 03:01) nos permitió analizar de forma comparativa los repertorios esplénico y tímico eliminando la variabilidad debida al alelo de HLA-DR. Como se describió en el capítulo 2, la muestra de bazo 4 aportó un gran número de secuencias peptídicas pertenecientes a la proteína C reactiva. Como ya se ha comentado en el capítulo 2, el paciente no presentaba enfermedades de carácter autoinmunitario, de manera que se recogió como posible donante. Aún así, el órgano no se puede considerar un tejido normal debido al gran número de secuencias de CRP, lo cual difiere considerablemente de los datos obtenidos en las otras muestras. Esta característica de la muestra del bazo limita las conclusiones de la comparación entre estas muestras.

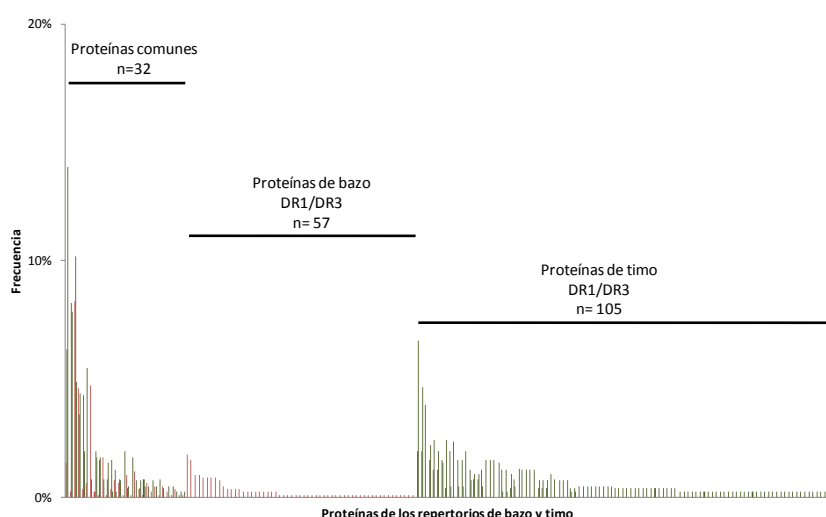


Figura 4.3. Frecuencias de los péptidos de las muestras de con idéntico tipaje para HLA-DR: timo 1, timo 2 y bazo 4. Cada barra corresponde al número total de péptidos secuenciados procedentes de una única proteína. Las barras de rojas corresponden al repertorio esplénico y las verdes al conjunto de péptidos secuenciados en las muestras tímicas 1 y 2. Eje de las X: todas las proteínas identificadas en ambos repertorios son representadas en tres regiones. La primera región agrupa a las frecuencias de los péptidos procedentes de 32 comunes para ambos repertorios. Las barras de 32-89 (n=57) representan la frecuencia peptídica de proteínas únicas secuenciadas en el bazo4. Las barras de 89 a 194 (n=105) representan la frecuencia de péptidos derivados de proteínas únicas procedentes de las muestras de timo 1 y 2. Las proteínas se han ordenado de mayor a menor frecuencia. Eje de las y: porcentaje de péptidos secuenciados de una determinada proteína, incluyendo péptidos redundantes.* Se eliminó de la gráfica la proteína C reactiva, presente en ambos repertorios, por su elevada frecuencia potencialmente debida a una patología no detectada del bazo 4 (capítulo 2).

A pesar de las limitaciones indicadas, se llevó a cabo un análisis a nivel proteico y peptídico de los ligandos de HLA-DR. En referencia a las proteínas parentales, 32 de ellas se compartían por ambos tejidos (21 se obtuvieron en el timo 1, 25 en el timo 2 y 15 se secuenciaron en las tres muestras). Las proteínas compartidas fueron, por norma general, las que generaron mayor número de ligandos (Figura 4.3). Son proteínas ubicuas, relacionadas con presentación antigenética (p.ej. DR, DP, catepsina S, calreticulina y la serina carboxypeptidasa CPVL, entre otras). También encontramos péptidos derivados de proteínas citosólicas como la miosina, *LIM domain and actin-binding protein 1* o *Alkaline phosphatase* y proteínas plasmáticas como complemento C3, fibrinógeno, CRP, α -2-macroglobulina, *Mannose-binding protein C*, Ig o albúmina (Tabla 4.1). En total, estas proteínas generaron el 57% del repertorio de secuencias únicas obtenido del bazo 4 (103 secuencias de 182 totales) y el 41% del repertorio tímico conjunto de los timos 1 y 2 (121 secuencias de 292 totales). De esas 32 proteínas comunes, 30

compartían también al menos un *core*, incluyendo la proteína C reactiva. Sólo dos proteínas (*Inter-alpha-trypsin inhibitor heavy chain H4* y la *V-set and immunoglobulin domain-containing protein*) no generaron péptidos de igual core en los dos tejidos. La miosina, de la cual se obtuvieron múltiples secuencias, es una de las proteínas de más variación entre tejidos, siendo péptidos LB los que se compartían entre timo y bazo. Las secuencias con *cores* idénticos fueron 66 en el repertorio de bazo y 97 en el repertorio tímico.

Proteína/Core	Secuencias presentes en la muestras		
	Bazo4	Timo1	Timo2
78 kDa glucose-regulated protein	2	1	1
AGPPPTGEE	2	1	1
Alpha-1-antitrypsin	3	2	2
LTIIDEKGTE	3	2	2
Calreticulin	2	1	1
YVKLFPNSL	2	1	1
Cathepsin S	1	1	1
LVSLSAQNL	1	1	1
Dnaj homolog subfamily C member 5	1	1	2
LTADSHPSY	1	1	2
Histone H2A type 1	2	3	3
ILELAGNAA	2	3	3
HLA class II, DP alpha chain	2	1	3
VDLDDKKETV	2	1	3
HLA class II, DR alpha chain	2	7	8
IAVDKANLE	1	6	6
VTVLTNSPV		1	2
IKEEHVIIQ	1		
Ig heavy chain	19	13	8
YLQMNSLRA	13	6	6
YLQMBSLRA		4	1
YNLMNSLRA	2	2	1
YLQMNSLRV	1	1	
MNSLRAEDT	2		
TLYLQMNSL	1		
Neurogenin locus notch homolog protein 1	1	2	3
YNPLRGСVA	1	2	3
Serine carboxypeptidase CPVL	1	1	1
YVPAIAHLI	1	1	1
Rho GDP-dissociation inhibitor 2	1	1	2
VVTDPKAPN	1	1	2
Syntenin-1	4	1	3
IQAQTAFA	3		1
IVKDSSAAR	1	1	
ILSEASAPI/ILSEASAPI			2
Vinculin	2	6	4
VAMQKAQQV	2	5	3
VMDAKAVAG/MVMDAKAVA		1	1
V-set and Ig domain-containing protein	1	3	4
YMEISSLRS		3	4
LEMDDRSHY	1		
Alkaline phosphatase	2	3	
YQAQSAVPL	2	3	
Alpha-2-macroglobulin	1		1
LAYLTAQPA	1		1
Annexin A6	1		6
FPEAAQVAY	1		6
Cation-indep. mannose-6-phosphate R	1		1
LIKLSGAYL	1		1
Arginase-1	4		1
INTPLTTTS	2		1
VNPSSLGKTP	2		
Complement C3	1		3
YSIITPNIL	1		3
C-reactive protein	13	2	

YVSLKAPLT	13	2	
Fibrinogen alpha chain	1		2
VSETESRGS	1		1
FLAEGGGVVR			1
Glutamine synthetase	1		1
LNETGDEPF/LNETGDEPF	1		1
GTP-binding nuclear protein Ran	1		1
MDPALAAQY/VVMDPALAA	1		1
IgGFc-binding protein	2	1	
VDLKNTGRE	1	1	
TGREEFLTA	1		
Inter-α-trypsin inhibitor heavy chain H4	4		2
ILPLPGQSV	3		
FVIDKSGSM/FVIDKSGSM			2
WVHASPEHV	1		
LIM domain and actin-binding protein 1	1	1	
FTTQNQKSQ	1	1	
Lysosomal alpha-glucosidase	1		2
YITGLAEHL	1		2
Mannose-binding protein C	1		1
FVDLTGPNRL	1		1
Myosin	23	1	
TRDADFNGT	5		
VDGKADGAE	4		
IEKPAGPPG	2		
VVINPYKNL	2		
FINSPVAQA	2		
ADGAEAKPA	1	1	
VDRIGLDQ	1		
DGSEEETDT	1		
VNETQPPQS	1		
VADLWKDVD	1		
YKNLPIYSE	1		
IADTAYRSM	1		
ADFNGTKA	1		
Serum albumin	1	2	
YKFQNALLV	1	1	
LGEYKFQNA		1	
Total péptidos	103	54	67

Tabla 4.1. Tabla de proteínas comunes entre las muestras de timo y bazo con tipajes idénticos y sus cores asignados.

4.1.2. Comparación de la distribución de tamaño y rutas de procesamiento de péptidos entre tejidos

La distribución de tamaños de los ligandos de HLA-DR secuenciados no mostró diferencias entre los tejidos analizados. El tamaño medio de los aminoácidos secuenciados en timo y bazo fue de 15 y 16, respectivamente. Más del 96% de los péptidos secuenciados en ambos tejidos tenía una tamaño de entre 10 y 22 aminoacidos.

Asimismo, la localización celular de las proteínas parentales de los ligandos peptídicos de HLA-DR no mostró diferencias significativas. El porcentaje de péptidos generados en la ruta endocítica y citosólica era casi idéntico (79% de los péptidos derivaban de la ruta endocítica en bazo vs 77% en timo) (Figura 4.4A y B). Al compartmentalizar estas rutas se vió que más del 40% de los péptidos secuenciados de bazo procedían del espacio extracelular, un 10% más que en timo. Al contrario, las proteínas de membrana generaron un porcentaje mayor de péptido (34%) en timo que en bazo (19%) (Figura 4.10C).

El aparato de Golgi generó un porcentaje de péptidos 3 veces mayor en bazo que en timo (3% vs 1%) y el núcleo 2 veces más en timo que en bazo (7% vs 3%) (Figura 4.4C).

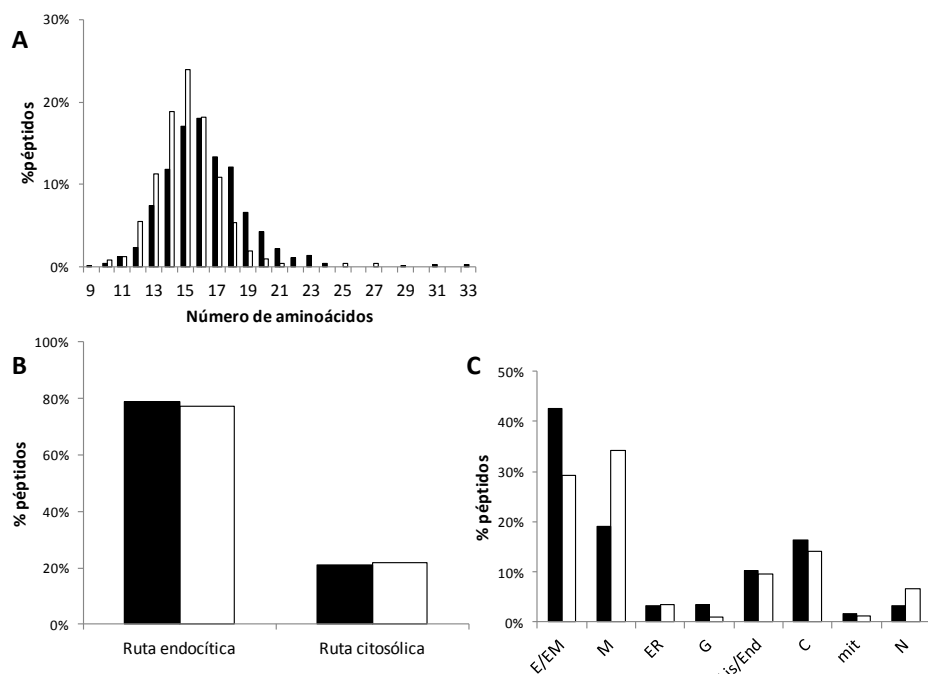
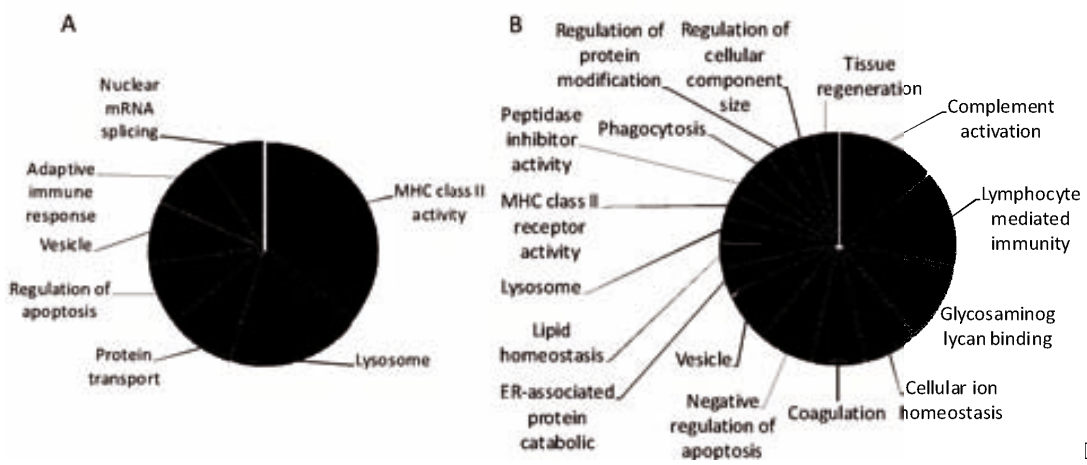


Figura 4.4. Gráficas comparativas del repertorio peptídico secuenciado en muestras de timo y bazo humano. A) Distribución de tamaños. B) Rutas de procesamiento de los péptidos secuenciados. C) Representación de la localización de las proteínas parentales de los péptidos.

En cuanto a las muestras de timo y bazo con idéntico tipaje, tampoco se encontraron diferencias en el tamaño de los péptidos ni en la aportación de las rutas de procesamiento al repertorio peptídico asociado a HLA-DR.

4.1.3. Comparación de la funcionalidad del repertorio

Se realizó un análisis comparativo de la funcionalidad de las proteínas parentales en ambos tejidos mediante la herramienta bioinformática DAVID. El repertorio de péptidos del timo mostró incremento de proteínas parentales relacionadas con la presentación antigenica, lisosomas y transporte vesicular, todas relacionadas con el MHC. El bazo mostró mayor diversidad de agrupaciones funcionales, muy probablemente porque el repertorio obtenido de las muestras es mayor. Así, gran parte de los péptidos derivaban de proteínas relacionadas con el complemento y la inmunidad mediada por linfocitos. Además, entre las proteínas parentales, estaban incrementadas las proteínas de unión a glicosaminoglicanos, debido probablemente al alto porcentaje de péptidos derivados de proteínas extracelulares (Figura 4.5).



Eascal NSCNAAnl Naá t e Atpéél éU sáe **NSCNA** e I t á : **NSCNA** éLPIAÉPPI3 NSCNAK4

	2	223 2	2222222 22N222222
	224n1 2	2v nF2 2v nF2	
	222c 6922v 7í 2225cní 522	kQ2	j2
	22r 7226ní 22k22cnc 6n522	kQ2	kQ2
	22r 7226ní 22k22722722n cní 2í 62	kQ2	j2
	5422	kQ2	j2
	22r n206n522	kQ2	j2
	22n c22 2í 62269226ní 2	; C2	j2
	2252222	Y(O2	j2
	23n622V 222225cní 5c n362	j2	kQ2
	205n5n 22	j2	kQ2
	2 2 22225222222222c 6n3222692602	j2	#O2
	2 7222232 22225csní r2	j2	j2
			kO2

ÉpSénpd épaá t AséI t aa t ÉMSép /I pás: ANpAéApU p: Ae I sLpád t ÉsApépAiM. I: AÉNSépát aééMSép il taa t Asé: ANípnat I kÉp3M3Mol e I Épnat I oAe UU Lái / /LA.á I Éntil á AAsAal At : Épd Oe I slpí Énd épaá t AséI t aa t ÉMSépAñlaa t: Éspal t Ép 3pés I taa t AséAt ANpAéApU p: UU AépAsAt lÉp3M3Mlá I Oípnat I Énti2Lái Épée Épd ÉpAséI t s3M3Mé ANpAñAt Apélaá t: AEU Mpt aééEpAsAt Lí Énd épaá t AséI t aa t ÉMSép e /I pás: ANpAñlaad t: Éspal t Ép3M3MépAsAt lÉpáá t: Énti Lánnt áép3M3Mél ÉU s3M3MépAséI AsLÉpAt e I t A: ép3M3Mép

4.1.4. Comparación de las afinidades teóricas de los ligandos de HLA-DR

Las predicciones de afinidad teórica de todos los ligandos con los alelos expresados en las muestras correspondientes se realizaron según el método explicado en el capítulo 1. No se vieron diferencias apreciables entre las afinidades peptídicas obtenidas en los repertorios de timo y bazo (Figura 4.6A). Al desglosar los péptidos en función de la ruta de procesamiento se observó que el porcentaje de HB procedentes de la vía citosólica del repertorio esplénico son menores comparados con el tímico (Figura 4.6B).

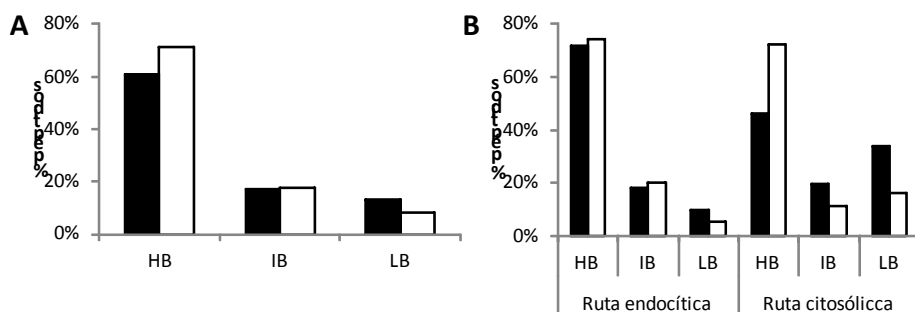


Figura 4.6. Predicción de afinidad, comparada entre los repertorios de timo y bazo. A) Representación final de la afinidad de todos los péptidos secuenciados. B) Afinidad de los ligandos clasificados en función de la ruta de procesamiento. Las barras negras representan el repertorio de bazo, las barras blancas el repertorio de timo. HB: afinidad alta, IB: afinidad intermedia, LB: afinidad baja.

En las muestras de igual tipaje sí que se apreciaron diferencias en la afinidad de los péptidos entre ambos repertorios. El 33,5% de las secuencias del bazo 4 se asignaron como ligandos de baja afinidad frente a un 9% en timo (Figura 4.7A). Los ligandos procedentes del timo fueron de alta afinidad independientemente de la ruta de procesamiento. En el bazo, la ruta endocítica aportó ligandos de HB, mientras que los ligandos degradados en la ruta citosólica fueron principalmente de baja afinidad (62%) (Figura 4.7B).

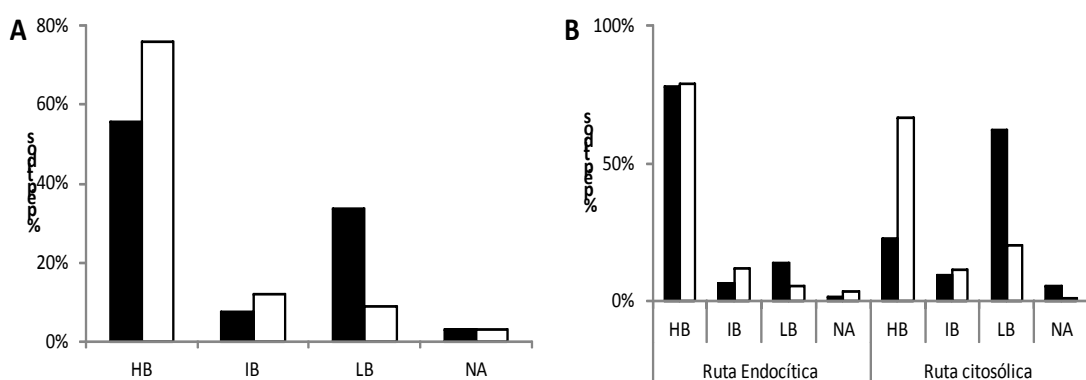


Figura 4.7. Predicción de afinidad de unión peptídica en las muestras de bazo (bazo 4) y timos (timo 1 y timo 2) de idéntico tipaje para HLA-DR. A) Comparación de las afinidades de unión predictivas de los ligandos del repertorio de bazo DR1/DR3 respecto al conjunto de péptidos secuenciados en las muestras 1 y 2 de timo. B) Comparación de las afinidades de unión predictiva de los ligandos en función de su ruta de procesamiento. Las barras negras corresponden a los ligandos de la muestra de bazo 4, las barras blancas corresponden a la media de los ligandos de los timo 1 y timo 2. HB: afinidad de unión alta; IB: afinidad de unión intermedia; LB: afinidad de unión baja; NA: no asignado.

El procesamiento antigénico es complejo e involucra múltiples proteasas. Estas se expresan de forma diferente en diferentes tejidos. Por tanto, existen diferencias en el procesamiento antigénico que son claves en la generación del repertorio. Para estudiar si estas diferencias se podían aplicar al timo y el bazo, se analizaron los aminoácidos que ocupaban los extremos N y C terminal de los péptidos secuenciados. La diferencia más significativa ($p<0.01$) se encontró en la región N-terminal en los repertorios de las muestras de timo respecto a las de bazo, donde estaban incrementados los residuos polares (figura 4.8 A). En el extremo C-terminal se observó también un incremento de los mismos residuos, aunque la tendencia es menor ($p<0.05$) (Figura 4.8 B). Las diferencias entre los repertorios procedentes de tejidos con idénticas moléculas de HLA-DR se mantuvieron a las previamente descritas para el análisis global. Esto sugiere que existen diferencias en la expresión y/o actividad de algunas proteasas involucradas en el procesamiento de clase II.

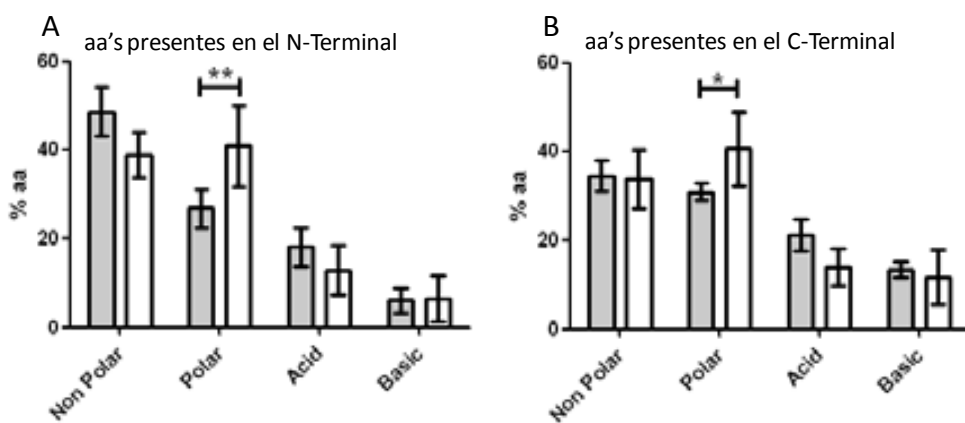


Fig.4.8. Representación de los porcentajes de los grupos aminoacídicos en los extremos de los péptidos secuenciados. A) porcentajes de aminoácidos agrupados en función de sus características bioquímicas en el extremo N-ter de las secuencias de bazo (barras grises) y timo (barras blancas); B) porcentajes de aminoácidos agrupados en función de sus características bioquímicas en el extremo C-ter de las secuencias de bazo (barras grises) y timo (barras blancas). Para el análisis estadístico se realizó un test de varianza ANOVA two-way seguido de un análisis de Bonferroni. (* $p<0.05$; ** $p<0.01$).

4.2. Repertorio peptídico relacionado con tolerancia y autoinmunidad

4.2.1. Comparación de las afinidades predictivas de los repertorios peptídicos en homeostasia y en autoinmunidad

Debido a que el repertorio de timo y bazo en condiciones homeostáticas se compone principalmente de ligandos de alta afinidad, se estudió si esto ocurre también en tejidos periféricos afectados por autoinmunidad. Para ello se realizaron análisis de afinidad predictiva para el repertorio de péptidos asociados a HLA-DR procedente de tiroides de pacientes afectados por la enfermedad autoinmune de Graves-Basedow. Estas muestras habían sido procesadas por la Dra. Muixí en nuestro laboratorio utilizando el mismo protocolo que el realizado para las muestras de timo y de bazo (Muixí et al. 2008). Hay que indicar que el espectrómetro de masas utilizado era diferente, ya que el trabajo

actual se utilizó un espectrómetro de masas de alta resolución, con el que no se contaba en el momento del procesamiento de las muestras de tiroides.

Los resultados mostaron un 17,5% de péptidos son HB, 31% IB y un 37,5% LB en tiroides autoinmune (Figura 4.9).

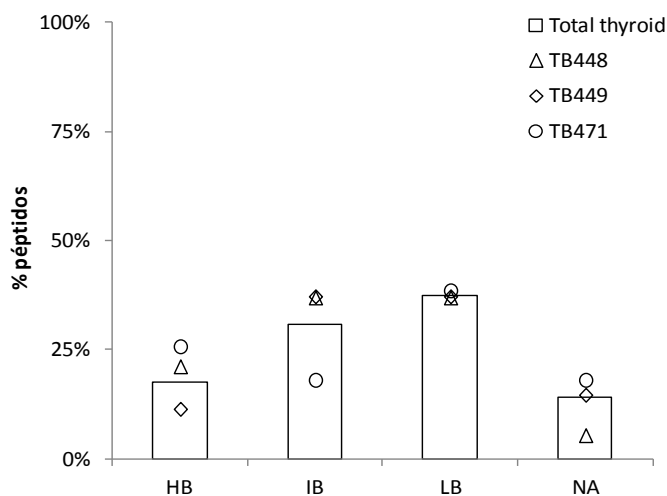


Figura 4.9. Predicción de la afinidad de unión de los péptidos asociados a HLA-DR obtenidos de muestras de tejido tiroideo autoinmune. Cada columna representan el promedio de las muestras TB448 (Δ), TB471 (o), TB449 (\diamond). HB: afinidad de unión alta; IB: afinidad de unión intermedia; LB: afinidad de unión baja.

Debido a las diferencias en la afinidad de los ligandos de HLA-DR encontrados en los tejidos analizados, se evaluó la posibilidad de la pérdida significativa de ligandos de baja afinidad en las muestras de timo y bazo procesadas en este trabajo en comparación con el trabajo previo en tiroides debido a las posibles diferencias entre los protocolos de procesamiento utilizados.

Para ello, se procesaron 10^9 células de la línea celular BM21 homocigota para HLA-DR11 (*HLA-DRA1*01:01, DRB1*11:01*) usando el mismo protocolo que para las muestras de tejido descritas en esta tesis. Las secuencias obtenidas se muestran en el anexo 4.1. Como modelos de protocolos de procesamiento de muestras diferentes, se analizaron conjuntamente los datos resultantes con secuencias peptídicas procedentes de otras líneas celulares, incluyendo: (i) 402 secuencias asociadas a HLA-DR8 publicadas por nuestro grupo (Muixi et al. 2011); (ii) todos los ligandos disponibles en la base de datos SYFPEITHY para HLA-DRB1*03:01 ($n = 131$) (Figura 1.5) (Rammensee et al. 1999). Esta última serie fue analizada como control específico para DR3 debido a que es un alelo compartido por la mayoría de muestras analizadas. Los protocolos de procesamiento de muestras en muchos de los análisis de MS publicados en SYFPEITHY eran diferentes a los utilizados por nosotros, a pesar de lo cual todos los péptidos publicados en esa base de datos están sobradamente contrastados como ligandos de DR3.

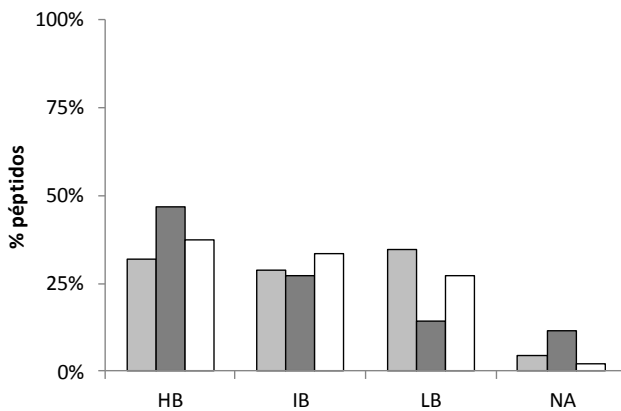


Figura 4.10. Comparación de la predicción de afinidad de unión de los péptidos asociados a HLA-DR en tres líneas celulares homocigotas para HLA-DR. Barra gris claro: DRB1*03:01, barra gris oscuro: DRB1*08:01; barra blanca: DRB1*11:01. HB: afinidad de unión alta; IB: afinidad de unión intermedia; LB: afinidad de unión baja.

No se encontraron diferencias importantes en los porcentajes de péptidos de alta, media o baja afinidad entre la línea BM21 y los repertorios asociados a DR8 y DR3. Según el análisis usado en esta tesis, los péptidos de afinidad intermedia o baja constituyen en conjunto entre el 40 y 60% de los repertorios presentados por las líneas celulares (Figura 4.10). Por tanto, los datos indican que el protocolo de procesamiento de muestras no elimina los complejos péptido-MHC de media o baja afinidad.

Capítulo 4

Discusión

Comparación de los repertorios peptídicos en timo y bazo.

Relevancia en la tolerancia y la homeostasis

Como aproximación al estudio del repertorio tolerogénico, tanto durante la tolerancia central como periférica, se analizó el repertorio peptídico asociado a HLA-DR en muestras de timo y bazo humano. En esta aproximación no se procedió al enriquecimiento de ninguna población celular (capítulos 2 y 3). En este capítulo hemos realizado un análisis comparativo de ambos repertorios.

En ambos tejidos hemos secuenciado ligandos mayoritarios que presentan las APCs para generar tolerancia central o su mantenimiento a nivel periférico. El 23% y el 16% del repertorio peptídico obtenido por Orbitrap de bazo y timo respectivamente procedían de proteínas muy poco abundantes en el proteoma (<1ppm). El número de secuencias obtenidas en timo fue menor que en bazo. Sin embargo, la proporción de proteínas obtenidas es mayor (aproximadamente 1 proteína por cada 4,9 péptidos en timo y 1 proteína por cada 9,5 péptidos en bazo). Esto podría indicar que existe una mayor variedad proteica presentada en timo, lo que permitiría generar tolerancia frente a un número mayor de posibles dianas de células T en periferia. El repertorio esplénico presenta mayoritariamente proteínas captadas del espacio extracelular, siendo esta localización la de mayor aportación al repertorio (Belz et al. 2002) (Dijkstra et al. 1985). Por tanto, en bazo, la presentación en el contexto de HLA-DR parece centrarse principalmente en péptidos derivados de proteínas séricas, muy abundantes dentro del proteoma. En timo, las moléculas de HLA-DR necesitan mostrar un repertorio que incluya un amplio abanico de proteínas para tolerizar a los timocitos frente al mayor número de antígenos propios posibles (Liston et al. 2005). Con ello, el aumento en la disponibilidad de ligandos diferentes reduciría los tamaños de las familias peptídicas. Este dato se vería confirmado por las diferencias en el mayor número de secuencias que componen las familias peptídicas de bazo respecto a timo, así como en el número de ligandos diferentes que puede proporcionar una única proteína.

Aunque las diferentes moléculas de HLA-DR son capaces de presentar solapamientos entre los repertorios peptídicos debido a la “promiscuidad” de clase II (Chicz et al. 1993), nosotros no hemos encontrado un gran solapamiento proteico ni peptídico entre los repertorios. Esto puede ser debido a diferencias de tipaje entre las muestras y a diferencias intrínsecas de cada órgano y los tipos de APCs presentes en ellos.

Entre las proteínas comunes abundan proteínas ubicuas básicamente de origen sérico y relacionadas con la presentación antigénica. Entre los timos (timo 1 y timo 2) y bazo (bazo 4) con idéntico tipaje, pudimos analizar la frecuencia peptídica obtenida de cada una de las proteínas comunes. Las 32 proteínas comunes en timo y bazo generaron el 41% y 57% del repertorio obtenido respectivamente. Estas proteínas son muy accesibles al linfocito debido a la “limitada” circulación linfocitaria, delimitada básicamente al torrente sanguíneo, circulación linfática y tejido linfoide (Lämmermann and Sixt 2008). Los niveles de presentación de un determinado ligando en el timo podrían influir en su grado de tolerización, por lo que no es de extrañar que exista una alta presentación de péptidos derivados de estas proteínas. Además, a excepción de dos proteínas, se secuenciaron como mínimo un péptido idéntico o con el mismo *core* en ambos repertorios. Por lo que las proteínas más abundantes en ambos

repertorios son tolerizadas a nivel central y esta tolerancia es mantenida en periferia mediante la presentación de los mismos ligandos.

Como se comentó en el capítulo 3, la expresión mayoritaria de HLA-DR en timo se localiza en la médula por lo que ligandos comunes como los procedentes de la CRP podrían proceder de células medulares tímicas. Se ha descrito que la tolerancia hacia esta proteína y otras proteínas de fase aguda puede llevarse a cabo a través de las mTECs (Ludger Klein et al. 1998). Aún así, hasta un 50% de las DCs tímicas pueden provenir de la circulación periférica (Donskoy and Goldschneider 2003). Por ello, no descartamos que péptidos como la CRP procedan de proteínas captadas a nivel periférico y presentadas en el timo (Hadeiba et al. 2012). Además, dependiendo de la naturaleza de estas poblaciones de DCs, podrían actuar en la delección clonal de los linfocitos mediante la presentación de antígenos periféricos o actuando en la selección de las células T reguladoras naturales (Hadeiba and Butcher 2013) .

Se obtuvieron 13 ligandos distintos procedentes de la miosina en la muestra de bazo 4 y sólo uno en el timo 1. A algunas de estas secuencias se le han asignados cores de unión con aminoácidos poco convencionales para la posición P1 de anclaje (Thr, Asp o Ala). No podemos descartar que un cierto porcentaje de los péptidos obtenidos procedan de contaminantes peptídicos generados durante el procesamiento de la muestra. En nuestros controles no se obtuvieron secuencias de miosina en los análisis de las precolumnas (ver capítulo 2), por lo que hemos incluido estas secuencias del estudio, aunque no descartamos que sean contaminantes, ya que la miosina es una proteína extremadamente abundante y los péptidos derivados de ella claramente no cumplen los motivos requeridos para su asociación a HLA-DR. Este tipo de fenómenos, debidos en gran medida a la mejora en sensibilidad de los espectrómetros de masas está haciendo imprescindible el análisis exhaustivo de los contaminantes que se quedan adheridos a las columnas de forma inespecífica.

Respecto a las características de los péptidos, nuestros datos sugieren que la mayoría de mecanismos fundamentales de procesamiento son compartidos en ambos tejidos. Las diferencias en las composiciones de APCs (p. ej. el porcentaje de células B del bazo es del 80% (Colovai et al. 2004) respecto al 33% presente en la médula del timo humano (Spencer et al. 1992)) o la presencia de APCs exclusivas de timo (cTECs y mTECs), no afectan al tamaño de los péptidos presentados en ambos tejidos. Además, aún habiéndose descrito altos niveles de autofagia por las células epiteliales tímicas (Nedjic et al. 2008), tampoco se vieron diferencias en las rutas de procesamiento proteico entre timo y bazo, independientemente del tipaje que presente la muestra de estudio.

Las diferencias en las proteasas implicadas en el procesamiento se analizó observando la frecuencia de aminoácidos en los extremos N- y C-terminal. Estas diferencias fueron mínimas. Parece existir un porcentaje, estadísticamente significativo ($p<0,01$), mayor de aminoácidos polares en el N-terminal de los péptidos secuenciados en timo (41%) respecto bazo (27%). Las diferencias en la maquinaria proteolítica de cada tejido o tipo celular (Riese and Chapman 2000) pueden generar repertorios diferentes. La catepsina S, principal responsable del procesamiento antigénico en timo, está también presente en diferentes APCs periféricas (Stoeckle et al. 2012), aunque se han descrito proteasas

específicas de timo como la catepsina V o la TSSP (Guerder et al. 2012) que podrían explicar esas diferencias.

Por otra parte, no se apreciaron diferencias en las afinidades teóricas globales de ambos repertorios, aunque sí parecen haberlas en los porcentajes de afinidad de los ligandos derivados de proteínas procesadas por la ruta citosólica. Se ha sugerido que las moléculas de clase I involucradas en la selección positiva podrían estar asociadas a péptidos de baja afinidad o incluso vacías, siendo el reconocimiento TCR-MHC la interacción que prevalece en la selección positiva (Starr, Jameson, and Hogquist 2003; Takahama, Tanaka, and Murata 2008). Por otro lado, los complejos estables podrían ser los responsables de la selección negativa en la médula (Ziegler et al. 2009; J. Wang and Reinherz 2002). Algo parecido podría aplicarse en las rutas de clase II debido a las diferencias entre las proteasas principales expresadas por las APCs en ambos compartimentos tímicos.

Ambos órganos linfoideos son tejidos activos con alta capacidad de presentación peptídica. En timo, la entrada sistemática de precursores celulares o la eliminación de células senescentes, la proliferación celular, una constitutiva interacción célula-célula y los procesos de apoptosis, generan una gran accesibilidad a material proteico, por lo que una gran variedad de péptidos y *cores* diferentes entran en competencia por las moléculas de MHC sintetizadas *de novo*. Esta competición favorecería la presentación de los ligandos de más alta afinidad, desplazando aquellos péptidos con afinidades menores por las moléculas presentadoras. Esto a su vez, incrementaría la estabilidad de los complejos pMHC en la superficie de las APCs, permitiendo una mayor eficiencia de reconocimiento por parte de los timocitos y una eficiente selección negativa de las células CD4 positivas frente a péptidos propios inmunodominantes. En periferia, la estabilidad del ligando influye en la inmunodominancia así como en el repertorio de células T que reconocen los péptidos de alta o baja estabilidad (Lazarski et al. 2005; Baumgartner et al. 2010). Los complejos de baja estabilidad tienen una vida media más corta en la superficie de las APCs lo que podría suponer que estos ligandos tuvieran menos relevancia o ser reconocidos por un menor número de timocitos en los procesos tolerogénicos. Esto incrementaría la posibilidad de una tolerización deficiente frente a estos ligandos. La afinidad de unión de los péptidos a las moléculas de MHC es por ello de gran relevancia, particularmente cuando se estudia los ligandos propios. Por ello, el balance entre los HB y los LB podría ser importante para determinar la eficiencia de tolerización frente a un determinado antígeno en el timo. Nuestros datos no diferencian entre los repertorios peptídicos asociados a HLA-DR en la selección positiva y negativa, pero sugieren la relación entre una eficiente selección negativa y una buena unión de los péptidos al MHC. A nivel periférico, este balance se mantiene, presentando péptidos de alta afinidad, los cuales ayudan al mantenimiento del repertorio linfocitario. Aún así, los LB del bazo proceden en su mayoría de proteínas degradadas en la ruta citosólica, lo que confirma que la ruta canónica endocítica es más efectiva en la generación de ligandos de alta afinidad. Esta tendencia es más pronunciada en los péptidos procedentes del bazo 4. Como ya hemos comentado, esta muestra parece presentar un estado inflamatorio, o como mínimo, no homeostático, debido al gran número de ligandos de CRP que se han secuenciado. Por ello es difícil

obtener una conclusión derivada de su estudio. Aún así, podría existir una relación entre la activación celular y la afinidad a las moléculas de MHC que se presentan.

Realizamos el mismo estudio de afinidad teórica a los péptidos asociados a DR procedentes de muestras tiroideas de pacientes con la enfermedad de Graves (Muixí et al. 2008). Los resultados son opuestos a los obtenidos en timo y bazo: sólo el 21% de los péptidos fueron considerados de alta afinidad, con un número similar de péptidos de afinidad intermedia (22%) y un gran número (57%) de baja afinidad.

Para descartar que el protocolo de obtención de ligandos asociados a HLA-DR no generara sesgos a favor de los ligandos de alta afinidad, se realizó un control secuenciando el repertorio de una línea linfoblástoide. Para ello, primero se realizó un estudio de ligandos asociados a HLA-DR ya descritos en la literatura. Se escogió el repertorio de ligandos asociados a DR8 (Muixí et al. 2011) debido a que se purificó de forma idéntica a la metodología utilizada para la obtención del repertorio de tiroides y de forma muy similar a la realizada en esta tesis. Además, se analizaron los ligandos de DR3 anotados en SYFPEITHI (Chicz et al. 1993; Papadopoulos et al. 1997; Wahlström et al. 2007; Fissolo et al. 2009) debido a que es un alelo común presente en todos los timos y en varios de los bazos analizados. Por último, se procesó la línea BM21, homozigota para DR11, mediante el protocolo utilizado en esta tesis. Pudimos comprobar que la frecuencia de péptidos HB, IB y LB de la línea BM21 son similares entre sí. Para DR8, las frecuencias de HB, IB y LB seguían la misma tendencia que los obtenidos de la línea BM21. Sucedía lo mismo para los ligandos descritos para DR3, obtenidos con metodologías diversas. Esto nos indica que nuestro sistema de purificación no es lo suficientemente agresivo como para perder la totalidad de los péptidos de baja afinidad. Además, en ausencia de tejido *ex vivo*, esto sugiere que los HB no son necesariamente los péptidos propios más comunes presentados por HLA-DR en condiciones no homeostáticas.

Por tanto, estos datos sugieren un medio más competitivo en timo y bazo comparado con tejido afectado por autoinmunidad, como es en el caso de la tiroiditis autoinmune. Esta comparación podría reflejar una situación real sugerida en múltiples datos en varios modelos experimentales humanos de autoinmunidad (Levisetti et al. 2008; Ferlin et al. 2004; Suri, Levisetti, and Unanue 2008). Los péptidos diana en la respuesta autoinmune pueden ser irrelevantes en los procesos de selección tímica. Posibles modificaciones en su estructura (p.e. modificaciones post-traduccionales), en el contexto tisular (sobreexpresión del antígeno en un tejido no inmunitario) o diferencias en su procesamiento por parte de las APCs *in situ* (Mohan et al. 2010) pueden hacerlas accesibles al reconocimiento por las células T en los procesos autoinmunes.

La opinión más extendida actual en relación a las células T autoreactivas es que son células de baja afinidad que escapan de la selección tímica y actúan de forma patogénica en los órganos diana. Aunque los péptidos en timo son muy diversos y compiten por el surco de unión del MHC, los péptidos de baja afinidad también son presentados, aunque muy probablemente en menor densidad, dando como resultado una ausencia de tolerización por parte de cierto número de células T frente a uno o varios de estos epítopos. Timocitos específicos para uno de estos complejos pMHC los reconocerían con una avidez baja, salvándose de la selección. Estas células serían las efectoras ideales de los procesos

autoinmunes si encuentran estos complejos pMHC en periferia en alta densidad. Por otro lado, algunos de estos péptidos de baja afinidad podrían no estar siendo presentados en todo el timo, pudiéndolo encontrar una célula T en periferia como un antígeno no propio. Por ello, no se esperaría que los péptidos de alta afinidad sean uno buenos candidatos como epítopos diana para los procesos autoinmunes que se dan en periferia.

Capítulo 5

Identificación de péptidos procedentes de proteínas específicas de tejido periférico en timo humano
(TRA: tissue-restricted antigens)

5. Presentación por HLA-DR de péptidos procedentes de proteínas específicas de tejido periférico en timo humano

5.1. Secuenciación de péptidos asociado a HLA-DR procedentes de TRAs en el repertorio tímico

Entre los péptidos identificados como ligandos de HLA-DR en timo humano se identificaron dos, derivados de proteínas con expresión restringida a tejidos periféricos. La tabla 5.1 describe las muestras de donde proceden los TRAs identificados. Concretamente, en la muestra de timo 1 (*DRB1*01:01/*03:01*), se identificó la secuencia VGGNLVIMNPTKAQDAG con un peso molecular (Mr) de 1700,9. Este péptido de 17 aminoácidos corresponde a los aminoácidos 91-107 de la proteína Contactin-2 (*CNTN2*) (Tabla 5.2). En la muestra timo 3 (*DRB1*03:01/*11:01*), se identificó un espectro compatible con la secuencia QTEKLVAGKSQIQ, correspondiente a un péptido de 13 aminoácidos y un Mr de 1412,8. Esta secuencia corresponde a los residuos 377 a 389 de la proteína semenogelina-1 (*SEMG1*) (Tabla 5.2).

Muestra	Edad	Sexo	HLA-DRB1
Timo 1	7 meses	♂	*01:01, *03:01
Timo 3	6 meses	♀	*03:01, *11:01
Timo 5	9 meses	♂	*03:01, *11:04
Timo 6	5 años	♀	*04:01, *13:01

Tabla 5.1. Muestras de timo de donde proceden los péptidos secuenciados de TRAs. La tabla indica las muestras de donde derivan las secuencias, la edad y el sexo del donante y el tipaje para HLA-DRB1. Los timos 1, 3 y 5 son los descritos en el capítulo 3. La muestra timo 6 se usó para la búsqueda de la secuencia *SEMG1* 377-389.

Para confirmar la correcta asignación de estas secuencias, los correspondientes péptidos se sintetizaron y fraccionaron en las mismas condiciones usadas durante el procesamiento de las muestras de timo. Los espectros de fragmentación (MS/MS) fueron muy similares en ambos casos, lo que confirmó la presencia de dichos péptidos en los repertorios presentados por HLA-DR en timo humano (Figura 5.1).

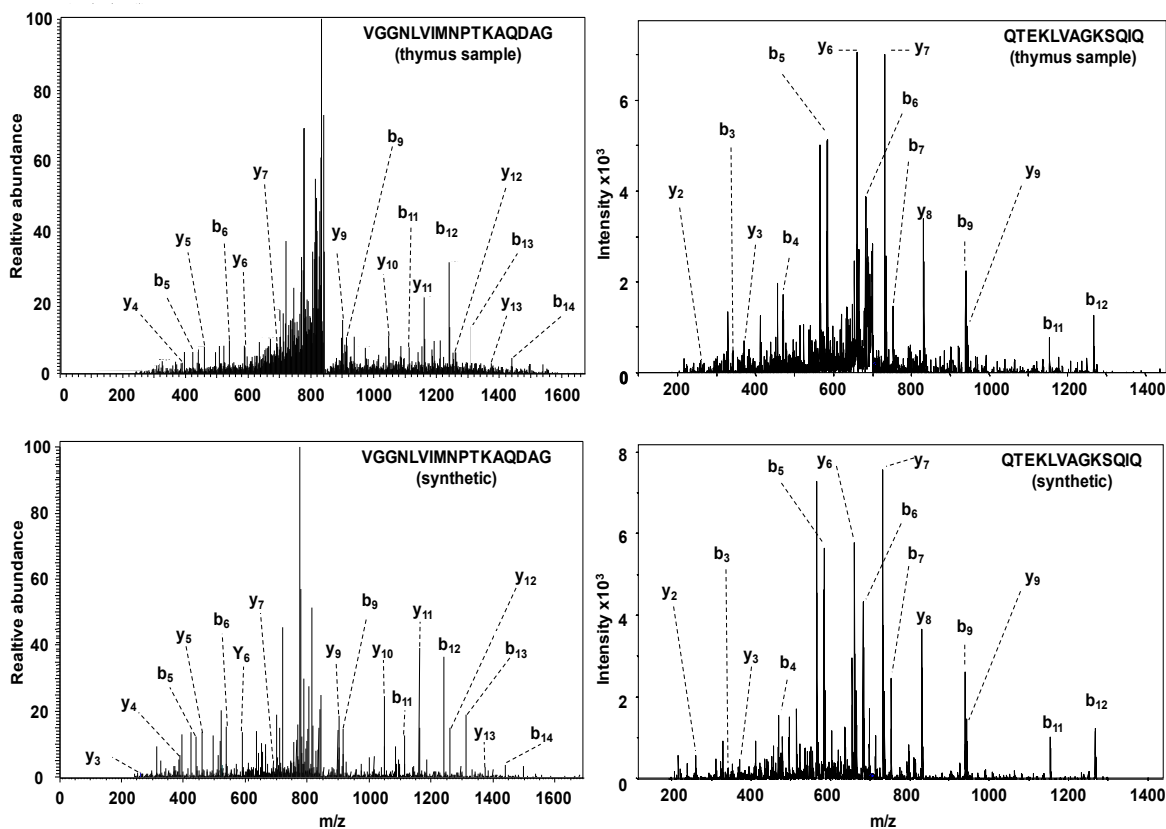


Figura 5.1. Espectros de fragmentación de los péptidos de contactina-2 y semenogelina. Izquierda arriba. Espectro de fragmentación del péptido de contactina-2 secuenciado en las muestras de timo 1. Izquierda abajo. Confirmación de la identificación: espectro de fragmentación del péptido sintético de contactina-2. Derecha arriba. Espectro de fragmentación del péptido de semenogelina secuenciado en la muestra de timo 5. Derecha abajo. Confirmación de la identificación: espectro de fragmentación del péptido sintético de semenogelina. La mayoría de los fragmentos identificados útiles para la asignación se ven anotados en los espectros.

El péptido *CNTN2* 91-107 no se buscó específicamente ni se volvió a secuenciar en ninguna otra de las muestras analizadas. El péptido *SEMG1* 377-389 sí que se trató de detectar de forma específica en otras muestras de timo. Concretamente, se procesaron dos nuevas muestras (timo 5: *DRB1*03:01/11:04* y timo 6: *DRB1*04:01/13:01*, Tabla 5.1) que se dividieron en dos alícuotas. Una alícuota se analizó por espectrometría de masas, programando el aparato para que únicamente fraccionara las moléculas de peso molecular 1412,8 (correspondiente a la secuencia QTEKLVAGKSQIQ). La segunda alícuota de cada muestra se analizó sin restricciones. En ambas muestras se detectó el péptido QTEKLVAGKSQIQ, aunque de forma muy minoritaria, como indica el hecho de que, a pesar de enfocar la fragmentación a la masa correspondiente, el espectro de fragmentación no fue limpio (aunque sí claro para identificar dicha secuencia). Adicionalmente, en la muestra timo 6 se identificó un péptido de 12 aminoácidos de longitud, que correspondía a la secuencia TEKLVAGKSQIQ (tabla 5.2). Este péptido, *SEMG1* 378-389, es idéntico a *SEMG1* 377-389, salvo que carece del residuo Gln en el N terminal, conformando ambos péptidos un *nested set*.

Los análisis de predicción de afinidad asignaron el péptido *CNTN2* 91-107 como ligando de alta afinidad de HLA-DR1. El *core* correspondiente al motivo de HLA-DR1 (Stern et al. 1994) sería LVIMNPTKA. Los péptidos derivados de semenogelina 1 no se pudieron asignar a ningún alelo. Según Propred, los péptidos de semenogelina podrían asociarse a HLA-DR3 ó DR4 con una afinidad intermedia, usando el

core de unión LVAGKSQIQ (Tabla 5.2). Según nuestro sistema de asignación (ver capítulo 1), estos péptidos eran ligandos de baja afinidad para HLA-DR3 y de afinidad intermedia para HLA-DR4. Se realizaron ensayos de afinidad de los péptidos *CNTN2* 91-107 y *SEMG1* 377-389 a las moléculas DR1 y DR3 (ver capítulo 1 y tabla 5.2). Los resultados confirmaron la predicción de afinidad, es decir, *CNTN2* 91-107 es un ligando de alta afinidad para DR1, con capacidad de unión intermedia a DR3. *SEMG1* 377-389 es un ligando de baja afinidad para los dos alelos estudiados. El alelo DR4 no fue incluido en el experimento.

Proteína	Contactin-2 (<i>CNTN2</i>)		Semenogelin-1 (<i>SEMG1</i>)		
Muestra	Timo1 (DR1, 3)		Timo3 (DR3, 11)	Timo5 (DR3, 11)	Timo6 (DR4, 13)
Péptido	VGGNLVIMNPTKAQDAG		QTEKLVAGKSQIQ	QTEKLVAGKSQIQ	QTEKLVAGKSQIQ TEKLVAGKSQIQ
Core	LVIMNPTKA	LVIMNPTKA	LVAGKSQIQ	LVAGKSQIQ	LVAGKSQIQ
Asignación	<i>DRB1*01:01</i>	<i>DRB1*03:01</i>	<i>DRB1*03:01</i>	<i>DRB1*03:01</i>	<i>DRB1*04:01</i>
Unión teórica	HB	LB	LB	LB	IB
Ensayo de unión	HB	IB	LB	LB	ND
IC50	0,03	31,42	>50	>50	

Tabla 5.2. Descripción de las secuencias de péptidos de TRAs. La tabla muestra el timo del que deriva el péptido secuenciado, la secuencia aminoacídica, el core asignado, la asignación a HLA-DR, la afinidad teórica y la afinidad experimental.

5.2. Caracterización de la expresión de *CNTN2* y *SEMG1* en diferentes tejidos

Los TRAs se han definido como proteínas codificadas por genes que se expresan, a nivel de RNA, en menos de 5 tejidos (Jens Derbinski et al. 2005). Para confirmar la correcta asignación de los genes *CNTN2* y *SEMG1* como TRAs, la expresión de los genes *CNTN2* y *SEMG1* se analizó en primer lugar mediante el sistema informático de búsqueda Genevestigator (<https://www.genevestigator.com/gv/>). Este programa contiene datos de expresión por microarrays de todos los genes humanos descritos en la bibliografía. Como se había demostrado en estudios previos (Derfuss et al. 2009; de Lamirande 2007) *CNTN2* se expresa casi exclusivamente a nivel del sistema nervioso central, y la expresión de *SEMG1* se limita a la próstata, semen y otros pocos tejidos (Figura 5.2).

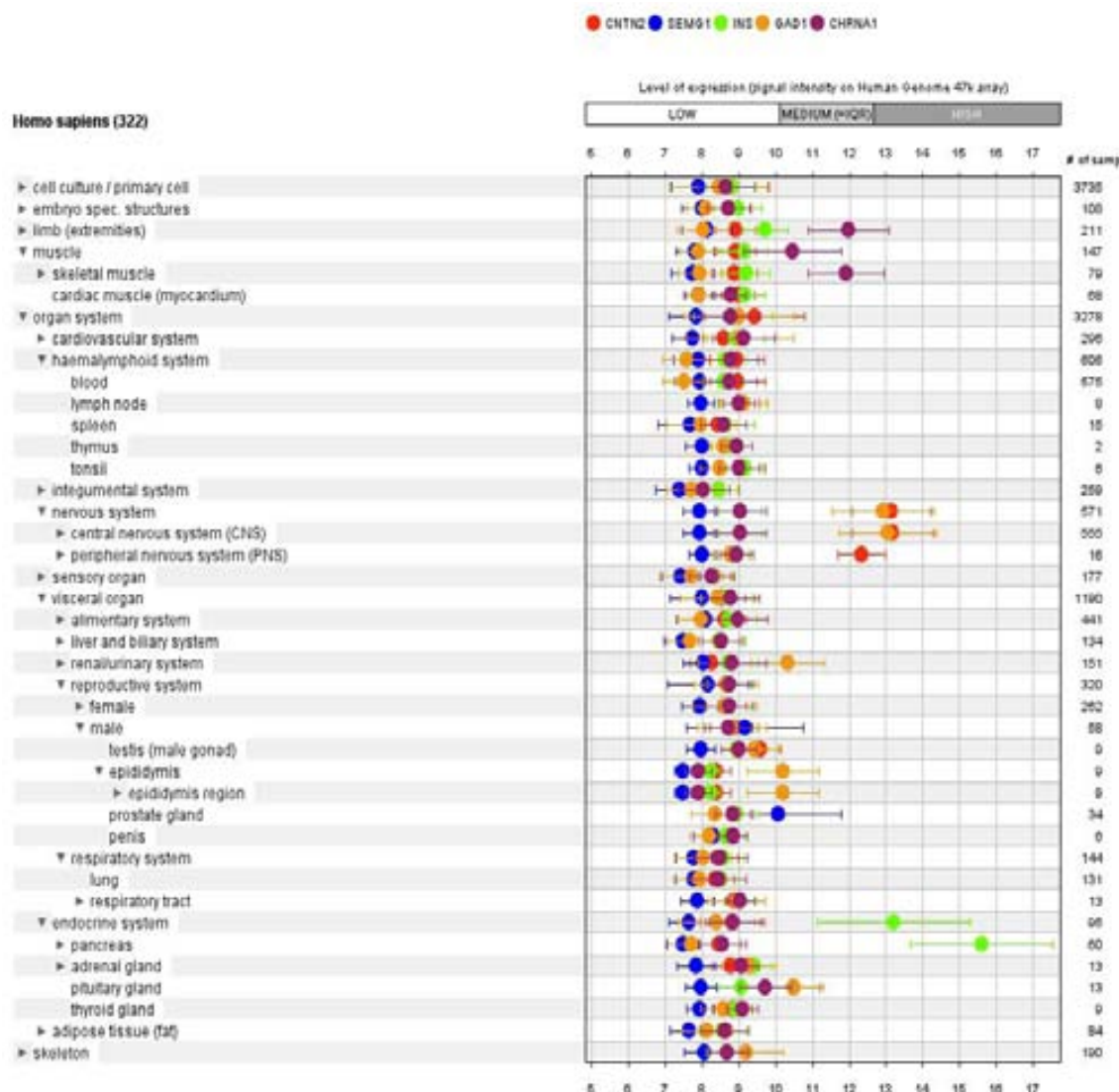


Figura 5.2. Panel de expresión génica obtenido de la base de datos de Genevestigator. En la figura se muestra el panel de expresión en humanos de los genes *CNTN2* (rojo) y *SEMG1* (azul) así como otros TRAs como la Insulina (INS, verde), Glutamate decarboxylase 1 (GAD1, amarillo) y la subunidad α del receptor de la acetil colina (*cholinergic receptor, nicotinic, alpha 1*, *CHRNA1*, morado).

Para confirmar experimentalmente la distribución tisular de *SEMG1* y *CNTN2* se analizó su expresión génica en un panel de 17 muestras de tejido por qPCR. Como control se analizó la expresión de los genes de otros TRAs bien estudiados: *GAD1*, que codifica la descarboxilasa del ácido glutámico de 67 kDa, expresada en el sistema nervioso central y páncreas y *CHRNA1*, que codifica la subunidad α del receptor de acetil colina, y se expresa en el músculo esquelético. También se midió la expresión de *KLK3*, gen que codifica la *prostate-specific antigen* (PSA), responsable de la degradación de la semenogelina 1 y *AIRE* gen expresado en las células epiteliales tímicas medulares y que es responsable de la expresión de TRAs en el timo (Tabla 5.3). *GAD1* y *CHRNA1* codifican proteínas consideradas como autoantígenos en la diabetes tipo 1 y la miastenia gravis respectivamente (Heckmann et al. 1996).

	<i>SEMG1</i>	<i>CNTN2</i>	<i>KLK3</i>	<i>CHRNA1</i>	<i>GAD1</i>	AIRE
Corazón	< 1	<1	< 1	< 1	< 1	< 1
Cerebro	< 1	637,4	< 1	2,1	544,8	5,7
Placenta	< 1	<1	3,6	2,7	8,6	< 1
Pulmón	< 1	<1	< 1	< 1	4,7	2,5
Hígado	< 1	<1	< 1	< 1	< 1	< 1
Músculo esquelético	< 1	<1	< 1	12,4	< 1	< 1
Riñón	< 1	<1	< 1	< 1	37,1	2,5
Pancreas	< 1	4,3	< 1	1,6	5,8	6,1
Bazo	< 1	<1	< 1	< 1	2,0	8,2
Timo	4,3	<1	2,1	8,0	5,6	124,0
Próstata	26157,3	4,4	117112,2	11,6	12,1	2,6
Testículos	39,1	263,1	132,5	2,8	100,7	6,3
Ovario	4,7	<1	17,7	< 1	7,5	< 1
Intestino Delgado	31,6	30,7	366,4	< 1	7,0	6,1
Colon	< 1	8,7	3,9	< 1	< 1	5,8
Leucocitos	6,1	<1	< 1	< 1	< 1	3,0
Tiroides	< 1	<1	1,1	< 1	< 1	< 1

Tabla 5.3. Tabla resumen de los niveles de expresión relativos de los genes de interés obtenido mediante qPCR en relación a la expresión de GAPDH. La tabla muestra la expresión relativa de los genes *SEMG1*, *CNTN2*, *KLK3*, *CHRNA1*, *GAD1* y AIRE en un panel de 17 tejidos de origen humano.

CNTN2 mostró una elevada expresión en cerebro y relativamente alta en testículos, similar a *GAD1*. *SEMG1* se expresó a niveles muy altos en la próstata (Figura 5.3 y Tabla 5.3), y a un nivel 300 veces menor en testículos y en intestino delgado. *SEMG1* también se expresó en leucocitos y ovarios, pero a niveles muy inferiores. No se encontró expresión significativa en otros tejidos. Se observó una buena correlación entre la expresión de *KLK3* y *SEMG1*, ambos altamente expresados en próstata y, en menor medida, en testículos, intestino delgado, ovarios y timo. *CHRNA1* se detectó en músculo esquelético a niveles relativamente bajos. Es importante señalar que, a pesar de la diferencia de nivel de expresión de los TRAs en los tejidos donde se expresan más abundantemente, los niveles de expresión de todos ellos en el timo fueron muy similares. Esta expresión tímica era significativamente inferior a la de AIRE. La expresión similar de todos los TRAs en el timo sugiere una capacidad similar de inducir tolerancia, independientemente de la diferencia de expresión en periferia.

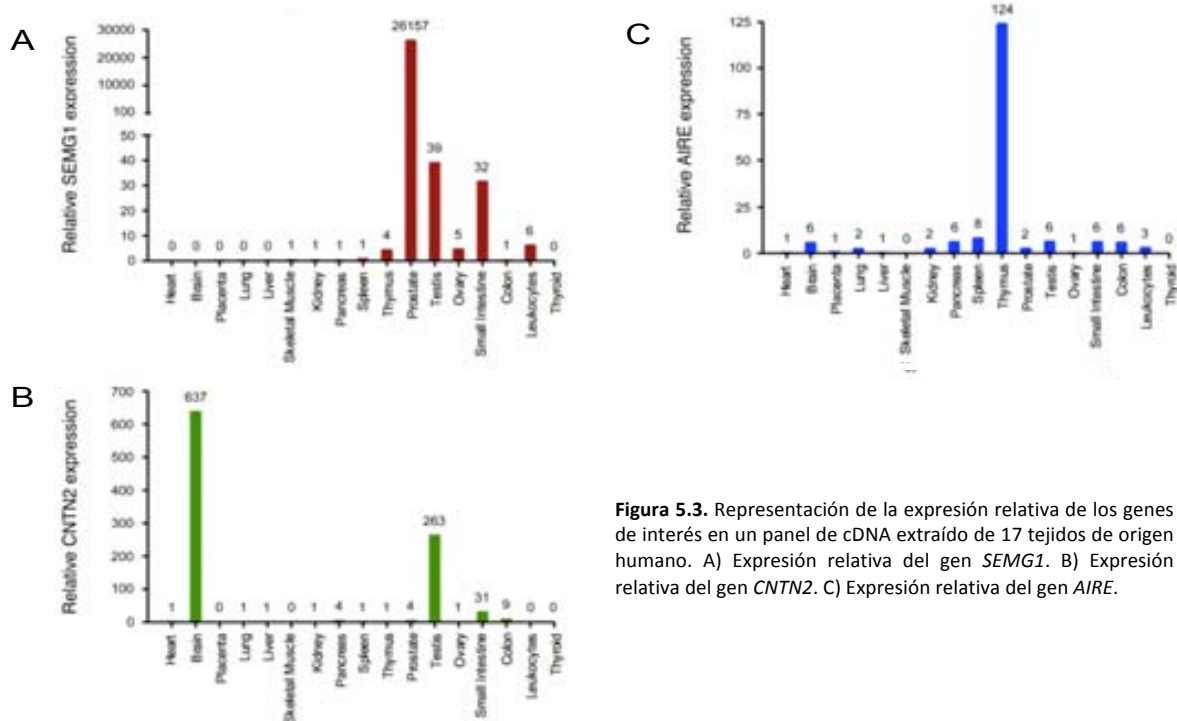


Figura 5.3. Representación de la expresión relativa de los genes de interés en un panel de cDNA extraído de 17 tejidos de origen humano. A) Expresión relativa del gen *SEMG1*. B) Expresión relativa del gen *CNTN2*. C) Expresión relativa del gen *AIRE*.

5.3. Estudio de la expresión de *CNTN2* y *SEMG1* en un panel de muestras de timo

Para estudiar si la expresión tímica de *CNTN2* y *SEMG1* es aplicable a la mayoría de timos, se estudió su expresión en dos paneles de muestras tímicas: 1) 60 muestras derivadas de 34 varones y 26 hembras, de edades comprendidas entre 6 días y 82 años para *SEMG1*; 2) 21 muestras (12 varones, 9 hembras) de edades entre 12 días-56 años para *CNTN2*. Se detectaron tránscritos de *SEMG1* en 55/60 muestras (91,7%) y en 21/21 (100%) para *CNTN2*. Por tanto, la expresión de *CNTN2* y de *SEMG1* (antígeno de tejido específico masculino) se detectó en muestras derivadas de hombres y de mujeres de todas las edades.

La proteína codificada por el gen *AIRE* regula la expresión en timo de muchos TRAs. Para estudiar su correlación, se analizó la expresión génica de *SEMG1*, *CNTN2* y *AIRE* en diferentes muestras tímicas. Los datos revelaron una correlación significativa entre la expresión de *SEMG1* y *AIRE* ($r=0.72$, $p<0,0001$), que indicaba que la expresión de *SEMG1* es *AIRE*-dependiente y por tanto su expresión en el timo debería producirse a nivel de las mTECs. Por otra parte, la correlación entre *CNTN2* y *AIRE* era más baja ($r=0.54$, $p=0,01$). Para conocer si este resultado descarta la expresión de *CNTN2* en mTECs, se realizó el mismo análisis con el gen *KRT14* que codifica la queratina 14, específica de mTECs. La figura 5.4 muestra que la correlación significativa entre la expresión de *CNTN2* y *KRT14* ($r=0.68$, $p=0,0007$). Los datos por tanto indicaban que la expresión de *CNTN2* está relacionada con las mTECs pero es *AIRE*-independiente.

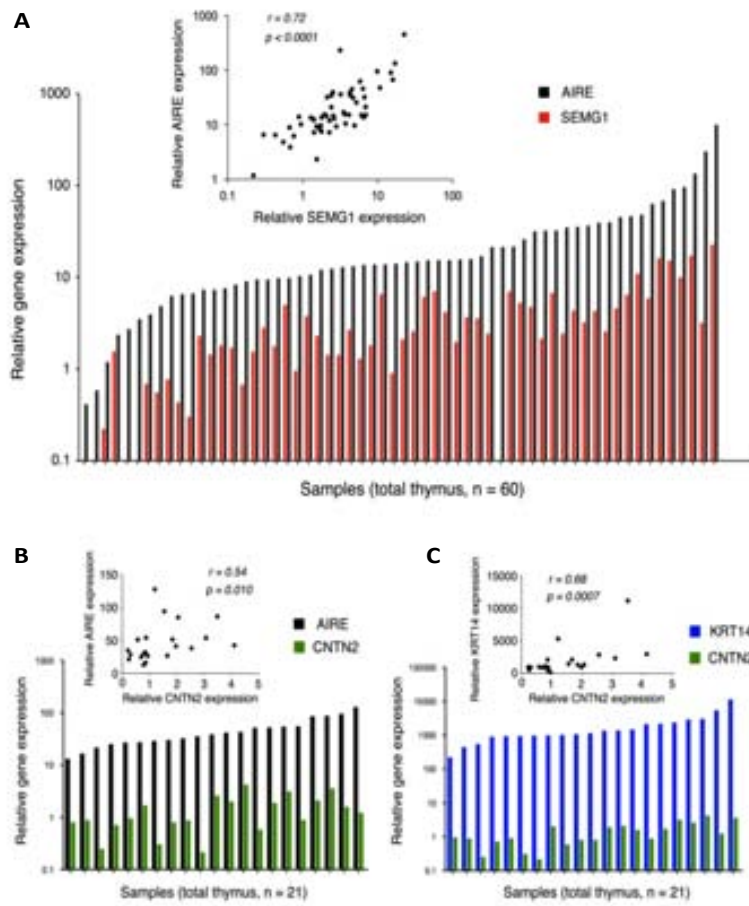


Figura 5.4. Representación del análisis de correlación de expresión génica. A) Representación de la expresión relativa de *SEMG1* (rojo) y *AIRE* (negro) en cada muestra (n=60). En el gráfico interior, correlación de expresión entre *AIRE* y *SEMG1*. B) Representación de la expresión relativa de *CNTN2* (verde) y *AIRE* (negro) en cada muestra (n=21). En el gráfico interior, correlación de expresión entre *AIRE* y *CNTN2*. C) Representación de la expresión relativa de *CNTN2* (verde) y *KRT14* (azul) en cada muestra (n=21). En el gráfico interior, correlación de expresión entre *AIRE* y *KRT14*.

5.4. Identificación de la población celular que expresa *SEMG1* y *CNTN2* en el timo

Para identificar las células que expresaban *CNTN2* y *SEMG1* en el timo, se realizó una primera aproximación mediante el análisis transcripcional de fracciones celulares tímicas por qPCR. Por fraccionamiento celular simple, se obtuvieron las fracciones F0 y F1. La fracción F0 está compuesta básicamente de timocitos y la F1 está enriquecida en estroma tímico, aunque contiene un número elevado de timocitos. La figura 5.5 muestra la expresión de diversos genes en estas dos fracciones. El gen *CDR3*, específico de timocitos se expresaba en ambas fracciones, aunque a niveles más altos en la F0. Por el contrario, los genes de queratinas y *KRT14* estaban exclusivamente expresados en la fracción F1. Estos datos confirmaron que las células epiteliales están contenidas en la F1. Igualmente, la expresión de *AIRE* y de los genes que codifican para los TRAs (*SEMG1*, *KLK3*, *CHRNA1*, *INS* y *GAD1*) junto con la *KRT14*, se detectaron sólo en la fracción F1. Las poblaciones de timocitos no expresaban ninguno de estos genes, descartando un posible papel de los timocitos como presentadores de los TRAs analizados.

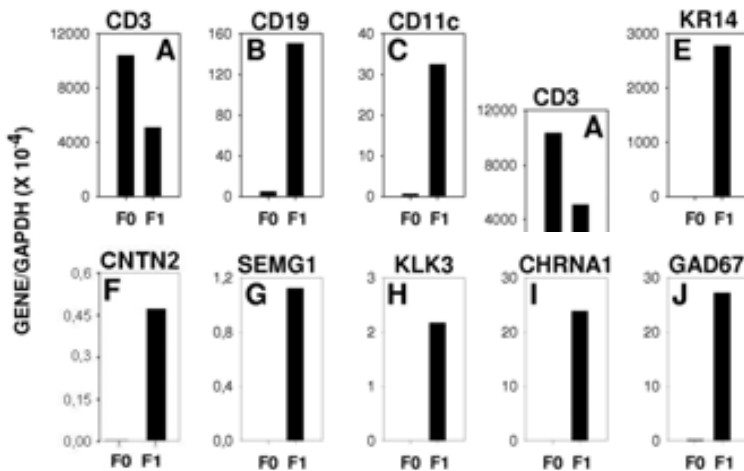


Figura 5.5. Niveles de expresión génica. Fila de arriba: niveles de expresión génica de los genes relacionados con las poblaciones presentes en las fracciones F0 y F1. Fila de abajo: niveles de expresión génica de los TRAs estudiados.

Estos datos confirmaron que *CNTN2* y *SEMG1* se expresaban en una población enriquecida en células estromales, y que las mTECs son el tipo celular candidato a expresarlos. Para confirmarlo e identificar la subpoblación de células estromales encargada de expresar dichos genes, se analizó la expresión de diversos genes por qPCR a partir de cdNA las siguientes muestras: 1) timo completo; 2) timocitos inmaduros ($CD2^+$, $CD3^-$); 3 timocitos maduros ($CD2^+$, $CD3^+$); 4) mTECs HLA-DR^{low}; 5) mTECs HLA-DR^{high} purificadas mediante sorting (número de donantes =9) (Figura 5.6). Se usaron los siguientes genes como control: *KRT14* (marcador de mTECs), *AIRE* (expresado en una subpoblación de mTECs) (Jens Derbinski et al. 2005), *GAD1* (autoantígeno control *AIRE*-independiente), *INS* (autoantígeno control *AIRE*-dependiente). Los resultados mostraron la expresión de *KRT14* en ambas poblaciones de mTECs. Como estaba descrito, la expresión de *AIRE* era mayoritaria en la población mTECs-HLA-DR^{high} en comparación con la mTECs-HLA-DR^{low}; sólo la subpoblación mTEC DR^{high} expresaba insulina mientras que ambas poblaciones de mTEC expresaban *GAD1* a niveles similares. Por lo que respecta a los TRAs en estudio, *SEMG1* presentó el mismo patrón de expresión que la insulina mientras que ambas poblaciones de mTECs expresaban *CNTN2*, confirmando el patrón de expresión de los antígenos AIRE-dependientes e independientes (Figura 5.6).

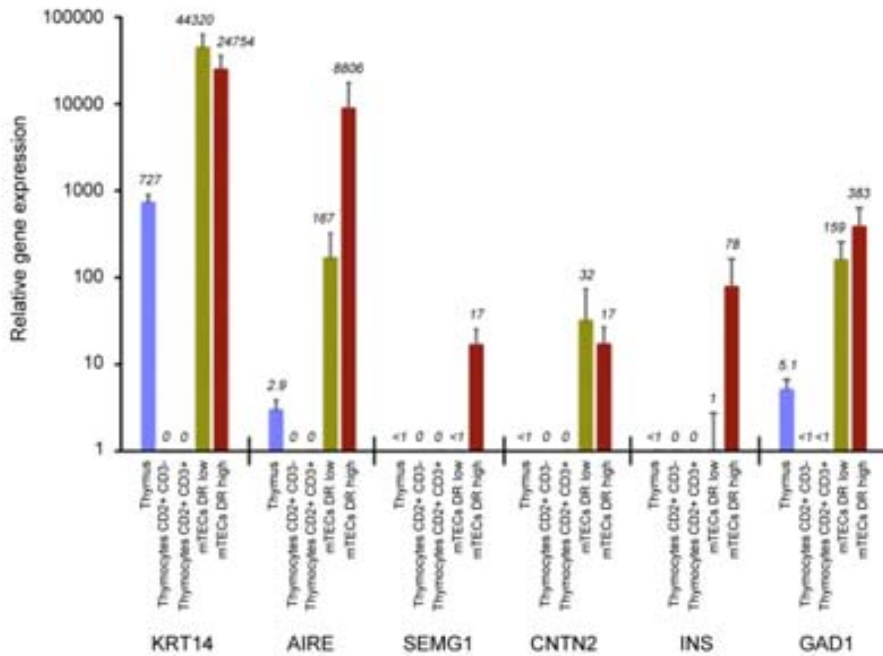


Figura 5.6. Expresión relativa de los genes *KRT14*, *AIRE*, *SEMG1*, *CNTN2*, *INS* y *GAD1* en subpoblaciones tímicas. Columnas desde la izquierda, cDNA de extracto total de timo (azul); timocitos CD3- (inmaduros); timocitos CD3+ (maduros); mTECs HLA-DR^{high} (ocre) y mTECs HLA-DR^{low} (rojo).

Para confirmar la correlación entre la expresión de *AIRE* con la de los TRAs, se analizó la expresión génica de estos genes en subpoblaciones de mTECs procedentes de un mismo individuo. El análisis de los datos individuales confirmó la dependencia descrita a nivel global. Había correlación significativa entre la expresión de *SEMG1* e *INS* con la expresión de *AIRE* ($r=0.95$ y 0.96 , respectivamente, $p<0,0001$ en ambas). La subpoblación de mTECs DR^{low} presentaba niveles de expresión de estos genes muy inferiores a la subpoblación de mTECs DR^{high}. Contrariamente, *GAD1* y *CNTN2* se expresaban a nivel similar en ambas subpoblaciones de mTECs (Figura 5.7), mostrando ausencia o muy baja correlación con la expresión de *AIRE* (*CNTN2*: $r=0.34$, $p=0.29$; *GAD1*: $r=0.66$, $p=0.0027$).

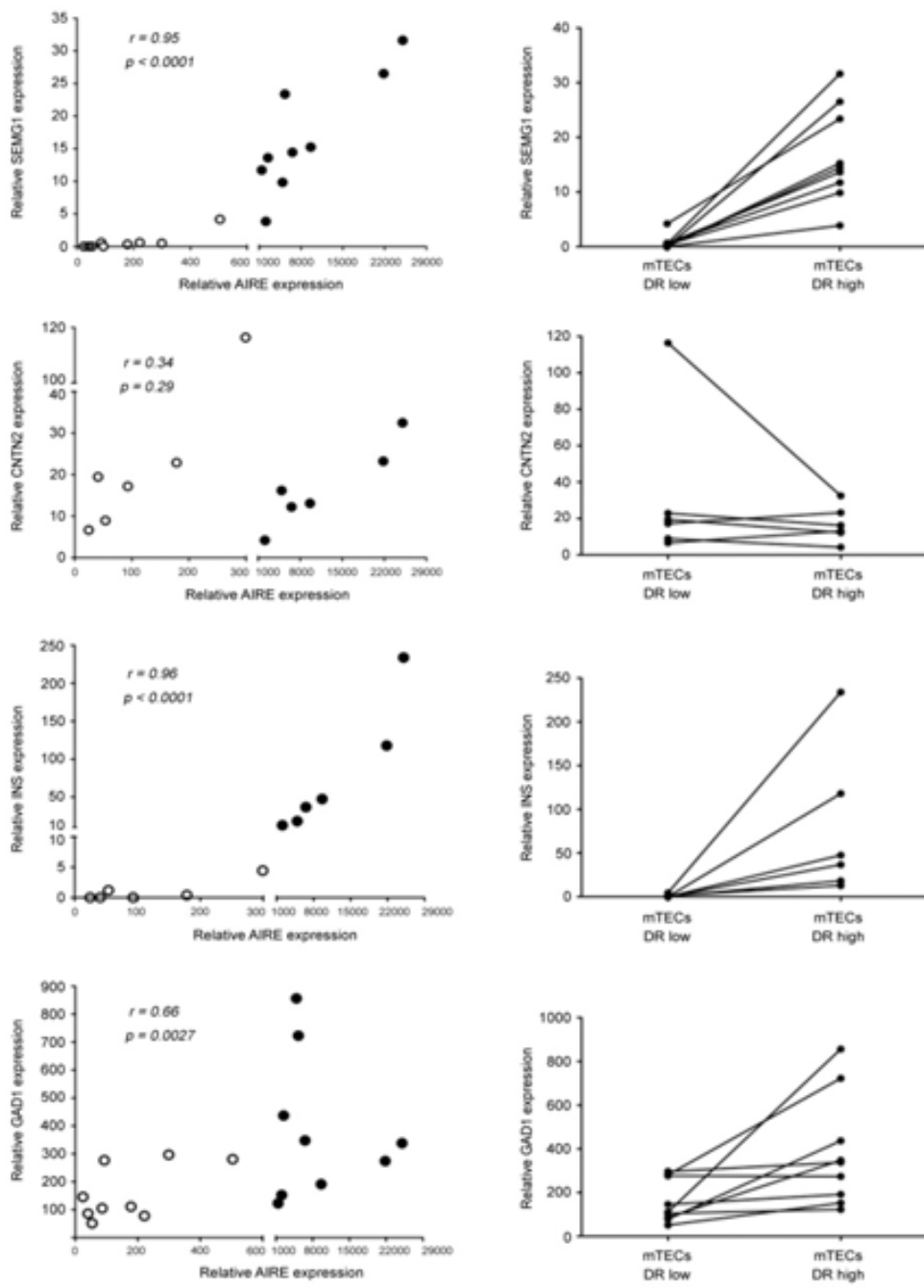


Figura 5.7. Expresión relativa de los TRAs en subpoblaciones celulares de mTECs purificadas. Columna de la derecha: Expresión relativa de los genes de interés y la expresión de AIRE en muestras purificadas de mTECs. Estudio de la variación de expresión de los genes AIRE-dependientes (*INS* y *SEMG1*) y AIRE-independientes (*GAD1* y *CNTN2*) en células mTECs DR^{low} (AIRE^{low}) y mTECs DR^{high} (AIRE^{high}). Cada uno de los puntos unidos por una línea representa la variación de expresión del gen de estudio entre las subpoblaciones de mTECs procedentes de un mismo individuo.

Capítulo 5

Discusión

Identificación de péptidos procedentes de proteínas específicas de tejido periférico en timo humano
(TRA: tissue-restricted antigens)

Para generar una tolerancia central eficiente, los timocitos deben ver en el timo un repertorio peptídico en el contexto de las moléculas de MHC propias lo más amplio posible. Este repertorio debe incluir, además de las proteínas ubicuas, aquellas con expresión restringida de tejido. Esto se ha confirmado a nivel transcripcional (referencias) y la expresión de muchos de estos TRAs está regulada por el *Autoimmune Regulator (AIRE)*. Se han realizado gran cantidad de estudios sobre el papel de *AIRE* en la tolerancia immunológica y su influencia en la expresión de genes de TRAs en timo humano. Los genes que codifican proteínas de expresión restringida a la periferia se transcriben en principalmente en las mTECs. Un subgrupo de estas células expresa *AIRE*. En ratones, estos TRAs proceden mayoritariamente de proteínas del intestino, hígado y SNC, mientras que genes específicos de otros tejidos como la próstata están representados en un porcentaje menor (Jens Derbinski et al. 2005). En teoría, las mTECs expresarían estas proteínas restringidas de tejido para procesarlas y presentar los péptidos resultantes por moléculas del MHC a los timocitos durante la selección negativa (Jens Derbinski et al. 2001). Recientemente se ha visto que *AIRE* podría inducir apoptosis en células epiteliales (Gray et al. 2007b; Colomé et al. 2010). Este aspecto funcional de *AIRE* incrementaría la captación de cuerpos apoptóticos de mTECs por las DCs medulares y el procesamiento y presentación de péptidos procedentes de TRAs en la médula tímica. Los niveles transcripcionales de los TRAs son más bajos que su expresión en tejido periférico y en muchos de los casos esta expresión está regulada temporalmente (Villaseñor et al. 2008). Actualmente existen pocos datos sobre la expresión proteica de los TRAs en timo y la presentación por HLA *in situ* de péptidos procedentes de TRAs no había sido demostrada. En este trabajo secuenciamos péptidos derivados de TRAs en timo al obtener *ex vivo* 3 ligandos asociados a HLA-DR. Estos péptidos derivan de dos proteínas específicas de tejido: la semenogelina-1 (*SEMG1*) y la contactina-2 (*CNTN2*). Ambas proteínas, expresadas en órganos inmunoprivilegiados, son diana de respuestas autoinmunes en enfermedades como son la prostatitis crónica o la esclerosis múltiple tanto en ratones como humanos (Hou et al. 2009; Derfuss et al. 2009).

La semenogelina-1 es la proteína dominante del coágulo seminal. Se sintetiza principalmente en el epitelio glandular de las vesículas seminales aunque se ha detectado su expresión en otros órganos no genitales (Lundwall et al. 2002). Tanto la proteína intacta como los productos derivados de su degradación por la proteinasa *prostate-specific antigen (PSA)* actúan modificando diferentes parámetros que afectan a la movilidad de los espermatozoides (de Lamirande 2007). Se identificó un péptido de semenogelina-1 en tres muestras tímicas que expresaban diferentes alelos HLA-DR, dos tenían en común el alelo HLA-DR3 y la muestra restante tenía un tipaje diferente (timo 3: DRB1*03:01/*11:01; timo 4: *03:01/*11:04; y timo 6: *04:01/ *13:01). En esta última muestra se identificó también una secuencia más corta, carente de Q en el extremo N-ter del péptido, conformando ambas secuencias una familia peptídica.

Por su parte, la contactina-2 es una proteína de membrana de la región juxtaparanodal del sistema nervioso central y en las fibras de mielina del sistema nervioso periférico (Traka et al. 2002). Es una proteína de adhesión que hace interacción homodimérica, formando un link entre el axón y la banda de mielina. Su función es aún desconocida, aunque se ha postulado que podría estar involucrada en los

movimientos de los canales de K⁺ a nivel axonal (Girault and Peles 2002). El péptido identificado se secuenció únicamente en la muestra de timo 1 (DRB1*01:01/*03:01).

El sistema de predicción desarrollado en esta tesis asignó el péptido de la contactina-2 como ligando de alta afinidad para el alelo DR1, mientras que los péptidos derivados de *semenogelina-1* se consideraron péptidos de baja afinidad para los alelos presentes en las muestras correspondientes. Aún así, el sistema Propred asignaba a estos péptidos afinidad intermedia para el alelo DR3 (threshold = 9; Score Propred = 23,16) y para DR4 (threshold = 9; Score Propred = 11,63). Los ensayos de afinidad realizados con moléculas solubles de DR1 y DR3 confirmaron el péptido de contactina-2 como un HB para DR1, y además presenta una afinidad intermedia por el otro alelo de la muestra, DR3. El péptido de semenogelina-1 utilizado, QTEKLVAGKSQIQ, no presentó niveles detectables de unión a alelo a la molécula DR3, lo que sugiere la posibilidad de que el péptido se une a diferentes moléculas de HLA-DR sin demasiada afinidad. Sin embargo, DR4 soluble no se usó en este experimento, lo que impide sacar conclusiones sobre la afinidad por esta molécula.

La expresión génica de *SEMG1* y *CNTN2* en timo fue muy baja en comparación con las respectivas expresiones en próstata y cerebro. El gen *SEMG1* se detectó en otros tejidos diferentes al reproductor, entre ellos el intestino delgado y el músculo esquelético, como ya describió Lundwall et al. en 2002. Nuestros resultados muestran una considerable expresión de ambos tránscritos en otros órganos inmunoprivilegiados como el intestino delgado y los testículos. Sin embargo, en contraposición a lo anteriormente descrito, no detectamos expresión de *SEMG1* en músculo esquelético. La transcripción de la *SEMG1* en los diferentes tejidos se correlaciona con la *KLK3*, gen codificante para la PSA, incluyendo el timo. La especificidad de la PSA *in vitro* es conocida. De hecho se ha digerido *in vitro* la semenogelina 1 con la PSA (Malm et al. 2000; Coombs et al. 1998) y ninguno de los dos péptidos secuenciados en nuestro trabajo fue generado *in vitro* por la PSA. Esto sugiere que la PSA no actúa a nivel tímico para generar los ligandos de HLA-DR procedentes de semenogelina 1 secuenciados en esta tesis. Por tanto, las proteasas candidatas a generar dichos ligandos serían las propias proteasas de las APCs tímicas. Por otra parte, *CNTN2* mostró un patrón de expresión tisular similar al *GAD1*, un autoantígeno importante en la diabetes tipo I. Aunque la expresión relativa de este autoantígeno era más dispersa que la de *CNTN2*, la expresión de ambos se concentra en el tejido nervioso y testículos. Los niveles de expresión en páncreas fueron similares para los dos genes. Aunque no hay datos de respuesta autoinmune específica contra la contactina-2 en pacientes diabéticos, si que existe relación en el deterioro axonal y los canales de iones Na⁺/K⁺ (Kuwabara and Misawa 2004) y se han visto variaciones de expresión de contactina en los nódulos de Ranvier en modelos de diabetes de tipo I en rata (Sima et al. 2004).

La expresión promiscua en timo se da mayoritariamente en las mTECs. Aún así, no es una característica exclusiva de estas células ya que las cTECs son capaces de expresar TRAs (J Derbinski et al. 2001). A nivel medular, los niveles de expresión de TRAs se incrementan en las mTECs-Aire^{hi} (maduras) respecto a mTECs-Aire^{lo} (inmaduras). Se ha descrito que el 45% de los genes *AIRE*-dependientes son potenciales TRAs (Jens Derbinski et al. 2005).

Los autoantígenos secuenciados en este trabajo son expresados por las células del epitelio tímico, en concreto por las mTECs. Aun así, la dependencia de *AIRE* en su expresión varía en función del gen estudiado:

Al igual que el gen *AIRE*-dependiente de la insulina (*INS*) (Jens Derbinski et al. 2001), la expresión de *SEMG1* se correlacionó con la expresión de *AIRE*, sobre todo en las mTECs *AIRE*^{high} HLA-DR^{high}. El incremento de su expresión se confirmó en el estudio de poblaciones de mTECs (*KRT14+*) maduras (DR^{hi}) e inmaduras (DR^{lo}) procedentes de un mismo donante, donde el incremento de la expresión de *AIRE* en estas poblaciones provocó a su vez el aumento de la transcripción de *SEMG1*. Datos previos en modelos murinos relacionan la expresión de *SEMG1* y la tolerancia. Hou et al. en 2009 inmunizaron ratones WT con la *seminal vesicle secretory protein 2 (svs2)*, equivalente en ratón de la *SEMG1* humana, provocándoles la aparición de prostatitis. Además, ratones *AIRE*-KO desarrollaron de forma espontánea la enfermedad debido a que la expresión de *svs2* en timo es dependiente de *AIRE*. Ambos datos muestran la importancia, tanto a nivel periférico como a nivel central, de la tolerización de esta proteína. Por otra parte, un gran número de pacientes con prostatitis presentan anticuerpos contra la semenogelina. No sabemos los niveles de expresión de *SEMG1* en el timo de pacientes con prostatitis autoinmune, pero la tolerización de esta proteína parece ser evolutivamente importante. Esta enfermedad afecta al 6% de los hombres adultos y se desconoce su etiología, por lo que es plausible pensar que la reducción tímica derivada del acúmulo de materia grasa con los años pueda reducir los procesos tolerogénicos frente a la semenogelina-1 y permitir el desarrollo de prostatitis en edades más avanzadas del desarrollo humano en determinados individuos.

A su vez, el gen *CNTN2* se detectó a niveles similares en las poblaciones mTEC maduras e inmaduras, manteniendo las similitudes con la expresión de *GAD1* (J Derbinski et al. 2001). El incremento de *AIRE* no se correlacionó con el aumento de expresión de la *CNTN2*, por lo que se consideró *AIRE*-independiente. Aunque actualmente *AIRE* es el único gen aceptado como componente molecular de la regulación de la expresión promiscua se están estudiando otras vías de regulación (Seach et al. 2008; Akirav, Xu, and Ruddle 2011; Metzger and Anderson 2011), que podrían ser las responsables de la expresión de la *CNTN2*. Aunque posiblemente no tenga relevancia, es curioso anotar que tanto *GAD1* como *CNTN2*, proteínas del sistema nervioso central, tienen sistemas de regulación independientes de *AIRE*. Hasta donde sabemos, no hay estudios previos de la expresión de *CNTN2* en timo y su implicación en tolerancia, pero sí se ha descrito respuesta específica contra contactin-2 asociada con la secreción de IFN- γ e IL-17 en pacientes con esclerosis múltiple, participando de forma significativa en el proceso patológico (Derfuss et al. 2009). En modelos EAE de rata, la transferencia adoptiva de células T CD4+ específicas para los residuos 31-240 de la *tag-1* (equivalente a la *CNTN2* en rata) generó una reacción autoinmune que afecta al sistema nervioso central. La región de *tag-1* utilizada en este estudio contiene la secuencia descrita por nosotros con un porcentaje de homología del 87%. Además, Derfuss describió que la respuesta contra *tag-1* en este modelo animal genera una histopatología similar a la que se desarrolla en humanos, afectando a nivel del cerebro y en la materia blanca y gris de la espina dorsal. Igual que para la semenogelina-1, los mecanismos de tolerancia periférica parecen ser esenciales

para evitar el desarrollo de la enfermedad ya que una parte de los linfocitos T procedentes de donantes control generaron respuesta específica frente a la contactin-2, aunque no desarrollaron la enfermedad (Derfuss et al. 2009).

Tanto el número de TRAs secuenciados como sus niveles de expresión son escasos, lo que puede sugerir que no es necesario una gran presentación peptídica de los TRAs para generar el repertorio tolerogénico. Estos péptidos, de expresión restringida a órganos inmunoprivilegiados, podrían estar siendo “ignorados” por células potencialmente autorreactivas debido a que no tienen acceso a ellos en concentraciones suficientemente altas como para desencadenar una respuesta autoinmune (Nossal 1993). Los procesos tolerogénicos centrales pueden que únicamente “amortiguen” la presencia de células T autorreactivas en periférica. Sin embargo, si existieran factores que causen alteraciones cuantitativas o cualitativas en la expresión de los TRAs, el número de células T autorreactivas podría incrementarse, aumentando la probabilidad de desarrollar autoinmunidad.

Un ejemplo son las variaciones post-traduccional de las proteínas. Clossen et al. detectaron la expresión de determinados antígenos asociados a tumor en mTECs humanas a nivel proteico. Sólo entre el 1% y el 3% de las mTECs purificadas presentaban la proteína y en ningún caso se detectó las variaciones post-traduccionales presentes en periferia (Cloosen et al. 2007). Estas variaciones en las modificaciones post-traduccionales entre el timo y la periferia estarían generando un repertorio de células T no tolerizadas. De la misma manera, los niveles de expresión intratímica de un determinado antígeno podría influir en el umbral de la tolerancia frente a la autoinmunidad. En el caso de la diabetes, existe una correlación inversa entre la expresión de insulina intratímica y la susceptibilidad a padecer la enfermedad (Liston et al. 2005). Por lo que, variaciones en el número de secuencias presentadas o incluso en los ligandos que componen las familias peptídicas pueden dar lugar a presentaciones desiguales de determinados ligandos.

La identificación de péptidos de semenogelina-1 y contactina-2 presentados por HLA-DR implica el procesamiento y transporte a los compartimentos de carga de MHC-II de estas proteínas. Su expresión, delimitada a las células epiteliales, sugiere la posible presentación por parte de las mismas. Mohan et al. describieron, en modelos de ratón, que linfocitos T tolerizados en timo frente a una secuencia peptídica de la cadena B de la insulina desencadenaban una respuesta en periferia frente a una variante de ese mismo péptido. Concretamente, las células de Langerhans de periferia presentaban la misma secuencia pero con variaciones en su longitud. La pérdida de un aminoácido provocaba el cambio en el *core* de unión modificando la respuesta frente a él (Mohan, Petzold, and Unanue 2011; Mohan et al. 2010). Estas diferencias en el procesamiento peptídico entre APCs tímicas y no tímicas puede generar ligandos similares pero no idénticos que no son tolerizados a nivel central. Aún así, las DCs (autóctonas como periféricas) presentes en la médula tímica también son capaces de presentar de forma ectópica TRAs para el desarrollo de los timocitos. La relación entre las DCs tímicas y las mTECs en la inducción de la tolerancia central sugieren que las mTECs pueden actuar tanto como presentadoras de antígeno autónomas vía macroautofagia o actuar como una fuente de antígenos para su presentación cruzada por las DCs tímicas (Takahama 2011; Hubert et al. 2011). La posibilidad de que *AIRE* aumente la

sensibilidad a la apoptosis de las células epiteliales (Colomé et al. 2010; Gray et al. 2007b; Liiv et al. 2012) y la modulación negativa de la expresión del MHC-II tras la expresión de *AIRE* (Johnnidis et al. 2005; Sato et al. 2004), podría favorecer la presentación de los TRAs por parte de las DCs mediante la captura de material derivado de las mTECs.

El futuro estudio del procesamiento y presentación de los TRAs requerirá el análisis de poblaciones purificadas de mTECs y DCs tímicas. Como ya se ha comentado, la mayor limitación para estos estudios deriva de la dificultad de purificar el suficiente número de mTECs y DCs de la médula tímica humana para poder llegar a secuenciar ligandos de MHC, aún así el progreso en las tecnologías proteómicas facilita cada vez más la consecución de dicho objetivo.

Conclusiones

1. Desarrollo de un método de asignación de péptidos a alelos de HLA-DR basado en herramientas bioinformáticas

1a. Se ha desarrollado una metodología de predicción de afinidad de los péptidos asociados a HLA-DR que permite la asignación a alelos

1b. El método desarrollado presenta alto nivel de eficiencia en la asignación de péptidos de alta afinidad

2. Análisis de los ligandos de HLA-DR en tejido linfoide secundario humano

2a. El repertorio de péptidos asociado a HLA-DR en bazo humano es un repertorio estándar para clase II, mayoritariamente de origen extracelular y con alto nivel de redundancia

2b. Existen regiones inmunodominantes en cada proteína que son presentadas por HLA-DR, en detrimento del resto de la secuencia de cada proteína

2c. La mayoría de los ligandos presentados en el bazo son de alta afinidad

2d. Los péptidos más abundantes proceden de proteínas relacionadas con las funciones del tejido, independientemente de su abundancia en el resto del proteoma

3. Análisis de los ligandos de HLA-DR en timo humano

3a. El repertorio de péptidos asociado a HLA-DR en timo humano es un repertorio estándar para clase II, mayoritariamente de membrana o extracelular y de menor nivel de redundancia que en el bazo

3b. Los péptidos presentados en el timo son de alta afinidad y representan las regiones inmunodominantes de cada proteína

3c. El contenido del peptidoma tímico está mayoritariamente representado por péptidos derivados de proteínas ubicuas o abundantes en órganos linfoides

3. Estudio comparativo entre los repertorios peptídicos de timo y bazo en condiciones homeostáticas

4a. El número de proteínas generadoras de péptidos que son comunes entre timo y bazo es relativamente bajo pero generan la mayor proporción de péptidos en ambos tejidos

4b. Entre timos y bazos idénticos para HLA-DR, las secuencias derivadas de proteínas comunes generaron péptidos de igual secuencia

4c. Ambos repertorios están compuestos principalmente de péptidos de alta afinidad. En el timo esta propiedad corresponde a la mayoría de los péptidos. En bazo, sin embargo, los péptidos de la vía citosólica son de baja afinidad. Esto probablemente refleja la importancia de esta vía no canónica en el timo

4d. En comparación con estos repertorios, los péptidos presentados por un tejido autoinmune humano presentan un alto porcentaje de péptidos de baja y media afinidad

5. Análisis de los péptidos involucrados en la inducción de tolerancia: estudio de péptidos procedentes de proteínas específicas de tejido periférico en muestras de timo humano

5a. Se han identificado por primera vez dos péptidos derivados de antígenos periféricos presentados por HLA-DR en timos humanos. Estos péptidos proceden de proteínas que son diana de enfermedades autoinmunes humanas

5b. Su expresión se restringe a células epiteliales medulares

5c. La expresión de uno de ellos es AIRE dependiente y otro AIRE independiente

5d. Por lo tanto, la transcripción ectópica de genes periféricos en timo se corresponde con la presentación de péptidos de la correspondiente proteína

Anexo



Anexo 1. Tabla resumen de las afinidades predictivas y asignación alélica de los ligandos de HLA-DR

Muestra	AC.Number	Péptido	N ¹	P ²	M ³	F ⁴	Asignación
Timo 1	P11021	SAGPPPTGEEDTAEKDEL	LB	LB	IB	LB	NA
Timo 1	P60709	ATAASSSSLEKS	LB	LB	HB	LB	NA
Timo 1	P60709	DFEQEMATAASSS	IB	IB	HB	IB	DRB1*01:01
Timo 1	P60709	ISKQEYDESGPSIVHR	IB	LB	HB	NA	NA
Timo 1	P60709	LDFEQEMATAASS	IB	IB	HB	IB	DRB1*01:01
Timo 1	P60709	LDFEQEMATAASSS	IB	IB	HB	IB	DRB1*01:01
Timo 1	P60709	MDDDI AALVVVDNGSGMCKAGFAGDDAPRAVFP SIVG	IB	HB	HB	HB	DRB1*03:01
Timo 1	P60709	MGQKDSYVGDEAQSKRGILT	LB	HB	HB	HB	DRB1*03:01
Timo 1	P60709	VALDFEQEMATAASSS	HB	IB	HB	HB	DRB1*01:01
Timo 1	P60709	WISKQEYDESGPSIVHR	IB	LB	HB	NA	NA
Timo 1	P10696	SPEYRQQSAVPLDGE	HB	HB	HB	HB	DRB1*01:01
Timo 1	P05186	AHNNYQAQSAVPLRH	HB	HB	HB	HB	DRB1*01:01
Timo 1	P05186	AHNNYQAQSAVPLRHE	HB	HB	HB	HB	DRB1*01:01
Timo 1	P05186	AHNNYQAQSAVPLRHET	HB	HB	HB	HB	DRB1*01:01
Timo 1	P01009	KAVLTIDEKGTEA	LB	HB	HB	HB	DRB1*03:01
Timo 1	P01009	KAVLTIDEKGTEAA	IB	HB	HB	HB	DRB1*03:01
Timo 1	P15144	INDAFNLASAHKVPVT	HB	HB	HB	HB	DRB1*01:01
Timo 1	P58335	DLYFVL DKSGSVA	HB	HB	HB	HB	DRB1*01:01/DRB1*03:01
Timo 1	P58335	DLYFVL DKSGS VAN	HB	HB	HB	HB	DRB1*01:01/DRB1*03:01
Timo 1	P12830	GKVFYSITGQGADT	HB	HB	HB	HB	DRB1*01:01
Timo 1	Q9UQC9	DEYNNDKPFYIN	LB	HB	HB	HB	DRB1*03:01
Timo 1	Q9UQC9	DEYNNDKPFYING	LB	HB	HB	HB	DRB1*03:01
Timo 1	P27824	KPDDWDEDAPAKIPD	LB	LB	HB	LB	NA
Timo 1	P27824	KPDDWDEDAPAKIPDE	LB	LB	HB	LB	NA
Timo 1	P07384	VPPELVGQPAVHLKR	HB	HB	HB	HB	DRB1*01:01
Timo 1	P27797	GGGYVKLFPNSLDQ	HB	HB	HB	HB	DRB1*01:01
Timo 1	P25774	TGKLVL SLSAQNLVD	HB	HB	HB	HB	DRB1*01:01
Timo 1	Q02246	VGGNLVIMNPTKAQDAG	HB	HB	HB	HB	DRB1*01:01
Timo 1	P02741	KESDTSYVSLKAPLTKPL	HB	HB	HB	HB	DRB1*01:01
Timo 1	P02741	SDTSYVSLKAPLTKPLK	HB	HB	HB	HB	DRB1*01:01
Timo 1	P12277	DPIIEDRHGGYKPS	IB	IB	HB	IB	DRB1*03:01
Timo 1	P12277	DPIIEDRHGGYKPSDE	IB	IB	HB	IB	DRB1*03:01
Timo 1	Q13609	SVFDFQKAYKLTEE	HB	HB	HB	HB	DRB1*01:01
Timo 1	Q02413	VVTGNMGSNDKV GDF	LB	IB	HB	NA	NA
Timo 1	Q9H3Z4	ETTQLTADSHPSYHTDG	HB	HB	HB	HB	DRB1*03:01
Timo 1	P68104	IEKFEKEAAEMGKG	IB	LB	IB	IB	DRB1*01:01
Timo 1	P54851	FQEYSTLQAVQATM	HB	HB	HB	HB	DRB1*01:01
Timo 1	P09382	GEVAPDAKS FVLN	LB	HB	HB	HB	DRB1*03:01
Timo 1	P09382	VRGEVAPDAKS FVLN	IB	HB	HB	HB	DRB1*03:01
Timo 1	Q8N6F7	SPEDEYE LLMPHRIS	HB	HB	HB	HB	DRB1*01:01
Timo 1	Q8N6F7	SPEDEYE LLMPHRISS	HB	HB	HB	HB	DRB1*01:01
Timo 1	Q8NBJ4	SSHNFQLESVN KLYQDE	HB	HB	HB	HB	DRB1*01:01

Muestra	AC.Number	Péptido	N ¹	P ²	M ³	F ⁴	Asignación
Timo 1	POCOS8	TAEILELAGNAAR	HB	IB	HB	HB	DRB1*01:01
Timo 1	POCOS8	TAEILELAGNAARDN	HB	IB	HB	HB	DRB1*01:01
Timo 1	POCOS8	VLEYLTAEILELAGNAAR	HB	HB	HB	HB	DRB1*01:01
Timo 1	P20036	YVDLDDKKETVWH	LB	HB	HB	HB	DRB1*03:01
Timo 1	P01909	DIVADHVASYGVN	IB	HB	HB	HB	DRB1*03:01
Timo 1	P01903	ALANIAVDKANLEIM	IB	IB	HB	IB	DRB1*01:01/DRB1*03:01
Timo 1	P01903	ALANIAVDKANLEIMT	IB	IB	HB	IB	DRB1*01:01/DRB1*03:01
Timo 1	P01903	ANIAVDKANLEIM	IB	IB	IB	IB	DRB1*03:01
Timo 1	P01903	LANIAVDKANLEI	IB	IB	HB	IB	DRB1*01:01/DRB1*03:01
Timo 1	P01903	LANIAVDKANLEIM	IB	IB	HB	IB	DRB1*01:01/DRB1*03:01
Timo 1	P01903	LANIAVDKANLEIMT	IB	IB	HB	IB	DRB1*01:01/DRB1*03:01
Timo 1	P01903	VPPEVTVLTNSPVE	IB	IB	HB	IB	DRB1*01:01
Timo 1	P01781	BTLYLQMNSLRAEBT	HB	HB	HB	HB	DRB1*01:01
Timo 1	P01781	BTVYLQMBSLRAED	HB	HB	HB	HB	DRB1*01:01
Timo 1	P01781	BTVYLQMBSLRAEDT	HB	HB	HB	HB	DRB1*01:01
Timo 1	P01781	NSLYLQMNSLRVEDT	HB	HB	HB	HB	DRB1*01:01
Timo 1	P01781	NTLYLNMMNSLRAEDT	HB	HB	HB	HB	DRB1*01:01
Timo 1	P01781	NTLYLNMMNSLRAEDTA	HB	HB	HB	HB	DRB1*01:01
Timo 1	P01781	NTLYLQMNSLRAED	HB	HB	HB	HB	DRB1*01:01
Timo 1	P01781	NTLYLQMNSLRAEDT	HB	HB	HB	HB	DRB1*01:01
Timo 1	P01781	NTLYLQMNSLRAEDTA	HB	HB	HB	HB	DRB1*01:01
Timo 1	P01781	TLYLQMNSLRAED	HB	HB	HB	HB	DRB1*01:01
Timo 1	P01781	TLYLQMNSLRAEDT	HB	HB	HB	HB	DRB1*01:01
Timo 1	P01781	TVYLQMBSLRAED	HB	HB	HB	HB	DRB1*01:01
Timo 1	P01781	TVYLQMBSLRAEDT	HB	HB	HB	HB	DRB1*01:01
Timo 1	P01834	KVQWKVDNALQSG	IB	HB	IB	IB	DRB1*01:01/DRB1*03:01
Timo 1	P01834	KVQWKVDNALQSGN	IB	HB	IB	IB	DRB1*01:01/DRB1*03:01
Timo 1	Q9Y6R7	ASVDLKNTGREE	LB	LB	IB	LB	NA
Timo 1	P13612	TPIQIEAAYHLGPH	HB	HB	HB	HB	DRB1*01:01
Timo 1	P11215	GQSVVQLQGSRRVVG	HB	HB	HB	HB	DRB1*01:01
Timo 1	P05107	NSNQFQTEVGKQLISG	HB	HB	HB	HB	DRB1*01:01
Timo 1	P05107	SNQFQTEVGKQLISG	HB	HB	HB	HB	DRB1*01:01
Timo 1	Q96RQ9	LSGLVLLNAPVVAMT	HB	HB	HB	HB	DRB1*01:01
Timo 1	Q9UHB6	FTTQNQKSQDVEL	LB	LB	IB	LB	NA
Timo 1	P33241	SLKPSEAPELDED	LB	HB	HB	HB	DRB1*01:01
Timo 1	O00754	IRATFDPTDTGLLME	IB	LB	IB	IB	DRB1*01:01/DRB1*03:01
Timo 1	O00754	TRIYITDGNMQL	IB	IB	HB	IB	DRB1*03:01
Timo 1	P07333	VDTYVEMRPVSTS	HB	HB	HB	HB	DRB1*01:01
Timo 1	Q2M385	FSTEFQRMKTLQVKDQ	HB	HB	HB	HB	DRB1*01:01
Timo 1	Q14764	EKSFFLQPGEQLEQ	HB	HB	HB	HB	DRB1*01:01
Timo 1	Q14764	GEKSFFLQPGEQLEQ	HB	HB	HB	HB	DRB1*01:01
Timo 1	P08571	SGTLVLLQGARGFVA	HB	HB	HB	HB	DRB1*01:01
Timo 1	P35579	GKADGAEAKPAE	LB	LB	HB	LB	NA
Timo 1	Q96A32	VITHGDAKDQE	LB	LB	IB	LB	NA

Muestra	AC.Number	Péptido	N ¹	P ²	M ³	F ⁴	Asignación
Timo 1	P15586	FEPFFMMIATPAPH	HB	HB	HB	HB	DRB1*01:01
Timo 1	P15586	FEPFFMMIATPAPHSP	HB	HB	HB	HB	DRB1*01:01
Timo 1	P46531	VPNQYNPLRGSVAPGP	HB	HB	HB	HB	DRB1*01:01
Timo 1	P46531	VPNQYNPLRGSVAPGPL	HB	HB	HB	HB	DRB1*01:01
Timo 1	P16284	DAQFEVIKGQTIEV	HB	HB	HB	HB	DRB1*01:01
Timo 1	Q15149	GGLIEPDTPGRVPLD	IB	HB	HB	HB	DRB1*03:01
Timo 1	Q9H3G5	AGKYVPAIAHLIHS	HB	HB	HB	HB	DRB1*01:01
Timo 1	P30101	SDVLELTDDNFESRISDTGSAGLML	LB	LB	HB	LB	NA
Timo 1	P30101	SDVLELTDDNFESRISDTGSAGLMLVE	IB	LB	HB	NA	NA
Timo 1	Q96M53	PIGDPQSNRNPQL	LB	LB	HB	LB	NA
Timo 1	A6NJS3	MGTAYMELSSLRSEDT	HB	HB	HB	HB	DRB1*01:01
Timo 1	A6NJS3	STAYMELSSLRSED	HB	HB	HB	HB	DRB1*01:01
Timo 1	A6NJS3	STAYMELSSLRSEDT	HB	HB	HB	HB	DRB1*01:01
Timo 1	P20339	SPNIVIALSGNKADLA	HB	HB	HB	HB	DRB1*01:01
Timo 1	P61020	SPSIVIALAGNKADLA	HB	HB	HB	HB	DRB1*01:01
Timo 1	P51148	SPNIVIALAGNKAD	HB	HB	HB	HB	DRB1*01:01
Timo 1	P51148	SPNIVIALAGNKADL	HB	HB	HB	HB	DRB1*01:01
Timo 1	P51148	SPNIVIALAGNKADLA	HB	HB	HB	HB	DRB1*01:01
Timo 1	P51149	AKEAINVEQAFQTIA	IB	IB	HB	IB	DRB1*01:01
Timo 1	O75787	NEFSILKSPGSV	HB	HB	HB	HB	DRB1*01:01
Timo 1	O75787	NEFSILKSPGSVV	HB	HB	HB	HB	DRB1*01:01
Timo 1	P52566	DGPVVTDPKAPNVV	IB	HB	HB	HB	DRB1*03:01
Timo 1	Q9BY78	RLATQALSQLHARPSY	HB	IB	HB	HB	DRB1*01:01
Timo 1	P02768	EQLGEYKFQNAL	LB	LB	IB	LB	NA
Timo 1	P02768	LGEYKFQNALLVRYT	HB	HB	HB	HB	DRB1*01:01
Timo 1	O75094	KDSYVELASAKVRPQ	HB	HB	HB	HB	DRB1*01:01
Timo 1	P38646	VPAYFNDSQRQAT	LB	LB	HB	LB	NA
Timo 1	O00391	ASHFEQMAAASMHR	HB	HB	HB	HB	DRB1*01:01
Timo 1	O00560	ITSIVKDSSAARN	HB	HB	HB	HB	DRB1*01:01/DRB1*03:01
Timo 1	P02786	NSVIIVDKNGRLVY	HB	HB	HB	HB	DRB1*01:01/DRB1*03:01
Timo 1	Q15582	IEDTFETLRAAAVAS	HB	HB	HB	HB	DRB1*01:01
Timo 1	Q15582	IEDTFETLRAAAVASG	HB	HB	HB	HB	DRB1*01:01
Timo 1	Q15582	TTQLYTDRTEKLRPE	IB	HB	HB	HB	DRB1*01:01/DRB1*03:01
Timo 1	P07437	GDSDLQLDRISVYYNEA	HB	HB	HB	HB	DRB1*01:01/DRB1*03:01
Timo 1	O14763	DNEIKVAKAEAAG	IB	IB	HB	IB	DRB1*01:01
Timo 1	O43914	ESPYQELQGQRSDV	HB	HB	HB	HB	DRB1*01:01
Timo 1	O43914	SPYQELQGQRSDV	HB	HB	HB	HB	DRB1*01:01
Timo 1	P18206	GSSPVAMQKAQQVSQG	HB	HB	HB	HB	DRB1*01:01
Timo 1	P18206	ISPMVMDAKAVAGNI	HB	HB	HB	HB	DRB1*01:01/DRB1*03:01
Timo 1	P18206	SPVAMQKAQQVSQ	HB	HB	HB	HB	DRB1*01:01
Timo 1	P18206	SPVAMQKAQQVSQG	HB	HB	HB	HB	DRB1*01:01
Timo 1	P18206	SSPVAMQKAQQVSQ	HB	HB	HB	HB	DRB1*01:01
Timo 1	P18206	SSPVAMQKAQQVSQG	HB	HB	HB	HB	DRB1*01:01

Muestra	AC.Number	Péptido	N ¹	P ²	M ³	F ⁴	Asignación
Timo 1	O75348	DIRPEIHENYRING	LB	IB	HB	NA	NA
Timo 2	P62899	VTYVPVTTFKNLQTVNVDEN	HB	HB	HB	HB	DRB1*01:01
Timo 2	P11021	SAGPPPTGEEDTAEKDEL	LB	LB	IB	LB	NA
Timo 2	P60709	DFEQEMATAASS	IB	IB	HB	IB	DRB1*01:01
Timo 2	P60709	DFEQEMATAASSS	IB	IB	HB	IB	DRB1*01:01
Timo 2	P60709	DFEQEMATAASSSS	IB	IB	HB	IB	DRB1*01:01
Timo 2	P60709	LDFEQEMATAASSS	IB	IB	HB	IB	DRB1*01:01
Timo 2	P01009	KAVLTIDEKGTEA	LB	HB	HB	HB	DRB1*03:01
Timo 2	P01009	KAVLTIDEKGTEAA	IB	HB	HB	HB	DRB1*03:01
Timo 2	P01023	YVLLAYLTAQPAPTS	HB	HB	HB	HB	DRB1*01:01
Timo 2	P15514	IPGYIVDDSVRVEQ	HB	HB	HB	HB	DRB1*01:01/DRB1*03:01
Timo 2	P09525	ISQTYQQQYGRSLED	HB	HB	HB	HB	
Timo 2	P08133	AAGQFFPEAAQVAYQ	HB	HB	HB	HB	DRB1*01:01
Timo 2	P08133	AGQFFPEAAQVAYQ	HB	HB	HB	HB	DRB1*01:01
Timo 2	P08133	AGQFFPEAAQVAYQM	HB	HB	HB	HB	DRB1*01:01
Timo 2	P08133	DAAGQFFPEAAQVAYQ	HB	HB	HB	HB	DRB1*01:01
Timo 2	P08133	DAAGQFFPEAAQVAYQM	HB	HB	HB	HB	DRB1*01:01
Timo 2	P08133	GDDDAAGQFFPEAAQVAYQ	IB	HB	HB	HB	DRB1*01:01
Timo 2	P05089	INTPLTTTSGNLHGQP	LB	IB	IB	IB	DRB1*03:01
Timo 2	P13010	VEIKQLNHFWEIVVQ	HB	IB	IB	IB	DRB1*01:01
Timo 2	Q92499	LHLGILPNQL	IB	HB	LB	NA	NA
Timo 2	P40259	YEGLIDIDQTATYEDI	IB	HB	HB	HB	DRB1*03:01
Timo 2	P20273	APEPSTVQILHSPAVEVG	HB	HB	HB	HB	DRB1*01:01
Timo 2	P20273	APEPSTVQILHSPAVEGSQ	HB	HB	HB	HB	DRB1*01:01
Timo 2	P22223	DTKIFYSITGPGADSPPE	HB	HB	HB	HB	DRB1*01:01
Timo 2	P01258	VQDYVQMKASELEQ	HB	HB	HB	HB	DRB1*01:01
Timo 2	P01258	VQDYVQMKASELEQE	HB	HB	HB	HB	DRB1*01:01
Timo 2	Q9UQC9	DEYNNDKPFYING	LB	HB	HB	HB	DRB1*03:01
Timo 2	P27824	KPDDWDEDAPAKIPDE	LB	LB	HB	LB	NA
Timo 2	P27824	KPDDWDEDAPAKIPDEE	LB	LB	HB	LB	NA
Timo 2	P27797	GGGYVKLFPNSLDQ	HB	HB	HB	HB	DRB1*01:01
Timo 2	P09668	ESAIAIATGKMLSLA	HB	HB	HB	HB	DRB1*01:01
Timo 2	P25774	TGKLVLSAQNLVD	HB	HB	HB	HB	DRB1*01:01
Timo 2	P11717	DLNPLIKLSGAYLVDDS	HB	HB	HB	HB	DRB1*01:01
Timo 2	Q9NZZ3	AQQSFNMEQANYTIQ	HB	HB	IB	HB	DRB1*01:01
Timo 2	Q9UMD9	DSGVFTASPASIAATSFS	HB	HB	HB	HB	DRB1*01:01
Timo 2	P09871	INEYWVLTAHHVVE	HB	HB	HB	HB	DRB1*01:01
Timo 2	P01024	SPMYSIITPNILR	HB	HB	HB	HB	DRB1*01:01
Timo 2	P01024	SPMYSIITPNILRLE	HB	HB	HB	HB	DRB1*01:01
Timo 2	P01024	SPMYSIITPNILRLES	HB	HB	HB	HB	DRB1*01:01
Timo 2	P0C0L4	DPDAPLQPVPLQLFEGR	IB	HB	HB	HB	DRB1*01:01
Timo 2	Q02413	VVTGNMGSNDKVGDF	LB	IB	HB	NA	NA
Timo 2	Q9UHL4	YPYPTDFGPLPANPVK	HB	HB	HB	HB	DRB1*01:01

Muestra	AC.Number	Péptido	N ¹	P ²	M ³	F ⁴	Asignación
Timo 2	Q9H3Z4	ETTQLTADSHPSYHTDG	HB	HB	HB	HB	DRB1*03:01
Timo 2	Q9H3Z4	TTQLTADSHPSYHTDG	HB	HB	HB	HB	DRB1*03:01
Timo 2	P68104	IEKFEKEAAEMGKG	IB	LB	IB	IB	DRB1*01:01
Timo 2	P47813	DDIGDDDEDIDDI	LB	LB	HB	LB	NA
Timo 2	P55884	DSVIVVDNVPQVGPD	IB	HB	HB	HB	DRB1*01:01/DRB1*03:01
Timo 2	P55884	IDSVIVVDNVPQVGPD	IB	HB	HB	HB	DRB1*01:01/DRB1*03:01
Timo 2	Q8IWU5	NTDPYQLMNAVNTLDR	HB	HB	HB	HB	DRB1*01:01
Timo 2	Q8IWU5	TDPYQLMNAVNTLDR	HB	HB	HB	HB	DRB1*01:01
Timo 2	P52907	FNEVFNDVRLLNNNDN	HB	HB	HB	HB	DRB1*01:01/DRB1*03:01
Timo 2	P02671	DSGEGDFLAEGGGVR	LB	LB	IB	LB	NA
Timo 2	P02671	LGEFVSETESRGSE	LB	LB	HB	LB	NA
Timo 2	P02751	DEPQYLDLSTATSVN	HB	IB	HB	HB	DRB1*01:01
Timo 2	P09382	GEVAPDAKSFVLN	LB	HB	HB	HB	DRB1*03:01
Timo 2	P09382	VRGEVAPDAKSFVLN	IB	HB	HB	HB	DRB1*03:01
Timo 2	P15104	LNETGDEPFQYKN	LB	LB	IB	LB	NA
Timo 2	P04406	DAGAGIALNDH	LB	LB	IB	LB	NA
Timo 2	Q99988	DSNTDLVPAPAVRILTPE	HB	HB	HB	HB	DRB1*01:01
Timo 2	P62826	APPEVVMDPALAAQYEHD	HB	HB	HB	HB	DRB1*01:01/DRB1*03:01
Timo 2	P31943	QVLQENSSDFQSNIA	LB	LB	HB	LB	NA
Timo 2	P55795	FLNSTAGTSGGAYDHSY	LB	IB	IB	IB	DRB1*01:01
Timo 2	Q9BUJ2	DYGYSQSGNTQGGTSTQ	LB	LB	IB	LB	NA
Timo 2	Q9BUJ2	NYDYGSYSQNTQGGTSTQ	LB	LB	IB	LB	NA
Timo 2	P22626	GGGNYGSQNYNDFGNY	LB	LB	IB	LB	NA
Timo 2	POC0S8	ILELAGNAARDN	HB	IB	HB	HB	DRB1*01:01
Timo 2	POC0S8	LTAEILELAGNAARDN	HB	IB	HB	HB	DRB1*01:01
Timo 2	POC0S8	TAEILELAGNAARDN	HB	IB	HB	HB	DRB1*01:01
Timo 2	P28068	FGVLNSLANVLSQH	HB	HB	HB	HB	DRB1*01:01
Timo 2	P20036	FYVLDKKETVWH	IB	HB	HB	HB	DRB1*03:01
Timo 2	P20036	VDLDDKKETVWH	LB	HB	HB	HB	DRB1*03:01
Timo 2	P20036	YVDLDDKKETVWH	LB	HB	HB	HB	DRB1*03:01
Timo 2	P01909	EDIVADHVASYGVN	HB	HB	HB	HB	DRB1*03:01
Timo 2	P01903	ANIAVDKANLEIM	IB	IB	IB	IB	DRB1*03:01
Timo 2	P01903	LANIAVDKANLE	LB	IB	HB	NA	NA
Timo 2	P01903	LANIAVDKANLEI	IB	IB	HB	IB	DRB1*01:01/DRB1*03:01
Timo 2	P01903	LANIAVDKANLEIM	IB	IB	HB	IB	DRB1*01:01/DRB1*03:01
Timo 2	P01903	LANIAVDKANLEIMT	IB	IB	HB	IB	DRB1*01:01/DRB1*03:01
Timo 2	P01903	NIAVDKANLEIM	IB	IB	IB	IB	DRB1*03:01
Timo 2	P01903	VPPEVTVLTNSPVE	IB	IB	HB	IB	DRB1*01:01
Timo 2	P01903	VPPEVTVLTNSPVEL	IB	HB	HB	HB	DRB1*01:01
Timo 2	P01781	BTLYLQMNSLRAEBT	HB	HB	HB	HB	DRB1*01:01
Timo 2	P01781	BTLYLQMNSLRAEBTA	HB	HB	HB	HB	DRB1*01:01
Timo 2	P01781	BTVYLQMBSLRAEDET	HB	HB	HB	HB	DRB1*01:01
Timo 2	P01781	NTLYLNMMNSLRAEDT	HB	HB	HB	HB	DRB1*01:01
Timo 2	P01781	NTLYLQMNSLRAEDT	HB	HB	HB	HB	DRB1*01:01

Muestra	AC.Number	Péptido	N ¹	P ²	M ³	F ⁴	Asignación
Timo 2	P01781	NTLYLQMNSLRAEDTA	HB	HB	HB	HB	DRB1*01:01
Timo 2	P01781	YLQMNSLRAED	HB	HB	HB	HB	DRB1*01:01
Timo 2	P01781	YLQMNSLRAEDT	HB	HB	HB	HB	DRB1*01:01
Timo 2	P01834	KVQWKVDNALQSG	IB	HB	IB	IB	DRB1*01:01/DRB1*03:01
Timo 2	P01834	KVQWKVDNALQSGN	IB	HB	IB	IB	DRB1*01:01/DRB1*03:01
Timo 2	Q13349	DTSVYSQLPGQEAFM	HB	HB	HB	HB	DRB1*01:01
Timo 2	Q13349	DTSVYSQLPGQEAFMR	HB	HB	HB	HB	DRB1*01:01
Timo 2	P11215	GFGQSVVQLQGSRVVVGAPQ	HB	HB	HB	HB	DRB1*01:01
Timo 2	P11215	TPLSAFGNLRPVLAEDA	HB	HB	HB	HB	DRB1*01:01
Timo 2	P11215	TPLSAFGNLRPVLAEDAQ	HB	HB	HB	HB	DRB1*01:01
Timo 2	P05107	NSNQFQTEVGKQLISGN	HB	HB	HB	HB	DRB1*01:01
Timo 2	Q14624	NVVFVIDKSGSM	IB	HB	IB	IB	DRB1*01:01/DRB1*03:01
Timo 2	Q14624	NVVFVIDKSGSMSG	IB	HB	IB	IB	DRB1*01:01/DRB1*03:01
Timo 2	Q13651	EPQFLPDHPHQADR	IB	HB	IB	IB	DRB1*01:01/DRB1*03:01
Timo 2	P07910	GSSFDDYDFQRD	IB	LB	IB	IB	DRB1*03:01
Timo 2	Q13753	LDPVYFVAPAKFLGNQ	HB	HB	HB	HB	DRB1*01:01
Timo 2	Q96RQ9	DDVAALHGPVVRQ	IB	HB	HB	HB	DRB1*01:01
Timo 2	Q96RQ9	LSGLVLLNAPVVAM	HB	HB	HB	HB	DRB1*01:01
Timo 2	Q96RQ9	LSGLVLLNAPVVAMT	HB	HB	HB	HB	DRB1*01:01
Timo 2	Q96RQ9	LSGLVLLNAPVVAMTQGPH	HB	HB	HB	HB	DRB1*01:01
Timo 2	P10253	LPSQYITGLAEHLSP	HB	HB	HB	HB	DRB1*01:01
Timo 2	P10253	LPSQYITGLAEHLSP	HB	HB	HB	HB	DRB1*01:01
Timo 2	O00754	IRATFDPTDGLLME	IB	LB	IB	IB	DRB1*01:01/DRB1*03:01
Timo 2	Q13571	VVLPSYEEALSLPSKTPE	IB	LB	HB	NA	NA
Timo 2	P07333	VDTYVEMRPVSTS	HB	HB	HB	HB	DRB1*01:01
Timo 2	Q14764	GEKSFFLQPGEQLEQ	HB	HB	HB	HB	DRB1*01:01
Timo 2	Q9Y5P6	GPGIVGNVLVDP SARIGQN	HB	HB	HB	HB	DRB1*01:01/DRB1*03:01
Timo 2	P11226	TEGQFVDLTG NRLTYT	HB	HB	HB	HB	DRB1*01:01
Timo 2	P46531	VPNQYNPLRG SVAPGP	HB	HB	HB	HB	DRB1*01:01
Timo 2	P46531	VPNQYNPLRG SVAPGPL	HB	HB	HB	HB	DRB1*01:01
Timo 2	P46531	VPNQYNPLRG SVAPGPLS	HB	HB	HB	HB	DRB1*01:01
Timo 2	P55058	IDYSLMKDPVASTSN	HB	HB	HB	HB	DRB1*01:01
Timo 2	P55058	VGIDYSLMKDPVASTSN	HB	HB	HB	HB	DRB1*01:01
Timo 2	Q15149	TGGLIEPDTPGRVP	LB	HB	HB	HB	DRB1*03:01
Timo 2	Q15149	TGGLIEPDTPGRVPLD	IB	HB	HB	HB	DRB1*03:01
Timo 2	Q9H3G5	KYVPAIAHLIHS	HB	HB	HB	HB	DRB1*01:01
Timo 2	P01189	YGGFMTSEKSQTPLVT	IB	IB	IB	IB	DRB1*03:01
Timo 2	P41222	DYDQYALLYSQGSKGPG	HB	HB	HB	HB	DRB1*01:01
Timo 2	P28066	GPQLFHMDPSGT FVQ	HB	HB	HB	HB	DRB1*01:01/DRB1*03:01
Timo 2	Q13796	EPGAASFQNDSPPPQVR	IB	HB	HB	HB	DRB1*01:01/DRB1*03:01
Timo 2	Q92734	YPAQTYTAQTSQPTNYT	HB	IB	HB	HB	DRB1*01:01
Timo 2	Q5BJH7	SPTPHAAFLADPVSNMAMAYG	HB	HB	HB	HB	DRB1*01:01/DRB1*03:01
Timo 2	A6NJS3	MGTAYMELSSLRSEDT	HB	HB	HB	HB	DRB1*01:01
Timo 2	A6NJS3	MGTAYMELSSLRSEDTA	HB	HB	HB	HB	DRB1*01:01

Muestra	AC.Number	Péptido	N ¹	P ²	M ³	F ⁴	Asignación
Timo 2	A6NJS3	STAYMELSSLRSED	HB	HB	HB	HB	DRB1*01:01
Timo 2	A6NJS3	STAYMELSSLRSEDT	HB	HB	HB	HB	DRB1*01:01
Timo 2	P61106	NPNTVIIILIGNKADLE	HB	HB	HB	HB	DRB1*01:01/DRB1*03:01
Timo 2	P20339	SPNIVIALSGNKADL	HB	HB	HB	HB	DRB1*01:01
Timo 2	P20339	SPNIVIALSGNKADLA	HB	HB	HB	HB	DRB1*01:01
Timo 2	P61020	SPSIVIALAGNKADL	HB	HB	HB	HB	DRB1*01:01
Timo 2	P51148	SPNIVIALAGNKADL	HB	HB	HB	HB	DRB1*01:01
Timo 2	P51148	SPNIVIALAGNKADLA	HB	HB	HB	HB	DRB1*01:01
Timo 2	P52566	DGPVVTDPKAPNVV	IB	HB	HB	HB	DRB1*03:01
Timo 2	P52566	DGPVVTDPKAPNVVVT	HB	HB	HB	HB	DRB1*03:01
Timo 2	Q96PK6	AAAYASQPAAYAAQA	HB	HB	HB	HB	DRB1*01:01
Timo 2	Q96PK6	QPSASYNAQSAPYAAQQ	HB	HB	HB	HB	DRB1*01:01
Timo 2	Q96PK6	TAAAYASQPAAYAAQA	HB	HB	HB	HB	DRB1*01:01
Timo 2	Q9UIB8	DAGDYKADINTQADPY	LB	IB	HB	NA	NA
Timo 2	Q9UIB8	DAGDYKADINTQADPYT	LB	IB	HB	NA	NA
Timo 2	P38646	VPAYFNDSQRQA	LB	LB	HB	LB	NA
Timo 2	P38646	VPAYFNDSQRQAT	LB	LB	HB	LB	NA
Timo 2	Q96L08	LPPQATFQVLRGNGAS	HB	HB	HB	HB	DRB1*01:01
Timo 2	Q96L08	LPPQATFQVLRGNGASVG	HB	HB	HB	HB	DRB1*01:01
Timo 2	O00560	NPANPAILSEASAPIPH	HB	IB	HB	HB	DRB1*01:01/DRB1*03:01
Timo 2	O00560	NPANPAILSEASAPIPHDG	HB	IB	HB	HB	DRB1*01:01/DRB1*03:01
Timo 2	O00560	VDKVIQAAQTAFSANPA	HB	HB	HB	HB	DRB1*01:01
Timo 2	Q9NYK1	FSGLTYLKSLYLDGNQ	HB	HB	HB	HB	DRB1*01:01
Timo 2	Q13263	DYNLIVIERGAAAAATGQPG	HB	HB	HB	HB	DRB1*01:01/DRB1*03:01
Timo 2	P02786	SVIIVDKNGRLV	HB	HB	HB	HB	DRB1*01:01/DRB1*03:01
Timo 2	Q15582	TTQLYTDRTKEKLRLPE	IB	HB	HB	HB	DRB1*01:01/DRB1*03:01
Timo 2	P07437	GDSDLQLDRISVYYNE	HB	HB	HB	HB	DRB1*01:01/DRB1*03:01
Timo 2	P07437	GDSDLQLDRISVYYNEA	HB	HB	HB	HB	DRB1*01:01/DRB1*03:01
Timo 2	P68371	MNTFSVVPSPKVSDT	HB	HB	HB	HB	DRB1*01:01
Timo 2	O43914	SPYQELQGQRSD	HB	HB	HB	HB	DRB1*01:01
Timo 2	O43914	SPYQELQGQRSDV	HB	HB	HB	HB	DRB1*01:01
Timo 2	O43914	SPYQELQGQRSDVY	HB	HB	HB	HB	DRB1*01:01
Timo 2	Q13308	ADGSSLPEWVTDNAGTLH	LB	HB	HB	HB	DRB1*03:01
Timo 2	P68036	WQGLIVPDNPYPYDKGAF	IB	HB	HB	HB	DRB1*03:01
Timo 2	Q9NU53	EEVVEIDGKQVQQ	IB	HB	HB	HB	DRB1*03:01
Timo 2	P18206	GSSPVAMQKAQQVSQG	HB	HB	HB	HB	DRB1*01:01
Timo 2	P18206	ISPMVMDAKAVAGNI	HB	HB	HB	HB	DRB1*01:01/DRB1*03:01
Timo 2	P18206	SSPVAMQKAQQVSQ	HB	HB	HB	HB	DRB1*01:01
Timo 2	P18206	SSPVAMQKAQQVSQG	HB	HB	HB	HB	DRB1*01:01
Timo 2	P04004	GGPSLTSDLQAQSKGNP	IB	HB	HB	HB	DRB1*03:01
Timo 2	Q9NY47	EVDANLMLALYNNNSFY	IB	IB	HB	IB	DRB1*01:01/DRB1*03:01
Timo 2	Q8N3Z6	QSNELVDKKCKSDIEK	LB	LB	IB	LB	NA
Timo 2	Q9H2Y7	FEQLESQTTKQADTAT	IB	HB	HB	HB	DRB1*01:01
Timo 2	Q96KR1	APAVAYDSKQYYQQPT	HB	HB	HB	HB	DRB1*03:01

Muestra	AC.Number	Péptido	N ¹	P ²	M ³	F ⁴	Asignación
Timo 2	Q96KR1	TAPAVAYDSKQYYQQPT	HB	HB	HB	HB	DRB1*03:01
Timo 3	P63104	QEAFEISKEMQPT	LB	HB	IB	NA	NA
Timo 3	P11912	YEDISRGLQG	LB	IB	IB	IB	DRB1*11:01
Timo 3	P11912	YEDISRGLQGTY	LB	IB	IB	IB	DRB1*11:01
Timo 3	P25774	LDHHWHLWKKTYGKQ	IB	IB	HB	IB	DRB1*11:01
Timo 3	P00450	GDKVYVHLKNLASRPy	HB	HB	HB	HB	DRB1*11:01
Timo 3	P02745	QPRPAFSAIRRNPP	IB	LB	HB	NA	NA
Timo 3	P02745	QPRPAFSAIRRNPPM	IB	LB	HB	NA	NA
Timo 3	Q14314	DCSDYYAIGKRSSET	HB	HB	HB	HB	DRB1*11:01
Timo 3	P17900	TGNYRIESVLSSG	IB	HB	IB	IB	DRB1*11:01
Timo 3	P04406	FTTMEKAGAHL	LB	HB	HB	HB	DRB1*11:01
Timo 3	P04406	GVFTTMEKAGAH	IB	HB	HB	HB	DRB1*11:01
Timo 3	P04406	GVFTTMEKAGAHL	IB	HB	HB	HB	DRB1*11:01
Timo 3	P04406	GVFTTMEKAGAHLQ	IB	HB	HB	HB	DRB1*11:01
Timo 3	P04406	STGVFTTMEKAGAH	IB	HB	HB	HB	DRB1*11:01
Timo 3	P04406	STGVFTTMEKAGAHL	IB	HB	HB	HB	DRB1*11:01
Timo 3	P04406	STGVFTTMEKAGAHLQ	IB	HB	HB	HB	DRB1*11:01
Timo 3	P04406	TGVFTTMEKAGAH	IB	HB	HB	HB	DRB1*11:01
Timo 3	P04406	TGVFTTMEKAGAHL	IB	HB	HB	HB	DRB1*11:01
Timo 3	P04406	TGVFTTMEKAGAHLQ	IB	HB	HB	HB	DRB1*11:01
Timo 3	P20036	AAFVQTHRPTGEF	IB	HB	HB	HB	DRB1*11:01
Timo 3	P20036	AFVQTHRPTGEF	IB	HB	HB	HB	DRB1*11:01
Timo 3	P20036	FVQTHRPTGEF	LB	HB	HB	HB	DRB1*11:01
Timo 3	P20036	FVQTHRPTGEFM	LB	HB	HB	HB	DRB1*11:01
Timo 3	P20036	VDLDDKKETVWHLE	LB	HB	HB	HB	DRB1*03:01
Timo 3	P20036	YAAFVQTHRPTGEF	HB	HB	HB	HB	DRB1*11:01
Timo 3	P20036	YVDLDDKKETVWH	LB	HB	HB	HB	DRB1*03:01/DRB1*11:01
Timo 3	P20036	YVDLDDKKETVWHLE	IB	HB	HB	HB	DRB1*03:01/DRB1*11:01
Timo 3	P01909	EDIVADHVASYGVN	HB	HB	HB	HB	DRB1*03:01
Timo 3	P01903	LANIAVDKANLEIMT	IB	IB	IB	IB	DRB1*03:01
Timo 3	P01903	YLNPDQSGEF	LB	HB	HB	HB	DRB1*03:01
Timo 3	P01781	YLQMNSLRAED	LB	HB	HB	HB	DRB1*11:01
Timo 3	P01781	YLQMNSLRAEDT	IB	HB	HB	HB	DRB1*11:01
Timo 3	P01871	IQVSWLREGKQVGSG	IB	IB	HB	IB	DRB1*11:01
Timo 3	Q02818	QAVALHMEQRKQQQQ	IB	IB	HB	IB	DRB1*11:01
Timo 3	Q02818	QAVALHMEQRKQQQQQ	IB	IB	HB	IB	DRB1*11:01
Timo 3	Q02818	QAVALHMEQRKQQQQQQ	IB	IB	HB	IB	DRB1*11:01
Timo 3	Q02818	QQAVLHMEQRKQQQQQQ	IB	IB	HB	IB	DRB1*11:01
Timo 3	P04279	QTEKLVAGKSQIQ	LB	IB	LB	LB	NA
Timo 3	P02768	STPTLVEVSRLNLGVKG	IB	IB	HB	IB	DRB1*03:01/DRB1*11:01
Timo 3	P02768	STPTLVEVSRLNLGVGS	IB	IB	HB	IB	DRB1*03:01/DRB1*11:01
Timo 3	P02768	TPTLVEVSRLNLGVKG	IB	IB	HB	IB	DRB1*03:01/DRB1*11:01
Timo 3	P02768	TPTLVEVSRLNLGVGSK	IB	IB	HB	IB	DRB1*03:01/DRB1*11:01

Muestra	AC.Number	Péptido	N ¹	P ²	M ³	F ⁴	Asignación
Timo 3	O00585	AILFLPRKRSQA	HB	HB	HB	HB	DRB1*11:01
Timo 3	O00585	IPAILFLPRKRSQ	HB	HB	HB	HB	DRB1*11:01
Timo 3	O00585	IPAILFLPRKRSQA	HB	HB	HB	HB	DRB1*11:01
Timo 3	O00585	IPAILFLPRKRSQAE	HB	HB	HB	HB	DRB1*11:01
Timo 3	O00585	PAILFLPRKRSQ	HB	HB	HB	HB	DRB1*11:01
Timo 3	P00441	AGPHFNPLSRKHGGPK	HB	HB	HB	HB	DRB1*11:01
Timo 3	P00441	GPHFNPLSRKHGGPK	HB	HB	HB	HB	DRB1*11:01
Timo 3	P00441	HFNPLSRKHGGPK	HB	HB	HB	HB	DRB1*11:01
Timo 3	P00441	PHFNPLSRKHGGPK	HB	HB	HB	HB	DRB1*11:01
Timo 3	P02786	IIVDKNGRLV	HB	HB	HB	HB	DRB1*03:01
Timo 3	P02786	NSVIIVDKNGRVLV	HB	HB	HB	HB	DRB1*03:01
Timo 3	P02786	SVIIVDKNGRLV	HB	HB	HB	HB	DRB1*03:01
Timo 3	P28908	YYLDEAGRCT	LB	HB	LB	LB	NA
Timo 4	P60709	AEREIVRDIKEKL	HB	HB	HB	HB	DRB1*03:01
Timo 4	P33151	GKEYFAIDNSGRIIT	IB	HB	IB	IB	DRB1*03:01
Timo 4	P10644	RNIQQYNSFVSLSV	IB	HB	HB	HB	DRB1*15:01
Timo 4	Q92187	MPLEFKTLNVLHNRGAL	IB	IB	HB	IB	DRB1*15:01
Timo 4	P31785	QKKEIHLYQTFVVQ	HB	HB	HB	HB	DRB1*15:01
Timo 4	P20036	EMFYVLDLKKETVWH	IB	HB	HB	HB	DRB1*03:01
Timo 4	P20036	EQFYVLDLKKETVWH	IB	HB	HB	HB	DRB1*03:01
Timo 4	P20036	FYVLDLKKETVWH	IB	HB	HB	HB	DRB1*03:01
Timo 4	P20036	MFYVLDLKKETVWH	IB	HB	HB	HB	DRB1*03:01
Timo 4	P20036	QFYVLDLKKETVWH	IB	HB	HB	HB	DRB1*03:01
Timo 4	P20036	VDLDDKKETVWHE	LB	HB	HB	HB	DRB1*03:01
Timo 4	P20036	YVDLDDKKETVWH	LB	HB	HB	HB	DRB1*03:01
Timo 4	P20036	YVDLDDKKETVWHL	IB	HB	HB	HB	DRB1*03:01
Timo 4	P20036	YVDLDDKKETVWHE	IB	HB	HB	HB	DRB1*03:01
Timo 4	P04440	DVGEFRAVTELGRPD	LB	LB	HB	LB	NA
Timo 4	P04440	VGEFRAVTELGRPD	LB	LB	HB	LB	NA
Timo 4	P01903	LANIAVDKANLEIM	IB	IB	IB	IB	DRB1*03:01
Timo 4	P01903	LANIAVDKANLEIMT	IB	IB	IB	IB	DRB1*03:01
Timo 4	Q6PJ95	KQTIIIPDYRNMIG	HB	HB	HB	HB	DRB1*03:01/DRB1*15:01
Timo 4	Q6PJ95	KQTIIIPDYRNMIGQ	HB	HB	HB	HB	DRB1*03:01/DRB1*15:01
Timo 4	P17936	HSKIIIIKKGHAKDS	HB	HB	IB	HB	DRB1*03:01/DRB1*15:01
Timo 4	P17936	HSKIIIIKKGHAKDSQ	HB	HB	IB	HB	DRB1*03:01/DRB1*15:01
Timo 4	P10124	KGPMFELLPGESNKIPR	LB	HB	HB	HB	DRB1*03:01
Timo 4	P53041	DATRAIELDKKYIKGYY	HB	HB	HB	HB	DRB1*03:01
Timo 4	P02787	DPQTFFYYAVAVVKKD	IB	LB	LB	LB	NA
Timo 4	P02787	DPQTFFYYAVAVVKKDSG	IB	IB	IB	IB	DRB1*03:01
Timo 4	P02787	EDPQTFFYYAVAVVKKDSG	IB	IB	IB	IB	DRB1*03:01
Timo 4	P02768	NALLVRYTKKVPQVS	IB	HB	IB	IB	DRB1*03:01/DRB1*15:01
Timo 4	P02768	NALLVRYTKKVPQVSTPT	IB	HB	IB	IB	DRB1*03:01/DRB1*15:01
Timo 4	P02768	PTLVEVSRNLGKVG	LB	IB	IB	IB	DRB1*03:01/DRB1*15:01

Muestra	AC.Number	Péptido	N ¹	P ²	M ³	F ⁴	Asignación
Timo 4	P02768	PTLVEVSRNLGKVGS	LB	IB	IB	IB	DRB1*03:01/DRB1*15:01
Timo 4	P02768	STPTLVEVSRNLGKVGS	LB	IB	IB	IB	DRB1*03:01/DRB1*15:01
Timo 4	P02768	TPTLVEVSRNLGKVG	LB	IB	IB	IB	DRB1*03:01/DRB1*15:01
Timo 4	P02768	TPTLVEVSRNLGKVGS	LB	IB	IB	IB	DRB1*03:01/DRB1*15:01
Timo 4	P02768	TPTLVEVSRNLGKVGSK	LB	IB	IB	IB	DRB1*03:01/DRB1*15:01
Timo 4	Q16594	TPLPLIKPYSGPRLPPD	IB	HB	IB	IB	DRB1*15:01
Timo 4	P02786	NSVIIVDKNGRLVY	HB	HB	HB	HB	DRB1*03:01
Timo 4	P02786	SVIIVDKNGLRV	HB	HB	HB	HB	DRB1*03:01
Timo 4	P02786	SVIIVDKNGLRVY	HB	HB	HB	HB	DRB1*03:01
Timo 4	Q15582	ALEIFKQASAFSRASQ	HB	IB	IB	IB	DRB1*03:01/DRB1*15:01
Timo 4	Q15582	LEIFKQASAFSRAS	IB	IB	IB	IB	DRB1*03:01/DRB1*15:01
Timo 4	Q15582	LEIFKQASAFSRASQ	IB	IB	IB	IB	DRB1*03:01/DRB1*15:01
Timo 5	P01023	GNRIAQWQSFQLEG	IB	LB	IB	IB	DRB1*03:01
Timo 5	P01023	GNRIAQWQSFQLEGG	IB	LB	IB	IB	DRB1*03:01
Timo 5	P61769	TPKIQVYSRHPAEN	HB	IB	HB	HB	DRB1*11:04
Timo 5	Q10589	EGEITTLNHKLQDAS	HB	IB	HB	HB	DRB1*11:04
Timo 5	Q10589	LEGEITTLNHKLQDAS	HB	IB	HB	HB	DRB1*11:04
Timo 5	P20645	SEKELALVKRLKPL	HB	HB	HB	HB	DRB1*11:04
Timo 5	P09382	VRGEVAPDAKSFVLN	IB	HB	HB	HB	DRB1*03:01
Timo 5	P30488	GYNQLAYDGKDYL	HB	HB	HB	HB	DRB1*03:01
Timo 5	P30488	GYNQLAYDGKDYLALN	HB	HB	HB	HB	DRB1*03:01
Timo 5	P30488	YNQLAYDGKDYLAL	HB	HB	HB	HB	DRB1*03:01
Timo 5	P04440	SQKDLLEEKRAVPD	LB	LB	HB	LB	NA
Timo 5	P33908	IQRDILLEKKVVAQDQ	HB	HB	HB	HB	DRB1*03:01
Timo 5	O95297	NPPDIVVQPGHIRLY	HB	IB	IB	IB	DRB1*03:01/DRB1*11:04
Timo 5	Q02818	QAVLHMEQRKQQQQQ	HB	HB	HB	HB	DRB1*11:04
Timo 5	Q02818	QAVLHMEQRKQQQQQQ	HB	HB	HB	HB	DRB1*11:04
Timo 5	P25786	HAVLVALKRAQSE	HB	HB	HB	HB	DRB1*11:04
Timo 5	P04279	QTEKLVAGKSQIQ	LB	IB	LB	LB	NA
Timo 5	P02787	DKSKEFQLFSSPHGKDL	HB	IB	HB	IB	DRB1*11:04
Timo 5	P02787	DPQTFFYYAVAVVKKDS	HB	IB	LB	NA	NA
Timo 5	P02768	ALLVRYTAKVVPQVS	HB	HB	HB	HB	DRB1*11:04
Timo 5	P02768	STPTLVEVSRNLGKVGSK	HB	IB	HB	HB	DRB1*11:04
Timo 5	Q16594	TPLPLIKPYAGPRLPPD	IB	IB	IB	IB	DRB1*11:04
Bazo 1	P10809	ARALMLQGV DLLADA	IB	IB	HB	IB	DRB1*04:05
Bazo 1	P10809	DARALMLQGV DLLADA	IB	IB	HB	IB	DRB1*04:05
Bazo 1	P10809	GADARALMLQGV DLLADA	IB	IB	HB	IB	DRB1*04:05
Bazo 1	P11021	DNGVFEVVATNGDTH	IB	HB	HB	HB	DRB1*04:05
Bazo 1	P11021	GVFEVVATNGDTH	IB	HB	HB	HB	DRB1*04:05
Bazo 1	P11021	GVFEVVATNGDTHLG	IB	HB	HB	HB	DRB1*04:05
Bazo 1	P11021	IDNGVFEVVATNGDTHLG	IB	HB	HB	HB	DRB1*04:05
Bazo 1	P11021	IDNGVFEVVATNGDTHLGG	IB	HB	HB	HB	DRB1*04:05
Bazo 1	P11021	SAGPPPPTGEEDTAEKDEL	LB	LB	IB	LB	NA

Muestra	AC.Number	Péptido	N ¹	P ²	M ³	F ⁴	Asignación
Bazo 1	Q9UNA0	GRAALASQLLDQSALS	LB	LB	LB	LB	NA
Bazo 1	Q9UNA0	GRAALASQLLDQSALSPA	IB	LB	LB	LB	NA
Bazo 1	Q9UNA0	GRAALASQLLDQSALSPAGGSGP	IB	LB	LB	LB	NA
Bazo 1	Q9UNA0	RAALASQLLDQSAL	LB	LB	LB	LB	NA
Bazo 1	P07741	KAELEIQKDALEPG	LB	IB	HB	NA	DRB1*04:05
Bazo 1	P00568	EKGQLVPLETVLDM	IB	HB	HB	HB	DRB1*04:05
Bazo 1	Q9NZ52	SLGDILQASDNLSR	IB	IB	HB	IB	DRB1*04:05
Bazo 1	Q9NVJ2	VNAIVYMDAADR	IB	HB	HB	HB	DRB1*04:05
Bazo 1	P05186	DIAYQLMHNIRDID	HB	HB	HB	HB	DRB1*04:05/DRB1*04:07
Bazo 1	P02765	GVVSLGSPSGEVSHP	LB	HB	HB	HB	DRB1*04:05
Bazo 1	P02765	DLRHTFMGVVSLGSPS	IB	HB	HB	HB	DRB1*04:05/DRB1*04:07
Bazo 1	P02765	DLRHTFMGVVSLGSPSG	IB	HB	HB	HB	DRB1*04:05/DRB1*04:07
Bazo 1	P02765	DLRHTFMGVVSLGSPSGE	IB	HB	HB	HB	DRB1*04:05/DRB1*04:07
Bazo 1	P02765	DLRHTFMGVVSLGSPSVEVS	IB	HB	HB	HB	DRB1*04:05/DRB1*04:07
Bazo 1	P02765	LRHTFMGVVSLGSPS	IB	HB	HB	HB	DRB1*04:05/DRB1*04:07
Bazo 1	P02765	LRHTFMGVVSLGSPSGEV	IB	HB	HB	HB	DRB1*04:05/DRB1*04:07
Bazo 1	P02765	YDLRHTFMGVVSLGSPSG	IB	HB	HB	HB	DRB1*04:05/DRB1*04:07
Bazo 1	P02765	YDLRHTFMGVVSLGSPSGE	IB	HB	HB	HB	DRB1*04:05/DRB1*04:07
Bazo 1	P02765	YDLRHTFMGVVSLGSPSGEV	HB	HB	HB	HB	DRB1*04:05/DRB1*04:07
Bazo 1	P02765	YDLRHTFMGVVSLGSPSGEVSHP	IB	HB	HB	HB	DRB1*04:05/DRB1*04:07
Bazo 1	P01023	ASPAFLAVPVEKEQAPH	IB	HB	HB	HB	DRB1*04:05
Bazo 1	P01023	SPAFLAVPVEKEQAPH	IB	HB	HB	HB	DRB1*04:05
Bazo 1	P01023	VDLSFSPSQSLPASH	IB	IB	HB	IB	DRB1*04:05
Bazo 1	P06733	GVPLYRHIAADLAGNSE	IB	HB	HB	HB	DRB1*04:05
Bazo 1	P06733	VPLYRHIAADLAGNSE	IB	HB	HB	HB	DRB1*04:05
Bazo 1	P02652	VSQYFQTVDYGKD	HB	IB	HB	HB	DRB1*04:05
Bazo 1	P04114	EANTYLNKSTRSSVK	IB	HB	IB	IB	DRB1*04:05/DRB1*04:07
Bazo 1	P04114	LPYIITTPPLK	HB	HB	HB	HB	DRB1*04:05
Bazo 1	P04114	PYTIITTPPLKDF	HB	HB	HB	HB	DRB1*04:05
Bazo 1	P04114	PYTIITTPPLK	IB	HB	HB	HB	DRB1*04:05
Bazo 1	O95352	GDPGLSKLQFAPFSSALDVG	HB	HB	HB	HB	DRB1*04:05
Bazo 1	O95352	GLSKLQFAPFSSALDVG	HB	HB	HB	HB	DRB1*04:05
Bazo 1	O95352	PGLSKLQFAPFSSALDVG	HB	HB	HB	HB	DRB1*04:05
Bazo 1	O95352	SKLQFAPFSSALDVG	HB	HB	HB	HB	DRB1*04:05
Bazo 1	O95352	SKLQFAPFSSALDVG	HB	HB	HB	HB	DRB1*04:05
Bazo 1	P98160	TPYSFLPLPTIKD	HB	HB	HB	HB	DRB1*04:05
Bazo 1	P98160	TPYSFLPLPTIKDA	HB	HB	HB	HB	DRB1*04:05
Bazo 1	P98160	TPYSFLPLPTIKDAY	HB	HB	HB	HB	DRB1*04:05
Bazo 1	P98160	TPYSFLPLPTIKDAYR	HB	HB	HB	HB	DRB1*04:05
Bazo 1	P98160	TPYSFLPLPTIKDAYRK	HB	HB	HB	HB	DRB1*04:05
Bazo 1	P15291	LPQLVGVSTPLQGGGS	IB	HB	HB	HB	DRB1*04:05/DRB1*04:07
Bazo 1	P15291	RLPQLVGVSTPLQGGSN	IB	HB	HB	HB	DRB1*04:05/DRB1*04:07
Bazo 1	P15291	SRLPQLVGVSTPLQGGSN	IB	HB	HB	HB	DRB1*04:05/DRB1*04:07
Bazo 1	P15291	DGLNSLTYQVLVDVQRYPL	IB	HB	IB	IB	DRB1*04:05

Muestra	AC.Number	Péptido	N ¹	P ²	M ³	F ⁴	Asignación
Bazo 1	P15291	GLNSLTYQVLDVQRYPL	IB	HB	IB	IB	DRB1*04:05
Bazo 1	P15291	LNSLTYQVLDVQRYP	IB	HB	IB	IB	DRB1*04:05
Bazo 1	P15291	LNSLTYQVLDVQRYPL	IB	HB	IB	IB	DRB1*04:05
Bazo 1	P61769	YTEFTPTEKDE	LB	LB	HB	LB	NA
Bazo 1	P61769	FYLLYYTEFTPTEKDE	IB	HB	HB	HB	DRB1*04:05
Bazo 1	P61769	FYLLYYTEFTPTEKDEYA	IB	HB	HB	HB	DRB1*04:05
Bazo 1	P61769	YLLYYTEFTPTEKDE	IB	HB	HB	HB	DRB1*04:05
Bazo 1	P61769	YLLYYTEFTPTEKDEY	IB	HB	HB	HB	DRB1*04:05
Bazo 1	P61769	YLLYYTEFTPTEKDEYA	IB	HB	HB	HB	DRB1*04:05
Bazo 1	P61769	YYTEFTPTEKDE	LB	HB	HB	HB	DRB1*04:05
Bazo 1	P61769	YYTEFTPTEKDEYA	LB	HB	HB	HB	DRB1*04:05
Bazo 1	P61769	LLYYTEFTPTEKD	IB	HB	HB	HB	DRB1*04:05
Bazo 1	P61769	LLYYTEFTPTEKDE	IB	HB	HB	HB	DRB1*04:05
Bazo 1	P61769	LLYYTEFTPTEKDEYA	IB	HB	HB	HB	DRB1*04:05
Bazo 1	P61769	LYYTEFTPTEKDE	IB	HB	HB	HB	DRB1*04:05
Bazo 1	P16278	SPYAAQPTSYDYDAPL	IB	HB	HB	HB	DRB1*04:05
Bazo 1	Q9Y5Z0	DTGSSNFAVAGTPHSYIDT	HB	HB	HB	HB	DRB1*04:05
Bazo 1	P31939	SGVAYIAAPSGSAADK	IB	IB	HB	IB	DRB1*04:05
Bazo 1	P55287	DNPPKFPQSJVQMSVSEAVPGE	HB	HB	IB	HB	DRB1*04:05/DRB1*04:07
Bazo 1	P19022	KPGTYVMTVTAIDADDPN	HB	HB	HB	HB	DRB1*04:05/DRB1*04:07
Bazo 1	P19022	SKPGTYVMTVTAIDADDPN	HB	HB	HB	HB	DRB1*04:05/DRB1*04:07
Bazo 1	P19022	VPEGSKPGTYVMTVTAIDADDPN	HB	HB	HB	HB	DRB1*04:05/DRB1*04:07
Bazo 1	P33151	DYQDAFTIETNPAHNEG	IB	HB	HB	HB	DRB1*04:05
Bazo 1	P33151	YQDAFTIETNPAHNEG	IB	HB	HB	HB	DRB1*04:05
Bazo 1	Q15417	YDQKLTILQPVDNSTIS	IB	HB	HB	HB	DRB1*04:05
Bazo 1	P27797	GGGYVKLFPNSLDQ	HB	HB	HB	HB	DRB1*04:05
Bazo 1	P27797	GGGYVKLFPNSLDQTM	HB	HB	HB	HB	DRB1*04:05
Bazo 1	P27797	GGYVKLFPNSLDQ	HB	HB	HB	HB	DRB1*04:05
Bazo 1	P27797	GYVKLFPNSLDQ	IB	HB	HB	HB	DRB1*04:05
Bazo 1	P00915	AQFRSLLSNVEGDN	HB	HB	HB	HB	DRB1*04:05/DRB1*04:07
Bazo 1	P00915	FRSLLSNVEGDN	IB	HB	HB	HB	DRB1*04:05/DRB1*04:07
Bazo 1	P00915	LAQFRSLLSNVEG	HB	HB	HB	HB	DRB1*04:05/DRB1*04:07
Bazo 1	P00915	QLAQFRSLLSNVEG	HB	HB	HB	HB	DRB1*04:05/DRB1*04:07
Bazo 1	P00915	QLAQFRSLLSNVEGDN	HB	HB	HB	HB	DRB1*04:05/DRB1*04:07
Bazo 1	P00915	SEQLAQFRSLLSNVEGDN	HB	HB	HB	HB	DRB1*04:05/DRB1*04:07
Bazo 1	O75976	DQFVQITDPTQPE	IB	HB	HB	HB	DRB1*04:05
Bazo 1	O75976	VPGTYKITASARGYNPV	IB	HB	IB	IB	DRB1*04:05
Bazo 1	P14384	IPEFKVANMHGDET	HB	HB	HB	HB	DRB1*04:05/DRB1*04:07
Bazo 1	Q8N3K9	PTEKKDNLENRSY	LB	LB	LB	LB	NA
Bazo 1	P07858	GYNSYSVSNSEKDIMA	IB	HB	HB	HB	DRB1*04:05
Bazo 1	P07858	YNSYSVSNSEKDI	LB	HB	HB	HB	DRB1*04:05
Bazo 1	P07339	DQNIFSFLSRDPDAQPGGEL	IB	IB	HB	IB	DRB1*04:05
Bazo 1	Q9UBX1	LPSNAYSIAKNLGGLETEDD	HB	HB	HB	HB	DRB1*04:05
Bazo 1	Q9UBX1	LPSNAYSIAKNLGG	IB	HB	HB	HB	DRB1*04:05

Muestra	AC.Number	Péptido	N ¹	P ²	M ³	F ⁴	Asignación
Bazo 1	P07711	VGPISVAIDAGHES	LB	HB	HB	HB	DRB1*04:05
Bazo 1	P07711	VGPISVAIDAGHESFL	LB	HB	HB	HB	DRB1*04:05
Bazo 1	P07711	AFQYVQDNGGLD	LB	HB	HB	HB	DRB1*04:05
Bazo 1	P07711	AFQYVQDNGGLDS	LB	HB	HB	HB	DRB1*04:05
Bazo 1	P07711	DYAFQYVQDNGGLD	IB	HB	HB	HB	DRB1*04:05
Bazo 1	P07711	DYAFQYVQDNGGLDSEE	IB	HB	HB	HB	DRB1*04:05
Bazo 1	P07711	DYAFQYVQDNGGLDSEES	IB	HB	HB	HB	DRB1*04:05
Bazo 1	P07711	GGLMDYAFQYVQDNGGLD	IB	HB	HB	HB	DRB1*04:05
Bazo 1	P07711	LMDYAFQYVQDNGGLDSEE	IB	HB	HB	HB	DRB1*04:05
Bazo 1	P07711	LMDYAFQYVQDNGGLDSEES	IB	HB	HB	HB	DRB1*04:05
Bazo 1	P07711	MDYAFQYVQDNGGLD	IB	HB	HB	HB	DRB1*04:05
Bazo 1	P07711	MDYAFQYVQDNGGLDS	IB	HB	HB	HB	DRB1*04:05
Bazo 1	P07711	MDYAFQYVQDNGGLDSEE	IB	HB	HB	HB	DRB1*04:05
Bazo 1	P07711	MDYAFQYVQDNGGLDSEES	IB	HB	HB	HB	DRB1*04:05
Bazo 1	P07711	YAFQYVQDNGGLDS	IB	HB	HB	HB	DRB1*04:05
Bazo 1	P25774	FMTTAFQYIIDNKGIDS	IB	HB	HB	HB	DRB1*04:05
Bazo 1	P25774	MTTAFQYIIDNKGID	IB	HB	HB	HB	DRB1*04:05
Bazo 1	P25774	TAFQYIIDNKGID	IB	HB	HB	HB	DRB1*04:05
Bazo 1	P25774	TAFQYIIDNKGIDS	IB	HB	HB	HB	DRB1*04:05
Bazo 1	P25774	TAFQYIIDNKGIDSD	IB	HB	HB	HB	DRB1*04:05
Bazo 1	P25774	TAFQYIIDNKGIDSAS	IB	HB	HB	HB	DRB1*04:05
Bazo 1	P25774	TAFQYIIDNKGIDSASPYK	IB	HB	HB	HB	DRB1*04:05
Bazo 1	P25774	TTAFQYIIDNKG	IB	HB	HB	HB	DRB1*04:05
Bazo 1	P25774	TTAFQYIIDNKGID	IB	HB	HB	HB	DRB1*04:05
Bazo 1	P25774	TTAFQYIIDNKGIDS	IB	HB	HB	HB	DRB1*04:05
Bazo 1	P25774	TTAFQYIIDNKGIDSD	IB	HB	HB	HB	DRB1*04:05
Bazo 1	P25774	TTAFQYIIDNKGIDSADA	IB	HB	HB	HB	DRB1*04:05
Bazo 1	P25774	TTAFQYIIDNKGIDSASPY	IB	HB	HB	HB	DRB1*04:05
Bazo 1	P25774	TTAFQYIIDNKGIDSASPYK	IB	HB	HB	HB	DRB1*04:05
Bazo 1	P11717	GPLKFLHQDIDSGQG	IB	IB	HB	IB	DRB1*04:05
Bazo 1	P11717	GPLKFLHQDIDSGQGI	IB	IB	HB	IB	DRB1*04:05
Bazo 1	P11717	GPLKFLHQDIDSGQQIR	IB	IB	HB	IB	DRB1*04:05
Bazo 1	P00450	DKEFYLFPTVFDEN	IB	HB	HB	HB	DRB1*04:05
Bazo 1	P00450	DVDKEFYLFPTVFD	IB	HB	HB	HB	DRB1*04:05
Bazo 1	P00450	DVDKEFYLFPTVFDEN	IB	HB	HB	HB	DRB1*04:05
Bazo 1	P00450	DVDKEFYLFPTVFDENE	IB	HB	HB	HB	DRB1*04:05
Bazo 1	P00450	DVDKEFYLFPTVFDENES	IB	HB	HB	HB	DRB1*04:05
Bazo 1	P00450	DVDKEFYLFPTVFDENESLL	IB	HB	HB	HB	DRB1*04:05
Bazo 1	P00450	KEFYLFPVFEN	IB	HB	HB	HB	DRB1*04:05
Bazo 1	P00450	KEFYLPTVFENE	IB	HB	HB	HB	DRB1*04:05
Bazo 1	P00450	VDKEFYLFPVFDF	IB	HB	HB	HB	DRB1*04:05
Bazo 1	P00450	VDKEFYLFPVFDE	IB	HB	HB	HB	DRB1*04:05
Bazo 1	P00450	VDKEFYLFPVFEN	HB	HB	HB	HB	DRB1*04:05
Bazo 1	P00450	VDKEFYLFPVFENE	IB	HB	HB	HB	DRB1*04:05

Muestra	AC.Number	Péptido	N ¹	P ²	M ³	F ⁴	Asignación
Bazo 1	P00450	VDKEFYLFPPTVFDENES	IB	HB	HB	HB	DRB1*04:05
Bazo 1	P00450	DNIRMFTTAPDQVDK	HB	HB	HB	HB	DRB1*04:05/DRB1*04:07
Bazo 1	P00450	DNIRMFTTAPDQVDKE	HB	HB	HB	HB	DRB1*04:05/DRB1*04:07
Bazo 1	P00450	DNIRMFTTAPDQVDKED	HB	HB	HB	HB	DRB1*04:05/DRB1*04:07
Bazo 1	P00450	DNIRMFTTAPDQVDKEDE	HB	HB	HB	HB	DRB1*04:05/DRB1*04:07
Bazo 1	P00450	DNIRMFTTAPDQVDKEDED	HB	HB	HB	HB	DRB1*04:05/DRB1*04:07
Bazo 1	P00450	EDNIRMFTTAPDQVD	HB	HB	HB	HB	DRB1*04:05/DRB1*04:07
Bazo 1	P00450	EDNIRMFTTAPDQVDKEDE	HB	HB	HB	HB	DRB1*04:05/DRB1*04:07
Bazo 1	P00450	EDNIRMFTTAPDQVDKEDED	HB	HB	HB	HB	DRB1*04:05/DRB1*04:07
Bazo 1	P00450	IRMFPTTAPDQVDKED	IB	HB	HB	HB	DRB1*04:05/DRB1*04:07
Bazo 1	P00450	IRMFPTTAPDQVDKEDE	IB	HB	HB	HB	DRB1*04:05/DRB1*04:07
Bazo 1	P00450	LEDNIRMFTTAPDQVD	HB	HB	HB	HB	DRB1*04:05/DRB1*04:07
Bazo 1	P00450	LEDNIRMFTTAPDQVDK	HB	HB	HB	HB	DRB1*04:05/DRB1*04:07
Bazo 1	P00450	LEDNIRMFTTAPDQVDKEDED	HB	HB	HB	HB	DRB1*04:05/DRB1*04:07
Bazo 1	P00450	NIRMFTTAPDQVDKEDE	HB	HB	HB	HB	DRB1*04:05/DRB1*04:07
Bazo 1	P00450	NIRMFTTAPDQVDKEDED	IB	HB	HB	HB	DRB1*04:05/DRB1*04:07
Bazo 1	P00450	DVDKEFYLFPVF	LB	LB	IB	LB	NA
Bazo 1	P00450	VDKEFYLFPVF	LB	LB	IB	LB	NA
Bazo 1	P00450	TGDKVYVHLKNLARPYT	HB	HB	HB	HB	DRB1*04:05/DRB1*04:07
Bazo 1	Q00610	EAIDSYIKADD	LB	LB	IB	LB	NA
Bazo 1	Q00610	AIDSYIKADDPSSYM	IB	LB	IB	IB	NA
Bazo 1	Q00610	IDSYIKADDPSSYME	IB	LB	HB	NA	NA
Bazo 1	P10909	DQYYLRLVTTVASH	IB	HB	HB	HB	DRB1*04:05/DRB1*04:07
Bazo 1	P10909	EDQYYLRLVTTVASHTS	HB	HB	HB	HB	DRB1*04:05/DRB1*04:07
Bazo 1	P10909	EDQYYLRLVTTVASHTSD	HB	HB	HB	HB	DRB1*04:05/DRB1*04:07
Bazo 1	P10909	GEDQYYLRLVTTVASHTSD	HB	HB	HB	HB	DRB1*04:05/DRB1*04:07
Bazo 1	P12259	SEKGSYEIIQDTDEDTA	LB	HB	HB	HB	DRB1*04:05
Bazo 1	P00488	KGTYIPVPIVSELQ	IB	HB	HB	HB	DRB1*04:05
Bazo 1	P48444	VNIEYELQEDNLNLND	LB	HB	HB	HB	NA
Bazo 1	Q76M96	GQILEQPLDPSSLIPK	LB	LB	IB	LB	NA
Bazo 1	Q76M96	SEGQILEQPLDPSSLIPK	LB	LB	IB	LB	NA
Bazo 1	Q14011	FVTFENIDDAKDA	IB	HB	HB	HB	DRB1*04:05
Bazo 1	P02452	LPIIDVAPLDVGAPD	LB	HB	IB	NA	DRB1*04:05
Bazo 1	P02452	RLPIIDVAPLDVGAPD	LB	HB	IB	NA	DRB1*04:05
Bazo 1	P02452	RLPIIDVAPLDVGAPDQE	LB	HB	IB	NA	DRB1*04:05
Bazo 1	P02452	RLPIIDVAPLDVGAPDQFG	LB	HB	IB	NA	DRB1*04:05
Bazo 1	P02452	SRLPIIDVAPLDVGAPD	LB	HB	IB	NA	DRB1*04:05
Bazo 1	P02452	SRLPIIDVAPLDVGAPDQ	LB	HB	IB	NA	DRB1*04:05
Bazo 1	P02452	SRLPIIDVAPLDVGAPDQE	LB	HB	IB	NA	DRB1*04:05
Bazo 1	P02452	TSRLPIIDVAPLDVGAPD	LB	HB	IB	NA	DRB1*04:05
Bazo 1	Q05707	APHPDQPEFTPVQDELEAME	LB	IB	HB	NA	DRB1*04:05
Bazo 1	Q05707	INGYRIVYNNADG	IB	HB	HB	HB	DRB1*04:05/DRB1*04:07
Bazo 1	Q05707	INGYRIVYNNADGTE	IB	HB	HB	HB	DRB1*04:05/DRB1*04:07
Bazo 1	P08572	GIPQKIAVQPGTVGPQG	LB	LB	IB	LB	NA

Muestra	AC.Number	Péptido	N ¹	P ²	M ³	F ⁴	Asignación
Bazo 1	P08572	IPQKIAVQPGTVGPQ	LB	LB	IB	LB	NA
Bazo 1	P08572	IPQKIAVQPGTVGPQG	LB	LB	IB	LB	NA
Bazo 1	P12111	AIPTFRQLGTVQQVIS	HB	HB	HB	HB	DRB1*04:05/DRB1*04:07
Bazo 1	P12111	AIPTFRQLGTVQQVISE	HB	HB	HB	HB	DRB1*04:05/DRB1*04:07
Bazo 1	P12111	IPTFRQLGTVQQVISER	HB	HB	HB	HB	DRB1*04:05/DRB1*04:07
Bazo 1	P12111	VAIPTFRQLGTVQQVISE	HB	HB	HB	HB	DRB1*04:05/DRB1*04:07
Bazo 1	P12111	VAIPTFRQLGTVQQVISER	HB	HB	HB	HB	DRB1*04:05/DRB1*04:07
Bazo 1	P12111	VAIPTFRQLGTVQQVISERV	HB	HB	HB	HB	DRB1*04:05/DRB1*04:07
Bazo 1	P12111	ASRAELQHIATDDNLVFTVPEFRSGFDLQEK	IB	HB	HB	HB	DRB1*04:05
Bazo 1	P12111	DDNLVFTVPEFRSGFDLQEK	IB	HB	HB	HB	DRB1*04:05
Bazo 1	P12111	DDNLVFTVPEFRSGFDLQEKL	IB	HB	HB	HB	DRB1*04:05
Bazo 1	P12111	FTVPEFRSGFDLQEK	IB	HB	HB	HB	DRB1*04:05
Bazo 1	P12111	TVPEFRSGFDLQEK	IB	HB	HB	HB	DRB1*04:05
Bazo 1	P12111	TVPEFRSGFDLQEKL	IB	HB	HB	HB	DRB1*04:05
Bazo 1	P12111	VAPFTIARNADQE	IB	HB	HB	HB	DRB1*04:05/DRB1*04:07
Bazo 1	P02746	FDHVITNMNNNNYEP	IB	HB	HB	HB	DRB1*04:05
Bazo 1	P02746	FDHVITNMNNNNYEPR	IB	HB	HB	HB	DRB1*04:05
Bazo 1	P02746	FDHVITNMNNNNYEPRS	IB	HB	HB	HB	DRB1*04:05
Bazo 1	P02746	FDHVITNMNNNNYEPRSG	IB	HB	HB	HB	DRB1*04:05
Bazo 1	P02746	IRFDHVITNMNNNNYEPRS	IB	HB	HB	HB	DRB1*04:05
Bazo 1	P02746	DHVITNMNNNNYEPR	LB	HB	HB	HB	DRB1*04:05
Bazo 1	P02746	DHVITNMNNNNYEPRS	LB	HB	HB	HB	DRB1*04:05
Bazo 1	P02746	DHVITNMNNNNYEPRSG	LB	HB	HB	HB	DRB1*04:05
Bazo 1	P02746	HVITNMNNNNYEPR	LB	HB	HB	HB	DRB1*04:05
Bazo 1	P02746	HVITNMNNNNYEPRS	LB	HB	HB	HB	DRB1*04:05
Bazo 1	P02746	SLLGMEGANSIFSG	LB	IB	IB	IB	DRB1*04:05
Bazo 1	P02747	AVLTNPQGDYDTSTGKF	LB	LB	IB	LB	NA
Bazo 1	P01024	LPSFEVIVEPTEK	LB	IB	HB	NA	DRB1*04:05
Bazo 1	P01024	VLPSFEVIVEPTEK	LB	IB	HB	NA	DRB1*04:05
Bazo 1	POCOL4	EELVYELNPLDH	IB	HB	HB	HB	DRB1*04:05
Bazo 1	P01031	GVPVTLNAQTIDVNQE	LB	LB	HB	LB	NA
Bazo 1	P01031	GVPVTLNAQTIDVNQET	LB	LB	HB	LB	NA
Bazo 1	P01031	GVPVTLNAQTIDVNQETS	LB	LB	HB	LB	NA
Bazo 1	P01031	VPVTLNAQTIDVNQET	LB	LB	HB	LB	NA
Bazo 1	Q07021	ADELVELSTALEHQ	LB	HB	HB	HB	DRB1*04:05
Bazo 1	P10643	DGKDFYRLSGNVLSYT	HB	HB	IB	HB	DRB1*04:05/DRB1*04:07
Bazo 1	P10643	DGKDFYRLSGNVLSYTFQ	HB	HB	IB	HB	DRB1*04:05/DRB1*04:07
Bazo 1	P00751	LEDVFYQMIIDESQSLS	IB	HB	HB	HB	DRB1*04:05
Bazo 1	P31146	HLEEPLSLQELDTSSGVL	LB	HB	HB	HB	DRB1*04:05
Bazo 1	O15194	GPAIITQVTNPKEDEG	IB	IB	HB	IB	DRB1*04:05/DRB1*04:07
Bazo 1	P01040	IPGGLSEAKPATPEIQE	LB	LB	IB	LB	NA
Bazo 1	P21399	VNESWNALATPSDK	LB	HB	HB	HB	DRB1*04:05
Bazo 1	Q14204	TPSWLGLPNNAER	LB	HB	HB	HB	DRB1*04:05
Bazo 1	Q5VZ89	FDNEYGIAYNSLSSEIL	HB	HB	HB	HB	DRB1*04:05/DRB1*04:07

Muestra	AC.Number	Péptido	N ¹	P ²	M ³	F ⁴	Asignación
Bazo 1	Q14194	DENQFVAVTSTNAAK	HB	HB	HB	HB	DRB1*04:05/DRB1*04:07
Bazo 1	Q14194	DENQFVAVTSTNAAKV	HB	HB	HB	HB	DRB1*04:05/DRB1*04:07
Bazo 1	Q14194	DENQFVAVTSTNAAKVFN	HB	HB	HB	HB	DRB1*04:05/DRB1*04:07
Bazo 1	Q14194	ENQFVAVTSTNAAK	HB	HB	HB	HB	DRB1*04:05/DRB1*04:07
Bazo 1	Q14194	MDENQFVAVTSTNAAK	HB	HB	HB	HB	DRB1*04:05/DRB1*04:07
Bazo 1	Q14194	MDENQFVAVTSTNAAKVN	HB	HB	HB	HB	DRB1*04:05/DRB1*04:07
Bazo 1	O14531	DENEVFVAVTSTNAAKI	HB	HB	HB	HB	DRB1*04:05/DRB1*04:07
Bazo 1	O14531	MDENEVFVAVTSTNAAK	HB	HB	HB	HB	DRB1*04:05/DRB1*04:07
Bazo 1	P53634	YDHNFVKAINAIQK	HB	HB	HB	HB	DRB1*04:05/DRB1*04:07
Bazo 1	P53634	YDHNFVKAINAIQKS	HB	HB	HB	HB	DRB1*04:05/DRB1*04:07
Bazo 1	P53634	GPQEKKVVVYLQKLDTAYDD	IB	HB	HB	HB	DRB1*04:05
Bazo 1	P53634	KKVVVYLQKLDTAYDD	IB	HB	HB	HB	DRB1*04:05
Bazo 1	P53634	KVVVYLQKLDTAYDD	IB	HB	HB	HB	DRB1*04:05
Bazo 1	P53634	KVVVYLQKLDTAYDDL	IB	HB	HB	HB	DRB1*04:05
Bazo 1	P53634	KVVVYLQKLDTAYDDLGNNSGHFT	IB	HB	HB	HB	DRB1*04:05
Bazo 1	P78527	VIQDFINALDQLSNPE	IB	HB	HB	HB	DRB1*04:05
Bazo 1	O75923	DEPIFIFTVVDSRSL	IB	IB	HB	IB	DRB1*04:05
Bazo 1	Q9P0N8	GPPQYVAQVTSRDG	IB	HB	HB	HB	DRB1*04:05/DRB1*04:07
Bazo 1	Q9HBW9	LLQEVRNSVTDSLPTDIIT	IB	HB	IB	IB	DRB1*04:05/DRB1*04:07
Bazo 1	Q9HBW9	QEVRNSVTDSLPTD	IB	HB	IB	IB	DRB1*04:05/DRB1*04:07
Bazo 1	P17813	EPGQQSFVQVRVSPSVS	HB	HB	IB	HB	DRB1*04:05/DRB1*04:07
Bazo 1	P17813	EPGQQSFVQVRVSPSVSE	HB	HB	HB	HB	DRB1*04:05/DRB1*04:07
Bazo 1	P17813	IEPGQQSFVQVRVSPSVSE	HB	HB	HB	HB	DRB1*04:05/DRB1*04:07
Bazo 1	P17813	TIEPGQQSFVQVRVSPSVSE	HB	HB	HB	HB	DRB1*04:05/DRB1*04:07
Bazo 1	P14625	DSNEFSVIADPRG	LB	LB	HB	LB	NA
Bazo 1	P14625	SNEFSVIADPRG	LB	LB	HB	LB	NA
Bazo 1	P14625	DDEVDVDTVEEDLGKS	LB	IB	HB	NA	DRB1*04:05
Bazo 1	P15311	EPVSYHVQESLQDEGAEPT	LB	HB	HB	HB	DRB1*04:05
Bazo 1	P15311	EPVSYHVQESLQDEGAEPTG	LB	HB	HB	HB	DRB1*04:05
Bazo 1	P49327	SPSAAIYNIDTSSESVDH	IB	HB	HB	HB	DRB1*04:05/DRB1*04:07
Bazo 1	P02671	LQKNVRAQLVDMKRLE	IB	LB	LB	LB	NA
Bazo 1	P02675	GGETSEMYLIQPDSVVK	IB	IB	IB	IB	DRB1*04:05/DRB1*04:07
Bazo 1	P02675	GGETSEMYLIQPDSVVKPY	IB	IB	IB	IB	DRB1*04:05/DRB1*04:07
Bazo 1	P02679	GGTYSKASTPONGYDN	LB	IB	HB	NA	DRB1*04:05
Bazo 1	P02679	GGTYSKASTPONGYDNG	LB	IB	HB	NA	DRB1*04:05
Bazo 1	P02679	GTYSKASTPONGYDN	LB	IB	HB	NA	DRB1*04:05
Bazo 1	P02679	YQGGTYSKASTPONGYDN	IB	IB	HB	IB	DRB1*04:05
Bazo 1	P02679	YQGGTYSKASTPONGYDNG	IB	IB	HB	IB	DRB1*04:05
Bazo 1	P02679	YQGGTYSKASTPONGYDNGI	IB	IB	HB	IB	DRB1*04:05
Bazo 1	P02679	YQGGTYSKASTPONGYDNGII	IB	IB	HB	IB	DRB1*04:05
Bazo 1	P02751	CPIECFMPLDVQADRE	IB	HB	HB	HB	DRB1*04:05
Bazo 1	P02751	CPIECFMPLDVQADRED	IB	HB	HB	HB	DRB1*04:05
Bazo 1	P02751	VNCPIECFMPLDVQADREDS	IB	HB	HB	HB	DRB1*04:05
Bazo 1	P02751	VNCPIECFMPLDVQADREDSRE	IB	HB	HB	HB	DRB1*04:05

Muestra	AC.Number	Péptido	N ¹	P ²	M ³	F ⁴	Asignación
Bazo 1	P02751	ETGTFYQIGDSWEKY	LB	HB	HB	HB	DRB1*04:05
Bazo 1	P02751	GPMKEINLAPDSSVVVS	IB	IB	HB	IB	DRB1*04:05
Bazo 1	P02751	GPMKEINLAPDSSVVVG	IB	IB	HB	IB	DRB1*04:05
Bazo 1	P02751	TGPMKEINLAPDSSVVVS	IB	IB	HB	IB	DRB1*04:05
Bazo 1	P02751	TGPMKEINLAPDSSVVSG	IB	IB	HB	IB	DRB1*04:05
Bazo 1	P02751	LPGTEYVSVSSVYEQHESTP	IB	HB	HB	HB	DRB1*04:05
Bazo 1	P21333	KIPEISIQDMTAQVTSPS	IB	HB	IB	IB	DRB1*04:05
Bazo 1	O75369	EDVDFDIHHNANDT	LB	HB	HB	HB	DRB1*04:05
Bazo 1	O75369	DNADGTYQVEYTPFEKG	LB	HB	HB	HB	DRB1*04:05
Bazo 1	O00461	EQQRALAVQQVEEAQQ	LB	LB	HB	LB	NA
Bazo 1	P36915	DGPAVLVEQQTDSAMEPT	LB	IB	HB	NA	DRB1*04:05
Bazo 1	P11142	GILNVSAVDKSTG	LB	LB	IB	LB	NA
Bazo 1	P11142	GILNVSAVDKSTGKE	LB	LB	IB	LB	NA
Bazo 1	P02790	TPHGIILDSVDAAFI	IB	LB	IB	IB	NA
Bazo 1	POC058	KVTIAQGGVLVPNIQ	LB	LB	LB	LB	NA
Bazo 1	POC058	RVTIAQGGVLVPNIQ	LB	LB	LB	LB	NA
Bazo 1	POC058	RVTIAQGGVLVPNIQA	LB	LB	LB	LB	NA
Bazo 1	HLA class I, alpha chain	VDDTQFVRFDSDAASPR	IB	HB	HB	HB	DRB1*04:05/DRB1*04:07
Bazo 1	HLA class I, alpha chain	DDTQFVRFDNDAASPR	IB	HB	IB	IB	DRB1*04:05/DRB1*04:07
Bazo 1	HLA class I, alpha chain	VDDTQFVRFDNDAASP	IB	HB	IB	IB	DRB1*04:05/DRB1*04:07
Bazo 1	HLA class I, alpha chain	NEDLRSWTAADMAAAQITK	IB	HB	HB	HB	DRB1*04:05
Bazo 1	HLA class I, alpha chain	DLRSWTAADTAACQITQ	IB	HB	HB	HB	DRB1*04:05
Bazo 1	HLA class I, alpha chain	EDLSSWTAADTAACQITQ	IB	HB	HB	HB	DRB1*04:05
Bazo 1	HLA class I, alpha chain	LSSWTAADTAACQITQ	IB	HB	HB	HB	DRB1*04:05
Bazo 1	HLA class I, alpha chain	NEDLSSWTAADTAACQITQ	IB	HB	HB	HB	DRB1*04:05
Bazo 1	HLA class I, alpha chain	EDLRSWTAVDTAAQISEQ	IB	HB	HB	HB	DRB1*04:05
Bazo 1	HLA class I, alpha chain	GSYTQAASSSDSAQG	IB	HB	HB	HB	DRB1*04:05
Bazo 1	HLA class II, DM alpha chain	FGPTFVSAVDGLSFQ	IB	IB	HB	IB	DRB1*04:05
Bazo 1	HLA class II, DP alpha chain	GLANIAILNNNLNT	IB	HB	HB	HB	DRB1*04:05
Bazo 1	HLA class II, DP alpha chain	LANIAILNNNLNTLIQ	IB	HB	HB	HB	DRB1*04:05
Bazo 1	HLA class II, DQ alpha chain	VPEVTVFSKSPVTLGQPN	IB	IB	LB	IB	DRB1*04:05
Bazo 1	HLA class II, DQ alpha chain	EDIVADHVASYGVNLYQ	LB	HB	IB	NA	DRB1*04:05
Bazo 1	HLA class II, DQ beta chain	DSDVGVYRAVTPLGPPA	HB	HB	IB	HB	DRB1*04:05
Bazo 1	HLA class II, DR alpha chain	ASFEAQGALANIAVDKANL	IB	IB	IB	IB	DRB1*04:05
Bazo 1	HLA class II, DR alpha chain	AQGALANIAVDKAN	LB	IB	IB	IB	DRB1*04:05
Bazo 1	HLA class II, DR beta chain	SDVGEYRAVTELG	LB	LB	IB	LB	NA
Bazo 1	HLA class II, DR beta chain	QEEYVRFDSDVG	LB	HB	IB	NA	DRB1*04:05
Bazo 1	Q9Y4L1	YQPEYQEVSSEEQR	LB	HB	HB	HB	DRB1*04:05
Bazo 1	Ig heavy	GSGTEFTLTISLQPDD	HB	HB	HB	HB	DRB1*04:05
Bazo 1	Ig kappa	TNTAYMELSSLRSEDT	IB	HB	HB	HB	DRB1*04:05/DRB1*04:07
Bazo 1	P06213	ELLKFSYIRTSFDK	HB	HB	HB	HB	DRB1*04:05
Bazo 1	P06213	SVAAYVSARTMPEA	HB	HB	HB	HB	DRB1*04:05/DRB1*04:07
Bazo 1	P06213	SVAAYVSARTMPEAKA	HB	HB	HB	HB	DRB1*04:05/DRB1*04:07
Bazo 1	P06213	VAAYVSARTMPEA	IB	HB	HB	HB	DRB1*04:05/DRB1*04:07

Muestra	AC.Number	Péptido	N ¹	P ²	M ³	F ⁴	Asignación
Bazo 1	P06213	VAAYVSARTMPEAK	HB	HB	HB	HB	DRB1*04:05/DRB1*04:07
Bazo 1	P06213	VAAYVSARTMPEAKA	HB	HB	HB	HB	DRB1*04:05/DRB1*04:07
Bazo 1	P56199	GSYFGSILTTTDIDK	HB	HB	HB	HB	DRB1*04:05
Bazo 1	P56199	GSYFGSILTTTDIDKD	HB	HB	HB	HB	DRB1*04:05
Bazo 1	Q14624	AMLMNAVQLLDSSNQ	IB	HB	HB	HB	DRB1*04:05/DRB1*04:07
Bazo 1	Q14624	AMLMNAVQLLDSSNQE	IB	HB	HB	HB	DRB1*04:05/DRB1*04:07
Bazo 1	Q14624	AMLMNAVQLLDSSNQEE	IB	HB	HB	HB	DRB1*04:05/DRB1*04:07
Bazo 1	Q14624	DAMLMNAVQLLDSSNQ	IB	HB	HB	HB	DRB1*04:05/DRB1*04:07
Bazo 1	Q14624	DAMLMNAVQLLDSSNQE	IB	HB	HB	HB	DRB1*04:05/DRB1*04:07
Bazo 1	Q14624	DAMLMNAVQLLDSSNQEE	IB	HB	HB	HB	DRB1*04:05/DRB1*04:07
Bazo 1	Q14624	DAMLMNAVQLLDSSNQEER	IB	HB	HB	HB	DRB1*04:05/DRB1*04:07
Bazo 1	Q14624	AMLMNAVQLLDSSN	LB	IB	HB	NA	DRB1*04:05
Bazo 1	Q14624	DAMLMNAVQLLDSSN	IB	IB	HB	IB	DRB1*04:05
Bazo 1	P63252	SPLYDLSKQDIDNADF	LB	LB	HB	LB	NA
Bazo 1	P53990	IPATPPSYESVDDINADKN	LB	LB	HB	LB	NA
Bazo 1	P53990	PATPPSYESVDDINADKN	LB	LB	HB	LB	NA
Bazo 1	P53990	TPPSYESVDDINADKN	LB	LB	HB	LB	NA
Bazo 1	P53990	TPPSYESVDDINADKNI	LB	LB	HB	LB	NA
Bazo 1	Q86UP2	HATTIPLMDNADSSPV	IB	HB	HB	HB	DRB1*04:05
Bazo 1	Q16363	DVKGIKVQSVDKQ	LB	IB	IB	IB	DRB1*04:05/DRB1*04:07
Bazo 1	Q16363	LSDLVQEAIIDHAQD	LB	LB	IB	LB	NA
Bazo 1	Q16363	SHDLVQEAIIDHAQD	LB	LB	IB	LB	NA
Bazo 1	Q16363	SHDLVQEAIIDHAQDLQ	LB	LB	HB	LB	NA
Bazo 1	Q16363	DVKGIKVQSVDKQYND	LB	IB	IB	IB	DRB1*04:05/DRB1*04:07
Bazo 1	Q16363	DVKGIKVQSVDKQYNDG	LB	IB	IB	IB	DRB1*04:05/DRB1*04:07
Bazo 1	O15230	GDVFVPMESRPDVVL	IB	HB	HB	HB	DRB1*04:05
Bazo 1	Q32MZ4	DVKKELTYQNTDLSEIK	IB	IB	HB	IB	DRB1*04:05/DRB1*04:07
Bazo 1	Q9Y608	KNNLIYQVDTLKDVIIE	IB	HB	HB	HB	DRB1*04:05
Bazo 1	O75023	HQAEGFSMSPVTSAQGGTY	IB	IB	HB	IB	DRB1*04:05
Bazo 1	Q14847	YPKQSFTMVADTPEN	IB	HB	HB	HB	DRB1*04:05
Bazo 1	O75096	LPGLMDMQAVDRAQP	LB	LB	HB	LB	NA
Bazo 1	O75096	LPGLMDMQAVDRAQPL	LB	LB	HB	LB	NA
Bazo 1	O00754	VDYFLNVATAQGRYY	IB	HB	IB	IB	DRB1*04:05
Bazo 1	Q13571	VLPSYEEALSLPSKTPE	IB	IB	HB	IB	DRB1*04:05
Bazo 1	P22897	GSSLVSIIESAAESSF	IB	HB	HB	HB	DRB1*04:05
Bazo 1	Q5VSK2	IEEFDFIISQLGYEPN	IB	IB	HB	IB	DRB1*04:05
Bazo 1	Q5VSK2	TIEEFDFIISQLGYEPN	IB	IB	HB	IB	DRB1*04:05
Bazo 1	P14174	GKPPQYIAVHVVPDQ	IB	HB	HB	HB	DRB1*04:05
Bazo 1	P14174	KPPQYIAVHVVPDQ	IB	HB	HB	HB	DRB1*04:05
Bazo 1	P14174	KPPQYIAVHVVPDQL	IB	HB	HB	HB	DRB1*04:05
Bazo 1	P10721	EGGTYTFLVSNSDVNA	HB	HB	HB	HB	DRB1*04:05
Bazo 1	P55083	AKYADFSISPNAVSAEE	IB	HB	IB	IB	DRB1*04:05/DRB1*04:07
Bazo 1	P55083	AKYADFSISPNAVSAEED	IB	HB	IB	IB	DRB1*04:05/DRB1*04:07

Muestra	AC.Number	Péptido	N ¹	P ²	M ³	F ⁴	Asignación
Bazo 1	P55083	AKYADFSISPNAVSAEEDG	IB	HB	IB	IB	DRB1*04:05/DRB1*04:07
Bazo 1	P55083	AKYADFSISPNAVSAEEDGYT	IB	HB	IB	IB	DRB1*04:05/DRB1*04:07
Bazo 1	P55083	KYADFSISPNAVSAE	IB	HB	IB	IB	DRB1*04:05/DRB1*04:07
Bazo 1	P55083	KYADFSISPNAVSAEE	IB	HB	IB	IB	DRB1*04:05/DRB1*04:07
Bazo 1	P55083	KYADFSISPNAVSAEED	IB	HB	IB	IB	DRB1*04:05/DRB1*04:07
Bazo 1	P55083	KYADFSISPNAVSAEEDG	IB	HB	IB	IB	DRB1*04:05/DRB1*04:07
Bazo 1	P55083	YADFSISPNAVSAEE	IB	HB	IB	IB	DRB1*04:05/DRB1*04:07
Bazo 1	P55083	YADFSISPNAVSAEED	IB	HB	IB	IB	DRB1*04:05/DRB1*04:07
Bazo 1	Q10713	DTTMYAVSADSKGLDT	LB	LB	HB	LB	NA
Bazo 1	P19105	IQEFKEAENMIDQ	IB	HB	HB	HB	DRB1*04:05
Bazo 1	Q9BT67	DESGFPKPPSYNVATTLPsyDEA	HB	HB	IB	HB	DRB1*04:05/DRB1*04:07
Bazo 1	Q9BT67	DESGFPKPPSYNVATTLPsyDEAE	HB	HB	HB	HB	DRB1*04:05/DRB1*04:07
Bazo 1	Q9BT67	FPKPPSYNVATTLPsyD	HB	HB	HB	HB	DRB1*04:05/DRB1*04:07
Bazo 1	Q9BT67	FPKPPSYNVATTLPsyDE	HB	HB	HB	HB	DRB1*04:05/DRB1*04:07
Bazo 1	Q9BT67	FPKPPSYNVATTLPsyDEA	HB	HB	HB	HB	DRB1*04:05/DRB1*04:07
Bazo 1	Q9BT67	FPKPPSYNVATTLPsyDEAE	HB	HB	HB	HB	DRB1*04:05/DRB1*04:07
Bazo 1	Q9BT67	GFPKPPSYNVATTLPsyDE	HB	HB	HB	HB	DRB1*04:05/DRB1*04:07
Bazo 1	Q9BT67	KPPPSYNVATTLPsy	HB	HB	HB	HB	DRB1*04:05/DRB1*04:07
Bazo 1	Q9BT67	KPPPSYNVATTLPsyDE	HB	HB	HB	HB	DRB1*04:05/DRB1*04:07
Bazo 1	Q9BT67	KPPPSYNVATTLPsyDEA	HB	HB	HB	HB	DRB1*04:05/DRB1*04:07
Bazo 1	Q9BT67	KPPPSYNVATTLPsyDEAE	HB	HB	HB	HB	DRB1*04:05/DRB1*04:07
Bazo 1	Q9BT67	PKPPPSYNVATTLPsyDE	HB	HB	HB	HB	DRB1*04:05/DRB1*04:07
Bazo 1	Q9BT67	PKPPPSYNVATTLPsyDEA	HB	HB	HB	HB	DRB1*04:05/DRB1*04:07
Bazo 1	Q9BT67	PKPPPSYNVATTLPsyDEAE	HB	HB	HB	HB	DRB1*04:05/DRB1*04:07
Bazo 1	O00712	EPSPTGDFYPSPSSPAAGSR	IB	HB	IB	IB	DRB1*04:05
Bazo 1	O00712	EPSPTGDFYPSPSSPAAGSRT	IB	HB	IB	IB	DRB1*04:05
Bazo 1	P80303	EEELKEYENIIALQENEL	IB	HB	HB	HB	DRB1*04:05
Bazo 1	P80303	ELKEYENIIALQENEL	IB	HB	HB	HB	DRB1*04:05
Bazo 1	Q99733	DEEGEDEDAAEINPKV	LB	LB	LB	LB	NA
Bazo 1	P10451	AIPVAQDLNAPS	LB	LB	HB	LB	NA
Bazo 1	P10451	EELNGAYKAIPVAQDLNAP	HB	HB	HB	HB	DRB1*04:05
Bazo 1	P10451	EELNGAYKAIPVAQDLNAPS	HB	HB	HB	HB	DRB1*04:05
Bazo 1	P10451	EELNGAYKAIPVAQDLNAPSD	HB	HB	HB	HB	DRB1*04:05
Bazo 1	P10451	ELNGAYKAIPVAQDLNAPS	HB	HB	HB	HB	DRB1*04:05
Bazo 1	P10451	ELNGAYKAIPVAQDLNAPSD	HB	HB	HB	HB	DRB1*04:05
Bazo 1	P10451	ESEELNGAYKAIPVAQDLNAPS	HB	HB	HB	HB	DRB1*04:05
Bazo 1	P10451	ESEELNGAYKAIPVAQDLNAPSD	HB	HB	HB	HB	DRB1*04:05
Bazo 1	P10451	LNGAYKAIPVAQDLN	HB	HB	HB	HB	DRB1*04:05
Bazo 1	P10451	LNGAYKAIPVAQDLNAP	HB	HB	HB	HB	DRB1*04:05
Bazo 1	P10451	LNGAYKAIPVAQDLNAPS	HB	HB	HB	HB	DRB1*04:05
Bazo 1	P10451	NGAYKAIPVAQDLNAPS	HB	HB	HB	HB	DRB1*04:05
Bazo 1	P10451	SEELNGAYKAIPVAQDLNAPS	HB	HB	HB	HB	DRB1*04:05
Bazo 1	P10451	AYKAIPVAQDLN	IB	HB	HB	HB	DRB1*04:05
Bazo 1	P10451	DATDEDITSHMESEELNGAYKAIPVAQDLNAPS	IB	HB	HB	HB	DRB1*04:05

Muestra	AC.Number	Péptido	N ¹	P ²	M ³	F ⁴	Asignación
Bazo 1	P10451	EDITSHMESEELNGAYKAIPVAQDLNAPS	IB	HB	HB	HB	DRB1*04:05
Bazo 1	P10451	GAYKAIPVAQDLN	IB	HB	HB	HB	DRB1*04:05
Bazo 1	P10451	GAYKAIPVAQDLNA	IB	HB	HB	HB	DRB1*04:05
Bazo 1	P10451	GAYKAIPVAQDLNAP	IB	HB	HB	HB	DRB1*04:05
Bazo 1	P10451	GAYKAIPVAQDLNAPS	IB	HB	HB	HB	DRB1*04:05
Bazo 1	P10451	NGAYKAIPVAQDLN	IB	HB	HB	HB	DRB1*04:05
Bazo 1	P10451	YKAIPVAQDLNAPS	IB	HB	HB	HB	DRB1*04:05
Bazo 1	P50897	AGQLVFLATEGDH	IB	HB	HB	HB	DRB1*04:05
Bazo 1	P50897	AGQLVFLATEGDHLQ	IB	HB	HB	HB	DRB1*04:05
Bazo 1	P50897	IPGIYVLSLEIGKT	IB	IB	IB	IB	DRB1*04:05
Bazo 1	P30086	SGPLSLQEVDEQPQH	LB	IB	HB	NA	DRB1*04:05
Bazo 1	P30086	SGPLSLQEVDEQPQHP	LB	IB	HB	NA	DRB1*04:05
Bazo 1	P30086	WSGPLSLQEVDEQPQHP	LB	IB	HB	NA	DRB1*04:05
Bazo 1	P30086	WSGPLSLQEVDEQPQHPL	LB	IB	HB	NA	DRB1*04:05
Bazo 1	P00558	DKIQLINNMLDK	IB	HB	HB	HB	DRB1*04:05
Bazo 1	P00558	VADKIQLINNMLDK	IB	HB	HB	HB	DRB1*04:05
Bazo 1	P00558	VADKIQLINNMLDKVN	HB	HB	HB	HB	DRB1*04:05
Bazo 1	P00558	VADKIQLINNMLDKVNE	HB	HB	HB	HB	DRB1*04:05
Bazo 1	P00558	VADKIQLINNMLDKVNEM	IB	HB	HB	HB	DRB1*04:05
Bazo 1	P00558	VPMPDKYSLEPVAVELKS	IB	IB	HB	IB	DRB1*04:05
Bazo 1	Q99570	KPTYLPEDNPADFN	LB	IB	HB	NA	DRB1*04:05
Bazo 1	Q8IV08	TPDLKALLNVVDN	IB	HB	HB	HB	DRB1*04:05
Bazo 1	P53801	EENPYARFENN	LB	LB	LB	LB	NA
Bazo 1	P16284	STPKFHISPTGMIMEGAQ	IB	HB	IB	IB	DRB1*04:05
Bazo 1	P16671	GIPVYRFVLPSKAFASPVE	HB	HB	IB	HB	DRB1*04:05/DRB1*04:07
Bazo 1	P16671	GIPVYRFVLPSKAFASPVENPDN	HB	HB	IB	HB	
Bazo 1	P16671	IPVYRFVLPSKAFASPV	HB	HB	IB	HB	DRB1*04:05/DRB1*04:07
Bazo 1	P16671	IPVYRFVLPSKAFASPVENPDN	HB	HB	IB	HB	DRB1*04:05/DRB1*04:07
Bazo 1	Q6UX71	NLDFLKAVDTNRASVGQDSPEP	IB	HB	HB	HB	DRB1*04:05
Bazo 1	O14737	MRNSILAQVLDQSA	IB	LB	HB	NA	DRB1*04:05
Bazo 1	O14737	NSILAQVLDQSARA	IB	LB	HB	NA	DRB1*04:05
Bazo 1	O14737	RNSILAQVLDQSA	IB	LB	HB	NA	DRB1*04:05
Bazo 1	P49721	RNGYELSPPTAAANFT	IB	HB	IB	IB	DRB1*04:05
Bazo 1	P07237	AEGSEIRLAKVDATEES	LB	IB	HB	NA	DRB1*04:05
Bazo 1	P07237	AEGSEIRLAKVDATESD	LB	IB	HB	NA	DRB1*04:05
Bazo 1	P07237	EGSEIRLAKVDATEE	LB	IB	HB	NA	DRB1*04:05
Bazo 1	P07237	EGSEIRLAKVDATEES	LB	IB	HB	NA	DRB1*04:05
Bazo 1	P07237	GSEIRLAKVDATEE	LB	IB	HB	NA	DRB1*04:05
Bazo 1	P49257	HGQITQQELDTVVK	LB	LB	LB	LB	NA
Bazo 1	O75695	LPEDAVVQDYVPIPTTEELK	IB	HB	HB	HB	DRB1*04:05/DRB1*04:07
Bazo 1	Q6V017	SPKLTYIPENTPIDT	LB	HB	HB	HB	
Bazo 1	Q08174	STNSLVQVVVDVNDNAPV	LB	HB	HB	HB	DRB1*04:05
Bazo 1	Q96JQ0	DNPPQFYPREYAASISAQSPPG	IB	IB	IB	IB	DRB1*04:05/DRB1*04:07

Muestra	AC.Number	Péptido	N ¹	P ²	M ³	F ⁴	Asignación
Bazo 1	Q96JQ0	DNPPQFYPREYAASISAQSPPGT	IB	IB	IB	IB	DRB1*04:05/DRB1*04:07
Bazo 1	Q96JQ0	YPREYAASISAQSPP	IB	IB	IB	IB	DRB1*04:05/DRB1*04:07
Bazo 1	Q96JQ0	YPREYAASISAQSPPG	IB	IB	IB	IB	DRB1*04:05/DRB1*04:07
Bazo 1	O60245	RPVGTLYLLPTATDRDFG	IB	HB	HB	HB	DRB1*04:05
Bazo 1	Q58FF7	KELKIDIIPNPQERT	IB	IB	HB	IB	DRB1*04:05
Bazo 1	P14618	ASDPILYRPVAVALDTKG	IB	HB	HB	HB	DRB1*04:05
Bazo 1	P14618	DPILYRPVAVALDT	IB	HB	HB	HB	DRB1*04:05
Bazo 1	P14618	DPILYRPVAVALDTKG	IB	HB	HB	HB	DRB1*04:05
Bazo 1	P14618	DPILYRPVAVALDTKGPE	IB	HB	HB	HB	DRB1*04:05
Bazo 1	P14618	PILYRPVAVALDTKGPE	IB	HB	HB	HB	DRB1*04:05
Bazo 1	P14618	SDPILYRPVAVALDTKGPE	IB	HB	HB	HB	DRB1*04:05
Bazo 1	P31150	EPIDQKFVAISDLYEPIID	IB	HB	HB	HB	DRB1*04:05
Bazo 1	P31150	EPIDQKFVAISDLYEPIID	IB	HB	HB	HB	DRB1*04:05
Bazo 1	P31150	PIDQKFVAISDLYEPIID	IB	HB	HB	HB	DRB1*04:05
Bazo 1	P50395	EPIEQKFVSISSLVPKD	HB	HB	HB	HB	DRB1*04:05
Bazo 1	P43487	HDPQFEPIVSLPEQEIK	IB	HB	HB	HB	DRB1*04:05
Bazo 1	P43487	PQFEPIVSLPEQEIKTL	IB	HB	HB	HB	DRB1*04:05
Bazo 1	P46940	DDYKTLINAEDPP	IB	HB	HB	HB	DRB1*04:05
Bazo 1	P51149	APNTFKTLDWRDE	IB	HB	HB	HB	DRB1*04:05
Bazo 1	P51149	FPFVLGNKIDLEN	IB	HB	HB	HB	DRB1*04:05
Bazo 1	P23467	ENHSFSQERTVPDK	IB	IB	HB	IB	DRB1*04:05
Bazo 1	P23467	NHSFSQERTVPDK	IB	IB	HB	IB	DRB1*04:05
Bazo 1	P49796	DSPVRVQAVDGGPA	LB	IB	HB	NA	DRB1*04:05
Bazo 1	P49796	SPVRVQAVDGGPA	LB	IB	HB	NA	DRB1*04:05
Bazo 1	P02787	HSTIFENLANKADR	LB	HB	HB	HB	DRB1*04:05
Bazo 1	P02787	HSTIFENLANKADRD	LB	HB	HB	HB	DRB1*04:05
Bazo 1	P02787	HSTIFENLANKADRDQ	LB	HB	HB	HB	DRB1*04:05
Bazo 1	P02787	HSTIFENLANKADRDQYE	LB	HB	HB	HB	DRB1*04:05
Bazo 1	P02787	STIFENLANKADRDQ	LB	HB	HB	HB	DRB1*04:05
Bazo 1	P02787	STIFENLANKADRDQY	LB	HB	HB	HB	DRB1*04:05
Bazo 1	P02787	DTPEAGYFAVAVVKKASDL	IB	IB	IB	IB	DRB1*04:05
Bazo 1	Q15165	ISPDDKYIYVADILAHE	IB	IB	HB	IB	DRB1*04:05
Bazo 1	Q15165	SPDDKYIYVADILAHE	IB	IB	HB	IB	DRB1*04:05
Bazo 1	Q9H299	DGKRHQYQLVDISQDN	IB	HB	HB	HB	DRB1*04:05
Bazo 1	Q9H299	DGKRHQYQLVDISQDNA	IB	HB	HB	HB	DRB1*04:05
Bazo 1	Q9H299	GKRIQYQLVDISQDN	IB	HB	HB	HB	DRB1*04:05
Bazo 1	P29353	DPSYVNQNLKDARQA	IB	HB	HB	HB	DRB1*04:05/DRB1*04:07
Bazo 1	P42224	IEHEIKSLEDLQDE	LB	IB	HB	NA	DRB1*04:05
Bazo 1	Q92673	HPINEYYIADASEDQ	IB	HB	HB	HB	DRB1*04:05
Bazo 1	Q9NY15	RLRSEDLLEQGYAT	LB	IB	HB	NA	DRB1*04:05
Bazo 1	Q9Y490	SNPEFSSIPAQSPEGRA	IB	IB	IB	IB	DRB1*04:05
Bazo 1	Q03167	DPVIPSIQLFPGLREPEE	IB	HB	HB	HB	DRB1*04:05
Bazo 1	Q16881	VPYIYAIQDILEK	IB	IB	HB	IB	DRB1*04:05
Bazo 1	P19971	DIRGFVAAVVNGSAQ	HB	HB	HB	HB	DRB1*04:05/DRB1*04:07

Muestra	AC.Number	Péptido	N ¹	P ²	M ³	F ⁴	Asignación
Bazo 1	Q8WVE6	ESIYTISGTNSSSEASH	IB	HB	HB	HB	DRB1*04:05/DRB1*04:07
Bazo 1	Q8WVE6	ESIYTISGTNSSSEASHTP	IB	HB	HB	HB	DRB1*04:05/DRB1*04:07
Bazo 1	O14773	DPSSPQYGKYLTLENVADLVR	HB	HB	HB	HB	DRB1*04:05
Bazo 1	O14773	PSSSPQYGKYLTLENVADLVRPS	HB	HB	HB	HB	DRB1*04:05
Bazo 1	O14773	YGKYLTLENVADL	HB	HB	HB	HB	DRB1*04:05
Bazo 1	O14773	YGKYLTLENVADLV	HB	HB	HB	HB	DRB1*04:05
Bazo 1	O14773	YGKYLTLENVADLVR	HB	HB	HB	HB	DRB1*04:05
Bazo 1	O14773	YGKYLTLENVAD	IB	HB	HB	HB	DRB1*04:05
Bazo 1	P08631	ERPTFEYIQSVLDD	IB	HB	HB	HB	DRB1*04:05
Bazo 1	O75643	GDKEIQNMDDNIDEYG	LB	HB	HB	HB	DRB1*04:05
Bazo 1	O75643	GDKEIQNMDDNIDETYG	LB	HB	HB	HB	DRB1*04:05
Bazo 1	P45974	EKIFQNAPTDPTQ	LB	HB	HB	HB	DRB1*04:05
Bazo 1	Q9NZ09	GPIMAQLDNNLPR	IB	LB	HB	NA	NA
Bazo 1	P46939	DEIEKKPTSKQEEIVK	LB	IB	HB	NA	DRB1*04:05
Bazo 1	Q709C8	IAEIKIQGLDSSL	IB	HB	HB	HB	DRB1*04:05/DRB1*04:07
Bazo 1	Q709C8	NIAEIKIQGLDSSL	IB	HB	HB	HB	DRB1*04:05/DRB1*04:07
Bazo 1	P19320	SLEMTFIPTIEDTGT	IB	HB	HB	HB	DRB1*04:05
Bazo 1	P18206	VDQLTAQLADLAARG	IB	LB	IB	IB	NA
Bazo 1	Q15904	FGNKQDSAFSNLENALDLAPS	HB	HB	HB	HB	DRB1*04:05
Bazo 1	Q15904	GNKQDSAFSNLENALDLAPS	HB	HB	HB	HB	DRB1*04:05
Bazo 1	Q15904	GNKQDSAFSNLENALDLAPSS	HB	HB	HB	HB	DRB1*04:05
Bazo 1	Q15904	GNKQDSAFSNLENALDL	IB	HB	HB	HB	DRB1*04:05
Bazo 1	Q15904	GVFGNKQDSAFSNLENALDLAPS	IB	HB	HB	HB	DRB1*04:05
Bazo 1	Q15904	GVFGNKQDSAFSNLENALDLAPSS	IB	HB	HB	HB	DRB1*04:05
Bazo 1	Q7Z3T8	DPDQTIVRAESLDGGDTS	LB	HB	IB	NA	DRB1*04:05
Bazo 1	P25311	DVPAFQALGSLNDL	HB	HB	HB	HB	DRB1*04:05
Bazo 1	P25311	DVPAFQALGSLNDLQ	HB	HB	HB	HB	DRB1*04:05
Bazo 1	P25311	DVPAFQALGSLNDLQF	HB	HB	HB	HB	DRB1*04:05
Bazo 1	P25311	HVEDVPAFQALGSLNDLQ	HB	HB	HB	HB	DRB1*04:05
Bazo 1	P25311	VEDVPAFQALGSLNDLQ	HB	HB	HB	HB	DRB1*04:05
Bazo 1	P25311	VEDVPAFQALGSLNDLQF	HB	HB	HB	HB	DRB1*04:05
Bazo 1	P25311	VPAFQALGSLNDLQF	HB	HB	HB	HB	DRB1*04:05
Bazo 1	P25311	DVPAFQALGSLND	IB	HB	HB	HB	DRB1*04:05
Bazo 1	P25311	HVEDVPAFQALGSLNDL	IB	HB	HB	HB	DRB1*04:05
Bazo 1	P25311	VPAFQALGSLNDL	IB	HB	HB	HB	DRB1*04:05
Bazo 2	P63104	VVSSIEQKTEGAEK	LB	IB	HB	NA	DRB1*08:01
Bazo 2	P63104	VVSSIEQKTEGAEKK	LB	IB	HB	NA	DRB1*08:01
Bazo 2	P63104	VVSSIEQKTEGAEKQ	LB	IB	HB	NA	DRB1*08:01
Bazo 2	Q16698	AGHPNIVINNAAGNFISP	IB	HB	IB	IB	DRB1*03:01/DRB1*08:01
Bazo 2	Q16698	AGHPNIVINNAAGNFISPT	IB	HB	IB	IB	DRB1*03:01/DRB1*08:01
Bazo 2	Q16698	GHPNIVINNAAGNFII	IB	HB	IB	IB	DRB1*03:01/DRB1*08:01
Bazo 2	Q16698	GHPNIVINNAAGNFIS	IB	HB	IB	IB	DRB1*03:01/DRB1*08:01
Bazo 2	Q16698	GHPNIVINNAAGNFISP	IB	HB	IB	IB	DRB1*03:01/DRB1*08:01

Muestra	AC.Number	Péptido	N ¹	P ²	M ³	F ⁴	Asignación
Bazo 2	Q16698	GHPNIVINNAAGNFISPT	IB	HB	IB	IB	DRB1*03:01/DRB1*08:01
Bazo 2	Q16698	HPNIVINNAAGNFISP	IB	HB	IB	IB	DRB1*03:01/DRB1*08:01
Bazo 2	P11021	SLKNQIGDKEK	LB	LB	IB	LB	NA
Bazo 2	P11021	ESYAYSLKNQIGDKEK	IB	HB	HB	HB	DRB1*08:01
Bazo 2	P05186	SKTYNTNAQVPDSAGTA	LB	IB	IB	IB	DRB1*08:01
Bazo 2	P01009	KAVLTIDEKGTEA	LB	HB	HB	HB	DRB1*03:01
Bazo 2	P01009	KAVLTIDEKGTEAA	IB	HB	HB	HB	DRB1*03:01
Bazo 2	P01009	KAVLTIDEKGTEAAG	IB	HB	HB	HB	DRB1*03:01
Bazo 2	P01009	DVKKLYHSEAFTVNFG	IB	IB	IB	IB	DRB1*03:01
Bazo 2	P04217	DHEFLEVPEAQEDVE	LB	LB	HB	LB	NA
Bazo 2	P04217	EGDHDFLEVPEAQEDVE	LB	LB	HB	LB	NA
Bazo 2	P04217	EGDHDFLEVPEAQEDVEA	LB	LB	HB	LB	NA
Bazo 2	P04217	EGDHDFLEVPEAQEDVEAT	LB	LB	HB	LB	NA
Bazo 2	P04217	GDHEFLEVPEAQED	LB	LB	HB	LB	NA
Bazo 2	P04217	GDHEFLEVPEAQEDVE	LB	LB	HB	LB	NA
Bazo 2	P04217	GDHEFLEVPEAQEDVEA	LB	LB	HB	LB	NA
Bazo 2	P04217	GDHEFLEVPEAQEDVEAT	LB	LB	HB	LB	NA
Bazo 2	P04217	REGDHDFLEVPEAQEDVE	LB	LB	HB	LB	NA
Bazo 2	P01023	LPGEYSMVKVTGEG	LB	HB	IB	NA	DRB1*08:01
Bazo 2	P06733	NVINGGSHAGNKL	LB	IB	IB	IB	DRB1*03:01
Bazo 2	P06733	SGKYDLDFKSPDDPS	LB	IB	HB	NA	DRB1*03:01
Bazo 2	P06733	SGKYDLDFKSPDDPSR	LB	IB	HB	NA	DRB1*03:01
Bazo 2	P05067	VIQHFQEKKVESLEQE	LB	IB	HB	NA	DRB1*08:01
Bazo 2	Q6FG67	AAEVISDARENIQ	IB	HB	HB	HB	DRB1*03:01
Bazo 2	Q6FG67	AAEVISDARENIQR	IB	HB	HB	HB	DRB1*03:01
Bazo 2	Q6FG67	AEVISDARENIQR	IB	HB	HB	HB	DRB1*03:01
Bazo 2	P01019	FIPAPIQAKTSPVDE	LB	HB	HB	HB	DRB1*08:01
Bazo 2	P01019	IPAPIQAKTSPVD	LB	HB	HB	HB	DRB1*08:01
Bazo 2	P01019	IPAPIQAKTSPVDE	LB	HB	HB	HB	DRB1*08:01
Bazo 2	P01019	IPAPIQAKTSPVDEKA	IB	HB	HB	HB	DRB1*08:01
Bazo 2	P01008	ELVYGAQLQPLDFKEN	IB	HB	HB	HB	DRB1*03:01/DRB1*08:01
Bazo 2	P01008	LVYGAQLQPLDFKEN	IB	HB	HB	HB	DRB1*03:01/DRB1*08:01
Bazo 2	P01008	SELVYGAQLQPLDFK	IB	HB	HB	HB	DRB1*03:01/DRB1*08:01
Bazo 2	P01008	SELVYGAQLQPLDFKE	IB	HB	HB	HB	DRB1*03:01/DRB1*08:01
Bazo 2	P01008	SELVYGAQLQPLDFKEN	IB	HB	HB	HB	DRB1*03:01/DRB1*08:01
Bazo 2	P63010	NNNVYTIAKRNVEGQD	IB	HB	IB	HB	DRB1*08:01
Bazo 2	P63010	NNVYTIAKRNVEGQD	IB	HB	IB	HB	DRB1*08:01
Bazo 2	P06727	EGLTFQMKKNAEE	IB	HB	HB	HB	DRB1*08:01
Bazo 2	P06727	EGLTFQMKKNAEELK	IB	HB	HB	HB	DRB1*08:01
Bazo 2	P06727	EGLTFQMKKNAEELKA	IB	HB	HB	HB	DRB1*08:01
Bazo 2	P06727	GLTFQMKKNAEE	IB	HB	HB	HB	DRB1*08:01
Bazo 2	P06727	GLTFQMKKNAEELK	IB	HB	HB	HB	DRB1*08:01
Bazo 2	P06727	LEGTFQMKKNAEE	IB	HB	HB	HB	DRB1*08:01
Bazo 2	P06727	LEGTFQMKKNAEELK	IB	HB	HB	HB	DRB1*08:01
Bazo 2	P06727	LEGTFQMKKNAEELKA	IB	HB	HB	HB	DRB1*08:01

Muestra	AC.Number	Péptido	N ¹	P ²	M ³	F ⁴	Asignación
Bazo 2	P04114	SQAIATKKIISDYHQ	IB	HB	HB	HB	DRB1*08:01
Bazo 2	P04114	INNQLTLDNSNTKYFH	HB	HB	HB	HB	DRB1*03:01
Bazo 2	P04114	INNQLTLDNSNTKYFHK	HB	HB	HB	HB	DRB1*03:01
Bazo 2	P98160	TPPLSSTQLQIDPSLHEFQ	HB	HB	IB	HB	DRB1*03:01
Bazo 2	P98160	TPPLSSTQLQIDPSLHE	IB	HB	IB	IB	DRB1*03:01
Bazo 2	P15907	DAVLRFNGAPTANFQ	IB	HB	IB	IB	DRB1*03:01
Bazo 2	P21810	SVPKEISPDTTLLDLQNN	IB	IB	IB	IB	DRB1*03:01
Bazo 2	P21810	VPKEISPDTTLLDLQNN	IB	IB	IB	IB	DRB1*03:01
Bazo 2	P55287	INPEDGFIKTTKPLDR	IB	IB	HB	IB	DRB1*08:01
Bazo 2	P55287	INPEDGFIKTTKPLDREET	IB	IB	HB	IB	DRB1*08:01
Bazo 2	P55287	NPEDGFIKTTKPLDR	IB	IB	HB	IB	DRB1*08:01
Bazo 2	P55287	NPEDGFIKTTKPLDREET	IB	IB	HB	IB	DRB1*08:01
Bazo 2	P19022	SNDGLVTVVVKPIDFETN	IB	HB	HB	HB	DRB1*03:01/DRB1*08:01
Bazo 2	P62158	IREADIDGDGQVN	LB	LB	IB	LB	
Bazo 2	P00915	LSNVEGDNAPVMQH	LB	HB	IB	NA	DRB1*03:01
Bazo 2	P00915	LSNVEGDNAPVMQHN	LB	HB	IB	NA	DRB1*03:01
Bazo 2	P00915	LSNVEGDNAPVMQHNN	LB	HB	IB	NA	DRB1*03:01
Bazo 2	P00915	SNVEGDNAPVMQHNN	LB	HB	IB	NA	DRB1*03:01
Bazo 2	P07339	SPEDYTLKVSQAGK	IB	HB	IB	IB	DRB1*08:01
Bazo 2	P25774	DNKGIDSDASYPYK	IB	LB	HB	NA	NA
Bazo 2	P25774	DNKGIDSDASYPYKA	IB	LB	HB	NA	NA
Bazo 2	P25774	DNKGIDSDASYPYKAM	IB	LB	HB	NA	NA
Bazo 2	P25774	DNKGIDSDASYPYKAMD	IB	LB	HB	NA	NA
Bazo 2	P25774	DNKGIDSDASYPYKAMDDQ	IB	LB	HB	NA	NA
Bazo 2	P25774	IDNKKGIDSDASYPYK	IB	LB	HB	NA	NA
Bazo 2	P25774	AFQYIIDNKGIDSDA	IB	HB	HB	HB	DRB1*03:01
Bazo 2	P25774	AFQYIIDNKGIDSDAS	IB	HB	HB	HB	DRB1*03:01
Bazo 2	P25774	AFQYIIDNKGIDSDASP	IB	HB	HB	HB	DRB1*03:01
Bazo 2	P25774	FQYIIDNKGIDS	IB	HB	HB	HB	DRB1*03:01
Bazo 2	P25774	FQYIIDNKGIDSD	IB	HB	HB	HB	DRB1*03:01
Bazo 2	P25774	FQYIIDNKGIDSDA	IB	HB	HB	HB	DRB1*03:01
Bazo 2	P25774	FQYIIDNKGIDSDAS	IB	HB	HB	HB	DRB1*03:01
Bazo 2	P25774	FQYIIDNKGIDSDASP	IB	HB	HB	HB	DRB1*03:01
Bazo 2	P25774	QYIIDNKGIDSD	LB	HB	HB	HB	DRB1*03:01
Bazo 2	P25774	QYIIDNKGIDSDAS	IB	HB	HB	HB	DRB1*03:01
Bazo 2	P25774	TAFQYIIDNKGIDSD	IB	HB	HB	HB	DRB1*03:01
Bazo 2	P25774	TAFQYIIDNKGIDSDA	IB	HB	HB	HB	DRB1*03:01
Bazo 2	P25774	TAFQYIIDNKGIDSDAS	IB	HB	HB	HB	DRB1*03:01
Bazo 2	P25774	TAFQYIIDNKGIDSDASP	IB	HB	HB	HB	DRB1*03:01
Bazo 2	P25774	TTAFQYIIDNKGIDSDAS	IB	HB	HB	HB	DRB1*03:01
Bazo 2	P25774	YIIDNKGIDSDAS	LB	HB	HB	HB	DRB1*03:01
Bazo 2	Q9UBR2	DGVNYASITRNQH	HB	IB	LB	NA	DRB1*03:01/DRB1*08:01
Bazo 2	O00299	FSAYIKNSNPALNDN	IB	HB	HB	HB	
Bazo 2	P10909	KNPKFMETVAEKALQ	LB	LB	LB	LB	NA

Muestra	AC.Number	Péptido	N ¹	P ²	M ³	F ⁴	Asignación
Bazo 2	P10909	KNPKFMETVAEKALQE	LB	LB	LB	LB	NA
Bazo 2	P08572	EAPAIAIAVHSQDV	IB	LB	IB	IB	NA
Bazo 2	P08572	EAPAIAIAVHSQDVSIPH	IB	IB	IB	IB	DRB1*08:01
Bazo 2	P09871	FPGPLNIETKSNALD	IB	HB	HB	HB	DRB1*08:01
Bazo 2	P09871	FPGPLNIETKSNALDIIFQ	IB	HB	HB	HB	DRB1*08:01
Bazo 2	P09871	GPLNIETKSNALDI	IB	HB	HB	HB	DRB1*08:01
Bazo 2	P01024	IRAYYENSPQQVFS	LB	LB	HB	LB	NA
Bazo 2	P01024	IRAYYENSPQQVFSTE	LB	LB	HB	LB	NA
Bazo 2	P01024	KIRAYYENSPQQVFS	LB	LB	HB	LB	NA
Bazo 2	P01031	EFNVKTDAPDLPE	LB	HB	HB	HB	DRB1*03:01/DRB1*08:01
Bazo 2	P01031	TVLEFNVKTDAPDLPE	LB	HB	HB	HB	DRB1*03:01/DRB1*08:01
Bazo 2	P01031	VLEFNVKTDAPDLPE	LB	HB	HB	HB	DRB1*03:01/DRB1*08:01
Bazo 2	P01189	YGGFMTSEKSQTPLVT	LB	IB	IB	IB	DRB1*03:01
Bazo 2	P02741	GYSIFSYATKRQDN	IB	HB	HB	HB	DRB1*03:01
Bazo 2	P02741	GYSIFSYATKRQDNE	IB	HB	HB	HB	DRB1*03:01
Bazo 2	P02741	YSIFSYATKRQDNE	IB	HB	HB	HB	DRB1*03:01
Bazo 2	P25106	VNIQAKTTGYDTH	LB	HB	HB	HB	DRB1*03:01/DRB1*08:01
Bazo 2	P01040	LVLGYQVDKNKDDELTF	LB	IB	IB	IB	DRB1*08:01
Bazo 2	P01040	TGYQVDKNKDDELTF	LB	IB	HB	NA	DRB1*08:01
Bazo 2	P01040	VLTGYQVDKNKDDELTF	LB	IB	HB	NA	DRB1*08:01
Bazo 2	P01040	YQVDKNKDDELTF	LB	IB	HB	NA	DRB1*08:01
Bazo 2	Q9H3Z4	ATETTQLTADSHPSYHTDG	HB	HB	HB	HB	DRB1*03:01
Bazo 2	Q9H3Z4	ETTQLTADSHPSYHTDG	HB	HB	HB	HB	DRB1*03:01
Bazo 2	Q9H3Z4	SATETTQLTADSHPSYHTDG	HB	HB	HB	HB	DRB1*03:01
Bazo 2	Q9H3Z4	TETTQLTADSHPSYHTDG	HB	HB	HB	HB	DRB1*03:01
Bazo 2	Q9H3Z4	TTQLTADSHPSYHTDG	HB	HB	HB	HB	DRB1*03:01
Bazo 2	Q9HW9	SSDNFLLPQNYDNSEE	LB	HB	HB	HB	DRB1*08:01
Bazo 2	Q08830	NSRYAQYKNFKVGDE	IB	HB	IB	IB	DRB1*08:01
Bazo 2	Q08830	SRYAQYKNFKVGDE	IB	HB	IB	IB	DRB1*08:01
Bazo 2	P02751	ITGYIIKYEKPGSPP	IB	HB	IB	IB	DRB1*03:01/DRB1*08:01
Bazo 2	P02751	EVSVYALKDTLTSRPA	IB	HB	IB	IB	DRB1*08:01
Bazo 2	P02751	IPGHLNSYTIKGLPG	IB	HB	IB	IB	DRB1*08:01
Bazo 2	O00602	NNFFSTKDQNDNVS	LB	IB	HB	NA	DRB1*08:01
Bazo 2	O00602	NNNNFSTKDQNDNVS	LB	IB	HB	NA	DRB1*08:01
Bazo 2	O00602	NNNNFSTKDQNDNVSS	LB	IB	HB	NA	DRB1*08:01
Bazo 2	O00602	NNNNFSTKDQNDNVSSN	LB	IB	HB	NA	DRB1*08:01
Bazo 2	Q5D862	PVLKNPDDPDTV	LB	LB	IB	LB	NA
Bazo 2	Q5D862	PVLKNPDDPDTVD	LB	LB	IB	LB	NA
Bazo 2	P21333	EETVITVDTKAAGKGK	HB	HB	HB	HB	DRB1*03:01
Bazo 2	P21333	ETVITVDTKAAGKGK	HB	HB	HB	HB	DRB1*03:01
Bazo 2	P21333	GNPAEFVVNTSNAGAG	IB	IB	IB	IB	DRB1*03:01/DRB1*08:01
Bazo 2	P21333	GNPAEFVVNTSNAGAGA	IB	IB	IB	IB	DRB1*03:01/DRB1*08:01
Bazo 2	P21333	NPAEFVVNTSNAGAG	IB	IB	IB	IB	DRB1*03:01/DRB1*08:01
Bazo 2	Q16595	DLGTYVINKQTPNQK	IB	HB	IB	IB	DRB1*08:01

Muestra	AC.Number	Péptido	N ¹	P ²	M ³	F ⁴	Asignación
Bazo 2	Q16595	GDLGTYVINKQTPNKQ	IB	HB	IB	IB	DRB1*08:01
Bazo 2	P13284	ALDFFGNGPPVNYKTG	LB	IB	IB	IB	DRB1*03:01/DRB1*08:01
Bazo 2	P13284	DFFGNGPPVNYKTGN	LB	IB	IB	IB	DRB1*03:01/DRB1*08:01
Bazo 2	P06744	SNTPILVDGKDVMPE	HB	HB	HB	HB	DRB1*03:01/DRB1*08:01
Bazo 2	P06744	SNTPILVDGKDVMPEVN	HB	HB	HB	HB	DRB1*03:01/DRB1*08:01
Bazo 2	P06744	TPILVDGKDVMPE	HB	HB	HB	HB	DRB1*03:01/DRB1*08:01
Bazo 2	P06744	TPILVDGKDVMPEVN	HB	HB	HB	HB	DRB1*03:01/DRB1*08:01
Bazo 2	P62826	APPEVVMDPALAAQYEH	HB	HB	IB	HB	DRB1*03:01
Bazo 2	P00738	LTLYVGKKQLVEIEK	IB	HB	HB	HB	DRB1*03:01/DRB1*08:01
Bazo 2	P00738	LYVGKKQLVEIEK	LB	HB	HB	HB	DRB1*03:01/DRB1*08:01
Bazo 2	P11142	DAAKNQVAMNPTNTVFDA	IB	IB	IB	IB	DRB1*03:01
Bazo 2	P11142	DAAKNQVAMNPTNTVFDAK	IB	IB	IB	IB	DRB1*03:01
Bazo 2	Q9NZL4	IEDGIFEVKSTAGDTH	IB	HB	HB	HB	DRB1*08:01
Bazo 2	P42357	ANRGETVSGGNFHGE	LB	LB	IB	LB	NA
Bazo 2	HLA class I, alpha chain	AAVVVPSGEEQRYT	LB	IB	HB	NA	DRB1*03:01
Bazo 2	HLA class I, alpha chain	AVVVPSGEEQRYT	LB	IB	HB	NA	DRB1*03:01
Bazo 2	P04233	LELEDPSSGLGVTKQDLGPVPM	LB	LB	IB	LB	NA
Bazo 2	P04233	ELEDPSSGLGVTKQDLGPVPM	LB	LB	IB	LB	NA
Bazo 2	HLA class II, DQ alpha chain	DIVADHVASYGVN	IB	HB	HB	HB	DRB1*03:01
Bazo 2	HLA class II, DQ alpha chain	EDIVADHVASYGVN	HB	HB	HB	HB	DRB1*03:01
Bazo 2	HLA class II, DR alpha chain	ANIAAVDKANLEIM	IB	IB	IB	IB	DRB1*03:01
Bazo 2	HLA class II, DR alpha chain	ANIAAVDKANLEIMT	IB	IB	IB	IB	DRB1*03:01
Bazo 2	HLA class II, DR alpha chain	LANIAVDKANLEI	IB	IB	IB	IB	DRB1*03:01
Bazo 2	HLA class II, DR alpha chain	LANIAVDKANLEIM	IB	IB	IB	IB	DRB1*03:01
Bazo 2	P06213	SVAAYVSARTMPEAKA	HB	HB	IB	HB	DRB1*08:01
Bazo 2	P06213	VAAYVSARTMPEAKA	HB	HB	IB	HB	DRB1*08:01
Bazo 2	P14735	SEHAGSSNAFTSGEHTN	LB	LB	LB	LB	NA
Bazo 2	P19827	EGSEIVVAGRIADN	IB	HB	IB	IB	DRB1*03:01/DRB1*08:01
Bazo 2	P19827	YEGSEIVVAGRIADN	IB	HB	IB	IB	DRB1*03:01/DRB1*08:01
Bazo 2	Q06033	DGSEIVVAGRLVDED	LB	HB	IB	NA	DRB1*03:01
Bazo 2	Q06033	DGSEIVVAGRLVDEDM	LB	HB	IB	NA	DRB1*03:01
Bazo 2	Q06033	DGSEIVVAGRLVDEDMN	LB	HB	IB	NA	DRB1*03:01
Bazo 2	Q06033	YDGSEIVVAGRLVDEDMN	LB	HB	IB	NA	DRB1*03:01
Bazo 2	Q06033	YDGSEIVVAGRLVDEDMS	LB	HB	IB	NA	DRB1*03:01
Bazo 2	Q14624	GSEMVVAGKLQDRGPD	LB	HB	IB	NA	DRB1*03:01/DRB1*08:01
Bazo 2	Q14624	GSEMVVAGKLQDRGPDV	LB	HB	IB	NA	DRB1*03:01/DRB1*08:01
Bazo 2	Q14624	KGSEMVVAGKLQDRGPD	LB	HB	IB	NA	DRB1*03:01/DRB1*08:01
Bazo 2	Q14624	KGSEMVVAGKLQDRGPDV	LB	HB	IB	NA	DRB1*03:01/DRB1*08:01
Bazo 2	P33176	GGAFVQNSQPVAVRG	IB	HB	IB	IB	DRB1*03:01
Bazo 2	P33176	GGAFVQNSQPVAVRGGG	IB	HB	IB	IB	DRB1*03:01
Bazo 2	P33176	GGAFVQNSQPVAVRGGGG	IB	HB	IB	IB	DRB1*03:01
Bazo 2	P02788	LAPYKLRPVAAEVYG	IB	HB	IB	IB	DRB1*08:01
Bazo 2	P18428	AISDYVFNTASLVYHEE	IB	IB	IB	IB	DRB1*03:01/DRB1*08:01
Bazo 2	P08637	NSDFYIPKATLKD	IB	HB	HB	HB	DRB1*08:01

Muestra	AC.Number	Péptido	N ¹	P ²	M ³	F ⁴	Asignación
Bazo 2	P08637	NSDFYIPKATLKDSG	IB	HB	HB	HB	DRB1*08:01
Bazo 2	P08637	NSDFYIPKATLKDSGS	IB	HB	HB	HB	DRB1*08:01
Bazo 2	P08637	NSDFYIPKATLKDSGSY	IB	HB	HB	HB	DRB1*08:01
Bazo 2	P08637	SDFYIPKATLKDSGS	IB	HB	HB	HB	DRB1*08:01
Bazo 2	P11279	LNTILPDARDPAFK	HB	HB	HB	HB	DRB1*03:01
Bazo 2	P11279	NTILPDARDPAFK	IB	HB	HB	HB	DRB1*03:01
Bazo 2	P14174	KPPQYIAVHVPDQ	IB	HB	HB	HB	DRB1*08:01
Bazo 2	Q13155	ALKDIVINANPASPP	HB	HB	IB	HB	DRB1*03:01
Bazo 2	Q13155	DYGALKDIVINANPASPP	HB	HB	IB	HB	DRB1*03:01
Bazo 2	Q13155	KDIVINANPASPP	IB	HB	IB	IB	DRB1*03:01
Bazo 2	O00499	ESLQTAKKDEAKIAK	LB	HB	HB	HB	DRB1*08:01
Bazo 2	P05204	TDQAQKAEGAGDAK	LB	LB	LB	LB	NA
Bazo 2	P10451	GAYKAIPVAQDLNAPS	IB	HB	HB	HB	DRB1*08:01
Bazo 2	P10451	LNGAYKAIPVAQDLNAPS	IB	HB	HB	HB	DRB1*08:01
Bazo 2	Q86UD1	DSSVFEALPKASEQA	IB	HB	HB	HB	DRB1*08:01
Bazo 2	P19021	LPQAFYPVGHPVDVS	LB	IB	HB	NA	DRB1*08:01
Bazo 2	P13796	NAKYAIMARKIG	HB	LB	LB	LB	NA
Bazo 2	P13796	NNAKYAIMARKIG	HB	LB	LB	LB	NA
Bazo 2	P16284	STESYFIPEVRIYDSGY	IB	HB	IB	IB	DRB1*03:01/DRB1*08:01
Bazo 2	P40197	VNLQELALNQNQLDFLPA	LB	IB	IB	IB	DRB1*08:01
Bazo 2	Q10472	GDVLEPVQKPHEGPG	LB	IB	HB	NA	DRB1*03:01/DRB1*08:01
Bazo 2	Q9H3G5	YAGKYVPAIAHLIHS	IB	IB	LB	IB	DRB1*08:01
Bazo 2	Q9H3G5	KYVPAIAHLIHS	IB	IB	LB	IB	DRB1*08:01
Bazo 2	Q7Z5N4	DTPTTGYVIEARPSDEG	IB	HB	HB	HB	DRB1*08:01
Bazo 2	Q7Z5N4	TPTTGYVIEARPSDEG	IB	HB	HB	HB	DRB1*08:01
Bazo 2	Q08188	NSAHDTRNRLSVD	LB	LB	LB	LB	NA
Bazo 2	Q8NHP8	IPGMVVVADKTSELYQ	IB	HB	HB	HB	DRB1*03:01/DRB1*08:01
Bazo 2	P52566	DGPVVTDPKAPNVV	IB	HB	HB	HB	DRB1*03:01/DRB1*08:01
Bazo 2	P52566	DGPVVTDPKAPNVVVT	HB	HB	HB	HB	DRB1*03:01/DRB1*08:01
Bazo 2	P02787	KEDPQTYYAVAVVKKDSG	IB	HB	HB	HB	DRB1*08:01
Bazo 2	P19634	EPKEDLPVITIDPASPQSP	IB	HB	IB	IB	DRB1*03:01
Bazo 2	O00560	ITSIVKDSSAARNGL	HB	HB	IB	HB	DRB1*03:01
Bazo 2	Q9Y490	SAAKILADATAKMW	HB	HB	IB	HB	DRB1*03:01
Bazo 2	P01730	ASSIVYKKEGEQVE	LB	HB	IB	NA	DRB1*08:01
Bazo 2	P62988	AGKQLEDGRTLSD	LB	LB	IB	LB	NA
Bazo 2	Q9BSL1	VIDALRVNNNNQQNAA	IB	IB	IB	IB	DRB1*03:01/DRB1*08:01
Bazo 2	P19320	NTVISVNPNSTKLQEG	IB	HB	HB	HB	DRB1*03:01
Bazo 2	P19320	NTVISVNPNSTKLQEGGS	IB	HB	HB	HB	DRB1*03:01
Bazo 2	P19320	NTVISVNPNSTKLQEGGSVT	IB	HB	HB	HB	DRB1*03:01
Bazo 2	P19320	TVISVNPNSTKLQEGGS	IB	HB	HB	HB	DRB1*03:01
Bazo 2	P19320	STQTLVNVAPRDTT	IB	HB	IB	IB	DRB1*08:01
Bazo 2	P19320	TQTLVNVAPRDTT	IB	HB	IB	IB	DRB1*08:01
Bazo 2	P19320	ISPKNNTVISVNPNSTKLQEGGS	IB	HB	HB	HB	DRB1*03:01
Bazo 2	P18206	ISPMVMDAKAVAG	HB	HB	HB	HB	DRB1*03:01

Muestra	AC.Number	Péptido	N ¹	P ²	M ³	F ⁴	Asignación
Bazo 2	P18206	ISPMVMDAKAVAGNI	HB	HB	HB	HB	DRB1*03:01
Bazo 2	P18206	TISPMVMDAKAVAGNI		HB	HB	HB	DRB1*03:01
Bazo 2	P18206	TISPMVMDAKAVAGNIS		HB	HB	HB	DRB1*03:01
Bazo 2	P04004	VGGPSLSDLQAQSKGNPE		IB	HB	HB	DRB1*03:01
Bazo 2	Q14202	STESIPVSDEDSDA		LB	LB	IB	LB
NA							
Bazo 3	P11021	SAGPPPTGEEDTAEKDEL	LB	LB	LB	LB	NA
Bazo 3	P01023	LSFSPSQSLPASHA	HB	HB	HB	HB	DRB1*07:01
Bazo 3	P01023	NKVDSLFSPSQSLPA	HB	HB	HB	HB	DRB1*07:01
Bazo 3	P01023	NKVDSLFSPSQSLPAS	HB	HB	HB	HB	DRB1*07:01
Bazo 3	P01023	VDLSFSPSQSLPASH	HB	HB	HB	HB	DRB1*07:01
Bazo 3	Q6Q788	FAPEFQQTDSGKVL	HB	HB	HB	HB	DRB1*07:01
Bazo 3	Q6Q788	APEFQQTDSGKVL	IB	HB	HB	HB	DRB1*07:01
Bazo 3	P04114	MDMTFSKQNALLRSEYQ	IB	HB	IB	IB	DRB1*07:01
Bazo 3	P04114	FSRNYQLYKSVSLPS	HB	HB	HB	HB	DRB1*07:01/DRB1*15:01
Bazo 3	P04114	SRNYQLYKSVSLPS	HB	HB	HB	HB	DRB1*07:01/DRB1*15:01
Bazo 3	P04114	NPNGYSFSIPVKVLA	HB	HB	HB	HB	DRB1*07:01
Bazo 3	P02649	LSKELQAAQARLGADM	IB	LB	HB	NA	NA
Bazo 3	P02649	LSKELQAAQARLGADME	IB	LB	HB	NA	NA
Bazo 3	P11912	GTYQDVGSNLNIGDV	IB	HB	HB	HB	DRB1*07:01
Bazo 3	P11912	QGTYQDVGSNLNIGDV	IB	HB	HB	HB	DRB1*07:01
Bazo 3	O00462	IESTFDVVSSKPVVG	HB	IB	HB	HB	DRB1*07:01
Bazo 3	O00462	IESTFDVVSSKPVGGQ	HB	IB	HB	HB	DRB1*07:01
Bazo 3	P00736	FPKPYPNNFETTVITVPTG	IB	HB	HB	HB	DRB1*07:01
Bazo 3	P00736	GDFRYTTTMGVNTY	HB	HB	HB	HB	DRB1*07:01/DRB1*15:01
Bazo 3	P00736	LPNGDFRYTTTMGVNT	HB	HB	HB	HB	DRB1*07:01/DRB1*15:01
Bazo 3	P00736	LPNGDFRYTTMGVN	HB	HB	HB	HB	DRB1*07:01/DRB1*15:01
Bazo 3	P00736	EASGYISSLEYPRSYPPD	IB	LB	IB	IB	NA
Bazo 3	P09871	INEYWVLTAAHVVE	HB	HB	HB	HB	DRB1*07:01/DRB1*15:01
Bazo 3	P01024	SPMYSIITPNILR	HB	HB	HB	HB	DRB1*07:01
Bazo 3	P01024	SPMYSIITPNILRL	HB	HB	HB	HB	DRB1*07:01
Bazo 3	P02741	YTELSSTRGYSIFS	HB	HB	HB	HB	DRB1*07:01
Bazo 3	P02741	YTELSSTRGYSIFSY	HB	HB	HB	HB	DRB1*07:01
Bazo 3	P02671	YSKQFTSSTSNTNRG	HB	IB	HB	HB	DRB1*07:01
Bazo 3	P02671	YSKQFTSSTSNTNRGD	HB	IB	HB	HB	DRB1*07:01
Bazo 3	P02671	YSKQFTSSTSNTNRGDS	HB	IB	HB	HB	DRB1*07:01
Bazo 3	P02675	GGETSEMYLIQPDSVKPY	IB	LB	IB	IB	NA
Bazo 3	P02675	SEMYLIQPDSVKPY	IB	LB	IB	IB	NA
Bazo 3	P02675	TSEMYLIQPDSVKP	IB	LB	IB	IB	NA
Bazo 3	P02675	TSEMYLIQPDSVKPY	IB	LB	IB	IB	NA
Bazo 3	P02675	ISVNKYRGTAGNALM	HB	HB	HB	HB	DRB1*07:01
Bazo 3	P02675	ISVNKYRGTAGNALMDG	HB	HB	HB	HB	DRB1*07:01
Bazo 3	P02675	ISVNKYRGTAGNALMDGA	IB	HB	HB	HB	DRB1*07:01
Bazo 3	P02675	SVNKYRGTAGNALM	HB	HB	HB	HB	DRB1*07:01

Muestra	AC.Number	Péptido	N ¹	P ²	M ³	F ⁴	Asignación
Bazo 3	P02675	SVNKYRGTAGNALMD	HB	HB	HB	HB	DRB1*07:01
Bazo 3	P02675	SVNKYRGTAGNALMDG	HB	HB	HB	HB	DRB1*07:01
Bazo 3	P02679	LQEIYNNSNNQKIVN	IB	HB	HB	HB	DRB1*07:01
Bazo 3	P02679	QEIYNSSNNQKIVN	IB	HB	HB	HB	DRB1*07:01
Bazo 3	P02679	YLQEIYNSSNNQKIVN	IB	HB	HB	HB	DRB1*07:01
Bazo 3	P02679	GPEADKYRLTYAYFAGGD	IB	HB	HB	HB	DRB1*07:01
Bazo 3	P02679	VGPEADKYRLTYAYFAGGD	IB	HB	HB	HB	DRB1*07:01
Bazo 3	Q08830	NSRYAQYKNFKVGDE	IB	HB	HB	HB	DRB1*15:01
Bazo 3	P02751	APSNLRLFLATTPNSL	HB	HB	HB	HB	DRB1*07:01
Bazo 3	P02751	APSNLRLFLATTPNSLLVS	HB	HB	HB	HB	DRB1*07:01
Bazo 3	P02751	IPAPTDLKFTQVTPTSL	HB	IB	HB	HB	DRB1*07:01
Bazo 3	P02751	IPAPTDLKFTQVTPTSLS	HB	IB	HB	HB	DRB1*07:01
Bazo 3	P02751	IPAPTDLKFTQVTPTSLSAQ	HB	IB	HB	HB	DRB1*07:01
Bazo 3	P02751	IPAPTDLKFTQVTPTPS	HB	IB	IB	IB	DRB1*07:01
Bazo 3	P02751	VSSVYEQHESTPLRG	IB	HB	HB	HB	DRB1*07:01
Bazo 3	P02751	APITGYRIVYSPSVE	HB	HB	HB	HB	DRB1*07:01/DRB1*15:01
Bazo 3	P02751	APITGYRIVYSPSVEG	HB	HB	HB	HB	
Bazo 3	P02751	APITGYRIVYSPSVEGS	HB	HB	HB	HB	DRB1*07:01/DRB1*15:01
Bazo 3	P02751	APITGYRIVYSPSVEGSS	HB	HB	HB	HB	DRB1*07:01/DRB1*15:01
Bazo 3	Q8WTR4	SYDTYANSTATPVGPR	HB	HB	HB	HB	DRB1*07:01
Bazo 3	P00738	TAKDIAPTLTLYVGKK	IB	HB	HB	HB	DRB1*07:01
Bazo 3	P00738	INEQWLTTAKNL	HB	HB	HB	HB	DRB1*07:01
Bazo 3	P34931	TPSYVAFTDTERL	IB	HB	HB	HB	DRB1*07:01
Bazo 3	P34931	TPSYVAFTDTERLI	IB	HB	HB	HB	DRB1*07:01
Bazo 3	Q6NYC1	GDGTVHRRKKRRT	LB	LB	IB	LB	NA
Bazo 3	Q8NEZ4	DLKQFRITPGFIL	HB	HB	HB	HB	DRB1*07:01/DRB1*15:01
Bazo 3	HLA class I, alpha chain	GDRTFQKWAADVPPSG	IB	IB	HB	IB	
Bazo 3	HLA class I, alpha chain	RPAGDGTQKWAADVPPSG	IB	IB	HB	IB	DRB1*07:01
Bazo 3	HLA class I, alpha chain	DDTQFVRFNDAAASPR	IB	HB	IB	IB	DRB1*15:01
Bazo 3	HLA class I, alpha chain	DDTQFVRFDSDAASPR	IB	HB	IB	IB	DRB1*15:01
Bazo 3	HLA class I, alpha chain	DDTQFVRFDSAAASQ	IB	HB	IB	IB	DRB1*15:01
Bazo 3	HLA class I, alpha chain	VDDTQFVRFDSDAASPR	IB	HB	HB	HB	DRB1*15:01
Bazo 3	HLA class I, alpha chain	VDDTQFVRFDSAAASPRTEP	IB	HB	HB	HB	DRB1*15:01
Bazo 3	HLA class I, alpha chain	VDDTQFVRFDSAAASQ	IB	HB	HB	HB	DRB1*15:01
Bazo 3	HLA class I, alpha chain	VDDTQFVRFDSDAASP	LB	HB	HB	HB	DRB1*15:01
Bazo 3	P04233	TTAYFLYQQQQGRLD	IB	IB	IB	IB	DRB1*07:01
Bazo 3	P04233	TTAYFLYQQQQGRLDK	IB	IB	IB	IB	DRB1*07:01
Bazo 3	HLA class II, DQ beta chain	DSDVGVYRAVTPQGRPDA	LB	IB	HB	NA	DRB1*07:01/DRB1*15:01
Bazo 3	HLA class II, DQ beta chain	DVGVYRAVTPQGRPD	LB	IB	HB	NA	
Bazo 3	HLA class II, DR alpha chain	EFGRFASFEAQGAL	IB	HB	IB	IB	DRB1*07:01/DRB1*15:01
Bazo 3	HLA class II, DR alpha chain	LEEFGRFASFEAQ	LB	HB	HB	HB	DRB1*07:01/DRB1*15:01
Bazo 3	HLA class II, DR alpha chain	LEEFGRFASFEAQG	LB	HB	HB	HB	DRB1*07:01/DRB1*15:01
Bazo 3	HLA class II, DR alpha chain	LEEFGRFASFEAQGA	IB	HB	HB	HB	DRB1*07:01/DRB1*15:01
Bazo 3	HLA class II, DR alpha chain	LEEFGRFASFEAQGAL	IB	HB	HB	HB	DRB1*07:01/DRB1*15:01

Muestra	AC.Number	Péptido	N ¹	P ²	M ³	F ⁴	Asignación
Bazo 3	HLA class II,DR alpha chain	AQGALANIAVDKANL	LB	LB	IB	LB	NA
Bazo 3	HLA class II,DR alpha chain	AQGALANIAVDKANLE	LB	LB	IB	LB	NA
Bazo 3	HLA class II,DR alpha chain	GALANIAVDKANLE	LB	LB	IB	LB	NA
Bazo 3	HLA class II,DR alpha chain	AQGALANIAVDKANLEM	LB	LB	IB	LB	NA
Bazo 3	HLA class II,DR beta chain	FQTLV рМLETVPRSG	IB	HB	IB	IB	DRB1*15:01
Bazo 3	HLA class II,DR beta chain	FQTLV рМLETVPRSGEV	IB	HB	IB	IB	DRB1*15:01
Bazo 3	HLA class II,DR beta chain	FQTLV рМLETVPRSGEVY	IB	HB	IB	IB	DRB1*15:01
Bazo 3	HLA class II,DR beta chain	NQEЕYARYNSDLGEY	LB	LB	IB	LB	NA
Bazo 3	HLA class II,DR beta chain	NQEЕYARYNSDLGEYQ	LB	LB	IB	LB	NA
Bazo 3	Ig Kappa	GSGTDFLTISRLEPED	IB	IB	HB	IB	DRB1*07:01
Bazo 3	Ig Kappa	SGTDFLTISRLEPE	IB	IB	HB	IB	DRB1*07:01
Bazo 3	Ig Kappa	SGTDFLTISRLEPED	IB	IB	HB	IB	DRB1*07:01
Bazo 3	Ig Kappa	DSTYSLSSTTLSKA	HB	HB	HB	HB	DRB1*07:01
Bazo 3	Ig Kappa	KDSTYSLSSTTLSKA	HB	HB	HB	HB	DRB1*07:01
Bazo 3	Ig mu	GGKYAATSQVLLPS	HB	HB	HB	HB	DRB1*07:01
Bazo 3	Ig mu	GGKYAATSQVLLPSK	HB	HB	HB	HB	DRB1*07:01
Bazo 3	Q9Y287	VPVPEFADSDPANIVHD	IB	IB	HB	IB	DRB1*07:01
Bazo 3	Q9Y287	VPVPEFADSDPANIVHDF	IB	IB	HB	IB	DRB1*07:01
Bazo 3	Q9Y287	ADAPAALYQTIEENIK	LB	IB	HB	NA	DRB1*07:01
Bazo 3	Q9Y287	APAALYQTIEENIK	LB	IB	HB	NA	DRB1*07:01
Bazo 3	Q9Y287	DAPAALYQTIEENIK	LB	IB	IB	IB	DRB1*07:01
Bazo 3	Q9Y287	EPSADAPAALYQTIEENIK	LB	IB	HB	NA	DRB1*07:01
Bazo 3	Q13349	APHYYEQTRGGQVS	IB	IB	HB	IB	DRB1*07:01
Bazo 3	Q14624	AQAQYSAAVAKGKSAG	IB	LB	HB	NA	NA
Bazo 3	P02750	IPGYLPADTVHL	IB	HB	HB	HB	DRB1*07:01
Bazo 3	P06858	DPAGPNFEYAEAPSRLSPD	IB	LB	HB	NA	DRB1*07:01
Bazo 3	P31994	NIGYTLSSKPVT	HB	IB	HB	HB	DRB1*07:01/DRB1*15:01
Bazo 3	Q13571	VVLPSYEEALSLPSKTPE	IB	IB	HB	IB	DRB1*07:01/DRB1*15:01
Bazo 3	Q13571	VVLPSYEEALSLPSKTPEG	IB	IB	HB	IB	DRB1*07:01/DRB1*15:01
Bazo 3	P07333	IPGPPALTLPVPAELVR	IB	IB	HB	IB	DRB1*07:01/DRB1*15:01
Bazo 3	Q8NDC0	YPTPGLYPTPSNPFQ	IB	HB	HB	HB	DRB1*07:01
Bazo 3	Q9H8L6	IGSSYFPEHGYFRAPE	LB	LB	IB	LB	NA
Bazo 3	P58546	GLTAFEATDNQAIIK	IB	HB	HB	HB	DRB1*07:01
Bazo 3	P58546	GPDGLTAFEATDNQAIIK	IB	HB	HB	HB	DRB1*07:01
Bazo 3	Q9BT67	FPKPPSYNVATTLPYDE	IB	IB	HB	IB	DRB1*07:01/DRB1*15:01
Bazo 3	P46531	SPPLLPSFQQSPSVPLNH	HB	HB	HB	HB	DRB1*07:01
Bazo 3	P46531	SPPLLPSFQQSPSVPLNHLP	HB	HB	HB	HB	DRB1*07:01
Bazo 3	P30086	WSGPLSLQEVEQPQHP	LB	LB	IB	LB	NA
Bazo 3	Q9UHG3	SGLLQASKSNLISG	HB	HB	HB	HB	DRB1*07:01
Bazo 3	Q9H3G5	AGKYVPAIAHLIHS	HB	HB	HB	HB	DRB1*07:01
Bazo 3	Q9H3G5	KYVPAIAHLIHS	IB	HB	HB	HB	DRB1*07:01
Bazo 3	Q9H3G5	YAGKYVPAIAHLIHS	HB	HB	HB	HB	DRB1*07:01
Bazo 3	P53992	GGSVYKYASFQVENDQ	IB	HB	HB	HB	DRB1*15:01
Bazo 3	P00734	ATSEYQTFFNPRTFG	IB	HB	IB	IB	DRB1*15:01

Muestra	AC.Number	Péptido	N ¹	P ²	M ³	F ⁴	Asignación
Bazo 3	P00734	TATSEYQTFFNPRTFG	IB	HB	IB	IB	DRB1*15:01
Bazo 3	O14917	ASSQYLPTDSQYLSPS	IB	HB	HB	HB	DRB1*07:01
Bazo 3	Q58FF8	VDTGIGMTKADLNN	IB	HB	HB	HB	DRB1*07:01
Bazo 3	P51148	ASPNIVIALAGNKLADL	HB	IB	HB	HB	DRB1*15:01
Bazo 3	P49796	DSPVRVQAVDSGGPA	LB	LB	HB	LB	NA
Bazo 3	Q99969	FPGQFAFSKALPRS	HB	IB	HB	HB	DRB1*07:01
Bazo 3	P02787	DPQTFYAVAVVKKD	HB	IB	HB	HB	DRB1*07:01
Bazo 3	P02787	DPQTFYAVAVVKDS	HB	IB	HB	HB	DRB1*07:01
Bazo 3	P02787	EDPQTFYAVAVVKK	HB	IB	HB	HB	DRB1*07:01
Bazo 3	P02787	EDPQTFYAVAVVKKD	HB	IB	HB	HB	DRB1*07:01
Bazo 3	P02787	DPQTFYAVAVVKKDSG	IB	IB	HB	IB	DRB1*07:01
Bazo 3	P02787	EDPQTFYAVAVVKKDSG	IB	IB	HB	IB	DRB1*07:01
Bazo 3	P02787	KEDPQTFYAVAVVKKDSG	IB	IB	HB	IB	DRB1*07:01
Bazo 3	P02768	LGMFLYEYARRHDP	IB	HB	IB	IB	DRB1*15:01
Bazo 3	P02768	LGEYKFQNALLVR	IB	HB	HB	HB	DRB1*07:01
Bazo 3	P27169	LPNGLAFISSGLKYPG	IB	LB	HB	NA	NA
Bazo 3	Q9H299	DGKR1QYQLVDISQDN	LB	LB	IB	LB	NA
Bazo 3	Q9H299	DGKR1QYQLVDISQDNA	LB	LB	IB	LB	NA
Bazo 3	Q8WUM9	LVQFSQAVSNQINSS	HB	IB	HB	HB	DRB1*07:01/DRB1*15:01
Bazo 3	Q9NY15	DQPQQTFNIYKANNIAA	HB	HB	HB	HB	DRB1*07:01/DRB1*15:01
Bazo 3	Q9NY15	DQPQQTFNIYKANNIAAN	HB	HB	HB	HB	DRB1*07:01/DRB1*15:01
Bazo 3	Q9NY15	DQPQQTFNIYKANNIAANG	HB	HB	HB	HB	DRB1*07:01/DRB1*15:01
Bazo 3	O43760	DPTPDPNTAYASYPGASVDN	LB	IB	IB	IB	DRB1*15:01
Bazo 3	O00560	VDKVIQAQTAFSANPA	IB	IB	HB	IB	DRB1*15:01
Bazo 3	P13686	LGDNFYFTGVQDINDK	IB	HB	HB	HB	DRB1*07:01
Bazo 3	P07996	GPDPPSAPFRIED	LB	LB	LB	LB	NA
Bazo 3	P07996	GPDPPSAPFRIEDANLIPP	IB	HB	HB	HB	DRB1*07:01/DRB1*15:01
Bazo 3	P02786	NPGGYVAYSKAATVTG	HB	IB	HB	HB	DRB1*07:01/DRB1*15:01
Bazo 3	P02786	NPGGYVAYSKAATVTGK	HB	IB	HB	HB	DRB1*07:01/DRB1*15:01
Bazo 3	Q15582	ALEIFKQASAFSRASQ	HB	IB	HB	HB	DRB1*07:01/DRB1*15:01
Bazo 3	Q15582	LEIFKQASAFSRASQ	HB	IB	HB	HB	DRB1*07:01/DRB1*15:01
Bazo 3	P02766	AALLSPYSYSTAVVTNPK	HB	IB	HB	HB	DRB1*07:01/DRB1*15:01
Bazo 3	P02766	LLSPYSYSTAVVTNPK	HB	IB	HB	HB	DRB1*07:01/DRB1*15:01
Bazo 3	P02766	LLSPYSYSTAVVTNPKE	HB	IB	HB	HB	DRB1*07:01/DRB1*15:01
Bazo 3	P02766	LSPYSYSTAVVTNPK	HB	IB	HB	HB	DRB1*07:01/DRB1*15:01
Bazo 3	P02766	SPYSYSTAVVTNPK	HB	IB	HB	HB	DRB1*07:01
Bazo 3	P02766	SPYSYSTAVVTNPKE	HB	IB	HB	HB	DRB1*07:01
Bazo 3	Q9Y5A9	DDDFEPYLSPQARPNN	LB	IB	IB	IB	DRB1*15:01
Bazo 3	Q9Y5A9	NDDDFEPYLSPQARPNN	LB	IB	IB	IB	DRB1*15:01
Bazo 4	P08133	AAGQFFPEAAQVAYQ	HB	HB	HB	HB	DRB1*01:01
Bazo 4	O00487	AAMLDTVVFK	LB	LB	LB	LB	NA
Bazo 4	P10619	AGIYIPTLAVLVMQDP	HB	HB	HB	HB	DRB1*01:01
Bazo 4	P10619	AGIYIPTLAVLVMQDPS	HB	HB	HB	HB	DRB1*01:01

Muestra	AC.Number	Péptido	N ¹	P ²	M ³	F ⁴	Asignación
Bazo 4	P05186	AHNNYQAQSAVPLRHET	HB	HB	HB	HB	DRB1*01:01
Bazo 4	P18428	AISDYVFNTASLVYH	HB	HB	HB	HB	DRB1*01:01/DRB1*03:01
Bazo 4	P18428	AISDYVFNTASLVYHE	HB	HB	HB	HB	DRB1*01:01/DRB1*03:01
Bazo 4	P18428	AISDYVFNTASLVYHEE	HB	HB	HB	HB	DRB1*01:01/DRB1*03:01
Bazo 4	P18428	AISDYVFNTASLVYHEEG	HB	HB	HB	HB	DRB1*01:01/DRB1*03:01
Bazo 4	P46821	AKDENERASVSPMD	LB	LB	LB	LB	NA
Bazo 4	Q02878	ALTNGIYPHKL VF	IB	LB	LB	LB	NA
Bazo 4	P62826	APPEVVMDPALAAQYEH D	HB	HB	HB	HB	DRB1*01:01/DRB1*03:01
Bazo 4	Q14624	APSAILPLPGQSVER	HB	HB	HB	HB	DRB1*01:01
Bazo 4	Q14624	APSAILPLPGQSVERL	HB	HB	HB	HB	DRB1*01:01
Bazo 4	Q86X29	APSTYAHLS PAKTPPPP	HB	HB	HB	HB	DRB1*01:01
Bazo 4	P08107	AQGPKGGS GSGPTIEVD	LB	LB	IB	LB	NA
Bazo 4	P04792	AQLGGPEAKSDETA AK	LB	LB	IB	LB	NA
Bazo 4	O43464	AVPSPP PASPRS QYN	LB	LB	IB	LB	NA
Bazo 4	Ig heavy	BTLYLQMNSLRAEBT	HB	HB	HB	HB	DRB1*01:01
Bazo 4	Ig heavy	BTLYLQMNSLRAEBTA	HB	HB	HB	HB	DRB1*01:01
Bazo 4	Ig heavy	BTVYLQMBSLRAEDT	HB	HB	HB	HB	DRB1*01:01/DRB1*03:01
Bazo 4	P04275	DAAQLRILAGPAGDSN	HB	HB	HB	HB	DRB1*01:01/DRB1*03:01
Bazo 4	P15907	DAVLRFNGAPTANFQ	HB	HB	HB	HB	DRB1*01:01/DRB1*03:01
Bazo 4	P35749	DDDTESKTS DVNETQPPQSE	LB	LB	IB	LB	NA
Bazo 4	P24844	DEEASGFIHEDHL	LB	LB	LB	LB	NA
Bazo 4	P19105	DEEATGTIQEDY	LB	LB	IB	LB	NA
Bazo 4	P19105	DEEATGTIQEDYL	LB	LB	IB	LB	NA
Bazo 4	P19105	DEEATGTIQEDYLREL	LB	IB	HB	NA	DRB1*03:01
Bazo 4	P10643	DGKDFYRLSGNVN LSYT	HB	HB	HB	HB	DRB1*01:01/DRB1*03:01
Bazo 4	P52566	DGPVVTDP KAPNVV VTRTL	IB	HB	HB	HB	DRB1*03:01
Bazo 4	Q14789	DLEERLMNQLAELNG	IB	IB	HB	IB	DRB1*01:01
Bazo 4	P11717	DLNPLIKL SGA YLV DDS	HB	HB	HB	HB	DRB1*01:01/DRB1*03:01
Bazo 4	Q8N5S9	DRHYAMKVLSKKLLKQ	HB	IB	HB	HB	DRB1*01:01/DRB1*03:01
Bazo 4	P35749	DTRDADFN GTKASE	LB	LB	HB	LB	NA
Bazo 4	P02741	DTSYVSLKAPLTK	HB	HB	HB	HB	DRB1*01:01
Bazo 4	P02741	DTSYVSLKAPLT K P	HB	HB	HB	HB	DRB1*01:01
Bazo 4	P02741	DTSYVSLKAPLT K P L	HB	HB	HB	HB	DRB1*01:01
Bazo 4	O75935	EAATQVKPAEE	LB	LB	HB	LB	NA
Bazo 4	P60660	EAFVRHILSG	LB	LB	LB	LB	NA
Bazo 4	P35749	EEVDGKADGAEAKP AE	LB	LB	LB	LB	NA
Bazo 4	Q969X5	EGQFSINKVPGNFH	IB	IB	HB	IB	DRB1*01:01/DRB1*03:01
Bazo 4	P02741	ESDTSYVSLKAPLT	HB	HB	HB	HB	DRB1*01:01
Bazo 4	P02741	ESDTSYVSLKAPLT K P	HB	HB	HB	HB	DRB1*01:01
Bazo 4	P02741	ESDTSYVSLKAPLT K P L	HB	HB	HB	HB	DRB1*01:01
Bazo 4	Q9H3Z4	ETTQLTADSHPSYHTDG	HB	HB	HB	HB	DRB1*03:01
Bazo 4	P05089	EVNPSLGKTP EEE	LB	LB	IB	LB	NA
Bazo 4	P05089	EVNPSLGKTP EEVTRTV N	LB	LB	IB	LB	NA
Bazo 4	P35749	FCVVINPYKNLPIYSEE	IB	HB	HB	HB	DRB1*01:01

Muestra	AC.Number	Péptido	N ¹	P ²	M ³	F ⁴	Asignación	
Bazo 4	P02794	FDKHTLGDSDNES	LB	LB	LB	LB	NA	
Bazo 4	Q9H4G4	FEENVLPKK	LB	LB	IB	LB	NA	
Bazo 4	P19105	FGEKLNGTDPEDVIRNAF	LB	LB	HB	LB	NA	
Bazo 4	Q13576	FKLGIAPIQQL	HB	HB	HB	HB	DRB1*01:01	
Bazo 4	P46940	FKLGLAPQIQL	HB	HB	HB	HB	DRB1*01:01	
Bazo 4	Q9UHB6	FTTQNQKSQDV	LB	LB	IB	LB	NA	
Bazo 4	P35749	FVDKNFINSPVQAQD	IB	IB	LB	IB	DRB1*01:01/DRB1*03:01	
Bazo 4	HLA class II, DP alpha chain		FYVLDLKKETVWH	IB	HB	HB	HB	DRB1*03:01
Bazo 4	P24534	GFGDLKSPAGLQLVLND	IB	IB	HB	IB	DRB1*01:01	
Bazo 4	P27797	GGGYVKLFPNSLDQ	HB	HB	HB	HB	DRB1*01:01	
Bazo 4	P27797	GGGYVKLFPNSLDQT	HB	LB	HB	HB	DRB1*01:01	
Bazo 4	Q16698	GHPNIVINNAAGNFISP	HB	HB	HB	HB	DRB1*01:01/DRB1*03:01	
Bazo 4	Q16698	GHPNIVINNAAGNFISPT	HB	HB	HB	HB	DRB1*01:01/DRB1*03:01	
Bazo 4	P35749	GKADGAEAKPAE	LB	LB	HB	LB	NA	
Bazo 4	P16144	GNRDYIPVEGELLFQPG	HB	HB	HB	HB	DRB1*01:01	
Bazo 4	P36222	GPGIPGRFTKEAGTLAYYE	HB	IB	HB	HB	DRB1*03:01	
Bazo 4	P02810	GRPQGPPQQGGHHQQ	LB	LB	LB	LB	NA	
Bazo 4	P35749	GSDEEVDGKADGAEAKPAE	LB	LB	LB	LB	NA	
Bazo 4	P35749	GSEEETDTRDADFNGTKA	LB	LB	LB	LB	NA	
Bazo 4	P35749	GSEEETDTRDADFNGTKASE	LB	LB	HB	LB	NA	
Bazo 4	P18206	GSSPVAMQKAQQVSQG	HB	HB	HB	HB	DRB1*01:01	
Bazo 4	P01009	HKAVLTIDEKGTEAA	IB	HB	HB	HB	DRB1*03:01	
Bazo 4	P35749	IADTAYRSMLQ	LB	LB	LB	LB	NA	
Bazo 4	P13796	IDAIQPGSINYDLLK	IB	IB	HB	IB	DRB1*03:01	
Bazo 4	P13796	IDAIQPGSINYDLLKTEN	LB	IB	HB	NA	DRB1*03:01	
Bazo 4	P35749	IEKPAGPPGILAL	LB	LB	IB	LB	NA	
Bazo 4	P35749	IEKPAGPPGILALLDEE	LB	LB	IB	LB	NA	
Bazo 4	HLA class II, DR alpha chain		IKEEHVIIQAE	LB	LB	IB	LB	NA
Bazo 4	P0C058	ILELAGNAARDN	HB	IB	HB	HB	DRB1*01:01	
Bazo 4	P17813	ILEWAAERGPITSAA	IB	IB	IB	IB	DRB1*03:01	
Bazo 4	P50443	ILGDVMSGLIVGILLV	IB	HB	HB	HB	DRB1*03:01	
Bazo 4	P35749	INPYKNLPIYSEE	IB	IB	IB	IB	DRB1*01:01	
Bazo 4	P05089	INTPLTTSGNLHGQP	LB	IB	IB	IB	DRB1*03:01	
Bazo 4	P05089	INTPLTTSGNLHGQPVS	LB	IB	IB	IB	DRB1*03:01	
Bazo 4	P01040	IPGGLSEAKPATPEIQE	LB	LB	HB	LB	NA	
Bazo 4	Q14624	IQAPSAILPLPGQSVER	HB	HB	HB	HB	DRB1*01:01	
Bazo 4	P35754	IQDYLQQLTGARTVPR	HB	HB	HB	HB	DRB1*01:01	
Bazo 4	P18428	ISDYVFNTASLVYH	HB	HB	HB	HB	DRB1*01:01/DRB1*03:01	
Bazo 4	P18428	ISDYVFNTASLVYHEE	HB	HB	HB	HB	DRB1*01:01/DRB1*03:01	
Bazo 4	P09496	ISLKQAPLVH	LB	LB	HB	LB	NA	
Bazo 4	Q01082	ISVETEDNKEK	LB	LB	HB	LB	NA	
Bazo 4	O00560	ITSIVKDSSAARNG	HB	HB	HB	HB	DRB1*03:01	
Bazo 4	P01009	KAVLTIDEKGTEA	LB	HB	HB	HB	DRB1*03:01	
Bazo 4	P01009	KAVLTIDEKGTEAA	IB	HB	HB	HB	DRB1*03:01	

Muestra	AC.Number	Péptido	N ¹	P ²	M ³	F ⁴	Asignación
Bazo 4	Ig heavy	KBTLYLQMNSL	LB	LB	LB	LB	NA
Bazo 4	Ig heavy	KBTLYLQMNSLRAEBT	HB	HB	HB	HB	DRB1*01:01
Bazo 4	Q05516	KHSSEESGYAS	LB	LB	LB	LB	NA
Bazo 4	Q9Y6R7	KNTGREEFLTA	LB	LB	LB	LB	NA
Bazo 4	Ig heavy	KNTLYLQMNSLRAEDT	HB	HB	HB	HB	DRB1*01:01
Bazo 4	Q9H3G5	KYVPAIAHLIHS	HB	HB	HB	HB	DRB1*01:01
Bazo 4	HLA class II, DR alpha chain	LANIAVDKANLEIM	IB	IB	HB	IB	DRB1*03:01
Bazo 4	P46940	LFKLGLAPQIQDL	HB	HB	HB	HB	DRB1*01:01
Bazo 4	P02768	LGEYKFQNALLVRYT	HB	HB	HB	HB	DRB1*01:01
Bazo 4	Q8WVY7	LKVKGKPAENDVKLGALKLP	IB	IB	IB	IB	DRB1*03:01
Bazo 4	O75366	LLDTWDQVF	LB	LB	IB	LB	NA
Bazo 4	P15104	LNETGDEPFQYKN	LB	LB	IB	LB	NA
Bazo 4	P10253	LPSQYITGLAEHLSPL	HB	HB	HB	HB	DRB1*01:01
Bazo 4	Ig heavy	LQMNSLRAEDT	IB	IB	HB	IB	DRB1*01:01/DRB1*03:01
Bazo 4	Q8ND23	LQQGLVTSSAEQM	IB	HB	HB	HB	DRB1*03:01
Bazo 4	Q8ND23	LQQGLVTSSAEQML	IB	HB	HB	HB	DRB1*03:01
Bazo 4	Q02446	LQQGQQTSQDQE	LB	LB	IB	LB	NA
Bazo 4	P02649	LSKELQAAQARLGADM	HB	IB	HB	HB	DRB1*01:01
Bazo 4	P02649	LSKELQAAQARLGADME	HB	IB	HB	HB	DRB1*01:01
Bazo 4	P02649	LSKELQAAQARLGADMED	HB	IB	HB	HB	DRB1*01:01
Bazo 4	P00915	LSNVEGDNAVPMQHNN	LB	HB	HB	HB	DRB1*03:01
Bazo 4	Q9Y279	LSTLEMDDRSHYT	HB	HB	HB	HB	DRB1*03:01
Bazo 4	Q9UJW0	LTLTNPVENLTHVTL	LB	IB	HB	NA	DRB1*01:01
Bazo 4	P19105	LTTMGDRFTDE	LB	LB	IB	LB	NA
Bazo 4	Ig heavy	MNSLRAEDT	LB	LB	HB	LB	NA
Bazo 4	P35749	NADGSEEETDTRDADFN	LB	LB	LB	LB	NA
Bazo 4	P35749	NADGSEEETDTRDADFNGTK	LB	LB	LB	LB	NA
Bazo 4	P35749	NADGSEEETDTRDADFGNTKASE	LB	LB	LB	LB	NA
Bazo 4	P05186	NNYQAQSAVPLRH	HB	HB	HB	HB	DRB1*01:01
Bazo 4	Q08EQ4	NPLPSKETIEQ	LB	LB	IB	LB	NA
Bazo 4	Q14624	NPLVVVHASPEHVVVT	HB	HB	HB	HB	DRB1*01:01
Bazo 4	Ig heavy	NTLYLNMMNSLRAEDT	HB	HB	HB	HB	DRB1*01:01
Bazo 4	Ig heavy	NTLYLNMMNSLRAEDTA	HB	HB	HB	HB	DRB1*01:01
Bazo 4	Ig heavy	NTLYLQMNSLRAEDT	HB	HB	HB	HB	DRB1*01:01
Bazo 4	Ig heavy	NTLYLQMNSLRAEDTA	HB	HB	HB	HB	DRB1*01:01
Bazo 4	Q6AWC2	PEDSSCTEDLSSC	LB	LB	LB	LB	NA
Bazo 4	O60602	QNRFSSCSGDQTPSENPSLE	LB	LB	IB	LB	NA
Bazo 4	Q8N423	QPEDGVEMDTRAASEAPQ	HB	HB	HB	HB	DRB1*03:01
Bazo 4	P00740	QSTQSFNDFTRVVGGEDAKP	LB	LB	HB	LB	NA
Bazo 4	P12829	RALGQNPTNAEVL	LB	LB	HB	LB	NA
Bazo 4	Q9Y6L6	RPKLIGIGCFIM	IB	HB	HB	HB	DRB1*01:01/DRB1*03:01
Bazo 4	Q9H4G4	RYFPAGNVVNEGFF	IB	IB	HB	IB	DRB1*01:01
Bazo 4	P11021	SAGPPPTGEEDTAEKDE	LB	LB	IB	LB	NA
Bazo 4	P11021	SAGPPPTGEEDTAEKDEL	LB	LB	IB	LB	NA

Muestra	AC.Number	Péptido	N ¹	P ²	M ³	F ⁴	Asignación
Bazo 4	P35749	SDEEVDGKADGAEAKPAE	LB	LB	LB	LB	NA
Bazo 4	P02741	SDTSYVSLKAPLT	HB	HB	HB	HB	DRB1*01:01
Bazo 4	P02741	SDTSYVSLKAPLTK	HB	HB	HB	HB	DRB1*01:01
Bazo 4	P02741	SDTSYVSLKAPLTKP	HB	HB	HB	HB	DRB1*01:01
Bazo 4	P02741	SDTSYVSLKAPLTKPL	HB	HB	HB	HB	DRB1*01:01
Bazo 4	P02741	SDTSYVSLKAPLTKPLK	HB	HB	HB	HB	DRB1*01:01
Bazo 4	P35749	SEEETDTRDADFNGTKASE	LB	LB	HB	LB	NA
Bazo 4	Ig heavy	SKNTLYLQMNSLRAEDT	HB	HB	HB	HB	DRB1*01:01
Bazo 4	P01024	SPMYSIITPNILRLE	HB	HB	HB	HB	DRB1*01:01/DRB1*03:01
Bazo 4	P18206	SSPVAMQKAQQVSGQ	HB	HB	HB	HB	DRB1*01:01
Bazo 4	P19320	STQTLYVNVAAPRDTT	IB	HB	HB	HB	DRB1*01:01
Bazo 4	P19320	STQTLYVNVAAPRDTTV	IB	HB	HB	HB	DRB1*01:01
Bazo 4	P14625	TDEEEETAKESTAEKDEL	LB	LB	IB	LB	NA
Bazo 4	P11226	TEGQFVDLTGNRLTYT	HB	HB	HB	HB	DRB1*01:01
Bazo 4	P25774	TGKLVLSAQNLVD	HB	HB	HB	HB	DRB1*01:01
Bazo 4	Ig heavy	TLYLQMNSLRAEDTA	HB	HB	HB	HB	DRB1*01:01
Bazo 4	P06744	TPILVDGKDVMPE	IB	HB	HB	HB	DRB1*03:01
Bazo 4	P02741	TSYVSLKAPLTKP	HB	HB	HB	HB	DRB1*01:01
Bazo 4	P02741	TSYVSLKAPLTKPL	HB	HB	HB	HB	DRB1*01:01
Bazo 4	P30043	TTDEYDGHSTYPHSHQYQ	LB	LB	IB	LB	NA
Bazo 4	P27105	TTIAAEKNSTIVFPLPIDML	IB	HB	HB	HB	DRB1*01:01/DRB1*03:01
Bazo 4	P19105	TTMGDRFTDE	LB	LB	LB	LB	NA
Bazo 4	P60660	TVAKNQDQGTYED	LB	LB	IB	LB	NA
Bazo 4	P35749	VADLWKDVDR	LB	LB	IB	LB	NA
Bazo 4	P35749	VDGKADGAEAKPAE	LB	LB	LB	LB	NA
Bazo 4	P35749	VDKNFINSPVAQAD	IB	IB	HB	IB	DRB1*01:01/DRB1*03:01
Bazo 4	O00560	VDKVIQAQTAFSANPA	HB	HB	HB	HB	DRB1*01:01/DRB1*03:01
Bazo 4	O00560	VDKVIQAQTAFSANPAN	HB	HB	HB	HB	DRB1*01:01/DRB1*03:01
Bazo 4	O00560	VDKVIQAQTAFSANPANA	HB	HB	HB	HB	DRB1*01:01/DRB1*03:01
Bazo 4	Q9Y6R7	VDLKNTGREEFLTA	LB	IB	HB	NA	DRB1*03:01
Bazo 4	POC058	VLEYLTAEILELAGNAAR	HB	HB	HB	HB	DRB1*01:01
Bazo 4	P46531	VPNQYNPLRGSVAPGP	HB	HB	HB	HB	DRB1*01:01/DRB1*03:01
Bazo 4	P02671	VSETESRGSESGIFTNT	LB	LB	IB	LB	NA
Bazo 4	P60660	VTLGEKMTEEE	LB	HB	IB	NA	DRB1*03:01
Bazo 4	P35749	VVINPYKNLPIYSEE	IB	HB	HB	HB	DRB1*01:01
Bazo 4	P35749	WKDVDRIIGLDQ	LB	LB	HB	LB	NA
Bazo 4	P60660	YEAFVRHILSG	LB	IB	HB	NA	DRB1*01:01
Bazo 4	P46940	YLFKLGALPQIQDL	HB	HB	HB	HB	DRB1*01:01
Bazo 4	Ig heavy	YLQMNSLRAEBT	HB	HB	HB	HB	DRB1*01:01
Bazo 4	Ig heavy	YLQMNSLRAED	HB	HB	HB	HB	DRB1*01:01
Bazo 4	Ig heavy	YLQMNSLRAEDT	HB	HB	HB	HB	DRB1*01:01
Bazo 4	Ig heavy	YLQMNSLRAEDTA	HB	HB	HB	HB	DRB1*01:01
Bazo 4	Ig heavy	YLQMNSLRVEDT	HB	HB	HB	HB	DRB1*01:01
Bazo 4	O75955	YQEAAQLDML	LB	LB	IB	LB	NA

Muestra	AC.Number	Péptido	N ¹	P ²	M ³	F ⁴	Asignación
Bazo 4	HLA class II, DP alpha chain	YVDLDKKETVWH YVLLAYLTAQPAPTS	IB	HB	HB	HB	DRB1*03:01
Bazo 4	P01023		HB	HB	HB	HB	DRB1*01:01

N¹: NetMHCIIpan; P²: Propred; M³: Manual; F⁴: Asignación teórica de afinidad final

Anexo 2.1. Tabla de contaminantes unidos inespecíficamente a precolumna

Proteína	Masa (Da)	Carga peptídica	Péptido	Nº aa's	Xcorr
Glyceraldehyde-3-p-dehydrogenase	2962.35	3	ISWYDNEFGYSNRVVDLMAHMASKE	25	5,105
Protein S100-A8	1688.91	2	MLTELEKALNSIIDV	15	2,605
Protein S100-A8	2367.23	3	MLTELEKALNSIIDVYHKYS	20	5,704
Protein S100-A8	2480.31	3	MLTELEKALNSIIDVYHKYSL	21	6,935
Protein S100-A8	2721.49	4	MLTELEKALNSIIDVYHKYSLIK	23	3,279
Protein S100-A8	3176.68	4	MLTELEKALNSIIDVYHKYSLIKGNFH	27	5,707
Protein S100-A8	3665.95	5	MLTELEKALNSIIDVYHKYSLIKGNFHAVYR	31	3,816
Cofilin-1	3649.89	4	TYETKESKKEDLVFIFWAPESAPLKSKMIYA	31	4,713
Actin, aortic smooth muscle	1577.81	2	SLEKSYELPDGQVI	14	2,677
Hemoglobin subunit beta	1308.71	2	LVVYPWTQRF	10	2,429
Hemoglobin subunit beta	1494.82	2	VHLTPEEKSAVTAL	14	3.04
Hemoglobin subunit beta	1737.92	2	VHLTPEEKSAVTALWG	16	3,704
Hemoglobin subunit beta	1798.94	2	WGKVNVDVGGEALGRL	17	4,936
Hemoglobin subunit beta	2161.19	3	VGGEALGRLLVVYPWTQRF	19	3,497
Hemoglobin subunit beta	2845.54	3	KVNVDVGGEALGRLLVVYPWTQRF	25	6,913
Hemoglobin subunit beta	2937.57	4	KEFTPPVQAAYQKVVAGVANALAHKYH	27	5,279
Hemoglobin subunit beta	3274.74	3	VHLTPEEKSAVTALWGKVNDEVGGEALGRL	31	7,451
Hemoglobin subunit beta	3387.83	3	VHLTPEEKSAVTALWGKVNDEVGGEALGRLL	32	8,047
Hemoglobin subunit beta	3486.9	3	VHLTPEEKSAVTALWGKVNDEVGGEALGRLLV	33	5.98
Hemoglobin subunit beta	3698.97	5	VLAHHFGKEFTPVQAAYQKVVAGVANALAHKYH	34	4,591
Hemoglobin subunit alpha	1240.69	2	SVSTVLTSKYR	11	2,734
Hemoglobin subunit alpha	2086.15	3	ASLDKFLASVSTVLTSKYR	19	4,679
Hemoglobin subunit alpha	2792.5	3	AAHLPAEFTPAVHASLDKFLASVSTVL	27	3,329
Hemoglobin subunit alpha	2905.58	3	LAAHLPAEFTPAVHASLDKFLASVSTVL	28	3,746
Hemoglobin subunit alpha	3356.8	5	AHLPAEFTPAVHASLDKFLASVSTVLTSKYR	31	4,381
Hemoglobin subunit alpha	3218.78	3	LVTAAHLPAEFTPAVHASLDKFLASVSTVL	31	4,468
Hemoglobin subunit alpha	3195.65	4	VLSPADKTNVKAAGKVGGAHAGEYGAELER	31	3,652
Hemoglobin subunit alpha	3427.84	4	AAHLPAEFTPAVHASLDKFLASVSTVLTSKYR	32	3,464
Hemoglobin subunit alpha	3326.7	4	VLSPADKTNVKAAGKVGGAHAGEYGAELERM	32	4,623
Hemoglobin subunit alpha	3473.76	3	VLSPADKTNVKAAGKVGGAHAGEYGAELERMF	33	6,727
Hemoglobin subunit alpha	3540.92	4	LAAHLPAEFTPAVHASLDKFLASVSTVLTSKYR	33	5,209
Hemoglobin subunit alpha	3586.85	3	VLSPADKTNVKAAGKVGGAHAGEYGAELERMFL	34	7,005
Hemoglobin subunit alpha	3741.04	5	VTLAAHLPAEFTPAVHASLDKFLASVSTVLTSKYR	35	3.86
Hemoglobin subunit alpha	3854.12	5	LVTAAHLPAEFTPAVHASLDKFLASVSTVLTSKYR	36	3,105
Hemoglobin subunit alpha	3820.95	4	VLSPADKTNVKAAGKVGGAHAGEYGAELERMFLSF	36	3,114

Anexo 2.2. Tabla de las secuencias peptídicas asociadas a HLA-DR obtenidas de las muestras de bazo

M ^a	Ac. Number	Proteína	Péptido	T ^b	L ^c	Core	B ^d	R ^e
Bazo1	P10809	60 kDa heat shock protein, mitochondrial	ARALMLQGV DLLADA	15	mit	LMLQGV DLL	IB	5
Bazo1	P10809	60 kDa heat shock protein, mitochondrial	DARALMLQGV DLLADA	16	mit	LMLQGV DLL	IB	6
Bazo1	P10809	60 kDa heat shock protein, mitochondrial	GADARALMLQGV DLLADA	18	mit	LMLQGV DLL	IB	1
Bazo1	P11021	78 kDa glucose-regulated protein	DNGVFEVVATNGDTH	15	ER	FEVVATNGD	HB	2
Bazo1	P11021	78 kDa glucose-regulated protein	GVFEVVATNGDTH	13	ER	FEVVATNGD	HB	2
Bazo1	P11021	78 kDa glucose-regulated protein	GVFEVVATNGDTHLG	15	ER	FEVVATNGD	HB	2
Bazo1	P11021	78 kDa glucose-regulated protein	IDNGVFEVVATNGDTHLG	18	ER	FEVVATNGD	HB	1
Bazo1	P11021	78 kDa glucose-regulated protein	IDNGVFEVVATNGDTHLGG	19	ER	FEVVATNGD	HB	1
Bazo1	P11021	78 kDa glucose-regulated protein	SAGPPPTGEEDTAEKDEL	18	ER	TGEEDTAEK	LB	1
Bazo1	Q9UNAO	A disintegrin and metalloproteinase with thrombospondin motifs 5	GRAALASQLLDQSALS	16	E/EM	LASQLLDQS	LB	1
Bazo1	Q9UNAO	A disintegrin and metalloproteinase with thrombospondin motifs 5	GRAALASQLLDQSALSPA	18	E/EM	LASQLLDQS	LB	2
Bazo1	Q9UNAO	A disintegrin and metalloproteinase with thrombospondin motifs 5	GRAALASQLLDQSALSPAGGSGP	23	E/EM	LASQLLDQS	LB	1
Bazo1	Q9UNAO	A disintegrin and metalloproteinase with thrombospondin motifs 5	RAALASQLLDQSAL	14	E/EM	LASQLLDQS	LB	4
Bazo1	P07741	Adenine phosphoribosyltransferase	KAELEIQKDALEPG	14	C	LEIQKDALE	NA	1
Bazo1	P00568	Adenylate kinase isoenzyme 1	EKGQLVPLETVLDM	15	C	LPLETVLD	HB	2
Bazo1	Q9NZ52	ADP-ribosylation factor-binding protein GGA3	SLGDILQASDNLSR	14	Lis/End	ILQASDNLS	IB	1
Bazo1	Q9NVJ2	ADP-ribosylation factor-like protein 8B	VNAIVYMIAADR	13	Lis/End	IVYMIAAD	HB	1
Bazo1	P05186	Alkaline phosphatase, tissue-nonspecific isozyme	DIAYQLMHNIRDID	14	M	YQLMHNIRD	HB	1
Bazo1	P02765	Alpha-2-HS-glycoprotein	GVVSLGPSGEVSHP	15	E/EM	VVSLGPSG	HB	1
Bazo1	P02765	Alpha-2-HS-glycoprotein	DLRHTFMGVVSLGPS	16	E/EM	VVSLGPSG/FMGVVSLGS	HB	1
Bazo1	P02765	Alpha-2-HS-glycoprotein	DLRHTFMGVVSLGPSG	17	E/EM	VVSLGPSG/FMGVVSLGS	HB	1
Bazo1	P02765	Alpha-2-HS-glycoprotein	DLRHTFMGVVSLGPSGE	18	E/EM	VVSLGPSG/FMGVVSLGS	HB	2
Bazo1	P02765	Alpha-2-HS-glycoprotein	DLRHTFMGVVSLGPSGEVS	20	E/EM	VVSLGPSG/FMGVVSLGS	HB	9
Bazo1	P02765	Alpha-2-HS-glycoprotein	LRHTFMGVVSLGPS	15	E/EM	VVSLGPSG/FMGVVSLGS	HB	1
Bazo1	P02765	Alpha-2-HS-glycoprotein	LRHTFMGVVSLGPSGEVS	19	E/EM	VVSLGPSG/FMGVVSLGS	HB	2
Bazo1	P02765	Alpha-2-HS-glycoprotein	YDLRHTFMGVVSLGPSG	18	E/EM	VVSLGPSG/FMGVVSLGS	HB	2
Bazo1	P02765	Alpha-2-HS-glycoprotein	YDLRHTFMGVVSLGPSGE	19	E/EM	VVSLGPSG/FMGVVSLGS	HB	4
Bazo1	P02765	Alpha-2-HS-glycoprotein	YDLRHTFMGVVSLGPSGEVS	21	E/EM	VVSLGPSG/FMGVVSLGS	HB	19
Bazo1	P02765	Alpha-2-HS-glycoprotein	YDLRHTFMGVVSLGPSGEVSHP	23	E/EM	VVSLGPSG/FMGVVSLGS	HB	7
Bazo1	P01023	Alpha-2-macroglobulin	ASPAFLAVPVEKEQAPH	17	E/EM	FLAVPVEKE	HB	4
Bazo1	P01023	Alpha-2-macroglobulin	SPAFLAVPVEKEQAPH	16	E/EM	FLAVPVEKE	HB	1
Bazo1	P01023	Alpha-2-macroglobulin	VDLSFSPSQSLPASH	15	E/EM	FSPSQSLPA	IB	1

M ^a	Ac. Number	Proteína	Péptido	T ^b	L ^c	Core	B ^d	R ^e
Bazo1	P06733	Alpha-enolase	GVPLYRHIAADLAGNSE	16	C	YRHIAADLAG	HB	7
Bazo1	P06733	Alpha-enolase	VPLYRHIAADLAGNSE	15	C	YRHIAADLAG	HB	7
Bazo1	P02652	Apolipoprotein A-II	VSQYFQTVTDYGKD	14	E/EM	YFQTVTDYG	HB	2
Bazo1	P04114	Apolipoprotein B-100	EANTYLNKSTRSSVK	16	E/EM	YLNSKSTRS/YLNSKSTRS	IB	1
Bazo1	P04114	Apolipoprotein B-100	LPYTIITTPPLK	12	E/EM	YTIITTPPL	HB	2
Bazo1	P04114	Apolipoprotein B-100	PYTIITTPPLK	11	E/EM	YTIITTPPL	HB	2
Bazo1	P04114	Apolipoprotein B-100	PYTIITPPPLKDF	13	E/EM	YTIITTPPL	HB	1
Bazo1	O95352	Autophagy-related protein 7	GDPGLSKLQFAPFSSALDVG	20	C	FAPFSSALD	HB	2
Bazo1	O95352	Autophagy-related protein 7	GLSKLQFAPFSSALDVG	17	C	FAPFSSALD	HB	2
Bazo1	O95352	Autophagy-related protein 7	PGLSKLQFAPFSSALDVG	18	C	FAPFSSALD	HB	1
Bazo1	O95352	Autophagy-related protein 7	SKLQFAPFSSALDVG	15	C	FAPFSSALD	HB	4
Bazo1	O95352	Autophagy-related protein 7	SKLQFAPFSSALDVG	16	C	FAPFSSALD	HB	1
Bazo1	P98160	Basement membrane-specific heparan sulfate proteoglycan core protein	TPYSFLPLPTIKD	13	E/EM	FLPLPTIKD	HB	1
Bazo1	P98160	Basement membrane-specific heparan sulfate proteoglycan core protein	TPYSFLPLPTIKDA	14	E/EM	FLPLPTIKD	HB	5
Bazo1	P98160	Basement membrane-specific heparan sulfate proteoglycan core protein	TPYSFLPLPTIKDAY	15	E/EM	FLPLPTIKD	HB	2
Bazo1	P98160	Basement membrane-specific heparan sulfate proteoglycan core protein	TPYSFLPLPTIKDAYR	16	E/EM	FLPLPTIKD	HB	4
Bazo1	P98160	Basement membrane-specific heparan sulfate proteoglycan core protein	TPYSFLPLPTIKDAYRK	17	E/EM	FLPLPTIKD	HB	11
Bazo1	P15291	Beta-1,4-galactosyltransferase 1	LPQLVGVSTPLQQGS	15	g	LVGVSTPLQ/LGVGVSTPLQ	HB	2
Bazo1	P15291	Beta-1,4-galactosyltransferase 1	RLPQLVGVSTPLQQGSN	17	g	LVGVSTPLQ/LGVGVSTPLQ	HB	1
Bazo1	P15291	Beta-1,4-galactosyltransferase 1	SRLPQLVGVSTPLQQGSN	18	g	LVGVSTPLQ/LGVGVSTPLQ	HB	1
Bazo1	P15291	Beta-1,4-galactosyltransferase 1	DGLNSLTQVLDVQRYPL	18	g	YQVLVDVQRY	IB	2
Bazo1	P15291	Beta-1,4-galactosyltransferase 1	GLNSLTQVLDVQRYPL	17	g	YQVLVDVQRY	IB	3
Bazo1	P15291	Beta-1,4-galactosyltransferase 1	LNSLTQVLDVQRYP	15	g	YQVLVDVQRY	IB	2
Bazo1	P15291	Beta-1,4-galactosyltransferase 1	LNSLTQVLDVQRYPL	16	g	YQVLVDVQRY	IB	1
Bazo1	P61769	Beta-2-microglobulin	YTEFTPTEKDE	11	E/EM	YTEFTPTEK	LB	1
Bazo1	P61769	Beta-2-microglobulin	FYLLYYTEFTPTEKDE	16	E/EM	YYTEFTPTE	HB	4
Bazo1	P61769	Beta-2-microglobulin	FYLYYYTEFTPTEKDEYA	18	E/EM	YYTEFTPTE	HB	3
Bazo1	P61769	Beta-2-microglobulin	LLYYTEFTPTEKD	13	E/EM	YYTEFTPTE	HB	1
Bazo1	P61769	Beta-2-microglobulin	LLYYTEFTPTEKDE	14	E/EM	YYTEFTPTE	HB	3
Bazo1	P61769	Beta-2-microglobulin	LLYYTEFTPTEKDEYA	16	E/EM	YYTEFTPTE	HB	1
Bazo1	P61769	Beta-2-microglobulin	LYYYTEFTPTEKDE	13	E/EM	YYTEFTPTE	HB	2
Bazo1	P61769	Beta-2-microglobulin	YLYYYTEFTPTEKDE	15	E/EM	YYTEFTPTE	HB	4
Bazo1	P61769	Beta-2-microglobulin	YLYYYTEFTPTEKDEY	16	E/EM	YYTEFTPTE	HB	3
Bazo1	P61769	Beta-2-microglobulin	YLYYYTEFTPTEKDEYA	17	E/EM	YYTEFTPTE	HB	4

M ^a	Ac. Number	Proteína	Péptido	T ^b	L ^c	Core	B ^d	R ^e
Bazo1	P61769	Beta-2-microglobulin	YYTEFTPTEKDE	12	E/EM	YYTEFTPTE	HB	4
Bazo1	P61769	Beta-2-microglobulin	YYTEFTPTEKDEYA	14	E/EM	YYTEFTPTE	HB	1
Bazo1	P16278	Beta-galactosidase	SPYAAQPTSYDYL	16	Lis/End	YAAQPTSYD	HB	2
Bazo1	Q9Y5Z0	Beta-secretase 2	DTGSSNFAVAGTPHSYIDT	19	Lis/End	FAVAGTPHS	HB	1
Bazo1	P31939	Bifunctional purine biosynthesis protein PURH	SGVAYIAAPSGAADK	16	C	YIAAPSGSA	IB	2
Bazo1	P55287	Cadherin-11	DNPPKFPQSVYQMSVSEAAVPGE	24	M	YQMSVSEAA/YQMSVSEAA	HB	1
Bazo1	P19022	Cadherin-2	KPGTYVMTVTAIDADDPN	18	M	YVMTVTAID/YVMTVTAID	HB	2
Bazo1	P19022	Cadherin-2	SKPGTYVMTVTAIDADDPN	19	M	YVMTVTAID/YVMTVTAID	HB	1
Bazo1	P19022	Cadherin-2	VPEGSKPGTYVMTVTAIDADDPN	23	M	YVMTVTAID/YVMTVTAID	HB	2
Bazo1	P33151	Cadherin-5	DYQDAFTIETNPNAHNEG	17	M	FTIETNPNAH	HB	1
Bazo1	P33151	Cadherin-5	YQDAFTIETNPNAHNEG	16	M	FTIETNPNAH	HB	2
Bazo1	Q15417	Calponin-3	YDQKLTQLPVNDSTIS	16	E/EM	LTLQPVDNS	HB	1
Bazo1	P27797	Calreticulin	GGGYVKLFPNSLDQ	14	ER	VKLFPNSLD	HB	3
Bazo1	P27797	Calreticulin	GGGYVKLFPNSLDQ	17	ER	VKLFPNSLD	HB	2
Bazo1	P27797	Calreticulin	GGYVKLFPNSLDQ	13	ER	VKLFPNSLD	HB	4
Bazo1	P27797	Calreticulin	GYVKLFPNSLDQ	12	ER	VKLFPNSLD	HB	1
Bazo1	P00915	Carbonic anhydrase 1	AQFRSLLSNEVGDN	14	C	FRSLLSNVE/FRSLLSNVE	HB	1
Bazo1	P00915	Carbonic anhydrase 1	FRSLLSNVEGDN	12	C	FRSLLSNVE/FRSLLSNVE	HB	1
Bazo1	P00915	Carbonic anhydrase 1	LAQFRSLLSNEVG	13	C	FRSLLSNVE/FRSLLSNVE	HB	1
Bazo1	P00915	Carbonic anhydrase 1	QLAQFRSLLSNEVG	14	C	FRSLLSNVE/FRSLLSNVE	HB	3
Bazo1	P00915	Carbonic anhydrase 1	QLAQFRSLLSNEGDN	16	C	FRSLLSNVE/FRSLLSNVE	HB	1
Bazo1	P00915	Carbonic anhydrase 1	SEQLAQFRSLLSNEGDN	18	C	FRSLLSNVE/FRSLLSNVE	HB	1
Bazo1	O75976	Carboxypeptidase D	DQFVQITDPTQPE	13	M	FVQITDPTQ	HB	1
Bazo1	O75976	Carboxypeptidase D	VPGTYKITASARGYNPV	17	M	YKITASARG	IB	2
Bazo1	P14384	Carboxypeptidase M	IPEFKYVANMHGDET	15	M	FKYVANMHG/FKYVANMHG	HB	1
Bazo1	Q8N3K9	Cardiomyopathy-associated protein 5	PTEKKDNLENRSY	13	Lis/End	KDNLENRSY	LB	1
Bazo1	P07858	Cathepsin B	GYNSYSVSNSEKDIMA	17	Lis/End	YNSYSVSNS	HB	1
Bazo1	P07858	Cathepsin B	YNSYSVSNSEKDI	13	Lis/End	YNSYSVSNS	HB	1
Bazo1	P07339	Cathepsin D	DQNIFSFLSRDPDAQPGGEL	21	Lis/End	FYLSRDPDA	IB	1
Bazo1	Q9UBX1	Cathepsin F	LPSNAYSIAKNLGG	14	Lis/End	YSAIKNLGG	HB	1
Bazo1	Q9UBX1	Cathepsin F	LPSNAYSIAKNLGGLETEDD	20	Lis/End	YSAIKNLGG	HB	2
Bazo1	P07711	Cathepsin L1	VGPISVAIDAGHES	14	Lis/End	VGPISVAID	HB	1
Bazo1	P07711	Cathepsin L1	VGPISVAIDAGHESFL	16	Lis/End	VGPISVAID	HB	2
Bazo1	P07711	Cathepsin L1	AFQYVQDNGGLD	12	Lis/End	YVQDNGGLD	HB	2

M ^a	Ac. Number	Proteína	Péptido	T ^b	L ^c	Core	B ^d	R ^e
Bazo1	P07711	Cathepsin L1	AFQYVQDNGGLDS	13	Lis/End	YVQDNGGLD	HB	2
Bazo1	P07711	Cathepsin L1	DYAFQYVQDNGGLD	14	Lis/End	YVQDNGGLD	HB	2
Bazo1	P07711	Cathepsin L1	DYAFQYVQDNGGLDSEE	17	Lis/End	YVQDNGGLD	HB	3
Bazo1	P07711	Cathepsin L1	DYAFQYVQDNGGLDSEES	18	Lis/End	YVQDNGGLD	HB	1
Bazo1	P07711	Cathepsin L1	GGLMDYAFQYVQDNGGLD	18	Lis/End	YVQDNGGLD	HB	1
Bazo1	P07711	Cathepsin L1	LMDYAFQYVQDNGGLDSEE	19	Lis/End	YVQDNGGLD	HB	2
Bazo1	P07711	Cathepsin L1	LMDYAFQYVQDNGGLDSEES	20	Lis/End	YVQDNGGLD	HB	2
Bazo1	P07711	Cathepsin L1	MDYAFQYVQDNGGLD	15	Lis/End	YVQDNGGLD	HB	3
Bazo1	P07711	Cathepsin L1	MDYAFQYVQDNGGLDS	16	Lis/End	YVQDNGGLD	HB	2
Bazo1	P07711	Cathepsin L1	MDYAFQYVQDNGGLDSEE	18	Lis/End	YVQDNGGLD	HB	4
Bazo1	P07711	Cathepsin L1	MDYAFQYVQDNGGLDSEES	19	Lis/End	YVQDNGGLD	HB	2
Bazo1	P07711	Cathepsin L1	YAFQYVQDNGGLDS	14	Lis/End	YVQDNGGLD	HB	1
Bazo1	P25774	Cathepsin S	FMTTAFQYIIDNKGIDS	17	Lis/End	FQYIIDNKG	HB	1
Bazo1	P25774	Cathepsin S	MTTAFQYIIDNKGID	15	Lis/End	FQYIIDNKG	HB	1
Bazo1	P25774	Cathepsin S	TAFQYIIDNKGID	13	Lis/End	FQYIIDNKG	HB	3
Bazo1	P25774	Cathepsin S	TAFQYIIDNKGIDS	14	Lis/End	FQYIIDNKG	HB	2
Bazo1	P25774	Cathepsin S	TAFQYIIDNKGIDSD	15	Lis/End	FQYIIDNKG	HB	1
Bazo1	P25774	Cathepsin S	TAFQYIIDNKGIDSAS	17	Lis/End	FQYIIDNKG	HB	1
Bazo1	P25774	Cathepsin S	TAFQYIIDNKGIDSASPYK	21	Lis/End	FQYIIDNKG	HB	1
Bazo1	P25774	Cathepsin S	TTAFQYIIDNKG	12	Lis/End	FQYIIDNKG	HB	1
Bazo1	P25774	Cathepsin S	TTAFQYIIDNKGID	14	Lis/End	FQYIIDNKG	HB	2
Bazo1	P25774	Cathepsin S	TTAFQYIIDNKGIDS	15	Lis/End	FQYIIDNKG	HB	2
Bazo1	P25774	Cathepsin S	TTAFQYIIDNKGIDSD	16	Lis/End	FQYIIDNKG	HB	5
Bazo1	P25774	Cathepsin S	TTAFQYIIDNKGIDSADA	17	Lis/End	FQYIIDNKG	HB	2
Bazo1	P25774	Cathepsin S	TTAFQYIIDNKGIDSAS	21	Lis/End	FQYIIDNKG	HB	2
Bazo1	P25774	Cathepsin S	TTAFQYIIDNKGIDSASPYK	22	Lis/End	FQYIIDNKG	HB	2
Bazo1	P11717	Cation-independent mannose-6-phosphate receptor	GPLKFLHQDIDSGQG	15	Lis/End	FLHQDIDSG	IB	4
Bazo1	P11717	Cation-independent mannose-6-phosphate receptor	GPLKFLHQDIDSGQGI	16	Lis/End	FLHQDIDSG	IB	1
Bazo1	P11717	Cation-independent mannose-6-phosphate receptor	GPLKFLHQDIDSGQQGIR	17	Lis/End	FLHQDIDSG	IB	2
Bazo1	P00450	Ceruloplasmin	DKEFYLPTVFDEN	14	E/EM	FYLFPTVFD	HB	1
Bazo1	P00450	Ceruloplasmin	DVDKEFYLPTVFD	14	E/EM	FYLFPTVFD	HB	2
Bazo1	P00450	Ceruloplasmin	DVDKEFYLPTVFDEN	16	E/EM	FYLFPTVFD	HB	1
Bazo1	P00450	Ceruloplasmin	DVDKEFYLPTVFDENE	17	E/EM	FYLFPTVFD	HB	4
Bazo1	P00450	Ceruloplasmin	DVDKEFYLPTVFDENES	18	E/EM	FYLFPTVFD	HB	8

M ^a	Ac. Number	Proteína	Péptido	T ^b	L ^c	Core	B ^d	R ^e
Bazo1	P00450	Ceruloplasmin	DVDKEFYLFP-TVFDENESLL	20	E/EM	FYLFPTVFD	HB	1
Bazo1	P00450	Ceruloplasmin	KEFYLFP-TVFDEN	13	E/EM	FYLFPTVFD	HB	1
Bazo1	P00450	Ceruloplasmin	KEFYLFP-TVFDENE	14	E/EM	FYLFPTVFD	HB	3
Bazo1	P00450	Ceruloplasmin	VDKEFYLFP-TVFD	13	E/EM	FYLFPTVFD	HB	3
Bazo1	P00450	Ceruloplasmin	VDKEFYLFP-TVFD E	14	E/EM	FYLFPTVFD	HB	4
Bazo1	P00450	Ceruloplasmin	VDKEFYLFP-TVFDEN	15	E/EM	FYLFPTVFD	HB	5
Bazo1	P00450	Ceruloplasmin	VDKEFYLFP-TVFDENE	16	E/EM	FYLFPTVFD	HB	7
Bazo1	P00450	Ceruloplasmin	VDKEFYLFP-TVFDENES	17	E/EM	FYLFPTVFD	HB	8
Bazo1	P00450	Ceruloplasmin	DNIRMFTTAPDQVDK	15	E/EM	IRMFTTAPD/IRMFTTAPD	HB	2
Bazo1	P00450	Ceruloplasmin	DNIRMFTTAPDQVDK E	16	E/EM	IRMFTTAPD/IRMFTTAPD	HB	2
Bazo1	P00450	Ceruloplasmin	DNIRMFTTAPDQVDKED	17	E/EM	IRMFTTAPD/IRMFTTAPD	HB	1
Bazo1	P00450	Ceruloplasmin	DNIRMFTTAPDQVDKEDE	18	E/EM	IRMFTTAPD/IRMFTTAPD	HB	20
Bazo1	P00450	Ceruloplasmin	DNIRMFTTAPDQVDKEDED	19	E/EM	IRMFTTAPD/IRMFTTAPD	HB	13
Bazo1	P00450	Ceruloplasmin	EDNIRMFTTAPDQVD	15	E/EM	IRMFTTAPD/IRMFTTAPD	HB	2
Bazo1	P00450	Ceruloplasmin	EDNIRMFTTAPDQVDKEDE	19	E/EM	IRMFTTAPD/IRMFTTAPD	HB	4
Bazo1	P00450	Ceruloplasmin	EDNIRMFTTAPDQVDKEDED	20	E/EM	IRMFTTAPD/IRMFTTAPD	HB	5
Bazo1	P00450	Ceruloplasmin	IRMFTTAPDQVDKED	15	E/EM	IRMFTTAPD/IRMFTTAPD	HB	3
Bazo1	P00450	Ceruloplasmin	IRMFTTAPDQVDKEDE	16	E/EM	IRMFTTAPD/IRMFTTAPD	HB	14
Bazo1	P00450	Ceruloplasmin	LEDNIRMFTTAPDQVD	16	E/EM	IRMFTTAPD/IRMFTTAPD	HB	1
Bazo1	P00450	Ceruloplasmin	LEDNIRMFTTAPDQVDK	17	E/EM	IRMFTTAPD/IRMFTTAPD	HB	5
Bazo1	P00450	Ceruloplasmin	LEDNIRMFTTAPDQVDKEDED	21	E/EM	IRMFTTAPD/IRMFTTAPD	HB	1
Bazo1	P00450	Ceruloplasmin	NIRMFTTAPDQVDKEDE	17	E/EM	IRMFTTAPD/IRMFTTAPD	HB	5
Bazo1	P00450	Ceruloplasmin	NIRMFTTAPDQVDKEDED	18	E/EM	IRMFTTAPD/IRMFTTAPD	HB	2
Bazo1	P00450	Ceruloplasmin	DVDKEFYLPTVF	13	E/EM	VDKEFYLFP	LB	2
Bazo1	P00450	Ceruloplasmin	VDKEFYLPTVF	12	E/EM	VDKEFYLFP	LB	3
Bazo1	P00450	Ceruloplasmin	TGDKVVHLKNLASRPYT	18	E/EM	YVHLKNLAS/YVHLKNLAS	HB	3
Bazo1	Q00610	Clathrin heavy chain 1	AIDSYIKADDPSSYM	15	g	IDSYIKADD	IB	2
Bazo1	Q00610	Clathrin heavy chain 1	EAIDSYIKADD	11	g	IDSYIKADD	LB	1
Bazo1	Q00610	Clathrin heavy chain 1	IDSYIKADDPSSYME	15	g	IDSYIKADD	NA	3
Bazo1	P10909	Clusterin	DQYYLRTTVASH	13	E/EM	YLRVTTVAS/YLRVTTVAS	HB	1
Bazo1	P10909	Clusterin	EDQYYLRTTVASHTS	16	E/EM	YLRVTTVAS/YLRVTTVAS	HB	2
Bazo1	P10909	Clusterin	EDQYYLRTTVASHTSD	17	E/EM	YLRVTTVAS/YLRVTTVAS	HB	5
Bazo1	P10909	Clusterin	GEDQYYLRTTVASHTSD	18	E/EM	YLRVTTVAS/YLRVTTVAS	HB	2
Bazo1	P12259	Coagulation factor V	SEKGSYEIIQDTDEDTA	17	E/EM	YEIIQDTDE	HB	1

M ^a	Ac. Number	Proteína	Péptido	T ^b	L ^c	Core	B ^d	R ^e
Bazo1	P00488	Coagulation factor XIII A chain	KGTYIPVPIVSELQ	14	E/EM	YIPVPIVSE	HB	2
Bazo1	P48444	Coatomer subunit delta	VNIEYELQEDNLELND	16	C	YELQEDNLE	HB	4
Bazo1	Q76M96	Coiled-coil domain-containing protein 80	GQILEQPLDPSLIPK	15	E/EM	ILEQPLDPS	LB	1
Bazo1	Q76M96	Coiled-coil domain-containing protein 80	SEGQILEQPLDPSLIPK	17	E/EM	ILEQPLDPS	LB	2
Bazo1	Q14011	Cold-inducible RNA-binding protein	FVTFENIDDAKDA	13	N	FVTFENIDD	HB	1
Bazo1	P02452	Collagen alpha-1(I) chain	LPIIDVAPLDVGAPD	15	E/EM	LPIIDVAPL	NA	3
Bazo1	P02452	Collagen alpha-1(I) chain	RLPIIDVAPLDVGAPD	16	E/EM	LPIIDVAPL	NA	4
Bazo1	P02452	Collagen alpha-1(I) chain	RLPIIDVAPLDVGAPDQE	18	E/EM	LPIIDVAPL	NA	1
Bazo1	P02452	Collagen alpha-1(I) chain	RLPIIDVAPLDVGAPDQEFG	20	E/EM	LPIIDVAPL	NA	3
Bazo1	P02452	Collagen alpha-1(I) chain	SRLPIIDVAPLDVGAPD	17	E/EM	LPIIDVAPL	NA	2
Bazo1	P02452	Collagen alpha-1(I) chain	SRLPIIDVAPLDVGAPDQ	18	E/EM	LPIIDVAPL	NA	1
Bazo1	P02452	Collagen alpha-1(I) chain	SRLPIIDVAPLDVGAPDQE	19	E/EM	LPIIDVAPL	NA	2
Bazo1	P02452	Collagen alpha-1(I) chain	TSRLPIIDVAPLDVGAPD	18	E/EM	LPIIDVAPL	NA	1
Bazo1	Q05707	Collagen alpha-1(XIV) chain	APHPDQPEFTPVQDELEAME	20	E/EM	FTPVQDELE	NA	1
Bazo1	Q05707	Collagen alpha-1(XIV) chain	INGYRIVYNNADG	13	E/EM	YRIVYNNAD/YRIVYNNAD	HB	2
Bazo1	Q05707	Collagen alpha-1(XIV) chain	INGYRIVYNNADGTE	15	E/EM	YRIVYNNAD/YRIVYNNAD	HB	2
Bazo1	P08572	Collagen alpha-2(IV) chain	GIPQKIAVQPGTVGPQG	17	E/EM	VQPGTVGPQ	LB	2
Bazo1	P08572	Collagen alpha-2(IV) chain	IPQKIAVQPGTVGPQ	15	E/EM	VQPGTVGPQ	LB	4
Bazo1	P08572	Collagen alpha-2(IV) chain	IPQKIAVQPGTVGPQG	16	E/EM	VQPGTVGPQ	LB	2
Bazo1	P12111	Collagen alpha-3(VI) chain	AIPTFRQLGTVQQVIS	16	E/EM	FRQLGTVQQ/FRQLGTVQQ	HB	1
Bazo1	P12111	Collagen alpha-3(VI) chain	AIPTFRQLGTVQQVISE	17	E/EM	FRQLGTVQQ/FRQLGTVQQ	HB	2
Bazo1	P12111	Collagen alpha-3(VI) chain	IPTFRQLGTVQQVISER	17	E/EM	FRQLGTVQQ/FRQLGTVQQ	HB	5
Bazo1	P12111	Collagen alpha-3(VI) chain	VAIPTFRQLGTVQQVISE	18	E/EM	FRQLGTVQQ/FRQLGTVQQ	HB	3
Bazo1	P12111	Collagen alpha-3(VI) chain	VAIPTFRQLGTVQQVISER	19	E/EM	FRQLGTVQQ/FRQLGTVQQ	HB	13
Bazo1	P12111	Collagen alpha-3(VI) chain	VAIPTFRQLGTVQQVISERV	20	E/EM	FRQLGTVQQ/FRQLGTVQQ	HB	2
Bazo1	P12111	Collagen alpha-3(VI) chain	ASRAELQHIA TDNNLVFTVPEFRSGFDLQEK	31	E/EM	FRSGFDLQE	HB	3
Bazo1	P12111	Collagen alpha-3(VI) chain	DDNLNVFTVPEFRSGFDLQEK	20	E/EM	FRSGFDLQE	HB	4
Bazo1	P12111	Collagen alpha-3(VI) chain	DDNLNVFTVPEFRSGFDLQEKL	21	E/EM	FRSGFDLQE	HB	2
Bazo1	P12111	Collagen alpha-3(VI) chain	FTVPEFRSGFDLQEK	15	E/EM	FRSGFDLQE	HB	9
Bazo1	P12111	Collagen alpha-3(VI) chain	TVPEFRSGFDLQEK	14	E/EM	FRSGFDLQE	HB	1
Bazo1	P12111	Collagen alpha-3(VI) chain	TVPEFRSGFDLQEKL	15	E/EM	FRSGFDLQE	HB	2
Bazo1	P12111	Collagen alpha-3(VI) chain	VAPFTIARNADQE	13	E/EM	FTIARNADQ/FTIARNADQ	HB	1
Bazo1	P02746	Complement C1q subcomponent subunit B	DHVITNMNNNYEPR	14	E/EM	ITNMNNNYE	HB	11
Bazo1	P02746	Complement C1q subcomponent subunit B	DHVITNMNNNYEPRS	15	E/EM	ITNMNNNYE	HB	3

M ^a	Ac. Number	Proteína	Péptido	T ^b	L ^c	Core	B ^d	R ^e
Bazo1	P02746	Complement C1q subcomponent subunit B	DHVITNMNNNYEPRSG	16	E/EM	ITNMNNNYE	HB	2
Bazo1	P02746	Complement C1q subcomponent subunit B	FDHVITNMNNNYEP	14	E/EM	ITNMNNNYE	HB	1
Bazo1	P02746	Complement C1q subcomponent subunit B	FDHVITNMNNNYEPR	15	E/EM	ITNMNNNYE	HB	22
Bazo1	P02746	Complement C1q subcomponent subunit B	FDHVITNMNNNYEPRS	16	E/EM	ITNMNNNYE	HB	15
Bazo1	P02746	Complement C1q subcomponent subunit B	FDHVITNMNNNYEPRSG	17	E/EM	ITNMNNNYE	HB	14
Bazo1	P02746	Complement C1q subcomponent subunit B	HVITNMNNNYEPR	13	E/EM	ITNMNNNYE	HB	4
Bazo1	P02746	Complement C1q subcomponent subunit B	HVITNMNNNYEPRS	14	E/EM	ITNMNNNYE	HB	1
Bazo1	P02746	Complement C1q subcomponent subunit B	IRFDHVITNMNNNYEPRS	18	E/EM	ITNMNNNYE	HB	1
Bazo1	P02746	Complement C1q subcomponent subunit B	SLLGMEGANSIFSG	14	E/EM	MEGANSIFS	IB	2
Bazo1	P02747	Complement C1q subcomponent subunit C	AVLTNPQGDYDTSTGKFT	18	E/EM	VLTPQGDY	LB	2
Bazo1	P01024	Complement C3	LPSFEVIVEPTEK	13	E/EM	LPSFEVIVE	NA	1
Bazo1	P01024	Complement C3	VLPSEFVIVEPTEK	14	E/EM	LPSFEVIVE	NA	1
Bazo1	POCOL4	Complement C4-A	EELVYELNPLDH	12	E/EM	LVYELNPLD	HB	1
Bazo1	P01031	Complement C5	GVPVTLNAQTIDVNQE	16	E/EM	VTLNAQTID	LB	1
Bazo1	P01031	Complement C5	GVPVTLNAQTIDVNQET	17	E/EM	VTLNAQTID	LB	2
Bazo1	P01031	Complement C5	GVPVTLNAQTIDVNQETS	18	E/EM	VTLNAQTID	LB	1
Bazo1	P01031	Complement C5	VPTLNAQTIDVNQET	16	E/EM	VTLNAQTID	LB	3
Bazo1	Q07021	Complement component 1 Q subcomponent-binding protein, mitochondrial	ADELVELSTALEHQ	14	mit	LVELSTALE	HB	1
Bazo1	P10643	Complement component C7	DGKDFYRLSGNVLSYT	16	E/EM	YRLSGNVLS/YRLSGNVLS	HB	3
Bazo1	P10643	Complement component C7	DGKDFYRLSGNVLSYTFQ	18	E/EM	YRLSGNVLS/YRLSGNVLS	HB	2
Bazo1	P00751	Complement factor B	LEDVFYQMIDESQLS	16	E/EM	FYQMIDESQ	HB	1
Bazo1	P31146	Coronin-1A	HLEEPSLQELDTSSGVL	18	Lis/End	LQELDTSSG	HB	2
Bazo1	O15194	CTD small phosphatase-like protein	GPAIITQVTNPKEDEG	16	N	ITQVTNPKE/IITQVTNPK	IB	1
Bazo1	P01040	Cystatin-A	IPGGLEAKPATPEIQE	17	C	IPGGLEAK	LB	3
Bazo1	P21399	Cytoplasmic aconitate hydratase	VNESWNALATPSDK	14	C	WNALATPSD	HB	1
Bazo1	Q14204	Cytoplasmic dynein 1 heavy chain 1	TPSWLGLPNNAER	13	C	WLGLPNNAE	HB	1
Bazo1	Q5VZ89	DENN domain-containing protein 4C	FDNEYGIAYNSLSEIL	17	M	YNSLSSEIL/YGIAYNSLS	HB	1
Bazo1	Q14194	Dihydropyrimidinase-related protein 1	DENQFVAVTSTNAAK	15	C	FVAVTSTNA/FVAVTSTNA	HB	1
Bazo1	Q14194	Dihydropyrimidinase-related protein 1	DENQFVAVTSTNAAKV	16	C	FVAVTSTNA/FVAVTSTNA	HB	5
Bazo1	Q14194	Dihydropyrimidinase-related protein 1	DENQFVAVTSTNAAKVF	18	C	FVAVTSTNA/FVAVTSTNA	HB	1
Bazo1	Q14194	Dihydropyrimidinase-related protein 1	ENQFVAVTSTNAAK	14	C	FVAVTSTNA/FVAVTSTNA	HB	1
Bazo1	Q14194	Dihydropyrimidinase-related protein 1	MDENQFVAVTSTNAAK	16	C	FVAVTSTNA/FVAVTSTNA	HB	1
Bazo1	Q14194	Dihydropyrimidinase-related protein 1	MDENQFVAVTSTNAAKVF	19	C	FVAVTSTNA/FVAVTSTNA	HB	1
Bazo1	O14531	Dihydropyrimidinase-related protein 4	DENEVFVAVTSTNAAKI	16	C	FVAVTSTNA/FVAVTSTNA	HB	2

M ^a	Ac. Number	Proteína	Péptido	T ^b	L ^c	Core	B ^d	R ^e
Bazo1	O14531	Dihydropyrimidinase-related protein 4	MDENEFVAVTSTNAAK	16	C	FVAVTSTNA/FVAVTSTNA	HB	1
Bazo1	P53634	Dipeptidyl-peptidase 1	YDHNFVKAINAIQK	14	Lis/End	FVKAINAIQ/FVKAINAIQ	HB	20
Bazo1	P53634	Dipeptidyl-peptidase 1	YDHNFVKAINAIQKS	15	Lis/End	FVKAINAIQ/FVKAINAIQ	HB	31
Bazo1	P53634	Dipeptidyl-peptidase 1	GPQEKKVVYLQKLDTAYDD	20	Lis/End	LQKLDTAYD	HB	1
Bazo1	P53634	Dipeptidyl-peptidase 1	KKVVVYLQKLDTAYDD	16	Lis/End	LQKLDTAYD	HB	2
Bazo1	P53634	Dipeptidyl-peptidase 1	KVVVYLQKLDTAYDD	15	Lis/End	LQKLDTAYD	HB	17
Bazo1	P53634	Dipeptidyl-peptidase 1	KVVVYLQKLDTAYDDLG	17	Lis/End	LQKLDTAYD	HB	11
Bazo1	P53634	Dipeptidyl-peptidase 1	KVVVYLQKLDTAYDDLGNSGHFT	23	Lis/End	LQKLDTAYD	HB	1
Bazo1	P78527	DNA-dependent protein kinase catalytic subunit	VIQDFINALDQLSNPE	16	N	FINALDQLS	HB	2
Bazo1	O75923	Dysferlin	DEPIFITVVDSRSL	14	M	FITVVDSRS	IB	2
Bazo1	Q9P0N8	E3 ubiquitin-protein ligase MARCH2	GPPQYVAQVTSRDG	14	Lis/End	YVAQVTSRD/YVAQVTSRD	HB	2
Bazo1	Q9HBW9	EGF, latrophilin and seven transmembrane domain-containing protein 1	LLQEVYRNSVTDLSPTDIIT	20	M	YRNSVTTLS/YRNSVTTLS	IB	2
Bazo1	Q9HBW9	EGF, latrophilin and seven transmembrane domain-containing protein 1	QEYVRNSVTDLSPTD	15	M	YRNSVTTLS/YRNSVTTLS	IB	1
Bazo1	P17813	Endoglin	EPGQQSFVQVRVSPSVS	17	M	FVQVRVSPS/FVQVRVSPS	HB	1
Bazo1	P17813	Endoglin	EPGQQSFVQVRVSPSVSE	18	M	FVQVRVSPS/FVQVRVSPS	HB	3
Bazo1	P17813	Endoglin	IEPGQQSFVQVRVSPSVSE	19	M	FVQVRVSPS/FVQVRVSPS	HB	3
Bazo1	P17813	Endoglin	TIEPGQQSFVQVRVSPSVSE	20	M	FVQVRVSPS/FVQVRVSPS	HB	1
Bazo1	P14625	Endoplasmin	DSNEFSVIADPRG	13	ER	FSVIADPRG	LB	4
Bazo1	P14625	Endoplasmin	SNEFSVIADPRG	12	ER	FSVIADPRG	LB	4
Bazo1	P14625	Endoplasmin	DDEVDVDTVEEDLGKS	17	ER	VDVDTGTEE	NA	2
Bazo1	P15311	Ezrin	EPVSYHVQESLQDEGAEPT	19	M	YHVQESLQD	HB	1
Bazo1	P15311	Ezrin	EPVSYHVQESLQDEGAEPTG	20	M	YHVQESLQD	HB	1
Bazo1	P49327	Fatty acid synthase	SPSAIYNIDTSSESVDH	18	C	YNIDTSSES/YNIDTSSES	HB	2
Bazo1	P02671	Fibrinogen alpha chain	LQKNVRAQLVDMIKRLE	16	E/EM	VRAQLVDMK	LB	1
Bazo1	P02675	Fibrinogen beta chain	GGETSEMYLIQPDSVVK	17	E/EM	MYLIQPDSS/MYLIQPDSS	IB	1
Bazo1	P02675	Fibrinogen beta chain	GGETSEMYLIQPDSVVKY	19	E/EM	MYLIQPDSS/MYLIQPDSS	IB	1
Bazo1	P02679	Fibrinogen gamma chain	GGTYSKASTPNGYDN	15	E/EM	YSKASTPNG	NA	3
Bazo1	P02679	Fibrinogen gamma chain	GGTYSKASTPNGYDNG	16	E/EM	YSKASTPNG	NA	3
Bazo1	P02679	Fibrinogen gamma chain	GTYSKASTPNGYDN	14	E/EM	YSKASTPNG	NA	2
Bazo1	P02679	Fibrinogen gamma chain	YQGGTYSKASTPNGYDN	17	E/EM	YSKASTPNG	IB	3
Bazo1	P02679	Fibrinogen gamma chain	YQGGTYSKASTPNGYDNG	18	E/EM	YSKASTPNG	IB	2
Bazo1	P02679	Fibrinogen gamma chain	YQGGTYSKASTPNGYDNGI	19	E/EM	YSKASTPNG	IB	1
Bazo1	P02679	Fibrinogen gamma chain	YQGGTYSKASTPNGYDNGII	20	E/EM	YSKASTPNG	IB	4
Bazo1	P02751	Fibronectin	CPIECFMPLDVQADRE	16	E/EM	FMPLDVQAD	HB	2

M ^a	Ac. Number	Proteína	Péptido	T ^b	L ^c	Core	B ^d	R ^e
Bazo1	P02751	Fibronectin	CPIECFMPLDVQADRED	17	E/EM	FMPLDVQAD	HB	1
Bazo1	P02751	Fibronectin	VNCPIECFMPLDVQADREDS	20	E/EM	FMPLDVQAD	HB	3
Bazo1	P02751	Fibronectin	VNCPIECFMPLDVQADREDSRE	22	E/EM	FMPLDVQAD	HB	1
Bazo1	P02751	Fibronectin	ETGTFYQIGDSWEKY	15	E/EM	FYQIGDSWE	HB	1
Bazo1	P02751	Fibronectin	GPMKEINLAPDSSVVVS	18	E/EM	INLAPDSSS	IB	1
Bazo1	P02751	Fibronectin	GPMKEINLAPDSSVVVG	19	E/EM	INLAPDSSS	IB	4
Bazo1	P02751	Fibronectin	TGPMKEINLAPDSSVVVS	19	E/EM	INLAPDSSS	IB	1
Bazo1	P02751	Fibronectin	TGPMKEINLAPDSSVVVG	20	E/EM	INLAPDSSS	IB	1
Bazo1	P02751	Fibronectin	LPGTEYVSVSSVYEQHESTP	21	E/EM	VVSVSSVYE	HB	1
Bazo1	P21333	Filamin-A	KIPEISIQDMTAQVTSPS	18	C	MTAQVTSPS	IB	1
Bazo1	O75369	Filamin-B	EDVDFDIHHNANDT	14	C	FDIIHHNAND	HB	1
Bazo1	O75369	Filamin-B	DNADGTYQVEYTPFEKG	17	C	YQVEYTPFE	HB	1
Bazo1	O00461	Golgi integral membrane protein 4	EQQLRAVQQVVEAAQQ	15	g	VQQVEEAQQ	LB	1
Bazo1	P36915	Guanine nucleotide-binding protein-like 1	DGPAVLVEQQTD SAMEPT	18	C	LVEQQTD SA	NA	1
Bazo1	P11142	Heat shock cognate 71 kDa protein	GILNVSAVDKSTG	13	C	VSAVDKSTG	LB	3
Bazo1	P11142	Heat shock cognate 71 kDa protein	GILNVSAVDKSTGKE	15	C	VSAVDKSTG	LB	3
Bazo1	P02790	Hemopexin	TPHGIILSDSVDAIFI	15	E/EM	II L D S V D A A	IB	1
Bazo1	POCOS8	Histone H2A type 1	KVTIAQGGVL PNIQ	14	N	IAQGGVL PN	LB	2
Bazo1	POCOS8	Histone H2A type 1	RTVIAQGGVL PNIQ	14	N	IAQGGVL PN	LB	1
Bazo1	POCOS8	Histone H2A type 1	RTVIAQGGVL PNIQA	15	N	IAQGGVL PN	LB	1
Bazo1	HLA-I, α chain	HLA class I histocompatibility antigen, alpha chain	DDTQFVRF DNAASPR	16	M	FVRFDSDAA/FVRFDSDAA	IB	1
Bazo1	HLA-I, α chain	HLA class I histocompatibility antigen, alpha chain	VDDTQFVRF DNAASP	16	M	FVRFDSDAA/FVRFDSDAA	IB	1
Bazo1	HLA-I, α chain	HLA class I histocompatibility antigen, alpha chain	VDDTQFVRF DSAASPR	17	M	FVRFDSDAA/FVRFDSDAA	HB	3
Bazo1	HLA-I, α chain	HLA class I histocompatibility antigen, alpha chain	NEDLRSWTAADM A QITK	18	M	LRSWTAADM	HB	1
Bazo1	HLA-I, α chain	HLA class I histocompatibility antigen, alpha chain	DLSWTAAD TAAQITQ	16	M	WTAAAD TAAQ	HB	3
Bazo1	HLA-I, α chain	HLA class I histocompatibility antigen, alpha chain	EDLSSWTAAD TAAQITQ	17	M	WTAAAD TAAQ	HB	1
Bazo1	HLA-I, α chain	HLA class I histocompatibility antigen, alpha chain	LSSWTAAD TAAQITQ	15	M	WTAAAD TAAQ	HB	2
Bazo1	HLA-I, α chain	HLA class I histocompatibility antigen, alpha chain	NEDLSSWTAAD TAAQITQ	18	M	WTAAAD TAAQ	HB	2
Bazo1	HLA-I, α chain	HLA class I histocompatibility antigen, alpha chain	EDLRSWTA DVAQISEQ	18	M	WTAVDTAAQ	HB	2
Bazo1	HLA-I, α chain	HLA class I histocompatibility antigen, alpha chain	GSYTQAASSDSAQG	14	M	YTQAASSDS	HB	1
Bazo1	HLA-II, DM α chain	HLA class II histocompatibility antigen, DM alpha chain	FGPTFVSAV DGLSFQ	15	Lis/End	FVSAVD GLS	IB	1
Bazo1	HLA-II, DP α chain	HLA class II histocompatibility antigen, DP alpha chain	GLANIAI LNNNL NLT	14	M	I A I L N N N N L N	HB	1
Bazo1	HLA-II, DP α chain	HLA class II histocompatibility antigen, DP alpha chain	LANIAI LNNNL NLT I Q	16	M	I A I L N N N N L N	HB	1
Bazo1	HLA-II, DQ α chain	HLA class II histocompatibility antigen, DQ alpha chain	VPEVTVFSKSPVTLGQPN	18	M	FSKSPVTLG	IB	2

M ^a	Ac. Number	Proteína	Péptido	T ^b	L ^c	Core	B ^d	R ^e
Bazo1	HLA-II, DQ α chain	HLA class II histocompatibility antigen, DQ alpha chain	EDIVADHVASYGVNLYQ	17	M	IVADHVASY	NA	1
Bazo1	HLA-II, DQ β chain	HLA class II histocompatibility antigen, DQ beta chain	DSDVGVYRAVTPLGPPA	17	M	YRAVTPLGP	HB	1
Bazo1	HLA-II, DR α chain	HLA class II histocompatibility antigen, DR alpha chain	AQGALANIAVDKAN	14	M	LANIAVDKA	IB	1
Bazo1	HLA-II, DR α chain	HLA class II histocompatibility antigen, DR alpha chain	ASFEAQGALANIAVDKANL	19	M	LANIAVDKA	IB	1
Bazo1	HLA-II, DR β chain	HLA class II histocompatibility antigen, DR beta chain	SDVGEYRAVTELG	13	M	VGEYRAVTE	LB	2
Bazo1	HLA-II, DR β chain	HLA class II histocompatibility antigen, DR beta chain	QEEYVRFDSDVG	12	M	YVRFDSDVG	NA	1
Bazo1	Q9Y4L1	Hypoxia up-regulated protein 1	YQPEYQEVSSTEEQR	14	ER	YQEVSSTEEQ	HB	1
Bazo1	Ig heavy	Ig heavy chain	GSGTEFTLTISSLQPDD	17	E/EM	FTLTISSLQ	HB	2
Bazo1	Ig kappa	Ig kappa chain	TNTAYMELSSLRSEDT	16	E/EM	YMELSSLRs/YMELSSLRs	HB	1
Bazo1	P06213	Insulin receptor	ELLKFSYIRTSFDK	14	M	FSYIRTSFD	HB	1
Bazo1	P06213	Insulin receptor	SVAAYVSARTMPEA	14	M	YVSARTMPE/YVSARTMPE	HB	1
Bazo1	P06213	Insulin receptor	SVAAYVSARTMPEAKA	16	M	YVSARTMPE/YVSARTMPE	HB	3
Bazo1	P06213	Insulin receptor	VAAYVSARTMPEA	13	M	YVSARTMPE/YVSARTMPE	HB	2
Bazo1	P06213	Insulin receptor	VAAYVSARTMPEAK	14	M	YVSARTMPE/YVSARTMPE	HB	8
Bazo1	P06213	Insulin receptor	VAAYVSARTMPEAKA	15	M	YVSARTMPE/YVSARTMPE	HB	21
Bazo1	P56199	Integrin alpha-1	GSYFGSILTTTDIDK	15	M	FGSILTTD	HB	1
Bazo1	P56199	Integrin alpha-1	GSYFGSILTTTDIDKD	16	M	FGSILTTD	HB	1
Bazo1	Q14624	Inter-alpha-trypsin inhibitor heavy chain H4	AMLMAVQLDSSN	13	E/EM	MLMAVQLLD	NA	2
Bazo1	Q14624	Inter-alpha-trypsin inhibitor heavy chain H4	DAMLMQAVQLDSSN	14	E/EM	MLMAVQLLD	IB	4
Bazo1	Q14624	Inter-alpha-trypsin inhibitor heavy chain H4	AMLMAVQLDSSNQ	14	E/EM	VQLLDSSNQ/VQLLDSSNQ	HB	3
Bazo1	Q14624	Inter-alpha-trypsin inhibitor heavy chain H4	AMLMAVQLDSSNQE	15	E/EM	VQLLDSSNQ/VQLLDSSNQ	HB	2
Bazo1	Q14624	Inter-alpha-trypsin inhibitor heavy chain H4	AMLMAVQLDSSNQEE	16	E/EM	VQLLDSSNQ/VQLLDSSNQ	HB	1
Bazo1	Q14624	Inter-alpha-trypsin inhibitor heavy chain H4	DAMLMQAVQLDSSNQ	15	E/EM	VQLLDSSNQ/VQLLDSSNQ	HB	3
Bazo1	Q14624	Inter-alpha-trypsin inhibitor heavy chain H4	DAMLMQAVQLDSSNQE	16	E/EM	VQLLDSSNQ/VQLLDSSNQ	HB	2
Bazo1	Q14624	Inter-alpha-trypsin inhibitor heavy chain H4	DAMLMQAVQLDSSNQEE	17	E/EM	VQLLDSSNQ/VQLLDSSNQ	HB	2
Bazo1	Q14624	Inter-alpha-trypsin inhibitor heavy chain H4	DAMLMQAVQLDSSNQEER	18	E/EM	VQLLDSSNQ/VQLLDSSNQ	HB	1
Bazo1	P63252	Inward rectifier potassium channel 2	SPLYDLSKQDIDNADF	16	M	YDLSKQDID	LB	1
Bazo1	P53990	IST1 homolog	IPATPPSYESVDDINADKN	19	ER	YESVDDINA	LB	2
Bazo1	P53990	IST1 homolog	PATPPSYESVDDINADKN	18	ER	YESVDDINA	LB	1
Bazo1	P53990	IST1 homolog	TPPSYESVDDINADKN	16	ER	YESVDDINA	LB	3
Bazo1	P53990	IST1 homolog	TPPSYESVDDINADKNI	17	ER	YESVDDINA	LB	1
Bazo1	Q86UP2	Kinectin	HATTIPLMDNADSSPV	17	ER	IPLMDNADS	HB	2
Bazo1	Q16363	Laminin subunit alpha-4	DVKGIKVQSVDKQ	13	E/EM	IKVQSVDKQ/VKGIVQSV	IB	2
Bazo1	Q16363	Laminin subunit alpha-4	DVKGIKVQSVDKQYND	16	E/EM	VKGIVQSV/VKGIVQSV	IB	3

M ^a	Ac. Number	Proteína	Péptido	T ^b	L ^c	Core	B ^d	R ^e
Bazo1	Q16363	Laminin subunit alpha-4	DVKGIKVQSVDKQYNDG	17	E/EM	VKGIKVQSV/VKGIKVQSV	IB	2
Bazo1	Q16363	Laminin subunit alpha-4	LSHDLVQEADHAQD	15	E/EM	VQEADHAQ	LB	2
Bazo1	Q16363	Laminin subunit alpha-4	SHDLVQEADHAQD	14	E/EM	VQEADHAQ	LB	8
Bazo1	Q16363	Laminin subunit alpha-4	SHDLVQEADHAQDLQ	16	E/EM	VQEADHAQ	LB	5
Bazo1	O15230	Laminin subunit alpha-5	GDVFVPMESRPDVVL	15	E/EM	FVPMESRPD	HB	2
Bazo1	Q32MZ4	Leucine-rich repeat flightless-interacting protein 1	DVKKELTYQNTDLSEIK	17	N	VKKELTYQN/LTYQNTDLS	IB	3
Bazo1	Q9Y608	Leucine-rich repeat flightless-interacting protein 2	KNNLIYQVDTLKDIEE	17	C	IYQVDTLKD	HB	2
Bazo1	O75023	Leukocyte immunoglobulin-like receptor subfamily B member 5	HQAEEFSMSPVTSAQGGTY	18	M	MSPVTSAQG	IB	1
Bazo1	Q14847	LIM and SH3 domain protein 1	YPKQSFTMVADTPEN	15	C	FTMVADTPE	HB	1
Bazo1	O75096	Low-density lipoprotein receptor-related protein 4	LPGLMDMQAVDRAQP	15	M	LPGLMDMQA	LB	1
Bazo1	O75096	Low-density lipoprotein receptor-related protein 4	LPGLMDMQAVDRAQPL	16	M	LPGLMDMQA	LB	2
Bazo1	O00754	Lysosomal alpha-mannosidase	VDYFLNVATAQGRYY	15	Lis/End	YFLNVATAQ	IB	1
Bazo1	Q13571	Lysosomal-associated transmembrane protein 5	VLPSYEEALSLPSKTPE	17	Lis/End	YEEALSLPS	IB	1
Bazo1	P22897	Macrophage mannose receptor 1	GSSLVSIESAAESSF	15	M	LVSIESAAE	HB	1
Bazo1	Q5VSK2	Macrophage mannose receptor 1-like protein 1	IEEFDFIISQLGYEPN	16	M	FDFIISQLG	IB	2
Bazo1	Q5VSK2	Macrophage mannose receptor 1-like protein 1	TIEEFDFIISQLGYEPN	17	M	FDFIISQLG	IB	1
Bazo1	P14174	Macrophage migration inhibitory factor	GKPPQYIAVHVVPDQ	15	E/EM	YIAVHVVPD	HB	2
Bazo1	P14174	Macrophage migration inhibitory factor	KPPQYIAVHVVPDQ	14	E/EM	YIAVHVVPD	HB	9
Bazo1	P14174	Macrophage migration inhibitory factor	KPPQYIAVHVVPDQL	15	E/EM	YIAVHVVPD	HB	5
Bazo1	P14174	Macrophage migration inhibitory factor	KPPQYIAVHVVPDQLM	16	E/EM	YIAVHVVPD	HB	2
Bazo1	P10721	Mast/stem cell growth factor receptor	EGGTYTFLVNSNDVNA	16	M	YTFLVNSD	HB	1
Bazo1	P55083	Microfibril-associated glycoprotein 4	AKYADFSISPNAVSAEE	17	E/EM	FSISPNAVS/FSISPNAVS	IB	1
Bazo1	P55083	Microfibril-associated glycoprotein 4	AKYADFSISPNAVSAEED	18	E/EM	FSISPNAVS/FSISPNAVS	IB	3
Bazo1	P55083	Microfibril-associated glycoprotein 4	AKYADFSISPNAVSAEEDG	19	E/EM	FSISPNAVS/FSISPNAVS	IB	1
Bazo1	P55083	Microfibril-associated glycoprotein 4	AKYADFSISPNAVSAEEDGYT	21	E/EM	FSISPNAVS/FSISPNAVS	IB	1
Bazo1	P55083	Microfibril-associated glycoprotein 4	KYADFSISPNAVSAE	15	E/EM	FSISPNAVS/FSISPNAVS	IB	1
Bazo1	P55083	Microfibril-associated glycoprotein 4	KYADFSISPNAVSAEE	16	E/EM	FSISPNAVS/FSISPNAVS	IB	3
Bazo1	P55083	Microfibril-associated glycoprotein 4	KYADFSISPNAVSAEED	17	E/EM	FSISPNAVS/FSISPNAVS	IB	3
Bazo1	P55083	Microfibril-associated glycoprotein 4	KYADFSISPNAVSAEEDG	18	E/EM	FSISPNAVS/FSISPNAVS	IB	2
Bazo1	P55083	Microfibril-associated glycoprotein 4	YADFSISPNAVSAEE	15	E/EM	FSISPNAVS/FSISPNAVS	IB	4
Bazo1	P55083	Microfibril-associated glycoprotein 4	YADFSISPNAVSAEED	16	E/EM	FSISPNAVS/FSISPNAVS	IB	2
Bazo1	Q10713	Mitochondrial-processing peptidase subunit alpha	DTTMYAVSADSKGLDT	16	mit	VSADSKGLD	LB	2
Bazo1	P19105	Myosin regulatory light chain 12A	IQEFKEAFNMDQ	13	E/EM	FKEAFNMID	HB	1
Bazo1	Q9BT67	NEDD4 family-interacting protein 1	DESGFPKPPSYNVATTLPSYDEA	23	g	YNVATTLPS/YNVATTLPS	HB	1

M ^a	Ac. Number	Proteína	Péptido	T ^b	L ^c	Core	B ^d	R ^e
Bazo1	Q9BT67	NEDD4 family-interacting protein 1	DESGFPKPPSYNVATTLPYDEAE	24	g	YNVATTLPS/YNVATTLPS	HB	2
Bazo1	Q9BT67	NEDD4 family-interacting protein 1	FPKPPSYNVATTLPYSD	17	g	YNVATTLPS/YNVATTLPS	HB	1
Bazo1	Q9BT67	NEDD4 family-interacting protein 1	FPKPPSYNVATTLPYDE	18	g	YNVATTLPS/YNVATTLPS	HB	4
Bazo1	Q9BT67	NEDD4 family-interacting protein 1	FPKPPSYNVATTLPYDEA	19	g	YNVATTLPS/YNVATTLPS	HB	1
Bazo1	Q9BT67	NEDD4 family-interacting protein 1	FPKPPSYNVATTLPYDEAE	20	g	YNVATTLPS/YNVATTLPS	HB	2
Bazo1	Q9BT67	NEDD4 family-interacting protein 1	GFPKPPSYNVATTLPYDE	19	g	YNVATTLPS/YNVATTLPS	HB	2
Bazo1	Q9BT67	NEDD4 family-interacting protein 1	KPPSYNVATTLPY	14	g	YNVATTLPS/YNVATTLPS	HB	2
Bazo1	Q9BT67	NEDD4 family-interacting protein 1	KPPSYNVATTLPYDE	16	g	YNVATTLPS/YNVATTLPS	HB	1
Bazo1	Q9BT67	NEDD4 family-interacting protein 1	KPPSYNVATTLPYDEA	17	g	YNVATTLPS/YNVATTLPS	HB	2
Bazo1	Q9BT67	NEDD4 family-interacting protein 1	KPPSYNVATTLPYDEAE	18	g	YNVATTLPS/YNVATTLPS	HB	2
Bazo1	Q9BT67	NEDD4 family-interacting protein 1	PKPPSYNVATTLPYDE	17	g	YNVATTLPS/YNVATTLPS	HB	2
Bazo1	Q9BT67	NEDD4 family-interacting protein 1	PKPPSYNVATTLPYDEA	18	g	YNVATTLPS/YNVATTLPS	HB	2
Bazo1	Q9BT67	NEDD4 family-interacting protein 1	PKPPSYNVATTLPYDEAE	19	g	YNVATTLPS/YNVATTLPS	HB	3
Bazo1	O00712	Nuclear factor 1 B-type	EPSPTGDFYPSPSSPAAGSR	20	N	FYPSPSSPA	IB	1
Bazo1	O00712	Nuclear factor 1 B-type	EPSPTGDFYPSPSSPAAGSRT	21	N	FYPSPSSPA	IB	2
Bazo1	P80303	Nucleobindin-2	EEELKEYENIIALQENEL	18	M	YENIIALQE	HB	1
Bazo1	P80303	Nucleobindin-2	ELKEYENIIALQENEL	16	M	YENIIALQE	HB	1
Bazo1	Q99733	Nucleosome assembly protein 1-like 4	DEEGEDEDAAEINPKV	16	N	DDAEINPKV	LB	1
Bazo1	P10451	Osteopontin	AIPVAQDLNAPS	12	E/EM	VAQDLNAPS	LB	1
Bazo1	P10451	Osteopontin	AYKAIPVAQDLN	12	E/EM	YKAIPVAQD	HB	1
Bazo1	P10451	Osteopontin	DATDEDITSHMESEELNGAYKAIPVAQDLNAPS	33	E/EM	YKAIPVAQD	HB	1
Bazo1	P10451	Osteopontin	EDITSHMESEELNGAYKAIPVAQDLNAPS	29	E/EM	YKAIPVAQD	HB	3
Bazo1	P10451	Osteopontin	EELNGAYKAIPVAQDLNAP	19	E/EM	YKAIPVAQD	HB	2
Bazo1	P10451	Osteopontin	EELNGAYKAIPVAQDLNAPS	20	E/EM	YKAIPVAQD	HB	4
Bazo1	P10451	Osteopontin	EELNGAYKAIPVAQDLNAPSD	21	E/EM	YKAIPVAQD	HB	2
Bazo1	P10451	Osteopontin	ELNGAYKAIPVAQDLNAPS	19	E/EM	YKAIPVAQD	HB	2
Bazo1	P10451	Osteopontin	ELNGAYKAIPVAQDLNAPSD	20	E/EM	YKAIPVAQD	HB	1
Bazo1	P10451	Osteopontin	ESEELNGAYKAIPVAQDLNAPS	22	E/EM	YKAIPVAQD	HB	1
Bazo1	P10451	Osteopontin	ESEELNGAYKAIPVAQDLNAPSD	23	E/EM	YKAIPVAQD	HB	1
Bazo1	P10451	Osteopontin	GAYKAIPVAQDLN	13	E/EM	YKAIPVAQD	HB	2
Bazo1	P10451	Osteopontin	GAYKAIPVAQDLNA	14	E/EM	YKAIPVAQD	HB	4
Bazo1	P10451	Osteopontin	GAYKAIPVAQDLNAP	15	E/EM	YKAIPVAQD	HB	9
Bazo1	P10451	Osteopontin	GAYKAIPVAQDLNAPS	16	E/EM	YKAIPVAQD	HB	17
Bazo1	P10451	Osteopontin	LNGAYKAIPVAQDLN	15	E/EM	YKAIPVAQD	HB	1

M ^a	Ac. Number	Proteína	Péptido	T ^b	L ^c	Core	B ^d	R ^e
Bazo1	P10451	Osteopontin	LNGAYKAIPVAQDLNAP	17	E/EM	YKAIPVAQD	HB	2
Bazo1	P10451	Osteopontin	LNGAYKAIPVAQDLNAPS	18	E/EM	YKAIPVAQD	HB	6
Bazo1	P10451	Osteopontin	NGAYKAIPVAQDLN	14	E/EM	YKAIPVAQD	HB	1
Bazo1	P10451	Osteopontin	NGAYKAIPVAQDLNAPS	17	E/EM	YKAIPVAQD	HB	2
Bazo1	P10451	Osteopontin	SEELNGAYKAIPVAQDLNAPS	21	E/EM	YKAIPVAQD	HB	3
Bazo1	P10451	Osteopontin	YKAIPVAQDLNAPS	14	E/EM	YKAIPVAQD	HB	2
Bazo1	P50897	Palmitoyl-protein thioesterase 1	AGQLVFLATEGDH	13	Lis/End	LVFLATEGD	HB	1
Bazo1	P50897	Palmitoyl-protein thioesterase 1	AGQLVFLATEGDHLQ	15	Lis/End	LVFLATEGD	HB	1
Bazo1	P50897	Palmitoyl-protein thioesterase 1	IPGIYVLSLEIGKT	14	Lis/End	YVLSLEIGK	IB	2
Bazo1	P30086	Phosphatidylethanolamine-binding protein 1	SGPLSLQEVDEQPQH	15	C	LSLQEVDSEQ	NA	2
Bazo1	P30086	Phosphatidylethanolamine-binding protein 1	SGPLSLQEVDEQPQHP	16	C	LSLQEVDSEQ	NA	3
Bazo1	P30086	Phosphatidylethanolamine-binding protein 1	WSGPLSLQEVDEQPQHP	17	C	LSLQEVDSEQ	NA	1
Bazo1	P30086	Phosphatidylethanolamine-binding protein 1	WSGPLSLQEVDEQPQHPL	18	C	LSLQEVDSEQ	NA	7
Bazo1	P30086	Phosphatidylethanolamine-binding protein 1	WSGPLSLQEVDEQPQHPLH	19	C	LSLQEVDSEQ	NA	4
Bazo1	P00558	Phosphoglycerate kinase 1	DKIQLINNMLDK	12	C	IQLINNMLD	HB	6
Bazo1	P00558	Phosphoglycerate kinase 1	VADKIQLINNMLDK	14	C	IQLINNMLD	HB	39
Bazo1	P00558	Phosphoglycerate kinase 1	VADKIQLINNMLDKVN	16	C	IQLINNMLD	HB	5
Bazo1	P00558	Phosphoglycerate kinase 1	VADKIQLINNMLDKVNNE	17	C	IQLINNMLD	HB	23
Bazo1	P00558	Phosphoglycerate kinase 1	VADKIQLINNMLDKVNEM	18	C	IQLINNMLD	HB	2
Bazo1	P00558	Phosphoglycerate kinase 1	VPMMPDKYSLEPVAVELKS	18	C	YSLEPVAVE	IB	2
Bazo1	Q99570	Phosphoinositide 3-kinase regulatory subunit 4	KPTYLPEDNPADFN	14	Lis/End	YLPEDNPAD	NA	1
Bazo1	Q8IV08	Phospholipase D3	TPDLKALLNVVDN	13	ER	LKALLNVVD	HB	4
Bazo1	P53801	Pituitary tumor-transforming gene 1 protein-interacting protein	EENPYARFENN	11	N	NPYARFENN	LB	1
Bazo1	P16284	Platelet endothelial cell adhesion molecule	STPKFHISPTGMIMEGAQ	18	M	FHISPTGMI	IB	1
Bazo1	P16671	Platelet glycoprotein 4	GIPVYRFVLPSKAFASPVE	19	M	YRFVLPSKA/YRFVLPSKA	HB	1
Bazo1	P16671	Platelet glycoprotein 4	GIPVYRFVLPSKAFASPVENPDN	23	M	YRFVLPSKA/YRFVLPSKA	HB	1
Bazo1	P16671	Platelet glycoprotein 4	IPVYRFVLPSKAFASPV	17	M	YRFVLPSKA/YRFVLPSKA	HB	3
Bazo1	P16671	Platelet glycoprotein 4	IPVYRFVLPSKAFASPVENPDN	22	M	YRFVLPSKA/YRFVLPSKA	HB	2
Bazo1	Q6UX71	Plexin domain-containing protein 2	NLDFLKAVDTNRASVGQDSPEP	22	M	FLKAVDTNR	HB	2
Bazo1	O14737	Programmed cell death protein 5	MRNSILAQLDQSA	14	N	LAQVLDQSA	NA	2
Bazo1	O14737	Programmed cell death protein 5	NSILAQLDQSARA	14	N	LAQVLDQSA	NA	1
Bazo1	O14737	Programmed cell death protein 5	RNSILAQLDQSA	13	N	LAQVLDQSA	NA	2
Bazo1	P49721	Proteasome subunit beta type-2	RNGYELSPTAAANFT	15	C	YELSPTAAA	IB	1
Bazo1	P07237	Protein disulfide-isomerase	AEGSEIRLAKVDATEES	17	ER	LAKVDATEE	NA	1

M ^a	Ac. Number	Proteína	Péptido	T ^b	L ^c	Core	B ^d	R ^e
Bazo1	P07237	Protein disulfide-isomerase	AEGSEIRLAKVDATEESD	18	ER	LAKVDATEE	NA	1
Bazo1	P07237	Protein disulfide-isomerase	EGSEIRLAKVDATEE	15	ER	LAKVDATEE	NA	4
Bazo1	P07237	Protein disulfide-isomerase	EGSEIRLAKVDATEES	16	ER	LAKVDATEE	NA	3
Bazo1	P07237	Protein disulfide-isomerase	GSEIRLAKVDATEE	14	ER	LAKVDATEE	NA	4
Bazo1	P49257	Protein ERGIC-53	HGQITQQELDTVVK	14	ER	ITQQELDTV	LB	4
Bazo1	O75695	Protein XRP2	LPEDAVVQDYVPIPTTEELK	20	M	YVPIPTTEE/YVPIPTTEE	HB	2
Bazo1	Q6V0I7	Protocadherin Fat 4	SPKLTYIPENTPIDT	15	M	YIPENTPID	HB	1
Bazo1	Q08174	Protocadherin-1	STNSLKVQVVVDVNNDNAPV	18	M	VVDVNDNAP	HB	1
Bazo1	Q96JQ0	Protocadherin-16	DNPPQFYPREYAASISAQSPPG	22	E/EM	YAASISAQS/YAASISAQS	IB	2
Bazo1	Q96JQ0	Protocadherin-16	DNPPQFYPREYAASISAQSPPGT	23	E/EM	YAASISAQS/YAASISAQS	IB	1
Bazo1	Q96JQ0	Protocadherin-16	YPREYAASISAQSPP	15	E/EM	YAASISAQS/YAASISAQS	IB	1
Bazo1	Q96JQ0	Protocadherin-16	YPREYAASISAQSPPG	16	E/EM	YAASISAQS/YAASISAQS	IB	3
Bazo1	O60245	Protocadherin-7	RPVGTLYLLPTATDRDFG	18	M	LYLLPTATD	HB	1
Bazo1	Q58FF7	Putative heat shock protein HSP 90-beta-3	KELKIDIIPNPQERT	15	C	IDIIIPNPQE	IB	4
Bazo1	P14618	Pyruvate kinase isozymes M1/M2	ASDPILYRPVAVALDTKGP	19	C	YRPVAVALD	HB	1
Bazo1	P14618	Pyruvate kinase isozymes M1/M2	DPILEYRPVAVALDT	14	C	YRPVAVALD	HB	1
Bazo1	P14618	Pyruvate kinase isozymes M1/M2	DPILEYRPVAVALDTKG	16	C	YRPVAVALD	HB	2
Bazo1	P14618	Pyruvate kinase isozymes M1/M2	DPILEYRPVAVALDTKGPE	18	C	YRPVAVALD	HB	4
Bazo1	P14618	Pyruvate kinase isozymes M1/M2	PILEYRPVAVALDTKGPE	17	C	YRPVAVALD	HB	1
Bazo1	P14618	Pyruvate kinase isozymes M1/M2	SDPILYRPVAVALDTKGPE	19	C	YRPVAVALD	HB	3
Bazo1	P31150	Rab GDP dissociation inhibitor alpha	EPIDQKFVAISDLYEVID	18	C	FVAISDLYE	HB	4
Bazo1	P31150	Rab GDP dissociation inhibitor alpha	EPIDQKFVAISDLYEVIDD	19	C	FVAISDLYE	HB	1
Bazo1	P31150	Rab GDP dissociation inhibitor alpha	PIDQKFVAISDLYEVIDD	18	C	FVAISDLYE	HB	2
Bazo1	P50395	Rab GDP dissociation inhibitor beta	EPIEQKFVISIDLVPKD	18	M	FVSISDLLV	HB	1
Bazo1	P43487	Ran-specific GTPase-activating protein	HDPQFEPIVSLPQEIK	17	N	FEPIVSLPE	HB	3
Bazo1	P43487	Ran-specific GTPase-activating protein	PQFEPIVSLPQEIKTL	17	N	FEPIVSLPE	HB	1
Bazo1	P46940	Ras GTPase-activating-like protein IQGAP1	DDYKTLINAEDPP	13	M	YKTLINAED	HB	2
Bazo1	P51149	Ras-related protein Rab-7a	APNTFKTLD SWRDE	14	Lis/End	FKTLD SWRD	HB	10
Bazo1	P51149	Ras-related protein Rab-7a	FPFVVLGNKIDLEN	14	Lis/End	FVVLGNKID	HB	1
Bazo1	P23467	Receptor-type tyrosine-protein phosphatase beta	ENHSFSQERTV PDK	14	M	FSQERTV P D	IB	1
Bazo1	P23467	Receptor-type tyrosine-protein phosphatase beta	NHSFSQERTV PDK	13	M	FSQERTV P D	IB	1
Bazo1	P49796	Regulator of G-protein signaling 3	DSPVRVQAVD SGGPA	15	M	VQAVD SGGP	NA	2
Bazo1	P49796	Regulator of G-protein signaling 3	SPVRVQAVD SGGPA	14	M	VQAVD SGGP	NA	1
Bazo1	P02787	Serotransferrin	HSTIFENLANKADR	14	E/EM	FENLANKAD	HB	1

M ^a	Ac. Number	Proteína	Péptido	T ^b	L ^c	Core	B ^d	R ^e
Bazo1	P02787	Serotransferrin	HSTIFENLANKADRD	15	E/EM	FENLANKAD	HB	1
Bazo1	P02787	Serotransferrin	HSTIFENLANKADRDQ	16	E/EM	FENLANKAD	HB	27
Bazo1	P02787	Serotransferrin	HSTIFENLANKADRDQYE	18	E/EM	FENLANKAD	HB	3
Bazo1	P02787	Serotransferrin	STIFENLANKADRDQ	15	E/EM	FENLANKAD	HB	5
Bazo1	P02787	Serotransferrin	STIFENLANKADRDQY	16	E/EM	FENLANKAD	HB	1
Bazo1	P02787	Serotransferrin	DTPEAGYFAVAVVKKSASDL	20	E/EM	YFAVAVVKK	IB	1
Bazo1	Q15165	Serum paraoxonase/arylesterase 2	ISPDDKYIYVADILAHE	17	M	YIYVADILA	IB	1
Bazo1	Q15165	Serum paraoxonase/arylesterase 2	SPDDKYIYVADILAHE	16	M	YIYVADILA	IB	7
Bazo1	Q9H299	SH3 domain-binding glutamic acid-rich-like protein 3	DGKRHQYQLVDISQDN	16	C	IQYQLVDIS	HB	11
Bazo1	Q9H299	SH3 domain-binding glutamic acid-rich-like protein 3	DGKRHQYQLVDISQDNA	17	C	IQYQLVDIS	HB	10
Bazo1	Q9H299	SH3 domain-binding glutamic acid-rich-like protein 3	GKRIHQYQLVDISQDN	15	C	IQYQLVDIS	HB	2
Bazo1	P29353	SHC-transforming protein 1	DPSYVNQNLDKARQA	16	C	YVNVQNLDK/YVNVQNLDK	HB	1
Bazo1	P42224	Signal transducer and activator of transcription 1-alpha/beta	IEHEIKSLEDLQDE	14	C	IKSLEDLQD	NA	2
Bazo1	Q92673	Sortilin-related receptor	HPINEYYIADASEDQ	15	Lis/End	YYIADASED	HB	1
Bazo1	Q9NY15	Stabilin-1	RLRSEDLLEQGYAT	14	M	LRSEDLLEQ	NA	1
Bazo1	Q9Y490	Talin-1	SNPEFSSIPAQISPEGRA	18	M	FSSIPAQIS	IB	1
Bazo1	Q03167	TGF-beta receptor type III	DPVIPSQILFPGLREPEE	18	E/EM	IQLFPGLRE	HB	1
Bazo1	Q16881	Thioredoxin reductase 1, cytoplasmic	VPVYIYAIQDILEDK	14	C	VPVYIYAIQD	IB	1
Bazo1	P19971	Thymidine phosphorylase	DIRGFVAAVVNGSAQ	15	C	FVAAVVNGS/FVAAVVNGS	HB	3
Bazo1	Q8WVE6	Transmembrane protein 171	ESIYTISGTNSSEASH	17	M	YTISGTNSS/YTISGTNSS	HB	1
Bazo1	Q8WVE6	Transmembrane protein 171	ESIYTISGTNSSEASHTP	19	M	YTISGTNSS/YTISGTNSS	HB	1
Bazo1	O14773	Tripeptidyl-peptidase 1	DPSSPQYKGYLTLENVADLVR	21	Lis/End	YLTLENVAD	HB	3
Bazo1	O14773	Tripeptidyl-peptidase 1	PSSPQYKGYLTLENVADLVRPS	22	Lis/End	YLTLENVAD	HB	1
Bazo1	O14773	Tripeptidyl-peptidase 1	YGKYLTLENVAD	12	Lis/End	YLTLENVAD	HB	2
Bazo1	O14773	Tripeptidyl-peptidase 1	YGKYLTLENVADL	13	Lis/End	YLTLENVAD	HB	4
Bazo1	O14773	Tripeptidyl-peptidase 1	YGKYLTLENVADLV	14	Lis/End	YLTLENVAD	HB	4
Bazo1	O14773	Tripeptidyl-peptidase 1	YGKYLTLENVADLVR	15	Lis/End	YLTLENVAD	HB	3
Bazo1	P08631	Tyrosine-protein kinase HCK	ERPTFEYIQSVLDD	14	M	FEYIQSVLD	HB	1
Bazo1	O75643	U5 small nuclear ribonucleoprotein 200 kDa helicase	GDKEIQNMDNNIDE	14	N	IQNMDNNID	HB	1
Bazo1	O75643	U5 small nuclear ribonucleoprotein 200 kDa helicase	GDKEIQNMDNNIDETYG	17	N	IQNMDNNID	HB	2
Bazo1	P45974	Ubiquitin carboxyl-terminal hydrolase 5	EKIFQNAPTDPTQ	13	Lis/End	FQNAPTDPT	HB	1
Bazo1	Q9NZ09	Ubiquitin-associated protein 1	GPIMAQLLDNNLPR	14	C	MAQLLDNNL	NA	1
Bazo1	P46939	Utrophin	DEIEKKPTSKQEEIVK	16	E/EM	IEKKPTSKQ	NA	1
Bazo1	Q709C8	Vacuolar protein sorting-associated protein 13C	IAEKIQGLDSSL	15	ER	IQGLDSSL/IQGLDSSL	HB	1

M ^a	Ac. Number	Proteína	Péptido	T ^b	L ^c	Core	B ^d	R ^e
Bazo1	Q709C8	Vacuolar protein sorting-associated protein 13C	NIAEIKIQGLDSSL	16	ER	IQGLDSSL/IQGLDSSL	HB	1
Bazo1	P19320	Vascular cell adhesion protein 1	SLEMFIPTIEDTGK	15	M	MTFIPTIED	HB	1
Bazo1	P18206	Vinculin	VDQLTAQLADLARG	15	M	VDQLTAQLA	IB	1
Bazo1	Q15904	V-type proton ATPase subunit S1	FGNKQDSAFSNLENALDLAPS	21	M	FSNLENALD	HB	1
Bazo1	Q15904	V-type proton ATPase subunit S1	GNKQDSAFSNLENALDL	17	M	FSNLENALD	HB	1
Bazo1	Q15904	V-type proton ATPase subunit S1	GNKQDSAFSNLENALDLAPS	20	M	FSNLENALD	HB	1
Bazo1	Q15904	V-type proton ATPase subunit S1	GNKQDSAFSNLENALDLAPSS	21	M	FSNLENALD	HB	3
Bazo1	Q15904	V-type proton ATPase subunit S1	GVFGNKQDSAFSNLENALDLAPS	23	M	FSNLENALD	HB	2
Bazo1	Q15904	V-type proton ATPase subunit S1	GVFGNKQDSAFSNLENALDLAPSS	24	M	FSNLENALD	HB	2
Bazo1	Q7Z3T8	Zinc finger FYVE domain-containing protein 16	DPDQTIVRAESLDGGDTS	18	Lis/End	VIRAESDLG	NA	1
Bazo1	P25311	Zinc-alpha-2-glycoprotein	DVPAFQALGSND	13	E/EM	FQALGSND	HB	2
Bazo1	P25311	Zinc-alpha-2-glycoprotein	DVPAFQALGSNLND	14	E/EM	FQALGSND	HB	4
Bazo1	P25311	Zinc-alpha-2-glycoprotein	DVPAFQALGSNLNDLQ	15	E/EM	FQALGSND	HB	6
Bazo1	P25311	Zinc-alpha-2-glycoprotein	DVPAFQALGSNLNDLQF	16	E/EM	FQALGSND	HB	2
Bazo1	P25311	Zinc-alpha-2-glycoprotein	HVEDVPAFQALGSNLNDL	17	E/EM	FQALGSND	HB	1
Bazo1	P25311	Zinc-alpha-2-glycoprotein	HVEDVPAFQALGSNLNDLQ	18	E/EM	FQALGSND	HB	2
Bazo1	P25311	Zinc-alpha-2-glycoprotein	VEDVPAFQALGSNLNDLQ	17	E/EM	FQALGSND	HB	2
Bazo1	P25311	Zinc-alpha-2-glycoprotein	VEDVPAFQALGSNLNDLQF	18	E/EM	FQALGSND	HB	1
Bazo1	P25311	Zinc-alpha-2-glycoprotein	VPAFQALGSNDL	13	E/EM	FQALGSND	HB	2
Bazo1	P25311	Zinc-alpha-2-glycoprotein	VPAFQALGSNLNDLQF	15	E/EM	FQALGSND	HB	1
Bazo2	P63104	14-3-3 protein zeta/delta	VVSSIEQKTEGAEK	14	C	IEQKTEGAE	NA	2
Bazo2	P63104	14-3-3 protein zeta/delta	VVSSIEQKTEGAEEK	15	C	IEQKTEGAE	NA	3
Bazo2	P63104	14-3-3 protein zeta/delta	VVSSIEQKTEGAEKQ	16	C	IEQKTEGAE	NA	2
Bazo2	Q16698	2,4-dienoyl-CoA reductase, mitochondrial	AGHPNIVINNAAGNFISP	18	mit	IVINNAAGN/IVINNAAGN	IB	2
Bazo2	Q16698	2,4-dienoyl-CoA reductase, mitochondrial	AGHPNIVINNAAGNFISPT	19	mit	IVINNAAGN/IVINNAAGN	IB	1
Bazo2	Q16698	2,4-dienoyl-CoA reductase, mitochondrial	GHPNIVINNAAGNFI	15	mit	IVINNAAGN/IVINNAAGN	IB	2
Bazo2	Q16698	2,4-dienoyl-CoA reductase, mitochondrial	GHPNIVINNAAGNFIS	16	mit	IVINNAAGN/IVINNAAGN	IB	2
Bazo2	Q16698	2,4-dienoyl-CoA reductase, mitochondrial	GHPNIVINNAAGNFISP	17	mit	IVINNAAGN/IVINNAAGN	IB	3
Bazo2	Q16698	2,4-dienoyl-CoA reductase, mitochondrial	GHPNIVINNAAGNFISPT	18	mit	IVINNAAGN/IVINNAAGN	IB	4
Bazo2	Q16698	2,4-dienoyl-CoA reductase, mitochondrial	HPNIVINNAAGNFISP	16	mit	IVINNAAGN/IVINNAAGN	IB	2
Bazo2	P11021	78 kDa glucose-regulated protein	SLKNQIGDKEK	11	ER	LKNQIGDKE	LB	1
Bazo2	P11021	78 kDa glucose-regulated protein	ESYAYSLKNQIGDKEK	16	ER	YSLKNQIGD	HB	4
Bazo2	P05186	Alkaline phosphatase, tissue-nonspecific isozyme	SKTYNTNAQVPDSAGTA	17	M	YNTNAQVPD	IB	1
Bazo2	P01009	Alpha-1-antitrypsin	KAVLTIDEKGTEA	13	E/EM	LTIDEKGTE	HB	4

M ^a	Ac. Number	Proteína	Péptido	T ^b	L ^c	Core	B ^d	R ^e
Bazo2	P01009	Alpha-1-antitrypsin	KAVLTIDEKGTEAA	14	E/EM	LTIDEKGTE	HB	5
Bazo2	P01009	Alpha-1-antitrypsin	KAVLTIDEKGTEAAG	15	E/EM	LTIDEKGTE	HB	4
Bazo2	P01009	Alpha-1-antitrypsin	DVKKLYHSEAFTVNFG	16	E/EM	VKKLYHSEA	IB	2
Bazo2	P04217	Alpha-1B-glycoprotein	DHEFLEVPEAQEDVE	15	E/EM	LEVPEAQED	LB	1
Bazo2	P04217	Alpha-1B-glycoprotein	EGDHDFLEVPEAQEDVE	17	E/EM	LEVPEAQED	LB	3
Bazo2	P04217	Alpha-1B-glycoprotein	EGDHDFLEVPEAQEDVEA	18	E/EM	LEVPEAQED	LB	2
Bazo2	P04217	Alpha-1B-glycoprotein	EGDHDFLEVPEAQEDVEAT	19	E/EM	LEVPEAQED	LB	2
Bazo2	P04217	Alpha-1B-glycoprotein	GDHEFLEVPEAQED	14	E/EM	LEVPEAQED	LB	2
Bazo2	P04217	Alpha-1B-glycoprotein	GDHEFLEVPEAQEDVE	16	E/EM	LEVPEAQED	LB	3
Bazo2	P04217	Alpha-1B-glycoprotein	GDHEFLEVPEAQEDVEA	17	E/EM	LEVPEAQED	LB	2
Bazo2	P04217	Alpha-1B-glycoprotein	GDHEFLEVPEAQEDVEAT	18	E/EM	LEVPEAQED	LB	2
Bazo2	P04217	Alpha-1B-glycoprotein	REGDHDFLEVPEAQEDVE	18	E/EM	LEVPEAQED	LB	1
Bazo2	P01023	Alpha-2-macroglobulin	LPGEYSMKTGEG	13	E/EM	YSMKVTGEG	NA	2
Bazo2	P06733	Alpha-enolase	NVINGGSHAGNKL	13	C	VINGGSHAG	IB	1
Bazo2	P06733	Alpha-enolase	SGKYDLDFKSPDDPS	15	C	YDLDLKSPD	NA	2
Bazo2	P06733	Alpha-enolase	SGKYDLDFKSPDDPSR	16	C	YDLDLKSPD	NA	1
Bazo2	P05067	Amyloid beta A4 protein	VIQHFQEKVESLEQE	15	M	FQEKVESLE	NA	2
Bazo2	Q6FG67	Amyloid protein A (Fragment)	AAEVISDARENIQ	13	E/EM	VISDARENI	HB	2
Bazo2	Q6FG67	Amyloid protein A (Fragment)	AAEVISDARENIQR	14	E/EM	VISDARENI	HB	4
Bazo2	Q6FG67	Amyloid protein A (Fragment)	AEVISDARENIQR	13	E/EM	VISDARENI	HB	1
Bazo2	P01019	Angiotensinogen	FIPAPIQAKTSPVDE	15	E/EM	IQAKTSPVD	HB	1
Bazo2	P01019	Angiotensinogen	IPAPIQAKTSPVD	13	E/EM	IQAKTSPVD	HB	1
Bazo2	P01019	Angiotensinogen	IPAPIQAKTSPVDE	14	E/EM	IQAKTSPVD	HB	3
Bazo2	P01019	Angiotensinogen	IPAPIQAKTSPVDEKA	16	E/EM	IQAKTSPVD	HB	1
Bazo2	P01008	Antithrombin-III	ELVYGAQLQPLDFKEN	16	E/EM	LVYGAKLQP/YGAKLQPLD	HB	2
Bazo2	P01008	Antithrombin-III	LVYGAKLQPLDFKEN	15	E/EM	LVYGAKLQP/YGAKLQPLD	HB	1
Bazo2	P01008	Antithrombin-III	SELVYGAQLQPLDFK	15	E/EM	LVYGAKLQP/YGAKLQPLD	HB	2
Bazo2	P01008	Antithrombin-III	SELVYGAQLQPLDFKE	16	E/EM	LVYGAKLQP/YGAKLQPLD	HB	2
Bazo2	P01008	Antithrombin-III	SELVYGAQLQPLDFKEN	17	E/EM	LVYGAKLQP/YGAKLQPLD	HB	4
Bazo2	P63010	AP-2 complex subunit beta-1	NNNVYTIAKRNVEGQD	16	M	YTIAKRNVE	HB	2
Bazo2	P63010	AP-2 complex subunit beta-1	NNNVYTIAKRNVEGQD	15	M	YTIAKRNVE	HB	1
Bazo2	P06727	Apolipoprotein A-IV	EGLTFQMCKNAEAE	13	E/EM	FQMKKNAEE	HB	2
Bazo2	P06727	Apolipoprotein A-IV	EGLTFQMCKNAEELK	15	E/EM	FQMKKNAEE	HB	21
Bazo2	P06727	Apolipoprotein A-IV	EGLTFQMCKNAEELKA	16	E/EM	FQMKKNAEE	HB	16

M ^a	Ac. Number	Proteína	Péptido	T ^b	L ^c	Core	B ^d	R ^e
Bazo2	P06727	Apolipoprotein A-IV	GLTFQMKKNAEE	12	E/EM	FQMKKNAEE	HB	1
Bazo2	P06727	Apolipoprotein A-IV	GLTFQMKKNAEELK	14	E/EM	FQMKKNAEE	HB	7
Bazo2	P06727	Apolipoprotein A-IV	LEGLTFQMKKNAEE	14	E/EM	FQMKKNAEE	HB	3
Bazo2	P06727	Apolipoprotein A-IV	LEGLTFQMKKNAEELKA	17	E/EM	FQMKKNAEE	HB	21
Bazo2	P04114	Apolipoprotein B-100	SQAIATKKIISDYHQ	15	E/EM	IATKKIISD	HB	5
Bazo2	P04114	Apolipoprotein B-100	INNQLTLDNSNTKYFH	15	E/EM	LTLDNSNTKY	HB	3
Bazo2	P04114	Apolipoprotein B-100	INNQLTLDNSNTKYFHK	16	E/EM	LTLDNSNTKY	HB	16
Bazo2	P98160	Basement membrane-specific heparan sulfate proteoglycan core protein	TPPLSSTQLQIDPSLHE	17	E/EM	LQIDPSLHE	IB	1
Bazo2	P98160	Basement membrane-specific heparan sulfate proteoglycan core protein	TPPLSSTQLQIDPSLHEFQ	19	E/EM	LQIDPSLHE	HB	1
Bazo2	P15907	Beta-galactoside alpha-2,6-sialyltransferase 1	DAVLRFNGAPTANFQ	15	M	FNGAPTANF	IB	2
Bazo2	P21810	Biglycan	SVPKEISPDTLLDLQNN	18	E/EM	ISPDTLLD	IB	1
Bazo2	P21810	Biglycan	VPKEISPDTLLDLQN	16	E/EM	ISPDTLLD	IB	2
Bazo2	P55287	Cadherin-11	INPEDGFIKTTKPLDR	16	M	FIKTTKPLD	IB	1
Bazo2	P55287	Cadherin-11	INPEDGFIKTTKPLDREET	19	M	FIKTTKPLD	IB	4
Bazo2	P55287	Cadherin-11	NPEDGFIKTTKPLDR	15	M	FIKTTKPLD	IB	2
Bazo2	P55287	Cadherin-11	NPEDGFIKTTKPLDREET	18	M	FIKTTKPLD	IB	5
Bazo2	P19022	Cadherin-2	SNDGLVTVVKPIDFETN	17	M	LVTVVKPID/LVTVVKPID	HB	2
Bazo2	P62158	Calmodulin	IREADIDGQVN	13	C	IREADIDGD	LB	1
Bazo2	P00915	Carbonic anhydrase 1	LSNVEGDNAPMQH	14	C	VEGDNAPM	NA	2
Bazo2	P00915	Carbonic anhydrase 1	LSNVEGDNAPMQHN	15	C	VEGDNAPM	NA	1
Bazo2	P00915	Carbonic anhydrase 1	LSNVEGDNAPMQHNN	16	C	VEGDNAPM	NA	8
Bazo2	P00915	Carbonic anhydrase 1	SNVEGDNAPMQHNN	15	C	VEGDNAPM	NA	4
Bazo2	P07339	Cathepsin D	SPEDYTLKVSQAGK	14	Lis/End	YTLKVSQAG	IB	2
Bazo2	P25774	Cathepsin S	DNKGIDSDASYPYK	14	Lis/End	IDSDASYPY	NA	3
Bazo2	P25774	Cathepsin S	DNKGIDSDASYPYKA	15	Lis/End	IDSDASYPY	NA	2
Bazo2	P25774	Cathepsin S	DNKGIDSDASYPYKAM	16	Lis/End	IDSDASYPY	NA	2
Bazo2	P25774	Cathepsin S	DNKGIDSDASYPYKAMD	17	Lis/End	IDSDASYPY	NA	3
Bazo2	P25774	Cathepsin S	DNKGIDSDASYPYKAMDQ	18	Lis/End	IDSDASYPY	NA	1
Bazo2	P25774	Cathepsin S	IDNKGIDSDASYPYK	15	Lis/End	IDSDASYPY	NA	1
Bazo2	P25774	Cathepsin S	AFQYIIDNKGIDSDA	15	Lis/End	YIIDNKGID	HB	3
Bazo2	P25774	Cathepsin S	AFQYIIDNKGIDSDAS	16	Lis/End	YIIDNKGID	HB	2
Bazo2	P25774	Cathepsin S	AFQYIIDNKGIDSDASYP	18	Lis/End	YIIDNKGID	HB	1
Bazo2	P25774	Cathepsin S	FQYIIDNKGIDS	12	Lis/End	YIIDNKGID	HB	2
Bazo2	P25774	Cathepsin S	FQYIIDNKGIDSD	13	Lis/End	YIIDNKGID	HB	1

M ^a	Ac. Number	Proteína	Péptido	T ^b	L ^c	Core	B ^d	R ^e
Bazo2	P25774	Cathepsin S	FQYIIDNKGIDSDA	14	Lis/End	YIIDNKGID	HB	4
Bazo2	P25774	Cathepsin S	FQYIIDNKGIDSDAS	15	Lis/End	YIIDNKGID	HB	2
Bazo2	P25774	Cathepsin S	FQYIIDNKGIDSDASYP	17	Lis/End	YIIDNKGID	HB	2
Bazo2	P25774	Cathepsin S	QYIIDNKGIDSD	12	Lis/End	YIIDNKGID	HB	1
Bazo2	P25774	Cathepsin S	QYIIDNKGIDSDAS	14	Lis/End	YIIDNKGID	HB	1
Bazo2	P25774	Cathepsin S	TAFQYIIDNKGIDSD	15	Lis/End	YIIDNKGID	HB	4
Bazo2	P25774	Cathepsin S	TAFQYIIDNKGIDSDA	16	Lis/End	YIIDNKGID	HB	3
Bazo2	P25774	Cathepsin S	TAFQYIIDNKGIDSDAS	17	Lis/End	YIIDNKGID	HB	3
Bazo2	P25774	Cathepsin S	TAFQYIIDNKGIDSDASYP	19	Lis/End	YIIDNKGID	HB	1
Bazo2	P25774	Cathepsin S	TTAFQYIIDNKGIDSDAS	18	Lis/End	YIIDNKGID	HB	1
Bazo2	P25774	Cathepsin S	YIIDNKGIDSDAS	13	Lis/End	YIIDNKGID	HB	2
Bazo2	Q9UBR2	Cathepsin Z	DGVNYASITRNQH	13	Lis/End	VNYASITRN/YASITRNQH	NA	1
Bazo2	O00299	Chloride intracellular channel protein 1	FSAYIKNSNPALNDN	15	N	FSAYIKNSN	HB	1
Bazo2	P10909	Clusterin	KNPKFMETVAEKALQ	15	E/EM	FMETVAEKA	LB	2
Bazo2	P10909	Clusterin	KNPKFMETVAEKALQE	16	E/EM	FMETVAEKA	LB	2
Bazo2	P08572	Collagen alpha-2(IV) chain	EAPAIAIAVHSQDV	15	E/EM	IAIAVHSQD	IB	2
Bazo2	P08572	Collagen alpha-2(IV) chain	EAPAIAIAVHSQDVSI	18	E/EM	VHSQDVSI	IB	2
Bazo2	P09871	Complement C1s subcomponent	FPGPLNIETKSNALD	15	E/EM	IETKSNALD	HB	2
Bazo2	P09871	Complement C1s subcomponent	FPGPLNIETKSNALDIIFQ	19	E/EM	IETKSNALD	HB	2
Bazo2	P09871	Complement C1s subcomponent	GPLNIETKSNALDI	14	E/EM	IETKSNALD	HB	2
Bazo2	P01024	Complement C3	IRAYYENSPQQVFS	14	E/EM	YENSPQQVF	LB	2
Bazo2	P01024	Complement C3	IRAYYENSPQQVFSTE	16	E/EM	YENSPQQVF	LB	2
Bazo2	P01024	Complement C3	KIRAYYENSPQQVFS	15	E/EM	YENSPQQVF	LB	3
Bazo2	P01031	Complement C5	EFNVKTDAPDLPE	13	E/EM	VKTADPDL/FNVKTDAPD	HB	1
Bazo2	P01031	Complement C5	TVLEFNVKTDAPDLPE	16	E/EM	VKTADPDL/FNVKTDAPD	HB	2
Bazo2	P01031	Complement C5	VLEFNVKTDAPDLPE	15	E/EM	VKTADPDL/FNVKTDAPD	HB	1
Bazo2	P01189	Corticotropin-lipotropin	YGGFMTSEKSQTPLVT	16	E/EM	FMTSEKSQT	IB	16
Bazo2	P02741	C-reactive protein	GYSIFSYATKRQDN	14	E/EM	FSYATKRQD	HB	1
Bazo2	P02741	C-reactive protein	GYSIFSYATKRQDNE	15	E/EM	FSYATKRQD	HB	2
Bazo2	P02741	C-reactive protein	YSIFSYATKRQDNE	14	E/EM	FSYATKRQD	HB	3
Bazo2	P25106	C-X-C chemokine receptor type 7	VNIQAKTTGYDTH	13	M	VNIQAKTTG/IQAKTTGYD	HB	2
Bazo2	P01040	Cystatin-A	LVLTYQVDKNKDDELTF	19	C	YQVDKNKDD	IB	1
Bazo2	P01040	Cystatin-A	TGYQVDKNKDDELTF	16	C	YQVDKNKDD	NA	2
Bazo2	P01040	Cystatin-A	VLTGYQVDKNKDDELTF	18	C	YQVDKNKDD	NA	2

M ^a	Ac. Number	Proteína	Péptido	T ^b	L ^c	Core	B ^d	R ^e
Bazo2	P01040	Cystatin-A	YQVDKNKDDLTGF	14	C	YQVDKNKDD	NA	1
Bazo2	Q9H3Z4	DnaJ homolog subfamily C member 5	ATETTQLTADSHPSYHTDG	19	M	LTADSHPSY	HB	2
Bazo2	Q9H3Z4	DnaJ homolog subfamily C member 5	ETTQLTADSHPSYHTDG	17	M	LTADSHPSY	HB	4
Bazo2	Q9H3Z4	DnaJ homolog subfamily C member 5	SATETTQLTADSHPSYHTDG	20	M	LTADSHPSY	HB	2
Bazo2	Q9H3Z4	DnaJ homolog subfamily C member 5	TETTQLTADSHPSYHTDG	18	M	LTADSHPSY	HB	4
Bazo2	Q9H3Z4	DnaJ homolog subfamily C member 5	TTQLTADSHPSYHTDG	16	M	LTADSHPSY	HB	3
Bazo2	Q9HBW9	EGF, latrophilin and seven transmembrane domain-containing protein 1	SSDNFLLPQNYDNSEE	17	M	FLLKPQNYD	HB	1
Bazo2	Q08830	Fibrinogen-like protein 1	NSRYAQYKNFKVGDE	15	E/EM	YKNFKVGDE	IB	2
Bazo2	Q08830	Fibrinogen-like protein 1	SRYAQYKNFKVGDE	14	E/EM	YKNFKVGDE	IB	3
Bazo2	P02751	Fibronectin	ITGYIIKYEKPGSPP	15	E/EM	IIKYEKPGS/ IIKYEKPGS	IB	2
Bazo2	P02751	Fibronectin	EVSVYALKDTLTSRPA	16	E/EM	YALKDTLTS	IB	2
Bazo2	P02751	Fibronectin	IPGHLNSYTIGLPG	16	E/EM	YTIKGLPG	IB	4
Bazo2	O00602	Ficolin-1	NNFFSTKDQNDNDVS	14	E/EM	FSTKDQNDND	NA	1
Bazo2	O00602	Ficolin-1	NNNFFSTKDQNDNDVS	15	E/EM	FSTKDQNDND	NA	2
Bazo2	O00602	Ficolin-1	NNNNFSTKDQNDNDVSS	16	E/EM	FSTKDQNDND	NA	3
Bazo2	O00602	Ficolin-1	NNNNFSTKDQNDNDVSSN	18	E/EM	FSTKDQNDND	NA	1
Bazo2	Q5D862	Filaggrin-2	PVLKNPDDPDTV	12	C	LKNPDDPDT	LB	1
Bazo2	Q5D862	Filaggrin-2	PVLKNPDDPDTVD	13	C	LKNPDDPDT	LB	1
Bazo2	P21333	Filamin-A	EETVITVDTKAAGKGK	16	C	ITVDTKAAG	HB	3
Bazo2	P21333	Filamin-A	ETVITVDTKAAGKGK	15	C	ITVDTKAAG	HB	2
Bazo2	P21333	Filamin-A	GNPAEFVVNTSNAGAG	16	C	VVNTSNAGA/FVVNTSNAG	IB	4
Bazo2	P21333	Filamin-A	GNPAEFVVNTSNAGAGA	17	C	VVNTSNAGA/FVVNTSNAG	IB	1
Bazo2	P21333	Filamin-A	NPAEFVVNTSNAGAG	15	C	VVNTSNAGA/FVVNTSNAG	IB	4
Bazo2	Q16595	Frataxin, mitochondrial	DLGTYVINKQTPNKQ	15	mit	VINKQTPNK	IB	1
Bazo2	Q16595	Frataxin, mitochondrial	GDLGTYVINKQTPNKQ	16	mit	VINKQTPNK	IB	2
Bazo2	P13284	Gamma-interferon-inducible lysosomal thiol reductase	ALDFFGNGPPVNYKTG	16	Lis/End	FGNGPPVNY/FGNGPPVNY	IB	1
Bazo2	P13284	Gamma-interferon-inducible lysosomal thiol reductase	DFFGNGPPVNYKTGN	15	Lis/End	FGNGPPVNY/FGNGPPVNY	IB	1
Bazo2	P06744	Glucose-6-phosphate isomerase	SNTPILVDGKDVMPE	15	C	ILVDGKDVM/VDGKDVMPE	HB	1
Bazo2	P06744	Glucose-6-phosphate isomerase	SNTPILVDGKDVMPEVN	17	C	ILVDGKDVM/VDGKDVMPE	HB	1
Bazo2	P06744	Glucose-6-phosphate isomerase	TPILVDGKDVMPE	13	C	ILVDGKDVM/VDGKDVMPE	HB	4
Bazo2	P06744	Glucose-6-phosphate isomerase	TPILVDGKDVMPEVN	15	C	ILVDGKDVM/VDGKDVMPE	HB	1
Bazo2	P62826	GTP-binding nuclear protein Ran	APPEVVMDPALAAQYEHD	18	N	VVMDPALAA	HB	4
Bazo2	P00738	Haptoglobin	LTLYVGKKQLVEIEK	15	E/EM	LYVGKKQLV/YVGKKQLVE	HB	3
Bazo2	P00738	Haptoglobin	LYVGKKQLVEIEK	13	E/EM	LYVGKKQLV/YVGKKQLVE	HB	3

M ^a	Ac. Number	Proteína	Péptido	T ^b	L ^c	Core	B ^d	R ^e
Bazo2	P11142	Heat shock cognate 71 kDa protein	DAAKNQVAMNPTNTFDA	18	C	VAMNPTNTV	IB	3
Bazo2	P11142	Heat shock cognate 71 kDa protein	DAAKNQVAMNPTNTFDAK	19	C	VAMNPTNTV	IB	1
Bazo2	Q9NZL4	Heat shock-related 70 kDa protein 2	IEDGIFEVKSTAGDTH	16	C	FEVKSTAGD	HB	1
Bazo2	P42357	Histidine ammonia-lyase	ANRGETVSGGNFHGE	15	C	VSGGNFHGE	LB	1
Bazo2	HLA-I, α chain	HLA class I histocompatibility antigen, alpha chain	AAVVPSGEEQRYT	14	M	VVPSGEEQR	NA	3
Bazo2	HLA-I, α chain	HLA class I histocompatibility antigen, alpha chain	AVVVPSEGEEQRYT	13	M	VVPSGEEQR	NA	1
Bazo2	P04233	HLA class II histocompatibility antigen gamma chain	LELEDPSSGLGVTKQDLGPVPM	22	M	LELEDPSSG	LB	1
Bazo2	P04233	HLA class II histocompatibility antigen gamma chain	ELEDPSSGLGVTKQDLGPVPM	21	M	VTKQDLGPV	LB	1
Bazo2	HLA-II, DQ α chain	HLA class II histocompatibility antigen, DQ alpha chain	DIVADHVASYGVN	13	M	IVADHVASY	HB	1
Bazo2	HLA-II, DQ α chain	HLA class II histocompatibility antigen, DQ alpha chain	EDIVADHVASYGVN	14	M	IVADHVASY	HB	3
Bazo2	HLA-II, DR α chain	HLA class II histocompatibility antigen, DR alpha chain	ANIAVDKANLEIM	13	M	IAVDKANLE	IB	2
Bazo2	HLA-II, DR α chain	HLA class II histocompatibility antigen, DR alpha chain	ANIAVDKANLEIMT	14	M	IAVDKANLE	IB	1
Bazo2	HLA-II, DR α chain	HLA class II histocompatibility antigen, DR alpha chain	LANIAVDKANLEI	13	M	IAVDKANLE	IB	1
Bazo2	HLA-II, DR α chain	HLA class II histocompatibility antigen, DR alpha chain	LANIAVDKANLEIM	14	M	IAVDKANLE	IB	4
Bazo2	P06213	Insulin receptor	SVAAYVSARTMPEAKA	16	M	YVSARTMPE	HB	2
Bazo2	P06213	Insulin receptor	VAAYVSARTMPEAKA	15	M	YVSARTMPE	HB	2
Bazo2	P14735	Insulin-degrading enzyme	SEHAGSSNAFTSGEHTN	17	C	AGSSNAFTS	LB	1
Bazo2	P19827	Inter-alpha-trypsin inhibitor heavy chain H1	EGSEIVVAGRIADN	14	E/EM	IVVAGRIAD/IVVAGRIAD	IB	1
Bazo2	P19827	Inter-alpha-trypsin inhibitor heavy chain H1	YEGSEIVVAGRIADN	15	E/EM	IVVAGRIAD/IVVAGRIAD	IB	3
Bazo2	Q06033	Inter-alpha-trypsin inhibitor heavy chain H3	DGSEIVVAGRLVDED	15	E/EM	IVVAGRLVD	NA	1
Bazo2	Q06033	Inter-alpha-trypsin inhibitor heavy chain H3	DGSEIVVAGRLVDEDM	16	E/EM	IVVAGRLVD	NA	1
Bazo2	Q06033	Inter-alpha-trypsin inhibitor heavy chain H3	DGSEIVVAGRLVDEDMN	17	E/EM	IVVAGRLVD	NA	2
Bazo2	Q06033	Inter-alpha-trypsin inhibitor heavy chain H3	YDGSEIVVAGRLVDEDMN	18	E/EM	IVVAGRLVD	NA	3
Bazo2	Q06033	Inter-alpha-trypsin inhibitor heavy chain H3	YDGSEIVVAGRLVDEDMNS	19	E/EM	IVVAGRLVD	NA	2
Bazo2	Q14624	Inter-alpha-trypsin inhibitor heavy chain H4	GSEMVVAGKLQDRGPD	16	E/EM	MVVAGKLQD/MVVAGKLQD	NA	10
Bazo2	Q14624	Inter-alpha-trypsin inhibitor heavy chain H4	GSEMVVAGKLQDRGPDV	17	E/EM	MVVAGKLQD/MVVAGKLQD	NA	1
Bazo2	Q14624	Inter-alpha-trypsin inhibitor heavy chain H4	KGSEMVVAGKLQDRGPD	17	E/EM	MVVAGKLQD/MVVAGKLQD	NA	9
Bazo2	Q14624	Inter-alpha-trypsin inhibitor heavy chain H4	KGSEMVVAGKLQDRGPDV	18	E/EM	MVVAGKLQD/MVVAGKLQD	NA	11
Bazo2	P33176	Kinesin-1 heavy chain	GGAFVQNSQPVAVRG	15	C	FVQNSQPVA	IB	1
Bazo2	P33176	Kinesin-1 heavy chain	GGAFVQNSQPVAVRGGG	17	C	FVQNSQPVA	IB	1
Bazo2	P33176	Kinesin-1 heavy chain	GGAFVQNSQPVAVRGGGG	18	C	FVQNSQPVA	IB	2
Bazo2	P02788	Lactotransferrin	LAPYKLRPVAAEVYG	15	E/EM	YKLRPVAAE	IB	1
Bazo2	P18428	Lipopolsaccharide-binding protein	AISDYVFNTASLVYHEE	17	E/EM	YVFNTASLV/YVFNTASLV	IB	1
Bazo2	P08637	Low affinity immunoglobulin gamma Fc region receptor III-A	NSDFYIPKATLKD	13	M	YIPKATLKD	HB	1

M ^a	Ac. Number	Proteína	Péptido	T ^b	L ^c	Core	B ^d	R ^e
Bazo2	P08637	Low affinity immunoglobulin gamma Fc region receptor III-A	NSDFYIPKATLKDSG	15	M	YIPKATLKD	HB	1
Bazo2	P08637	Low affinity immunoglobulin gamma Fc region receptor III-A	NSDFYIPKATLKDSGS	16	M	YIPKATLKD	HB	4
Bazo2	P08637	Low affinity immunoglobulin gamma Fc region receptor III-A	NSDFYIPKATLKDSGSY	17	M	YIPKATLKD	HB	2
Bazo2	P08637	Low affinity immunoglobulin gamma Fc region receptor III-A	SDFYIPKATLKDSGS	15	M	YIPKATLKD	HB	2
Bazo2	P11279	Lysosome-associated membrane glycoprotein 1	LNTILPDARDPAFK	14	M	ILPDARDPA	HB	2
Bazo2	P11279	Lysosome-associated membrane glycoprotein 1	NTILPDARDPAFK	13	M	ILPDARDPA	HB	2
Bazo2	P14174	Macrophage migration inhibitory factor	KPPQYIAVHVVPDQ	14	E/EM	YIAVHVVPD	HB	2
Bazo2	Q13155	Multisynthetase complex auxiliary component p38	ALKDIVINANPASPP	15	C	IVINANPAS	HB	1
Bazo2	Q13155	Multisynthetase complex auxiliary component p38	DYGALKDIVINANPASPP	18	C	IVINANPAS	HB	1
Bazo2	Q13155	Multisynthetase complex auxiliary component p38	KDIVINANPASPP	13	C	IVINANPAS	IB	2
Bazo2	O00499	Myc box-dependent-interacting protein 1	ESLQTAKKDEAKIAK	16	N	LQTAKKKDE	HB	4
Bazo2	P05204	Non-histone chromosomal protein HMG-17	TDQAQKAEGAGDAK	14	N	DQAQKAEGA	LB	1
Bazo2	P10451	Osteopontin	GAYKAIPVAQDLNAPS	16	E/EM	YKAIPVAQD	HB	1
Bazo2	P10451	Osteopontin	LNGAYKAIPVAQDLNAPS	18	E/EM	YKAIPVAQD	HB	1
Bazo2	Q86UD1	Out at first protein homolog	DSSVFEALPKASEQA	15	C	FEALPKASE	HB	1
Bazo2	P19021	Peptidyl-glycine alpha-amidating monooxygenase	LPQAFYPVGHPVDVS	15	M	FYPVGHPVD	NA	1
Bazo2	P13796	Plastin-2	NAKYAIMARKIG	13	C	YAISMARKI	LB	1
Bazo2	P13796	Plastin-2	NNAKYAIMARKIG	14	C	YAISMARKI	LB	1
Bazo2	P16284	Platelet endothelial cell adhesion molecule	STESYFIPEVRIYDSGY	18	M	VRIYDSGY/FIPEVRIYD	IB	1
Bazo2	P40197	Platelet glycoprotein V	VNLQELALNQNQLDFLPA	18	E/EM	VNLQELALN	IB	4
Bazo2	Q10472	Polypeptide N-acetylgalactosaminyltransferase 1	GDVLEPVQKPHEPGP	15	g	LEPVQKPHE	NA	1
Bazo2	Q9H3G5	Probable serine carboxypeptidase CPVL	KYVPAIAHLIHS	12	Lis/End	VPAIAHLIH	IB	2
Bazo2	Q9H3G5	Probable serine carboxypeptidase CPVL	YAGKYVPAIAHLIHS	15	Lis/End	VPAIAHLIH	IB	1
Bazo2	Q7Z5N4	Protein sidekick-1	DTPTTGYVIEARPSDEG	17	M	YVIEARPSD	HB	1
Bazo2	Q7Z5N4	Protein sidekick-1	TPTTGYVIEARPSDEG	16	M	YVIEARPSD	HB	1
Bazo2	Q08188	Protein-glutamine gamma-glutamyltransferase E	NSAHTDRNLSVD	13	C	HDTDRNLSV	LB	1
Bazo2	Q8NHP8	Putative phospholipase B-like 2	IPGMVVVADKTSELYQ	16	Lis/End	VVADKTSEL/MVVVADKTS	HB	1
Bazo2	P52566	Rho GDP-dissociation inhibitor 2	DGPVVTDPKAPNVV	14	C	VVTDPKAPN/VVTDPKAPN	HB	1
Bazo2	P52566	Rho GDP-dissociation inhibitor 2	DGPVVTDPKAPNVVT	16	C	VVTDPKAPN/VVTDPKAPN	HB	1
Bazo2	P02787	Serotransferrin	KEDPQTYYAVAVVKDSG	19	E/EM	VAVVKDSG	HB	4
Bazo2	P19634	Sodium/hydrogen exchanger 1	EPKEDLPVITIDPASPQSP	20	M	ITIDPASPQ	IB	1
Bazo2	O00560	Syntenin-1	ITSIVKDSSAARNGL	15	M	IVKDSSAAR	HB	1
Bazo2	Q9Y490	Talin-1	SAAKILADATAKMVEA	16	M	ILADATAKM	HB	2
Bazo2	P01730	T-cell surface glycoprotein CD4	ASSIVYKKEGEQVE	14	M	IVYKKEGEQ	NA	4

M ^a	Ac. Number	Proteína	Péptido	T ^b	L ^c	Core	B ^d	R ^e
Bazo2	P62988	Ubiquitin	AGKQLEDGRTLSD	13	C	LEDGRTLSD	LB	1
Bazo2	Q9BSL1	Ubiquitin-associated domain-containing protein 1	VIDALRVNNNQQNAA	15	C	LRVNNNQQA/LRVNNNQQA	IB	2
Bazo2	P19320	Vascular cell adhesion protein 1	ISPKNNTVISNPSTKLQEGGS	21	M	VNPSTKLQE	HB	2
Bazo2	P19320	Vascular cell adhesion protein 1	NTVISVNPNSTKLQEG	15	M	VNPSTKLQE	HB	3
Bazo2	P19320	Vascular cell adhesion protein 1	NTVISVNPNSTKLQEGGS	17	M	VNPSTKLQE	HB	3
Bazo2	P19320	Vascular cell adhesion protein 1	NTVISVNPNSTKLQEGGSVT	19	M	VNPSTKLQE	HB	1
Bazo2	P19320	Vascular cell adhesion protein 1	TVISVNPNSTKLQEGGS	16	M	VNPSTKLQE	HB	2
Bazo2	P19320	Vascular cell adhesion protein 1	STQTLYVNVAAPRDTT	15	M	YVNVAAPRDT	IB	4
Bazo2	P19320	Vascular cell adhesion protein 1	TQTLYVNVAAPRDTTV	15	M	YVNVAAPRDT	IB	2
Bazo2	P18206	Vinculin	ISPMVMDAKAVAG	13	M	MVMDAKAVA	HB	2
Bazo2	P18206	Vinculin	ISPMVMDAKAVAGNI	15	M	MVMDAKAVA	HB	1
Bazo2	P18206	Vinculin	TISPMVMDAKAVAGNI	16	M	MVMDAKAVA	HB	1
Bazo2	P18206	Vinculin	TISPMVMDAKAVAGNIS	17	M	MVMDAKAVA	HB	3
Bazo2	P04004	Vitronectin	VGGPSLSDLQACQSKGNPE	19	E/EM	LTSDLQAQS	HB	1
Bazo2	Q14202	Zinc finger MYM-type protein 3	STESIPVSDEDSDA	14	N	IPVSDEDSD	LB	1
Bazo3	P11021	78 kDa glucose-regulated protein	SAGPPPTGEEDTAEKDEL	18	ER	PPPTGEEDT	LB	2
Bazo3	P01023	Alpha-2-macroglobulin	LSFSPSQSLPASHA	14	E/EM	LSFSPSQL	HB	1
Bazo3	P01023	Alpha-2-macroglobulin	NKVDSLFSPSQLPA	15	E/EM	LSFSPSQL	HB	1
Bazo3	P01023	Alpha-2-macroglobulin	NKVDSLFSPSQLPAS	16	E/EM	LSFSPSQL	HB	1
Bazo3	P01023	Alpha-2-macroglobulin	VDLSFPSQSLPASH	15	E/EM	LSFSPSQL	HB	1
Bazo3	Q6Q788	Apolipoprotein A-V	APEFQQTDSGKVL	13	E/EM	FQQTDSGKV	HB	2
Bazo3	Q6Q788	Apolipoprotein A-V	FAPEFQQTDSGKVL	14	E/EM	FQQTDSGKV	HB	4
Bazo3	P04114	Apolipoprotein B-100	MDMTFSKQNALLSEYQ	17	E/EM	FSKQNALLR	IB	4
Bazo3	P04114	Apolipoprotein B-100	FSRNYQLYKSVLSPS	15	E/EM	YQLYKSVL/YQLYKSVL	HB	2
Bazo3	P04114	Apolipoprotein B-100	SRNYQLYKSVLSPS	14	E/EM	YQLYKSVL/YQLYKSVL	HB	1
Bazo3	P04114	Apolipoprotein B-100	NPNGYSFSIPVKVLA	15	E/EM	YSFSIPVKV	HB	1
Bazo3	P02649	Apolipoprotein E	LSKELQAAQARLGADM	16	E/EM	LQAAQARLG	NA	3
Bazo3	P02649	Apolipoprotein E	LSKELQAAQARLGADME	17	E/EM	LQAAQARLG	NA	5
Bazo3	P11912	B-cell antigen receptor complex-associated protein alpha-chain	GTYQDVGSNLIGDV	14	M	YQDVGSNI	HB	3
Bazo3	P11912	B-cell antigen receptor complex-associated protein alpha-chain	QGTYQDVGSNLIGDV	15	M	YQDVGSNI	HB	1
Bazo3	O00462	Beta-mannosidase	IESTFDVVSSKPVG	14	Lis/End	FDVVSSKPV	HB	1
Bazo3	O00462	Beta-mannosidase	IESTFDVVSSKPVGQQ	16	Lis/End	FDVVSSKPV	HB	2
Bazo3	P00736	Complement C1r subcomponent	FPKPYPNNFETTTVITVPTG	20	E/EM	FETTTVITV	HB	3
Bazo3	P00736	Complement C1r subcomponent	GDFRYTTTMGVNTY	14	E/EM	FRYTTTMGV/FRYTTTMGV	HB	9

M ^a	Ac. Number	Proteína	Péptido	T ^b	L ^c	Core	B ^d	R ^e
Bazo3	P00736	Complement C1r subcomponent	LPNGDFRYTTTMGVNT	16	E/EM	FRYTTTMGV/FRYTTTMGV	HB	1
Bazo3	P00736	Complement C1r subcomponent	LPNGDFRYTTTMGVNTY	17	E/EM	FRYTTTMGV/FRYTTTMGV	HB	9
Bazo3	P00736	Complement C1r subcomponent	EASGYISSLEYPRSYPPD	18	E/EM	LEYPRSYPP	IB	1
Bazo3	P09871	Complement C1s subcomponent	INEYWVLTAAHVVE	14	E/EM	WVLAAHVV/INEYWVLTA	HB	2
Bazo3	P01024	Complement C3	SPMYSIITPNILR	13	E/EM	YSIITPNIL	HB	5
Bazo3	P01024	Complement C3	SPMYSIITPNILRLE	15	E/EM	YSIITPNIL	HB	2
Bazo3	P02741	C-reactive protein	YTELSSTRGYSIFS	14	E/EM	LSSTRGYSI	HB	2
Bazo3	P02741	C-reactive protein	YTELSSTRGYSIFSY	15	E/EM	LSSTRGYSI	HB	1
Bazo3	P02671	Fibrinogen alpha chain	YSKQFTSSTSNSNRG	14	E/EM	FTSSTSNSNR	HB	3
Bazo3	P02671	Fibrinogen alpha chain	YSKQFTSSTSNSNRGD	15	E/EM	FTSSTSNSNR	HB	1
Bazo3	P02671	Fibrinogen alpha chain	YSKQFTSSTSNSNRGDS	16	E/EM	FTSSTSNSNR	HB	9
Bazo3	P02675	Fibrinogen beta chain	GGETSEMYLIQPDSVKPY	19	E/EM	YLIQPDSSV	IB	2
Bazo3	P02675	Fibrinogen beta chain	SEMYLIQPDSVKPY	15	E/EM	YLIQPDSSV	IB	1
Bazo3	P02675	Fibrinogen beta chain	TSEMYLIQPDSVKP	15	E/EM	YLIQPDSSV	IB	1
Bazo3	P02675	Fibrinogen beta chain	TSEMYLIQPDSVKPY	16	E/EM	YLIQPDSSV	IB	2
Bazo3	P02675	Fibrinogen beta chain	ISVNKYRGTAGNALM	15	E/EM	YRGTAGNAL	HB	5
Bazo3	P02675	Fibrinogen beta chain	ISVNKYRGTAGNALMDG	17	E/EM	YRGTAGNAL	HB	11
Bazo3	P02675	Fibrinogen beta chain	ISVNKYRGTAGNALMDGA	18	E/EM	YRGTAGNAL	HB	1
Bazo3	P02675	Fibrinogen beta chain	SVNKYRGTAGNALM	14	E/EM	YRGTAGNAL	HB	4
Bazo3	P02675	Fibrinogen beta chain	SVNKYRGTAGNALMD	15	E/EM	YRGTAGNAL	HB	1
Bazo3	P02675	Fibrinogen beta chain	SVNKYRGTAGNALMDG	16	E/EM	YRGTAGNAL	HB	14
Bazo3	P02679	Fibrinogen gamma chain	LQEIYNSNNQKIVN	14	E/EM	IYNSNNQKI	HB	2
Bazo3	P02679	Fibrinogen gamma chain	QEIYNSNNQKIVN	13	E/EM	IYNSNNQKI	HB	3
Bazo3	P02679	Fibrinogen gamma chain	YLQEIYNSNNQKIVN	15	E/EM	IYNSNNQKI	HB	1
Bazo3	P02679	Fibrinogen gamma chain	GPEADKYRLTYAYFAGGD	18	E/EM	YRLTYAYFA	HB	5
Bazo3	P02679	Fibrinogen gamma chain	VGPEADKYRLTYAYFAGGD	19	E/EM	YRLTYAYFA	HB	7
Bazo3	Q08830	Fibrinogen-like protein 1	NSRYAQYKNFKVGDE	15	E/EM	YAQYKNFKV	HB	1
Bazo3	P02751	Fibronectin	APSNLRFATTPNSL	15	E/EM	FLATTPNSL	HB	1
Bazo3	P02751	Fibronectin	APSNLRFATTPNSLLVS	18	E/EM	FLATTPNSL	HB	3
Bazo3	P02751	Fibronectin	IPAPTDLKFTQVTPTS	16	E/EM	LKFTQVTPT	IB	1
Bazo3	P02751	Fibronectin	IPAPTDLKFTQVTPTSL	17	E/EM	LKFTQVTPT	HB	2
Bazo3	P02751	Fibronectin	IPAPTDLKFTQVTPTSLS	18	E/EM	LKFTQVTPT	HB	1
Bazo3	P02751	Fibronectin	IPAPTDLKFTQVTPTSLAQ	20	E/EM	LKFTQVTPT	HB	1
Bazo3	P02751	Fibronectin	VSSVYEQHESTPLRG	15	E/EM	YEQHESTPL	HB	1

M ^a	Ac. Number	Proteína	Péptido	T ^b	L ^c	Core	B ^d	R ^e
Bazo3	P02751	Fibronectin	APITGYRIVYSPSVE	15	E/EM	YRIVYSPSV/YRIVYSPSV	HB	1
Bazo3	P02751	Fibronectin	APITGYRIVYSPSVEG	16	E/EM	YRIVYSPSV/YRIVYSPSV	HB	1
Bazo3	P02751	Fibronectin	APITGYRIVYSPSVEGS	17	E/EM	YRIVYSPSV/YRIVYSPSV	HB	1
Bazo3	P02751	Fibronectin	APITGYRIVYSPSVEGSS	18	E/EM	YRIVYSPSV/YRIVYSPSV	HB	4
Bazo3	Q8WTR4	Glycerophosphodiester phosphodiesterase domain-containing protein 5	SYDTYANSTATPVGPR	16	N	YANSTATPV	HB	2
Bazo3	P00738	Haptoglobin	TAKDIAPTLTLYVGKK	16	E/EM	IAPTLTLYV	HB	2
Bazo3	P00738	Haptoglobin	INEQWLLTTAKNL	13	E/EM	WLLTTAKNL	HB	2
Bazo3	P34931	Heat shock 70 kDa protein 1L	TPSYVAFTDTERL	13	C	VAFTDTERL	HB	4
Bazo3	P34931	Heat shock 70 kDa protein 1L	TPSYVAFTDTERLI	14	C	VAFTDTERL	HB	1
Bazo3	Q6NYC1	Histone arginine demethylase JMJD6	GDGTVHRRKKRRT	13	N	VHRRKKRRT	LB	1
Bazo3	Q8NEZ4	Histone-lysine N-methyltransferase MLL3	DLKQFRITPGFIL	13	N	FRITPGFIL/FRITPGFIL	HB	1
Bazo3	HLA-I, α chain	HLA class I histocompatibility antigen, alpha chain	GDRTFQKWAAVVPSG	16	M	FQKWAAVVV	IB	1
Bazo3	HLA-I, α chain	HLA class I histocompatibility antigen, alpha chain	RPAGDGTFQKWAAVVPSG	19	M	FQKWAAVVV	IB	1
Bazo3	HLA-I, α chain	HLA class I histocompatibility antigen, alpha chain	DDTQFVRFNDNAASPR	16	M	FVRFDSDAA	IB	2
Bazo3	HLA-I, α chain	HLA class I histocompatibility antigen, alpha chain	DDTQFVRFDSAASPR	16	M	FVRFDSDAA	IB	1
Bazo3	HLA-I, α chain	HLA class I histocompatibility antigen, alpha chain	DDTQFVRFDSAASQ	15	M	FVRFDSDAA	IB	2
Bazo3	HLA-I, α chain	HLA class I histocompatibility antigen, alpha chain	VDDTQFVRFDSAASP	16	M	FVRFDSDAA	HB	1
Bazo3	HLA-I, α chain	HLA class I histocompatibility antigen, alpha chain	VDDTQFVRFDSAASPR	17	M	FVRFDSDAA	HB	14
Bazo3	HLA-I, α chain	HLA class I histocompatibility antigen, alpha chain	VDDTQFVRFDSAASPRTEP	20	M	FVRFDSDAA	HB	2
Bazo3	HLA-I, α chain	HLA class I histocompatibility antigen, alpha chain	VDDTQFVRFDSAASQ	16	M	FVRFDSDAA	HB	3
Bazo3	P04233	HLA class II histocompatibility antigen gamma chain	TTAYFLYQQQGRLD	14	M	FLYQQQGRL	IB	9
Bazo3	P04233	HLA class II histocompatibility antigen gamma chain	TTAYFLYQQQGRLDK	15	M	FLYQQQGRL	IB	11
Bazo3	HLA-II, DQ β chain	HLA class II histocompatibility antigen, DQ beta chain	DSDVGVYRAVTPQGRPDA	18	M	YRAVTPQGR/VGVYRAVTP	NA	1
Bazo3	HLA-II, DQ β chain	HLA class II histocompatibility antigen, DQ beta chain	DVGVYRAVTPQGRPD	15	M	YRAVTPQGR/VGVYRAVTP	NA	1
Bazo3	HLA-II, DR α chain	HLA class II histocompatibility antigen, DR alpha chain	EFGRFASFEAQGAL	14	M	FGRFASFEA/FGRFASFEA	IB	1
Bazo3	HLA-II, DR α chain	HLA class II histocompatibility antigen, DR alpha chain	LEEFGRFASFEAQ	13	M	FGRFASFEA/FGRFASFEA	HB	1
Bazo3	HLA-II, DR α chain	HLA class II histocompatibility antigen, DR alpha chain	LEEFGRFASFEAQG	14	M	FGRFASFEA/FGRFASFEA	HB	18
Bazo3	HLA-II, DR α chain	HLA class II histocompatibility antigen, DR alpha chain	LEEFGRFASFEAQGA	15	M	FGRFASFEA/FGRFASFEA	HB	2
Bazo3	HLA-II, DR α chain	HLA class II histocompatibility antigen, DR alpha chain	LEEFGRFASFEAQGAL	16	M	FGRFASFEA/FGRFASFEA	HB	6
Bazo3	HLA-II, DR α chain	HLA class II histocompatibility antigen, DR alpha chain	AQGALANIAVDKANL	15	M	LANIAVDKA	LB	1
Bazo3	HLA-II, DR α chain	HLA class II histocompatibility antigen, DR alpha chain	AQGALANIAVDKANLE	16	M	LANIAVDKA	LB	4
Bazo3	HLA-II, DR α chain	HLA class II histocompatibility antigen, DR alpha chain	AQGALANIAVDKANLEM	18	M	LANIAVDKA	LB	1
Bazo3	HLA-II, DR α chain	HLA class II histocompatibility antigen, DR alpha chain	GALANIAVDKANLE	14	M	LANIAVDKA	LB	1
Bazo3	HLA-II, DR β chain	HLA class II histocompatibility antigen, DR beta chain	QTQLVMLETVPMSG	14	M	LVMLETVP	IB	2

M ^a	Ac. Number	Proteína	Péptido	T ^b	L ^c	Core	B ^d	R ^e
Bazo3	HLA-II,DR β chain	HLA class II histocompatibility antigen, DR beta chain	FQTLVMLETVPRSGEV	16	M	LVMLETVPR	IB	2
Bazo3	HLA-II,DR β chain	HLA class II histocompatibility antigen, DR beta chain	FQTLVMLETVPRSGEVY	17	M	LVMLETVPR	IB	1
Bazo3	HLA-II,DR β chain	HLA class II histocompatibility antigen, DR beta chain	NQEYYARYNSDLGEY	15	M	YARYNSDLG	LB	2
Bazo3	HLA-II,DR β chain	HLA class II histocompatibility antigen, DR beta chain	NQEYYARYNSDLGEYQ	16	M	YARYNSDLG	LB	2
Bazo3	Ig Kappa	Ig kappa chain	GSGTDFLTISRLEPED	17	E/EM	FTLTISRLE	IB	1
Bazo3	Ig Kappa	Ig kappa chain	SGTDFLTISRLEPE	15	E/EM	FTLTISRLE	IB	1
Bazo3	Ig Kappa	Ig kappa chain	SGTDFLTISRLEPED	16	E/EM	FTLTISRLE	IB	2
Bazo3	Ig Kappa	Ig kappa chain	DSTYSLSSTLTLKA	15	E/EM	YSLSSTLTL	HB	1
Bazo3	Ig Kappa	Ig kappa chain	KDSTYSLSSTLTLSK	15	E/EM	YSLSSTLTL	HB	2
Bazo3	Ig mu	Ig mu chain C region	GGKYAATSQVLLPS	14	E/EM	YAATSQVLL	HB	3
Bazo3	Ig mu	Ig mu chain C region	GGKYAATSQVLLPSK	15	E/EM	YAATSQVLL	HB	2
Bazo3	Q9Y287	Integral membrane protein 2B	VVPVPEFADSDPANIVHD	17	g	FADSDPANI	IB	1
Bazo3	Q9Y287	Integral membrane protein 2B	VVPVPEFADSDPANIVHDF	18	g	FADSDPANI	IB	1
Bazo3	Q9Y287	Integral membrane protein 2B	ADAPAALYQTIEENIK	16	g	LYQTIEENI	NA	1
Bazo3	Q9Y287	Integral membrane protein 2B	APAALYQTIEENIK	14	g	LYQTIEENI	NA	4
Bazo3	Q9Y287	Integral membrane protein 2B	DAPAALYQTIEENIK	15	g	LYQTIEENI	IB	1
Bazo3	Q9Y287	Integral membrane protein 2B	EPSADAPAALYQTIEENIK	19	g	LYQTIEENI	NA	2
Bazo3	Q13349	Integrin alpha-D	APHYYEQTRGGQVS	14	M	YEQTRGGQV	IB	1
Bazo3	Q14624	Inter-alpha-trypsin inhibitor heavy chain H4	AQAQYSAAVAKGKSAG	16	E/EM	YSAAVAKGK	NA	6
Bazo3	P02750	Leucine-rich alpha-2-glycoprotein	IPGYLPADTVHL	12	M	YLPADTVHL	HB	2
Bazo3	P06858	Lipoprotein lipase	DPAGPNFEYAEAPSRSLPD	19	E/EM	FYEAEAPSR	NA	2
Bazo3	P31994	Low affinity immunoglobulin gamma Fc region receptor II-b	NIGTYLSSKPVT	13	M	YTLYSSKPV/YTLYSSKPV	HB	3
Bazo3	Q13571	Lysosomal-associated transmembrane protein 5	VVLPSYEEALSLPSKTPE	18	Lis/End	VLPSYEEAL/VLPSYEEA	IB	2
Bazo3	Q13571	Lysosomal-associated transmembrane protein 5	VVLPSYEEALSLPSKTPEG	19	Lis/End	VLPSYEEAL/VLPSYEEA	IB	2
Bazo3	P07333	Macrophage colony-stimulating factor 1 receptor	IPGPPALTLPVAELVR	16	M	LTLVPAELV/IPGPPALTL	IB	2
Bazo3	Q8NDC0	MAPK-interacting and spindle-stabilizing protein-like	YPTPGLYPTPSNPQFQ	15	C	LYPTPSNPFF	HB	2
Bazo3	Q9H8L6	Multimerin-2	IGSSYFPEHGYFRAPE	16	E/EM	IGSSYFPEH	LB	3
Bazo3	P58546	Myotrophin	GLTAFEATDNQAIK	14	C	FEATDNQAI	HB	3
Bazo3	P58546	Myotrophin	GPDGLTAFEATDNQAIK	17	C	FEATDNQAI	HB	1
Bazo3	Q9BT67	NEDD4 family-interacting protein 1	FPKPPSYNVATTLPsyDE	18	g	YNVATTLPs/YNVATTLPs	IB	2
Bazo3	P46531	Neurogenic locus notch homolog protein 1	SPPLLPSPFQQSPSVPLNH	19	M	FQQSPSVPL	HB	2
Bazo3	P46531	Neurogenic locus notch homolog protein 1	SPPLLPSPFQQSPSVPLNHLP	21	M	FQQSPSVPL	HB	2
Bazo3	P30086	Phosphatidylethanolamine-binding protein 1	WSGPLSLQEVDEQPQHP	17	C	WSGPLSLQE	LB	1
Bazo3	Q9UHG3	Prenylcysteine oxidase 1	SGLLQASKSNLISG	14	Lis/End	LQASKSNLI	HB	1

M ^a	Ac. Number	Proteína	Péptido	T ^b	L ^c	Core	B ^d	R ^e
Bazo3	Q9H3G5	Probable serine carboxypeptidase CPVL	AGKYVPAIAHLIHS	14	Lis/End	YVPAIAHLI	HB	19
Bazo3	Q9H3G5	Probable serine carboxypeptidase CPVL	KYVPAIAHLIHS	12	Lis/End	YVPAIAHLI	HB	1
Bazo3	Q9H3G5	Probable serine carboxypeptidase CPVL	YAGKYVPAIAHLIHS	15	Lis/End	YVPAIAHLI	HB	11
Bazo3	P53992	Protein transport protein Sec24C	GGSVYKYASFQVENDQ	16	ER	VYKYASFQV	HB	1
Bazo3	P00734	Prothrombin	ATSEYQTFFNPRTEFG	15	E/EM	YQTFFNPRTE	IB	1
Bazo3	P00734	Prothrombin	TATSEYQTFFNPRTEFG	16	E/EM	YQTFFNPRTE	IB	4
Bazo3	O14917	Protocadherin-17	ASSQYLPTDSQYLSPS	16	M	YLPTDSQYLS	HB	1
Bazo3	Q58FF8	Putative heat shock protein HSP 90-beta 2	VDTGIGMTKADLNN	15	C	IGMTKADLI	HB	1
Bazo3	P51148	Ras-related protein Rab-5C	ASPNIVIALAGNKADL	16	Lis/End	IVIALAGNK	HB	1
Bazo3	P49796	Regulator of G-protein signaling 3	DSPVRVQAVDGGPA	15	M	VQAVDGGP	LB	1
Bazo3	Q99969	Retinoic acid receptor responder protein 2	FPGQFAFSKALPRS	14	E/EM	FAFSKALPR	HB	6
Bazo3	P02787	Serotransferrin	DPQTFYAYAVVKKD	15	E/EM	FYYAVAVVK	HB	25
Bazo3	P02787	Serotransferrin	DPQTFYAYAVVKKDS	16	E/EM	FYYAVAVVK	HB	1
Bazo3	P02787	Serotransferrin	DPQTFYAYAVVKKDSG	17	E/EM	FYYAVAVVK	IB	37
Bazo3	P02787	Serotransferrin	EDPQTFYAYAVVKK	15	E/EM	FYYAVAVVK	HB	2
Bazo3	P02787	Serotransferrin	EDPQTFYAYAVVKKD	16	E/EM	FYYAVAVVK	HB	2
Bazo3	P02787	Serotransferrin	EDPQTFYAYAVVKKDS	18	E/EM	FYYAVAVVK	IB	29
Bazo3	P02787	Serotransferrin	KEDPQTFYAYAVVKKDSG	19	E/EM	FYYAVAVVK	IB	2
Bazo3	P02768	Serum albumin	LGMFLYEYARRHPD	14	E/EM	LGMFLYEYA	IB	1
Bazo3	P02768	Serum albumin	LGEYKFQNALLVR	13	E/EM	YKFQNALLV	HB	4
Bazo3	P27169	Serum paraoxonase/arylesterase 1	LPNGLAFISSGLKYPG	16	E/EM	LAFISSGLK	NA	1
Bazo3	Q9H299	SH3 domain-binding glutamic acid-rich-like protein 3	DGKRIQYQLVDISQDN	16	C	YQLVDISQD	LB	1
Bazo3	Q9H299	SH3 domain-binding glutamic acid-rich-like protein 3	DGKRIQYQLVDISQDNA	17	C	YQLVDISQD	LB	1
Bazo3	Q8WUM9	Sodium-dependent phosphate transporter 1	LVQFSQAVSNQINSS	15	M	FSQAVSNQI/LVQFSQAVS	HB	1
Bazo3	Q9NY15	Stabilin-1	DQPQQTFNIYKANNIAA	17	M	FNIYKANNI/FNIYKANNI	HB	2
Bazo3	Q9NY15	Stabilin-1	DQPQQTFNIYKANNIAAN	18	M	FNIYKANNI/FNIYKANNI	HB	4
Bazo3	Q9NY15	Stabilin-1	DQPQQTFNIYKANNIAANG	19	M	FNIYKANNI/FNIYKANNI	HB	4
Bazo3	O43760	Synaptogyrin-2	DPTPDPNTAYASYPGASVDN	20	M	YASYPGASV	IB	1
Bazo3	O00560	Syntenin-1	VDKVIQAQTAFSANPA	16	M	IQAQTAFSA	IB	1
Bazo3	P13686	Tartrate-resistant acid phosphatase type 5	LGDNFYFTGVQDINDK	16	Lis/End	FYFTGVQDI	HB	2
Bazo3	P07996	Thrombospondin-1	GPDPSSPA Fried	13	E/EM	DPSSPAFRI	LB	1
Bazo3	P07996	Thrombospondin-1	GPDPSSPA Fried ANLIP	19	E/EM	FRIEDANLI/FRIEDANLI	HB	1
Bazo3	P02786	Transferrin receptor protein 1	NPGGYVAYSKAATVTG	16	E/EM	YVAYSKAAT/YVAYSKAAT	HB	2
Bazo3	P02786	Transferrin receptor protein 1	NPGGYVAYSKAATVTGK	17	E/EM	YVAYSKAAT/YVAYSKAAT	HB	1

M ^a	Ac. Number	Proteína	Péptido	T ^b	L ^c	Core	B ^d	R ^e
Bazo3	Q15582	Transforming growth factor-beta-induced protein ig-h3	ALEIFKQASAFSRASQ	16	E/EM	FKQASAFSR/LEIFKQASA	HB	3
Bazo3	Q15582	Transforming growth factor-beta-induced protein ig-h3	LEIFKQASAFSRASQ	15	E/EM	FKQASAFSR/LEIFKQASA	HB	7
Bazo3	P02766	Transthyretin	SPYSYSTTAVVTNPK	15	E/EM	YSYSTTAVV	HB	4
Bazo3	P02766	Transthyretin	SPYSYSTTAVVTNPKE	16	E/EM	YSYSTTAVV	HB	1
Bazo3	P02766	Transthyretin	AALLSPYSYSTTAVVTNPK	19	E/EM	YSYSTTAVV/LSPYSYSTT	HB	1
Bazo3	P02766	Transthyretin	LLSPYSYSTTAVVTNPK	17	E/EM	YSYSTTAVV/LSPYSYSTT	HB	3
Bazo3	P02766	Transthyretin	LLSPYSYSTTAVVTNPKE	18	E/EM	YSYSTTAVV/LSPYSYSTT	HB	2
Bazo3	P02766	Transthyretin	LSPYSYSTTAVVTNPK	16	E/EM	YSYSTTAVV/LSPYSYSTT	HB	3
Bazo3	Q9Y5A9	YTH domain family protein 2	DDDFEPYLSPQARPNN	16	E/EM	FEPYLSPQA	IB	1
Bazo3	Q9Y5A9	YTH domain family protein 2	NDDDFEPYLSPQARPNN	16	E/EM	FEPYLSPQA	IB	2
Bazo4	Q16698	2,4-dienoyl-CoA reductase, mitochondrial	GHPNIVINNAAGNFISP	17	mit	IVINNAAGN/IVINNAAGN	HB	1
Bazo4	Q16698	2,4-dienoyl-CoA reductase, mitochondrial	GHPNIVINNAAGNFISPT	18	mit	IVINNAAGN/IVINNAAGN	HB	7
Bazo4	O00487	26S proteasome non-ATPase regulatory subunit 14	AAMLDTVVFK	10	C	AAMLDTVVF	LB	1
Bazo4	Q02878	60S ribosomal protein L6	ALTNGIYPHKLVF	13	C	LTNGIYPHK	LB	2
Bazo4	P11021	78 kDa glucose-regulated protein	SAGPPPTGEEDTAEKDE	17	ER	AGPPPTGEE	LB	1
Bazo4	P11021	78 kDa glucose-regulated protein	SAGPPPTGEEDTAEKDEL	18	ER	AGPPPTGEE	LB	5
Bazo4	O75366	Advillin	LLDTWDQVF	9	C	LLDTWDQVF	LB	1
Bazo4	P05186	Alkaline phosphatase, tissue-nonspecific isozyme	AHNNYQAQSAVPLRHET	17	M	YQAQSAVPL	HB	1
Bazo4	P05186	Alkaline phosphatase, tissue-nonspecific isozyme	NNYQAQSAVPLRH	13	M	YQAQSAVPL	HB	4
Bazo4	P01009	Alpha-1-antitrypsin	HKAVLTIDEKGTEAA	15	E/EM	LTIDEKGTE	HB	2
Bazo4	P01009	Alpha-1-antitrypsin	KAVLTIDEKGTEA	13	E/EM	LTIDEKGTE	HB	1
Bazo4	P01009	Alpha-1-antitrypsin	KAVLTIDEKGTEAA	14	E/EM	LTIDEKGTE	HB	35
Bazo4	P01023	Alpha-2-macroglobulin	YVLLAYLTAQPAPTS	15	E/EM	LAYLTAQPA	HB	1
Bazo4	P08133	Annexin A6	AAGQFFPEAQVAYQ	15	C	FPEAAQVAY	HB	1
Bazo4	P02649	Apolipoprotein E	LSKELQAAQARLGADM	16	E/EM	LQAAQARLG	HB	2
Bazo4	P02649	Apolipoprotein E	LSKELQAAQARLGADME	17	E/EM	LQAAQARLG	HB	3
Bazo4	P02649	Apolipoprotein E	LSKELQAAQARLGADMED	18	E/EM	LQAAQARLG	HB	2
Bazo4	P05089	Arginase-1	INTPLTTSGNLHGQP	16	C	INTPLTTTS	IB	2
Bazo4	P05089	Arginase-1	INTPLTTSGNLHGQPVS	18	C	INTPLTTTS	IB	1
Bazo4	P05089	Arginase-1	EVNPSLGLKTPPEE	12	C	VNPSLGLKTP	LB	1
Bazo4	P05089	Arginase-1	EVNPSLGLKTPPEEVRTVN	18	C	VNPSLGLKTP	LB	1
Bazo4	P15907	Beta-galactoside alpha-2,6-sialyltransferase 1	DAVLRFNGAPTANFQ	15	g	LRFNGAPTA/LRFNGAPTA	HB	3
Bazo4	Q8N5S9	Calcium/calmodulin-dependent protein kinase kinase 1	DRHYAMKVLSKKLLLQ	17	C	MKVLSKKKL/MKVLSKKKL	HB	1
Bazo4	P27797	Calreticulin	GGGYVKLFPNSLDQ	14	ER	YVKLFPNSL	HB	4

M ^a	Ac. Number	Proteína	Péptido	T ^b	L ^c	Core	B ^d	R ^e
Bazo4	P27797	Calreticulin	GGGYVKLPNSLDQT	15	ER	YVKLPNSL	HB	4
Bazo4	P00915	Carbonic anhydrase 1	LSNVEGDNAVPMQHNN	16	C	VEGDNAVPM	HB	1
Bazo4	P25774	Cathepsin S	TGKLVSLSAQNLVD	14	Lis/End	LVSLSAQNL	HB	3
Bazo4	P11717	Cation-independent mannose-6-phosphate receptor	DLNPLIKLSGAYLVDDS	17	Lis/End	LIKLSGAYL/IKLSGAYLV	HB	1
Bazo4	P36222	Chitinase-3-like protein 1	GPGIPGRFTKEAGTLAYYE	19	E/EM	FTKEAGTLA	HB	4
Bazo4	P09496	Clathrin light chain A	ISLKQAPLVH	10	Lis/End	ISLKQAPLV	LB	1
Bazo4	P00740	Coagulation factor IX	QSTQSFNDFTRVVGGEDAKP	20	E/EM	FNDFTRVVG	LB	1
Bazo4	P01024	Complement C3	SPMYSIITPNILRLE	15	E/EM	YSIITPNIL/MYSIITPNI	HB	1
Bazo4	P10643	Complement component C7	DGKDFYRLSGNVNLSYT	16	E/EM	FYRLSGNVL/FYRLSGNVL	HB	2
Bazo4	P02741	C-reactive protein	DTSYVSLKAPLTK	13	E/EM	YVSLKAPLT	HB	1
Bazo4	P02741	C-reactive protein	DTSYVSLKAPLTKP	14	E/EM	YVSLKAPLT	HB	14
Bazo4	P02741	C-reactive protein	DTSYVSLKAPLTKPL	15	E/EM	YVSLKAPLT	HB	61
Bazo4	P02741	C-reactive protein	ESDTSYVSLKAPLTLT	14	E/EM	YVSLKAPLT	HB	1
Bazo4	P02741	C-reactive protein	ESDTSYVSLKAPLTKP	16	E/EM	YVSLKAPLT	HB	2
Bazo4	P02741	C-reactive protein	ESDTSYVSLKAPLTKPL	17	E/EM	YVSLKAPLT	HB	24
Bazo4	P02741	C-reactive protein	SDTSYVSLKAPLTLT	13	E/EM	YVSLKAPLT	HB	3
Bazo4	P02741	C-reactive protein	SDTSYVSLKAPLTK	14	E/EM	YVSLKAPLT	HB	28
Bazo4	P02741	C-reactive protein	SDTSYVSLKAPLTKP	15	E/EM	YVSLKAPLT	HB	74
Bazo4	P02741	C-reactive protein	SDTSYVSLKAPLTKPL	16	E/EM	YVSLKAPLT	HB	192
Bazo4	P02741	C-reactive protein	SDTSYVSLKAPLTKPLK	17	E/EM	YVSLKAPLT	HB	4
Bazo4	P02741	C-reactive protein	TSYVSLKAPLTKP	13	E/EM	YVSLKAPLT	HB	17
Bazo4	P02741	C-reactive protein	TSYVSLKAPLTKPL	14	E/EM	YVSLKAPLT	HB	8
Bazo4	P01040	Cystatin-A	IPGGLSEAKPATPEIQE	17	C	LSEAKPATP	LB	1
Bazo4	Q9H3Z4	DnaJ homolog subfamily C member 5	ETTQLTADSHPSYHTDG	17	M	LTADSHPSY	HB	1
Bazo4	O75935	Dynactin subunit 3	EAATQVKPAEE	11	C	ATQVKPAEE	LB	2
Bazo4	Q9UJW0	Dynactin subunit 4	LTLTNPVENLTHVTL	15	C	VENLTHVTL	NA	1
Bazo4	P24534	Elongation factor 1-beta	GFGDLKSPAGLQLVND	16	C	FGDLKSPAG	IB	1
Bazo4	P17813	Endoglin	IIEWAAERGPITSAA	15	E/EM	WAAERGPIT	IB	1
Bazo4	Q969X5	Endoplasmic reticulum-Golgi intermediate compartment protein 1	EGQFSINKVPGNFH	14	g	FSINKVPGN/FSINKVPGN	IB	7
Bazo4	P14625	Endoplasmin	TDEEEETAKESTAEKDEL	18	ER	EEEETAKES	LB	3
Bazo4	P27105	Erythrocyte band 7 integral membrane protein	TTIAAEKNSTIVFPLPIDML	20	E/EM	IVFPLPIDM/IVFPLPIDM	HB	1
Bazo4	P02794	Ferritin heavy chain	FDKHTLGDSNES	13	C	FDKHTLGDS	LB	2
Bazo4	P02671	Fibrinogen alpha chain	VSETESRGSESGIFTNT	17	E/EM	VSETESRGSS	LB	1
Bazo4	P30043	Flavin reductase	TTDEYDGHSTYPSHQYQ	17	E/EM	YDGHSTYPS	LB	1

M ^a	Ac. Number	Proteína	Péptido	T ^b	L ^c	Core	B ^d	R ^e
Bazo4	O75955	Flotillin-1	YQEAAQLDML	10	M	YQEAAQLDM	LB	1
Bazo4	P06744	Glucose-6-phosphate isomerase	TPILVDGKDVMPE	13	E/EM	ILVDGKDVM	HB	2
Bazo4	P15104	Glutamine synthetase	LNETGDEPFQYKN	13	mit	LNETGDEPF	LB	4
Bazo4	P35754	Glutaredoxin-1	IQDYLQQLTGARTVPR	16	C	LQQLTGART	HB	1
Bazo4	Q9H4G4	Golgi-associated plant pathogenesis-related protein 1	FEENVLPPKK	10	g	FEENVLPPK	LB	3
Bazo4	Q9H4G4	Golgi-associated plant pathogenesis-related protein 1	RYFPAGNVVNEGF	13	g	YFPAGNVVN	IB	3
Bazo4	Q14789	Golgin subfamily B member 1	DLEERLMNQLAELNG	15	g	LMNQLAELN	IB	1
Bazo4	P62826	GTP-binding nuclear protein Ran	APPEVVMDPALAAQYEHD	18	N	MDPALAAQY/VVMDPALAA	HB	2
Bazo4	P08107	Heat shock 70 kDa protein 1	AQGPKGSGSGPTIEEV	18	C	GGSGSGPTI	LB	1
Bazo4	P04792	Heat shock protein beta-1	AQLGGPEAKSDETAAK	17	N	LGGPEAKS	LB	1
Bazo4	POC0S8	Histone H2A type 1	ILELAGNAARDN	12	N	ILELAGNAA	HB	1
Bazo4	POC0S8	Histone H2A type 1	VLEYLTAEILELAGNAAR	18	N	ILELAGNAA	HB	1
Bazo4	HLA-II, DP α chain	HLA class II histocompatibility antigen, DP alpha chain	FYVLDLKKETVWH	13	M	VDLDDKKETV	HB	9
Bazo4	HLA-II, DP α chain	HLA class II histocompatibility antigen, DP alpha chain	YVDLDDKKETVWH	12	M	VDLDDKKETV	HB	3
Bazo4	HLA-II, DR α chain	HLA class II histocompatibility antigen, DR alpha chain	LANIAVDKANLEIM	14	M	IAVDKANLE	IB	1
Bazo4	HLA-II, DR α chain	HLA class II histocompatibility antigen, DR alpha chain	IKEEHVIIQAE	11	M	IKEEHVIIQ	LB	1
Bazo4	Ig heavy	Ig heavy chain	MNSLRAEDT	9	E/EM	MNSLRAEDT	LB	1
Bazo4	Ig heavy	Ig heavy chain	LQMNSLRAEDT	11	E/EM	MNSLRAEDT/LQMNSLRAE	IB	1
Bazo4	Ig heavy	Ig heavy chain	KBTLYLQMNSL	11	E/EM	TLYLQMNSL	LB	1
Bazo4	Ig heavy	Ig heavy chain	BTVYLQMBSLRAEDT	15	E/EM	VYLYLQMBSLRAEDT	HB	3
Bazo4	Ig heavy	Ig heavy chain	NTLYLNMSLRAEDT	15	E/EM	YLNMSLRA	HB	2
Bazo4	Ig heavy	Ig heavy chain	NTLYLNMSLRAEDTA	16	E/EM	YLNMSLRA	HB	2
Bazo4	Ig heavy	Ig heavy chain	BTLYLQMNSLRAEBT	15	E/EM	YLQMNSLRA	HB	1
Bazo4	Ig heavy	Ig heavy chain	BTLYLQMNSLRAEBTA	16	E/EM	YLQMNSLRA	HB	1
Bazo4	Ig heavy	Ig heavy chain	KBTLYLQMNSLRAEBT	16	E/EM	YLQMNSLRA	HB	1
Bazo4	Ig heavy	Ig heavy chain	KNTLYLQMNSLRAEDT	16	E/EM	YLQMNSLRA	HB	25
Bazo4	Ig heavy	Ig heavy chain	NTLYLQMNSLRAEDT	15	E/EM	YLQMNSLRA	HB	7
Bazo4	Ig heavy	Ig heavy chain	NTLYLQMNSLRAEDTA	16	E/EM	YLQMNSLRA	HB	1
Bazo4	Ig heavy	Ig heavy chain	SKNTLYLQMNSLRAEDT	17	E/EM	YLQMNSLRA	HB	2
Bazo4	Ig heavy	Ig heavy chain	TLYLQMNSLRAEDTA	15	E/EM	YLQMNSLRA	HB	1
Bazo4	Ig heavy	Ig heavy chain	YLQMNSLRAEBT	12	E/EM	YLQMNSLRA	HB	3
Bazo4	Ig heavy	Ig heavy chain	YLQMNSLRAED	11	E/EM	YLQMNSLRA	HB	2
Bazo4	Ig heavy	Ig heavy chain	YLQMNSLRAEDT	12	E/EM	YLQMNSLRA	HB	8
Bazo4	Ig heavy	Ig heavy chain	YLQMNSLRAEDTA	13	E/EM	YLQMNSLRA	HB	5

M ^a	Ac. Number	Proteína	Péptido	T ^b	L ^c	Core	B ^d	R ^e
Bazo4	Ig heavy	Ig heavy chain	YLQMNSLRVEDT	12	E/EM	YLQMNSLRV	HB	1
Bazo4	Q9Y6R7	IgGFc-binding protein	VDLKNTGREFLTA	14	E/EM	LKNTGREFE	NA	2
Bazo4	Q9Y6R7	IgGFc-binding protein	KNTGREFLTA	11	E/EM	TGREFLTA	LB	12
Bazo4	P16144	Integrin beta-4	GNRDYIPVEGELLFQPG	17	M	YIPVEGELL	HB	1
Bazo4	Q14624	Inter-alpha-trypsin inhibitor heavy chain H4	APSAILPLPGQSVER	15	E/EM	ILPLPGQSV	HB	3
Bazo4	Q14624	Inter-alpha-trypsin inhibitor heavy chain H4	APSAILPLPGQSVERL	16	E/EM	ILPLPGQSV	HB	2
Bazo4	Q14624	Inter-alpha-trypsin inhibitor heavy chain H4	IQAPSAILPLPGQSVER	17	E/EM	ILPLPGQSV	HB	3
Bazo4	Q14624	Inter-alpha-trypsin inhibitor heavy chain H4	NPLVWVHASPEHVVT	16	E/EM	WVHASPEHV	HB	1
Bazo4	Q8ND23	Leucine-rich repeat-containing protein 16B	LQQGLVTSSAEQM	13	N	LVTSSAEQM	HB	1
Bazo4	Q8ND23	Leucine-rich repeat-containing protein 16B	LQQGLVTSSAEQML	14	N	LVTSSAEQM	HB	1
Bazo4	Q8N423	Leukocyte immunoglobulin-like receptor subfamily B member 2	QPEDGVEMDTRAASEAPQ	19	M	VEMDTRAAS	HB	1
Bazo4	Q9UHB6	LIM domain and actin-binding protein 1	FTTQNQKSDV	11	C	FTTQNQKSQ	LB	4
Bazo4	Q86X29	Lipolysis-stimulated lipoprotein receptor	APSTYAHLSAKTPPPP	17	E/EM	YAHLSAKT	HB	2
Bazo4	P18428	Lipopolsaccharide-binding protein	AISDYVFNTASLVYH	15	E/EM	YVFNTASLV/YVFNTASLV	HB	2
Bazo4	P18428	Lipopolsaccharide-binding protein	AISDYVFNTASLVYHE	16	E/EM	YVFNTASLV/YVFNTASLV	HB	1
Bazo4	P18428	Lipopolsaccharide-binding protein	AISDYVFNTASLVYHEE	17	E/EM	YVFNTASLV/YVFNTASLV	HB	4
Bazo4	P18428	Lipopolsaccharide-binding protein	AISDYVFNTASLVYHEEG	18	E/EM	YVFNTASLV/YVFNTASLV	HB	4
Bazo4	P18428	Lipopolsaccharide-binding protein	ISDYVFNTASLVYH	14	E/EM	YVFNTASLV/YVFNTASLV	HB	1
Bazo4	P18428	Lipopolsaccharide-binding protein	ISDYVFNTASLVYHEE	16	E/EM	YVFNTASLV/YVFNTASLV	HB	3
Bazo4	P10253	Lysosomal alpha-glucosidase	LPSQYITGLAEHLSPL	16	Lis/End	YTGLAEHL	HB	2
Bazo4	P10619	Lysosomal protective protein	AGIYIPTLAVLVMQDP	16	Lis/End	YIPTLAVLV	HB	1
Bazo4	P10619	Lysosomal protective protein	AGIYIPTLAVLVMQDPS	17	Lis/End	YIPTLAVLV	HB	6
Bazo4	P11226	Mannose-binding protein C	TEGQFDLGNRLTYT	16	E/EM	FVDLTGNRL	HB	3
Bazo4	P46821	Microtubule-associated protein 1B	AKDENERASVSPMD	14	C	DENERASVS	LB	1
Bazo4	P35749	Myosin	DTRDADFNGTKASE	14	C	ADFNGTKA	LB	1
Bazo4	P35749	Myosin	GKADGAEAKPAE	12	C	ADGAEAKPA	LB	4
Bazo4	P35749	Myosin	NADGSEEETDTRDADFN	17	C	DGSEEETDT	LB	1
Bazo4	P35749	Myosin	FVDKNFINSPPVAQAD	15	C	FINSPVAQA/FINSPVAQA	IB	1
Bazo4	P35749	Myosin	VDKNFINSPPVAQAD	14	C	FINSPVAQA/FINSPVAQA	IB	1
Bazo4	P35749	Myosin	IADTAYRSMLQ	11	C	IADTAYRSM	LB	4
Bazo4	P35749	Myosin	IEKPAGPPGILAL	13	C	IEKPAGPPG	LB	2
Bazo4	P35749	Myosin	IEKPAGPPGILALLDEE	17	C	IEKPAGPPG	LB	1
Bazo4	P35749	Myosin	GSEEETDTRDADFNGTKA	18	C	TRDADFNGT	LB	2
Bazo4	P35749	Myosin	GSEEETDTRDADFNGTKE	20	C	TRDADFNGT	LB	2

M ^a	Ac. Number	Proteína	Péptido	T ^b	L ^c	Core	B ^d	R ^e
Bazo4	P35749	Myosin	NADGSEEETDTRDADFNGTK	20	C	TRDADFNGT	LB	2
Bazo4	P35749	Myosin	NADGSEEETDTRDADFNGTKASE	23	C	TRDADFNGT	LB	1
Bazo4	P35749	Myosin	SEETDTRDADFNGTKASE	19	C	TRDADFNGT	LB	1
Bazo4	P35749	Myosin	VADLWKDVDR	10	C	VADLWKDVD	LB	2
Bazo4	P35749	Myosin	EEVDGKADGAEAKPAE	16	C	VDGKADGAE	LB	2
Bazo4	P35749	Myosin	GSDEEVDGKADGAEAKPAE	19	C	VDGKADGAE	LB	2
Bazo4	P35749	Myosin	SDEEVDGKADGAEAKPAE	18	C	VDGKADGAE	LB	3
Bazo4	P35749	Myosin	VDGKADGAEAKPAE	14	C	VDGKADGAE	LB	1
Bazo4	P35749	Myosin	WKDVDRIIGLDQ	12	C	VDRIIGLDQ	LB	1
Bazo4	P35749	Myosin	DDDTESKTSDVNETQQPQSE	20	C	VNETQPPQS	LB	1
Bazo4	P35749	Myosin	FCVVINPYKNLPIYSEE	17	C	VVINPYKNL	HB	1
Bazo4	P35749	Myosin	VVINPYKNLPIYSEE	15	C	VVINPYKNL	HB	2
Bazo4	P35749	Myosin	INPYKNLPIYSEE	13	C	YKNLPIYSE	IB	1
Bazo4	P12829	Myosin light chain 4	RALQNPTNAEVL	13	C	LGQNPTNAE	LB	2
Bazo4	P60660	Myosin light polypeptide 6	EAFVRHILSG	10	C	EAFVRHILS	LB	9
Bazo4	P60660	Myosin light polypeptide 6	TVAKNKDQGTYED	13	C	VAKNKDQGT	LB	1
Bazo4	P60660	Myosin light polypeptide 6	VTLGEKMTTEE	11	C	VTLGEKMT	NA	2
Bazo4	P60660	Myosin light polypeptide 6	YEAFVRHILSG	11	C	YEAFVRHIL	NA	1
Bazo4	P19105	Myosin regulatory light chain 12A	DEEATGTIQEDY	12	C	ATGTIQEDY	LB	1
Bazo4	P19105	Myosin regulatory light chain 12A	DEEATGTIQEDYL	13	C	ATGTIQEDY	LB	1
Bazo4	P19105	Myosin regulatory light chain 12A	DEEATGTIQEDYLREL	16	C	IQEDEYLREL	NA	1
Bazo4	P19105	Myosin regulatory light chain 12A	FGEKLNGTDPEDVIRNAF	18	C	LNGTDPEDV	LB	2
Bazo4	P19105	Myosin regulatory light chain 12A	LTTMGDRFTDE	11	C	LTTMGDRFT	LB	1
Bazo4	P19105	Myosin regulatory light chain 12A	TTMGDRFTDE	10	C	TTMGDRFTD	LB	1
Bazo4	P24844	Myosin regulatory light polypeptide 9	DEEASGFIHEDHL	13	C	SGFIHEDHL	LB	1
Bazo4	P46531	Neurogenic locus notch homolog protein 1	VPNQYNPLRGSVAPGP	16	M	YNPLRGSV/LRGSVAPGP	HB	1
Bazo4	P13796	Plastin-2	IDAIQPGSINYDLLK	15	M	IQPGSINYD	IB	1
Bazo4	P13796	Plastin-2	IDAIQPGSINYDLLKTEN	18	M	IQPGSINYD	NA	2
Bazo4	Q9H3G5	Probable serine carboxypeptidase CPVL	KYVPAIAHLIHS	12	Lis/End	YVPAIAHLI	HB	3
Bazo4	Q6AWC2	Protein WWC2	PEDSSCTEDLSSC	13	N	SCTEDLSSC	LB	1
Bazo4	P46940	Ras GTPase-activating-like protein IQGAP1	FKLGLAPQIQL	12	M	FKLGLAPQI	HB	5
Bazo4	P46940	Ras GTPase-activating-like protein IQGAP1	LFKGLAPQIQL	13	M	FKLGLAPQI	HB	2
Bazo4	P46940	Ras GTPase-activating-like protein IQGAP1	YLFKGLAPQIQL	14	M	FKLGLAPQI	HB	1
Bazo4	Q13576	Ras GTPase-activating-like protein IQGAP2	FKLGIAPQIQL	12	C	FKLGIAPQI	HB	2

M ^a	Ac. Number	Proteína	Péptido	T ^b	L ^c	Core	B ^d	R ^e
Bazo4	P52566	Rho GDP-dissociation inhibitor 2	DGPVVTDPKAPNVVVTRTL	20	C	VVTDPKAPN	HB	1
Bazo4	P02810	Salivary acidic proline-rich phosphoprotein 1/2	GRPQGPPQQGGHQQ	14	E/EM	GRPQGPPQQ	LB	1
Bazo4	O43464	Serine protease HTRA2, mitochondrial	AVPSPPPASPRSQYN	15	mit	VPSPPPASP	LB	1
Bazo4	P02768	Serum albumin	LGEYKFQNALLVRYT	15	E/EM	YKFQNALLV	HB	1
Bazo4	Q9Y6L6	Solute carrier organic anion transporter family member 1B1	RPKLIGIGCFIM	12	M	LIGIGCFIM/LIGIGCFIM	HB	1
Bazo4	Q01082	Spectrin beta chain, brain 1	ISVETEDNKEK	11	C	VETEDNKEK	LB	1
Bazo4	P50443	Sulfate transporter	ILGDVMSGLIVGILLV	16	M	VMSGILVG	HB	1
Bazo4	O00560	Syntenin-1	VDKVIQAQTAFSANPA	16	M	IQAQTAFS/AIQAQTAFS	HB	1
Bazo4	O00560	Syntenin-1	VDKVIQAQTAFSANPAN	17	M	IQAQTAFS/AIQAQTAFS	HB	1
Bazo4	O00560	Syntenin-1	VDKVIQAQTAFSANPANPA	19	M	IQAQTAFS/AIQAQTAFS	HB	1
Bazo4	O00560	Syntenin-1	ITSIVKDSSAARNG	14	M	IVKDSSAAR	HB	2
Bazo4	Q08EQ4	Thymosin beta-4-like protein 1	NPLPSKETIEQ	11	C	LPSKETIEQ	LB	1
Bazo4	O60602	Toll-like receptor 5	QNRFSSCSGDQTPSENPSLE	20	M	FSSCSGDQT	LB	1
Bazo4	Q02446	Transcription factor Sp4	LQQGQQTSQDE	11	N	LQQGQQTSQD	LB	1
Bazo4	Q8WVY7	Ubiquitin-like domain-containing CTD phosphatase 1	LKVKGKPAENDVKLGALKLP	21	N	VKGKPAEND	IB	1
Bazo4	P19320	Vascular cell adhesion protein 1	STQTLYVNAPRDTT	15	M	YVNAPRDT	HB	2
Bazo4	P19320	Vascular cell adhesion protein 1	STQTLYVNAPRDTTV	16	M	YVNAPRDT	HB	1
Bazo4	P18206	Vinculin	GSSPVAMQKAQQVSQG	16	C	VAMQKAQQV	HB	1
Bazo4	P18206	Vinculin	SSPVAMQKAQQVSQG	15	C	VAMQKAQQV	HB	2
Bazo4	P04275	von Willebrand factor	DAAQLRLAGPAGDSN	16	E/EM	LRILAGPAG/LRILAGPAG	HB	1
Bazo4	Q9Y279	V-set and immunoglobulin domain-containing protein 4	LSTLEMDDRSHYT	13	E/EM	LEMDDRSHY	HB	1
Bazo4	Q05516	Zinc finger and BTB domain-containing protein 16	KHSSEESGYAS	11	N	SSEESGYAS	LB	1

M^a: muestra de bazo; Ac.Number: número de acceso de Swiss-prot; Proteína: nombre de la proteína de la que deriva la secuencia obtenida; Péptido: secuencia peptídica.

T^b: número de aminoácidos. L^c: localización celular de la proteína; Core: secuencia de unión a HLA-DR asignada; B^d: predicción de afinidad a HLA-DR; R^e: número de secuencias idénticas obtenidas en la secuenciación.

Anexo 3.1. Tabla de las secuencias peptídicas asociadas a HLA-DR obtenidas de las muestras de timo

M ^a	Ac. Number	Proteína	Péptido	T ^b	L ^c	Core	B ^d	R ^e
Timo 1	P11021	78 kDa glucose-regulated protein	SAGPPPTGEEDTAEKDEL	18	ER	AGPPPTGEE	LB	3
Timo 1	P10696	Alkaline phosphatase, placental-like	SPEYRQQSAVPLDGE	15	M	YRQQSAVPL	HB	1
Timo 1	P05186	Alkaline phosphatase, tissue-nonspecific isozyme	AHNNYQAQSAVPLRH	15	M	YQAQSAVPL	HB	4
Timo 1	P05186	Alkaline phosphatase, tissue-nonspecific isozyme	AHNNYQAQSAVPLRHE	16	M	YQAQSAVPL	HB	2
Timo 1	P05186	Alkaline phosphatase, tissue-nonspecific isozyme	AHNNYQAQSAVPLRHET	17	M	YQAQSAVPL	HB	8
Timo 1	P01009	Alpha-1-antitrypsin	KAVLTIDEKGTEA	13	E/EM	LTIDEKGTE	HB	4
Timo 1	P01009	Alpha-1-antitrypsin	KAVLTIDEKGTEAA	14	E/EM	LTIDEKGTE	HB	5
Timo 1	P15144	Aminopeptidase N	INDAFNLASAHKV/PVT	16	M	FNLASAHKV	HB	4
Timo 1	P58335	Anthrax toxin receptor 2	DLYFVLDKSGSVA	13	M	FVLDKSGSV/FVLDKSGSV	HB	2
Timo 1	P58335	Anthrax toxin receptor 2	DLYFVLDKSGSVAN	14	M	FVLDKSGSV/FVLDKSGSV	HB	2
Timo 1	P12830	Cadherin-1	GKVFYSITGGQADT	14	M	FYSITGQGA	HB	1
Timo 1	Q9UQC9	Calcium-activated chloride channel regulator 2	DEYNNDKPFYIN	12	M	YNNNDKPFYI	HB	2
Timo 1	Q9UQC9	Calcium-activated chloride channel regulator 2	DEYNNDKPFYING	13	M	YNNNDKPFYI	HB	1
Timo 1	P27824	Calnexin	KPDDWDEDAPAKIPD	15	ER	WDEDAPAKI	LB	1
Timo 1	P27824	Calnexin	KPDDWDEDAPAKIPDE	16	ER	WDEDAPAKI	LB	4
Timo 1	P07384	Calpain-1 catalytic subunit	VPPELVGQPAVHLKR	15	C	LVGQPAVHL	HB	1
Timo 1	P27797	Calreticulin	GGGYVKLFPNSLDQ	14	ER	YVKLFPNSL	HB	1
Timo 1	P25774	Cathepsin S	TGKLVLSAQNQLVD	14	Lis/End	LVSLSAQNL	HB	1
Timo 1	Q02246	Contactin-2	VGGNLVIMNPTKAQDAG	17	TRA	LVIMNPTKA	HB	1
Timo 1	P02741	C-reactive protein	KESDTSYVSLKAPLTKPL	18	E/EM	YVSLKAPLT	HB	1
Timo 1	P02741	C-reactive protein	SDTSYVSLKAPLTKPLK	17	E/EM	YVSLKAPLT	HB	1
Timo 1	P12277	Creatine kinase B-type	DPIIEDRHHGGYKPS	14	C	IIEDRHGGY	IB	2
Timo 1	P12277	Creatine kinase B-type	DPIIEDRHHGGYKPSDE	16	C	IIEDRHGGY	IB	1
Timo 1	Q13609	Deoxyribonuclease gamma	SVFDFQKAYKLTEE	14	ER	FDFQKAYKL	HB	2
Timo 1	Q02413	Desmoglein-1	VVTGNMGSNDKVGDF	15	M	VTGNMGSND	NA	3
Timo 1	Q9H3Z4	Dnaj homolog subfamily C member 5	ETTQLTADSHPSYHTDG	17	M	LTADSHPSY	HB	2
Timo 1	P68104	Elongation factor 1-alpha 1	IEKFEKEAAEMGKG	14	C	IEKFEKEAA	IB	5
Timo 1	P54851	Epithelial membrane protein 2	FQEYSTLQAVQATM	14	M	YSTLQAVQA	HB	1
Timo 1	P09382	Galectin-1	GEVAPDAKSFVLN	13	E/EM	VAPDAKSFV	HB	3
Timo 1	P09382	Galectin-1	VRGEVAPDAKSFVLN	15	E/EM	VAPDAKSFV	HB	1
Timo 1	Q8N6F7	Germinal center B-cell-expressed transcript 2 protein	SPEDEYELLMMPHRIS	15	C	YELLMPHRI	HB	3
Timo 1	Q8N6F7	Germinal center B-cell-expressed transcript 2 protein	SPEDEYELLMMPHRISS	16	C	YELLMPHRI	HB	7
Timo 1	Q8NBJ4	Golgi membrane protein 1	SSHNFQLESVNKLYQDE	17	G	FQLESVNKL	HB	1
Timo 1	POC0S8	Histone H2A type 1	TAEILELAGNAAR	13	N	ILELAGNAA	HB	1
Timo 1	POC0S8	Histone H2A type 1	TAEILELAGNAARDN	15	N	ILELAGNAA	HB	3
Timo 1	POC0S8	Histone H2A type 1	VLEYLTAEILELAGNAAR	18	N	ILELAGNAA	HB	1

M ^a	Ac. Number	Proteína	Péptido	T ^b	L ^c	Core	B ^d	R ^e
Timo 1	HLA-II, DP α chain	HLA class II histocompatibility antigen, DP alpha chain	YVLDKKETVWH	12	M	VLDLKKETV	HB	16
Timo 1	HLA-II, DQ α chain	HLA class II histocompatibility antigen, DQ alpha chain	DIVADHVASYGVN	13	M	IVADHVASY	HB	1
Timo 1	HLA-II, DR α chain	HLA class II histocompatibility antigen, DR alpha chain	ANIAVDKANLEIM	13	M	IAVDKANLE	IB	2
Timo 1	HLA-II, DR α chain	HLA class II histocompatibility antigen, DR alpha chain	ALANIAVDKANLEIM	15	M	LANIAVDKA/IAVDKANLE	IB	1
Timo 1	HLA-II, DR α chain	HLA class II histocompatibility antigen, DR alpha chain	ALANIAVDKANLEIMT	16	M	LANIAVDKA/IAVDKANLE	IB	3
Timo 1	HLA-II, DR α chain	HLA class II histocompatibility antigen, DR alpha chain	LANIAVDKANLEI	13	M	LANIAVDKA/IAVDKANLE	IB	3
Timo 1	HLA-II, DR α chain	HLA class II histocompatibility antigen, DR alpha chain	LANIAVDKANLEIM	14	M	LANIAVDKA/IAVDKANLE	IB	6
Timo 1	HLA-II, DR α chain	HLA class II histocompatibility antigen, DR alpha chain	LANIAVDKANLEIMT	15	M	LANIAVDKA/IAVDKANLE	IB	4
Timo 1	HLA-II, DR α chain	HLA class II histocompatibility antigen, DR alpha chain	VPPEVTVLNSPVE	14	M	VTVLNSPV	IB	2
Timo 1	Ig heavy	Ig heavy chain V-III	NTLYLNMSLRAEDT	15	E/EM	YLNMSLRA	HB	2
Timo 1	Ig heavy	Ig heavy chain V-III	NTLYLNMSLRAEDTA	16	E/EM	YLNMSLRA	HB	2
Timo 1	Ig heavy	Ig heavy chain V-III	BTVYLQMBSLRAED	14	E/EM	YLQMBSLRA	HB	1
Timo 1	Ig heavy	Ig heavy chain V-III	BTVYLQMBSLRAEDT	15	E/EM	YLQMBSLRA	HB	5
Timo 1	Ig heavy	Ig heavy chain V-III	TVYLQMBSLRAED	13	E/EM	YLQMBSLRA	HB	4
Timo 1	Ig heavy	Ig heavy chain V-III	TVYLQMBSLRAEDT	14	E/EM	YLQMBSLRA	HB	1
Timo 1	Ig heavy	Ig heavy chain V-III	BTLYLQMNSLRAEBT	15	E/EM	YLQMNSLRA	HB	2
Timo 1	Ig heavy	Ig heavy chain V-III	NTLYLQMNSLRAED	14	E/EM	YLQMNSLRA	HB	3
Timo 1	Ig heavy	Ig heavy chain V-III	NTLYLQMNSLRAEDT	15	E/EM	YLQMNSLRA	HB	2
Timo 1	Ig heavy	Ig heavy chain V-III	NTLYLQMNSLRAEDTA	16	E/EM	YLQMNSLRA	HB	1
Timo 1	Ig heavy	Ig heavy chain V-III	TLYLQMNSLRAED	13	E/EM	YLQMNSLRA	HB	1
Timo 1	Ig heavy	Ig heavy chain V-III	TLYLQMNSLRAEDT	14	E/EM	YLQMNSLRA	HB	1
Timo 1	Ig heavy	Ig heavy chain V-III	NSLYLQMNSLRVEDT	15	E/EM	YLQMNSLRV	HB	1
Timo 1	Ig kappa	Ig kappa chain C region	KVQWKVDNALQSG	13	E/EM	VQWKVDNAL/WKVDNALQS	IB	1
Timo 1	Ig kappa	Ig kappa chain C region	KVQWKVDNALQSGN	14	E/EM	VQWKVDNAL/WKVDNALQS	IB	2
Timo 1	Q9Y6R7	IgGfc-binding protein	ASVDLKNTGREE	12	E/EM	VDLKNTGRE	LB	2
Timo 1	P13612	Integrin alpha-4	TPIQIEAYHLGPH	14	M	IQIEAYHL	HB	6
Timo 1	P11215	Integrin alpha-M	GQSVVQLQQSRVVVG	15	M	VVQLQGSRV	HB	1
Timo 1	P05107	Integrin beta-2	NSNQFQTEVGKQLISG	16	M	FQTEVGKQL	HB	2
Timo 1	P05107	Integrin beta-2	SNQFQTEVGKQLISG	15	M	FQTEVGKQL	HB	1
Timo 1	Q96RQ9	L-amino-acid oxidase	LSGLVLLNAPVVAMT	15	Lis/End	LVLLNAPVV	HB	3
Timo 1	Q9UHB6	LIM domain and actin-binding protein 1	FTTQNQKSQDVEL	13	C	FTTQNQKSQ	LB	1
Timo 1	P33241	Lymphocyte-specific protein 1	SLKPSEAPELDED	13	M	LKPSEAPEL	HB	1
Timo 1	O00754	Lysosomal alpha-mannosidase	IRATFDPTDGLME	14	Lis/End	FDPDTGLLM/FDPDTGLLM	IB	3
Timo 1	O00754	Lysosomal alpha-mannosidase	TRIYITDGNMQL	12	Lis/End	YITDGNMQL	IB	1
Timo 1	P07333	Macrophage colony-stimulating factor 1 receptor	VDTYVEMRPVSTS	13	M	YVEMRPVST	HB	1
Timo 1	Q2M385	Macrophage-expressed gene 1 protein	FSTEFQRMKTQVKDQ	16	M	FSTEFQRMK	HB	1
Timo 1	Q14764	Major vault protein	EKSFFLQPGEQLEQ	14	C	FFLQPGEQL	HB	1
Timo 1	Q14764	Major vault protein	GEKSFFLQPGEQLEQ	15	C	FFLQPGEQL	HB	2
Timo 1	P08571	Monocyte differentiation antigen CD14	SGTLVLLQGARGFA	14	M	VLLQGARGF	HB	1

M ^a	Ac. Number	Proteína	Péptido	T ^b	L ^c	Core	B ^d	R ^e
Timo 1	P35579	Myosin	GKADGAEAKPAE	12	C	ADGAEAKPA	LB	2
Timo 1	Q96A32	Myosin regulatory light chain 2, skeletal muscle isoform	VITHGDAKDQE	11	E/EM	ITHGDAKDQ	LB	1
Timo 1	P15586	N-acetylglucosamine-6-sulfatase	FEPFFMMIATPAPH	14	Lis/End	FFMMIATPA	HB	4
Timo 1	P15586	N-acetylglucosamine-6-sulfatase	FEPFFMMIATPAPHSP	16	Lis/End	FFMMIATPA	HB	1
Timo 1	P46531	Neurogenic locus notch homolog protein 1	VPNQYNPLRGSVAPGP	16	M	YNPLRGSVA	HB	2
Timo 1	P46531	Neurogenic locus notch homolog protein 1	VPNQYNPLRGSVAPGPL	17	M	YNPLRGSVA	HB	2
Timo 1	P16284	Platelet endothelial cell adhesion molecule	DAQFEVIKGQTIEV	14	M	FEVIKGQT	HB	1
Timo 1	Q15149	Plectin-1	GGLIEPDTPGRVPLD	15	C	IEPDTPGRV	HB	2
Timo 1	Q9H3G5	Probable serine carboxypeptidase CPVL	AGKYVPAIAHLIHS	14	Lis/End	YVPAIAHLI	HB	4
Timo 1	P30101	Protein disulfide-isomerase A3	SDVLELTDDNFESRISDTGSAGLML	25	ER	ISDTGSAGL	LB	3
Timo 1	P30101	Protein disulfide-isomerase A3	SDVLELTDDNFESRISDTGSAGLMLVE	27	ER	ISDTGSAGL	NA	1
Timo 1	Q96M53	Protein SPATIAL	PIGDPQSNRNPQL	13	C	IGDPQSNRNRN	LB	1
Timo 1	A6NJS3	Putative V-set and immunoglobulin domain-containing protein	MGTAYMELSSLRSEDT	16	E/EM	YMELSSLRS	HB	2
Timo 1	A6NJS3	Putative V-set and immunoglobulin domain-containing protein	STAYMELSSLRSED	14	E/EM	YMELSSLRS	HB	1
Timo 1	A6NJS3	Putative V-set and immunoglobulin domain-containing protein	STAYMELSSLRSEDT	15	E/EM	YMELSSLRS	HB	1
Timo 1	P20339	Ras-related protein Rab-5A	SPNIVIALSGNKADLA	16	Lis/End	VIALSGNKA	HB	1
Timo 1	P61020	Ras-related protein Rab-5B	SPSIVIALAGNKADLA	16	Lis/End	VIALAGNKA	HB	1
Timo 1	P51148	Ras-related protein Rab-5C	SPNIVIALAGNKA	14	Lis/End	VIALAGNKA	HB	1
Timo 1	P51148	Ras-related protein Rab-5C	SPNIVIALAGNKA	15	Lis/End	VIALAGNKA	HB	1
Timo 1	P51148	Ras-related protein Rab-5C	SPNIVIALAGNKA	16	Lis/End	VIALAGNKA	HB	2
Timo 1	P51149	Ras-related protein Rab-7a	AKEAINVEQAFQTIA	15	Lis/End	VEQAFQTIA	IB	1
Timo 1	O75787	Renin receptor	NEFSILKSPGSV	12	M	FSILKSPGS	HB	1
Timo 1	O75787	Renin receptor	NEFSILKSPGSVV	13	M	FSILKSPGS	HB	2
Timo 1	P52566	Rho GDP-dissociation inhibitor 2	DGPVVTDPKAPNVV	14	C	VVTDPKAPN	HB	2
Timo 1	Q9BY78	RING finger protein 26	RLATQALSQLHARPSY	16	N	LATQALSQL	HB	1
Timo 1	P02768	Serum albumin	EQLGEYKFQNAL	12	E/EM	LGEYKFQNA	LB	1
Timo 1	P02768	Serum albumin	LGEYKFQNALLVRYT	15	E/EM	YKFQNALLV	HB	1
Timo 1	O75094	Slit homolog 3 protein	KDSYVELASAKVRPQ	15	E/EM	YVELASAKV	HB	3
Timo 1	P38646	Stress-70 protein, mitochondrial	VPAYFNDSQRQAT	13	mit	YFNDSQRQA	LB	1
Timo 1	O00391	Sulfhydryl oxidase 1	ASHFEQMAAASMHR	14	G	FEQMAAASM	HB	3
Timo 1	O00560	Syntenin-1	ITSIVKDSSAARN	13	M	VKDSSAARN/IVKDSSAAR	HB	2
Timo 1	P02786	Transferrin receptor protein 1	NSVIIVDKNGRLVY	14	E/EM	IVDKNGRLV/IVDKNGRL	HB	1
Timo 1	Q15582	Transforming growth factor-beta-induced protein ig-h3	IEDTFETLRAAVAAS	15	E/EM	FETLRAAVA	HB	1
Timo 1	Q15582	Transforming growth factor-beta-induced protein ig-h3	IEDTFETLRAAVAASG	16	E/EM	FETLRAAVA	HB	2
Timo 1	Q15582	Transforming growth factor-beta-induced protein ig-h3	TTQLYTDRTEKLRLPE	15	E/EM	LYTDRTEKL/LYTDRTEKL	HB	2
Timo 1	P07437	Tubulin beta chain	GDSDLQLDRISVYYNEA	17	C	LDRISVYYN/LQLDRISVY	HB	2
Timo 1	O14763	Tumor necrosis factor receptor superfamily member 10B	DNEIKVAKAEAAG	13	M	IKVAKAEA	IB	1
Timo 1	O43914	TYRO protein tyrosine kinase-binding protein	ESPYQELQQQRSDV	14	M	YQELQQQRS	HB	1
Timo 1	O43914	TYRO protein tyrosine kinase-binding protein	SPYQELQQQRSDV	13	M	YQELQQQRS	HB	1
Timo 1	P18206	Vinculin	GSSPVAMQKAQQVSQG	16	M	VAMQKAQQV	HB	2

M ^a	Ac. Number	Proteína	Péptido	T ^b	L ^c	Core	B ^d	R ^e
Timo 1	P18206	Vinculin	SPVAMQKAQQVVSQ	13	M	VAMQKAQQV	HB	1
Timo 1	P18206	Vinculin	SPVAMQKAQQVVSQG	14	M	VAMQKAQQV	HB	2
Timo 1	P18206	Vinculin	SSPVAMQKAQQVVSQ	14	M	VAMQKAQQV	HB	2
Timo 1	P18206	Vinculin	SSPVAMQKAQQVVSQG	15	M	VAMQKAQQV	HB	3
Timo 1	P18206	Vinculin	ISPMVMDAKAVAGNI	15	M	VMDAKAVAG/MVMDAKAVA	HB	1
Timo 1	O75348	V-type proton ATPase subunit G 1	DIRPEIHENYRING	14	M	IRPEIHENY	NA	1
Timo 2	P62899	60S ribosomal protein L31	VTYVPVTTFKNLQTVNVDEN	20	C	FKNLQTVNV	HB	1
Timo 2	P11021	78 kDa glucose-regulated protein	SAGPPPTGEEDTAEKDEL	18	ER	AGPPPTGEE	LB	1
Timo 2	P01009	Alpha-1-antitrypsin	KAVLTIDEKGTEA	13	E/EM	LTIDEKGTE	HB	2
Timo 2	P01009	Alpha-1-antitrypsin	KAVLTIDEKGTEAA	14	E/EM	LTIDEKGTE	HB	16
Timo 2	P01023	Alpha-2-macroglobulin	YVLLAYLTAQPAPTS	15	E/EM	LAYLTAQPA	HB	1
Timo 2	P15514	Amphiregulin	IPGYIVDDSVRVEQ	14	M	YIVDDDSVRV/YIVDDDSRV	HB	1
Timo 2	P09525	Annexin A4	ISQTYQQQYGRSLED	15	C	YQQQYGRSL	HB	1
Timo 2	P08133	Annexin A6	AAGQFFPEAAQVAYQ	15	C	FPEAAQVAY	HB	1
Timo 2	P08133	Annexin A6	AGQFFPEAAQVAYQ	14	C	FPEAAQVAY	HB	3
Timo 2	P08133	Annexin A6	AGQFFPEAAQVAYQM	15	C	FPEAAQVAY	HB	1
Timo 2	P08133	Annexin A6	DAAGQFFPEAAQVAYQ	16	C	FPEAAQVAY	HB	1
Timo 2	P08133	Annexin A6	DAAGQFFPEAAQVAYQM	17	C	FPEAAQVAY	HB	1
Timo 2	P08133	Annexin A6	GDDDAAGQFFPEAAQVAYQ	19	C	FPEAAQVAY	HB	1
Timo 2	P05089	Arginase-1	INTPLTTSGNLHGQP	16	C	INTPLTTTS	IB	2
Timo 2	P13010	ATP-dependent DNA helicase 2 subunit 2	VEIKQLNHFWEIVVQ	15	N	LNFHWEIVV	IB	1
Timo 2	Q92499	ATP-dependent RNA helicase DDX1	LHLGILPNQL	10	N	LHLGILPNQ	NA	1
Timo 2	P40259	B-cell antigen receptor complex-associated protein beta chain	YEGLIDQTATYEDI	15	M	LDIDQTATY	HB	1
Timo 2	P20273	B-cell receptor CD22	APEPSTVQILHSPAVEG	17	M	VQILHSPAV	HB	1
Timo 2	P20273	B-cell receptor CD22	APEPSTVQILHSPAVEGSQ	19	M	VQILHSPAV	HB	1
Timo 2	P22223	Cadherin-3	DTKIFYSITGPAGDSPPE	18	M	FYSITGPGA	HB	1
Timo 2	P01258	Calcitonin	VQDYVQMKASELEQ	14	E/EM	YVQMKASEL	HB	3
Timo 2	P01258	Calcitonin	VQDYVQMKASELEQE	15	E/EM	YVQMKASEL	HB	3
Timo 2	Q9UQC9	Calcium-activated chloride channel regulator 2	DEYNNDKPFYING	13	M	YNNDKPFYI	HB	1
Timo 2	P27824	Calnexin	KPDDWDEDAPAKIPDE	16	ER	WDEDAPAKI	LB	18
Timo 2	P27824	Calnexin	KPDDWDEDAPAKIPDEE	17	ER	WDEDAPAKI	LB	1
Timo 2	P27797	Calreticulin	GGGYVKLFPSNLDQ	14	ER	YVKLFPNSL	HB	2
Timo 2	P09668	Cathepsin H	ESAIAIATGKMLSLA	15	Lis/End	IAIATGKML	HB	1
Timo 2	P25774	Cathepsin S	TGKLVLSAQNVLVD	14	Lis/End	LVSLSAQNL	HB	3
Timo 2	P11717	Cation-independent mannose-6-phosphate receptor	DLNPLIKLSGAYLVDDS	17	Lis/End	LIKLSGAYL	HB	1
Timo 2	Q9NZZ3	Charged multivesicular body protein 5	AQQSFNMEQANYTIQ	15	Lis/End	FNMEQANYT	HB	2
Timo 2	Q9UMD9	Collagen alpha-1(XVII) chain	DSGKVFTASPASIAATSFS	19	M	VFTASPASI	HB	1
Timo 2	P09871	Complement C1s subcomponent	INEYWVLTAAHVVE	14	E/EM	YWVLTAHV	HB	1
Timo 2	P01024	Complement C3	SPMYSIITPNILR	13	E/EM	YSIITPNIL	HB	1
Timo 2	P01024	Complement C3	SPMYSIITPNILRL	15	E/EM	YSIITPNIL	HB	4

M ^a	Ac. Number	Proteína	Péptido	T ^b	L ^c	Core	B ^d	R ^e
Timo 2	P01024	Complement C3	SPMYSIITPNILRLES	16	E/EM	YSIITPNIL	HB	2
Timo 2	POCOL4	Complement C4-A	DPDAPLQPVTPLQLFEGR	18	E/EM	LQPVTPLQL	HB	1
Timo 2	Q02413	Desmoglein-1	VVTGNMGSNDKVGDF	15	M	VTGNMGSND	NA	2
Timo 2	Q9UHL4	Dipeptidyl-peptidase 2	YPYPTDFLGPLPANPVK	17	Lis/End	YPTDFLGPL	HB	1
Timo 2	Q9H3Z4	Dnaj homolog subfamily C member 5	ETTQLTADSHPSYHTDG	17	M	LTADSHPSY	HB	3
Timo 2	Q9H3Z4	Dnaj homolog subfamily C member 5	TTQLTADSHPSYHTDG	16	M	LTADSHPSY	HB	3
Timo 2	P68104	Elongation factor 1-alpha 1	IEKFEKEAAEMGKG	14	C	IEKFEKEAA	IB	27
Timo 2	P47813	Eukaryotic translation initiation factor 1A, X-chromosomal	DDIGDDDEDIDDI	13	C	IGDDDEDID	LB	1
Timo 2	P55884	Eukaryotic translation initiation factor 3 subunit B	DSVIVVDNPQVGPD	15	C	VVDNVPQVG/IVVDNVPQV	HB	2
Timo 2	P55884	Eukaryotic translation initiation factor 3 subunit B	IDSVIVVDNPQVGPD	16	C	VVDNVPQVG/IVVDNVPQV	HB	2
Timo 2	Q8IWU5	Extracellular sulfatase Sulf-2	NTDPYQLMNAVNTLDR	16	ER	YQLMNAVNT	HB	1
Timo 2	Q8IWU5	Extracellular sulfatase Sulf-2	TDPYQLMNAVNTLDR	15	ER	YQLMNAVNT	HB	2
Timo 2	P52907	F-actin-capping protein subunit alpha-1	FNEVFNDVRLLNNNDN	16	C	VRLLNNNDN/VFNDVRLL	HB	1
Timo 2	P02671	Fibrinogen alpha chain	DSGEGDFLAEGGGVR	15	E/EM	FLAEGGGVR	LB	1
Timo 2	P02671	Fibrinogen alpha chain	LGEFVSETESRGSE	14	E/EM	FVSETESRG	LB	1
Timo 2	P02751	Fibronectin	DEPQYLDPLSTATSVN	16	E/EM	LPSTATSVN	HB	1
Timo 2	P09382	Galectin-1	GEVAPDAKSFVLN	13	E/EM	VAPDAKSFV	HB	1
Timo 2	P09382	Galectin-1	VRGEVAPDAKSFVLN	15	E/EM	VAPDAKSFV	HB	8
Timo 2	P15104	Glutamine synthetase	LNETGDEPFQYKN	13	mit	LNETGDEPF	LB	2
Timo 2	P04406	Glyceraldehyde-3-phosphate dehydrogenase	DAGAGIALNDH	11	C	AGAGIALND	LB	1
Timo 2	Q99988	Growth/differentiation factor 15	DSNTDLVPAPAVRILTPE	18	E/EM	LVPAPAVRI	HB	1
Timo 2	P62826	GTP-binding nuclear protein Ran	APPEVVMDPALAAQYEHD	18	N	MDPALAAQY/VVMDPALAA	HB	2
Timo 2	P31943	Heterogeneous nuclear ribonucleoprotein H	QVLQENSSDFQSNIA	15	N	VLQENSSDF	LB	1
Timo 2	P55795	Heterogeneous nuclear ribonucleoprotein H2	FLNSTAGTSGGAYDHSY	17	N	LNSTAGTSG	IB	1
Timo 2	Q9BUJ2	Heterogeneous nuclear ribonucleoprotein U-like protein 1	DYGYSQNTQGGTSTQ	16	N	YSGNTQGGT	LB	4
Timo 2	Q9BUJ2	Heterogeneous nuclear ribonucleoprotein U-like protein 1	NYDYGYSQNTQGGTSTQ	18	N	YSGNTQGGT	LB	1
Timo 2	P22626	Heterogeneous nuclear ribonucleoproteins A2/B1	GGGNYGSGNYNDFGNY	16	N	YGSQNYNDF	LB	1
Timo 2	POC08	Histone H2A type 1	IILELAGNAARDN	12	N	IILEAGNAA	HB	1
Timo 2	POC08	Histone H2A type 1	LTAEILELAGNAARDN	16	N	IILEAGNAA	HB	2
Timo 2	POC08	Histone H2A type 1	TAEILELAGNAARDN	15	N	IILEAGNAA	HB	4
Timo 2	P28068	HLA class II histocompatibility antigen, DM beta chain	FGVLNSLANVLSQH	14	M	FGVLNSLAN	HB	1
Timo 2	HLA-II, DM β chain	HLA class II histocompatibility antigen, DP alpha chain	FYVLDKKETVWH	13	M	VLDKKETV	HB	4
Timo 2	HLA-II, DP α chain	HLA class II histocompatibility antigen, DP alpha chain	VDLDDKKETVWH	11	M	VDLDDKKETV	HB	4
Timo 2	HLA-II, DP α chain	HLA class II histocompatibility antigen, DP alpha chain	YVDLDDKKETVWH	12	M	VDLDDKKETV	HB	49
Timo 2	HLA-II, DQ α chain	HLA class II histocompatibility antigen, DQ alpha chain	EDIVADHVASYGVN	14	M	IVADHVASY	HB	3
Timo 2	HLA-II, DR α chain	HLA class II histocompatibility antigen, DR alpha chain	ANIAVDKANLEIM	13	M	IAVDKANLE	IB	2
Timo 2	HLA-II, DR α chain	HLA class II histocompatibility antigen, DR alpha chain	NIAVDKANLEIM	12	M	IAVDKANLE	IB	1
Timo 2	HLA-II, DR α chain	HLA class II histocompatibility antigen, DR alpha chain	LANIAVDKANLE	12	M	LANIAVDKA/IAVDKANLE	NA	1
Timo 2	HLA-II, DR α chain	HLA class II histocompatibility antigen, DR alpha chain	LANIAVDKANLEI	13	M	LANIAVDKA/IAVDKANLE	IB	2

M ^a	Ac. Number	Proteína	Péptido	T ^b	L ^c	Core	B ^d	R ^e
Timo 2	HLA-II,DR α chain	HLA class II histocompatibility antigen, DR alpha chain	LANIAVDKANLEIM	14	M	LANIAVDKA/IAVDKANLE	IB	7
Timo 2	HLA-II,DR α chain	HLA class II histocompatibility antigen, DR alpha chain	LANIAVDKANLEIMT	15	M	LANIAVDKA/IAVDKANLE	IB	17
Timo 2	HLA-II,DR α chain	HLA class II histocompatibility antigen, DR alpha chain	VPPEVTVLTNSPVE	14	M	VTVLTNSPV	IB	1
Timo 2	HLA-II,DR α chain	HLA class II histocompatibility antigen, DR alpha chain	VPPEVTVLTNSPVEL	15	M	VTVLTNSPV	HB	1
Timo 2	Ig heavy	Ig heavy chain V-III	NTLYLNMSLNSRAEDT	15	E/EM	YLNMSLNSRA	HB	1
Timo 2	Ig heavy	Ig heavy chain V-III	BTVYLQMBSLNSRAEDT	15	E/EM	YLQMBSLNSRA	HB	1
Timo 2	Ig heavy	Ig heavy chain V-III	BTLYLQMNSLNSRAEBT	15	E/EM	YLQMNSLNSRA	HB	3
Timo 2	Ig heavy	Ig heavy chain V-III	BTLYLQMNSLNSRAEBTA	16	E/EM	YLQMNSLNSRA	HB	1
Timo 2	Ig heavy	Ig heavy chain V-III	NTLYLQMNSLNSRAEDT	15	E/EM	YLQMNSLNSRA	HB	8
Timo 2	Ig heavy	Ig heavy chain V-III	NTLYLQMNSLNSRAEDTA	16	E/EM	YLQMNSLNSRA	HB	2
Timo 2	Ig heavy	Ig heavy chain V-III	YLQMNSLNSRAED	11	E/EM	YLQMNSLNSRA	HB	1
Timo 2	Ig heavy	Ig heavy chain V-III	YLQMNSLNSRAEDT	12	E/EM	YLQMNSLNSRA	HB	3
Timo 2	Ig kappa	Ig kappa chain C region	KVQWKVDNALQSG	13	E/EM	VQWKVDNAL/WKVDNALQSG	IB	4
Timo 2	Ig kappa	Ig kappa chain C region	KVQWKVDNALQSGN	14	E/EM	VQWKVDNAL/WKVDNALQSG	IB	4
Timo 2	Q13349	Integrin alpha-D	DTSVYSQLPGQEAFM	15	M	YSQLPGQEA	HB	1
Timo 2	Q13349	Integrin alpha-D	DTSVYSQLPGQEAFMR	16	M	YSQLPGQEA	HB	1
Timo 2	P11215	Integrin alpha-M	TPLSAFGNLRPVLAEDA	17	M	FGNLRPVLA	HB	1
Timo 2	P11215	Integrin alpha-M	TPLSAFGNLRPVLAEDAQ	18	M	FGNLRPVLA	HB	2
Timo 2	P11215	Integrin alpha-M	GFGQSVVQLQQSRVVVGAPQ	20	M	VVQLQGSRV	HB	1
Timo 2	P05107	Integrin beta-2	NSNFQFTEVGKQLISGN	17	M	FQTEVGKQL	HB	1
Timo 2	Q14624	Inter-alpha-trypsin inhibitor heavy chain H4	NVVVFIDKSGSM	12	E/EM	FVIDKSGSM/FVIDKSGSM	IB	1
Timo 2	Q14624	Inter-alpha-trypsin inhibitor heavy chain H4	NVVVFIDKSGSMMSG	14	E/EM	FVIDKSGSM/FVIDKSGSM	IB	2
Timo 2	Q13651	Interleukin-10 receptor alpha chain	EPQFLLPDHPQADR	15	M	LLPDPHPQA/LLPDPHPQA	IB	1
Timo 2	P07910	Isoform C1 of Heterogeneous nuclear ribonucleoproteins C1/C2	GSSFDLDYDFQRD	13	N	FDLDYDFQR	IB	1
Timo 2	Q13753	Laminin subunit gamma-2	LDPVYFVAPAKFLGNQ	16	E/EM	YFVAPAKFL	HB	1
Timo 2	Q96RQ9	L-amino-acid oxidase	LSGLVLLNAPVVAM	14	Lis/End	LVLLNAPVV	HB	3
Timo 2	Q96RQ9	L-amino-acid oxidase	LSGLVLLNAPVVAMT	15	Lis/End	LVLLNAPVV	HB	4
Timo 2	Q96RQ9	L-amino-acid oxidase	LSGLVLLNAPVVAMTQGPH	19	Lis/End	LVLLNAPVV	HB	1
Timo 2	Q96RQ9	L-amino-acid oxidase	DDVAALHGPVVRQ	13	Lis/End	VAALHGPVV	HB	2
Timo 2	P10253	Lysosomal alpha-glucosidase	LPSQYITGLAEHLSP	15	Lis/End	YITGLAEHL	HB	1
Timo 2	P10253	Lysosomal alpha-glucosidase	LPSQYITGLAEHLSP	16	Lis/End	YITGLAEHL	HB	2
Timo 2	O00754	Lysosomal alpha-mannosidase	IRATFDPDTGLLME	14	Lis/End	FDPDTGLLM/FDPDTGLLM	IB	2
Timo 2	Q13571	Lysosomal-associated transmembrane protein 5	VVLPSYEEALSLPSKTPE	18	Lis/End	YEEALSLPS	NA	1
Timo 2	P07333	Macrophage colony-stimulating factor 1 receptor	VDTYVEMRPVSTS	13	M	YVEMRPVST	HB	1
Timo 2	Q14764	Major vault protein	GEKSFFLQPGEQLEQ	15	C	FFLQPGEQL	HB	3
Timo 2	Q9Y5P6	Mannose-1-phosphate guanyltransferase beta	GPGIVGNVLVDPDSARIGQN	19	mit	VLVDPSARI/VLVDPSARI	HB	1
Timo 2	P11226	Mannose-binding protein C	TEGQFVDTGNRLTYT	16	E/EM	FVDLTGNRL	HB	1
Timo 2	P46531	Neurogenic locus notch homolog protein 1	VPNQYNPLRGSVAPGP	16	M	YNPLRGSV	HB	3
Timo 2	P46531	Neurogenic locus notch homolog protein 1	VPNQYNPLRGSVAPGPL	17	M	YNPLRGSV	HB	3
Timo 2	P46531	Neurogenic locus notch homolog protein 1	VPNQYNPLRGSVAPGPLS	18	M	YNPLRGSV	HB	1

M ^a	Ac. Number	Proteína	Péptido	T ^b	L ^c	Core	B ^d	R ^e
Timo 2	P55058	Phospholipid transfer protein	IDYSLMKDPVASTSN	15	E/EM	YSLMKDPVA	HB	1
Timo 2	P55058	Phospholipid transfer protein	VGIDYSLMKDPVASTSN	17	E/EM	YSLMKDPVA	HB	2
Timo 2	Q15149	Plectin-1	TGGLIEPDTPGRVP	14	C	IEPDTPGRV	HB	1
Timo 2	Q15149	Plectin-1	TGGLIEPDTPGRVPLD	16	C	IEPDTPGRV	HB	1
Timo 2	Q9H3G5	Probable serine carboxypeptidase CPVL	KYVPAIAHLIHS	12	Lis/End	YVPAIAHLI	HB	1
Timo 2	P01189	Pro-opiomelanocortin	YGGFMTSEKSQTPLVT	16	E/EM	FMTSEKSQT	IB	2
Timo 2	P41222	Prostaglandin-H2 D-isomerase	DYDQYALLYSQGSKGPG	17	ER	YALLYSQGS	HB	1
Timo 2	P28066	Proteasome subunit alpha type-5	GPQLFHMDPSGTFVQ	15	C	FHMDSGTF/FHMDSGTF	HB	2
Timo 2	Q13796	Protein Shroom2	EPGAASFQNDSPPQVR	16	M	FQNDSPPQV/FQNDSPPQV	HB	1
Timo 2	Q92734	Protein TFG	YPAQTYTAQTSQPTNYT	17	C	YTAQTSQPT	HB	1
Timo 2	Q5BJH7	Protein YIF1B	SPTPHAAFLADPVSNMAMAYG	21	M	LADPVSNMA/FLADPVSNM	HB	1
Timo 2	A6NJS3	Putative V-set and immunoglobulin domain-containing protein	MGTAYMELSSLRSEDT	16	E/EM	YMELSSLR	HB	1
Timo 2	A6NJS3	Putative V-set and immunoglobulin domain-containing protein	MGTAYMELSSLRSEDTA	17	E/EM	YMELSSLR	HB	2
Timo 2	A6NJS3	Putative V-set and immunoglobulin domain-containing protein	STAYMELSSLRSED	14	E/EM	YMELSSLR	HB	2
Timo 2	A6NJS3	Putative V-set and immunoglobulin domain-containing protein	STAYMELSSLRSEDT	15	E/EM	YMELSSLR	HB	1
Timo 2	P61106	Ras-related protein Rab-14	NPNTVIIILGNKADLE	16	Lis/End	ILIGNKADL/VIILGNKA	HB	1
Timo 2	P20339	Ras-related protein Rab-5A	SPNIVIALSGNKADL	15	Lis/End	VIALSGNKA	HB	1
Timo 2	P20339	Ras-related protein Rab-5A	SPNIVIALSGNKADLA	16	Lis/End	VIALSGNKA	HB	2
Timo 2	P61020	Ras-related protein Rab-5B	SPSIVIALAGNKADL	15	Lis/End	VIALAGNKA	HB	1
Timo 2	P51148	Ras-related protein Rab-5C	SPNIVIALAGNKADL	15	Lis/End	VIALAGNKA	HB	1
Timo 2	P51148	Ras-related protein Rab-5C	SPNIVIALAGNKADLA	16	Lis/End	VIALAGNKA	HB	1
Timo 2	P52566	Rho GDP-dissociation inhibitor 2	DGPVVTDPKAPNVV	14	C	VVTDPKAPN	HB	1
Timo 2	P52566	Rho GDP-dissociation inhibitor 2	DGPVVTDPKAPNVVT	16	C	VVTDPKAPN	HB	1
Timo 2	Q96PK6	RNA-binding protein 14	AAAYASQPAAYAAQA	15	N	YASQPAAYA	HB	1
Timo 2	Q96PK6	RNA-binding protein 14	TAAAYASQPAAYAAQA	16	N	YASQPAAYA	HB	1
Timo 2	Q96PK6	RNA-binding protein 14	QPSASYNQASPYAAQQ	17	N	YNAQSAPYA	HB	1
Timo 2	Q9UIB8	SLAM family member 5	DAGDYKADINTQADPY	16	M	YKADINTQA	NA	1
Timo 2	Q9UIB8	SLAM family member 5	DAGDYKADINTQADPYT	17	M	YKADINTQA	NA	1
Timo 2	P38646	Stress-70 protein, mitochondrial	VPAYFNDSQRQA	12	mit	YFNDSQRQA	LB	1
Timo 2	P38646	Stress-70 protein, mitochondrial	VPAYFNDSQRQAT	13	mit	YFNDSQRQA	LB	2
Timo 2	Q96L08	Sushi domain-containing protein 3	LPPQATFQVLRNGAS	16	M	FQVLRNGA	HB	1
Timo 2	Q96L08	Sushi domain-containing protein 3	LPPQATFQVLRNGASVG	18	M	FQVLRNGA	HB	1
Timo 2	O00560	Syntenin-1	NPANPAILSEASAPIPH	17	M	ILSEASAPI/ILSEASAPI	HB	1
Timo 2	O00560	Syntenin-1	NPANPAILSEASAPIPHDG	19	M	ILSEASAPI/ILSEASAPI	HB	1
Timo 2	O00560	Syntenin-1	VDKVIQAAQTAFSANPA	16	M	IQAQTAFA	HB	1
Timo 2	Q9NYK1	Toll-like receptor 7	FSGLTYLKSLYLDGNQ	16	Lis/End	LTYLKSLY	HB	1
Timo 2	Q13263	Transcription intermediary factor 1-beta	DYNLIVIERGAAAATGQPG	20	N	IVIERGAAA/IVIERGAAA	HB	1
Timo 2	P02786	Transferrin receptor protein 1	SVIIVDKNGRLV	12	E/EM	IVDKNGRLV/IIVDKNGRL	HB	10
Timo 2	Q15582	Transforming growth factor-beta-induced protein ig-h3	TTQLYTDREKLRPE	15	E/EM	LYTDRTEKL/LYTDRTEKL	HB	2
Timo 2	P07437	Tubulin beta chain	GDSDLQLDRISVYNE	16	C	LDRISVYYN/LQLDRISVY	HB	1

M ^a	Ac. Number	Proteína	Péptido	T ^b	L ^c	Core	B ^d	R ^e
Timo 2	P07437	Tubulin beta chain	GDSDLQLDRISVYYNEA	17	C	LDRISVYYN/LQLDRISVY	HB	3
Timo 2	P68371	Tubulin beta-2C chain	MNTFSVVPSPKVSDT	15	C	FSVVPSPKV	HB	2
Timo 2	O43914	TYRO protein tyrosine kinase-binding protein	SPYQELQGQRSD	12	M	YQELQGQRS	HB	1
Timo 2	O43914	TYRO protein tyrosine kinase-binding protein	SPYQELQGQRSDV	13	M	YQELQGQRS	HB	2
Timo 2	O43914	TYRO protein tyrosine kinase-binding protein	SPYQELQGQRSDVY	14	M	YQELQGQRS	HB	1
Timo 2	Q13308	Tyrosine-protein kinase-like 7	ADGSSLPEWVDNAGTLH	18	M	WVTDNAGTL	HB	1
Timo 2	P68036	Ubiquitin-conjugating enzyme E2 L3	WQGLIVPDNPPYDKGAF	17	C	LIVPDNPPY	HB	1
Timo 2	Q9NU53	Uncharacterized protein C6orf72	EEVEIDGKQVQQ	13	M	VVEIDGKQV	HB	1
Timo 2	P18206	Vinculin	GSSPVAMQKAQQVSQG	16	M	VAMQKAQQV	HB	2
Timo 2	P18206	Vinculin	SSPVAMQKAQQVSQ	14	M	VAMQKAQQV	HB	1
Timo 2	P18206	Vinculin	SSPVAMQKAQQVSQG	15	M	VAMQKAQQV	HB	4
Timo 2	P18206	Vinculin	ISPMVMDAKAVAGNI	15	M	VMDAKAVAG/MVMDAKAVA	HB	1
Timo 2	P04004	Vitronectin	GGPSLTSQDQAQSKGNPE	18	E/EM	LTSQDQAQS	HB	1
Timo 2	Q9NY47	Voltage-dependent calcium channel subunit alpha-2/delta-2	EVDANLMLALYNNNSFY	16	M	MLALYNNSF/MLALYNNSF	IB	1
Timo 2	Q8N3Z6	Zinc finger CCHC domain-containing protein 7	QSNELVDKKCKSDIEK	16	N	VDKKCKSDI	LB	1
Timo 2	Q9H2Y7	Zinc finger protein 106 homolog	FEQLESQTTKQADTAT	16	N	LESQTTKQA	HB	1
Timo 2	Q96KR1	Zinc finger RNA-binding protein	APAVAYDSKQYYQQPT	16	N	VAYDSKQYY	HB	1
Timo 2	Q96KR1	Zinc finger RNA-binding protein	TAPAVAYDSKQYYQQPT	17	N	VAYDSKQYY	HB	1
Timo3	P63104	14-3-3 protein zeta/delta	QEAEFISKKEMQPT	14	C	FEISKKEMQ	NA	ND
Timo3	P11912	B-cell antigen receptor complex-associated protein alpha-chain (CD79a)	YEDISRGLQGY	12	M	ISRGLQGY	IB	ND
Timo3	P11912	B-cell antigen receptor complex-associated protein alpha-chain (CD79a)	YEDISRGLQG	10	M	YEDISRGLQ	IB	ND
Timo3	P25774	Cathepsin S	LDHHWHLWKKTGYGKQ	15	Lis/End	WHLWKKTGY	IB	ND
Timo3	P00450	Ceruloplasmin	GDKVYVHLKNLASRPY	16	E/EM	YVHLKNLAS	HB	ND
Timo3	P02745	Complement C1q subcomponent subunit A	QPRPAFSAIRRNPP	14	E/EM	FSAIRRNPP	NA	ND
Timo3	P02745	Complement C1q subcomponent subunit A	QPRPAFSAIRRNPPM	15	E/EM	FSAIRRNPP	NA	ND
Timo3	Q14314	Fibroleukin	DCSDYYAIGKRSSSET	15	E/EM	YYAIGKRSS	HB	ND
Timo3	P17900	Ganglioside GM2 activator	TGNYRIESVLSSG	14	Lis/End	YRIESVLSS	IB	ND
Timo3	P04406	Glyceraldehyde-3-phosphate dehydrogenase	FTTMEKAGAH	11	C	FTTMEKAGA	HB	ND
Timo3	P04406	Glyceraldehyde-3-phosphate dehydrogenase	GVFTTMEKAGAH	12	C	FTTMEKAGA	HB	ND
Timo3	P04406	Glyceraldehyde-3-phosphate dehydrogenase	GVFTTMEKAGAHL	13	C	FTTMEKAGA	HB	ND
Timo3	P04406	Glyceraldehyde-3-phosphate dehydrogenase	GVFTTMEKAGAHLQ	14	C	FTTMEKAGA	HB	ND
Timo3	P04406	Glyceraldehyde-3-phosphate dehydrogenase	STGVFTTMEKAGAH	14	C	FTTMEKAGA	HB	ND
Timo3	P04406	Glyceraldehyde-3-phosphate dehydrogenase	STGVFTTMEKAGAHL	15	C	FTTMEKAGA	HB	ND
Timo3	P04406	Glyceraldehyde-3-phosphate dehydrogenase	STGVFTTMEKAGAHLQ	16	C	FTTMEKAGA	HB	ND
Timo3	P04406	Glyceraldehyde-3-phosphate dehydrogenase	TGVFTTMEKAGAH	13	C	FTTMEKAGA	HB	ND
Timo3	P04406	Glyceraldehyde-3-phosphate dehydrogenase	TGVFTTMEKAGAHL	14	C	FTTMEKAGA	HB	ND
Timo3	P04406	Glyceraldehyde-3-phosphate dehydrogenase	TGVFTTMEKAGAHLQ	15	C	FTTMEKAGA	HB	ND
Timo3	HLA-II, DP α chain	HLA class II histocompatibility antigen, DP alpha chain	AAFVQTHRPTGEF	13	M	FVQTHRPTG	HB	ND
Timo3	HLA-II, DP α chain	HLA class II histocompatibility antigen, DP alpha chain	AFVQTHRPTGEF	12	M	FVQTHRPTG	HB	ND
Timo3	HLA-II, DP α chain	HLA class II histocompatibility antigen, DP alpha chain	FVQTHRPTGEF	11	M	FVQTHRPTG	HB	ND

M ^a	Ac. Number	Proteína	Péptido	T ^b	L ^c	Core	B ^d	R ^e
Timo3	HLA-II, DP α chain	HLA class II histocompatibility antigen, DP alpha chain	FVQTHRPTGEFM	12	M	FVQTHRPTG	HB	ND
Timo3	HLA-II, DP α chain	HLA class II histocompatibility antigen, DP alpha chain	YAAFVQTHRPTGEF	14	M	FVQTHRPTG	HB	ND
Timo3	HLA-II, DP α chain	HLA class II histocompatibility antigen, DP alpha chain	VDLDKKETVWHE	13	M	VDLDKKETV	HB	ND
Timo3	HLA-II, DP α chain	HLA class II histocompatibility antigen, DP alpha chain	YVDLDKKETVWH	12	M	VDLDKKETV/YVDLDKKET	HB	ND
Timo3	HLA-II, DP α chain	HLA class II histocompatibility antigen, DP alpha chain	YVDLDKKETVWHE	14	M	VDLDKKETV/YVDLDKKET	HB	ND
Timo3	HLA-II, DQ α chain	HLA class II histocompatibility antigen, DQ alpha chain	EDIVADHVASYGVN	14	M	IVADHVASY	HB	ND
Timo3	HLA-II, DR α chain	HLA class II histocompatibility antigen, DR alpha chain	LANIAVDKANLEIMT	15	M	IAVDKANLE	IB	ND
Timo3	HLA-II,DR α chain	HLA class II histocompatibility antigen, DR alpha chain	YNLPDQSGEF	10	M	LNPQDQSGEF	HB	ND
Timo3	Ig heavy	Ig heavy chain V-III	YLQMNSLRAED	11	E/EM	WLREGKQVG	HB	ND
Timo3	Ig heavy	Ig heavy chain V-III	YLQMNSLRAEDT	12	E/EM	YLQMNSLRA	HB	ND
Timo3	Ig mu	Ig mu chain C region	IQVSWLREGKQVGSG	15	E/EM	YLQMNSLRA	IB	ND
Timo3	Q02818	Nucleobindin-1	QAVALHMEQRKQQQQ	13	M	LHMEQRKQQ	IB	ND
Timo3	Q02818	Nucleobindin-1	QAVALHMEQRKQQQQQ	14	M	LHMEQRKQQ	IB	ND
Timo3	Q02818	Nucleobindin-1	QAVALHMEQRKQQQQQ	15	M	LHMEQRKQQ	IB	ND
Timo3	Q02818	Nucleobindin-1	QQAVALHMEQRKQQQQQQ	17	M	LHMEQRKQQ	IB	ND
Timo3	P04279	Semenogelin-1	QTEKLVAGKSQIQ	13	TRA	LVAGKSQIQ	LB	ND
Timo3	P02768	Serum albumin	STPTLVEVSRLNLGVKG	16	E/EM	LVEVSRNLG/LVEVSRNLG	IB	ND
Timo3	P02768	Serum albumin	STPTLVEVSRLNLGVGS	17	E/EM	LVEVSRNLG/LVEVSRNLG	IB	ND
Timo3	P02768	Serum albumin	TPTLVEVSRLNLGVKG	15	E/EM	LVEVSRNLG/LVEVSRNLG	IB	ND
Timo3	P02768	Serum albumin	TPTLVEVSRLNLGVSK	17	E/EM	LVEVSRNLG/LVEVSRNLG	IB	ND
Timo3	O00585	Small inducible cytokine A21 (CCL21)	AILFLPRKRQSA	12	E/EM	ILFLPRKRS	HB	ND
Timo3	O00585	Small inducible cytokine A21 (CCL21)	IPAILFLPRKRQSQ	13	E/EM	ILFLPRKRS	HB	ND
Timo3	O00585	Small inducible cytokine A21 (CCL21)	IPAILFLPRKRQSA	14	E/EM	ILFLPRKRS	HB	ND
Timo3	O00585	Small inducible cytokine A21 (CCL21)	IPAILFLPRKRQSAE	15	E/EM	ILFLPRKRS	HB	ND
Timo3	O00585	Small inducible cytokine A21 (CCL21)	PAILFLPRKRQSQ	12	E/EM	ILFLPRKRS	HB	ND
Timo3	P00441	Superoxide dismutase	AGPHFNPLSRKHGGPK	16	C	FNPLSRKHG	HB	ND
Timo3	P00441	Superoxide dismutase	GPHFNPLSRKHGGPK	15	C	FNPLSRKHG	HB	ND
Timo3	P00441	Superoxide dismutase	HFNPLSRKHGGPK	13	C	FNPLSRKHG	HB	ND
Timo3	P00441	Superoxide dismutase	PHFNPLSRKHGGPK	14	C	FNPLSRKHG	HB	ND
Timo3	P02786	Transferrin receptor protein 1	IIVDKNGRLV	10	E/EM	IIVDKNGRL	HB	ND
Timo3	P02786	Transferrin receptor protein 1	NSVIIVDKNGRLV	13	E/EM	IIVDKNGRL	HB	ND
Timo3	P02786	Transferrin receptor protein 1	SVIIVDKNGRLV	12	E/EM	IIVDKNGRL	HB	ND
Timo3	P28908	Tumor necrosis factor receptor superfamily member 8 (CD30)	YYLDEAGRCT	10	M	YYLDEAGRC	LB	ND
Timo4	P60709	Actin	AEREIVRDIKEKL	13	C	IVRDIKEKL	HB	ND
Timo4	P33151	Cadherin-5	GKEYFAIDNSGRIIT	15	M	FAIDNSGRI/IDNSGRIIT	IB	ND
Timo4	P10644	cAMP-dependent protein kinase type I-alpha regulatory subunit	RNIQQYNSFVSLSV	14	C	IQQYNSFVS	HB	ND
Timo4	Q92187	CMP-N-acetylneuraminate-poly-alpha-2,8-sialyltransferase	MPLEFKTLNVLHNRGAL	17	G	MPLEFKTLN	IB	ND
Timo4	P31785	Cytokine receptor common gamma chain	QKKEIHLYQTFVVQ	14	M	IHYQTFVV	HB	ND
Timo4	HLA-II, DP α chain	HLA class II histocompatibility antigen, DP alpha chain	EMFYVDLDKKETVWH	15	M	VDLDKKETV	HB	ND

M ^a	Ac. Number	Proteína	Péptido	T ^b	L ^c	Core	B ^d	R ^e
Timo4	HLA-II, DP α chain	HLA class II histocompatibility antigen, DP alpha chain	EQFYVLDKKETVWH	15	M	VLDKKETV	HB	ND
Timo4	HLA-II, DP α chain	HLA class II histocompatibility antigen, DP alpha chain	FYVLDKKETVWH	13	M	VLDKKETV	HB	ND
Timo4	HLA-II, DP α chain	HLA class II histocompatibility antigen, DP alpha chain	MFYVLDKKETVWH	14	M	VLDKKETV	HB	ND
Timo4	HLA-II, DP α chain	HLA class II histocompatibility antigen, DP alpha chain	QFYVLDKKETVWH	14	M	VLDKKETV	HB	ND
Timo4	HLA-II, DP α chain	HLA class II histocompatibility antigen, DP alpha chain	VDLKKETVWHE	13	M	VLDKKETV	HB	ND
Timo4	HLA-II, DP α chain	HLA class II histocompatibility antigen, DP alpha chain	YVLDKKETVWH	12	M	VLDKKETV	HB	ND
Timo4	HLA-II, DP α chain	HLA class II histocompatibility antigen, DP alpha chain	YVLDKKETVWHL	13	M	VLDKKETV	HB	ND
Timo4	HLA-II, DP α chain	HLA class II histocompatibility antigen, DP alpha chain	YVLDKKETVWHE	14	M	VLDKKETV	HB	ND
Timo4	HLA-II, DP β chain	HLA class II histocompatibility antigen, DP beta chain	DVGFRAVTELGRPD	15	M	VGEFRAVTE	LB	ND
Timo4	HLA-II, DP β chain	HLA class II histocompatibility antigen, DP beta chain	VGEFRAVTELGRPD	14	M	VGEFRAVTE	LB	ND
Timo4	HLA-II, DR α chain	HLA class II histocompatibility antigen, DR alpha chain	LANIAVDKANLEIM	14	M	IAVDKANLE	IB	ND
Timo4	HLA-II, DR α chain	HLA class II histocompatibility antigen, DR alpha chain	LANIAVDKANLEIMT	15	M	IAVDKANLE	IB	ND
Timo4	Q6PJ95	IGHG1 protein	KQTIPDYNRMIG	13	E/EM	IIPDYRNMI/IPDYRNMG	HB	ND
Timo4	Q6PJ95	IGHG1 protein	KQTIPDYNRMIGQ	15	E/EM	IIPDYRNMI/IPDYRNMG	HB	ND
Timo4	P17936	Insulin-like growth factor-binding protein 3	HSKIIKKGHAKDS	15	E/EM	IIIIKKGHA/IIIIKKGHA	HB	ND
Timo4	P17936	Insulin-like growth factor-binding protein 3	HSKIIKKGHAKDSQ	16	E/EM	IIIIKKGHA/IIIIKKGHA	HB	ND
Timo4	P10124	Serglycin	KGPMFELLPGESNKIPR	17	E/EM	LPGESNKIP	HB	ND
Timo4	P53041	Serine/threonine-protein phosphatase 5	DATRAIELDKKYIKGYY	17	N	IELDKKYIK	HB	ND
Timo4	P02787	Serotransferrin	DPQTFFYAVAVVKKD	15	E/EM	FYYAVAVVK	LB	ND
Timo4	P02787	Serotransferrin	DPQTFFYAVAVVKKDSG	17	E/EM	VAVVKKDSG	IB	ND
Timo4	P02787	Serotransferrin	EDPQTFFYAVAVVKKDSG	18	E/EM	VAVVKKDSG	IB	ND
Timo4	P02768	Serum albumin	PTLVEVSRLNLGVG	14	E/EM	LVEVSRLNL/VEVSRLNLGK	IB	ND
Timo4	P02768	Serum albumin	PTLVEVSRLNLGVGS	15	E/EM	LVEVSRLNL/VEVSRLNLGK	IB	ND
Timo4	P02768	Serum albumin	STPLVEVSRLNLGVGS	17	E/EM	LVEVSRLNL/VEVSRLNLGK	IB	ND
Timo4	P02768	Serum albumin	TPTLVEVSRLNLGVG	15	E/EM	LVEVSRLNL/VEVSRLNLGK	IB	ND
Timo4	P02768	Serum albumin	TPTLVEVSRLNLGVGS	16	E/EM	LVEVSRLNL/VEVSRLNLGK	IB	ND
Timo4	P02768	Serum albumin	TPTLVEVSRLNLGVSK	17	E/EM	LVEVSRLNL/VEVSRLNLGK	IB	ND
Timo4	P02768	Serum albumin	NALLVRYTKVPQVS	15	E/EM	VRYTKVPQ/LVRYTKVP	IB	ND
Timo4	P02768	Serum albumin	NALLVRYTKVPQVSTPT	18	E/EM	VRYTKVPQ/LVRYTKVP	IB	ND
Timo4	Q16594	Transcription initiation factor TFIID subunit 9	TPLPLIKPYSGPRLPPD	17	N	LPLIKPYSG	IB	ND
Timo4	P02786	Transferrin receptor protein 1	NSVIIVDKNGLRV	14	E/EM	IIVDKNGRL	HB	ND
Timo4	P02786	Transferrin receptor protein 1	SVIIVDKNGLRV	12	E/EM	IIVDKNGRL	HB	ND
Timo4	P02786	Transferrin receptor protein 1	SVIIVDKNGLRVY	13	E/EM	IIVDKNGRL	HB	ND
Timo4	Q15582	Transforming growth factor-beta-induced protein ig-h3	ALEIFKQASAFSRSQ	16	E/EM	LEIFKQASA/LEIFKQASA	IB	ND
Timo4	Q15582	Transforming growth factor-beta-induced protein ig-h3	LEIFKQASAFSRS	14	E/EM	LEIFKQASA/LEIFKQASA	IB	ND
Timo4	Q15582	Transforming growth factor-beta-induced protein ig-h3	LEIFKQASAFSRSQ	15	E/EM	LEIFKQASA/LEIFKQASA	IB	ND
Timo5	P01023	Alpha-2-macroglobulin	GNRIAQWQSFQLEG	14	E/EM	IAQWQSFQL	IB	ND
Timo5	P01023	Alpha-2-macroglobulin	GNRIAQWQSFQLEGG	15	E/EM	IAQWQSFQL	IB	ND
Timo5	P61769	Beta-2-microglobulin	TPKIQVYSRHPAEN	14	M	IQVYSRHPA	HB	ND

M ^a	Ac. Number	Proteína	Péptido	T ^b	L ^c	Core	B ^d	R ^e
Timo5	Q10589	Bone marrow stromal antigen 2 (CD317, BST-2)	EGEITTLNHLQLDAS	15	Lis/End	ITTLNHLQ	HB	ND
Timo5	Q10589	Bone marrow stromal antigen 2 (CD317, BST-2)	LEGEITTLNHLQLDAS	16	Lis/End	ITTLNHLQ	HB	ND
Timo5	P20645	Cation-dependent mannose-6-phosphate receptor	SEKELALVKRLKPL	14	Lis/End	LALVKRLKP	HB	ND
Timo5	P09382	Galectin-1	VRGEVAPDAKSFVLN	15	E/EM	VAPDAKSFV	HB	ND
Timo5	HLA-I, B α chain	HLA class I histocompatibility antigen, B alpha chain	GYNQLAYDGKDYIALN	16	M	LAYDGKDYL	HB	ND
Timo5	HLA-I, B α chain	HLA class I histocompatibility antigen, B alpha chain	YNQLAYDGKDYIAL	14	M	LAYDGKDYL	HB	ND
Timo5	HLA-I, B α chain	HLA class I histocompatibility antigen, B alpha chain	GYNQLAYDGKDYIAL	15	M	LLEEKRAVP/LLEEKRAVP	LB	ND
Timo5	HLA-II, DP β chain	HLA class II histocompatibility antigen, DP beta chain	SQKDLLEEKRAVPD	14	M	LAYDGKDYL	HB	ND
Timo5	P33908	Mannosyl-oligosaccharide 1,2-alpha-mannosidase IA	IQRDILLEKKVVAQQDQ	16	G	ILLEKKVVA/ILLEKKVVA	HB	ND
Timo5	Q95297	Myelin protein zero-like protein 1	NPPDIVVQPGHIRLY	15	M	VVQPGHIRL	IB	ND
Timo5	Q02818	Nucleobindin-1	QAVLHMEQRKQQQQQQ	15	M	LHMEQRKQQ	HB	ND
Timo5	Q02818	Nucleobindin-1	QAVLHMEQRKQQQQQQ	16	M	LHMEQRKQQ	HB	ND
Timo5	P25786	Proteasome subunit alpha type-1	HAVLVALKRAQSE	13	C	LVALKRAQS	HB	ND
Timo5	P04279	Semenogelin-1	QTEKLVAGKSQIQ	13	TRA	LVAGKSQIQ	LB	ND
Timo5	P02787	Serotransferrin	DKSKEFQLFSSPHGKDL	17	E/EM	FQLFSSPHG	IB	ND
Timo5	P02787	Serotransferrin	DPQTFYYAVAVVKKDS	16	E/EM	FYYAVAVVK	NA	ND
Timo5	P02768	Serum albumin	STPTLVEVSRLNLGVGSK	18	E/EM	LVEVSRNLG	HB	ND
Timo5	P02768	Serum albumin	ALLVRYTKKVPQVS	14	E/EM	LVRYTKKVP	HB	ND
Timo5	Q16594	Transcription initiation factor TFIID subunit 9	TPLPLIKPYAGPRLPPD	17	N	IKPYAGPRL	IB	ND

M^a: muestra de bazo; Ac.Number: número de acceso de Swiss-prot; Proteína: nombre de la proteína de la que deriva la secuencia obtenida; Péptido: secuencia peptídica.

T^b: número de aminoácidos. L^c: localización celular de la proteína; Core: secuencia de unión a HLA-DR asignada; B^d: predicción de afinidad a HLA-DR; R^e: número de secuencias idénticas obtenidas en la secuenciación. * TRA: Tissue restricted antigen; ND: No data.

Anexo 4.1.

M ^a	Ac Number	Proteína	Péptido	T ^b	Core	N ^c	P ^d	M ^e	B ^f
BM21	Q15365	Poly(rC)-binding protein 1	LAQYLINARLSSEK	14	YLINARLSS	HB	HB	HB	HB
BM21	P17900	Ganglioside GM2 activator	TGNYRIESVLSSSG	14	YRIESVLSS	IB	HB	IB	IB
BM21	P17900	Ganglioside GM2 activator	TGNYRIESVLSSSGK	15	YRIESVLSS	IB	HB	IB	IB
BM21	P25786	Proteasome subunit alpha type-1	HAVLVALKRAQSE	13	LVALKRAQS	HB	HB	IB	HB
BM21	P25786	Proteasome subunit alpha type-1	AVLVALKRAQSE	12	LVALKRAQS	HB	HB	HB	HB
BM21	P53634	Dipeptidyl-peptidase 1	FPYLIAGKYAQD	12	YLIAGKYAQ	IB	HB	HB	HB
BM21	P53634	Dipeptidyl-peptidase 1	FPYLIAGKYAQDFG	14	YLIAGKYAQ	HB	HB	HB	HB
BM21	Q9HBE5	Interleukin-21 receptor	EDPAFVMLKGKLQYE	15	YMLKGKLQY	HB	HB	IB	HB
BM21	Q8IXF9	Aquaporin-12A	WELSDLHLLQLSLMA	14	LHLLQLSLMA	IB	HB	IB	IB
BM21	Q969P0	Immunoglobulin superfamily member 8	DAVVLKIARLQAQDAG	16	VLKIARLQA	HB	HB	IB	HB
BM21	P02786	Transferrin receptor protein 1	NPGGYVAYSKAATVT	15	YVAYSKAAT	HB	HB	HB	HB
BM21	P02786	Transferrin receptor protein 1	NPGGYVAYSKAATVTG	16	YVAYSKAAT	HB	HB	HB	HB
BM21	P02786	Transferrin receptor protein 1	NPGGYVAYSKAATVTGK	17	YVAYSKAAT	HB	HB	HB	HB
BM21	P02786	Transferrin receptor protein 1	PGGYVAYSKAATVTG	15	YVAYSKAAT	HB	HB	HB	HB
BM21	P15907	Beta-galactoside alpha-2,6-sialyltransferase 1	DAVLRFNGAPTA NFQ	15	FNGAPTA NF	IB	HB	IB	IB
BM21	P50990	T-complex protein 1 subunit theta	AEAFEAIPRALAEN	14	FEAIPRALA	HB	HB	HB	HB
BM21	P09668	Cathepsin H	MNGYFLIERGKNM	13	YFLIERGKN	HB	HB	IB	HB
BM21	P20036	HLA II, DP alpha 1 chain	YAAFVQTHRPTGEF	14	FVQTHRPTG	HB	HB	HB	HB
BM21	P14618	Pyruvate kinase isozymes M1/M2	AGTAFIQTQQLHAAMA	16	FIQTQQLHA	IB	HB	IB	IB
BM21	P02786	Transferrin receptor protein 1	IPELNKVARAAAEE	13	LNKVARAAA	IB	HB	HB	HB
BM21	P02786	Transferrin receptor protein 1	IPELNKVARAAAEEV	14	LNKVARAAA	IB	HB	HB	HB
BM21	P02786	Transferrin receptor protein 1	IPELNKVARAAAEEVA	15	LNKVARAAA	IB	HB	HB	HB
BM21	P02786	Transferrin receptor protein 1	IPELNKVARAAAEEVAG	16	LNKVARAAA	IB	HB	HB	HB
BM21	P14618	Pyruvate kinase isozymes M1/M2	RPRAPIIAVTRNPQTA	16	IIAVTRNPQ	IB	IB	IB	IB
BM21	P14618	Pyruvate kinase isozymes M1/M2	RPRAPIIAVTRNPQTAR	17	IIAVTRNPQ	IB	IB	IB	IB
BM21	P14618	Pyruvate kinase isozymes M1/M2	APIIAVTRNPQTA	13	IIAVTRNPQ	IB	IB	IB	IB
BM21	Q13571	Lysosomal-associated transmembrane protein 5	LPSYEEALSLPSKTPE	16	YEEALSLPS	LB	IB	HB	NA
BM21	P33908	Mannosyl-oligosaccharide 1,2-alpha-mannosidase IA	IQRDLLEKKKKVAQDQ	16	ILLEKKKKVA	IB	IB	IB	IB
BM21	Q10589	Bone marrow stromal antigen 2	LEGEITTLNHLQDAS	16	ITTLNHLQ	IB	IB	IB	IB
BM21	Q10589	Bone marrow stromal antigen 2	LEGEITTLNHLQDASA	17	ITTLNHLQ	IB	IB	IB	IB
BM21	Q10589	Bone marrow stromal antigen 2	LEGEITTLNHLQDASAE	18	ITTLNHLQ	IB	IB	IB	IB
BM21	Q10589	Bone marrow stromal antigen 2	EGEITTLNHLQDA	14	ITTLNHLQ	IB	IB	IB	IB
BM21	Q10589	Bone marrow stromal antigen 2	EGEITTLNHLQDAS	15	ITTLNHLQ	IB	IB	IB	IB
BM21	Q10589	Bone marrow stromal antigen 2	GEITTLNHLQDAS	14	ITTLNHLQ	IB	IB	IB	IB

M ^a	Ac Number	Proteína	Péptido	T ^b	Core	N ^c	P ^d	M ^e	B ^f
BM21	P02768	Serum albumin	FYAPELLFFAK	11	YAPELLFFA	LB	IB	IB	IB
BM21	Q02413	Desmoglein-1	VVTGNMGSNDKVGDF	15	MGSNDKVGD	LB	LB	LB	LB
BM21	Q9NV92	NEDD4 family-interacting protein 2	SLPTYDEAEKAKAAA	15	YDEAEKAKA	LB	LB	LB	LB
BM21	Q9NV92	NEDD4 family-interacting protein 2	SLPTYDEAEKAKAAAM	16	YDEAEKAKA	LB	LB	HB	LB
BM21	Q9NV92	NEDD4 family-interacting protein 2	LPTYDEAEKAKAA	13	YDEAEKAKA	LB	LB	HB	LB
BM21	Q9NV92	NEDD4 family-interacting protein 2	LPTYDEAEKAKAAA	14	YDEAEKAKA	LB	LB	HB	LB
BM21	Q9NV92	NEDD4 family-interacting protein 2	LPTYDEAEKAKAAAM	15	YDEAEKAKA	LB	LB	HB	LB
BM21	P11940	Polyadenylate-binding protein 1	DKSIDNKALYDTF	13	IDNKALYDT	LB	LB	LB	LB
BM21	P02768	Serum albumin	AVMDDFAAFVEK	12	MDDFAAFVE	LB	LB	LB	LB
BM21	Q5D862	Filaggrin-2	PVLKNPDDDPDTVD	13	LKNPDDPDT	LB	LB	LB	LB
BM21	Q30134	HLA II, DRB1 beta chain	LDRYFYQNQEE	10	LDRYFYQNQE	LB	LB	LB	LB
BM21	P20039	HLA II, DRB1 beta chain	HSGLQPRGFLS	11	----	LB	LB	LB	LB
BM21	P26951	Interleukin-3 receptor subunit alpha	NPGTYTVQIR	10	----	LB	LB	LB	LB
BM21	P67809	Nuclease-sensitive element-binding protein 1	PPAENSSAPEAEQGGAE	17	----	LB	LB	LB	LB

M^a: Muestra; Ac.Number: número de acceso de Swiss-prot; Proteína: nombre de la proteína de la que deriva la secuencia obtenida; Péptido: secuencia peptídica; Core: secuencia de unión a HLA-DR asignada; T^b: número de aminoácidos; N^c: Afinidad NetMHCIIpan; P^d: Afinidad Propred; M^e: Afinidad Manual; B^f: Asignación teórica de afinidad final

Bibliografía

- Aaltonen, Johanna, Petra Björses, Jaakko Perheentupa, Nina Horelli-Kuitunen, Aarno Palotie, Leena Peltonen, Yeon Su Lee, et al. 1997. "An Autoimmune Disease, APECED, Caused by Mutations in a Novel Gene Featuring Two PHD-type Zinc-finger Domains." *Nature Genetics* 17 (4): 399–403. doi:10.1038/ng1297-399.
- Abramson, Jakub, Matthieu Giraud, Christophe Benoist, and Diane Mathis. 2010. "Aire's Partners in the Molecular Control of Immunological Tolerance." *Cell* 140 (1) (January): 123–135. doi:10.1016/j.cell.2009.12.030.
- Abu-Shakra, M., D. Buskila, M. Ehrenfeld, K. Conrad, and Y. Shoenfeld. 2001. "Cancer and Autoimmunity: Autoimmune and Rheumatic Features in Patients with Malignancies." *Annals of the Rheumatic Diseases* 60 (5) (May 1): 433–441. doi:10.1136/ard.60.5.433.
- Affinity Chromatography: Principles and Applications*. 2013. Accessed May 23. http://www.academia.edu/1486501/Affinity_Chromatography_Principles_and_Applications.
- Akivav, Eitan M, Yan Xu, and Nancy H Ruddle. 2011. "Resident B Cells Regulate Thymic Expression of Myelin Oligodendrocyte Glycoprotein." *Journal of Neuroimmunology* 235 (1-2) (June): 33–39. doi:10.1016/j.jneuroim.2011.03.013.
- Alvarez, Iñaki, Montserrat Carrascal, Francesc Canals, Laia Muixí, Joaquín Abián, and Dolores Jaraquemada. 2007. "Analysis of the HLA Class I Associated Peptide Repertoire in a Hepatocellular Carcinoma Cell Line Reveals Tumor-specific Peptides as Putative Targets for Immunotherapy." *Proteomics. Clinical Applications* 1 (3) (March): 286–298. doi:10.1002/prca.200600388.
- Alvarez, Iñaki, Javier Collado, Xavier Daura, Nuria Colomé, Marta Rodríguez-García, Teresa Gallart, Francesc Canals, and Dolores Jaraquemada. 2008. "The Rheumatoid Arthritis-associated Allele HLA-DR10 (DRB1*1001) Shares Part of Its Repertoire with HLA-DR1 (DRB1*0101) and HLA-DR4 (DRB*0401)." *Arthritis & Rheumatism* 58 (6) (June 1): 1630–1639. doi:10.1002/art.23503.
- Anderson, G, and E J Jenkinson. 2001. "Lymphostromal Interactions in Thymic Development and Function." *Nature Reviews. Immunology* 1 (1) (October): 31–40. doi:10.1038/35095500.
- Anderson, K S, and P Cresswell. 1994. "A Role for Calnexin (IP90) in the Assembly of Class II MHC Molecules." *The EMBO Journal* 13 (3) (February 1): 675–682.
- Anderton, Stephen M., Caius G. Radu, Pauline A. Lowrey, E. Sally Ward, and David C. Wraith. 2001. "Negative Selection During the Peripheral Immune Response to Antigen." *The Journal of Experimental Medicine* 193 (1) (January 1): 1–12.
- Asseman, Chrystelle, Smita Mauze, Michael W. Leach, Robert L. Coffman, and Fiona Powrie. 1999. "An Essential Role for Interleukin 10 in the Function of Regulatory T Cells That Inhibit Intestinal Inflammation." *The Journal of Experimental Medicine* 190 (7) (October 4): 995–1004.
- Bakke, O, and B Dobberstein. 1990. "MHC Class II-associated Invariant Chain Contains a Sorting Signal for Endosomal Compartments." *Cell* 63 (4) (November 16): 707–716.
- Baumgartner, Christina K, Andrea Ferrante, Mika Nagaoka, Jack Gorski, and Laurent P Malherbe. 2010. "Peptide-MHC Class II Complex Stability Governs CD4 T Cell Clonal Selection." *Journal of Immunology (Baltimore, Md.: 1950)* 184 (2) (January 15): 573–581. doi:10.4049/jimmunol.0902107.
- Belz, Gabrielle T, Georg M N Behrens, Chris M Smith, Jacques F A P Miller, Claerwen Jones, Kristina Lejon, C Garrison Fathman, et al. 2002. "The CD8alpha(+) Dendritic Cell Is Responsible for Inducing Peripheral Self-tolerance to Tissue-associated Antigens." *The Journal of Experimental Medicine* 196 (8) (October 21): 1099–1104.
- Beutner, U, and H R MacDonald. 1998. "TCR-MHC Class II Interaction Is Required for Peripheral Expansion of CD4 Cells in a T Cell-deficient Host." *International Immunology* 10 (3) (March): 305–310.
- Bowlus, C L, J Ahn, T Chu, and J R Gruen. 1999. "Cloning of a Novel MHC-encoded Serine Peptidase Highly Expressed by Cortical Epithelial Cells of the Thymus." *Cellular Immunology* 196 (2) (September 15): 80–86. doi:10.1006/cimm.1999.1543.
- Bozzacco, Leonia, Haiqiang Yu, Henry A Zebroski Iii, Joern Dengjel, Haiteng Deng, Svetlana Mojsov, and Ralph Marvin Steinman. 2011. "Mass Spectrometry Analysis and Quantitation of Peptides Presented on the MHC II Molecules of Mouse Spleen Dendritic Cells." *Journal of Proteome Research* (September 14). doi:10.1021/pr200503g. <http://www.ncbi.nlm.nih.gov/pubmed/21913724>.
- Buggert, Marcus, Melissa M Norström, Chris Czarnecki, Emmanuel Tupin, Ma Luo, Katarina Gyllensten, Anders Sönnberg, et al. 2012. "Characterization of HIV-specific CD4+ T Cell Responses Against Peptides Selected with Broad Population and Pathogen Coverage." *PLoS One* 7 (7): e39874. doi:10.1371/journal.pone.0039874.
- Carrier, A, C Nguyen, G Victorero, S Granjeaud, D Rocha, K Bernard, A Miazek, et al. 1999. "Differential Gene Expression in CD3epsilon- and RAG1-deficient Thymuses: Definition of a Set of Genes Potentially Involved in Thymocyte Maturation." *Immunogenetics* 50 (5-6) (December): 255–270.
- Catálfamo, Marta, Laurence Serradell, Carme Roura-Mir, Edgardo Kolkowski, Mireia Sospedra, Marta Vives-Pi, Francesca Vargas-Nieto, Ricardo Pujol-Borrell, and Dolores Jaraquemada. 1999. "HLA-DM and Invariant Chain Are Expressed by Thyroid Follicular Cells, Enabling the Expression of Compact DR Molecules." *International Immunology* 11 (2) (February 1): 269 – 277. doi:10.1093/intimm/11.2.269.
- Cederbom, L, H Hall, and F Ivars. 2000. "CD4+CD25+ Regulatory T Cells Down-regulate Co-stimulatory Molecules on Antigen-presenting Cells." *European Journal of Immunology* 30 (6) (June): 1538–1543. doi:10.1002/1521-4141(200006)30:6<1538::AID-IMMU1538>3.0.CO;2-X.
- Cinamon, Guy, Marcus A Zachariah, Olivia M Lam, Frank W Foss, and Jason G Cyster. 2008. "Follicular Shutting of Marginal Zone B Cells Facilitates Antigen Transport." *Nat Immunol* 9 (1): 54–62. doi:10.1038/ni1542.
- Ciofani, Maria, and Juan Carlos Zúñiga-Pflücker. 2007. "The Thymus as an Inductive Site for T Lymphopoiesis." *Annual Review of Cell and Developmental Biology* 23: 463–493. doi:10.1146/annurev.cellbio.23.090506.123547.
- Cloosen, Silvie, Janna Arnold, Marco Thio, Gerard M J Bos, Bruno Kyewski, and Wilfred T V Germeraad. 2007. "Expression of Tumor-associated Differentiation Antigens, MUC1 Glycoforms and CEA, in Human Thymic Epithelial Cells: Implications for Self-tolerance and Tumor Therapy." *Cancer Research* 67 (8) (April 15): 3919–3926. doi:10.1158/0008-5472.CAN-06-2112.
- Colomé, Nuria, Javier Collado, Joan J Bech-Serra, Ingrid Liiv, Luis C Antón, Pärt Peterson, Francesc Canals, Dolores Jaraquemada, and Iñaki Alvarez. 2010. "Increased Apoptosis after Autoimmune Regulator Expression in Epithelial Cells Revealed by a Combined Quantitative Proteomics Approach." *Journal of Proteome Research* 9 (5) (May 7): 2600–2609. doi:10.1021/pr100044d.

- Colomé, Nuria, Javier Collado, Joan J. Bech-Serra, Ingrid Liiv, Luis C. Antón, Pärt Peterson, Francesc Canals, Dolores Jaraquemada, and Iñaki Alvarez. 2010. "Increased Apoptosis after Autoimmune Regulator Expression in Epithelial Cells Revealed by a Combined Quantitative Proteomics Approach." *Journal of Proteome Research* 9 (5): 2600–2609. doi:10.1021/pr100044d.
- Colvai, Adriana I, Christina Giatzikis, Eric K Ho, Mushahid Farooqi, Nicole Suciu-Foca, Giorgio Cattoretti, and Attilio Orazi. 2004. "Flow Cytometric Analysis of Normal and Reactive Spleen." *Modern Pathology: An Official Journal of the United States and Canadian Academy of Pathology, Inc* 17 (8) (August): 918–927. doi:10.1038/modpathol.3800141.
- Collison, Lauren W, Creg J Workman, Timothy T Kuo, Kelli Boyd, Yao Wang, Kate M Vignali, Richard Cross, David Sehy, Richard S Blumberg, and Dario A A Vignali. 2007. "The Inhibitory Cytokine IL-35 Contributes to Regulatory T-cell Function." *Nature* 450 (7169) (November 22): 566–569. doi:10.1038/nature06306.
- Coombs, Gary S, Robert C. Bergstrom, Jean-Luc Pellequer, Scott I. Baker, Marc Navre, Matthew M. Smith, John A. Tainer, Edwin L. Madison, and David R. Corey. 1998. "Substrate Specificity of Prostate-specific Antigen (PSA)." *Chemistry & Biology* 5 (9): 475–488. doi:10.1016/S1074-5521(98)90004-7.
- Corr, M, L F Boyd, S R Frankel, S Kozlowski, E A Padlan, and D H Margulies. 1992. "Endogenous Peptides of a Soluble Major Histocompatibility Complex Class I Molecule, H-2Ld: Sequence Motif, Quantitative Binding, and Molecular Modeling of the Complex." *The Journal of Experimental Medicine* 176 (6) (December 1): 1681–1692.
- Costantino, Cristina Maria, Eric Spooner, Hidde L. Ploegh, and David A. Hafler. 2012. "Class II MHC Self-Antigen Presentation in Human B and T Lymphocytes." *PLoS ONE* 7 (1): e29805. doi:10.1371/journal.pone.0029805.
- Cresswell, P. 1996. "Invariant Chain Structure and MHC Class II Function." *Cell* 84 (4) (February 23): 505–507.
- Chicz, R M, R G Urban, J C Gorga, D A Vignali, W S Lane, and J L Strominger. 1993. "Specificity and Promiscuity Among Naturally Processed Peptides Bound to HLA-DR Alleles." *The Journal of Experimental Medicine* 178 (1) (July 1): 27–47.
- Dakshinamoorthy, Gajalakshmi, Abhilash Kumble Samyukta, Gnanasekar Munirathinam, Gangadhar Bhauraao Shinde, Thomas Nutman, Maryada Venkatarami Reddy, and Ramaswamy Kalyanasundaram. 2012. "Biochemical Characterization and Evaluation of a Brugia Malayi Small Heat Shock Protein as a Vaccine Against Lymphatic Filariasis." *PloS One* 7 (4): e34077. doi:10.1371/journal.pone.0034077.
- De Lamirande, Eve. 2007. "Semenogelin, the Main Protein of the Human Semen Coagulum, Regulates Sperm Function." *Seminars in Thrombosis and Hemostasis* 33 (1) (February): 60–68. doi:10.1055/s-2006-958463.
- Dengjel, Jörn, Maria-Dorothea Nastke, Cécile Gouttefangeas, Gitsios Gitsioudis, Oliver Schoor, Florian Altenberend, Margaret Müller, et al. 2006. "Unexpected Abundance of HLA Class II Presented Peptides in Primary Renal Cell Carcinomas." *Clinical Cancer Research* 12 (14) (July 15): 4163 –4170. doi:10.1158/1078-0432.CCR-05-2470.
- Derbinski, J, A Schulte, B Kyewski, and L Klein. 2001. "Promiscuous Gene Expression in Medullary Thymic Epithelial Cells Mirrors the Peripheral Self." *Nature Immunology* 2 (11) (November): 1032–1039. doi:10.1038/ni723.
- Derbinski, Jens, Jana Gäbler, Benedikt Brors, Sascha Tierling, Sunitha Jonnakuty, Manfred Hergenhahn, Leena Peltonen, Jörn Walter, and Bruno Kyewski. 2005. "Promiscuous Gene Expression in Thymic Epithelial Cells Is Regulated at Multiple Levels." *The Journal of Experimental Medicine* 202 (1) (July 4): 33–45. doi:10.1084/jem.20050471.
- Derbinski, Jens, Antje Schulte, Bruno Kyewski, and Ludger Klein. 2001. "Promiscuous Gene Expression in Medullary Thymic Epithelial Cells Mirrors the Peripheral Self." *Nature Immunology* 2 (11) (October 15): 1032–1039. doi:10.1038/ni723.
- Derfuss, Tobias, Khyati Parikh, Sviataslav Velhin, Magdalena Braun, Emily Mathey, Markus Krumbholz, Tania Kümpfel, et al. 2009. "Contactin-2/TAG-1-directed Autoimmunity Is Identified in Multiple Sclerosis Patients and Mediates Gray Matter Pathology in Animals." *Proceedings of the National Academy of Sciences of the United States of America* 106 (20) (May 19): 8302–8307. doi:10.1073/pnas.0901496106.
- Dessen, A, C M Lawrence, S Cupo, D M Zaller, and D C Wiley. 1997. "X-ray Crystal Structure of HLA-DR4 (DRA*0101, DRB1*0401) Complexed with a Peptide from Human Collagen II." *Immunity* 7 (4) (October): 473–481.
- Dijkstra, C D, E Van Vliet, E A Döpp, A A van der Lelij, and G Kraal. 1985. "Marginal Zone Macrophages Identified by a Monoclonal Antibody: Characterization of Immuno- and Enzyme-histochemical Properties and Functional Capacities." *Immunology* 55 (1) (May): 23–30.
- Dimitrov, Ivan, Panayot Garnev, Darren R Flower, and Irini Doytchinova. 2010. "MHC Class II Binding Prediction-A Little Help from a Friend." *Journal of Biomedicine & Biotechnology* 2010: 705821. doi:10.1155/2010/705821.
- Donskoy, Elina, and Irving Goldschneider. 2003. "Two Developmentally Distinct Populations of Dendritic Cells Inhabit the Adult Mouse Thymus: Demonstration by Differential Importation of Hematogenous Precursors Under Steady State Conditions." *Journal of Immunology (Baltimore, Md.: 1950)* 170 (7) (April 1): 3514–3521.
- Dunham, I, C A Sargent, J Trowsdale, and R D Campbell. 1987. "Molecular Mapping of the Human Major Histocompatibility Complex by Pulsed-field Gel Electrophoresis." *Proceedings of the National Academy of Sciences of the United States of America* 84 (20) (October): 7237–7241.
- Egwuagu, C E, P Charukamnoetkanok, and I Gery. 1997. "Thymic Expression of Autoantigens Correlates with Resistance to Autoimmune Disease." *Journal of Immunology (Baltimore, Md.: 1950)* 159 (7) (October 1): 3109–3112.
- EL-Manzalawy, Yasser, Drena Dobbs, and Vasant Honavar. 2008. "On Evaluating MHC-II Binding Peptide Prediction Methods." *PLoS ONE* 3 (9): e3268. doi:10.1371/journal.pone.0003268.
- Elmore, Susan A. 2006. "Enhanced Histopathology of the Thymus." *Toxicologic Pathology* 34 (5): 656 –665. doi:10.1080/01926230600865556.
- Engelhard, V H. 1994. "Structure of Peptides Associated with Class I and Class II MHC Molecules." *Annual Review of Immunology* 12: 181–207. doi:10.1146/annurev.iy.12.040194.001145.
- Ettinger, R A, and W W Kwok. 1998. "A Peptide Binding Motif for HLA-DQA1*0102/DQB1*0602, the Class II MHC Molecule Associated with Dominant Protection in Insulin-dependent Diabetes Mellitus." *Journal of Immunology (Baltimore, Md.: 1950)* 160 (5) (March 1): 2365–2373.
- Falk, K, O Rötzschke, S Stevanović, G Jung, and H G Rammensee. 1991. "Allele-specific Motifs Revealed by Sequencing of Self-peptides Eluted from MHC Molecules." *Nature* 351 (6324) (May 23): 290–296. doi:10.1038/351290a0.
- Perlin, Walter G, Evelyne Mougnéau, Stéphanie Hugues, Heiner Appel, Mei-Huei Jang, Julie Cazareth, Lucie Beaudoin, et al. 2004. "Self-peptides That Bind with Low Affinity to the Diabetes-associated I-A(g7) Molecule Readily Induce T Cell Tolerance in Non-obese Diabetic Mice." *European Journal of Immunology* 34 (10) (October): 2656–2663. doi:10.1002/eji.200425413.

- Fissolo, Nicolas, Sabrina Haag, Katrien L. de Graaf, Oliver Drews, Stefan Stevanovic, Hans Georg Rammensee, and Robert Weissert. 2009. "Naturally Presented Peptides on Major Histocompatibility Complex I and II Molecules Eluted from Central Nervous System of Multiple Sclerosis Patients" 8 (9) (September): 2090–2101. doi:10.1074/mcp.M900001-MCP200.
- Ge, Q, V P Rao, B K Cho, H N Eisen, and J Chen. 2001. "Dependence of Lymphopenia-induced T Cell Proliferation on the Abundance of Peptide/ MHC Epitopes and Strength of Their Interaction with T Cell Receptors." *Proceedings of the National Academy of Sciences of the United States of America* 98 (4) (February 13): 1728–1733. doi:10.1073/pnas.98.4.1728.
- Gebe, J A, E Swanson, and William W Kwok. 2002. "HLA Class II Peptide-binding and Autoimmunity." *Tissue Antigens* 59 (2) (February): 78–87.
- Germain, Ronald N. 2002. "T-cell Development and the CD4–CD8 Lineage Decision." *Nature Reviews Immunology* 2 (5): 309–322. doi:10.1038/nri798.
- Giraud, Matthieu, Hideyuki Yoshida, Jakub Abramson, Peter B Rahl, Richard A Young, Diane Mathis, and Christophe Benoist. 2012. "Aire Unleashes Stalled RNA Polymerase to Induce Ectopic Gene Expression in Thymic Epithelial Cells." *Proceedings of the National Academy of Sciences of the United States of America* 109 (2) (January 10): 535–540. doi:10.1073/pnas.1119351109.
- Girault, Jean-Antoine, and Elior Peles. 2002. "Development of Nodes of Ranvier." *Current Opinion in Neurobiology* 12 (5) (October 1): 476–485. doi:10.1016/S0959-4388(02)00370-7.
- Godkin, A J, K J Smith, A Willis, M V Tejada-Simon, J Zhang, T Elliott, and A V Hill. 2001. "Naturally Processed HLA Class II Peptides Reveal Highly Conserved Immunogenic Flanking Region Sequence Preferences That Reflect Antigen Processing Rather Than peptide-MHC Interactions." *Journal of Immunology (Baltimore, Md.: 1950)* 166 (11) (June 1): 6720–6727.
- Gowthaman, Uthaman, and Javed N Agrewala. 2008. "In Silico Tools for Predicting Peptides Binding to HLA-class II Molecules: More Confusion Than Conclusion." *Journal of Proteome Research* 7 (1) (January): 154–163. doi:10.1021/pr070527b.
- Gray, Daniel, Jakub Abramson, Christophe Benoist, and Diane Mathis. 2007a. "Proliferative Arrest and Rapid Turnover of Thymic Epithelial Cells Expressing Aire." *The Journal of Experimental Medicine* 204 (11) (October 29): 2521–2528. doi:10.1084/jem.20070795.
- . 2007b. "Proliferative Arrest and Rapid Turnover of Thymic Epithelial Cells Expressing Aire." *The Journal of Experimental Medicine* 204 (11) (October 29): 2521–2528. doi:10.1084/jem.20070795.
- Grossman, William J, James W Verbsky, Benjamin L Tollefson, Claudia Kemper, John P Atkinson, and Timothy J Ley. 2004. "Differential Expression of Granzymes A and B in Human Cytotoxic Lymphocyte Subsets and T Regulatory Cells." *Blood* 104 (9) (November 1): 2840–2848. doi:10.1182/blood-2004-03-0859.
- Guerder, Sylvie, Christophe Viret, Hervé Luche, Laurence Arduouin, and Bernard Malissen. 2012. "Differential Processing of Self-antigens by Subsets of Thymic Stromal Cells." *Current Opinion in Immunology* 24 (1) (February): 99–104. doi:10.1016/j.coi.2012.01.008.
- Guix, Maria, Briza Pérez-López, Melike Sahin, Mònica Roldán, Adriano Ambrosi, and Arben Merkoçi. 2010. "Structural Characterization by Confocal Laser Scanning Microscopy and Electrochemical Study of Multi-walled Carbon Nanotube Tyrosinase Matrix for Phenol Detection." *The Analyst* 135 (8): 1918. doi:10.1039/c000929f.
- Gulukota, K, and C DeLisi. 2001. "Neural Network Method for Predicting Peptides That Bind Major Histocompatibility Complex Molecules." *Methods in Molecular Biology (Clifton, N.J.)* 156: 201–209.
- Hadeiba, Husein, and Eugene C Butcher. 2013. "Thymus-homing Dendritic Cells in Central Tolerance." *European Journal of Immunology* (April 25). doi:10.1002/eji.201243192.
- Hadeiba, Husein, Katharina Lahl, Abdolhossein Edalati, Cecilia Oderup, Aida Habtezion, Russell Pachynski, Linh Nguyen, Asma Ghodsi, Sarah Adler, and Eugene C Butcher. 2012. "Plasmacytoid Dendritic Cells Transport Peripheral Antigens to the Thymus to Promote Central Tolerance." *Immunity* 36 (3) (March 23): 438–450. doi:10.1016/j.jimmuni.2012.01.017.
- Hanafusa, T, R Pujol-Borrell, L Chiovato, R C Russell, D Doniach, and G F Bottazzo. 1983. "Aberrant Expression of HLA-DR Antigen on Throcytes in Graves' Disease: Relevance for Autoimmunity." *Lancet* 2 (8359) (November 12): 1111–1115.
- Hartman, Isamu Z, AeRyon Kim, Robert J Cotter, Kimberly Walter, Sarat K Dalai, Tatiana Boronina, Wendell Griffith, et al. 2010. "A Reductionist Cell-free Major Histocompatibility Complex Class II Antigen Processing System Identifies Immunodominant Epitopes." *Nature Medicine* 16 (11) (November): 1333–1340. doi:10.1038/nm.2248.
- Hataye, Jason, James J. Moon, Alexander Khoruts, Cavan Reilly, and Marc K. Jenkins. 2006. "Naïve and Memory CD4+ T Cell Survival Controlled by Clonal Abundance." *Science* 312 (5770) (April 7): 114–116. doi:10.1126/science.1124228.
- Heckmann, J M, K E Morrison, B Emeryk-Szajewska, H Strugalska, J Bergoffen, N Willcox, and J Newsom-Davis. 1996. "Human Muscle Acetylcholine Receptor Alpha-subunit Gene (CHRNA1) Association with Autoimmune Myasthenia Gravis in Black, Mixed-ancestry and Caucasian Subjects." *Journal of Autoimmunity* 9 (2) (April): 175–180. doi:10.1006/jaut.1996.0021.
- Honey, Karen, Terry Nakagawa, Christoph Peters, and Alexander Rudensky. 2002. "Cathepsin L Regulates CD4+ T Cell Selection Independently of Its Effect on Invariant Chain: a Role in the Generation of Positively Selecting Peptide Ligands." *The Journal of Experimental Medicine* 195 (10) (May 20): 1349–1358.
- Hou, Yafei, Jason DeVoss, Vinh Dao, Serena Kwek, Jeffrey P Simko, Douglas G McNeil, Mark S Anderson, and Lawrence Fong. 2009. "An Aberrant Prostate Antigen-specific Immune Response Causes Prostatitis in Mice and Is Associated with Chronic Prostatitis in Humans." *The Journal of Clinical Investigation* 119 (7) (July): 2031–2041. doi:10.1172/JCI38332.
- Hu, Qizhi, Robert J Noll, Hongyan Li, Alexander Makarov, Mark Hardman, and R Graham Cooks. 2005. "The Orbitrap: a New Mass Spectrometer." *Journal of Mass Spectrometry: JMS* 40 (4) (April): 430–443. doi:10.1002/jms.856.
- Huang, Da Wei, Brad T Sherman, and Richard A Lempicki. 2009. "Systematic and Integrative Analysis of Large Gene Lists Using DAVID Bioinformatics Resources." *Nature Protocols* 4 (1): 44–57. doi:10.1038/nprot.2008.211.
- Hubert, François-Xavier, Sarah A. Kinkel, Gayle M. Davey, Belinda Phipson, Scott N. Mueller, Adrian Liston, Anna I. Proietto, et al. 2011. "Aire Regulates the Transfer of Antigen from mTECs to Dendritic Cells for Induction of Thymic Tolerance." *Blood* 118 (9) (September 1): 2462–2472. doi:10.1182/blood-2010-06-286393.
- Hugo, P, J W Kappler, J E McCormack, and P Marrack. 1993. "Fibroblasts Can Induce Thymocyte Positive Selection in Vivo." *Proceedings of the National Academy of Sciences of the United States of America* 90 (21) (November 1): 10335–10339.
- Ignatowicz, L, J Kappler, and P Marrack. 1996. "The Repertoire of T Cells Shaped by a Single MHC/peptide Ligand." *Cell* 84 (4) (February 23): 521–529.

- Johnnidis, Jonathan B, Emily S Venanzi, Debra J Taxman, Jenny P-Y Ting, Christophe O Benoist, and Diane J Mathis. 2005. "Chromosomal Clustering of Genes Controlled by the Aire Transcription Factor." *Proceedings of the National Academy of Sciences of the United States of America* 102 (20) (May 17): 7233–7238. doi:10.1073/pnas.0502670102.
- Justesen, Sune, Mikkel Harndahl, Kasper Lambeth, Lise-Lotte B Nielsen, and Søren Buus. 2009. "Functional Recombinant MHC Class II Molecules and High-throughput Peptide-binding Assays." *Immunoassay and Methods* 5 (May 5): 2. doi:10.1186/1745-7580-5-2.
- Keller, Andrew, Alexey I Nesvizhskii, Eugene Kolker, and Ruedi Aebersold. 2002. "Empirical Statistical Model to Estimate the Accuracy of Peptide Identifications Made by MS/MS and Database Search." *Analytical Chemistry* 74 (20) (October 15): 5383–5392.
- Kirberg, Jörg, Nabil Bosco, Jean-Christophe Deloulme, Rod Ceredig, and Fabien Agenès. 2008. "Peripheral T Lymphocytes Recirculating Back into the Thymus Can Mediate Thymocyte Positive Selection." *Journal of Immunology (Baltimore, Md.: 1950)* 181 (2) (July 15): 1207–1214.
- Klein, L, M Klugmann, K A Nave, V K Tuohy, and B Kyewski. 2000. "Shaping of the Autoreactive T-cell Repertoire by a Splice Variant of Self Protein Expressed in Thymic Epithelial Cells." *Nature Medicine* 6 (1) (January): 56–61. doi:10.1038/71540.
- Klein, L, B Roettinger, and B Kyewski. 2001. "Sampling of Complementing Self-antigen Pools by Thymic Stromal Cells Maximizes the Scope of Central T Cell Tolerance." *European Journal of Immunology* 31 (8) (August): 2476–2486. doi:10.1002/1521-4141(200108)31:8<2476::AID-IMMU2476>3.0.CO;2-T.
- Klein, Ludger, Thomas Klein, Ulrich Rüther, and Bruno Kyewski. 1998. "CD4 T Cell Tolerance to Human C-reactive Protein, an Inducible Serum Protein, Is Mediated by Medullary Thymic Epithelium." *The Journal of Experimental Medicine* 188 (1) (July 1): 5–16. doi:10.1084/jem.188.1.5.
- Klein, Ludger, Christian Münz, and Jan D. Lünemann. 2010. "Autophagy-mediated Antigen Processing in CD4+ T Cell Tolerance and Immunity." *FEBS Letters* 584 (7) (April): 1405–1410. doi:10.1016/j.febslet.2010.01.008.
- Kolli, Sivanagarani, Christina I Zito, Marieke H Mossink, Erik A C Wiemer, and Anton M Bennett. 2004. "The Major Vault Protein Is a Novel Substrate for the Tyrosine Phosphatase SHP-2 and Scaffold Protein in Epidermal Growth Factor Signaling." *The Journal of Biological Chemistry* 279 (28) (July 9): 29374–29385. doi:10.1074/jbc.M313955200.
- Kong, Yi-Chi M, Jeffrey C Flynn, J Paul Banga, and Chella S David. 2007. "Application of HLA Class II Transgenic Mice to Study Autoimmune Regulation." *Thyroid: Official Journal of the American Thyroid Association* 17 (10) (October): 995–1003. doi:10.1089/thy.2007.0196.
- Kotsch, K, J Wehling, and R Blasczyk. 1999. "Sequencing of HLA Class II Genes Based on the Conserved Diversity of the Non-coding Regions: Sequencing Based Typing of HLA-DRB Genes." *Tissue Antigens* 53 (5) (May): 486–497.
- Kourilsky, P, and J M Claverie. 1989. "MHC Restriction, Alloreactivity, and Thymic Education: a Common Link?" *Cell* 56 (3) (February 10): 327–329.
- Kumánovics, Attila, Toyoyuki Takada, and Kirsten Fischer Lindahl. 2003. "Genomic Organization of the Mammalian MHC." *Annual Review of Immunology* 21: 629–657. doi:10.1146/annurev.immunol.21.090501.080116.
- Kuroda, Noriyuki, Tasuku Mitani, Naoki Takeda, Naozumi Ishimaru, Rieko Arakaki, Yoshio Hayashi, Yoshimi Bando, et al. 2005. "Development of Autoimmunity Against Transcriptionally Unrepressed Target Antigen in the Thymus of Aire-deficient Mice." *Journal of Immunology (Baltimore, Md.: 1950)* 174 (4) (February 15): 1862–1870.
- Kuwabara, Satoshi, and Sonoko Misawa. 2004. "Axonal Ionic Pathophysiology in Human Peripheral Neuropathy and Motor Neuron Disease." *Current Neurovascular Research* 1 (4) (October): 373–379.
- Kyewski, Bruno, and Jens Derbinski. 2004. "Self-representation in the Thymus: An Extended View." *Nat Rev Immunol* 4 (9): 688–698. doi:10.1038/nri1436.
- Laemmli, U K. 1970. "Cleavage of Structural Proteins During the Assembly of the Head of Bacteriophage T4." *Nature* 227 (5259) (August 15): 680–685.
- Lämmermann, Tim, and Michael Sixt. 2008. "The Microanatomy of T-cell Responses." *Immunological Reviews* 221 (1) (February 1): 26–43. doi:10.1111/j.1600-065X.2008.00592.x.
- Larsen, S L, L O Pedersen, S Buus, and A Stryhn. 1996. "T Cell Responses Affected by Aminopeptidase N (CD13)-mediated Trimming of Major Histocompatibility Complex Class II-bound Peptides." *The Journal of Experimental Medicine* 184 (1) (July 1): 183–189.
- Latek, R R, S J Petzold, and E R Unanue. 2000. "Hindering Auxiliary Anchors Are Potent Modulators of Peptide Binding and Selection by I-Ak Class II Molecules." *Proceedings of the National Academy of Sciences of the United States of America* 97 (21) (October 10): 11460–11465. doi:10.1073/pnas.210384197.
- Lazarski, Christopher A, Francisco A Chaves, Scott A Jenks, Shenhong Wu, Katherine A Richards, J M Weaver, and Andrea J Sant. 2005. "The Kinetic Stability of MHC Class II:peptide Complexes Is a Key Parameter That Dictates Immunodominance." *Immunity* 23 (1) (July): 29–40. doi:10.1016/j.jimmuni.2005.05.009.
- Lee, K H, K W Wucherpfennig, and D C Wiley. 2001. "Structure of a Human Insulin peptide-HLA-DQ8 Complex and Susceptibility to Type 1 Diabetes." *Nature Immunology* 2 (6) (June): 501–507. doi:10.1038/88694.
- Levisetti, Matteo G, Danna M Lewis, Anish Suri, and Emil R Unanue. 2008. "Weak Proinsulin Peptide-major Histocompatibility Complexes Are Targeted in Autoimmune Diabetes in Mice." *Diabetes* 57 (7) (July): 1852–1860. doi:10.2337/db08-0068.
- Li, JiChu, JooHung Park, Deborah Foss, and Irving Goldschneider. 2009. "Thymus-homing Peripheral Dendritic Cells Constitute Two of the Three Major Subsets of Dendritic Cells in the Steady-state Thymus." *The Journal of Experimental Medicine* 206 (3) (March 16): 607–622. doi:10.1084/jem.20082232.
- Liiv, Ingrid, Uku Haljasorg, Kai Kisand, Julia Maslovskaja, Martti Laan, and Pärt Peterson. 2012. "AIRE-induced Apoptosis Is Associated with Nuclear Translocation of Stress Sensor Protein GAPDH." *Biochemical and Biophysical Research Communications* 423 (1) (June 22): 32–37. doi:10.1016/j.bbrc.2012.05.057.
- Lindstedt, Malin, Kristina Lundberg, and Carl A K Borrebaeck. 2005. "Gene Family Clustering Identifies Functionally Associated Subsets of Human in Vivo Blood and Tonsillar Dendritic Cells." *Journal of Immunology (Baltimore, Md.: 1950)* 175 (8) (October 15): 4839–4846.
- Linsk, R, M Gottesman, and B Pernis. 1989. "Are Tissues a Patch Quilt of Ectopic Gene Expression?" *Science (New York, N.Y.)* 246 (4927) (October 13): 261.

- Liston, Adrian, Sylvie Lesage, Daniel H. D. Gray, Richard L. Boyd, and Christopher C. Goodnow. 2005. "Genetic Lesions in T-cell Tolerance and Thresholds for Autoimmunity." *Immunological Reviews* 204 (1): 87–101. doi:10.1111/j.0105-2896.2005.00253.x.
- Lovitch, Scott B, Shirley J Petzold, and Emil R Unanue. 2003. "Cutting Edge: H-2DM Is Responsible for the Large Differences in Presentation Among Peptides Selected by I-A^k During Antigen Processing." *Journal of Immunology (Baltimore, Md.: 1950)* 171 (5) (September 1): 2183–2186.
- Lovitch, Scott B, Zheng Pu, and Emil R Unanue. 2006. "Amino-terminal Flanking Residues Determine the Conformation of a Peptide-class II MHC Complex." *Journal of Immunology (Baltimore, Md.: 1950)* 176 (5) (March 1): 2958–2968.
- Lucas-Martin, A, M Foz-Sala, I Todd, G F Bottazzo, and R Pujol-Borrell. 1988. "Occurrence of Thyrocyte HLA Class II Expression in a Wide Variety of Thyroid Diseases: Relationship with Lymphocytic Infiltration and Thyroid Autoantibodies." *The Journal of Clinical Endocrinology and Metabolism* 66 (2) (February): 367–375.
- Lundwall, Åke, Anders Bjartell, A. Yvonne Olsson, and Johan Malm. 2002. "Semenogelin I and II, the Predominant Human Seminal Plasma Proteins, Are Also Expressed in Non-genital Tissues." *Molecular Human Reproduction* 8 (9) (September 1): 805–810. doi:10.1093/molehr/8.9.805.
- Malm, Johan, Jukka Hellman, Phil Hogg, and Hans Lilja. 2000. "Enzymatic Action of Prostate-specific Antigen (PSA or hK3): Substrate Specificity and Regulation by Zn²⁺, a Tight-binding Inhibitor." *The Prostate* 45 (2): 132–139. doi:10.1002/1097-0045(20001001)45:2<132::AID-PROST7>3.0.CO;2-3.
- Manz, Rudolf A, Sergio Arce, Giuliana Cassese, Anja E Hauser, Falk Hiepe, and Andreas Radbruch. 2002. "Humoral Immunity and Long-lived Plasma Cells." *Current Opinion in Immunology* 14 (4) (August): 517–521.
- Marrack, P, L Ignatowicz, J W Kappler, J Boymel, and J H Freed. 1993. "Comparison of Peptides Bound to Spleen and Thymus Class II." *The Journal of Experimental Medicine* 178 (6) (December 1): 2173–2183.
- Martín-Gayo, Enrique, Elena Sierra-Filardi, Angel L Corbí, and María L Toribio. 2010. "Plasmacytoid Dendritic Cells Resident in Human Thymus Drive Natural Treg Cell Development." *Blood* 115 (26) (July 1): 5366–5375. doi:10.1182/blood-2009-10-248260.
- McIlroy, D, C Troadec, F Grassi, A Samri, B Barrou, B Autran, P Debré, J Feuillard, and A Hosmalin. 2001. "Investigation of Human Spleen Dendritic Cell Phenotype and Distribution Reveals Evidence of in Vivo Activation in a Subset of Organ Donors." *Blood* 97 (11) (June 1): 3470–3477.
- Mebius, Reina E., and Georg Kraal. 2005. "Structure and Function of the Spleen." *Nat Rev Immunol* 5 (8): 606–616. doi:10.1038/nri1669.
- Metzger, Todd C, and Mark S Anderson. 2011. "Control of Central and Peripheral Tolerance by Aire." *Immunological Reviews* 241 (1) (May 1): 89–103. doi:10.1111/j.1600-065X.2011.01008.x.
- Mizushima, Noboru, Akitsugu Yamamoto, Makoto Matsui, Tamotsu Yoshimori, and Yoshinori Ohsumi. 2004. "In Vivo Analysis of Autophagy in Response to Nutrient Starvation Using Transgenic Mice Expressing a Fluorescent Autophagosome Marker." *Molecular Biology of the Cell* 15 (3) (March): 1101–1111. doi:10.1091/mbc.E03-09-0704.
- Mohan, James F, Matteo G Levisetti, Boris Calderon, Jeremy W Herzog, Shirley J Petzold, and Emil R Unanue. 2010. "Unique Autoreactive T Cells Recognize Insulin Peptides Generated Within the Islets of Langerhans in Autoimmune Diabetes." *Nature Immunology* 11 (4) (April): 350–354. doi:10.1038/ni.1850.
- Mohan, James F, Shirley J Petzold, and Emil R Unanue. 2011. "Register Shifting of an Insulin peptide-MHC Complex Allows Diabetogenic T Cells to Escape Thymic Deletion." *The Journal of Experimental Medicine* 208 (12) (November 21): 2375–2383. doi:10.1084/jem.20111502.
- Mueller, Daniel L. 2010. "Mechanisms Maintaining Peripheral Tolerance." *Nat Immunol* 11 (1): 21–27. doi:10.1038/ni.1817.
- Muixí, L, M Gay, P M Munoz-Torres, C Guitart, J Cedano, J Abian, I Alvarez, and D Jaraquemada. 2011. "The Peptide-binding Motif of HLA-DR8 Shares Important Structural Features with Other Type 1 Diabetes-associated Alleles." *Genes Immun* (June 9). <http://dx.doi.org/10.1038/gene.2011.26>.
- Muixí, Laia, Montserrat Carrascal, Iñaki Alvarez, Xavier Daura, Mercè Martí, Maria Pilar Armengol, Clemencia Pinilla, Joaquín Abian, Ricardo Pujol-Borrell, and Dolores Jaraquemada. 2008. "Thyroglobulin Peptides Associate In Vivo to HLA-DR in Autoimmune Thyroid Glands." *The Journal of Immunology* 181 (1) (July 1): 795–807.
- Muixí, Laia, Vanessa Contreras, Javier A. Collado, Yannick Alexandre, Keith Ballingall, Michel Bonneau, Dolores Jaraquemada, and Isabelle Schwartz-Cornil. 2012. "Unraveling Features of the Natural MHC Class II Peptidome of Skin-migrated Dendritic Cells." *International Immunology* 24 (1) (January 1): 59–69. doi:10.1093/intimm/dxr096.
- Muntasell, Aura, Montserrat Carrascal, Iñaki Alvarez, Laurence Serradell, Peter van Veelen, Frank A W Verreck, Frits Koning, Joaquín Abian, and Dolores Jaraquemada. 2004. "Dissection of the HLA-DR4 Peptide Repertoire in Endocrine Epithelial Cells: Strong Influence of Invariant Chain and HLA-DM Expression on the Nature of Ligands." *Journal of Immunology (Baltimore, Md.: 1950)* 173 (2) (July 15): 1085–1093.
- Muntasell, Aura, Montserrat Carrascal, Laurence Serradell, Peter van Veelen Pv, Frank Verreck, Frits Koning, Graça Raposo, Joaquín Abián, and Dolores Jaraquemada. 2002. "HLA-DR4 Molecules in Neuroendocrine Epithelial Cells Associate to a Heterogeneous Repertoire of Cytoplasmic and Surface Self Peptides." *Journal of Immunology (Baltimore, Md.: 1950)* 169 (9) (November 1): 5052–5060.
- Münz, Christian. 2009. "Enhancing Immunity through Autophagy." *Annual Review of Immunology* 27: 423–449. doi:10.1146/annurev.immunol.021908.132537.
- Murata, Shigeo, Katsuhiro Sasaki, Toshihiko Kishimoto, Shin-Ichiro Niwa, Hidemi Hayashi, Yousuke Takahama, and Keiji Tanaka. 2007. "Regulation of CD8+ T Cell Development by Thymus-specific Proteasomes." *Science (New York, N.Y.)* 316 (5829) (June 1): 1349–1353. doi:10.1126/science.1141915.
- Nacu, Natalia, Irina G Luzina, Kendrick Highsmith, Virginia Lockatell, Kerill Pochetuhen, Zachary A Cooper, Michael P Gillmeister, Nevins W Todd, and Sergei P Atamas. 2008. "Macrophages Produce TGF-beta-induced (beta-ig-h3) Following Ingestion of Apoptotic Cells and Regulate MMP14 Levels and Collagen Turnover in Fibroblasts." *Journal of Immunology (Baltimore, Md.: 1950)* 180 (7) (April 1): 5036–5044.
- Nakamura, Kazuhiko, Atsushi Kitani, and Warren Strober. 2001. "Cell Contact-Dependent Immunosuppression by Cd4+Cd25+Regulatory T Cells Is Mediated by Cell Surface-Bound Transforming Growth Factor-β?" *The Journal of Experimental Medicine* 194 (5) (September 3): 629–644.

- Nedjic, Jelena, Martin Aichinger, Jan Emmerich, Noboru Mizushima, and Ludger Klein. 2008. "Autophagy in Thymic Epithelium Shapes the T-cell Repertoire and Is Essential for Tolerance." *Nature* 455 (7211) (September 18): 396–400. doi:10.1038/nature07208.
- Nedjic, Jelena, Martin Aichinger, Noboru Mizushima, and Ludger Klein. 2009. "Macroautophagy, Endogenous MHC II Loading and T Cell Selection: The Benefits of Breaking the Rules." *Current Opinion in Immunology* 21 (1) (February): 92–97. doi:10.1016/j.co.2009.01.013.
- Neefjes, J. 1999. "CIIV, MIIC and Other Compartments for MHC Class II Loading." *European Journal of Immunology* 29 (5) (May): 1421–1425. doi:10.1002/(SICI)1521-4141(199905)29:05<1421::AID-IMMU1421>3.0.CO;2-C.
- Nielsen, Morten, Sune Justesen, Ole Lund, Claus Lundsgaard, and Søren Buus. 2010. "NetMHCIIpan-2.0 - Improved Pan-specific HLA-DR Predictions Using a Novel Concurrent Alignment and Weight Optimization Training Procedure." *Immunome Research* 6: 9. doi:10.1186/1745-7580-6-9.
- Nielsen, Morten, and Ole Lund. 2009. "NN-align. An Artificial Neural Network-based Alignment Algorithm for MHC Class II Peptide Binding Prediction." *BMC Bioinformatics* 10 (September 18): 296. doi:10.1186/1471-2105-10-296.
- Nielsen, Morten, Ole Lund, Søren Buus, and Claus Lundsgaard. 2010. "MHC Class II Epitope Predictive Algorithms." *Immunology* 130 (3) (April 12): 319–328. doi:10.1111/j.1365-2567.2010.03268.x.
- Nielsen, Morten, Claus Lundsgaard, Thomas Blicher, Bjoern Peters, Alessandro Sette, Sune Justesen, Søren Buus, and Ole Lund. 2008. "Quantitative Predictions of Peptide Binding to Any HLA-DR Molecule of Known Sequence: NetMHCIIpan." *PLoS Computational Biology* 4 (7): e1000107. doi:10.1371/journal.pcbi.1000107.
- Nielsen, Morten, Claus Lundsgaard, and Ole Lund. 2007. "Prediction of MHC Class II Binding Affinity Using SMM-align, a Novel Stabilization Matrix Alignment Method." *BMC Bioinformatics* 8: 238. doi:10.1186/1471-2105-8-238.
- Nitta, Takeshi, Shigeo Murata, Tomoo Ueno, Keiji Tanaka, and Yousuke Takahama. 2008. "Thymic Microenvironments for T-cell Repertoire Formation." *Advances in Immunology* 99: 59–94. doi:10.1016/S0065-2776(08)00603-2.
- Nossal, G J. 1993. "Tolerance and Ways to Break It." *Annals of the New York Academy of Sciences* 690 (August 12): 34–41.
- Novak, E J, A W Liu, G T Nepom, and W W Kwok. 1999. "MHC Class II Tetramers Identify Peptide-specific Human CD4(+) T Cells Proliferating in Response to Influenza A Antigen." *The Journal of Clinical Investigation* 104 (12) (December): R63–67. doi:10.1172/JCI8476.
- Ohashi, Pamela S., Stephan Oehen, Kurt Buerki, Hanspeter Pircher, Cara T. Ohashi, Bernhard Odermatt, Bernard Malissen, Rolf M. Zinkernagel, and Hans Hengartner. 1991. "Ablation of 'tolerance' and Induction of Diabetes by Virus Infection in Viral Antigen Transgenic Mice." *Cell* 65 (2) (April 19): 305–317. doi:10.1016/0092-8674(91)90164-T.
- Oshitani, Nobuhide, Fumihiko Hato, Seiichi Kitagawa, Kiyoshi Maeda, Kazuhide Higuchi, Takayuki Matsumoto, and Tetsuo Arakawa. 2003. "Analysis of Intestinal HLA-DR Bound Peptides and Dysregulated Immune Responses to Enteric Flora in the Pathogenesis of Inflammatory Bowel Disease." *International Journal of Molecular Medicine* 11 (1) (January): 99–104.
- Papadopoulos, K P, N Suciu-Foca, C S Hesdorffer, S Tugulea, A Maffei, and P E Harris. 1997. "Naturally Processed Tissue- and Differentiation Stage-specific Autologous Peptides Bound by HLA Class I and II Molecules of Chronic Myeloid Leukemia Blasts." *Blood* 90 (12) (December 15): 4938–4946.
- Pascal, M, G N Konstantinou, M Masilamani, J Lieberman, and H A Sampson. 2013. "In Silico Prediction of Ara h 2 T Cell Epitopes in Peanut-allergic Children." *Clinical and Experimental Allergy: Journal of the British Society for Allergy and Clinical Immunology* 43 (1) (January): 116–127. doi:10.1111/cea.12014.
- Peters V.B., and Sperber K.E. 1999. "The Effect of Viruses on the Ability to Present Antigens via the Major Histocompatibility Complex." *Microbes and Infection* 1 (4): 335–345. doi:10.1016/S1286-4579(99)80029-X.
- Peterson, Pär, Kentaro Nagamine, Hamish Scott, Maarit Heino, Jun Kudoh, Nobuyoshi Shimizu, Stylianos E. Antonarakis, and Kai J.E. Krohn. 1998. "APECED: a Monogenic Autoimmune Disease Providing New Clues to Self-tolerance." *Immunology Today* 19 (9): 384–386. doi:10.1016/S0167-5699(98)01293-6.
- Petrie, Howard T., and Juan Carlos Zúñiga-Pflücker. 2007. "Zoned Out: Functional Mapping of Stromal Signaling Microenvironments in the Thymus." *Annual Review of Immunology* 25: 649–679. doi:10.1146/annurev.immunol.23.021704.115715.
- Pfeifer, Nico, and Oliver Kohlbacher. 2008. "Multiple Instance Learning Allows MHC Class II Epitope Predictions Across Alleles." In *Algorithms in Bioinformatics*, edited by Keith Crandall and Jens Lagergren, 5251:210–221. Lecture Notes in Computer Science. Springer Berlin / Heidelberg. <http://www.springerlink.com/content/000680w151885415/abstract/>.
- Prabdial-Sing, Nishi, Adrian J Puren, and Sheila M Bowyer. 2012. "Sequence-based in Silico Analysis of Well Studied Hepatitis C Virus Epitopes and Their Variants in Other Genotypes (particularly Genotype 5a) Against South African Human Leukocyte Antigen Backgrounds." *BMC Immunology* 13: 67. doi:10.1186/1471-2172-13-67.
- Rammensee, H, J Bachmann, N P Emmerich, O A Bachor, and S Stevanović. 1999. "SYFPEITHI: Database for MHC Ligands and Peptide Motifs." *Immunogenetics* 50 (3-4) (November): 213–219.
- Rezzani, Rita, Francesca Bonomini, and Luigi Fabrizio Rodella. 2008. "Histochemical and Molecular Overview of the Thymus as Site for T-cells Development." *Progress in Histochemistry and Cytochemistry* 43 (2): 73–120. doi:10.1016/j.proghi.2008.03.001.
- Rhyner, C, T Küdig, C A Akdis, and R Crameri. 2007. "Targeting the MHC II Presentation Pathway in Allergy Vaccine Development." *Biochemical Society Transactions* 35 (Pt 4) (August): 833–834. doi:10.1042/BST0350833.
- Riese, Richard J, and Harold A Chapman. 2000. "Cathepsins and Compartmentalization in Antigen Presentation." *Current Opinion in Immunology* 12 (1) (February 1): 107–113. doi:10.1016/S0952-7915(99)00058-8.
- Robinson, James, Matthew J Waller, Peter Parham, Natasja de Groot, Ronald Bontrop, Lorna J Kennedy, Peter Stoehr, and Steven G E Marsh. 2003. "IMGT/HLA and IMGT/MHC: Sequence Databases for the Study of the Major Histocompatibility Complex." *Nucleic Acids Research* 31 (1) (January 1): 311–314.
- Rocha, Nuno, and Jacques Neefjes. 2008. "MHC Class II Molecules on the Move for Successful Antigen Presentation." *The EMBO Journal* 27 (1) (January 9): 1–5. doi:10.1038/sj.emboj.7601945.
- Röhn, Till A, Marianne Boes, Dirk Wolters, Sebastian Spindeldreher, Bernd Müller, Hanno Langen, Hidde Ploegh, Anne B Vogt, and Harald Kropshofer. 2004. "Upregulation of the CLIP Self Peptide on Mature Dendritic Cells Antagonizes T Helper Type 1 Polarization." *Nature Immunology* 5 (9) (September): 909–918. doi:10.1038/ni1108.

- Ross, Peter, Jennifer C. Holmes, Gregory S. Gojanovich, and Paul R. Hess. 2012. "A Cell-based MHC Stabilization Assay for the Detection of Peptide Binding to the Canine Classical Class I Molecule, DLA-88." *Veterinary Immunology and Immunopathology* 150 (3–4): 206–212. doi:10.1016/j.vetimm.2012.08.012.
- Rossi, Marco, and James W Young. 2005. "Human Dendritic Cells: Potent Antigen-presenting Cells at the Crossroads of Innate and Adaptive Immunity." *Journal of Immunology (Baltimore, Md.: 1950)* 175 (3) (August 1): 1373–1381.
- Rudolph, Markus G., Robyn L. Stanfield, and Ian A. Wilson. 2006. "How Tcrs Bind Mhc, Peptides, and Coreceptors." *Annual Review of Immunology* 24 (1): 419–466. doi:10.1146/annurev.immunol.23.021704.115658.
- Saade, Murielle, Magali Irla, Miriam Yammie, Nicolas Boulanger, Geneviève Victorero, Renaud Vincentelli, Josef M Penninger, Georg A Holländer, Sophie Chauvet, and Catherine Nguyen. 2010. "Spatial (Tbata) Expression in Mature Medullary Thymic Epithelial Cells." *European Journal of Immunology* 40 (2) (February): 530–538. doi:10.1002/eji.200939605.
- Salazar-Mather, T P, R Ishikawa, and C A Biron. 1996. "NK Cell Trafficking and Cytokine Expression in Splenic Compartments after IFN Induction and Viral Infection." *Journal of Immunology (Baltimore, Md.: 1950)* 157 (7) (October 1): 3054–3064.
- Santambrogio, L, A K Sato, G J Carven, S L Belyanskaya, J L Strominger, and L J Stern. 1999. "Extracellular Antigen Processing and Presentation by Immature Dendritic Cells." *Proceedings of the National Academy of Sciences of the United States of America* 96 (26) (December 21): 15056–15061.
- Sato, Kojiro, Utako Sato, Shoko Tateishi, Kanae Kubo, Reiko Horikawa, Toshihide Mimura, Kazuhiko Yamamoto, and Hiroko Kanda. 2004. "Aire Downregulates Multiple Molecules That Have Contradicting Immune-enhancing and Immune-suppressive Functions." *Biochemical and Biophysical Research Communications* 318 (4) (June 11): 935–940. doi:10.1016/j.bbrc.2004.04.116.
- Sauter, Birthe, Matthew L. Albert, Loise Francisco, Marie Larsson, Selin Somersan, and Nina Bhardwaj. 2000. "Consequences of Cell Death." *The Journal of Experimental Medicine* 191 (3) (February 7): 423–434. doi:10.1084/jem.191.3.423.
- Schumacher, Ton N.M., Marie-Thérèse Heemels, Jacques J. Neefjes, W. Martin Kast, Cees J.M. Melief, and Hidde L. Ploegh. 1990. "Direct Binding of Peptide to Empty MHC Class I Molecules on Intact Cells and in Vitro." *Cell* 62 (3): 563–567. doi:10.1016/0092-8674(90)90020-F.
- Seach, Natalie, Tomoo Ueno, Anne L. Fletcher, Tamara Lowen, Monika Mattesich, Christian R. Engwerda, Hamish S. Scott, et al. 2008. "The Lymphotoxin Pathway Regulates Aire-Independent Expression of Ectopic Genes and Chemokines in Thymic Stromal Cells." *Journal of Immunology (Baltimore, Md. : 1950)* 180 (8) (April 15): 5384–5392.
- Serradell, L, A Muntasell, M Catálamo, M Martí, M Costa, C de Préval, and D Jaraquemada. 1999. "HLA-DM Can Partially Replace the Invariant Chain for HLA-DR Transport and Surface Expression in Transfected Endocrine Epithelial Cells." *Tissue Antigens* 53 (5) (May): 447–458.
- Sima, Anders A F, Weixian Zhang, Zhen-Guo Li, Yuichi Murakawa, and Christopher R Pierson. 2004. "Molecular Alterations Underlie Nodal and Paranodal Degeneration in Type 1 Diabetic Neuropathy and Are Prevented by C-peptide." *Diabetes* 53 (6) (June): 1556–1563.
- Singh, Amit Kumar, Amita Aggarwal, Smriti Chaurasia, and Ramnath Misra. 2013. "Identification of Immunogenic HLA-B*27:05 Binding Peptides of *Salmonella* Outer Membrane Protein in Patients with Reactive Arthritis and Undifferentiated Spondyloarthropathy." *The Journal of Rheumatology* 40 (2) (February): 173–185. doi:10.3899/jrheum.110849.
- Singh, H, and G P Raghava. 2001. "ProPred: Prediction of HLA-DR Binding Sites." *Bioinformatics (Oxford, England)* 17 (12) (December): 1236–1237.
- Sinigaglia, Francesco, and Juergen Hammer. 1994. "Defining Rules for the peptide-MHC Class II Interaction." *Current Opinion in Immunology* 6 (1) (February): 52–56. doi:10.1016/0952-7915(94)90033-7.
- Smith, K. M., D. C. Olson, R. Hirose, and D. Hanahan. 1997. "Pancreatic Gene Expression in Rare Cells of Thymic Medulla: Evidence for Functional Contribution to T Cell Tolerance." *International Immunology* 9 (9) (September 1): 1355–1365. doi:10.1093/intimm/9.9.1355.
- Spencer, J, M Choy, T Hussell, L Papadaki, J P Kington, and P G Isaacson. 1992. "Properties of Human Thymic B Cells." *Immunology* 75 (4) (April): 596–600.
- Sprent, J. 1993. "Lifespans of Naive, Memory and Effector Lymphocytes." *Current Opinion in Immunology* 5 (3) (June): 433–438.
- Sprent, Jonathan, and Charles D Surh. 2011. "Normal T Cell Homeostasis: The Conversion of Naive Cells into Memory-phenotype Cells." *Nature Immunology* 12 (6) (May 18): 478–484. doi:10.1038/ni.2018.
- Starr, Timothy K., Stephen C. Jameson, and Kristin A. Hogquist. 2003. "Positive and Negative Selection of T Cells." *Annual Review of Immunology* 21 (April): 139–176. doi:10.1146/annurev.immunol.21.120601.141107.
- Steiniger, B, P Barth, B Herbst, A Hartnell, and P R Crocker. 1997. "The Species-specific Structure of Microanatomical Compartments in the Human Spleen: Strongly Sialoadhesin-positive Macrophages Occur in the Perifollicular Zone, but Not in the Marginal Zone." *Immunology* 92 (2) (October): 307–316.
- Stern, L J, J H Brown, T S Jardetzky, J C Gorga, R G Urban, J L Strominger, and D C Wiley. 1994. "Crystal Structure of the Human Class II MHC Protein HLA-DR1 Complexed with an Influenza Virus Peptide." *Nature* 368 (6468) (March 17): 215–221. doi:10.1038/368215a0.
- Stoeckle, Christina, Paula Quecke, Thomas Rückrich, Timo Burster, Michael Reich, Ekkehard Weber, Hubert Kalbacher, Christoph Driessens, Arthur Melms, and Eva Tolosa. 2012. "Cathepsin S Dominates Autoantigen Processing in Human Thymic Dendritic Cells." *Journal of Autoimmunity*. doi:10.1016/j.jaut.2012.02.003. <http://www.sciencedirect.com/science/article/pii/S0896841112000261>.
- Storniolo, T, E Bono, J Ding, L Raddrizzani, O Tuereci, U Sahin, M Braxenthaler, et al. 1999. "Generation of Tissue-specific and Promiscuous HLA Ligand Databases Using DNA Microarrays and Virtual HLA Class II Matrices." *Nature Biotechnology* 17 (6) (June): 555–561. doi:10.1038/9858.
- Surh, Charles D., and Jonathan Sprent. 2008. "Homeostasis of Naive and Memory T Cells." *Immunity* 29 (6) (December 19): 848–862. doi:10.1016/j.immuni.2008.11.002.
- Suri, Anish, Matteo G Levisetti, and Emil R Unanue. 2008. "Do the Peptide-binding Properties of Diabetogenic Class II Molecules Explain Autoreactivity?" *Current Opinion in Immunology* 20 (1) (February): 105–110. doi:10.1016/j.co.2007.10.007.
- Suzuki, Osamu, Burkhard Hirsch, Masafumi Abe, Horst Dürkop, and Harald Stein. 2012. "Galectin-1-mediated Cell Death Is Increased by CD30-induced Signaling in Anaplastic Large Cell Lymphoma Cells but Not in Hodgkin Lymphoma Cells." *Laboratory Investigation; a Journal of Technical Methods and Pathology* 92 (2) (February): 191–199. doi:10.1038/labinvest.2011.151.

- Sylvester-Hvid, C, N Kristensen, T Blicher, H Ferré, S L Lauemøller, X A Wolf, K Lamberth, M H Nissen, L Ø Pedersen, and S Buus. 2002. "Establishment of a Quantitative ELISA Capable of Determining Peptide - MHC Class I Interaction." *Tissue Antigens* 59 (4) (April): 251–258.
- Takahama, Yousuke. 2011. "Medullary Interplay for Central Tolerance." *Blood* 118 (9) (September 1): 2380–2381. doi:10.1182/blood-2011-05-351734.
- Takahama, Yousuke, Keiji Tanaka, and Shigeo Murata. 2008. "Modest Cortex and Promiscuous Medulla for Thymic Repertoire Formation." *Trends in Immunology* 29 (6) (June): 251–255. doi:10.1016/j.it.2008.03.003.
- Takeda, S, H R Rodewald, H Arakawa, H Bluthmann, and T Shimizu. 1996. "MHC Class II Molecules Are Not Required for Survival of Newly Generated CD4+ T Cells, but Affect Their Long-term Life Span." *Immunity* 5 (3) (September): 217–228.
- Tanchot, C, F A Lemonnier, B Pérarnau, A A Freitas, and B Rocha. 1997. "Differential Requirements for Survival and Proliferation of CD8 Naïve or Memory T Cells." *Science (New York, N.Y.)* 276 (5321) (June 27): 2057–2062.
- Thornton, Angela M., and Ethan M. Shevach. 1998. "CD4+CD25+ Immunoregulatory T Cells Suppress Polyclonal T Cell Activation In Vitro by Inhibiting Interleukin 2 Production." *The Journal of Experimental Medicine* 188 (2) (July 20): 287–296.
- Tong, Joo Chuan, Tin Wee Tan, and Shoba Ranganathan. 2007. "Methods and Protocols for Prediction of Immunogenic Epitopes." *Briefings in Bioinformatics* 8 (2) (March): 96–108. doi:10.1093/bib/bbl038.
- Traka, Maria, Jeffrey L. Dupree, Brian Popko, and Domna Karageorgos. 2002. "The Neuronal Adhesion Protein TAG-1 Is Expressed by Schwann Cells and Oligodendrocytes and Is Localized to the Juxtaparanodal Region of Myelinated Fibers." *The Journal of Neuroscience* 22 (8) (April 15): 3016–3024.
- Uchida, Daisuke, Shigetsugu Hatakeyama, Akemi Matsushima, Hongwei Han, Satoshi Ishido, Hak Hotta, Jun Kudoh, et al. 2004. "AIRE Functions As an E3 Ubiquitin Ligase." *The Journal of Experimental Medicine* 199 (2): 167 –172. doi:10.1084/jem.20031291.
- Van Oers, N S, N Killeen, and A Weiss. 1994. "ZAP-70 Is Constitutively Associated with Tyrosine-phosphorylated TCR Zeta in Murine Thymocytes and Lymph Node T Cells." *Immunity* 1 (8) (November): 675–685.
- Varrin-Doyer, Michel, Collin M. Spencer, Ulf Schulze-Topphoff, Patricia A. Nelson, Robert M. Stroud, Bruce A. C. Cree, and Scott S. Zamvil. 2012. "Aquaporin 4-specific T Cells in Neuromyelitis Optica Exhibit a Th17 Bias and Recognize Clostridium ABC Transporter." *Annals of Neurology* 72 (1): 53–64. doi:10.1002/ana.23651.
- Velásquez-Lopera, M M, L A Correa, and L F García. 2008. "Human Spleen Contains Different Subsets of Dendritic Cells and Regulatory T Lymphocytes." *Clinical and Experimental Immunology* 154 (1) (October): 107–114. doi:10.1111/j.1365-2249.2008.03734.x.
- Villaseñor, Jennifer, Whitney Besse, Christophe Benoist, and Diane Mathis. 2008. "Ectopic Expression of Peripheral-tissue Antigens in the Thymic Epithelium: Probabilistic, Monoallelic, Misinitiated." *Proceedings of the National Academy of Sciences* 105 (41) (October 14): 15854–15859. doi:10.1073/pnas.0808069105.
- Vita, Randi, Laura Zarebski, Jason A Greenbaum, Hussein Emami, Ilka Hoof, Nima Salimi, Rohini Damle, Alessandro Sette, and Bjoern Peters. 2010. "The Immune Epitope Database 2.0." *Nucleic Acids Research* 38 (Database issue) (January): D854–862. doi:10.1093/nar/gkp1004.
- Voutsas, Ioannis F, Angelos D Gritzapis, Louisa G Mahaira, Maria Salagianni, Eric von Hofe, Nikoletta L Kallinteris, and Constantin N Baxevanis. 2007. "Induction of Potent CD4+ T Cell-mediated Antitumor Responses by a Helper HER-2/neu Peptide Linked to the Ii-Key Moiety of the Invariant Chain." *International Journal of Cancer. Journal International Du Cancer* 121 (9) (November 1): 2031–2041. doi:10.1002/ijc.22936.
- Wahlström, Jan, Jörn Dengjel, Bengt Persson, Hüseyin Duyar, Hans-Georg Rammensee, Stefan Stevanović, Anders Eklund, Robert Weissert, and Johan Grunewald. 2007. "Identification of HLA-DR-bound Peptides Presented by Human Bronchoalveolar Lavage Cells in Sarcoidosis." *Journal of Clinical Investigation* 117 (11) (November): 3576–3582. doi:10.1172/JCI32401.
- Wan, Ji, Wen Liu, Qiqi Xu, Yongliang Ren, Darren R Flower, and Tongbin Li. 2006. "SVRMHC Prediction Server for MHC-binding Peptides." *BMC Bioinformatics* 7: 463. doi:10.1186/1471-2105-7-463.
- Wang, Jia-huai, and Ellis L. Reinherz. 2002. "Structural Basis of T Cell Recognition of Peptides Bound to MHC Molecules." *Molecular Immunology* 38 (14): 1039–1049. doi:10.1016/S0161-5890(02)00033-0.
- Wang, Peng, John Sidney, Yohan Kim, Alessandro Sette, Ole Lund, Morten Nielsen, and Bjoern Peters. 2010. "Peptide Binding Predictions for HLA DR, DP and DQ Molecules." *BMC Bioinformatics* 11 (November 22): 568. doi:10.1186/1471-2105-11-568.
- Wang, Yue-Dan, Wan-Yee Fion Sin, Guo-Bing Xu, Huang-Hua Yang, Tin-yau Wong, Xue-Wen Pang, Xiao-Yan He, et al. 2004. "T-Cell Epitopes in Severe Acute Respiratory Syndrome (SARS) Coronavirus Spike Protein Elicit a Specific T-Cell Immune Response in Patients Who Recover from SARS." *Journal of Virology* 78 (11) (June): 5612–5618. doi:10.1128/JVI.78.11.5612-5618.2004.
- Warmerdam, P A, E O Long, and P A Roche. 1996. "Isoforms of the Invariant Chain Regulate Transport of MHC Class II Molecules to Antigen Processing Compartments." *The Journal of Cell Biology* 133 (2) (April): 281–291.
- Wilson, Nicholas S, Dima El-Sukkari, Gabrielle T Belz, Christopher M Smith, Raymond J Steptoe, William R Heath, Ken Shortman, and José A Villadangos. 2003. "Most Lymphoid Organ Dendritic Cell Types Are Phenotypically and Functionally Immature." *Blood* 102 (6) (September 15): 2187–2194. doi:10.1182/blood-2003-02-0513.
- Wu, Li, and Ken Shortman. 2005. "Heterogeneity of Thymic Dendritic Cells." *Seminars in Immunology* 17 (4) (August): 304–312. doi:10.1016/j.smim.2005.05.001.
- Yasutomo, K, B Lucas, and R N Germain. 2000. "TCR Signaling for Initiation and Completion of Thymocyte Positive Selection Has Distinct Requirements for Ligand Quality and Presenting Cell Type." *Journal of Immunology (Baltimore, Md.: 1950)* 165 (6) (September 15): 3015–3022.
- Zavala-Ruiz, Zarixia, Eric J Sundberg, Jennifer D Stone, Daniel B DeOliveira, Iat C Chan, Jennifer Svendsen, Roy A Mariuzza, and Lawrence J Stern. 2003. "Exploration of the P6/P7 Region of the Peptide-binding Site of the Human Class II Major Histocompatibility Complex Protein HLA-DR1." *The Journal of Biological Chemistry* 278 (45) (November 7): 44904–44912. doi:10.1074/jbc.M307652200.
- Zehn, Dietmar, and Michael J Bevan. 2006. "T Cells with Low Avidity for a Tissue-restricted Antigen Routinely Evade Central and Peripheral Tolerance and Cause Autoimmunity." *Immunity* 25 (2) (August): 261–270. doi:10.1016/j.immuni.2006.06.009.

- Zhang, Hao, Ole Lund, and Morten Nielsen. 2009. "The PickPocket Method for Predicting Binding Specificities for Receptors Based on Receptor Pocket Similarities: Application to MHC-peptide Binding." *Bioinformatics* 25 (10) (May 15): 1293–1299. doi:10.1093/bioinformatics/btp137.
- Zhang, Hao, Claus Lundsgaard, and Morten Nielsen. 2009. "Pan-specific MHC Class I Predictors: a Benchmark of HLA Class I Pan-specific Prediction Methods." *Bioinformatics (Oxford, England)* 25 (1) (January 1): 83–89. doi:10.1093/bioinformatics/btn579.
- Zhang, Lianming, Yiqing Chen, Hau-San Wong, Shuigeng Zhou, Hiroshi Mamitsuka, and Shanfeng Zhu. 2012. "TEPITOPEpan: Extending TEPITOPE for Peptide Binding Prediction Covering over 700 HLA-DR Molecules." *PLoS ONE* 7 (2) (February 23): e30483. doi:10.1371/journal.pone.0030483.
- Zhang, Lianming, Keiko Udaka, Hiroshi Mamitsuka, and Shanfeng Zhu. 2011. "Toward More Accurate Pan-Specific MHC-Peptide Binding Prediction: A Review of Current Methods and Tools." *Briefings in Bioinformatics* (September 22). doi:10.1093/bib/bbr060. <http://bib.oxfordjournals.org/content/early/2011/09/21/bib.bbr060>.
- Ziegler, Andreas, Claudia A Müller, Rainer A Böckmann, and Barbara Uchanska-Ziegler. 2009. "Low-affinity Peptides and T-cell Selection." *Trends in Immunology* 30 (2) (February): 53–60. doi:10.1016/j.it.2008.11.004.
- Zinkernagel, R M, and P C Doherty. 1974. "Restriction of in Vitro T Cell-mediated Cytotoxicity in Lymphocytic Choriomeningitis Within a Syngeneic or Semiallogeneic System." *Nature* 248 (450) (April 19): 701–702.